



ATLAS
DER
KRYSTALLFORMEN
VON
VICTOR GOLDSCHMIDT


TAFELN

BAND III.
DANALITH — FELDSPAT-GRUPPE



CARL WINTERS UNIVERSITÄTSBUCHHANDLUNG
HEIDELBERG 1916

163991
17/8/21



Digitized by the Internet Archive
in 2014

<https://archive.org/details/atlasderkrystalltaf03gold>

Danalith

Danburit Fig. 1.

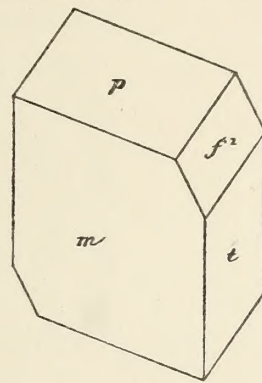
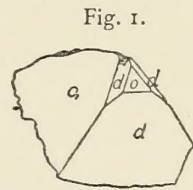


Fig. 2.



Fig. 3.



Fig. 4.



Fig. 5.



Fig. 6.

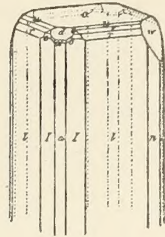


Fig. 7.

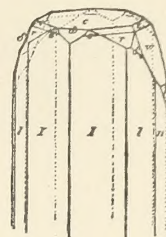


Fig. 8.

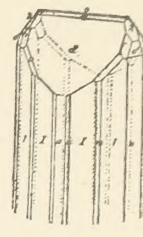


Fig. 10.

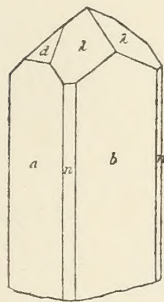


Fig. 9.

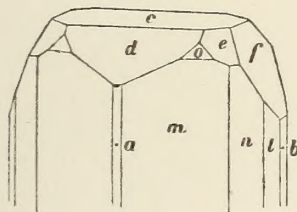


Fig. 11.

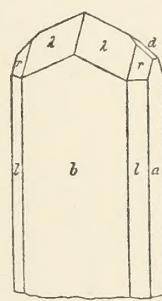


Fig. 12.

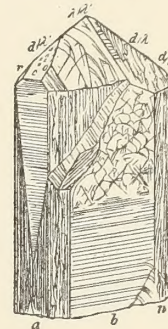


Fig. 13.

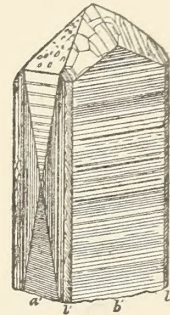


Fig. 14.

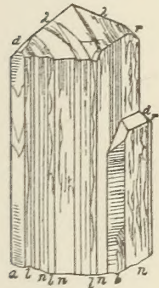


Fig. 15.

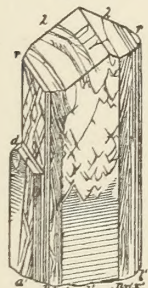


Fig. 16.

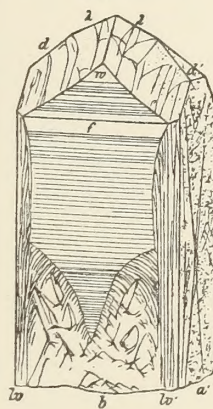


Fig. 17.

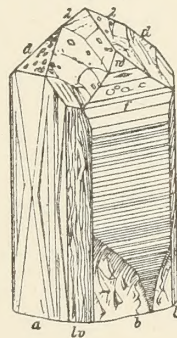


Fig. 18.



Fig. 19.

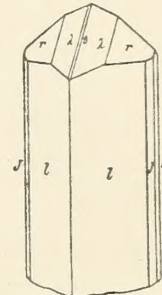


Fig. 20.

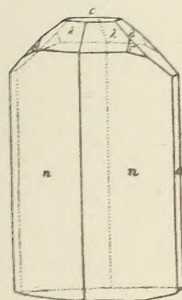


Fig. 21.

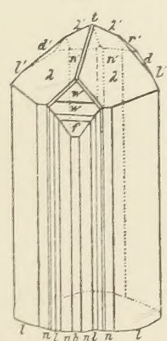


Fig. 22.



Fig. 23.

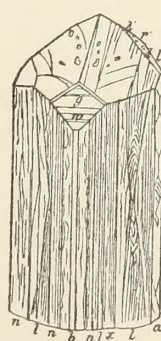


Fig. 24.

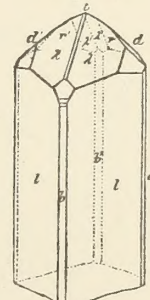
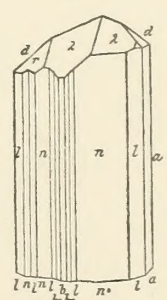


Fig. 25.



Danburit

Fig. 26.



Fig. 27.

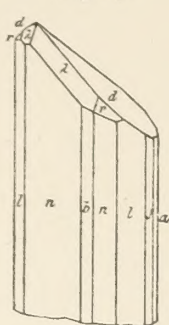


Fig. 28.



Fig. 29.

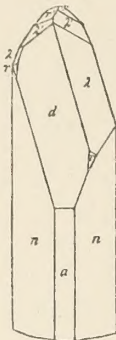


Fig. 30.



Fig. 31.

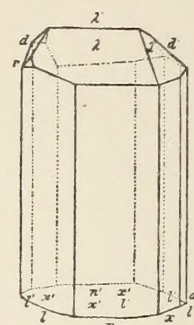


Fig. 32.

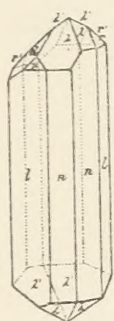


Fig. 33.

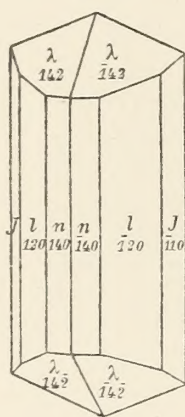


Fig. 34.

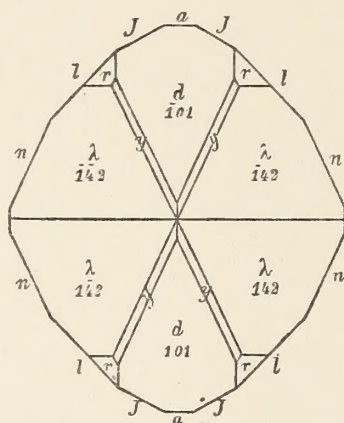


Fig. 35.

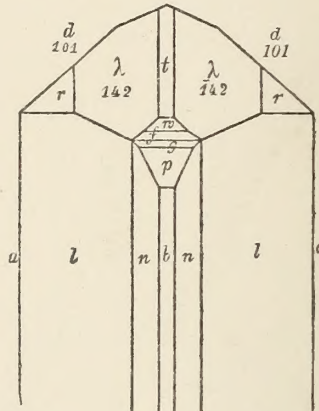


Fig. 36.

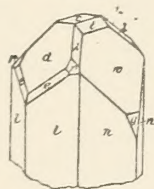


Fig. 38.

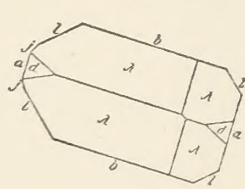


Fig. 39.

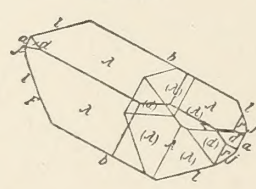


Fig. 40.

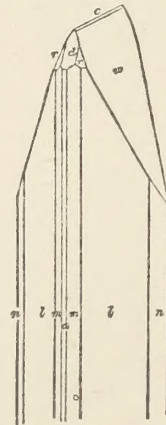


Fig. 41.

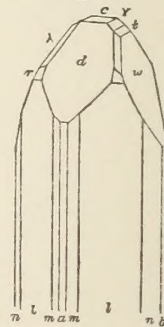
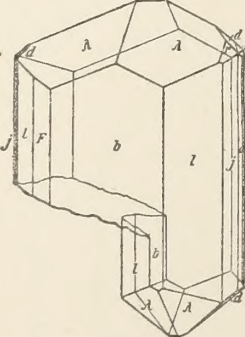
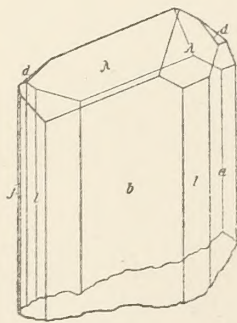
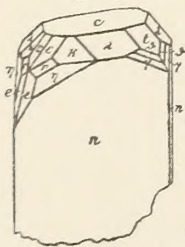


Fig. 37.



Danburit

Fig. 42.

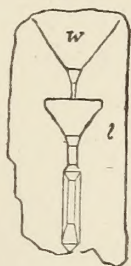


Fig. 43.

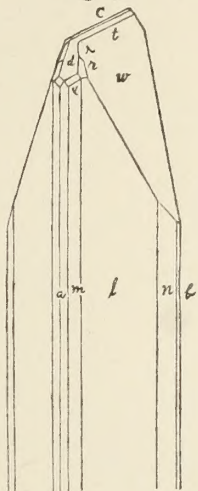


Fig. 44.

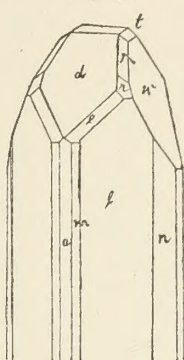


Fig. 45.

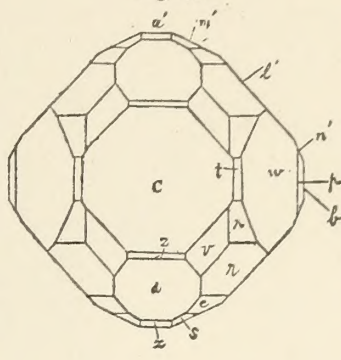


Fig. 46.

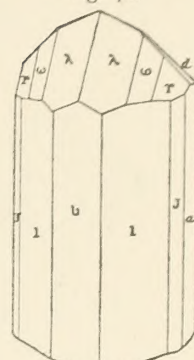


Fig. 49.

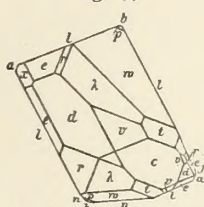


Fig. 50.

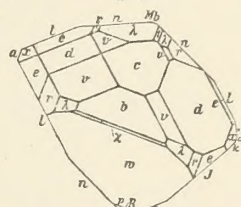


Fig. 51.

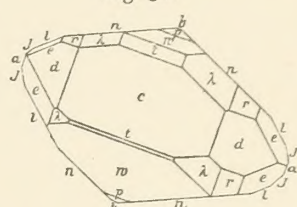


Fig. 47.

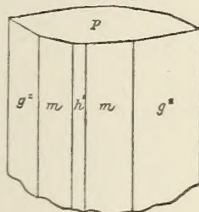


Fig. 48.

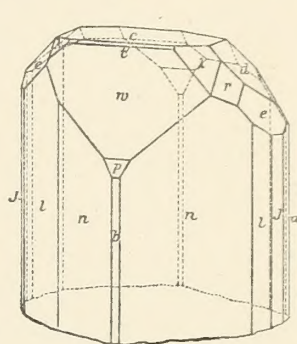
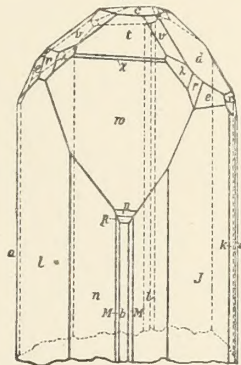
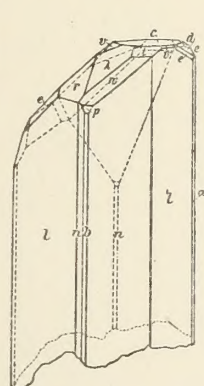
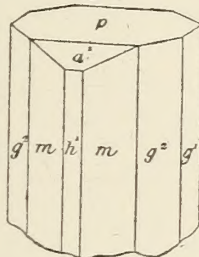


Fig. 52.

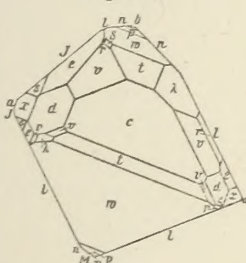


Fig. 53.

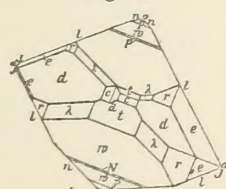


Fig. 54.

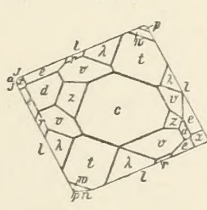


Fig. 55.

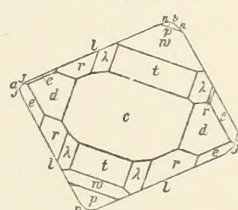
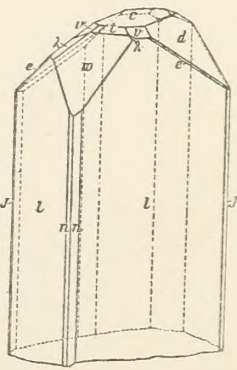
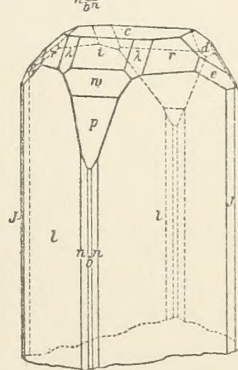
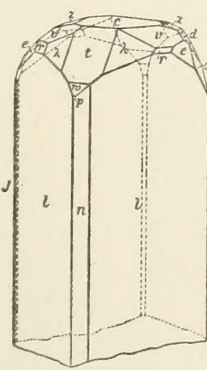
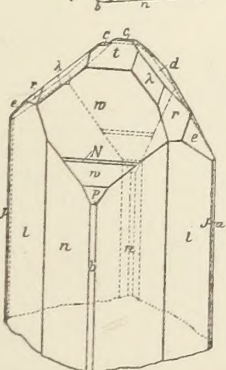
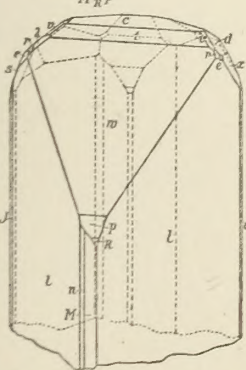
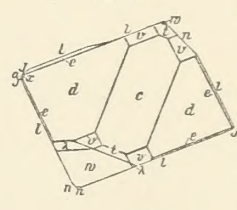


Fig. 56.



Danburit

Fig. 57.

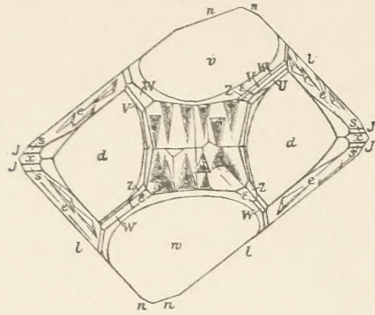
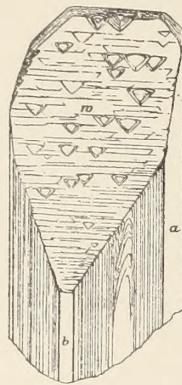


Fig. 58.



Darapskit

Fig. 1.

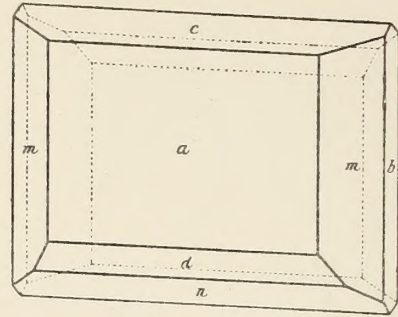


Fig. 2.

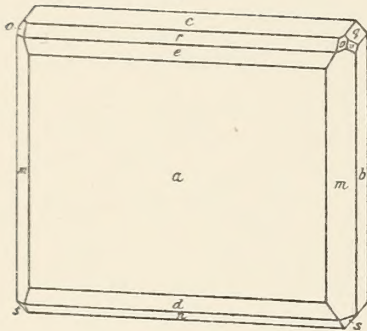
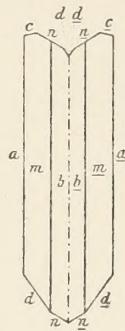


Fig. 3.



Datolith

Fig. 1.

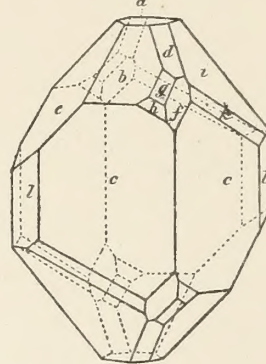


Fig. 2.

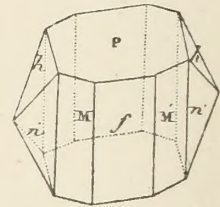


Fig. 3.

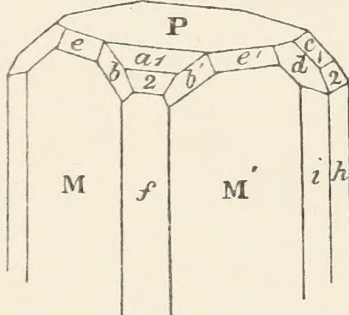


Fig. 4.

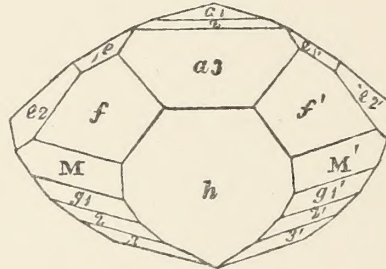


Fig. 5.

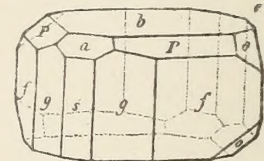


Fig. 7.

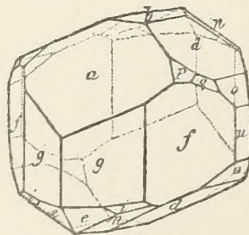


Fig. 6.

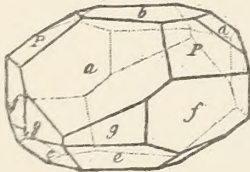
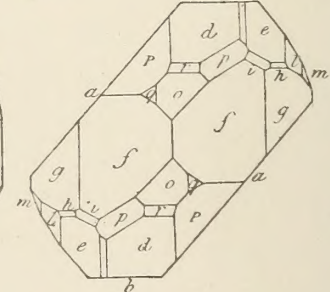


Fig. 8.



Datolith

Fig. 9.

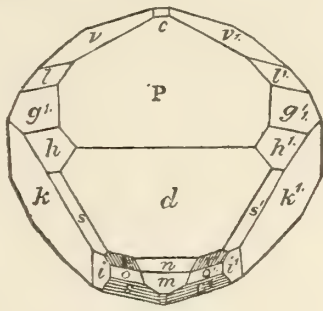


Fig. 10.

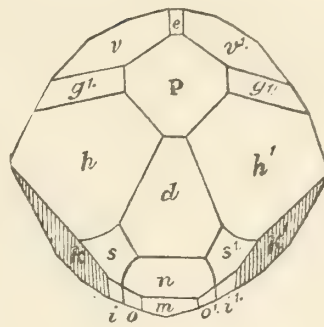


Fig. 11.

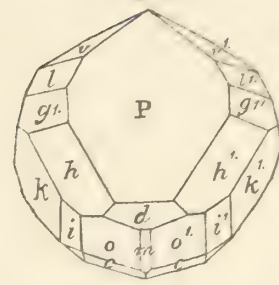


Fig. 12.

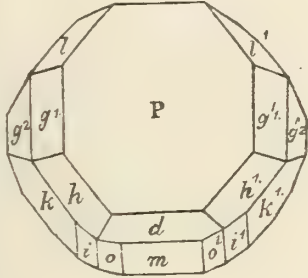


Fig. 13.

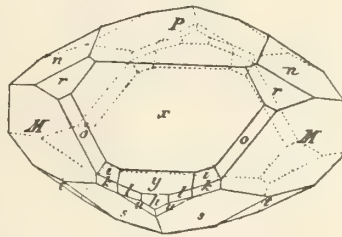


Fig. 14.

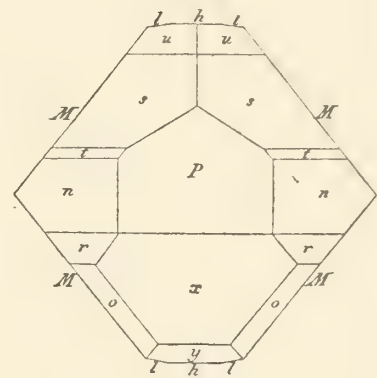


Fig. 15.

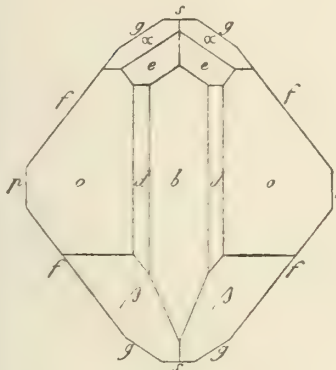


Fig. 16.

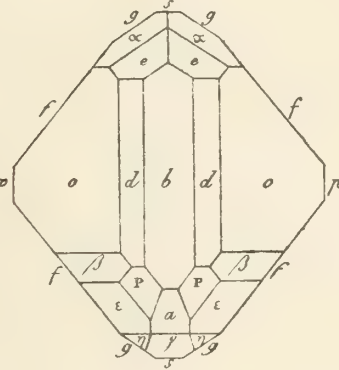


Fig. 17.

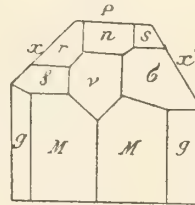


Fig. 18.

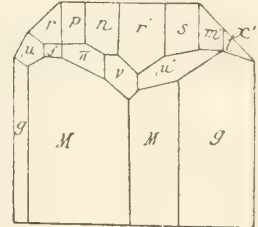


Fig. 19.

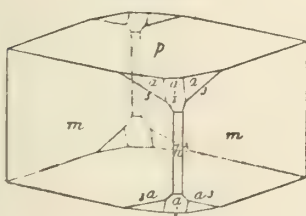


Fig. 20.

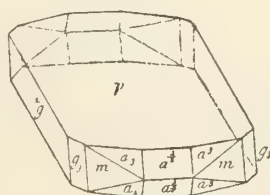


Fig. 21.

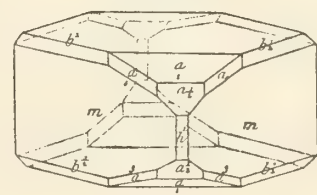


Fig. 22.

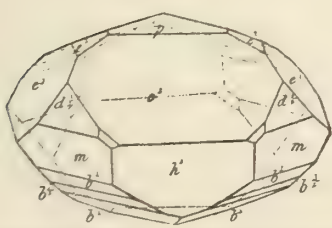


Fig. 23.

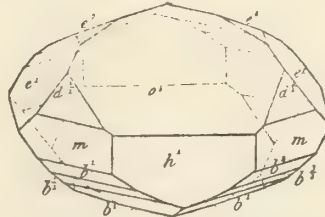
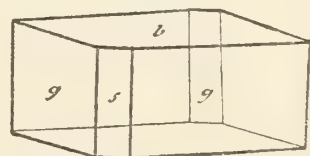


Fig. 24.



Datolith Fig. 25.

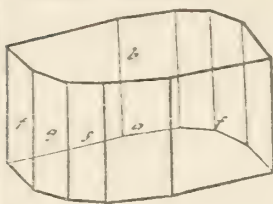


Fig. 26.

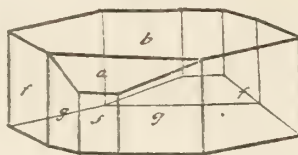


Fig. 27.

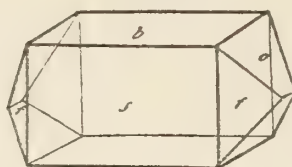


Fig. 28.

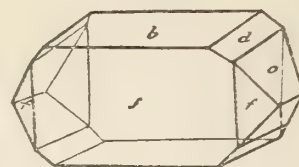


Fig. 30.

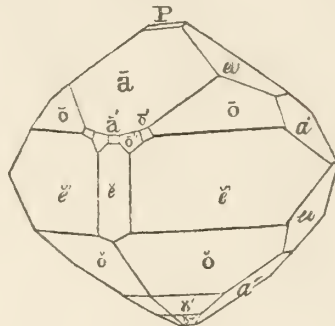


Fig. 31.

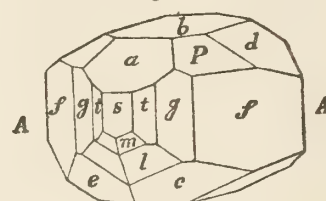


Fig. 29.

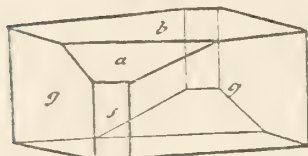


Fig. 32.

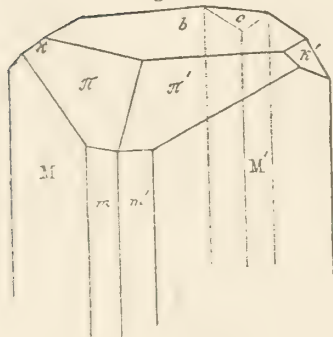


Fig. 33.

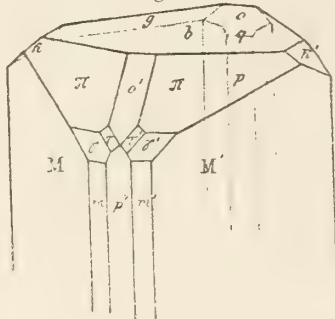


Fig. 34.

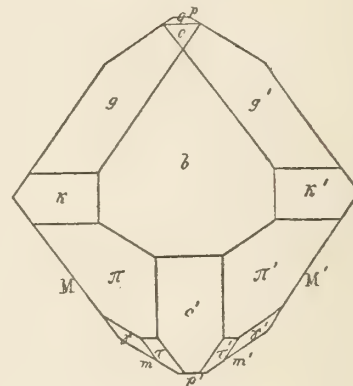


Fig. 35.

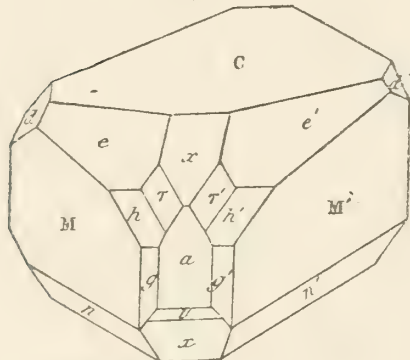


Fig. 36.

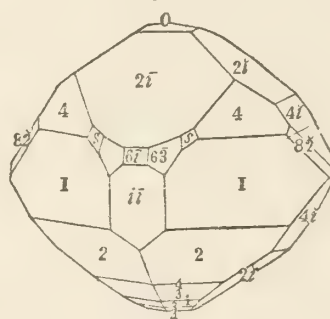


Fig. 37.

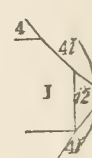
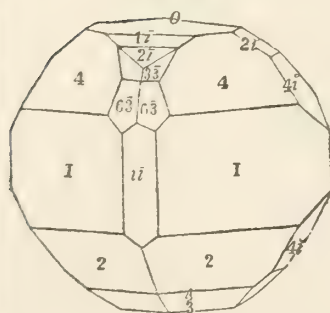


Fig. 38.



Datolith

Fig. 42.

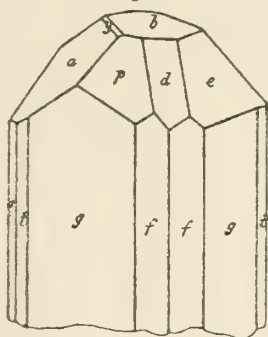


Fig. 43.

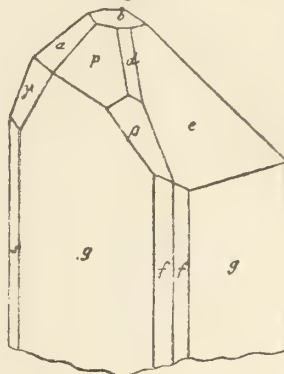


Fig. 44.

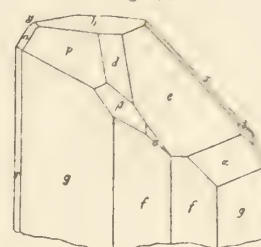


Fig. 45.

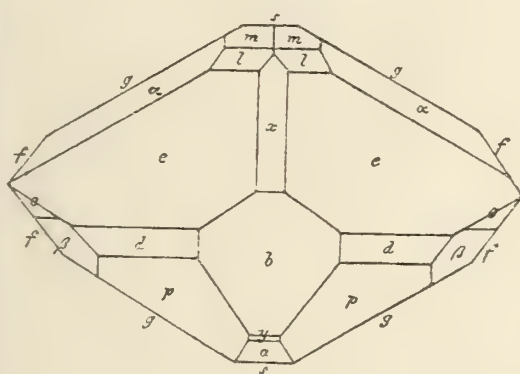


Fig. 46.

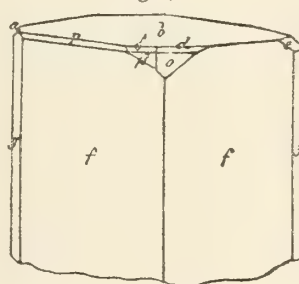


Fig. 47.

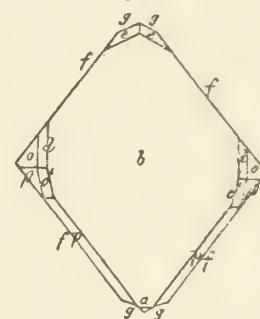


Fig. 48.

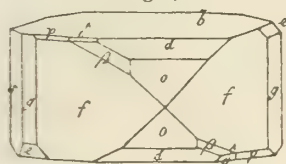


Fig. 49.

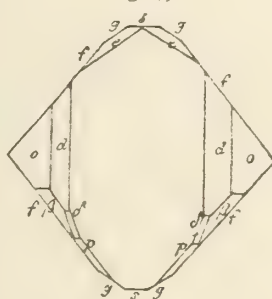


Fig. 50.

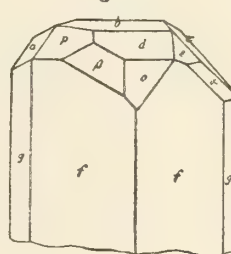


Fig. 51.

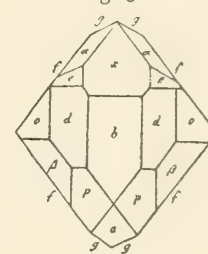


Fig. 52.

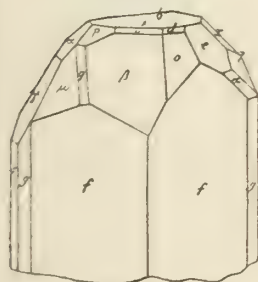


Fig. 53.

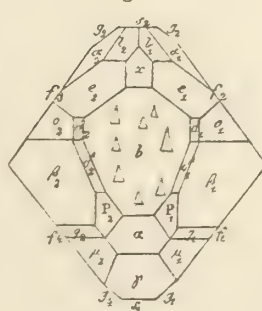


Fig. 54.

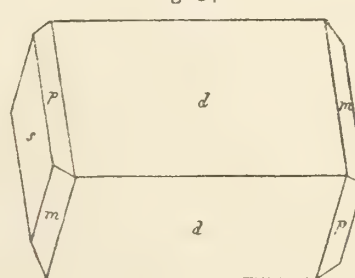
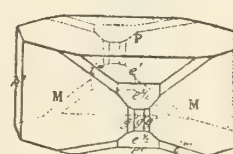


Fig. 55.



Datolith

Fig. 56.

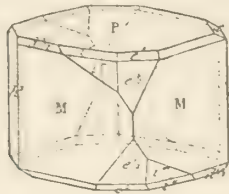


Fig. 57.

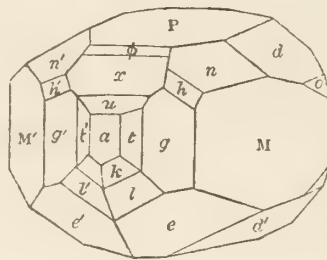


Fig. 58.

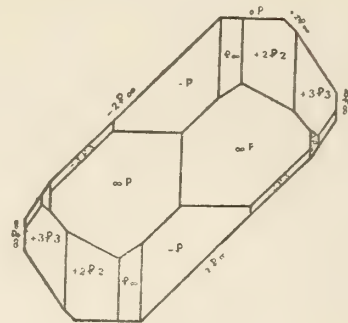


Fig. 59.

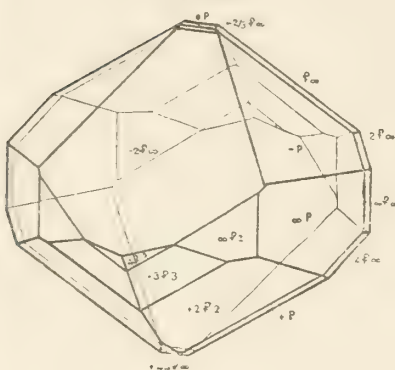


Fig. 60.

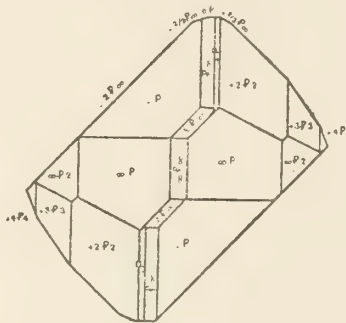


Fig. 61.

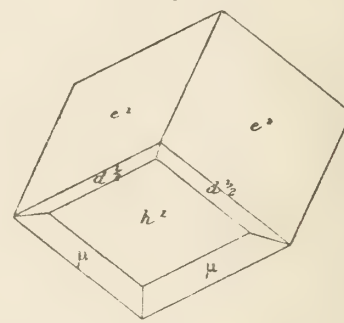


Fig. 62.

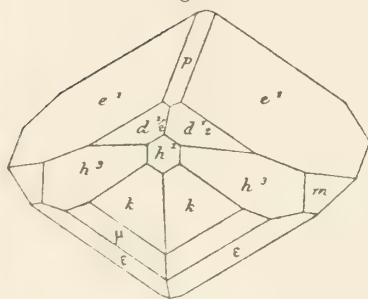


Fig. 63.

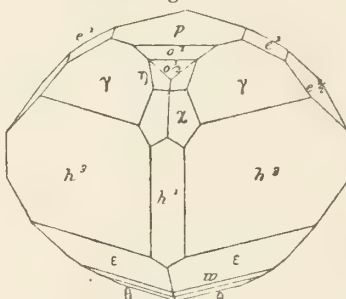


Fig. 64.

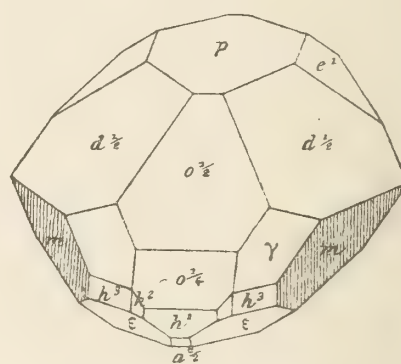


Fig. 65.

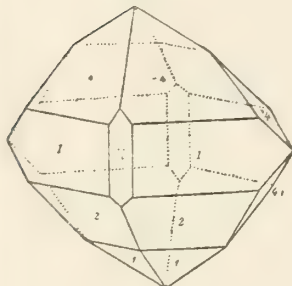


Fig. 66.

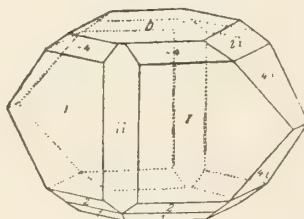


Fig. 67.



Fig. 68.



Fig. 69.

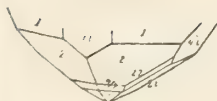


Fig. 70.

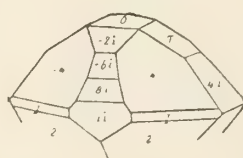


Fig. 71.



Fig. 72.

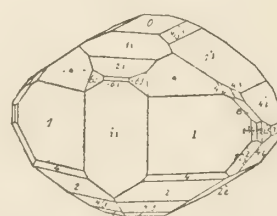


Fig. 73.



Datolith

Fig. 74.



Fig. 75.



Fig. 76.



Fig. 77.

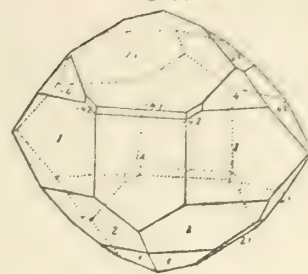


Fig. 78.

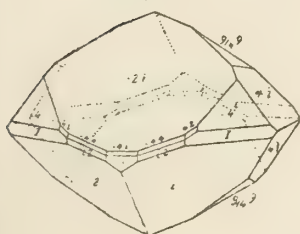


Fig. 79.



Fig. 80.

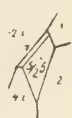


Fig. 81.

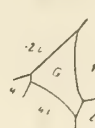


Fig. 83.

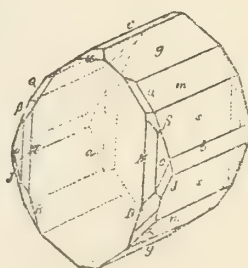


Fig. 84.

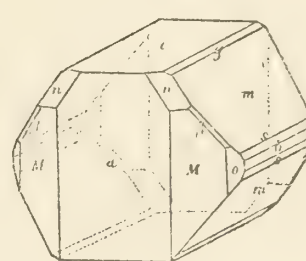


Fig. 82.

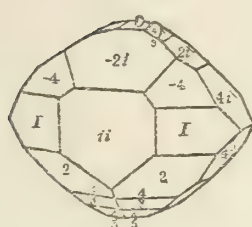


Fig. 85.

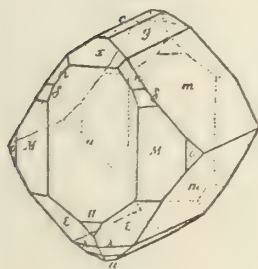


Fig. 86.

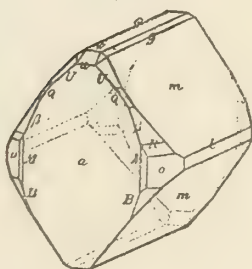


Fig. 87.

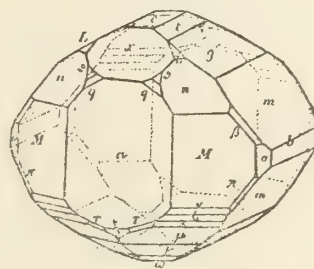


Fig. 88.



Fig. 89.

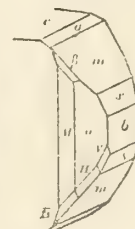


Fig. 90.



Fig. 92.

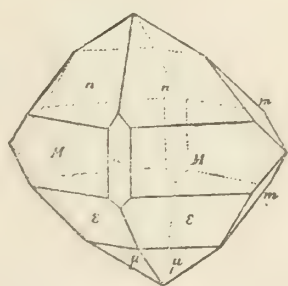


Fig. 93.

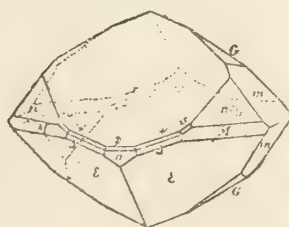


Fig. 94.

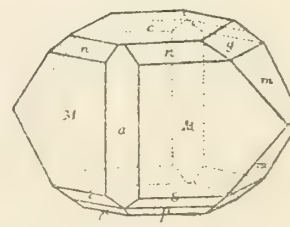


Fig. 91.



Datolith

Fig. 108.

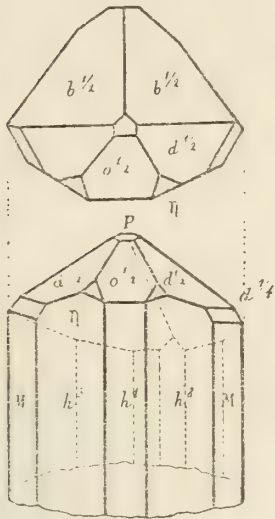


Fig. 109.

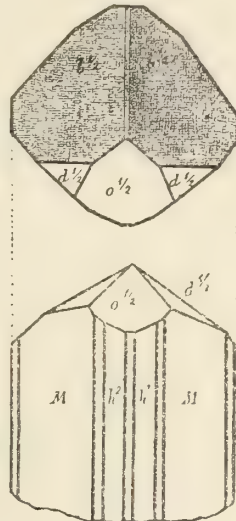


Fig. 110.

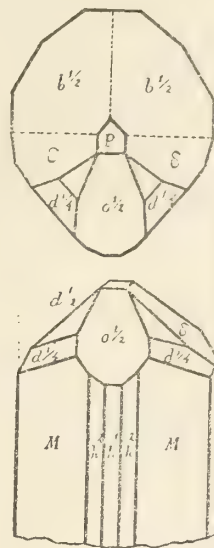


Fig. 111.

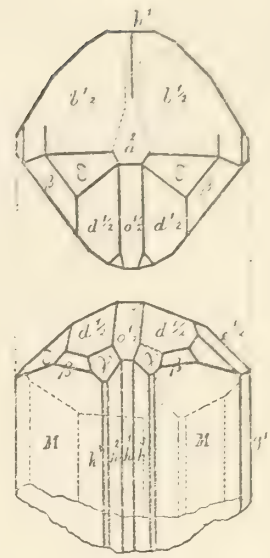


Fig. 112.

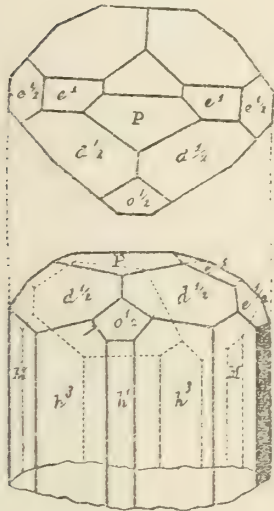


Fig. 113.

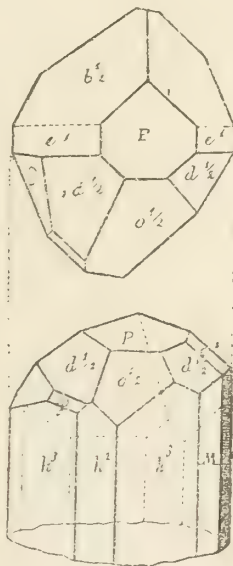


Fig. 114.

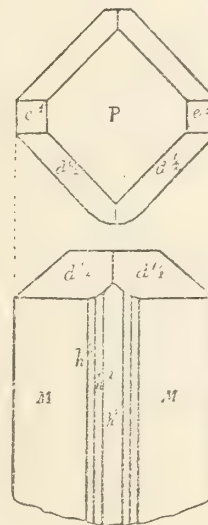


Fig. 115.

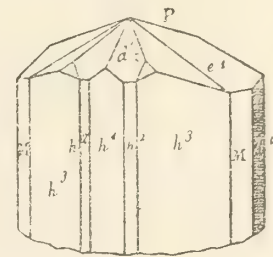


Fig. 116.

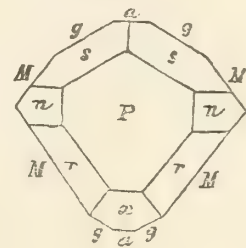


Fig. 118.

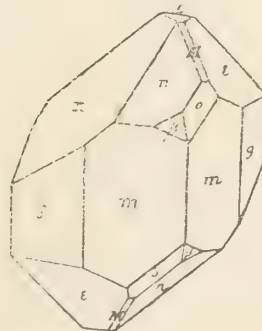


Fig. 119.

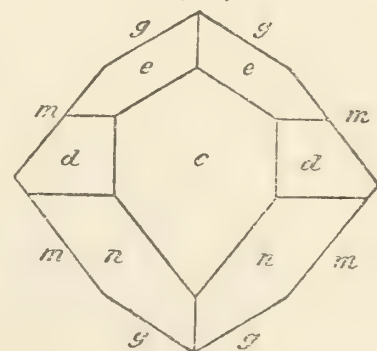
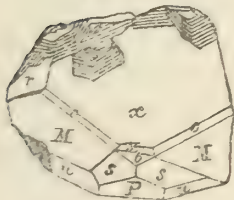


Fig. 117.



Datolith

Fig. 120.

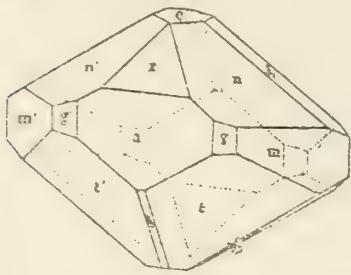


Fig. 121.

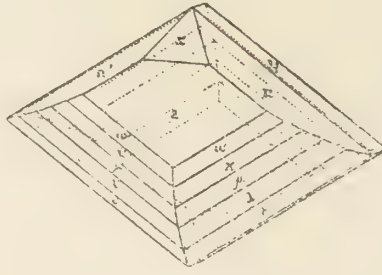


Fig. 122.

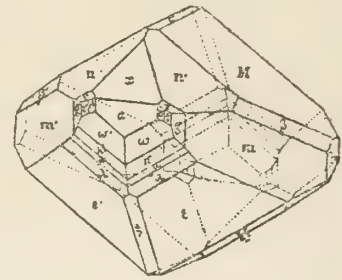


Fig. 123.

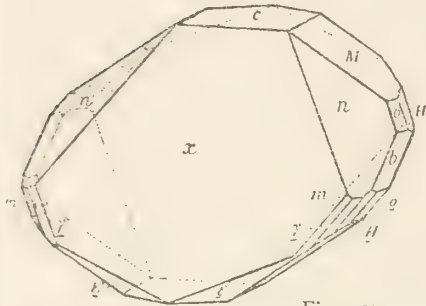


Fig. 124.

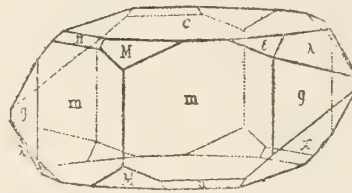


Fig. 125.

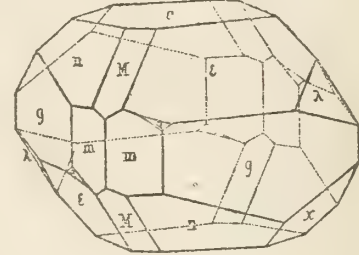


Fig. 127.

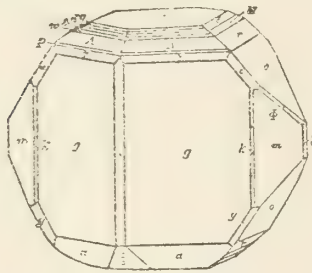


Fig. 126.



Fig. 128.

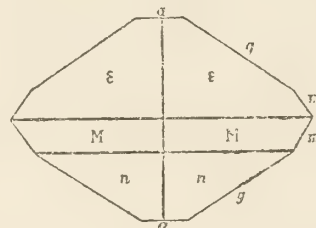


Fig. 129.

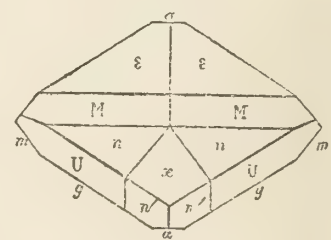


Fig. 130.

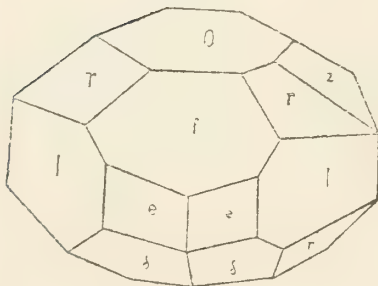


Fig. 131.

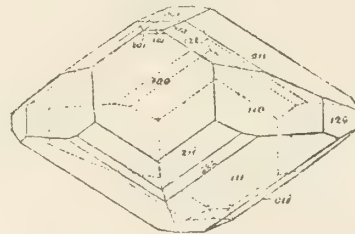


Fig. 132.

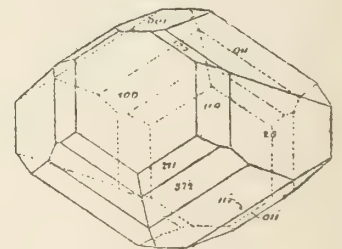
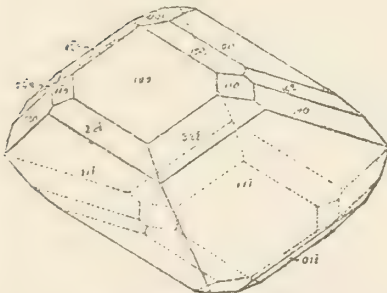


Fig. 133.



Datolith

Fig. 136.

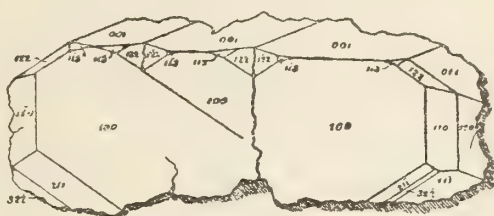


Fig. 137.

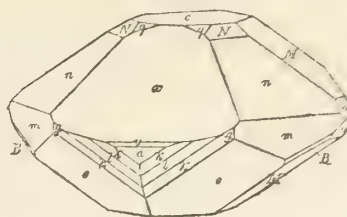


Fig. 138.

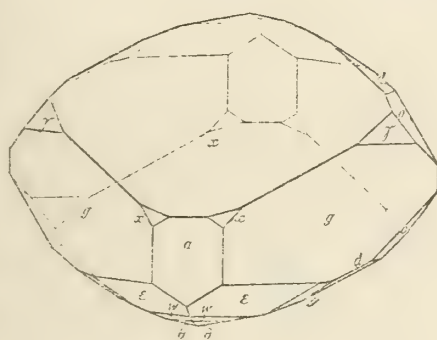


Fig. 139.

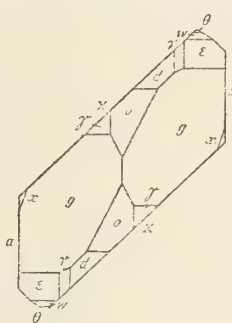


Fig. 140.

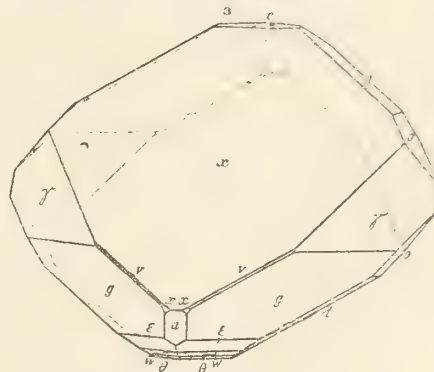


Fig. 141.

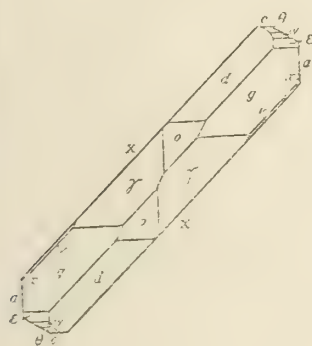


Fig. 142.

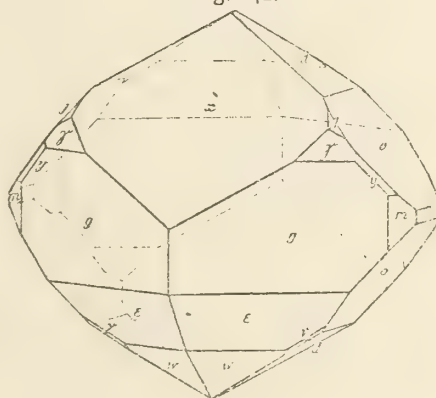


Fig. 143.

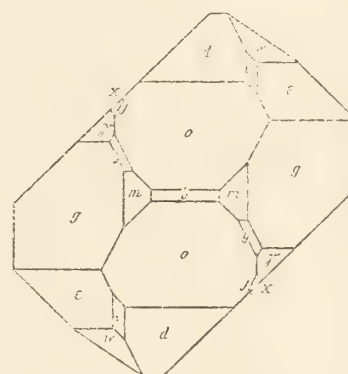


Fig. 144.

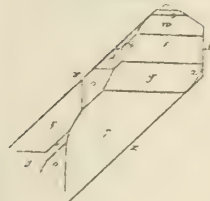


Fig. 145.

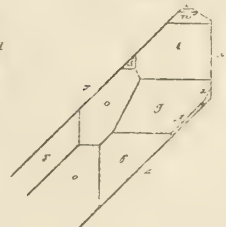


Fig. 146.

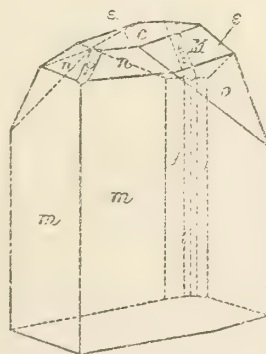
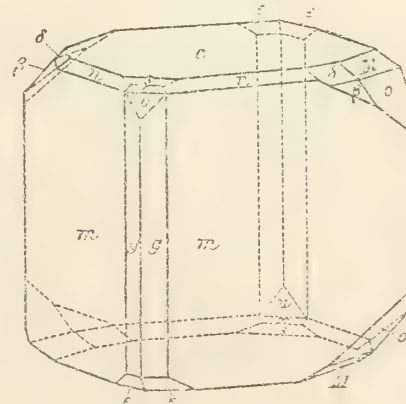


Fig. 147.



Datolith

Fig. 148.

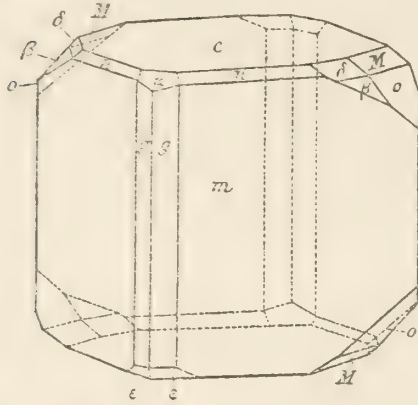


Fig. 149.

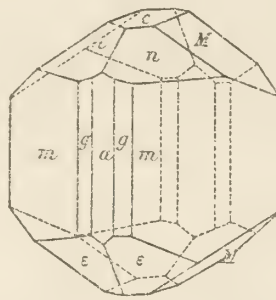


Fig. 150.

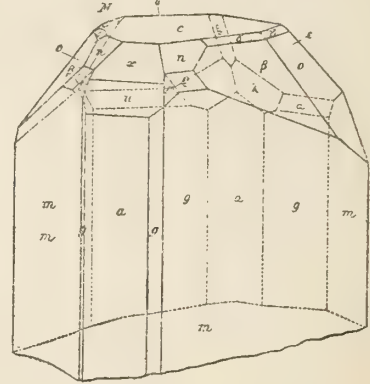


Fig. 151.

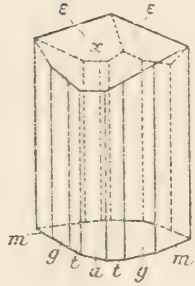


Fig. 152.

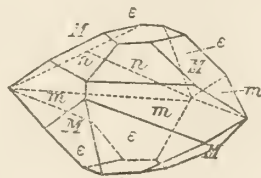


Fig. 153.

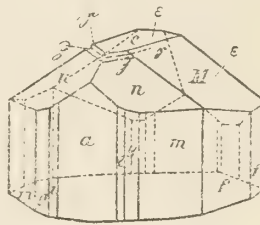


Fig. 154.

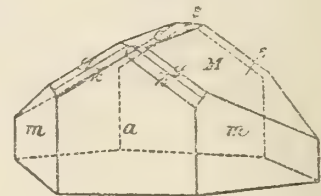


Fig. 155.

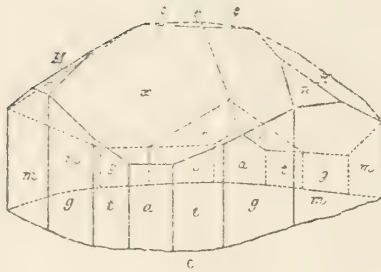


Fig. 156.

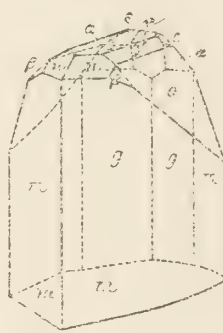


Fig. 157.

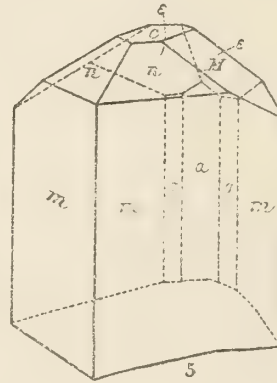


Fig. 158.

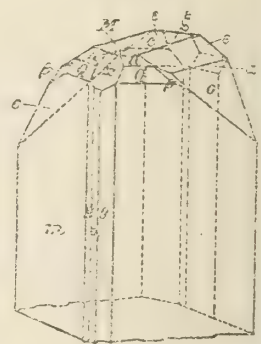


Fig. 159.

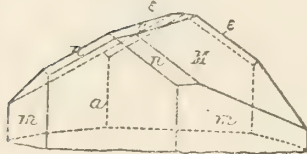


Fig. 160.

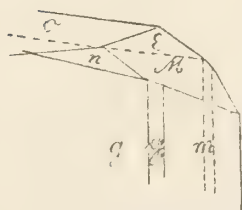


Fig. 161.

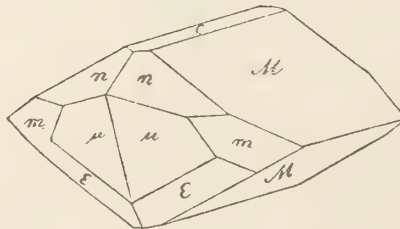
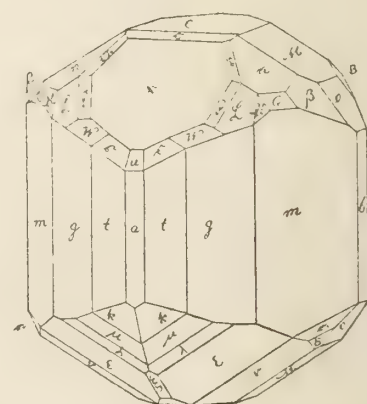


Fig. 162.



Datolith

Fig. 163.

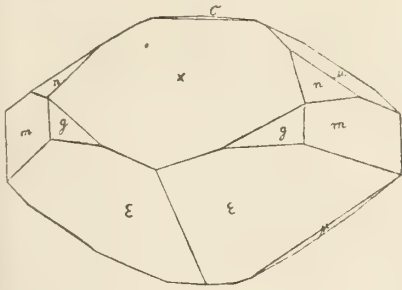


Fig. 164.

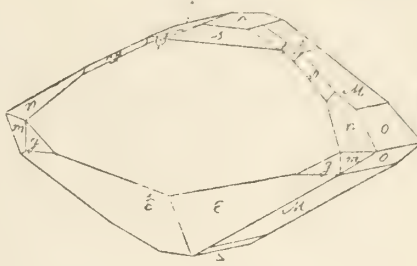


Fig. 165.

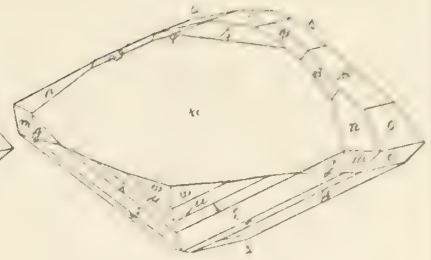


Fig. 167.

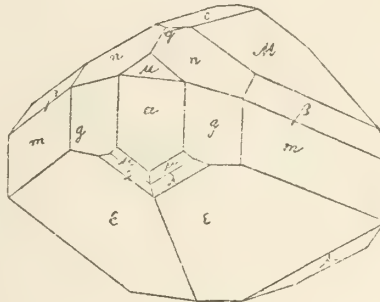


Fig. 168.

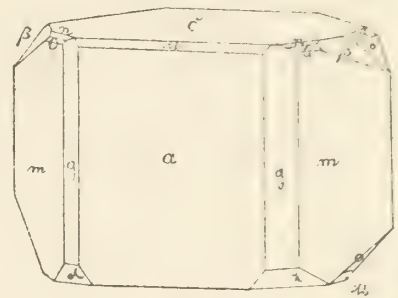


Fig. 166.

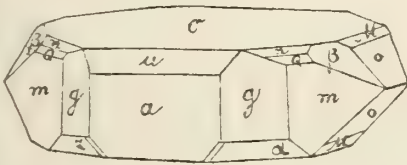


Fig. 169.

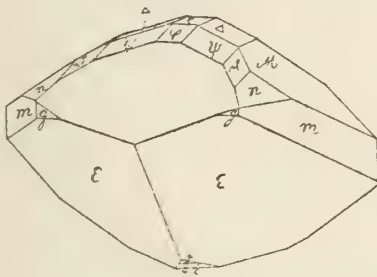


Fig. 170.

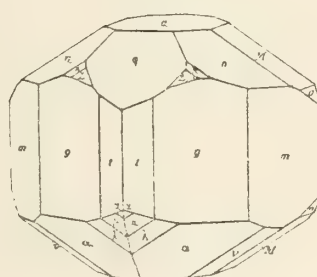


Fig. 171.

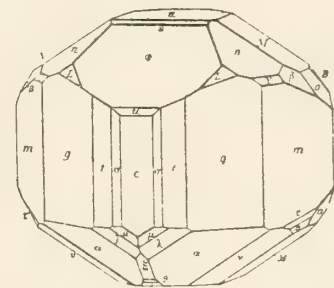


Fig. 172.

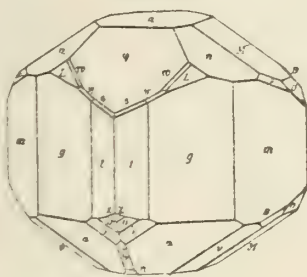


Fig. 173.

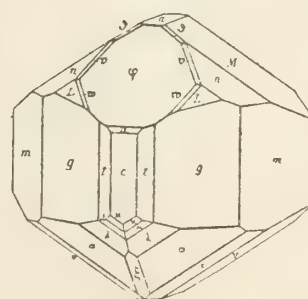


Fig. 174.

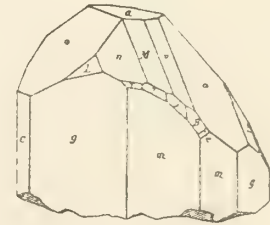


Fig. 175.

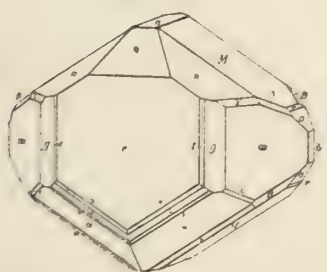


Fig. 176.

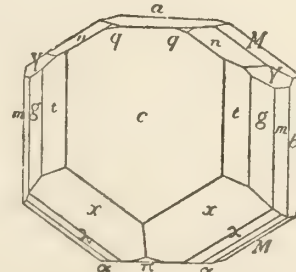
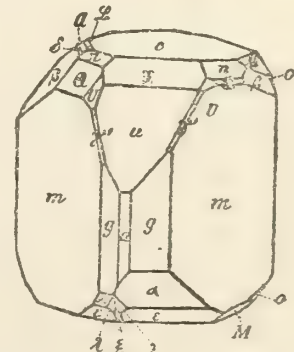


Fig. 177.



Datolith

Fig. 178.

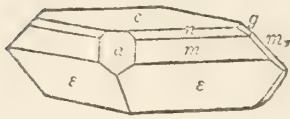


Fig. 179.

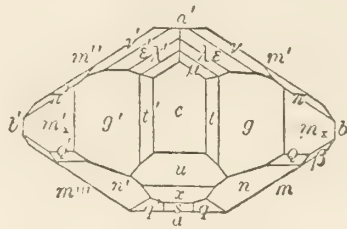


Fig. 180.

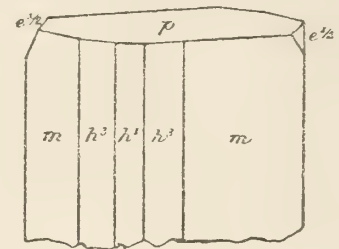


Fig. 181.

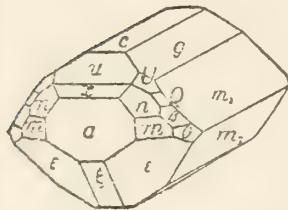


Fig. 182.

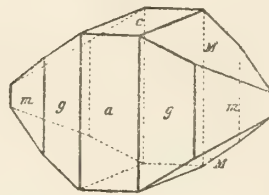


Fig. 183.

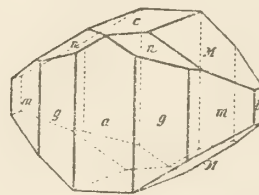


Fig. 184.

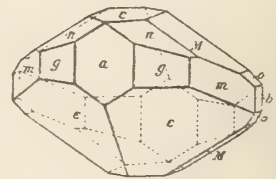


Fig. 185.

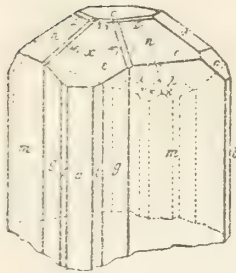


Fig. 186.

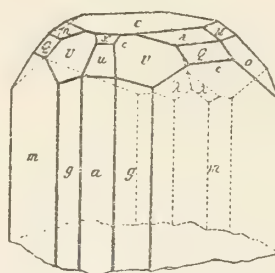


Fig. 187.

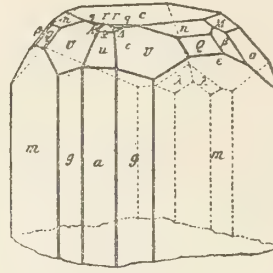


Fig. 188.

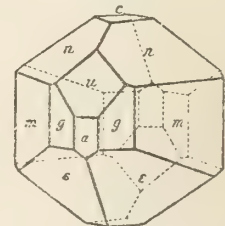


Fig. 189.

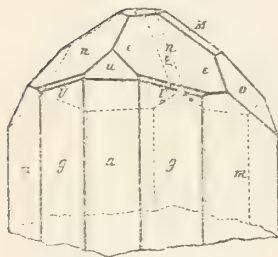


Fig. 190.

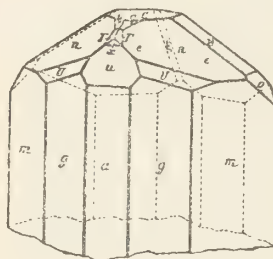


Fig. 191.

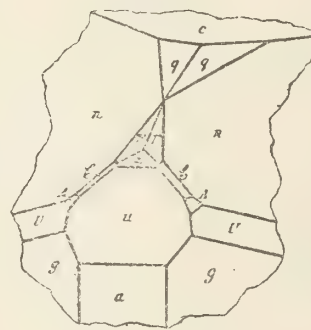


Fig. 192.



Fig. 193.

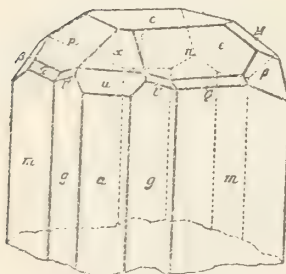


Fig. 194.

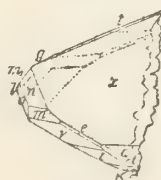


Fig. 195.

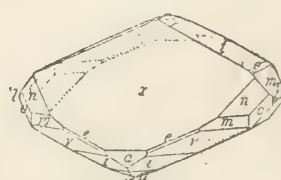
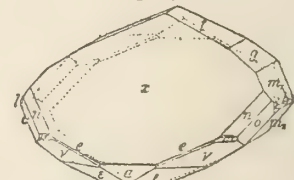


Fig. 196.



Datolith

Fig. 197.

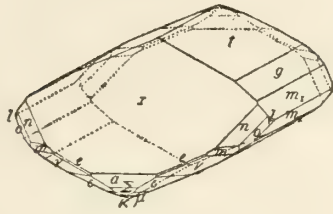


Fig. 198.

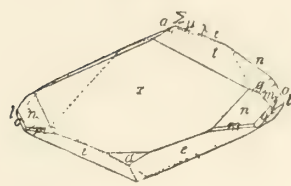


Fig. 199.

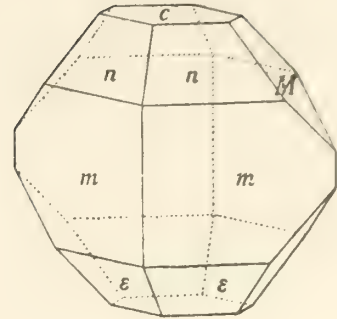


Fig. 201.

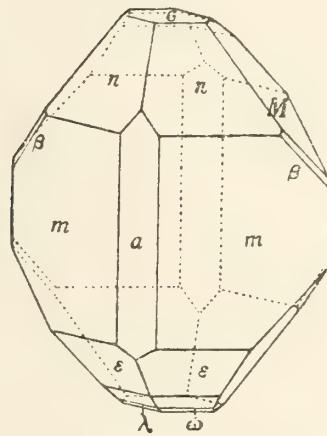


Fig. 202.

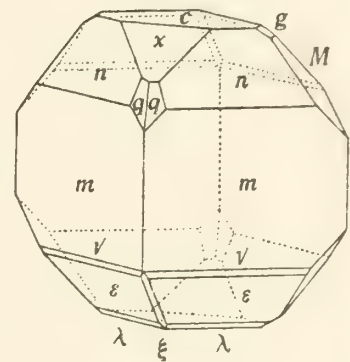


Fig. 200.

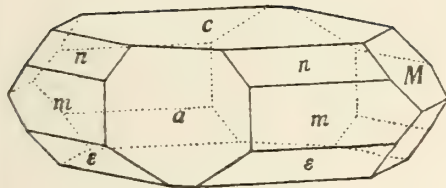


Fig. 203.

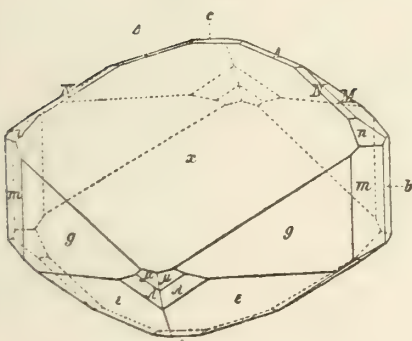


Fig. 204.

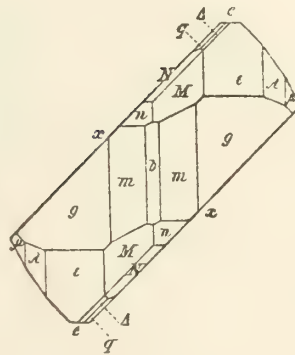


Fig. 205.

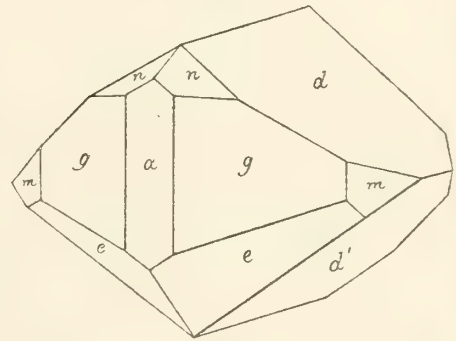


Fig. 206.

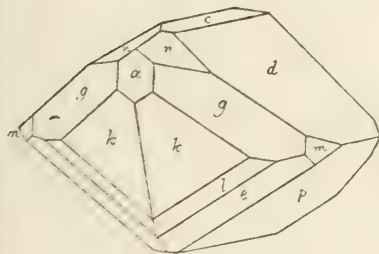


Fig. 207.

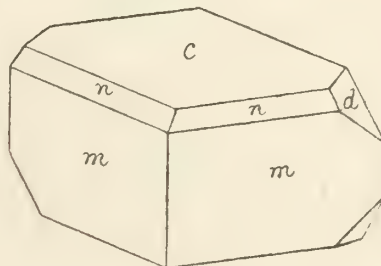
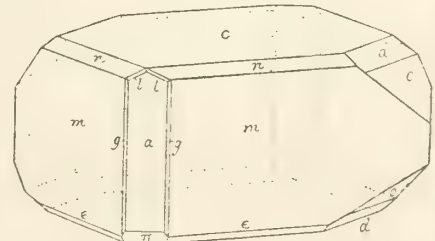


Fig. 208.



Datolith

Fig. 209.

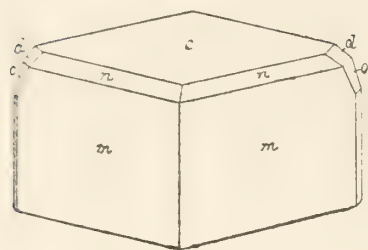


Fig. 210.

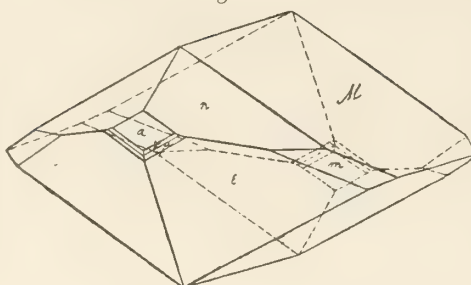


Fig. 211.

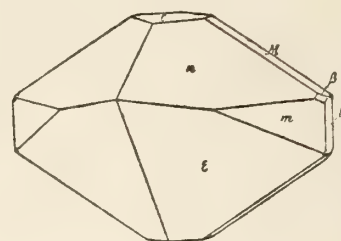


Fig. 212.

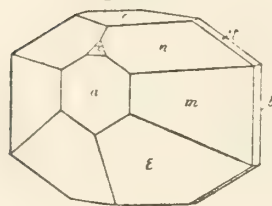


Fig. 213.

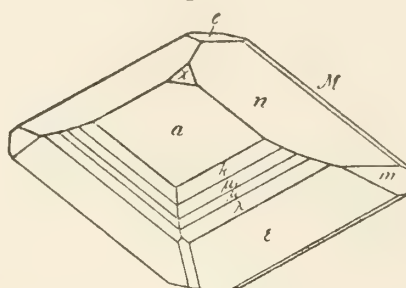


Fig. 214.

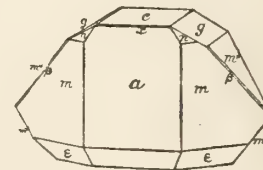


Fig. 215.

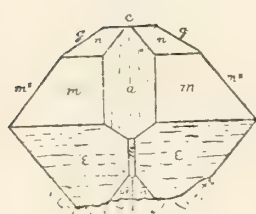


Fig. 216.

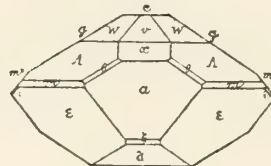


Fig. 217.

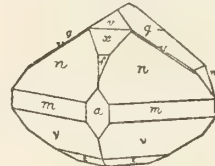


Fig. 218.

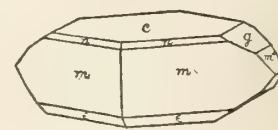


Fig. 219.

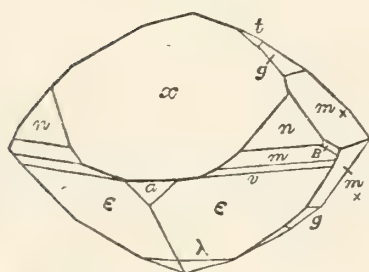


Fig. 220.

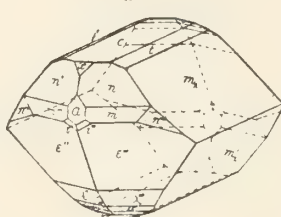


Fig. 221.

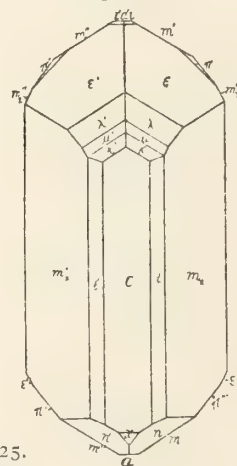


Fig. 222.



Fig. 223.

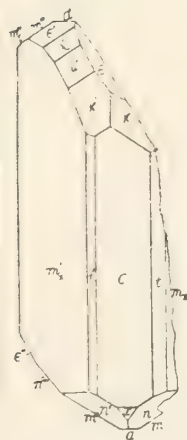


Fig. 224.

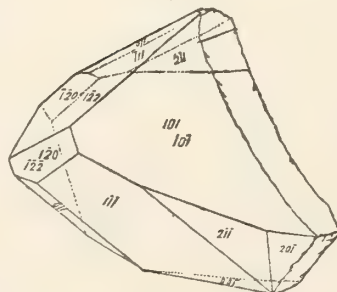


Fig. 225.

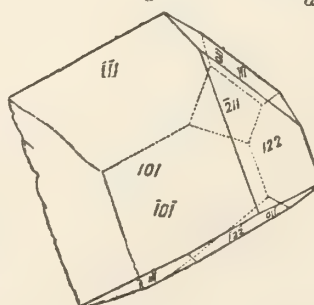
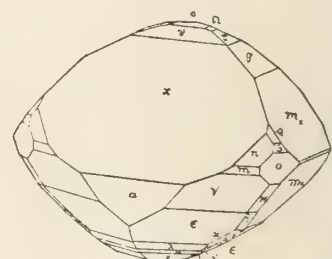


Fig. 226.



Datolith

Fig. 227.

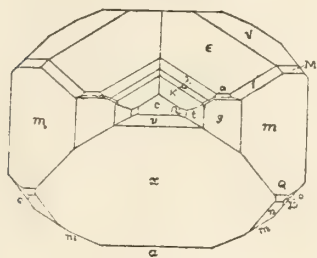


Fig. 228.

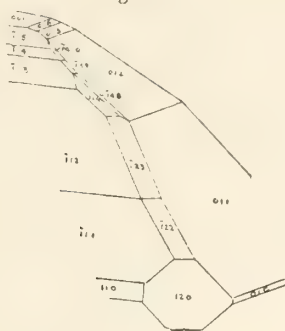


Fig. 229.



Fig. 230.

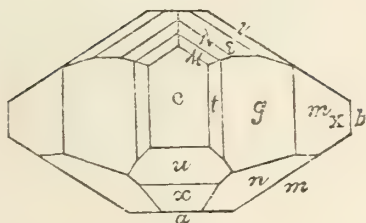


Fig. 231.

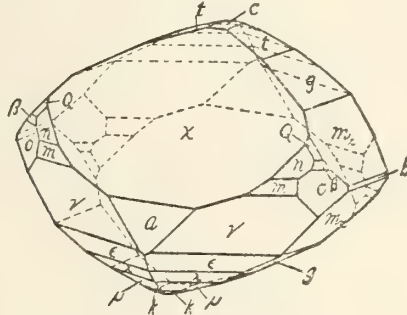


Fig. 232.

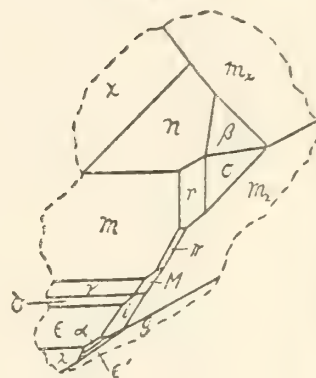


Fig. 233.

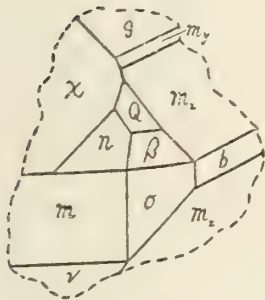


Fig. 234.

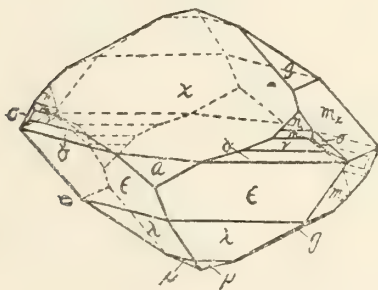


Fig. 235.

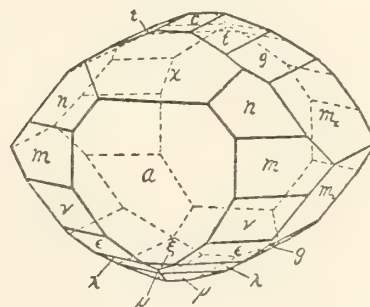


Fig. 236.

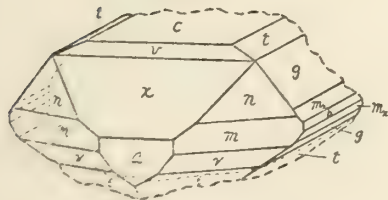


Fig. 237.

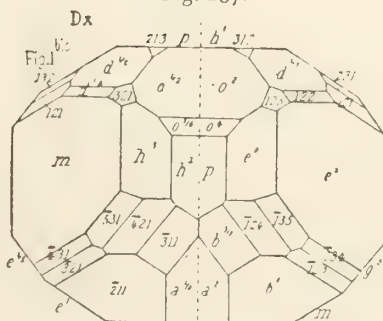
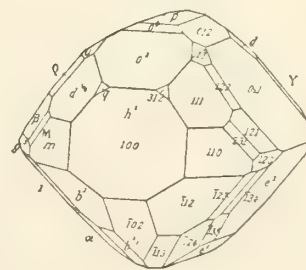


Fig. 238.



Datolith

Fig. 239.

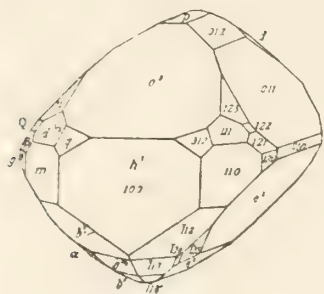


Fig. 240.

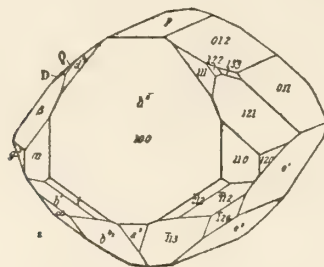
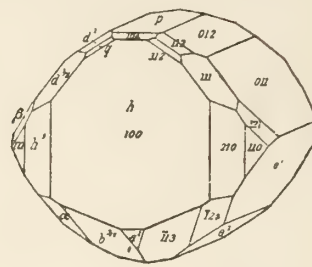


Fig. 241.



Datolith

Fig. 257.

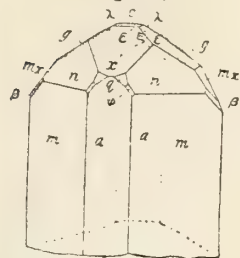


Fig. 258.



Fig. 259.

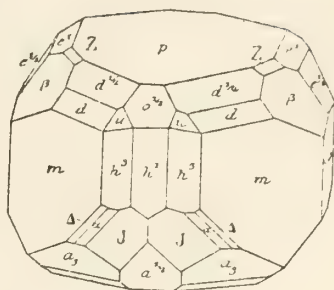


Fig. 260.

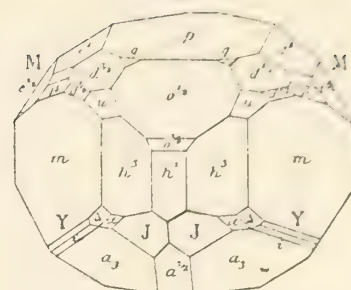


Fig. 261.

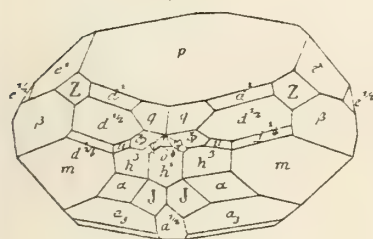


Fig. 262.

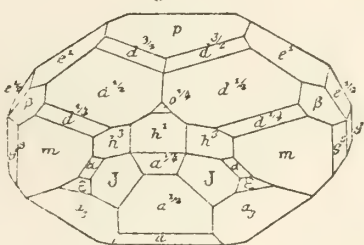


Fig. 263.

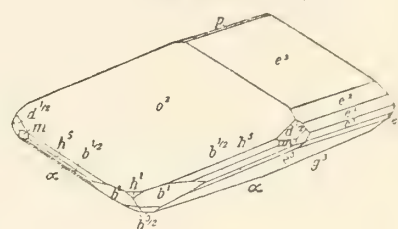


Fig. 264.

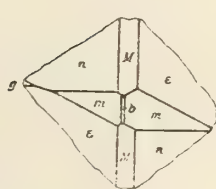


Fig. 265.

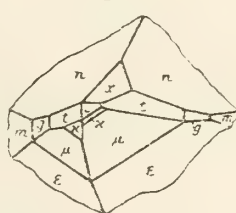


Fig. 266.

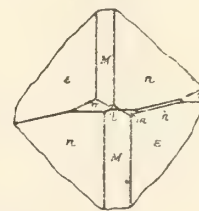


Fig. 267.

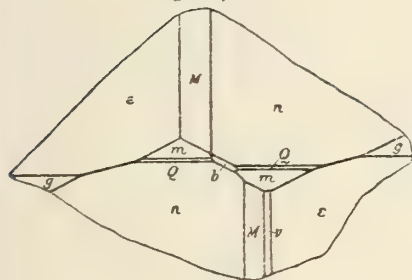


Fig. 268.

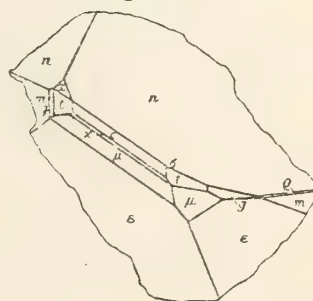


Fig. 269.

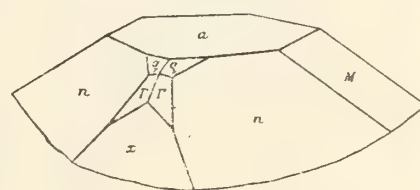


Fig. 270.

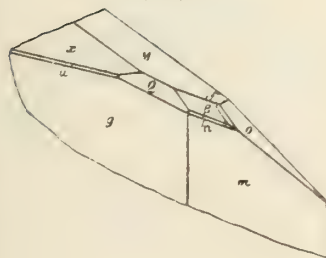


Fig. 271.

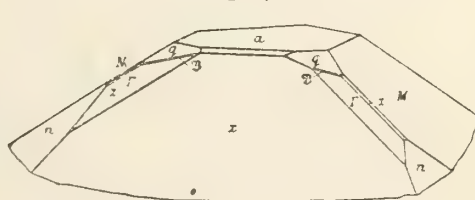
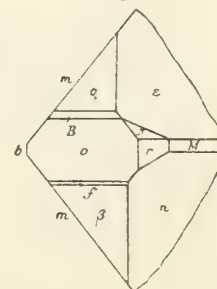


Fig. 272.



Datolith

Fig. 273.

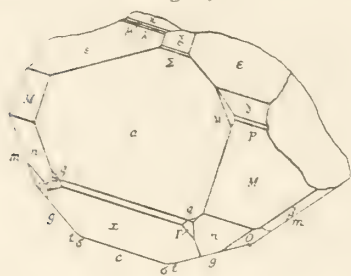


Fig. 274.

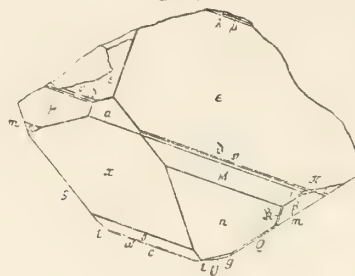


Fig. 275.

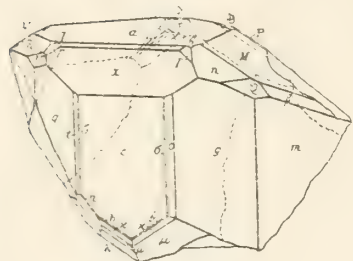
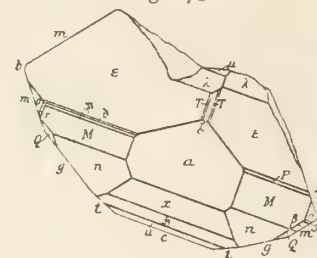


Fig. 276.

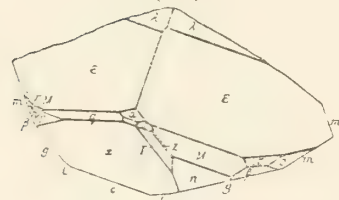


Fig. 277.

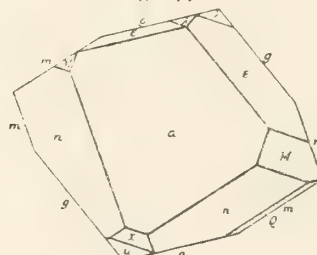


Fig. 278.

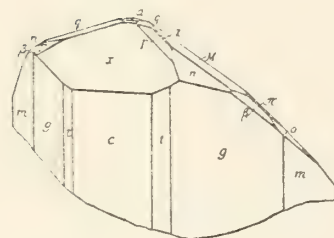
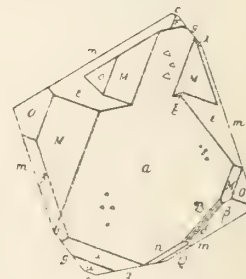


Fig. 279.

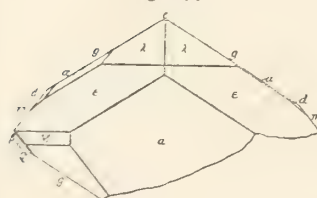


Fig. 280.

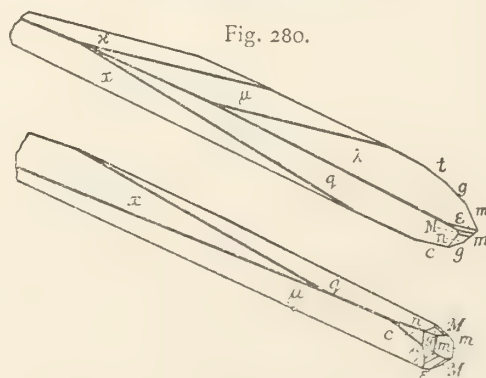
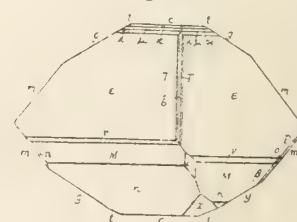


Fig. 281.



Datolith Fig. 282.

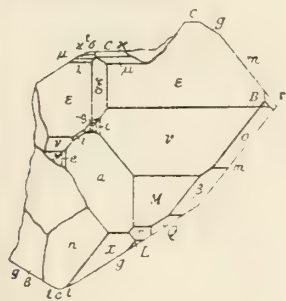


Fig. 283.

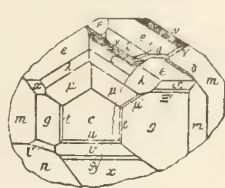


Fig. 284.

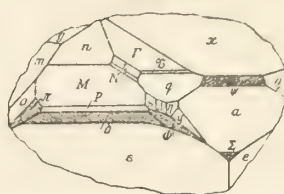
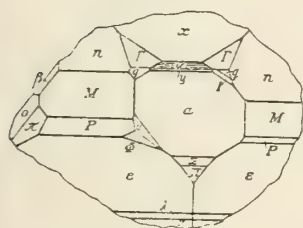


Fig. 285.



Fig. 286.



Daviesit

Fig. 1.

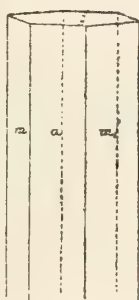


Fig. 2.

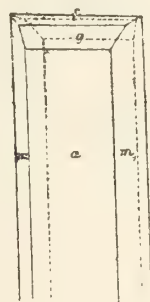


Fig. 3.

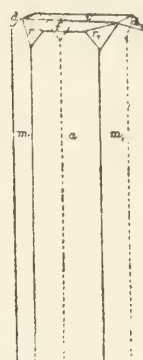
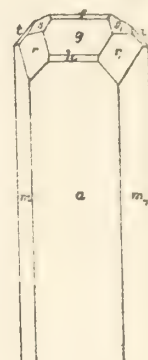


Fig. 4.



Delorenzit

Fig. 1.

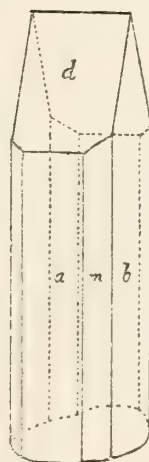
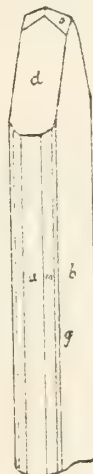
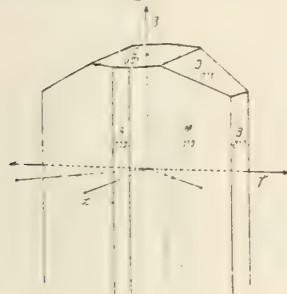


Fig. 2.



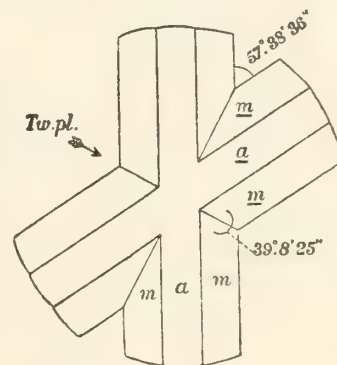
Dawsonit

Fig. 1.



Derbylith

Fig. 1.



Descloizit

Fig. 1.

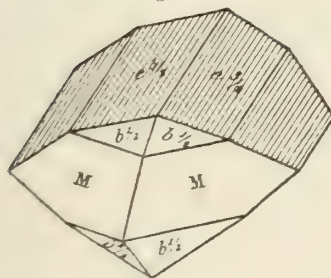


Fig. 2.

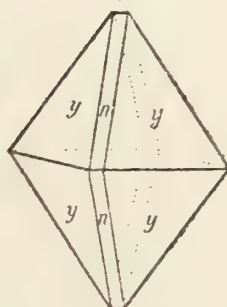


Fig. 3.

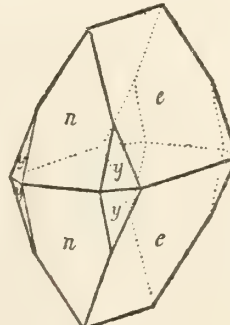
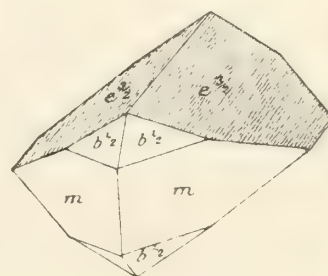


Fig. 4.



Descloizit

Fig. 5.

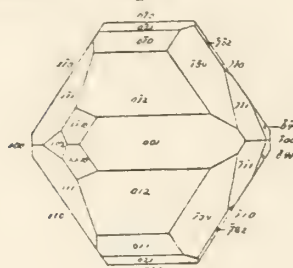


Fig. 6.

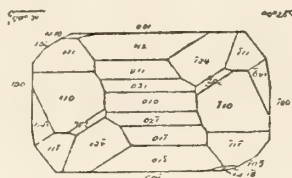
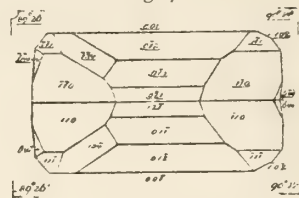


Fig. 7.



Descloizit

Fig. 23.

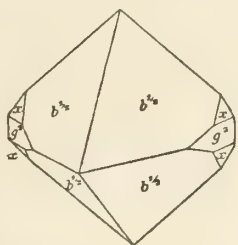


Fig. 24.

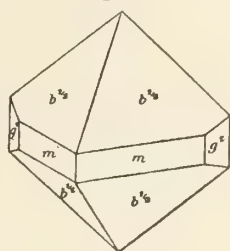


Fig. 25.

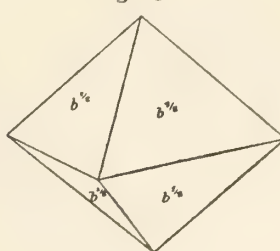
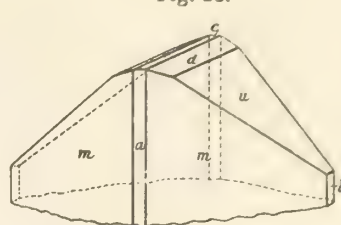


Fig. 26.



Desmin

Fig. 1.

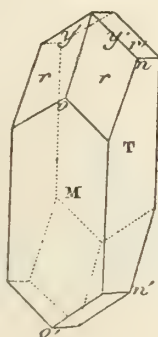


Fig. 2.

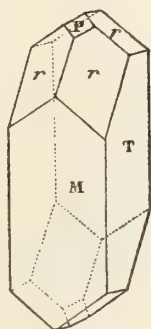


Fig. 3.

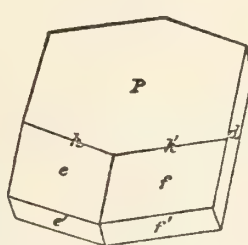


Fig. 4.

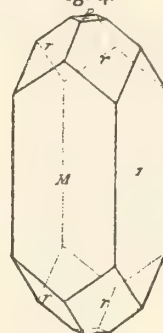


Fig. 5.

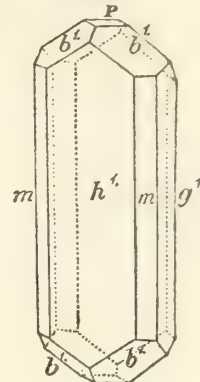


Fig. 6.

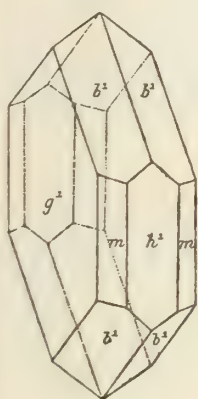


Fig. 7.

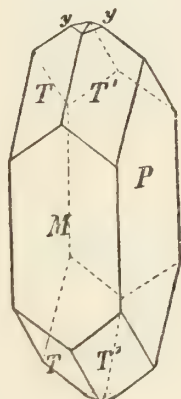


Fig. 8.



Fig. 9.

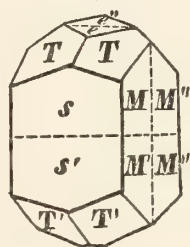


Fig. 10.

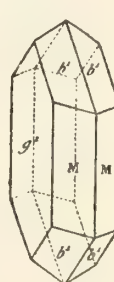


Fig. 11.



Fig. 12.

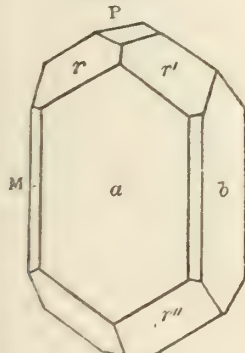


Fig. 13.

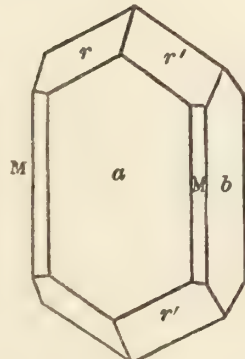


Fig. 14.

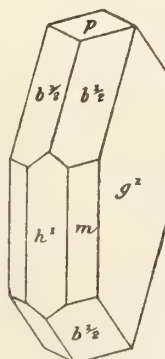


Fig. 15.

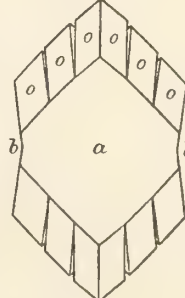
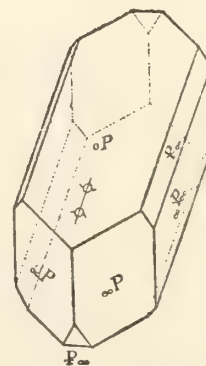


Fig. 16.



Desmin

Fig. 17.

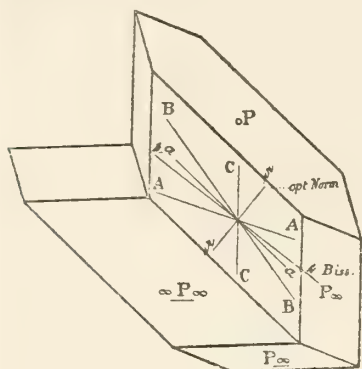


Fig. 18.

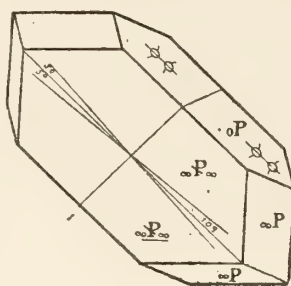


Fig. 19.

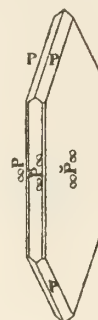


Fig. 20.

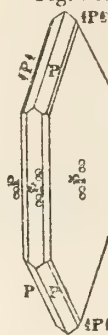


Fig. 21.



Fig. 23.

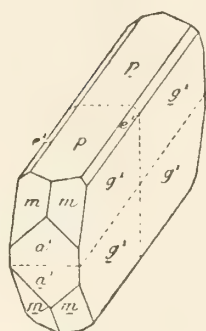


Fig. 24.

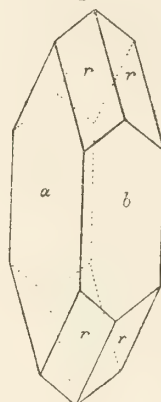


Fig. 25.

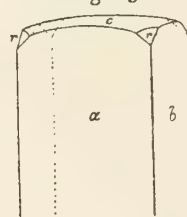


Fig. 26.



Fig. 27.

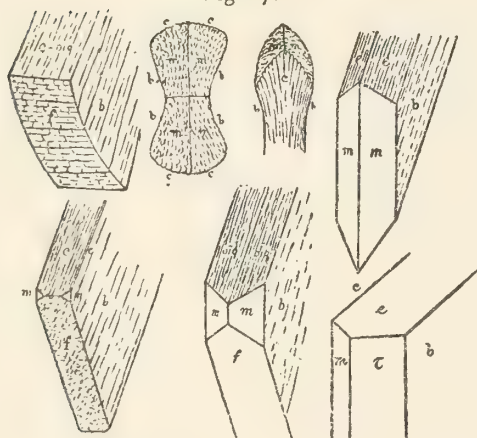


Fig. 28.

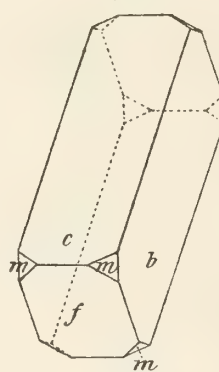


Fig. 29.

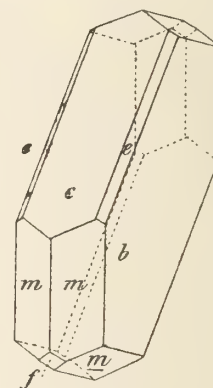


Fig. 30.

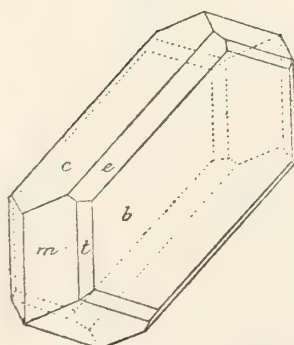


Fig. 31.

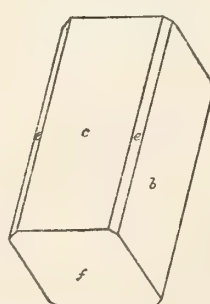


Fig. 32.

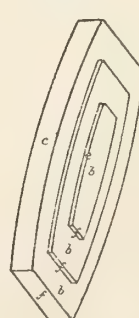
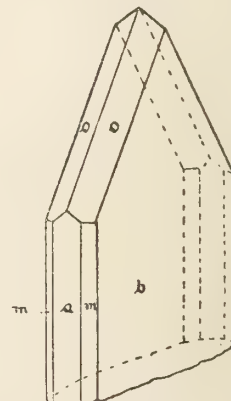


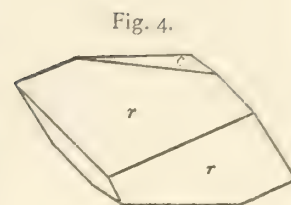
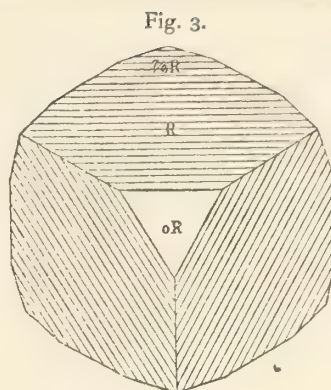
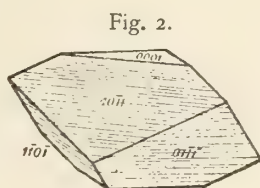
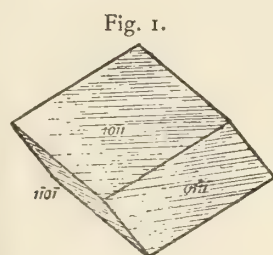
Fig. 33.



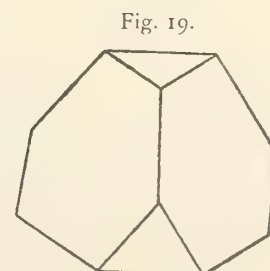
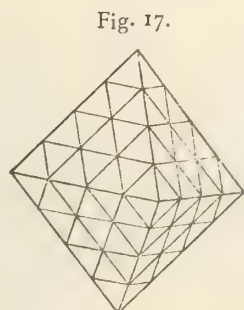
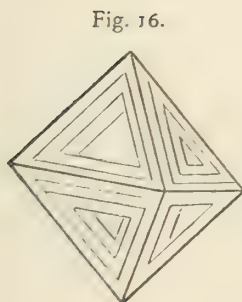
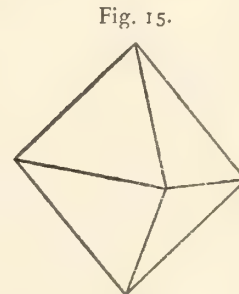
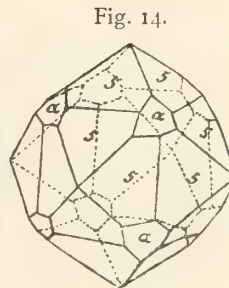
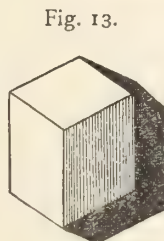
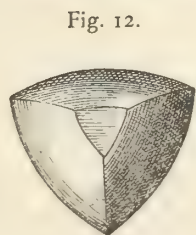
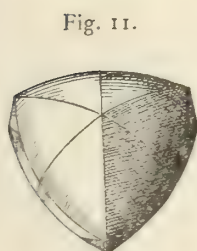
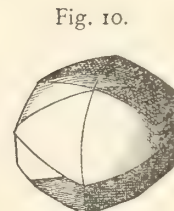
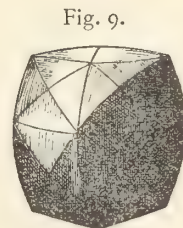
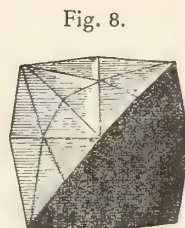
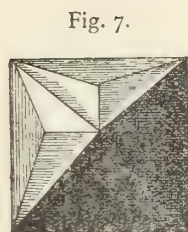
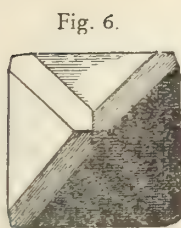
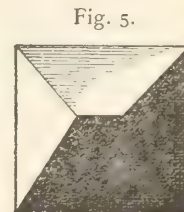
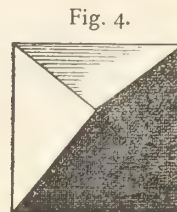
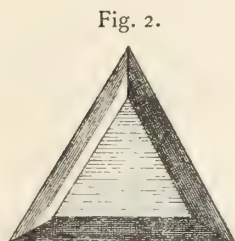
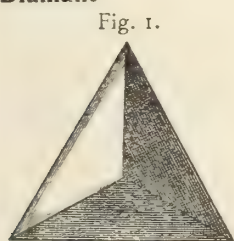
Fig. 34.



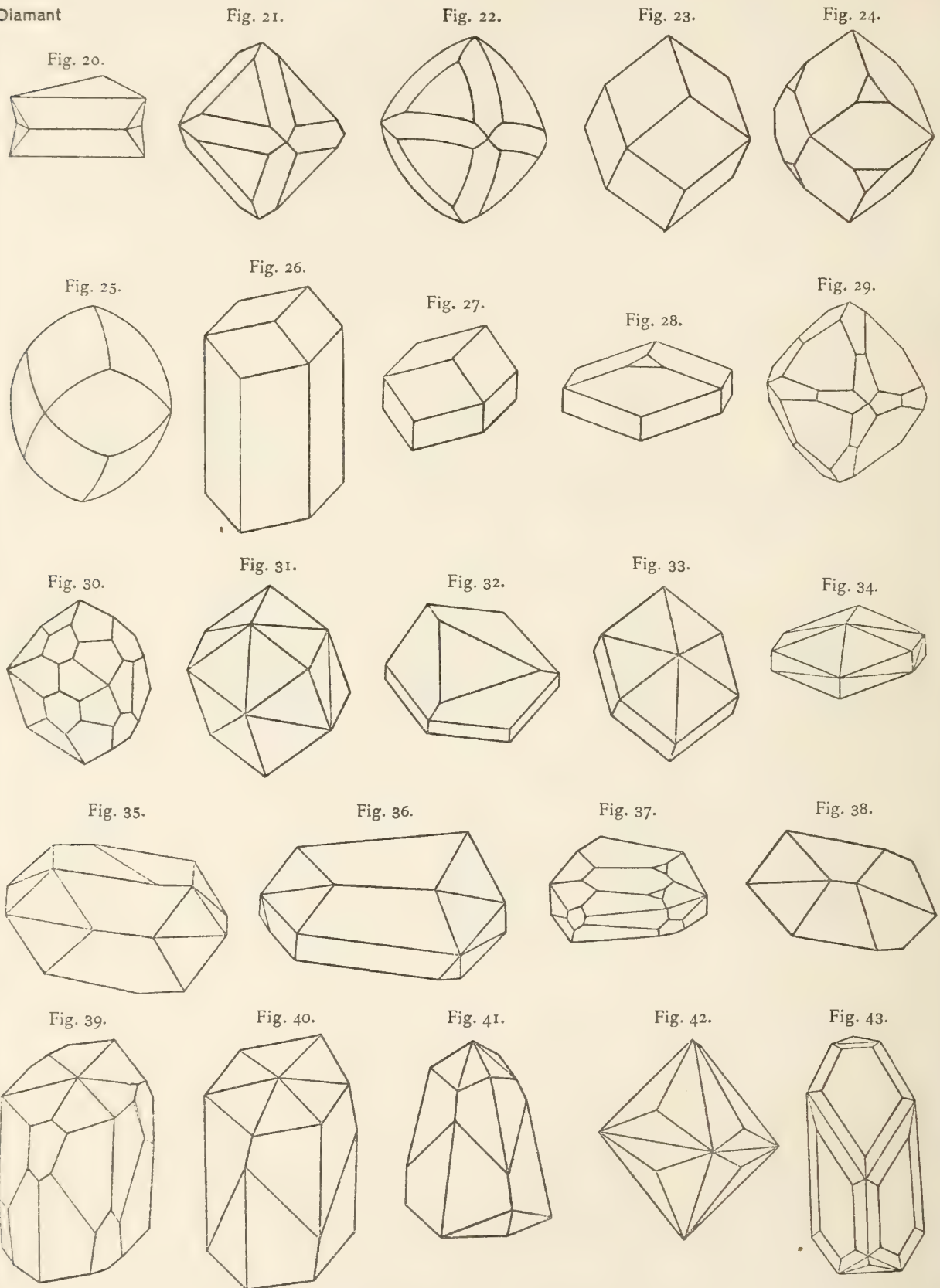
Diadelphit



Diamant



Diamant



Diamant

Fig. 44.

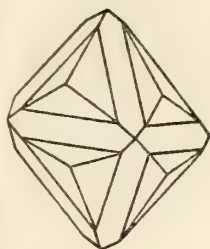


Fig. 45.

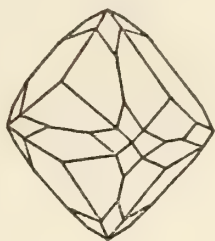


Fig. 46.

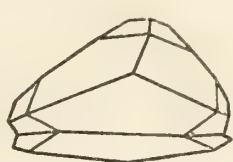


Fig. 47.



Fig. 48.

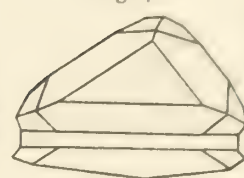


Fig. 49.

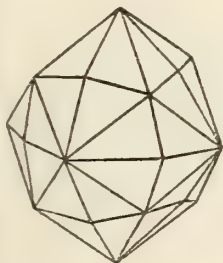


Fig. 50.

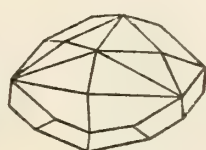


Fig. 51.

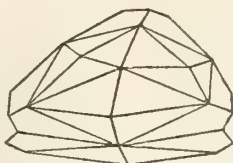


Fig. 52.

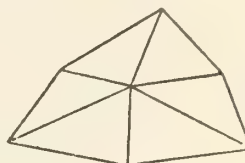


Fig. 53.

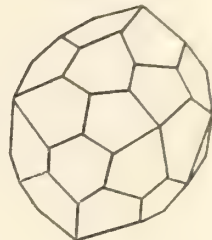


Fig. 55.

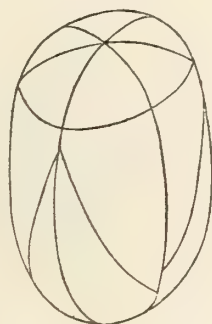


Fig. 56.

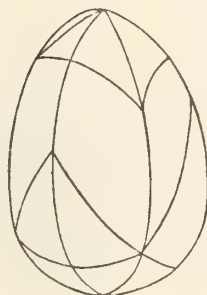


Fig. 57.

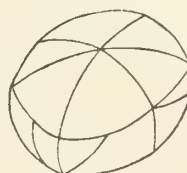


Fig. 58.

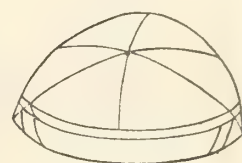


Fig. 54.

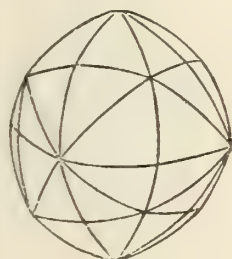


Fig. 59.



Fig. 60.

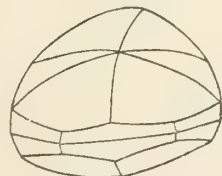


Fig. 61.

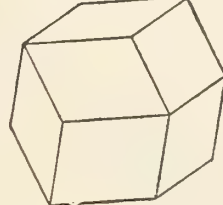


Fig. 62.



Fig. 63.

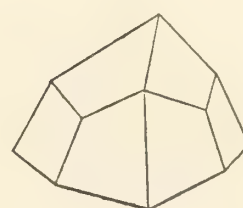


Fig. 64.

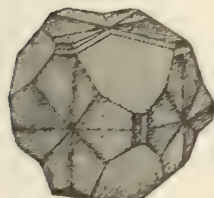


Fig. 65.

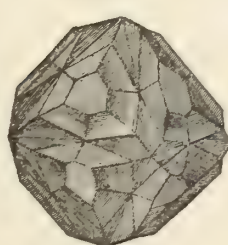


Fig. 66.



Fig. 67.

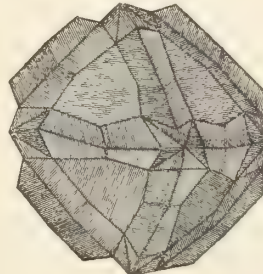
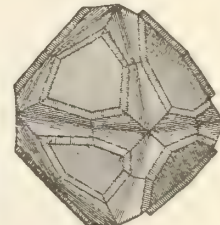


Fig. 68.



Diamant
Fig. 69.

Fig. 70.

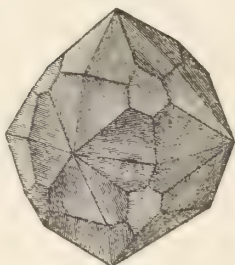


Fig. 71.

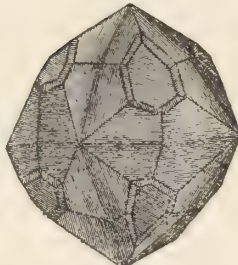


Fig. 72.

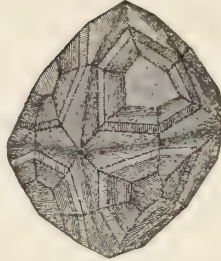


Fig. 73.

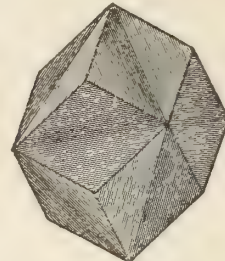


Fig. 74.

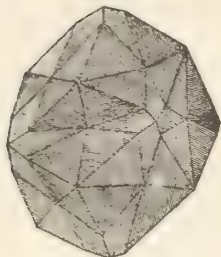


Fig. 75.



Fig. 76.

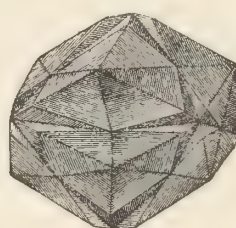


Fig. 77.

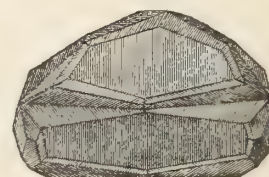


Fig. 78.

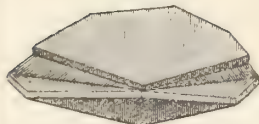


Fig. 79.

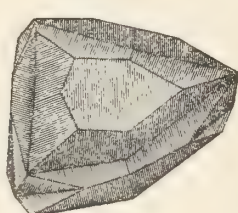


Fig. 80.

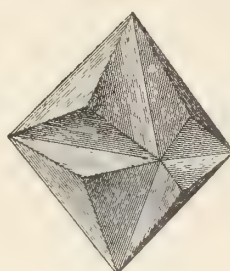


Fig. 81.

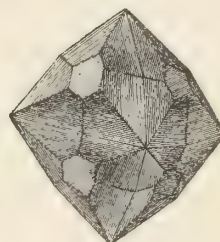


Fig. 82.

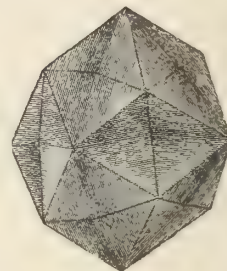


Fig. 83.

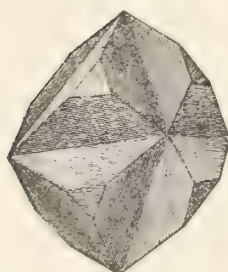


Fig. 84.



Fig. 86.

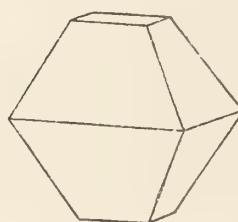


Fig. 87.

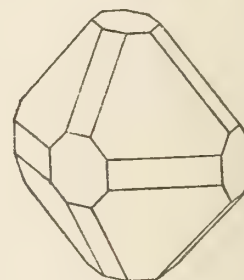


Fig. 85.

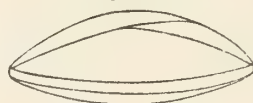


Fig. 88.

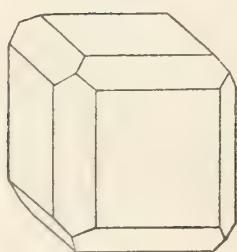


Fig. 89.

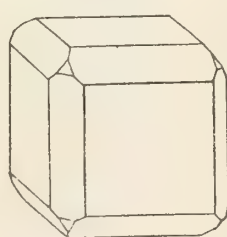


Fig. 90.

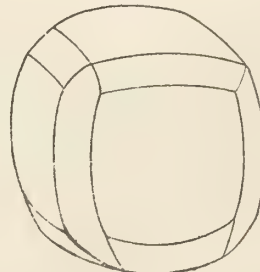
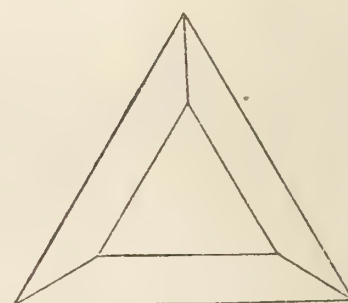


Fig. 91.



Diamant

Fig. 92.

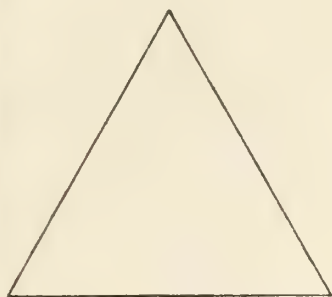


Fig. 93.

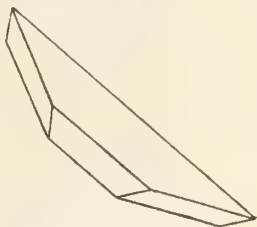


Fig. 94.

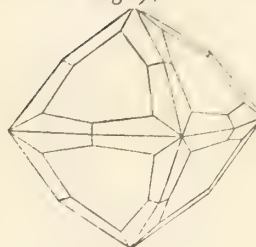


Fig. 95.

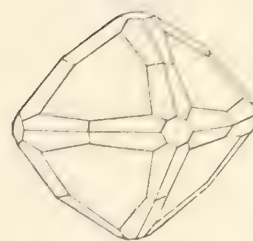


Fig. 96.

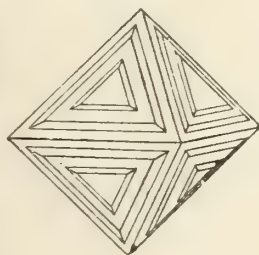


Fig. 97.

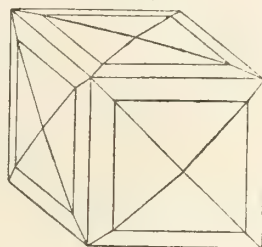


Fig. 98.

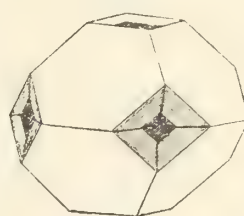


Fig. 99.

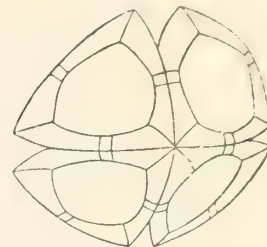


Fig. 100.

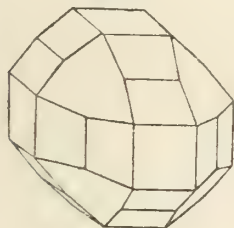


Fig. 101.

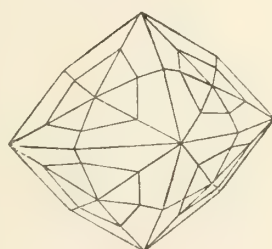


Fig. 102.

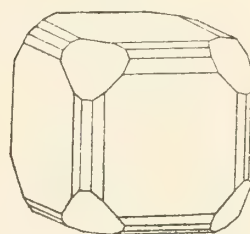


Fig. 103.

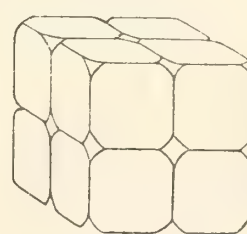


Fig. 104.

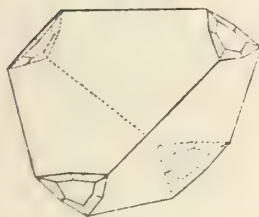


Fig. 105.

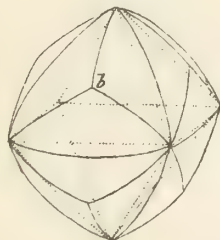


Fig. 106.

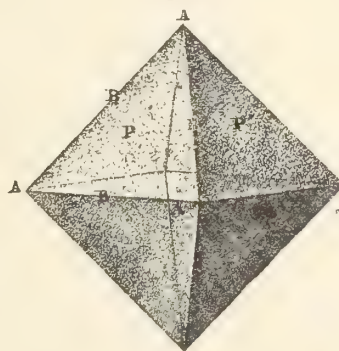


Fig. 107.

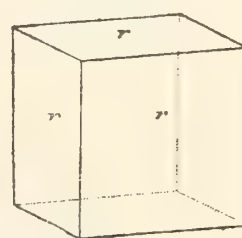


Fig. 108.

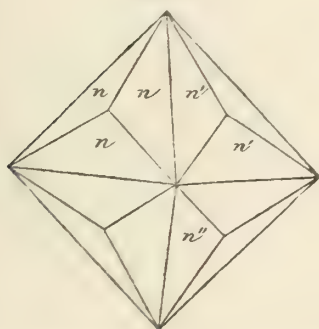


Fig. 109.

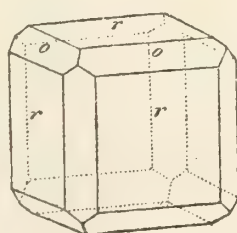
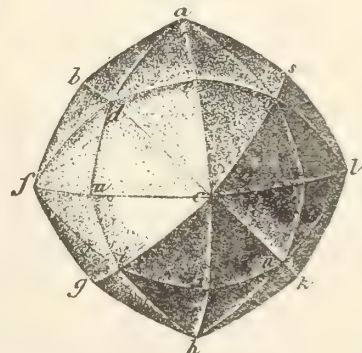


Fig. 110.



Diamant

Fig. 111.

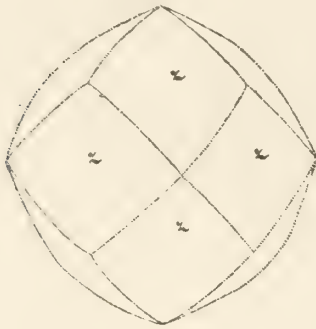


Fig. 112.

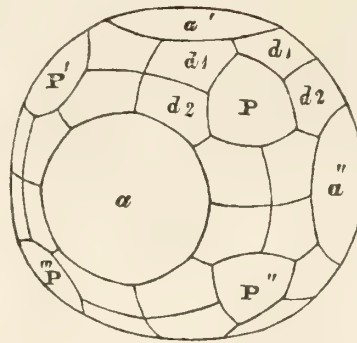


Fig. 113.

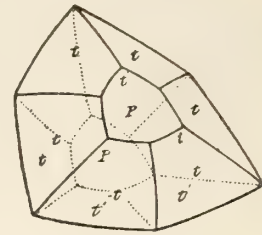


Fig. 114.

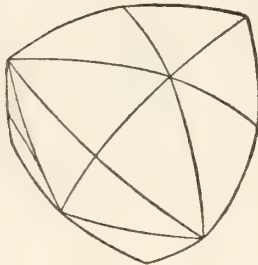


Fig. 115.

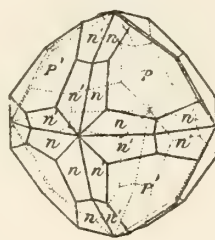


Fig. 116.

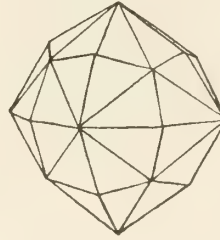


Fig. 117.

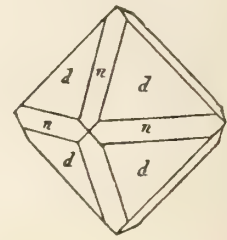


Fig. 118.

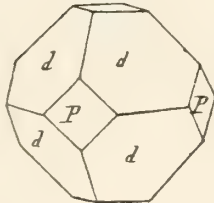


Fig. 119.

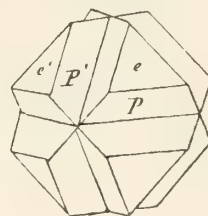


Fig. 120.

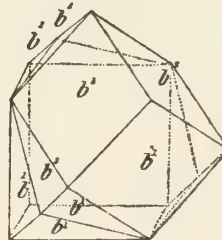


Fig. 121.

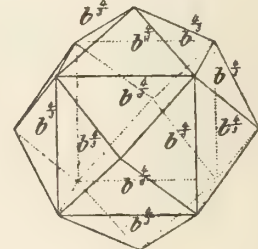


Fig. 122.

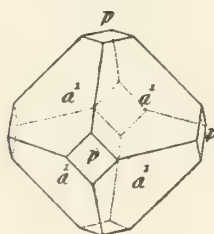


Fig. 123.

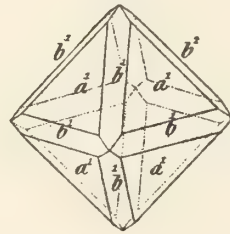


Fig. 124.

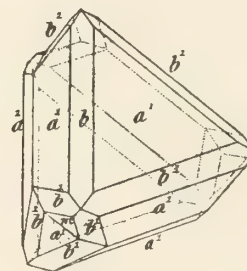


Fig. 125.

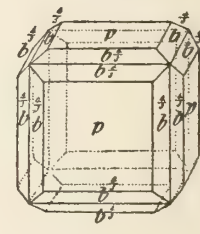


Fig. 126.

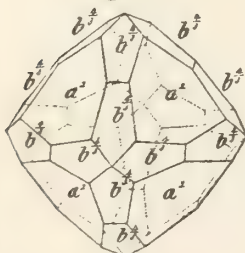


Fig. 127.

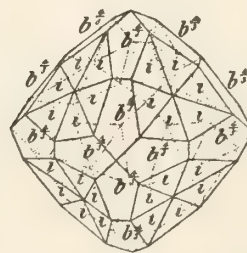


Fig. 128.

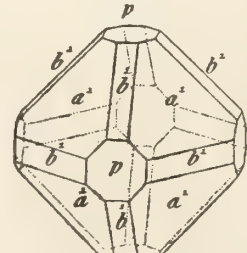
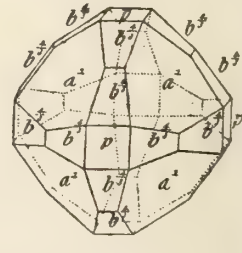


Fig. 129.



Diamant

Fig. 130.

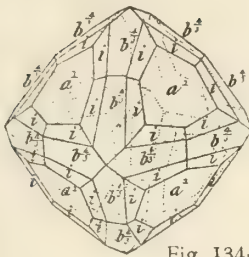


Fig. 131.

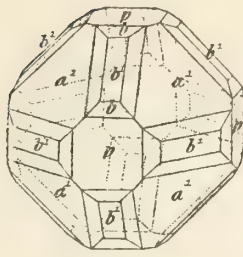


Fig. 132.

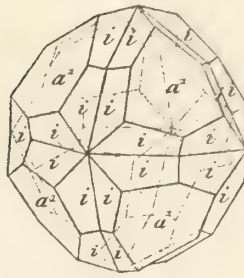


Fig. 133.

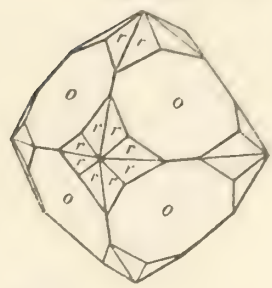


Fig. 134.

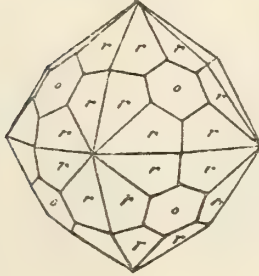


Fig. 135.

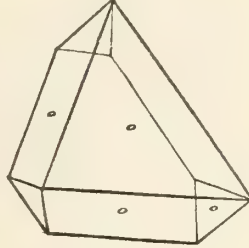


Fig. 136.

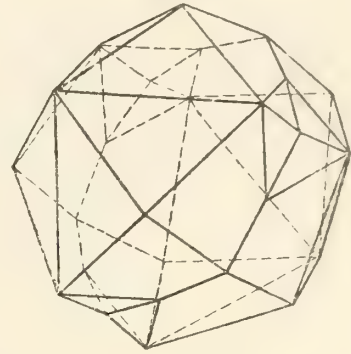


Fig. 137.

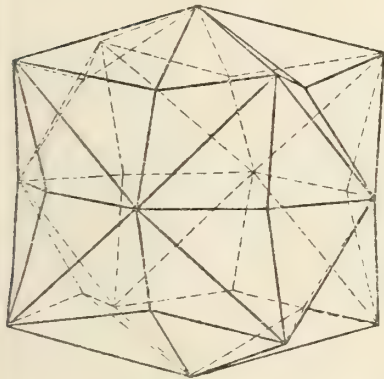


Fig. 138.

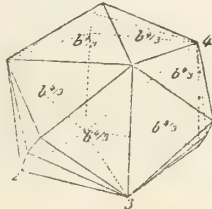


Fig. 139.

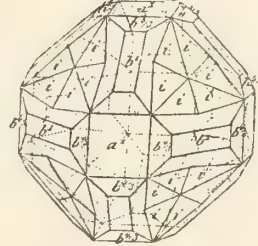


Fig. 140.

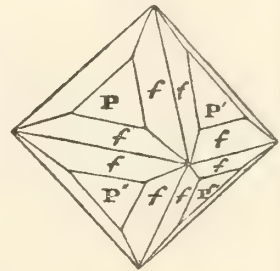


Fig. 141.

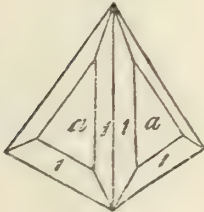


Fig. 142.

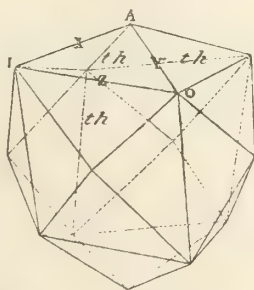


Fig. 143.

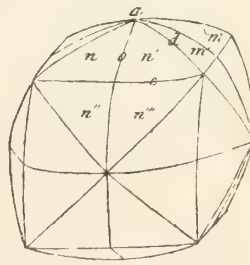


Fig. 144.

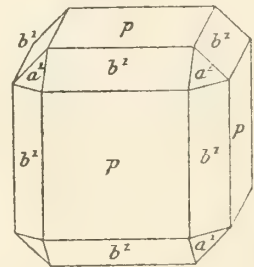


Fig. 145.

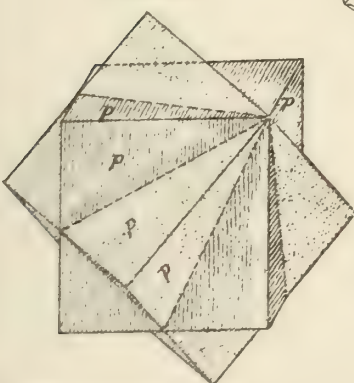


Fig. 146.

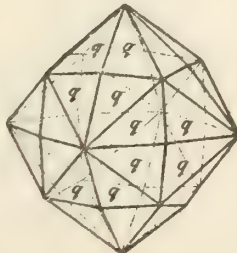


Fig. 147.

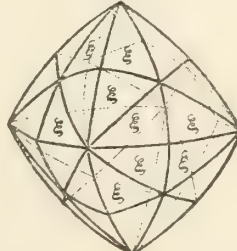
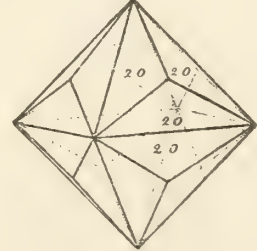


Fig. 148.



Diamant

Fig. 149.

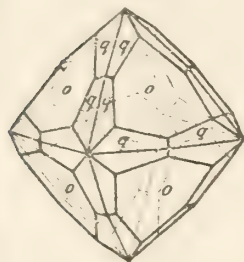


Fig. 150.

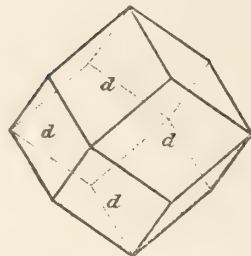


Fig. 151.

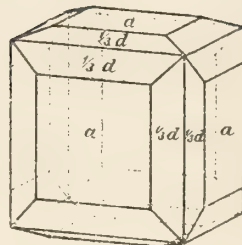


Fig. 152.

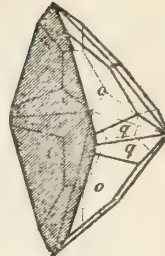


Fig. 153.

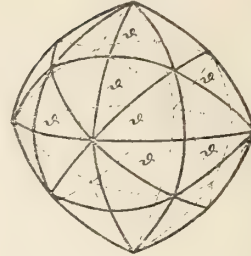


Fig. 154.

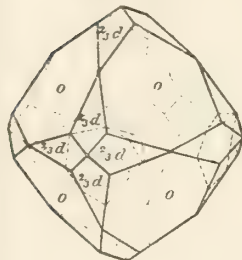


Fig. 155.

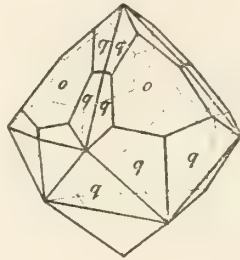


Fig. 156.

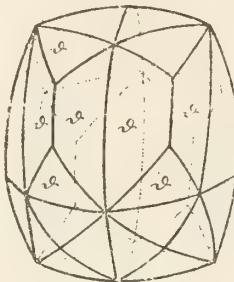


Fig. 157.

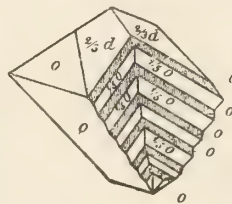


Fig. 158.

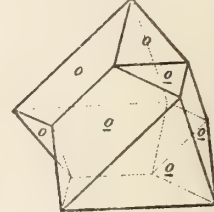


Fig. 159.

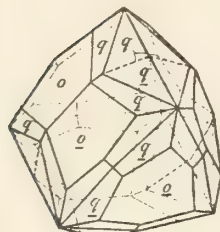


Fig. 160.

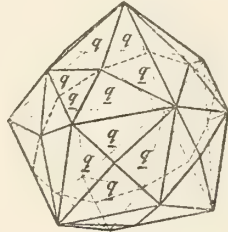


Fig. 161.

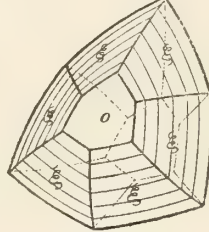


Fig. 162.

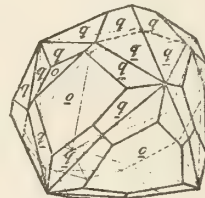


Fig. 163.

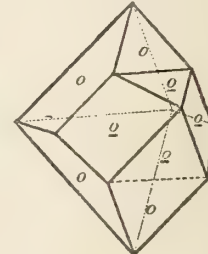


Fig. 164.

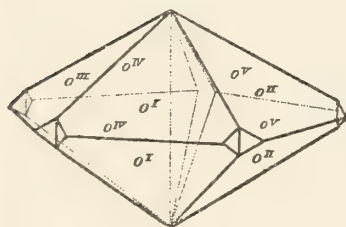


Fig. 165.

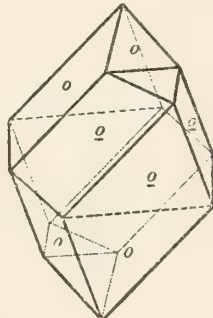


Fig. 166.

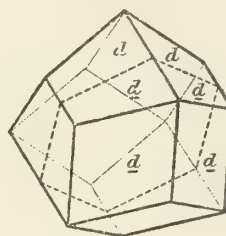


Fig. 167.

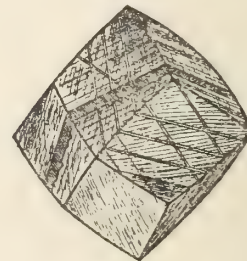


Fig. 168.

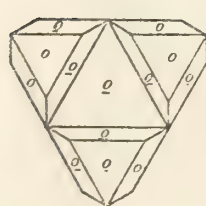


Fig. 169.

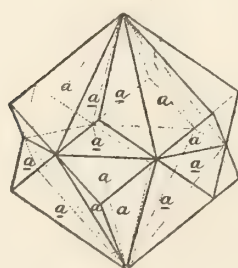


Fig. 170.

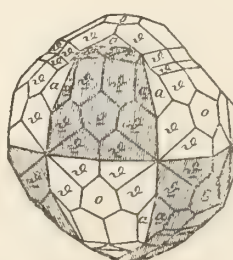
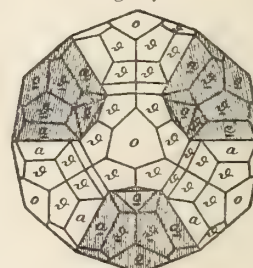


Fig. 171.



Diamant

Fig. 172.

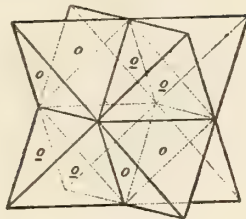


Fig. 173.

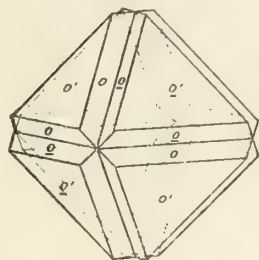


Fig. 174.

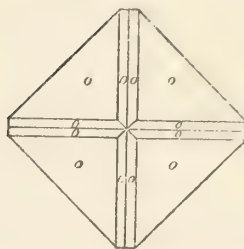


Fig. 175.

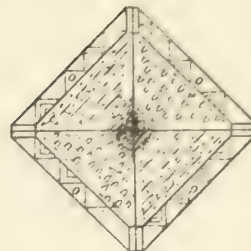


Fig. 176.

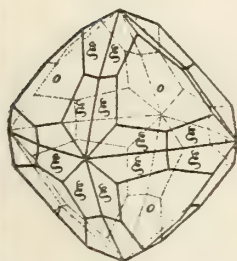


Fig. 177.

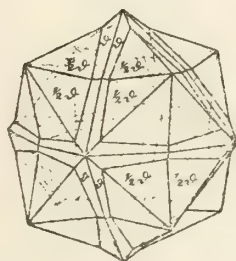


Fig. 178.

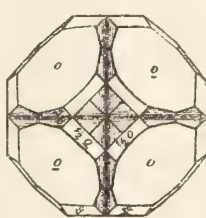


Fig. 179.

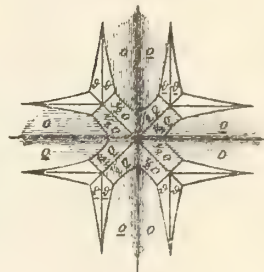


Fig. 180.

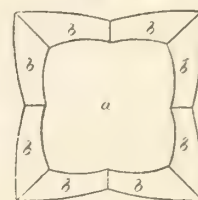


Fig. 181.

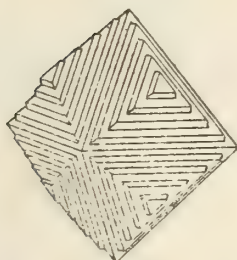


Fig. 182.

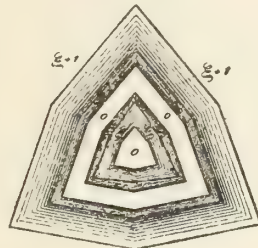


Fig. 183.

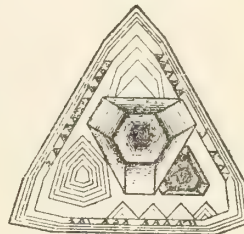


Fig. 184.

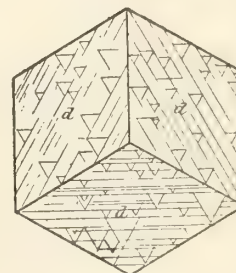


Fig. 185.

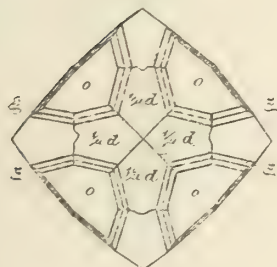


Fig. 186.

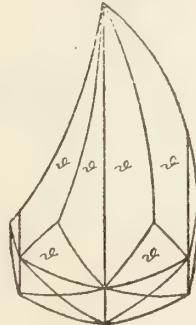


Fig. 187.



Fig. 188.

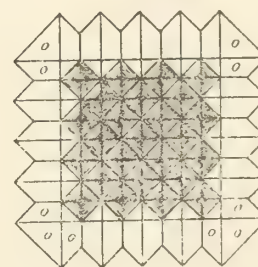


Fig. 189.

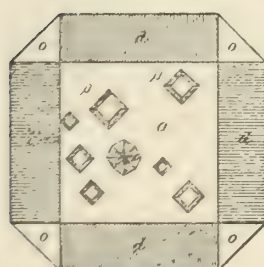


Fig. 190.



Fig. 191.

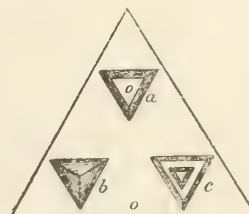
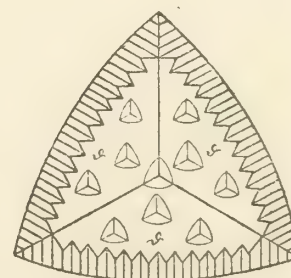
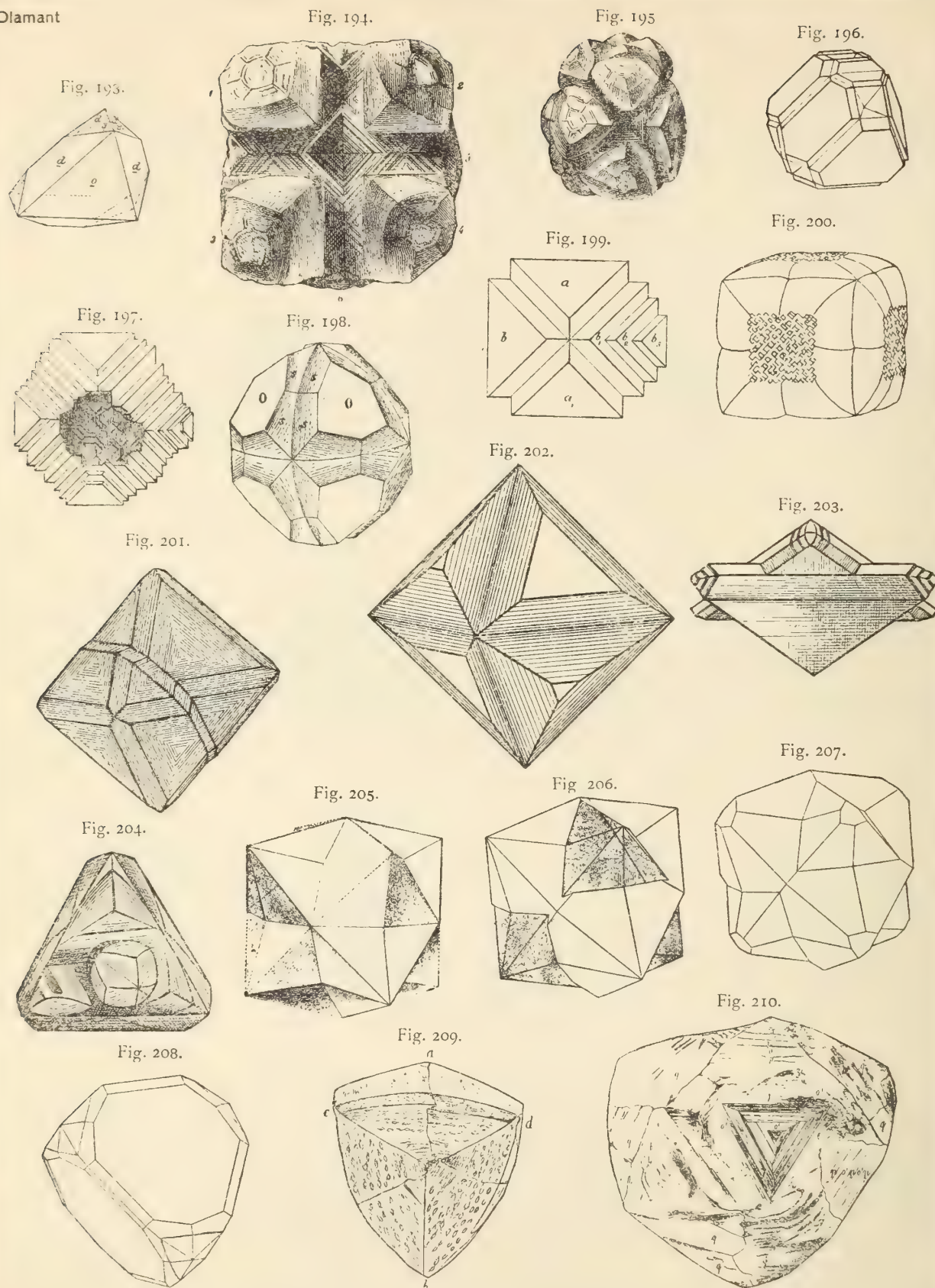


Fig. 192.



Diamant



Diamant

Fig. 211.

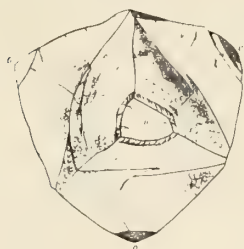


Fig. 212.



Fig. 213.

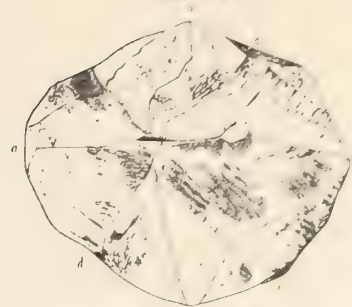


Fig. 214.

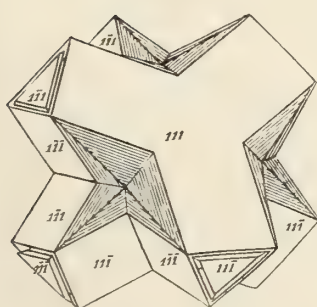


Fig. 215.

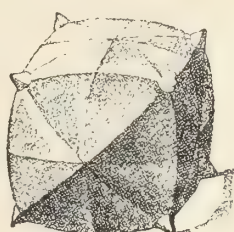


Fig. 216.

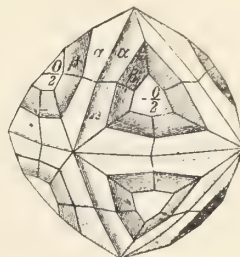


Fig. 217.

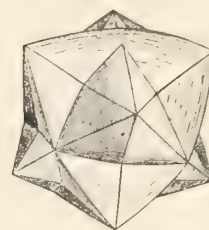


Fig. 218.

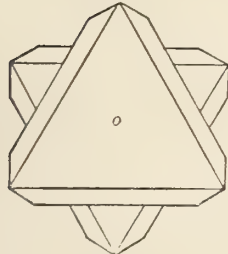


Fig. 219.

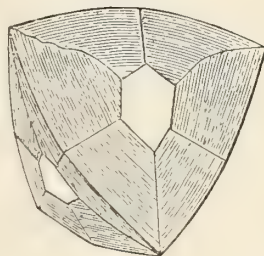


Fig. 220.



Fig. 221.

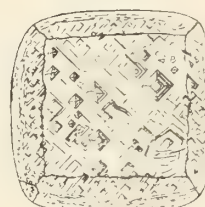


Fig. 222.

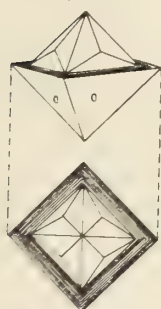


Fig. 223.

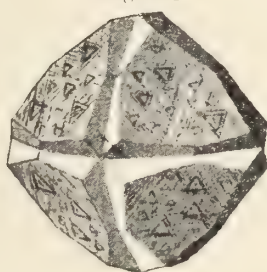


Fig. 224.

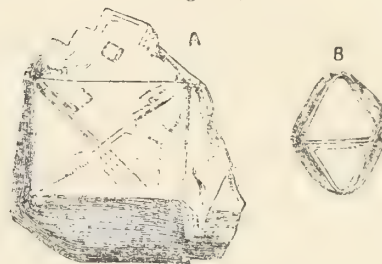


Fig. 225.

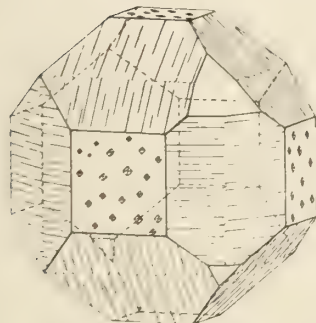


Fig. 226.



Fig. 227.

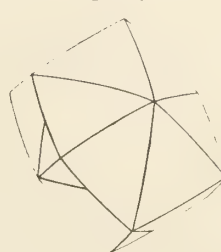
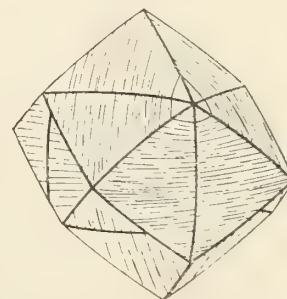


Fig. 228.



Diamant

Fig. 229.

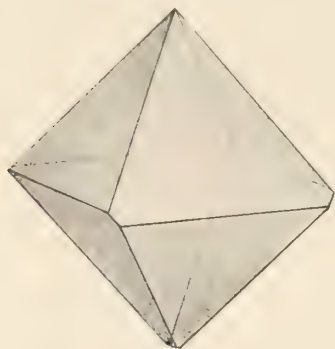


Fig. 230.

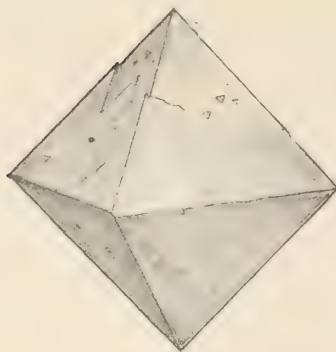


Fig. 231.

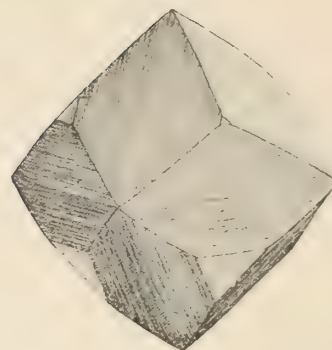


Fig. 232.

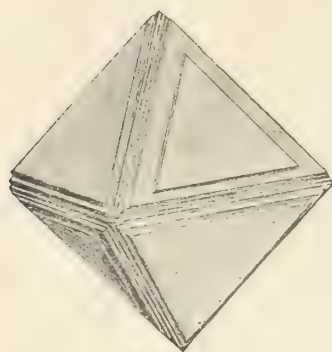


Fig. 233.

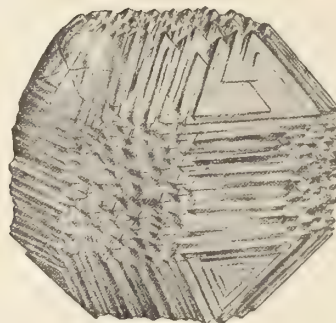


Fig. 234.

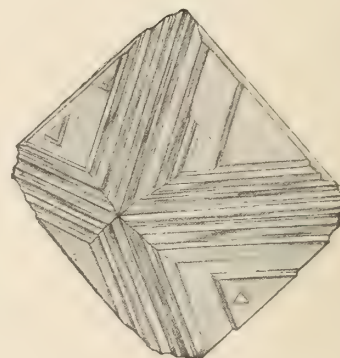


Fig. 235.

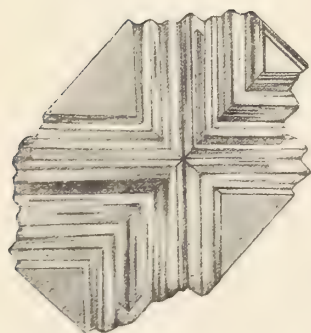


Fig. 236.

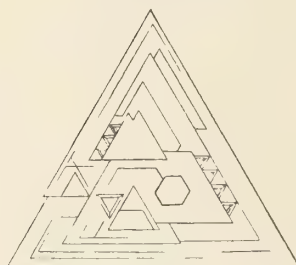


Fig. 237.

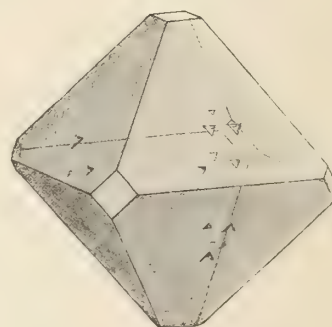


Fig. 238.

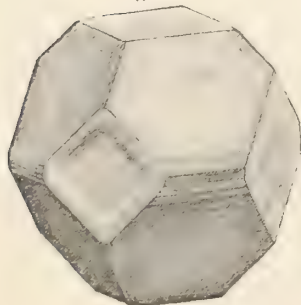


Fig. 239.

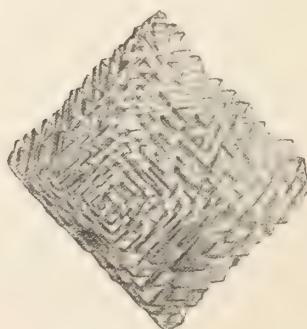
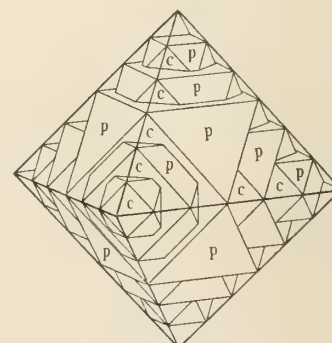


Fig. 240.



Diamant

Fig. 241.

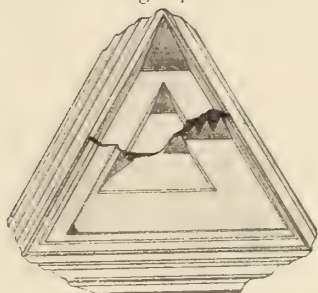


Fig. 242.

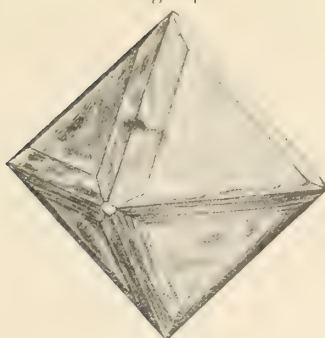


Fig. 243.

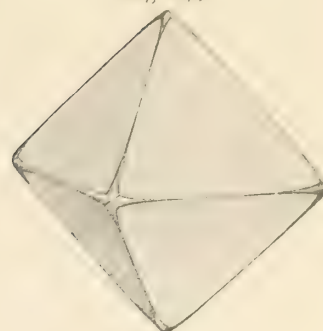


Fig. 244.

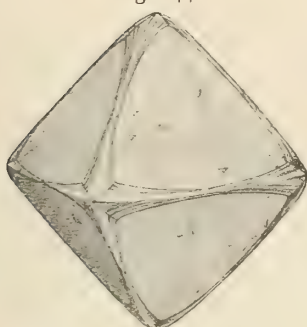


Fig. 245.



Fig. 246.

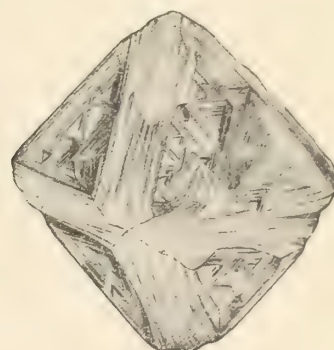


Fig. 247.

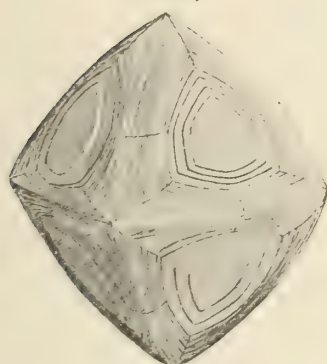


Fig. 248.



Fig. 249.

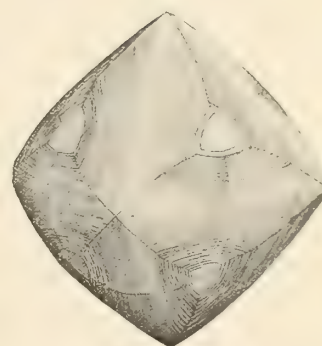


Fig. 250.



Fig. 251.

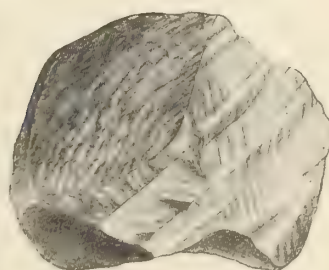
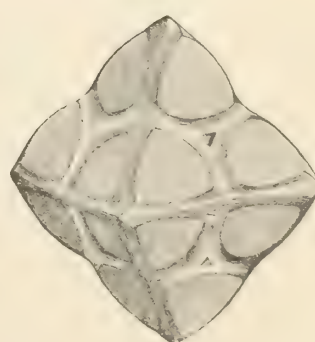


Fig. 252.



Fig. 253.



Diamant

Fig. 254.



Fig. 255.

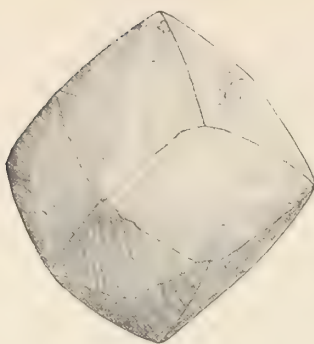


Fig. 256.



Fig. 257.



Fig. 258.



Fig. 259.

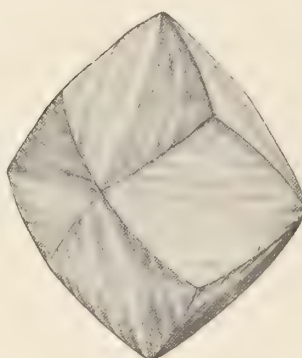


Fig. 260.

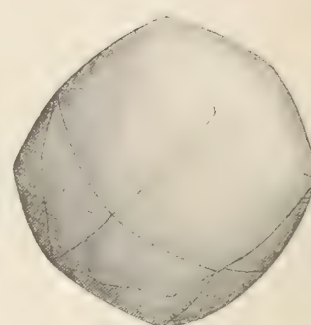


Fig. 261.

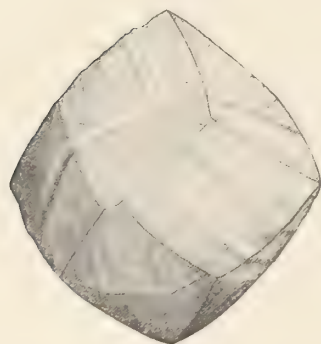


Fig. 262.



Fig. 263.

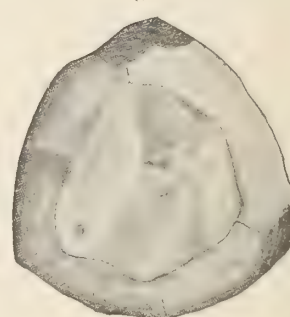


Fig. 264.



Fig. 265.

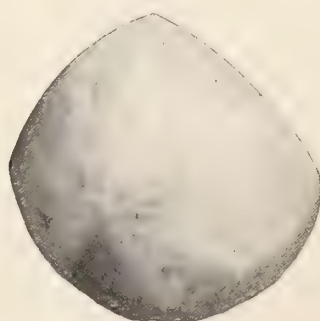
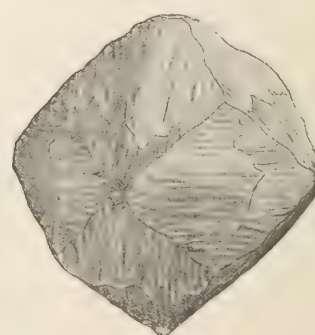


Fig. 266.



Diamant

Fig. 267.

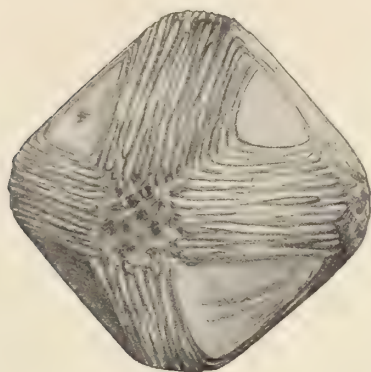


Fig. 268.

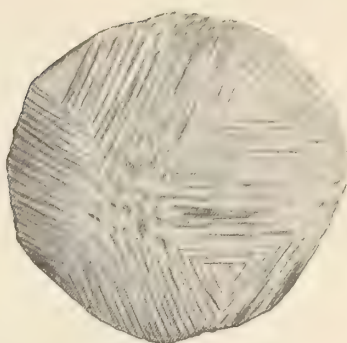


Fig. 269.



Fig. 270.

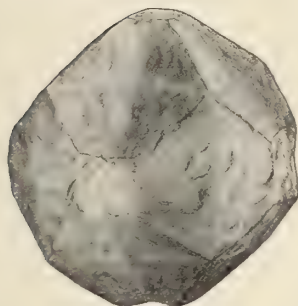


Fig. 271.

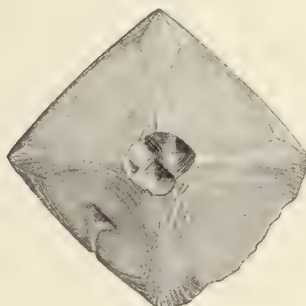


Fig. 272.

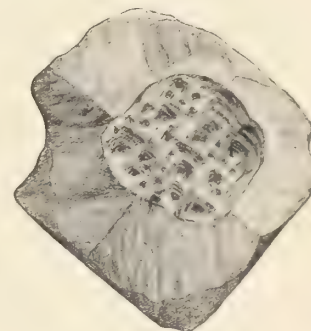


Fig. 273.

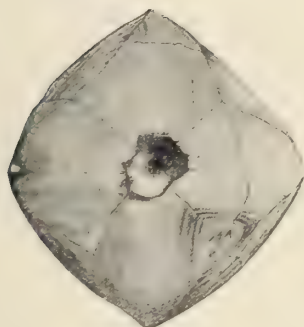


Fig. 274.

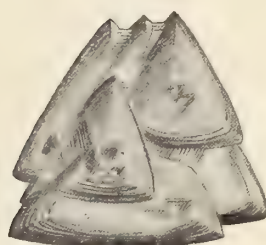


Fig. 275.

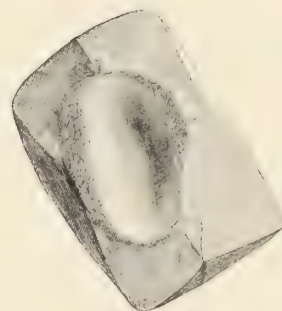


Fig. 276.

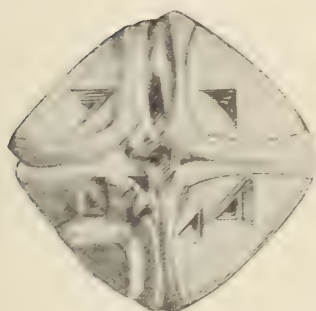


Fig. 277.

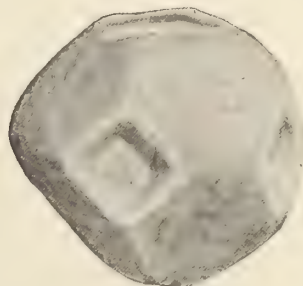
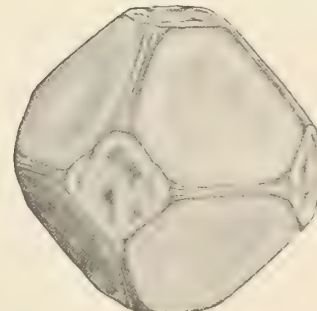


Fig. 278.



Diamant

Fig. 279.

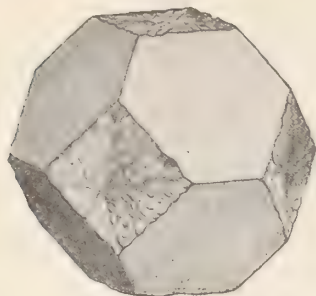


Fig. 280.

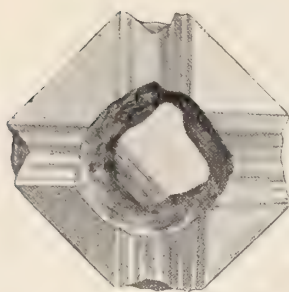


Fig. 281.

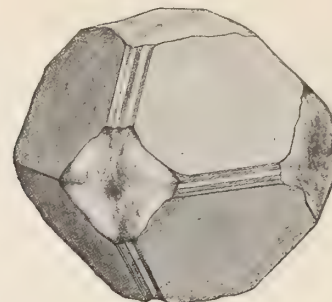


Fig. 282.

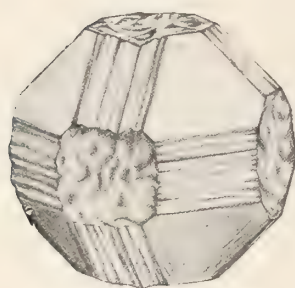


Fig. 283.

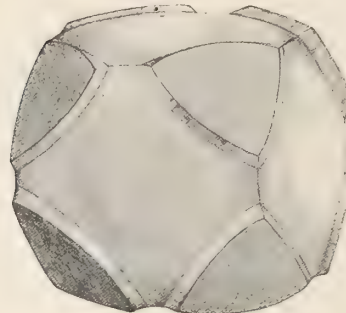


Fig. 284.

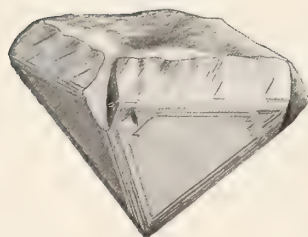


Fig. 285.

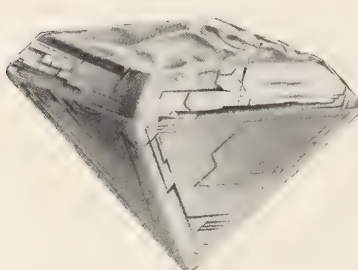


Fig. 286.

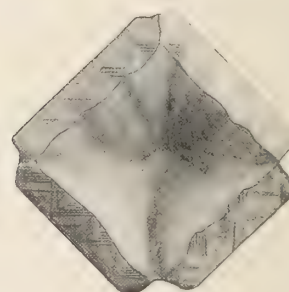


Fig. 287.

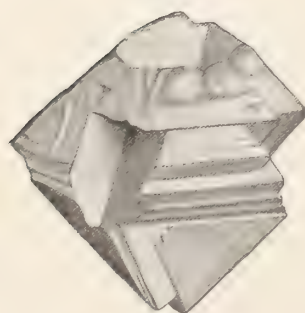


Fig. 288.

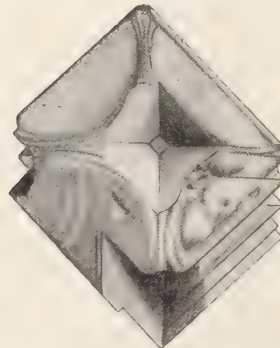
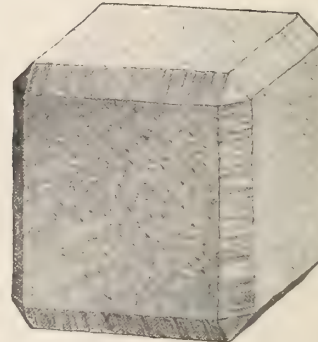


Fig. 289.



Diamant

Fig. 290.



Fig. 291.

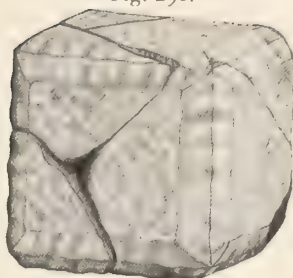


Fig. 292.



Fig. 293.

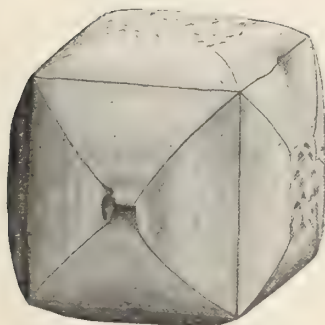


Fig. 294.

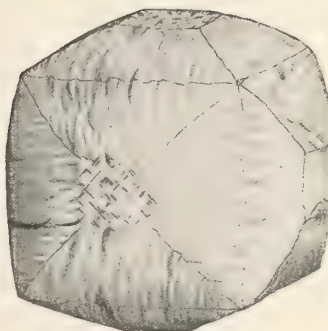


Fig. 295.



Fig. 296.

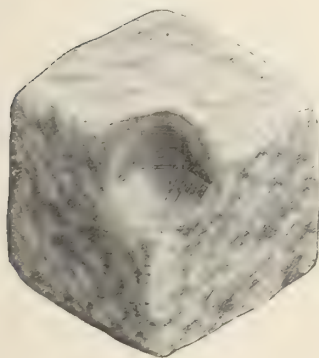


Fig. 297.



Fig. 298.

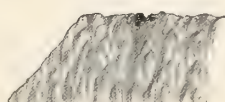


Fig. 299.



Fig. 300.



Fig. 301.

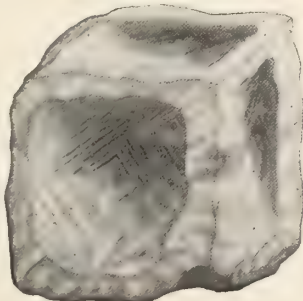
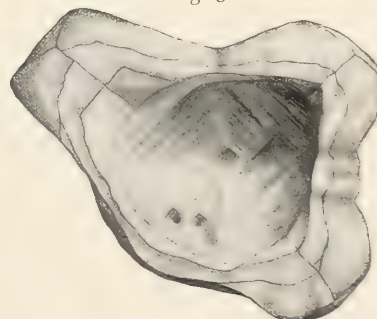


Fig. 302.



Diamant

Fig. 303.

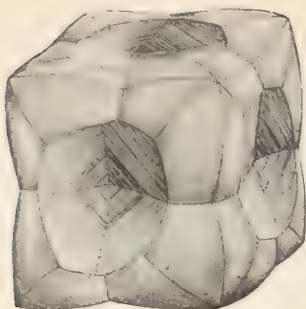


Fig. 304.

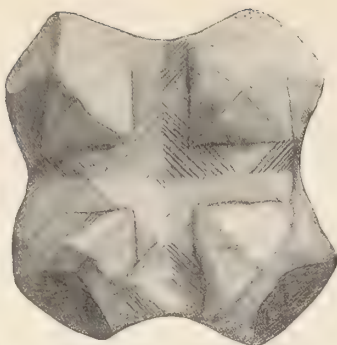


Fig. 305.

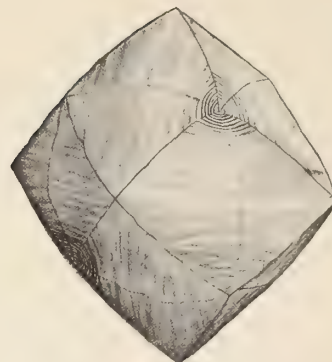


Fig. 306.



Fig. 307.

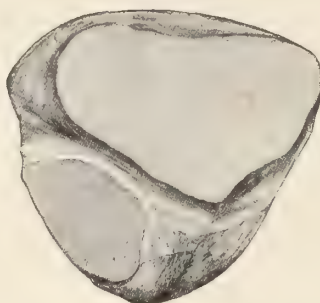


Fig. 308.

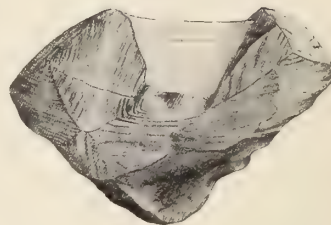


Fig. 309.



Fig. 310.

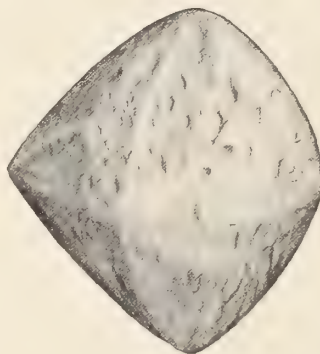


Fig. 311.

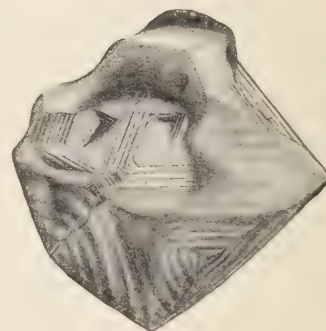


Fig. 312.



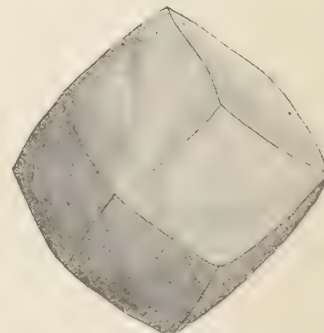
Fig. 313.



Fig. 314.



Fig. 315.



Diamant

Fig. 316.



Fig. 317.

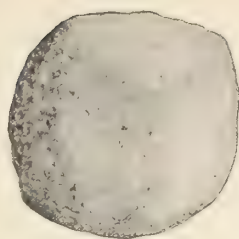


Fig. 318.

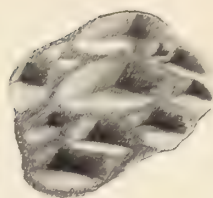


Fig. 319.

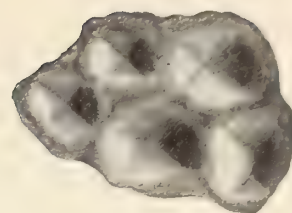


Fig. 320.

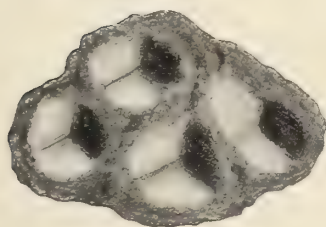


Fig. 321.

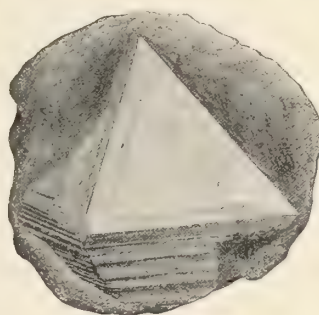


Fig. 322.

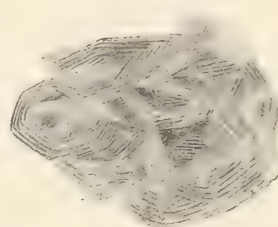


Fig. 323.

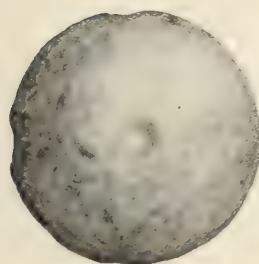


Fig. 324.

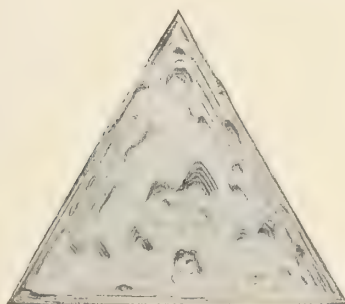


Fig. 325.

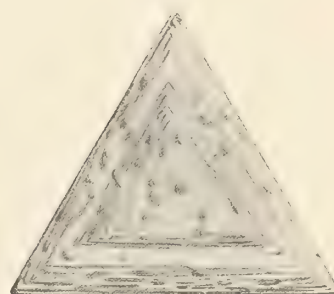


Fig. 326.

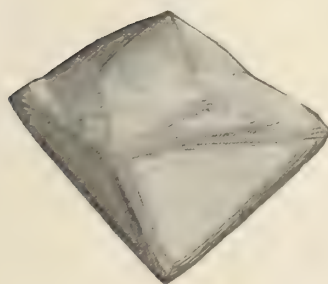
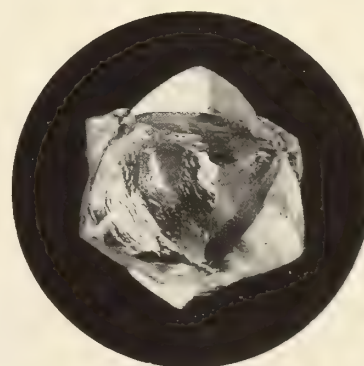


Fig. 327.



Fig. 328.



Diamant

Fig. 329.

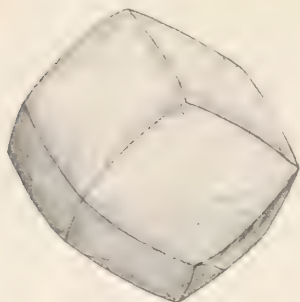


Fig. 330.



Fig. 331.

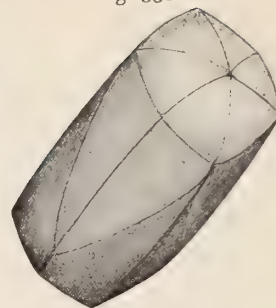


Fig. 333.



Fig. 332.



Fig. 334.

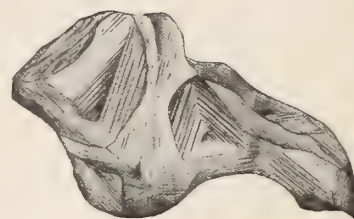


Fig. 335.

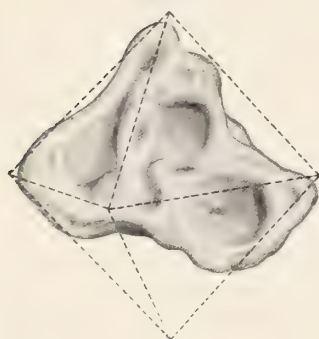


Fig. 336.

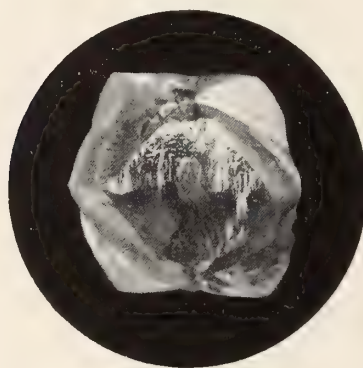


Fig. 337.

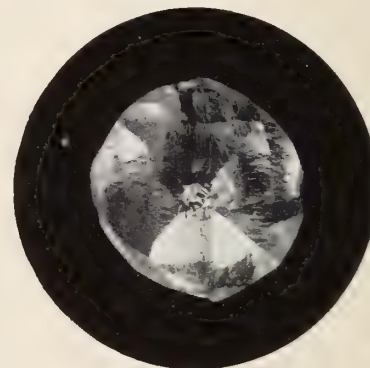


Fig. 338.

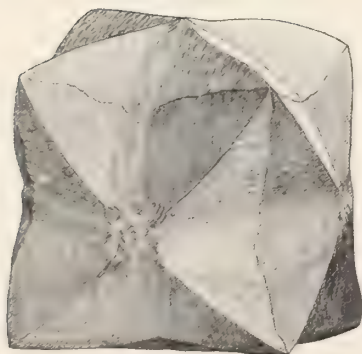


Fig. 339.

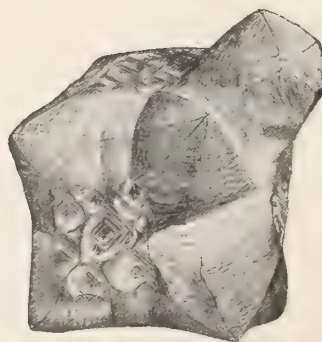
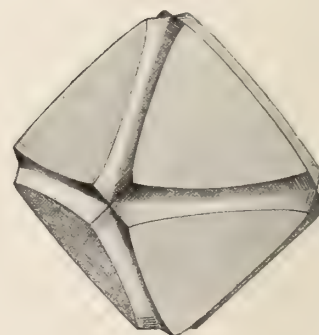


Fig. 340.



Diamant

Fig. 341.

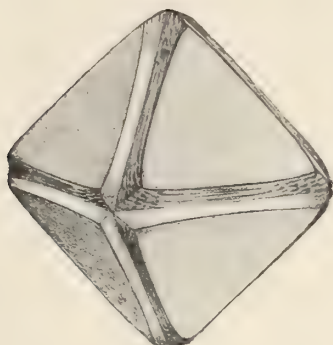


Fig. 342.

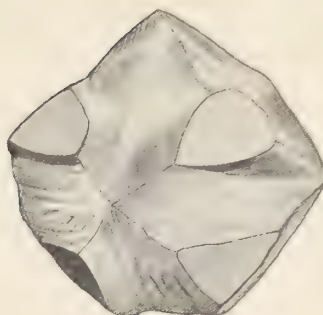


Fig. 343.

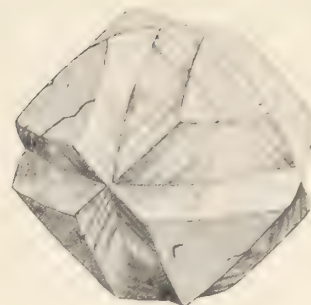


Fig. 344.

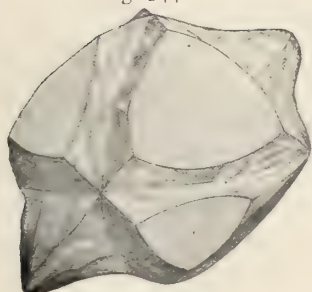


Fig. 345.

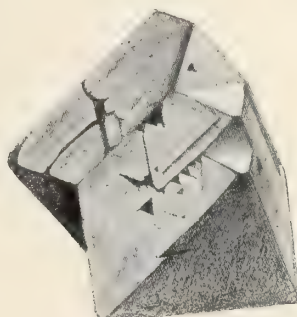


Fig. 346.

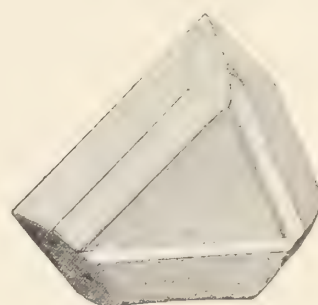


Fig. 348.

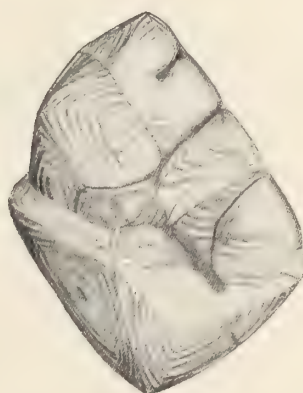


Fig. 347.

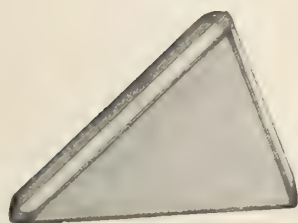


Fig. 349.

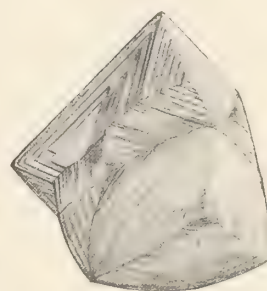


Fig. 350.

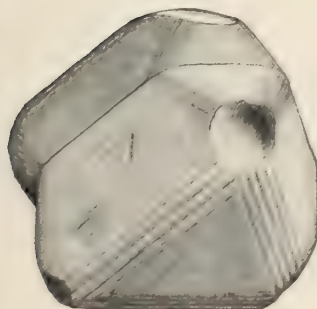


Fig. 351.

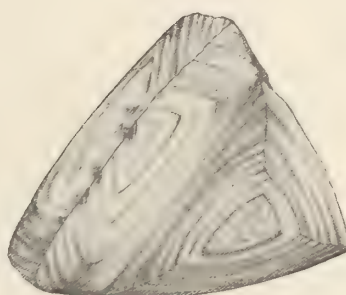


Fig. 352.



Diamant

Fig. 353.

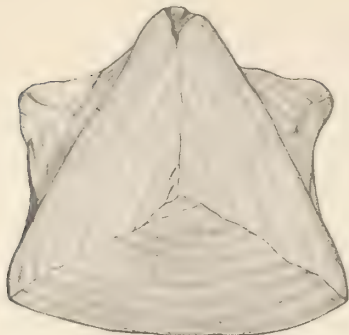


Fig. 354.

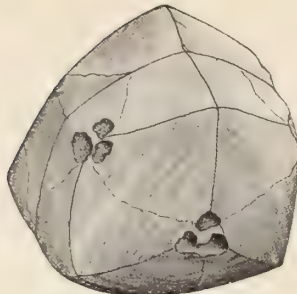


Fig. 355.

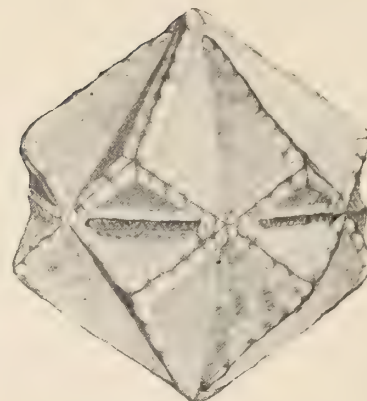


Fig. 357.

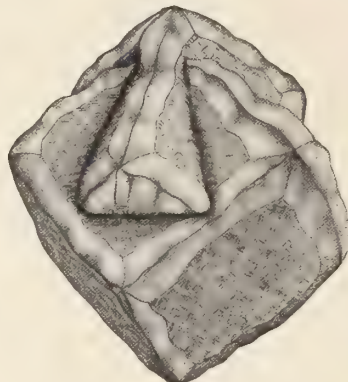


Fig. 356.

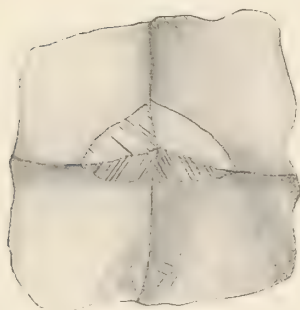


Fig. 358.

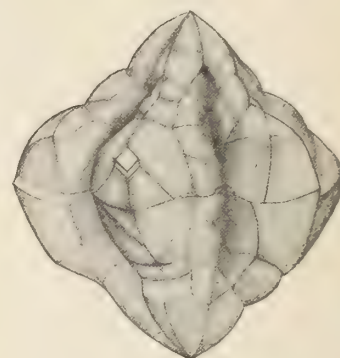


Fig. 359.



Fig. 360.

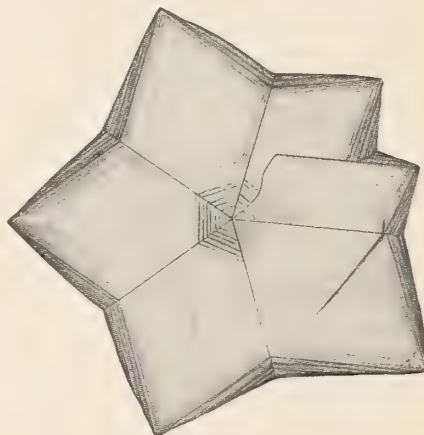


Fig. 361.

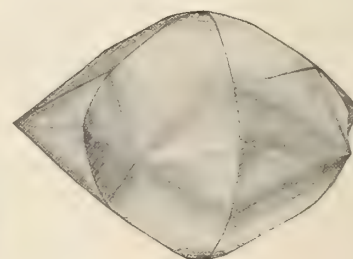


Fig. 362.

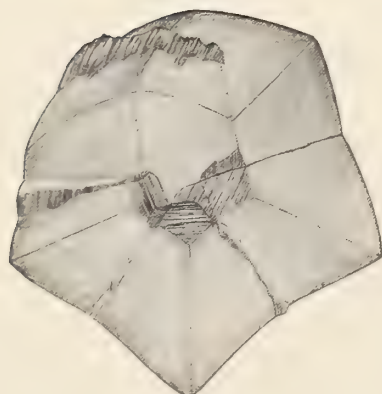


Fig. 363.

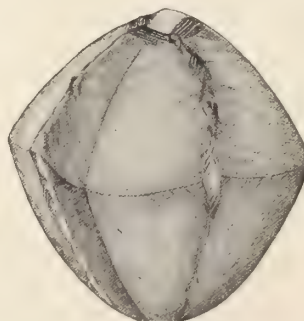


Fig. 364.



Diaphorit

Fig. 1.

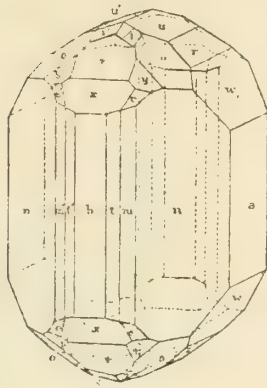


Fig. 2.

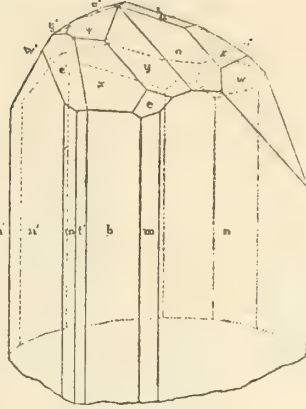


Fig. 3.

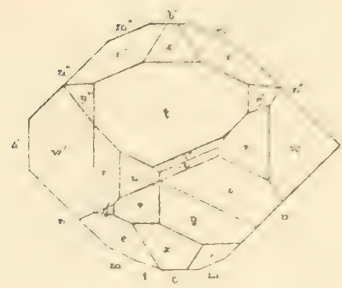


Fig. 5.

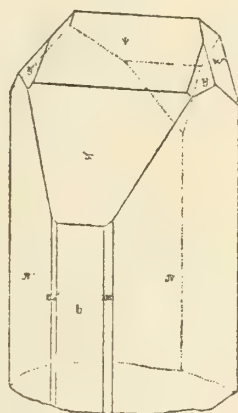


Fig. 6.

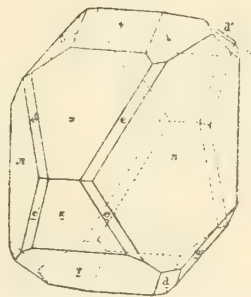


Fig. 7.

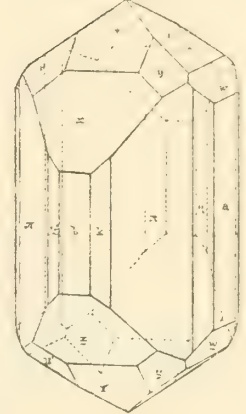


Fig. 4.

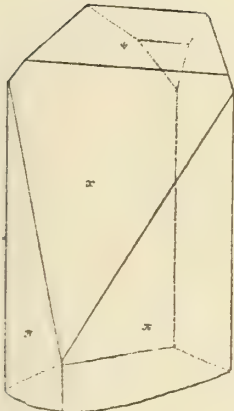


Fig. 10.

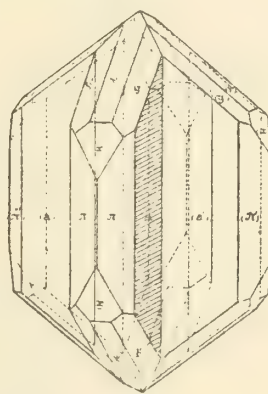


Fig. 9.

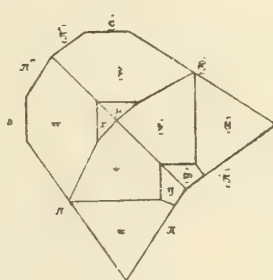


Fig. 11.

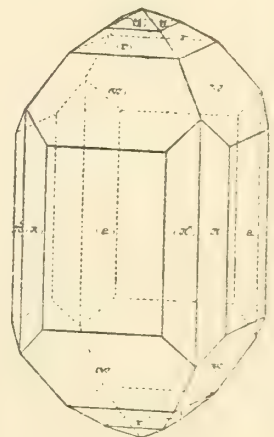


Fig. 8.

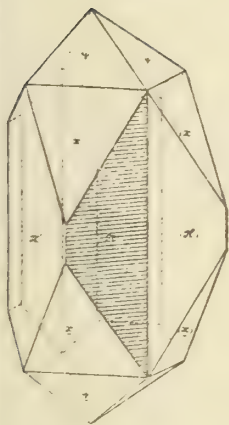


Fig. 12.

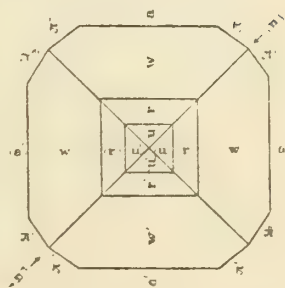
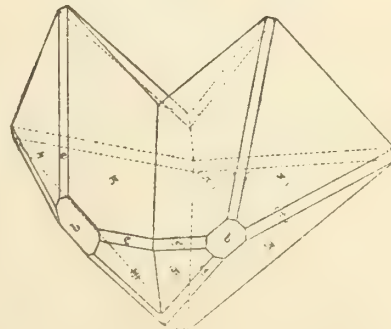


Fig. 13.



Diaphorit

Fig. 14.

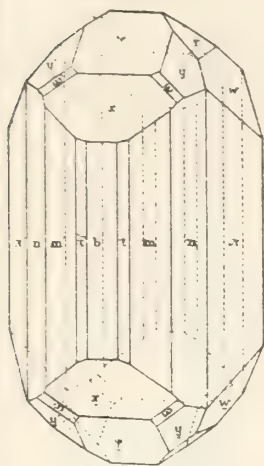


Fig. 15

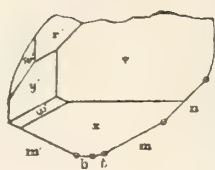


Fig. 16.

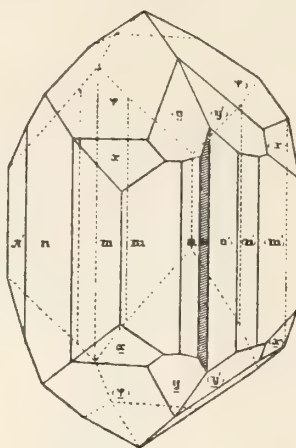
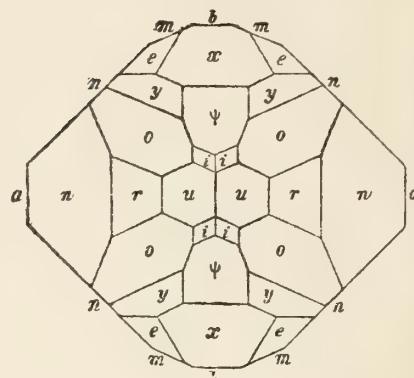


Fig. 17.



Diaspor

Fig. 1.

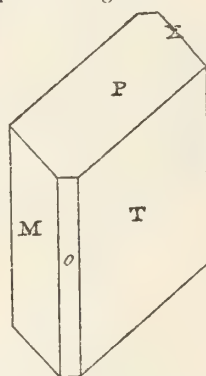


Fig. 2.

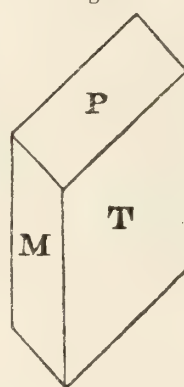


Fig. 3.

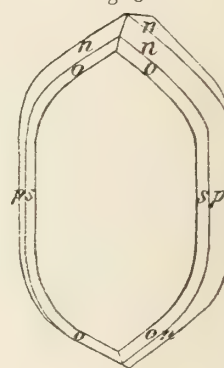


Fig. 18.

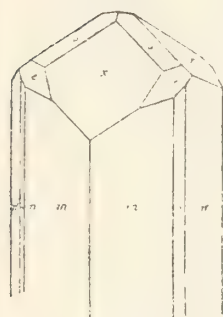


Fig. 19.

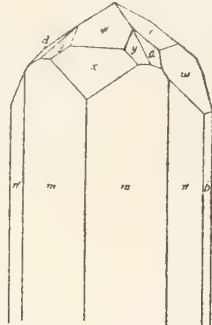


Fig. 5.

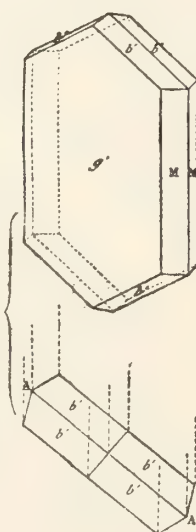


Fig. 6.

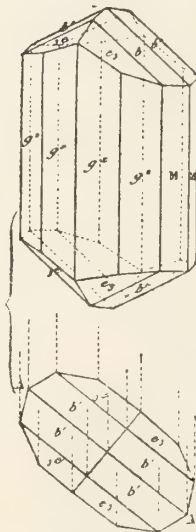


Fig. 7.

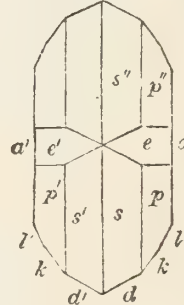


Fig. 8.

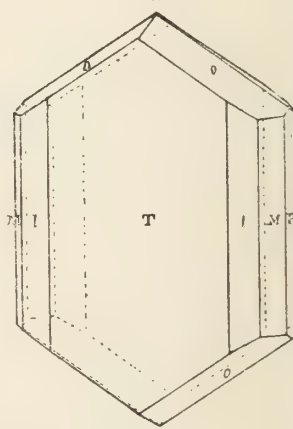
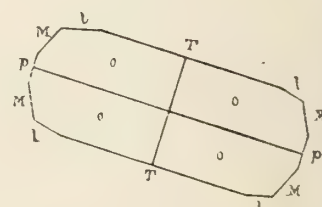
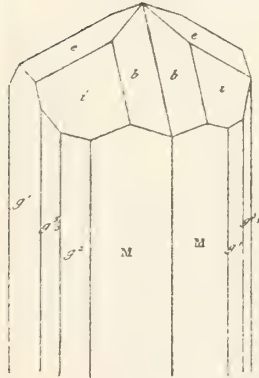


Fig. 4.



Diaspor

Fig. 9.

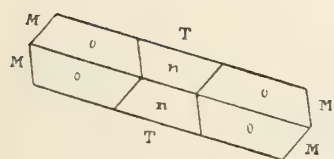
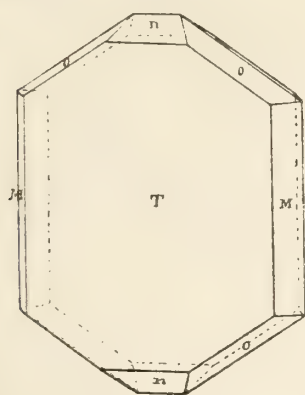


Fig. 10.

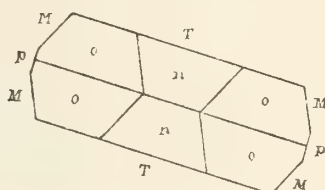
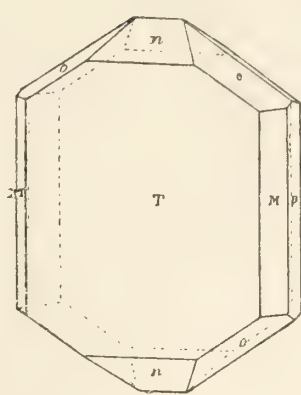


Fig. 11.

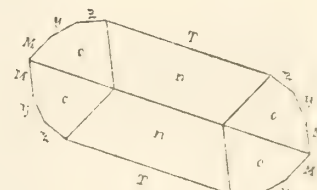
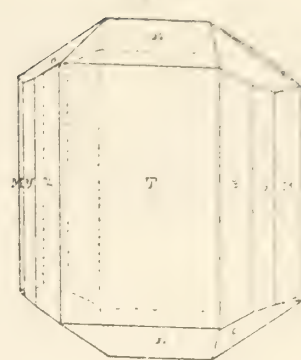


Fig. 12.

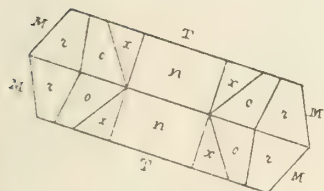
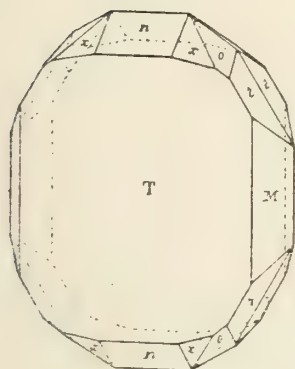


Fig. 13.

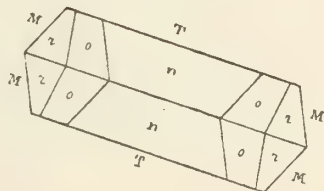
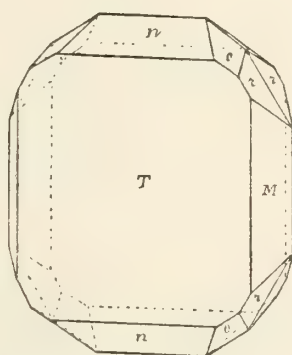


Fig. 14.

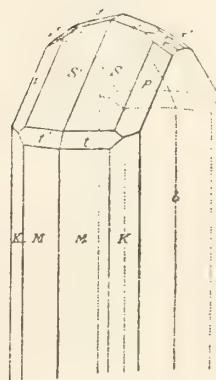


Fig. 15.

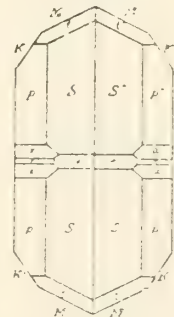


Fig. 16.

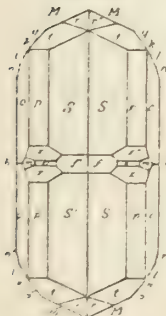


Fig. 17.



Fig. 18.



Fig. 19.

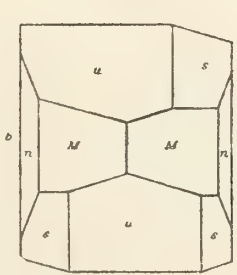
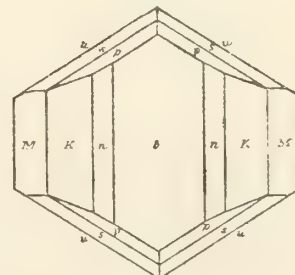


Fig. 20.



Diaspor

Fig. 21.

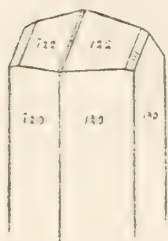


Fig. 22.

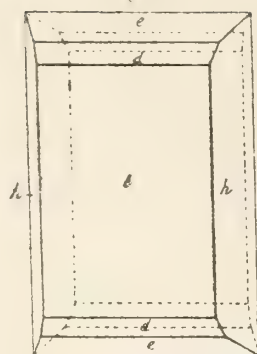


Fig. 23.

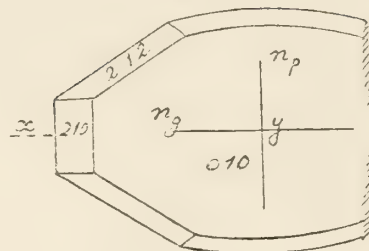


Fig. 24.

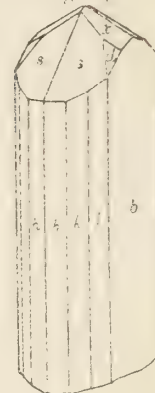


Fig. 25.

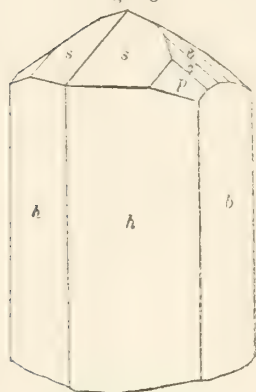


Fig. 26.



Fig. 28.

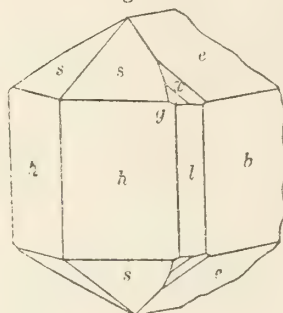


Fig. 29.

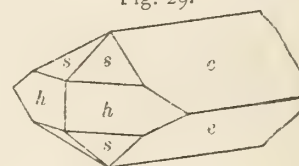


Fig. 30.

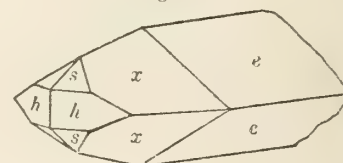
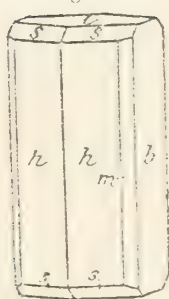


Fig. 31.



Dickinsonit

Fig. 1.

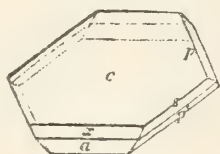
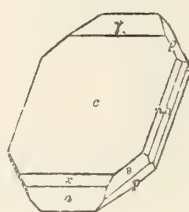
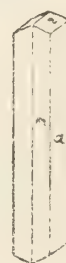


Fig. 2.



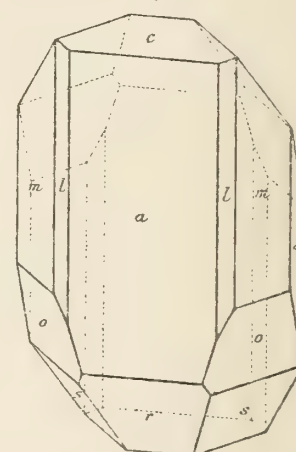
Didymolith

Fig. 1.



Dietzeit

Fig. 1.



Dimorphin

Fig. 1.

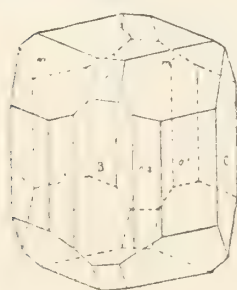


Fig. 2.

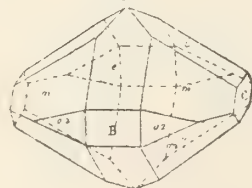


Fig. 3.

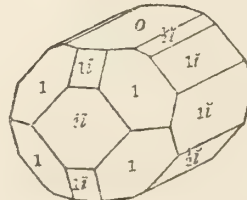
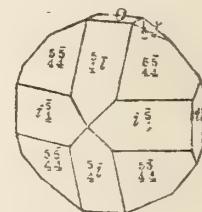


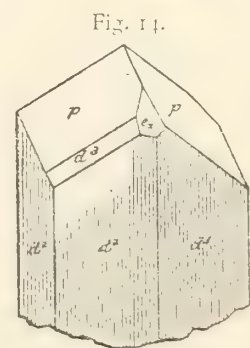
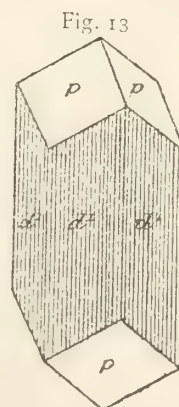
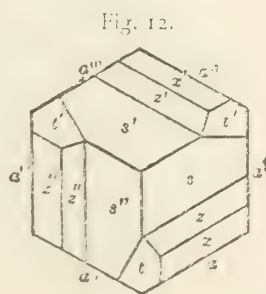
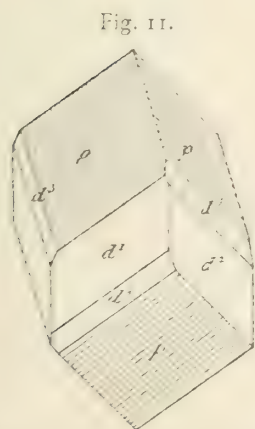
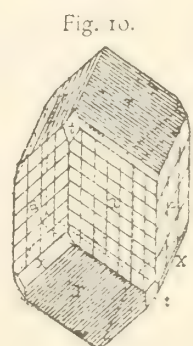
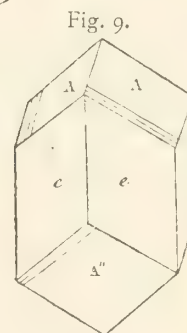
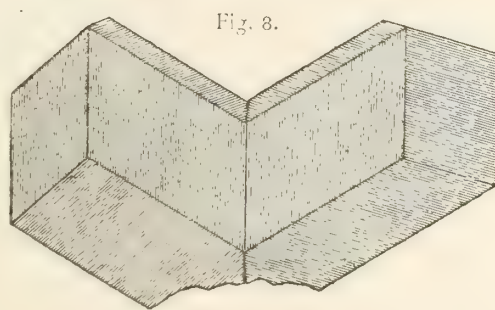
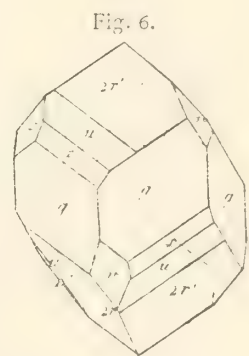
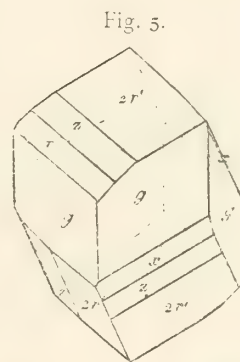
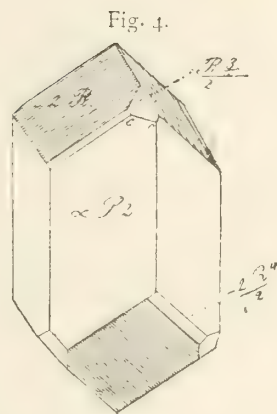
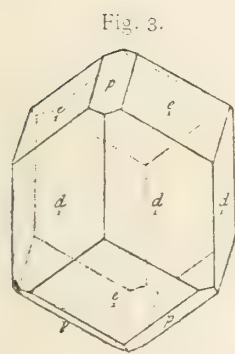
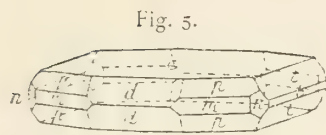
Fig. 4.



Dimorphin

Diophas

Fig. 1.



Diophas

Fig. 15.

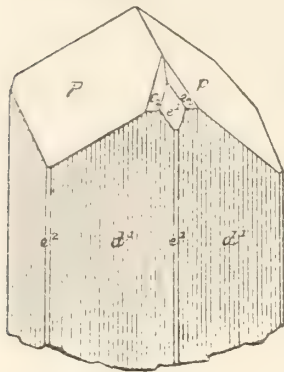


Fig. 16.

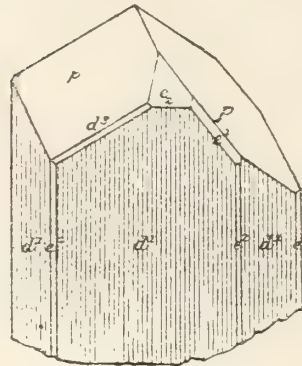
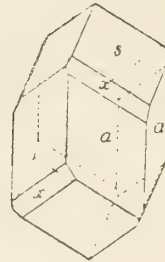


Fig. 17.



Diskrasit

Fig. 1.

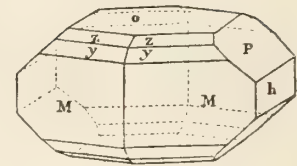


Fig. 2.

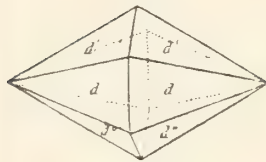


Fig. 3.

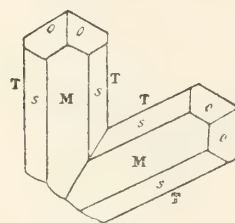


Fig. 4.



Fig. 5.

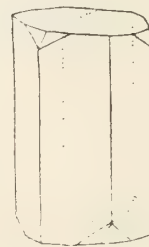


Fig. 6.



Fig. 7.

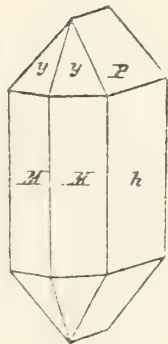


Fig. 8.

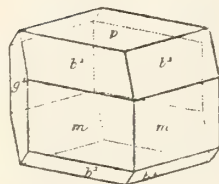


Fig. 9.

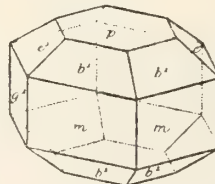


Fig. 10.

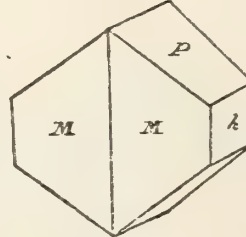


Fig. 11.

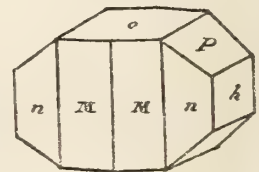


Fig. 12.

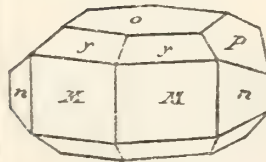


Fig. 13.

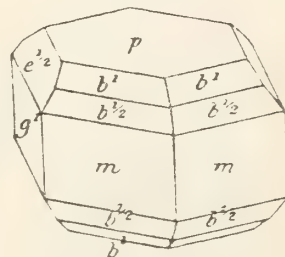


Fig. 14.

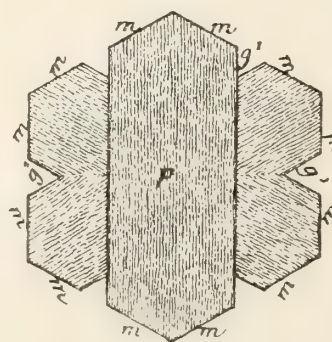


Fig. 15.

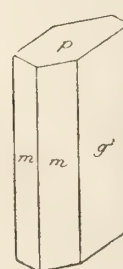
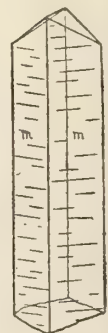
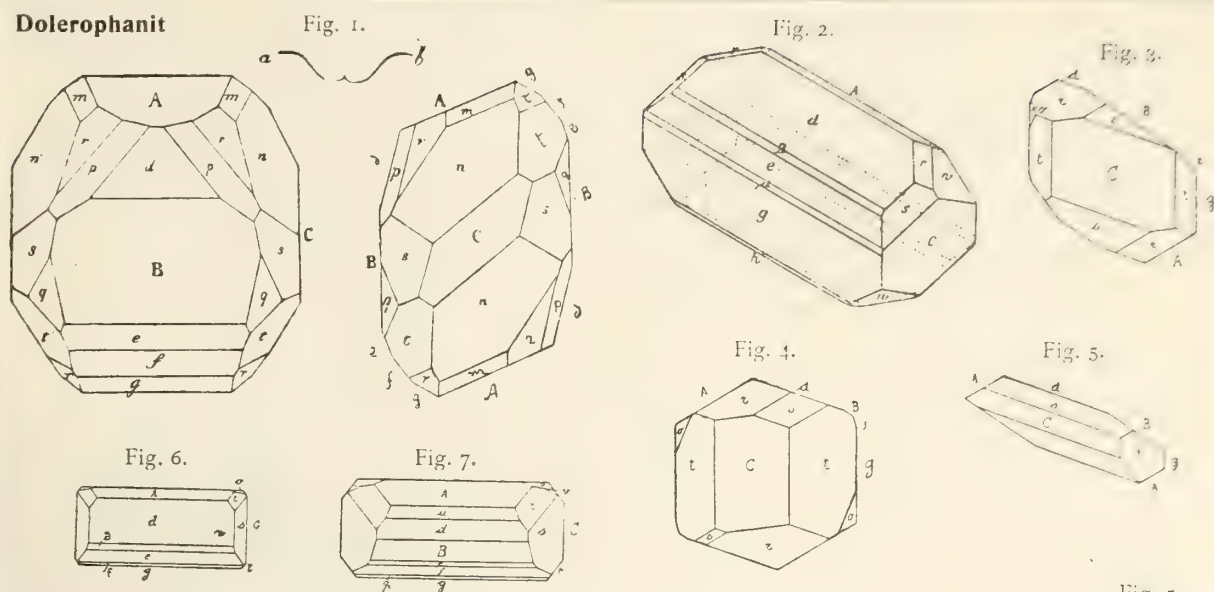


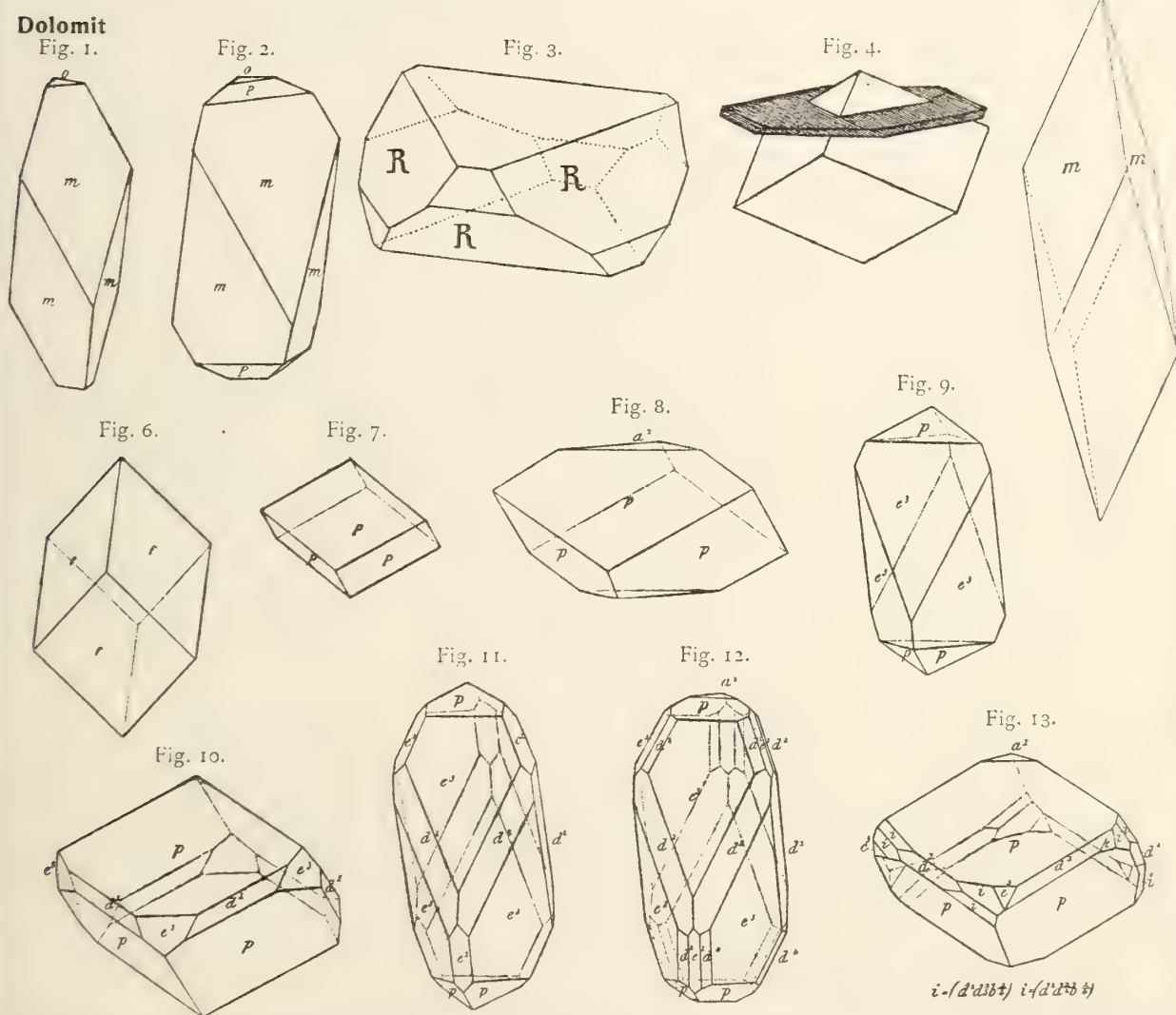
Fig. 16.



Dolerophanit



Dolomit



Dolomit

Fig. 14.

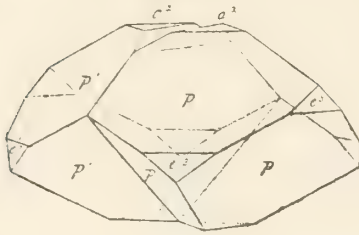


Fig. 15.

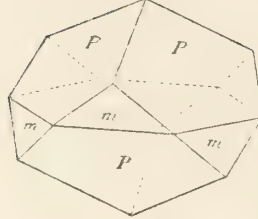


Fig. 16.

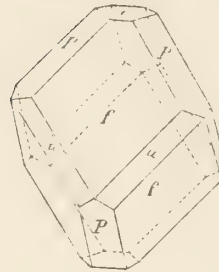


Fig. 17.

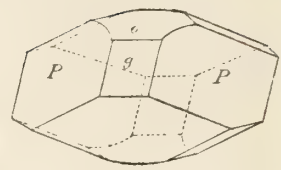


Fig. 18.

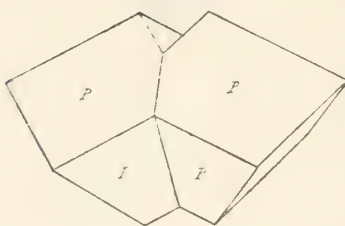


Fig. 19.

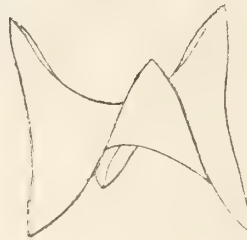


Fig. 20.

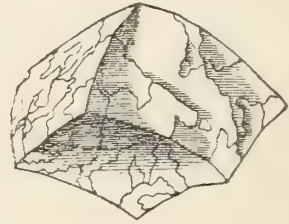


Fig. 21.

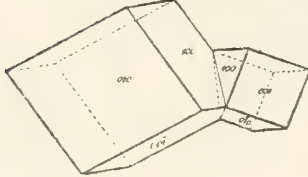


Fig. 22.

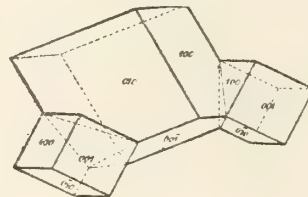


Fig. 23.

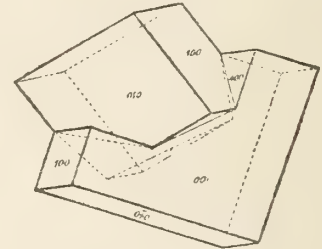


Fig. 24.

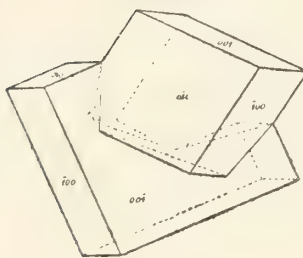


Fig. 25.



Fig. 26.



Fig. 27.

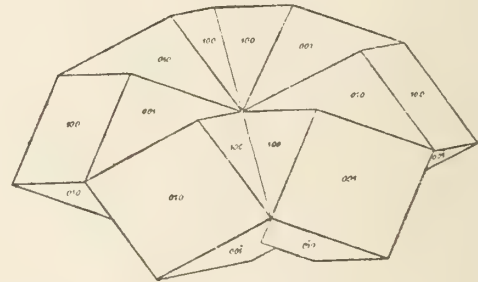


Fig. 28.

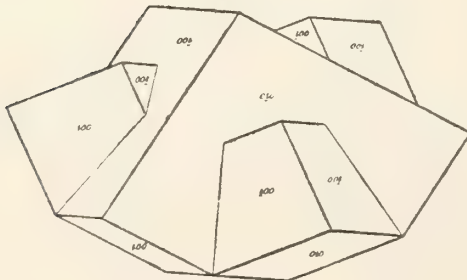
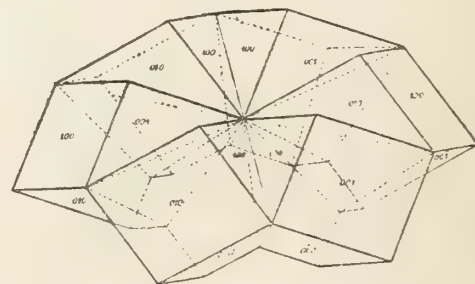


Fig. 29.



Dolomit

Fig. 30.

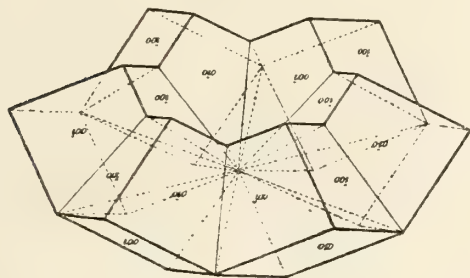


Fig. 31.

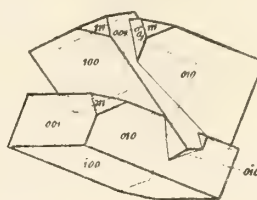


Fig. 32.

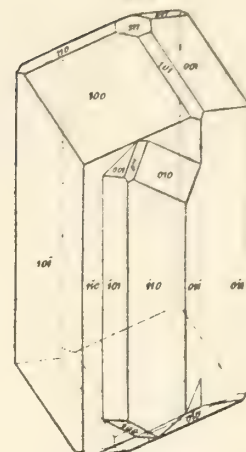


Fig. 33.

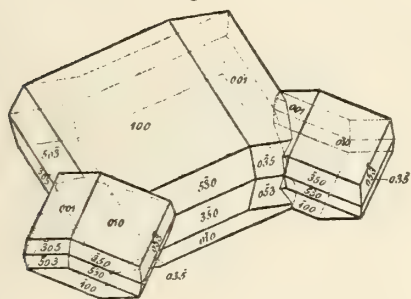


Fig. 34.

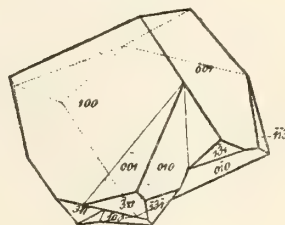


Fig. 35.

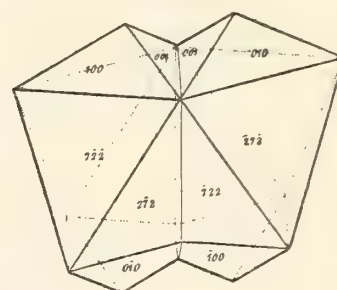


Fig. 37.

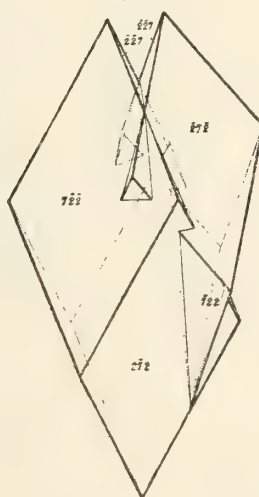


Fig. 38.

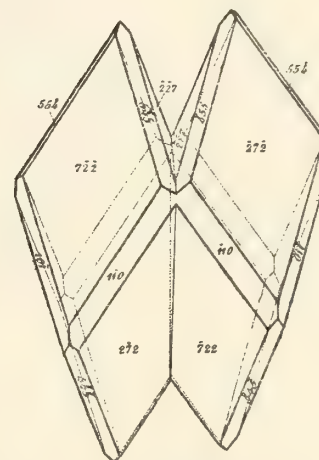


Fig. 36.

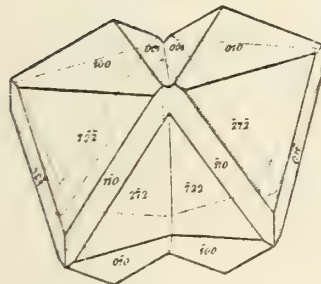


Fig. 39.

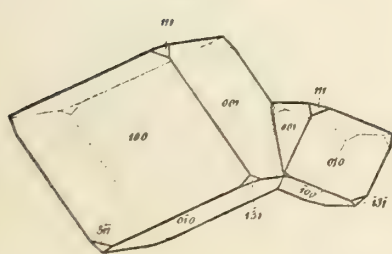


Fig. 40.

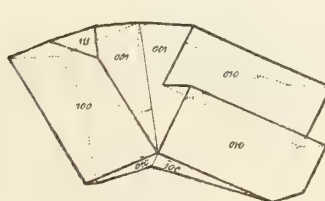
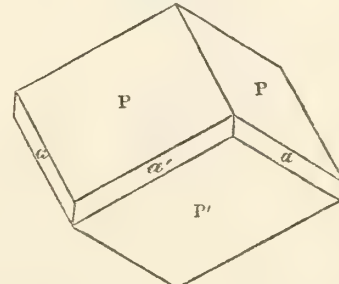


Fig. 41.



Dolomit

Fig. 42.

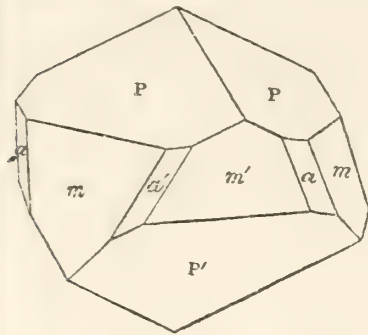


Fig. 43.

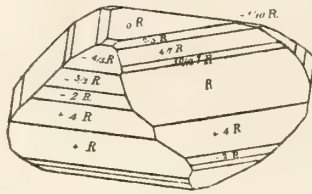


Fig. 44.

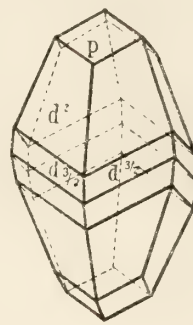


Fig. 45.

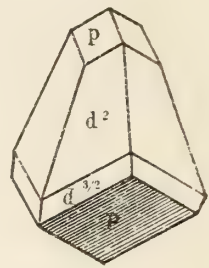


Fig. 46.

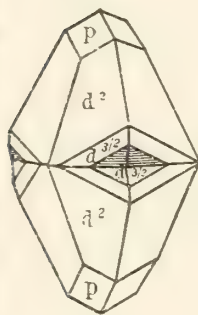


Fig. 47.

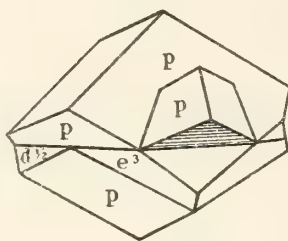


Fig. 48.

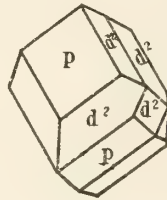


Fig. 49.

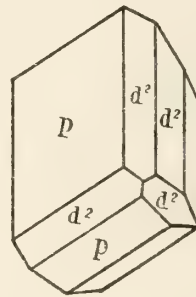


Fig. 50.

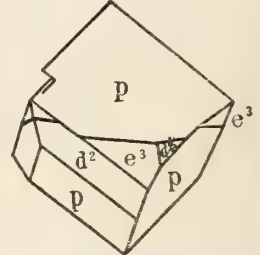


Fig. 51.

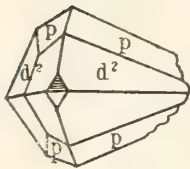


Fig. 53.

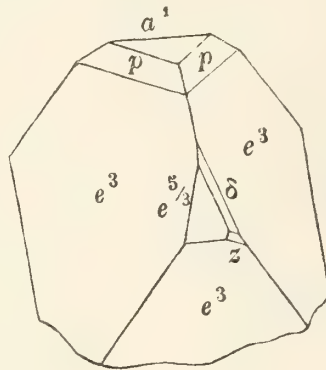


Fig. 54.

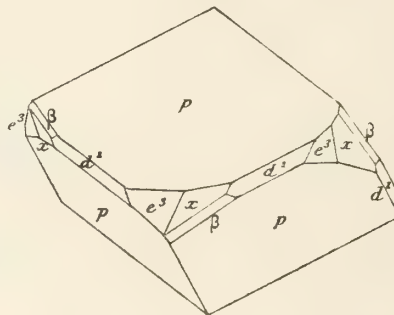


Fig. 55.

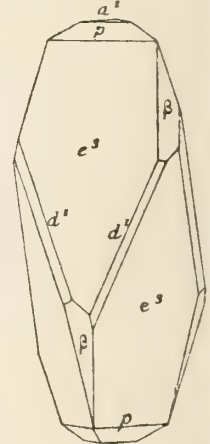


Fig. 52.

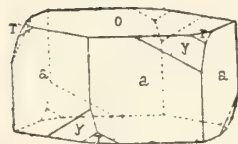


Fig. 57.

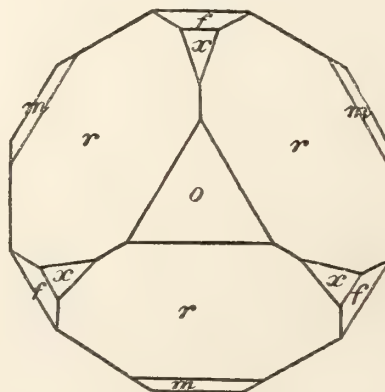


Fig. 56.

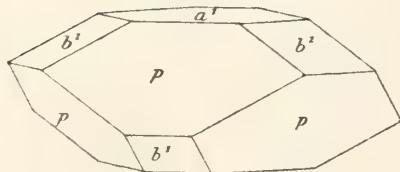
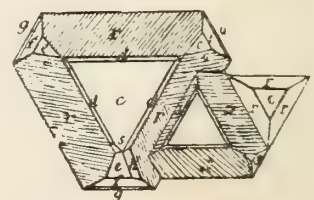


Fig. 58.



Dolomit

Fig. 59.

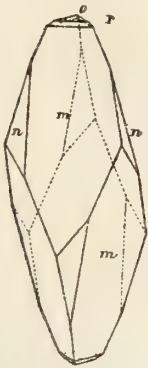


Fig. 60.

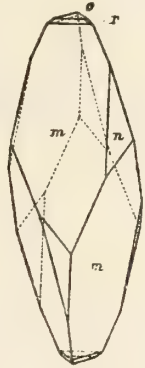


Fig. 61.

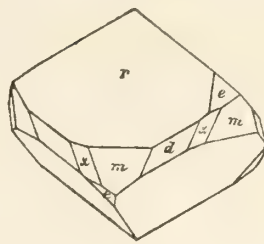


Fig. 62.

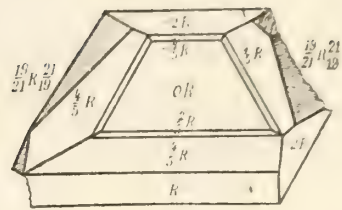


Fig. 63.

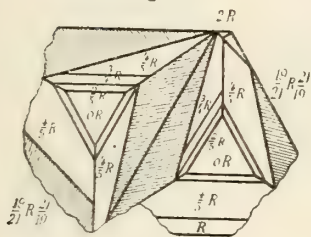


Fig. 64.

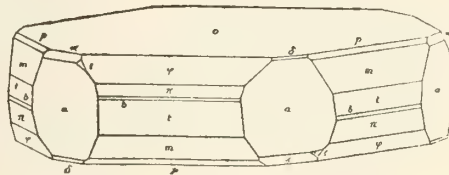


Fig. 65.

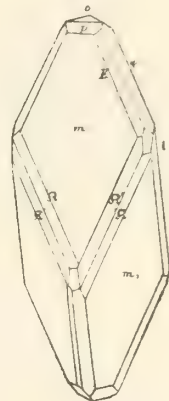


Fig. 66.

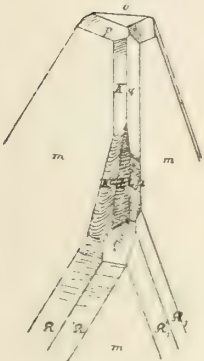


Fig. 67.

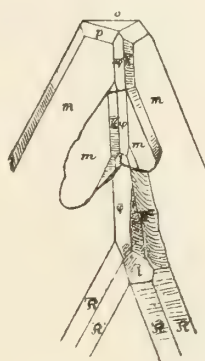


Fig. 68.



Fig. 69.



Fig. 70.

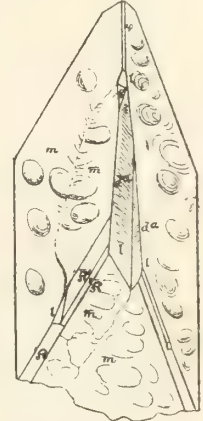


Fig. 71.



Fig. 72.

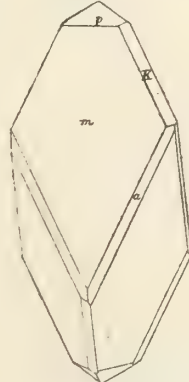


Fig. 73.

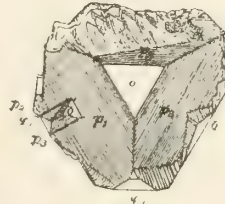
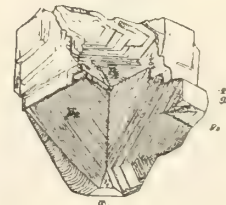


Fig. 74.



Dolomit

Fig. 91.

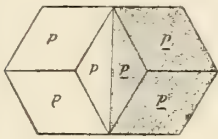


Fig. 92.

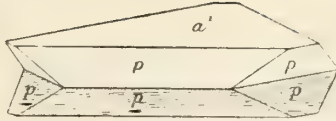


Fig. 93.

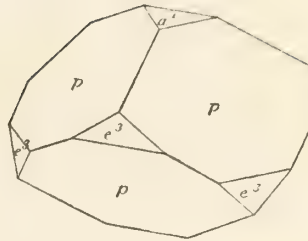


Fig. 94.

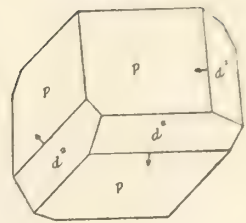


Fig. 95.

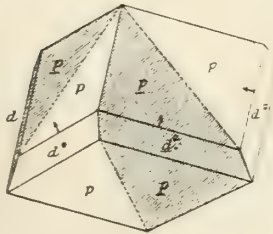


Fig. 96.

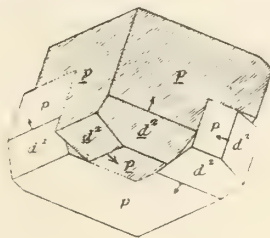


Fig. 97.

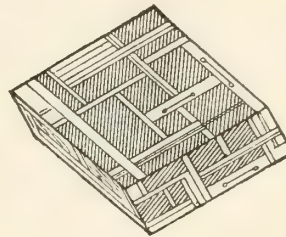


Fig. 98.

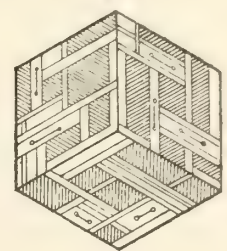


Fig. 99.

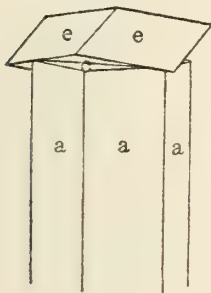


Fig. 100.

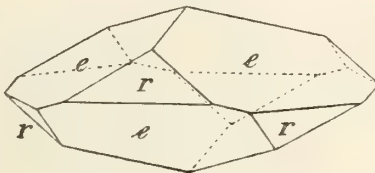
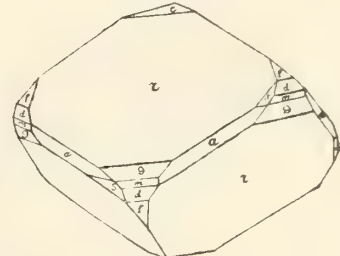


Fig. 101.



Domeykit

Fig. 102.

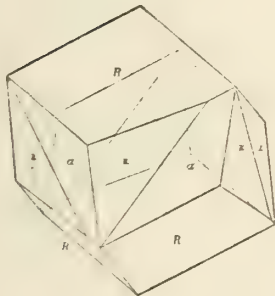


Fig. 1.



Fig. 2.

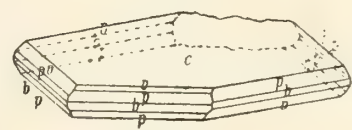


Fig. 3.

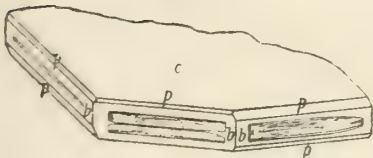


Fig. 4.

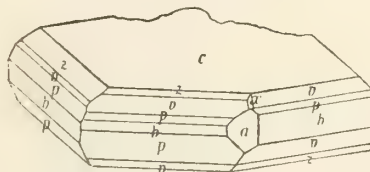
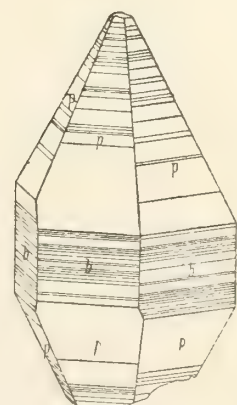


Fig. 5.



Domeykit

Fig. 6.

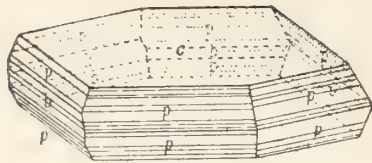


Fig. 7.

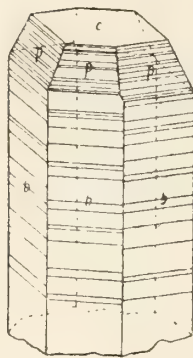


Fig. 2.

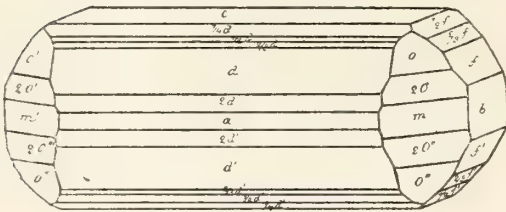


Fig. 4.

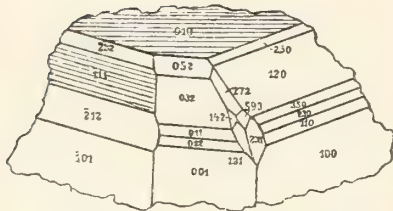
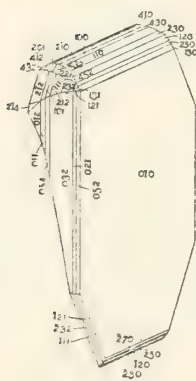


Fig. 7.



Dumortierit

Fig. 1.

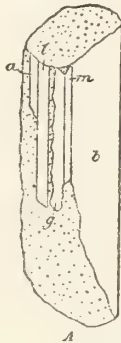


Fig. 5.

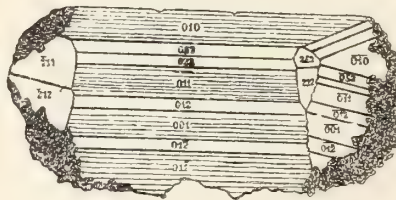


Fig. 2.

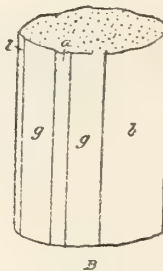
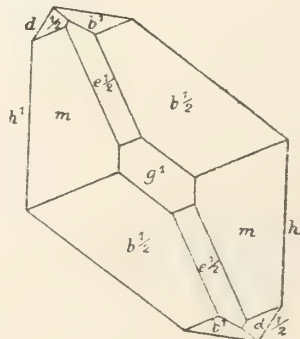
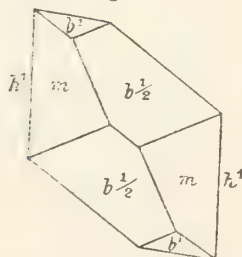


Fig. 2.



Durangit

Fig. 1.



Dufrénoysit

Fig. 1.

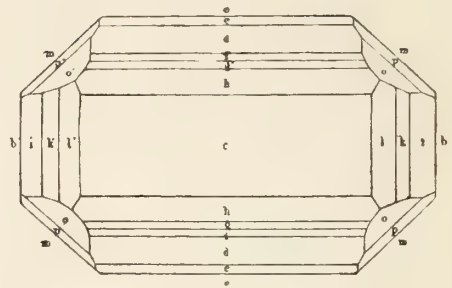


Fig. 3.

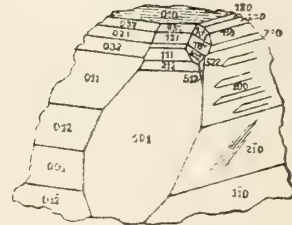


Fig. 6.

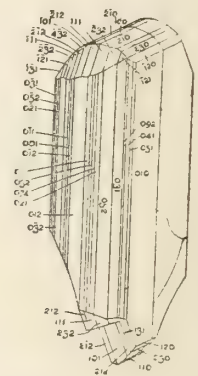
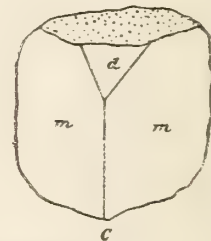
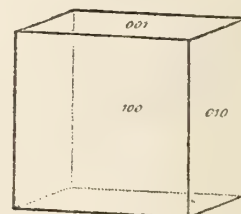


Fig. 3.



Dysanalyt

Fig. 1.



Edingtonit

Fig. 1.

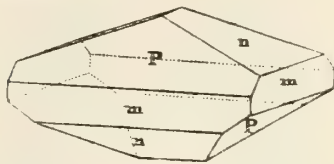


Fig. 2.

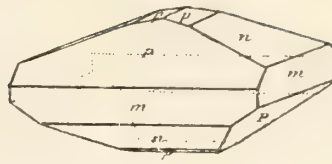


Fig. 3.

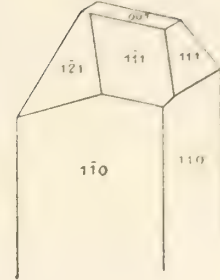


Fig. 4.



Fig. 5.

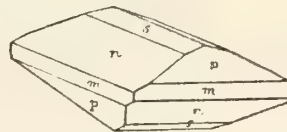


Fig. 6.

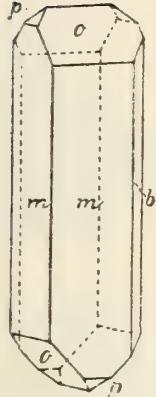


Fig. 7.

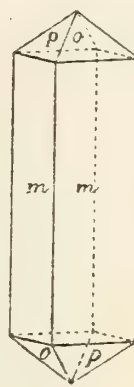


Fig. 8.

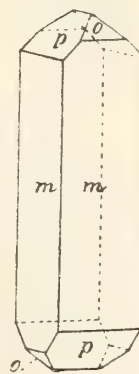


Fig. 9.

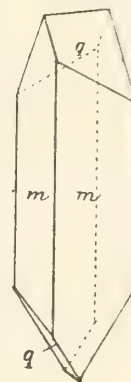


Fig. 10.



Fig. 11.

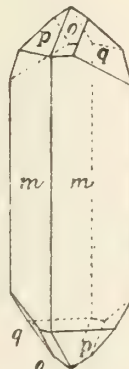


Fig. 12.

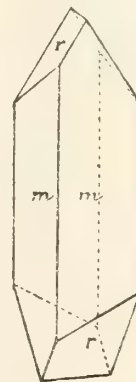


Fig. 13.

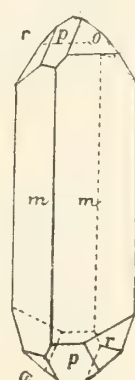


Fig. 14.

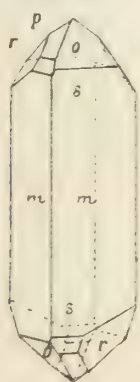
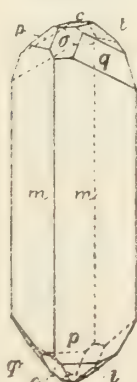


Fig. 15.



Eglestonit

Fig. 1.

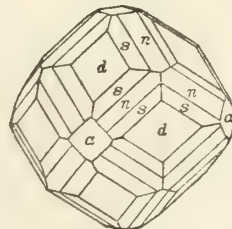
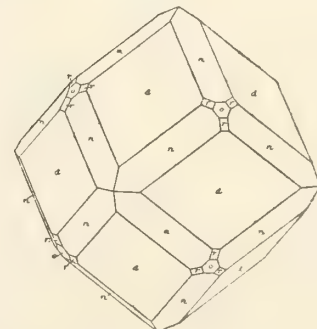
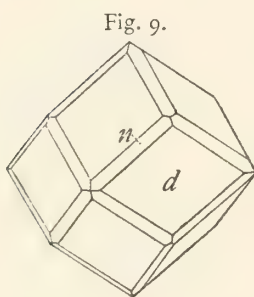
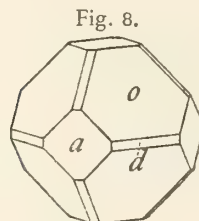
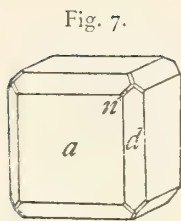
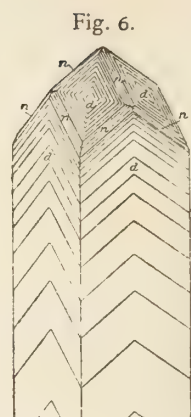
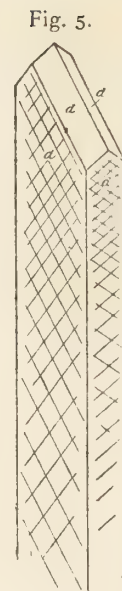
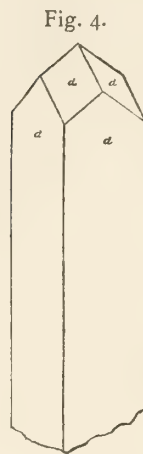
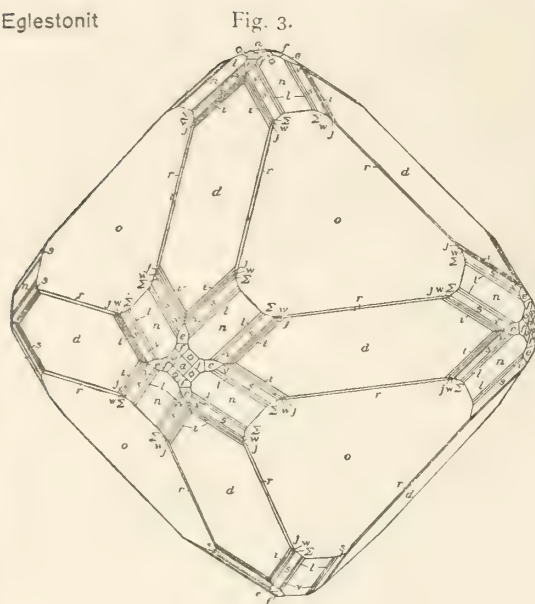


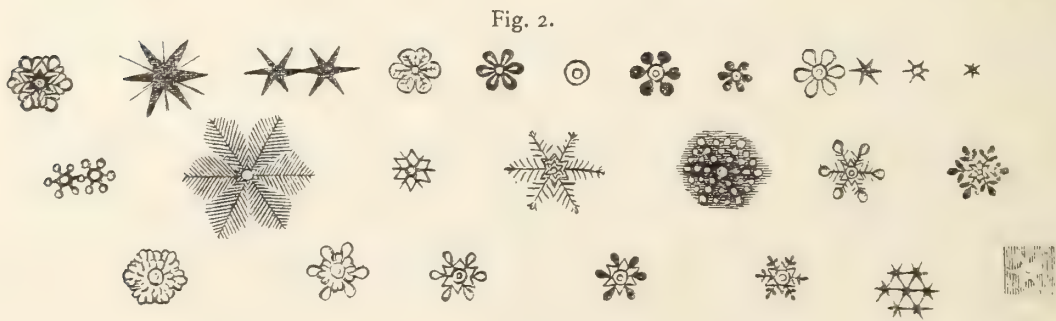
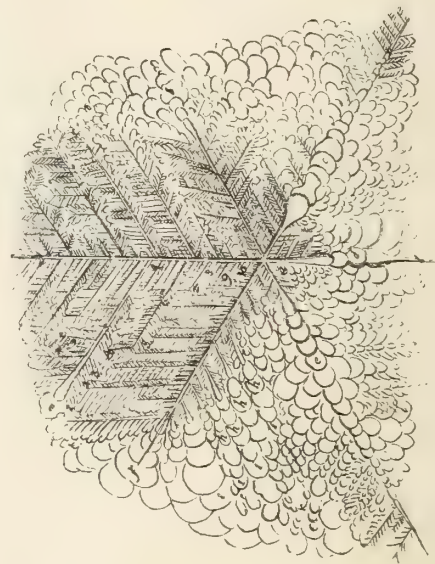
Fig. 2.



Eglestonit



Eis (Schnee)



Eis (Schnee) Fig. 3.



Fig. 4.

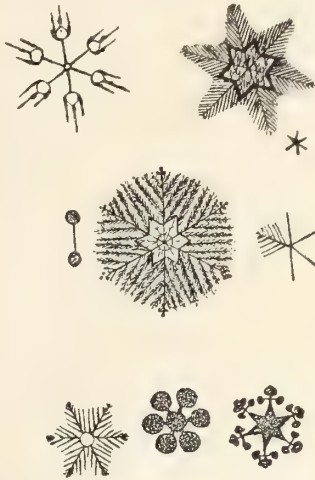


Fig. 5.

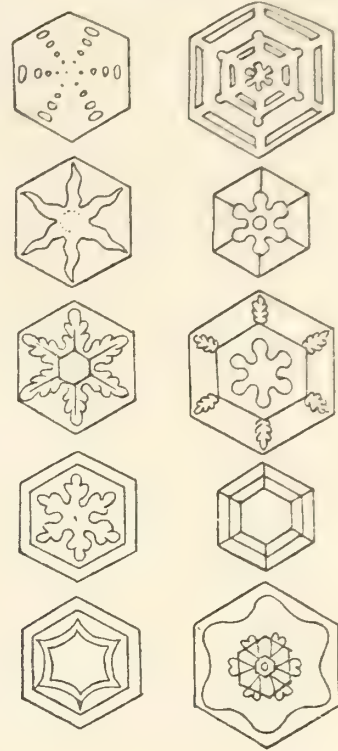


Fig. 6.

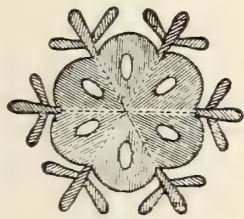


Fig. 7.



Fig. 8.

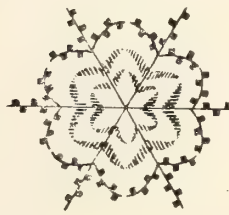


Fig. 9.



Fig. 10.

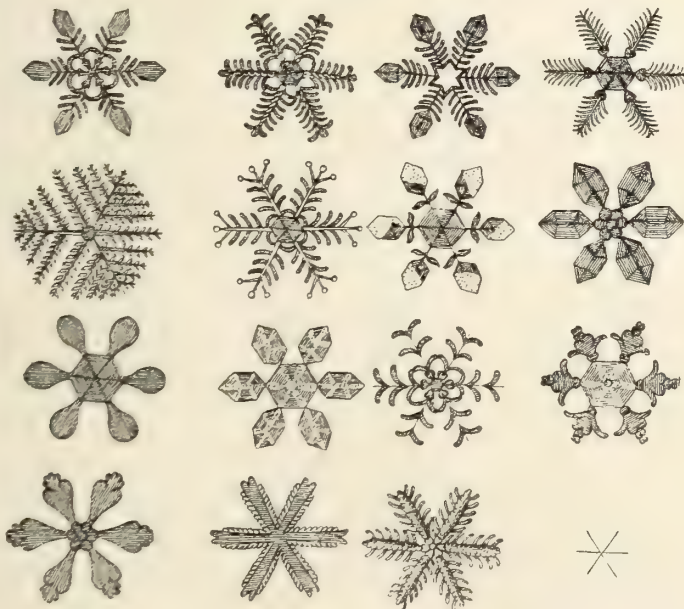


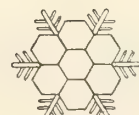
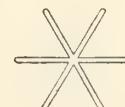
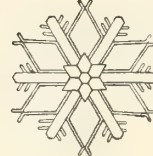
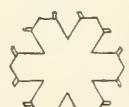
Fig. 11.



Fig. 12.



Fig. 13.



Eis (Schnee)
Fig. 14.

Fig. 15.



Fig. 16.

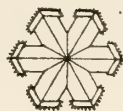


Fig. 17.



Fig. 18.

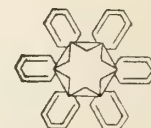
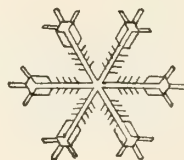
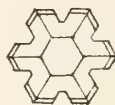
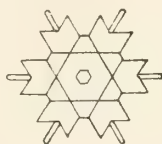
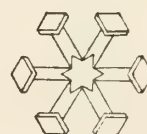
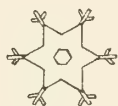
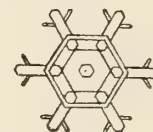
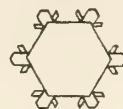


Fig. 19.



Fig. 20.



Fig. 21.



Fig. 22.

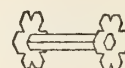
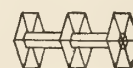
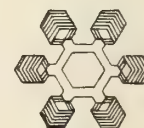
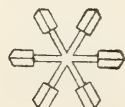
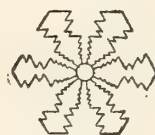
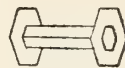
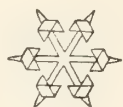


Fig. 23.



Eis (Schnee)
Fig. 24.



Fig. 25.

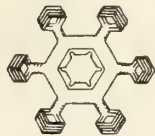


Fig. 26.



Fig. 27.

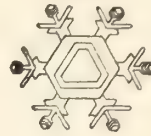


Fig. 28.

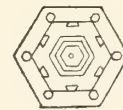
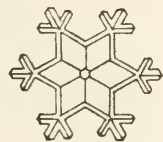
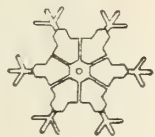
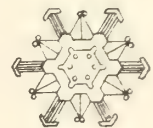
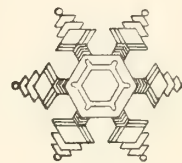
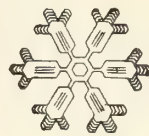
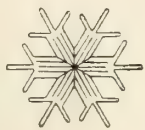
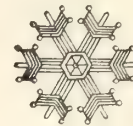
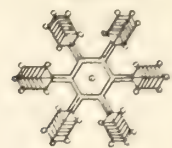


Fig. 29.



Fig. 30.

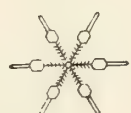


Fig. 31.

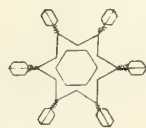


Fig. 32.

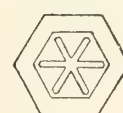
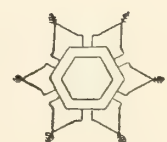
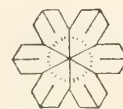
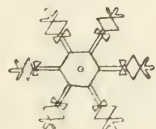
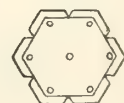
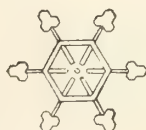
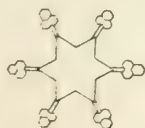
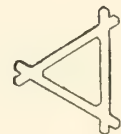
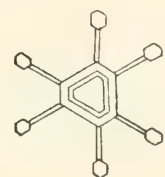


Fig. 33.



Eis (Schnee)

Fig. 34.



Fig. 35.



Fig. 36.



Fig. 37.

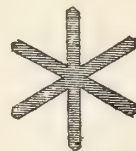
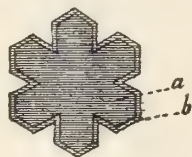
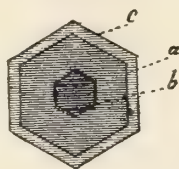


Fig. 38.



Fig. 39.

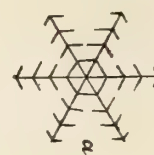


Fig. 40.

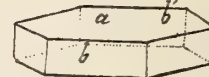


Fig. 42.

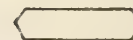
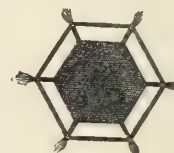


Fig. 41.

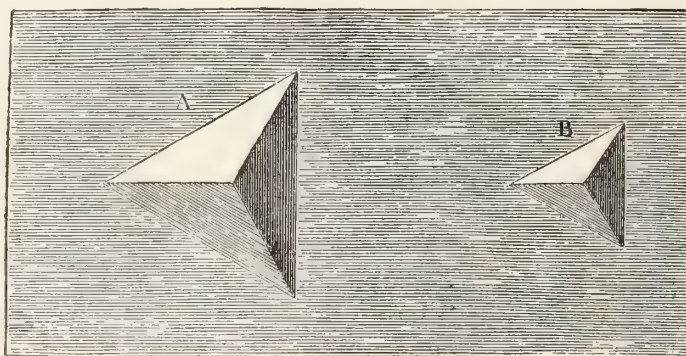


Fig. 43.

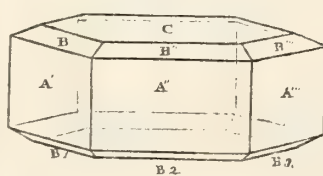


Fig. 44.

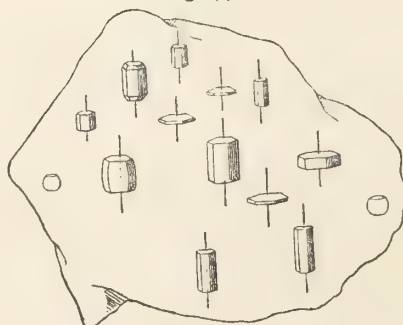
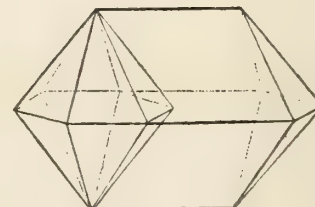


Fig. 45.



Eis (Schnee)

Fig. 46.

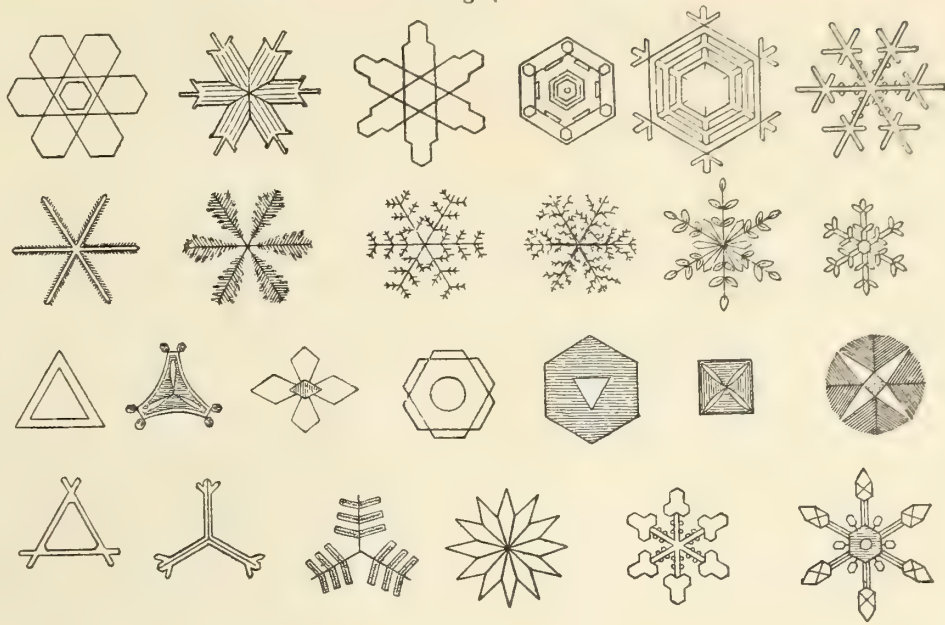
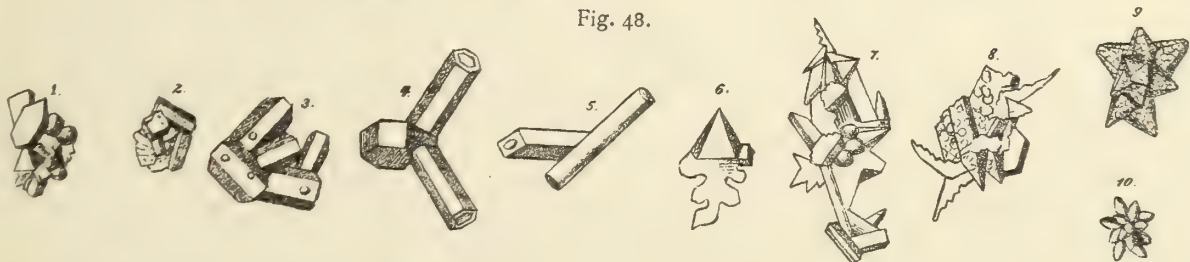


Fig. 47.

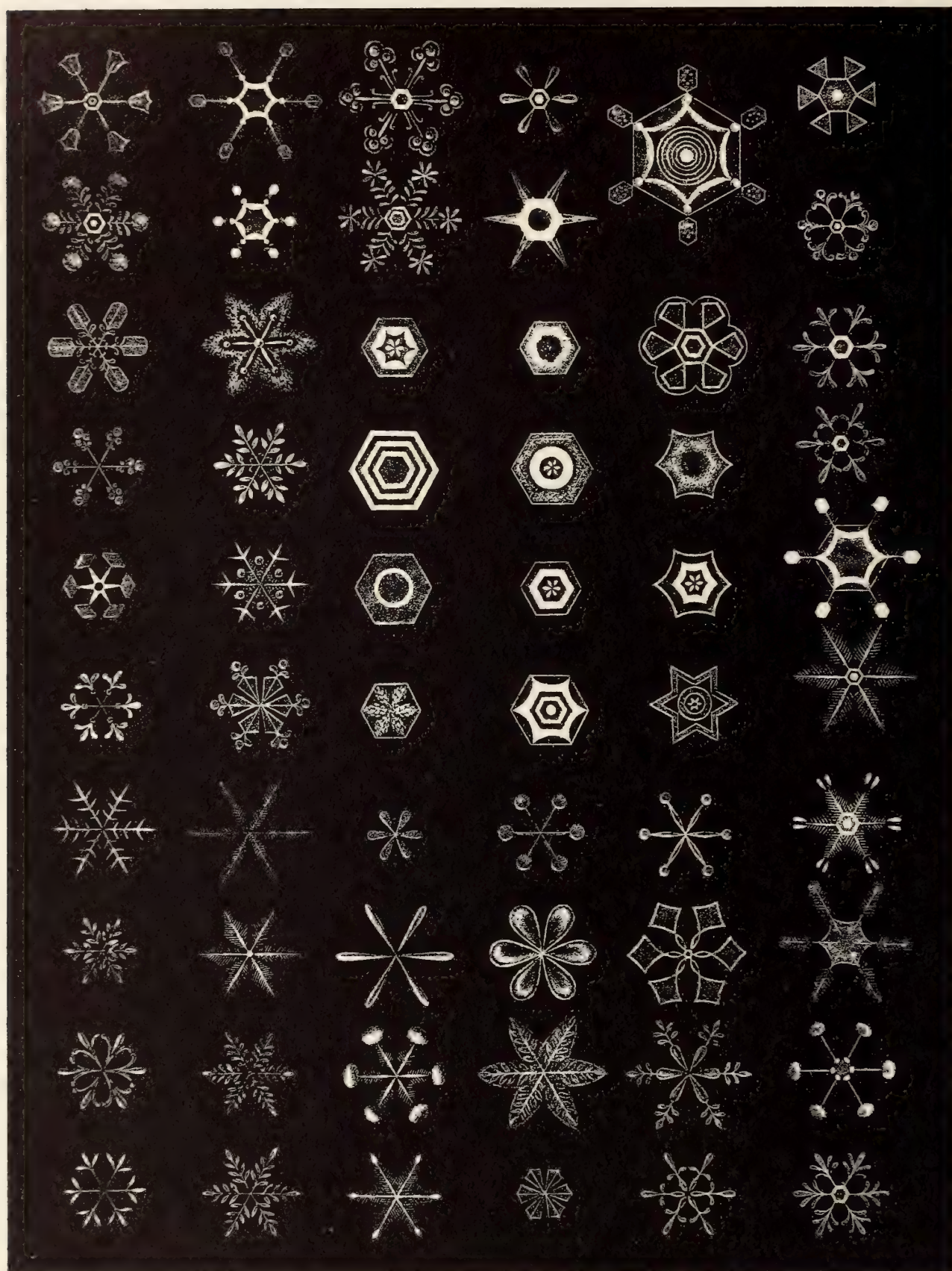


Fig. 48.



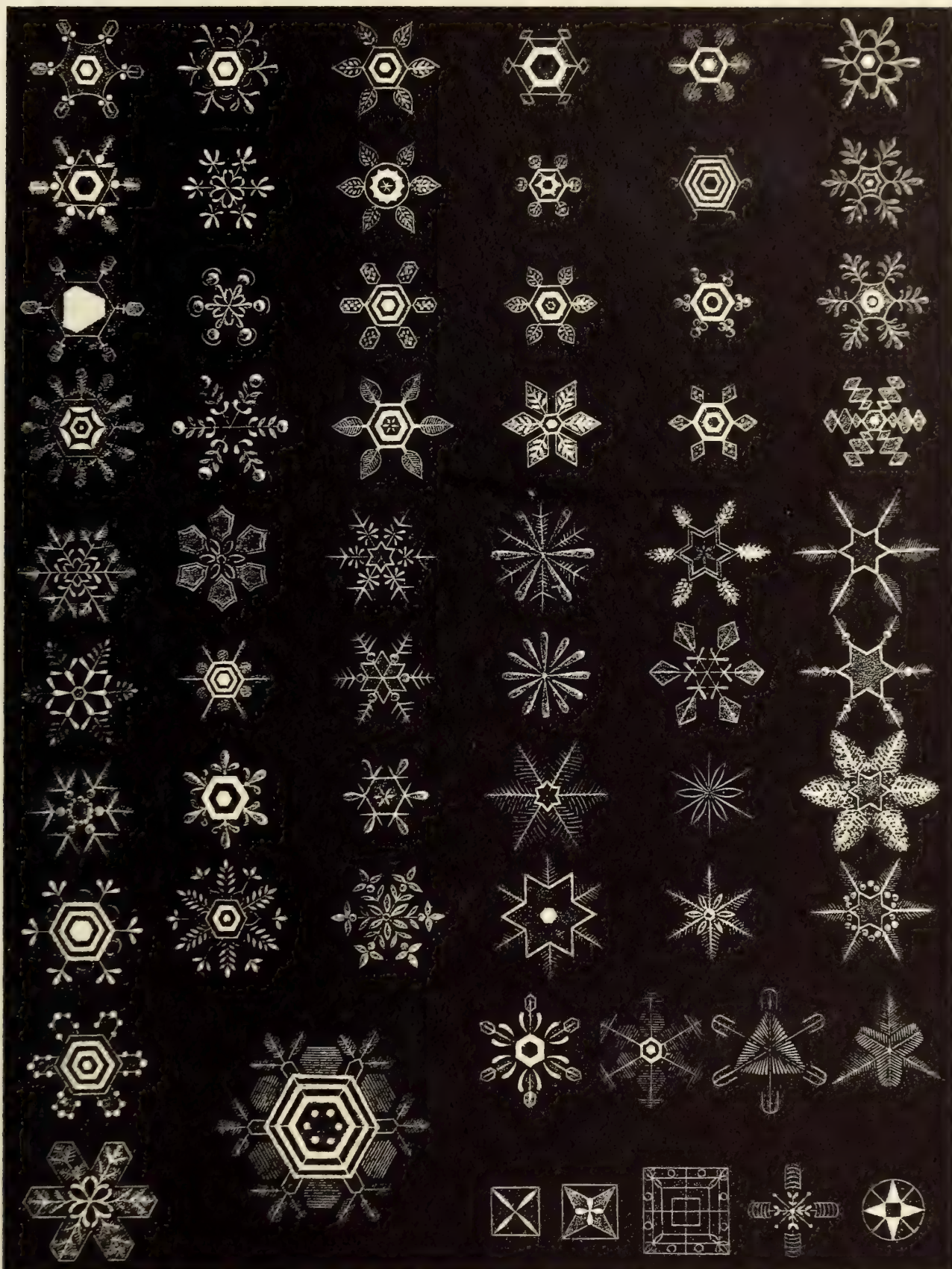
Eis (Schnee)

Fig. 49.



Eis (Schnee)

Fig. 50.



Eis (Schnee)

Fig. 51—55.

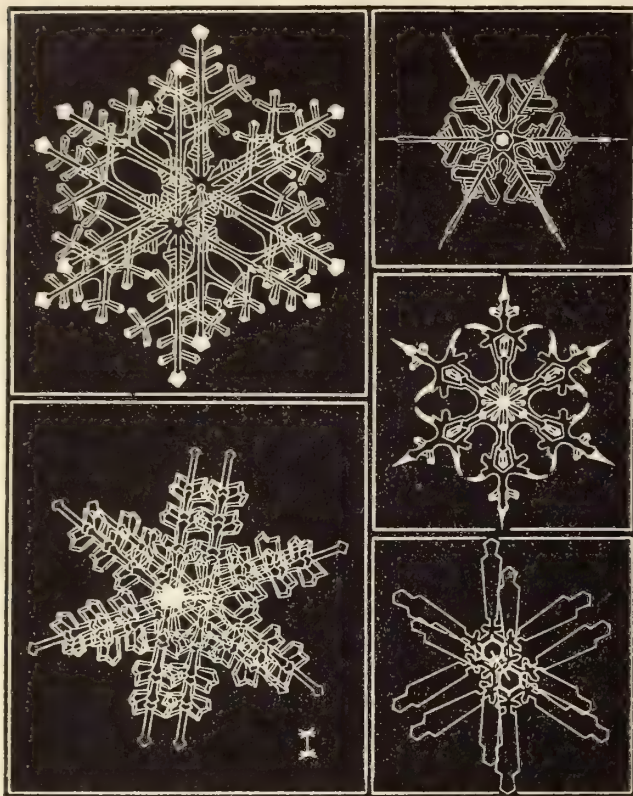


Fig. 56.

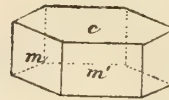


Fig. 57.

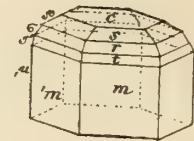


Fig. 58.

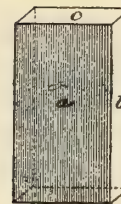


Fig. 59.

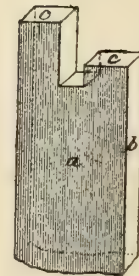


Fig. 60.

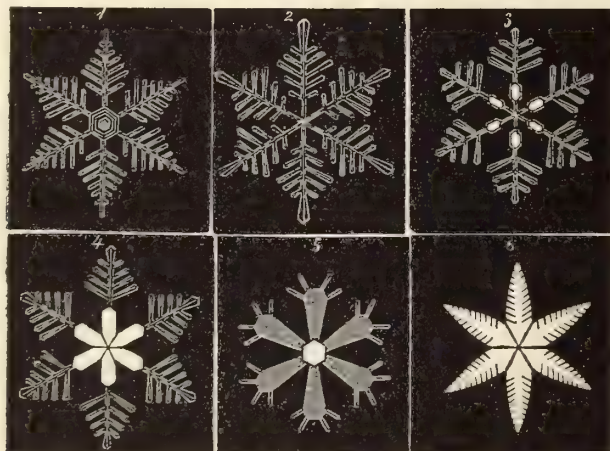


Fig. 61.



Eis (Schnee)

Fig. 62.

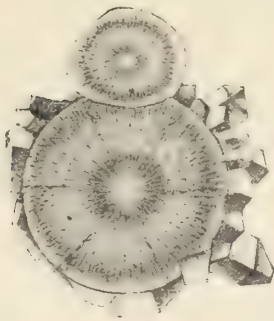


Fig. 63.



Fig. 64.

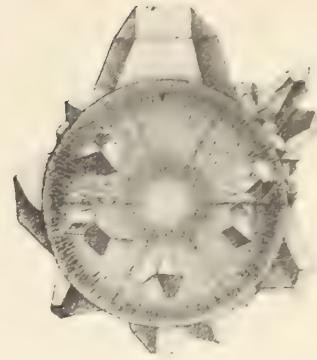


Fig. 66.

Fig. 65.

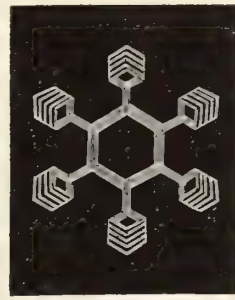


Fig. 67.

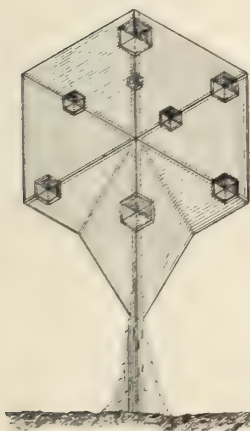


Fig. 68.



Fig. 69.



Fig. 70.

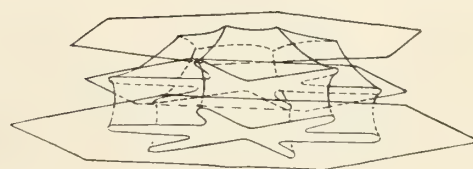
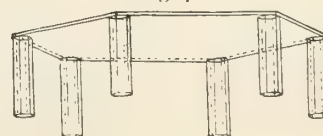


Fig. 71.



Eis (Schnee) Fig. 72.

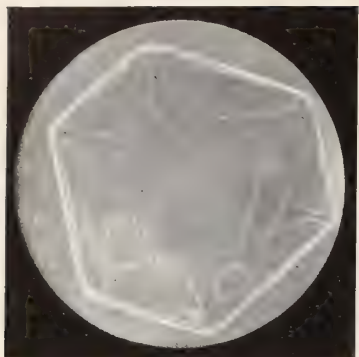


Fig. 73.



Fig. 74.

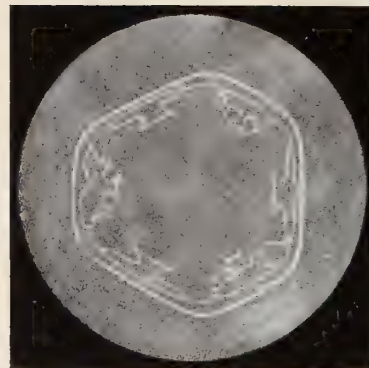


Fig. 75.

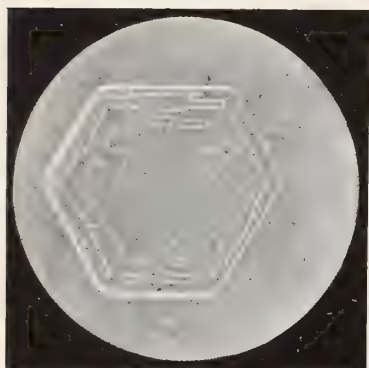


Fig. 76.

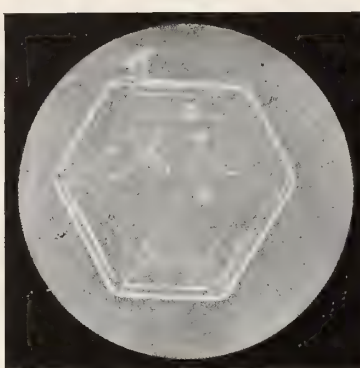


Fig. 77.

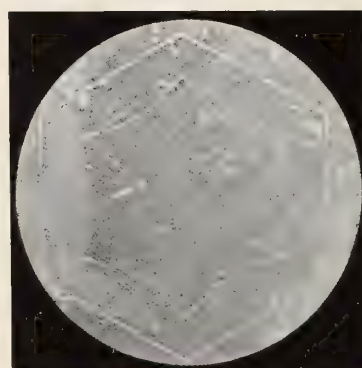


Fig. 78.

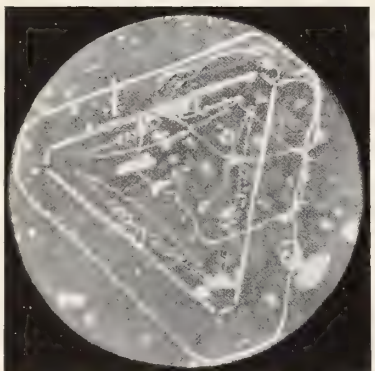


Fig. 79.

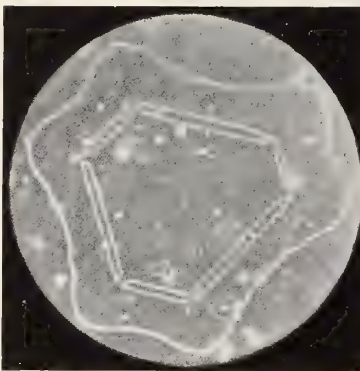


Fig. 80.

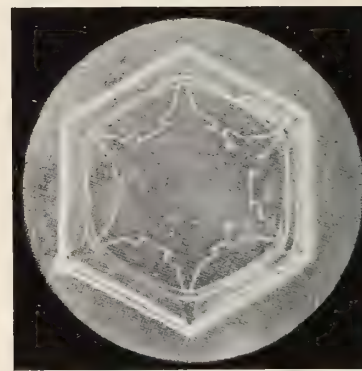


Fig. 81.



Fig. 82.

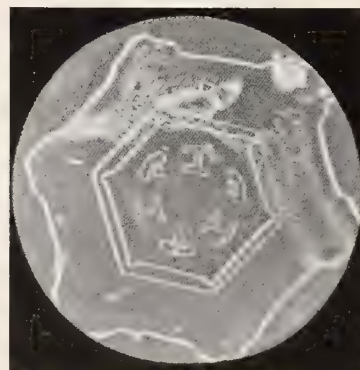
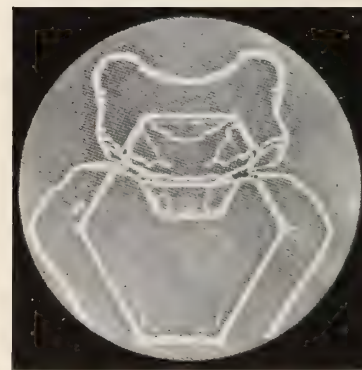


Fig. 83.



Eis (Schnce) Fig. 84.

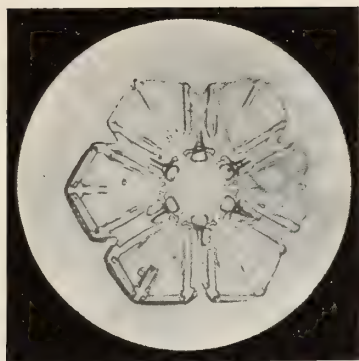


Fig. 85.

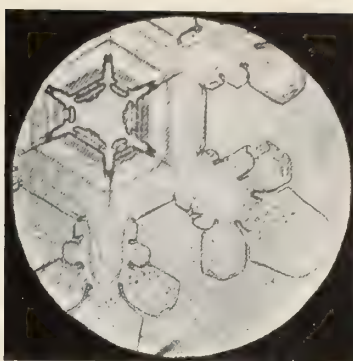


Fig. 86.



Fig. 87.

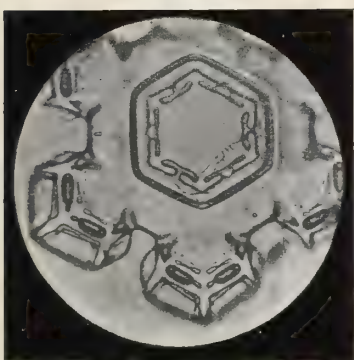


Fig. 88.



Fig. 89.

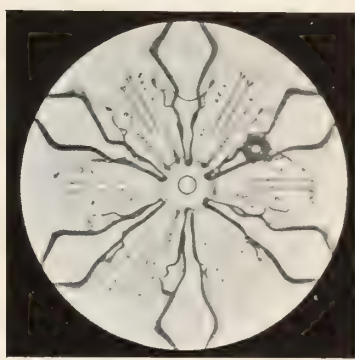


Fig. 90.

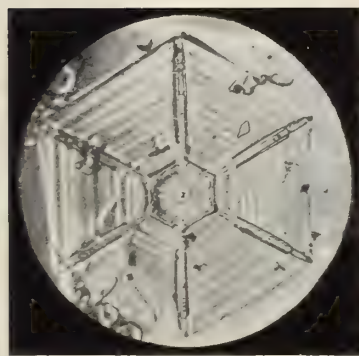


Fig. 91.



Fig. 92.

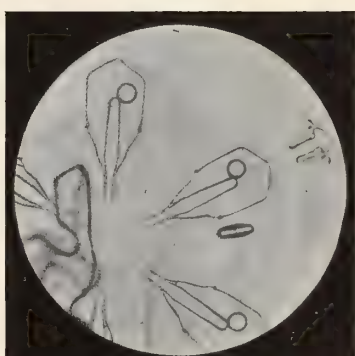


Fig. 93.

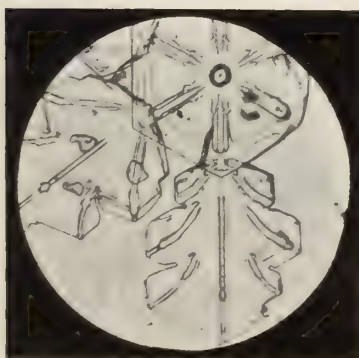


Fig. 94.

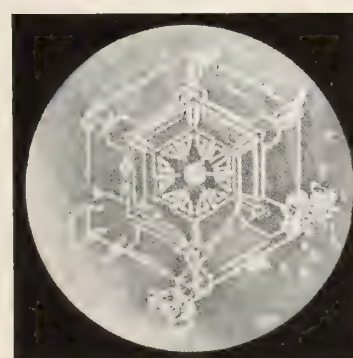
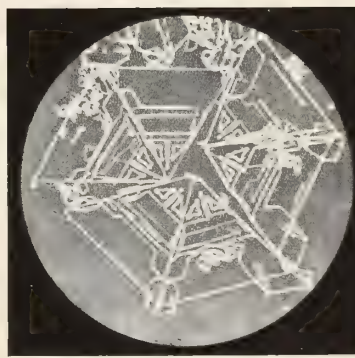


Fig. 95.



Eis (Schnee)

Fig. 96.

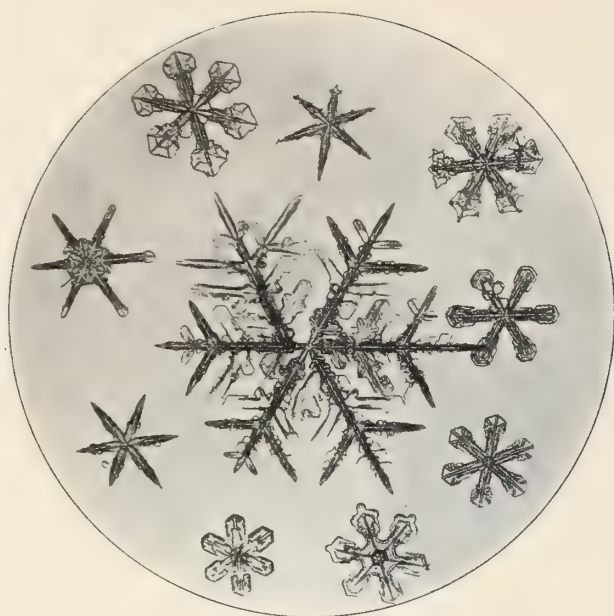
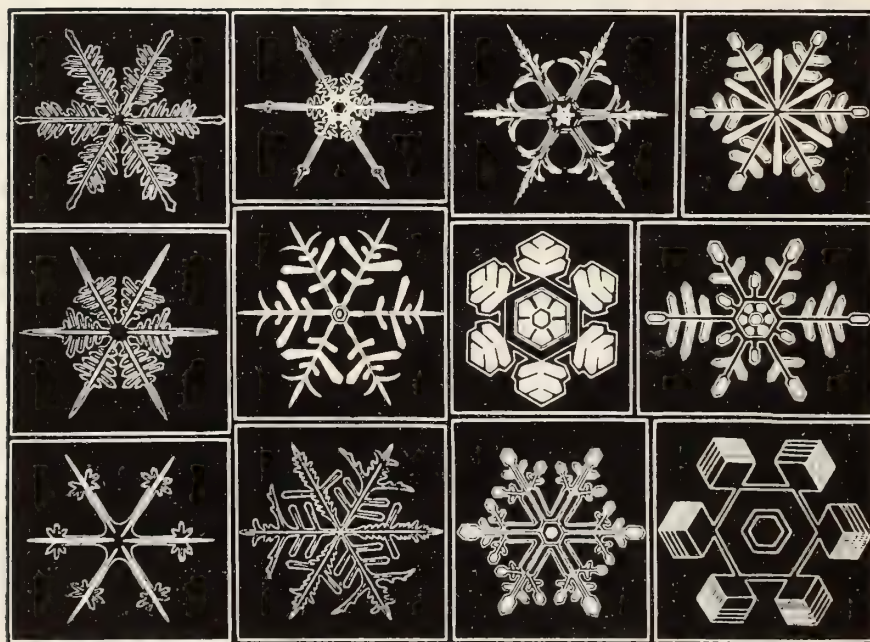


Fig. 97.



Fig. 98.



Eis (Schnee)

Fig. 99.

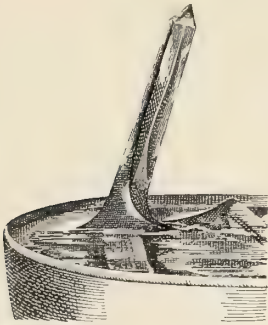


Fig. 100.

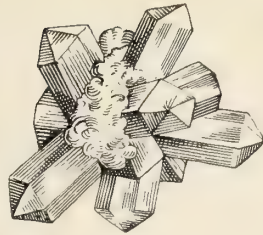


Fig. 101.

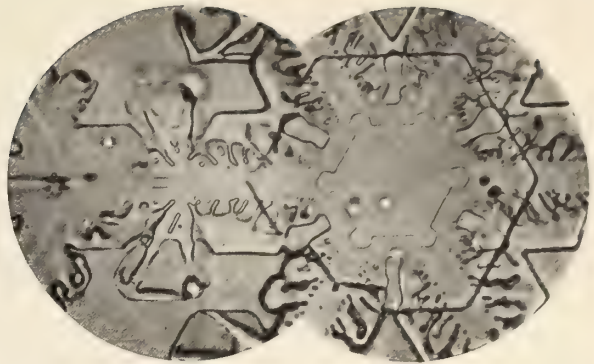


Fig. 102.



Fig. 103.



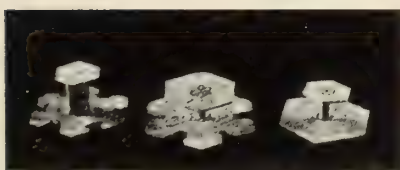
Fig. 106.



Fig. 104.



Fig. 105.



Eis (Schnee) Fig. 107.

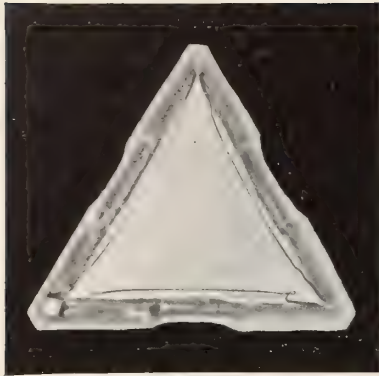


Fig. 110.

Fig. 108

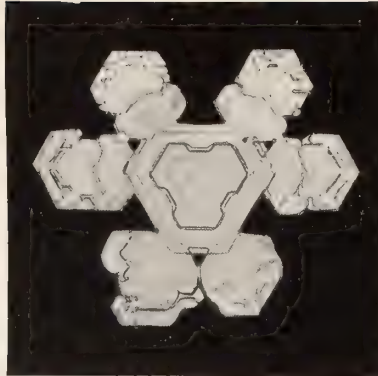


Fig. 111.

Fig. 109.

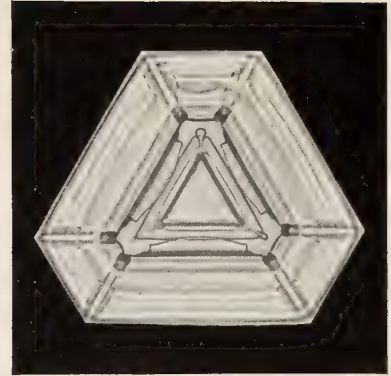


Fig. 112.

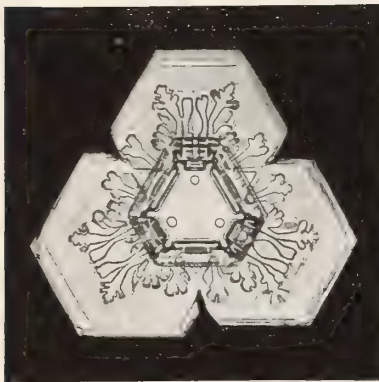


Fig. 113.



Fig. 114.

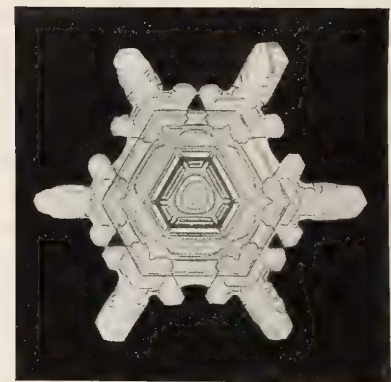


Fig. 115.



Fig. 116.

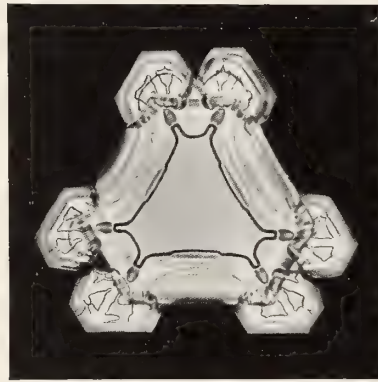


Fig. 117.

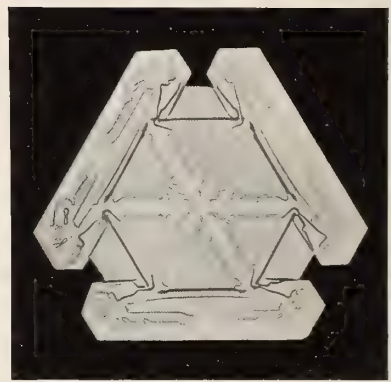
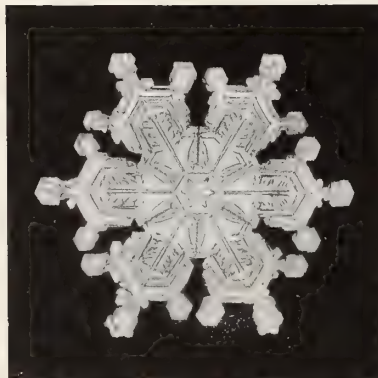
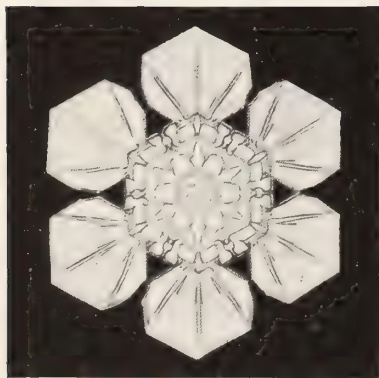


Fig. 118.



Eis (Schnee) Fig. 119.



Fig. 120.



Fig. 121.



Fig. 122.

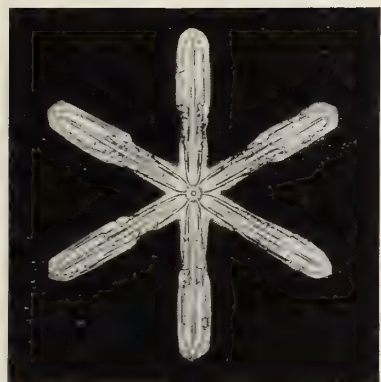


Fig. 123.

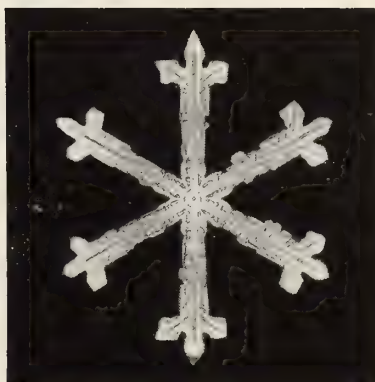


Fig. 124.



Fig. 125.



Fig. 126.



Fig. 127.



Fig. 128.



Fig. 129.



Fig. 130.



Eis (Schnee) Fig. 131.

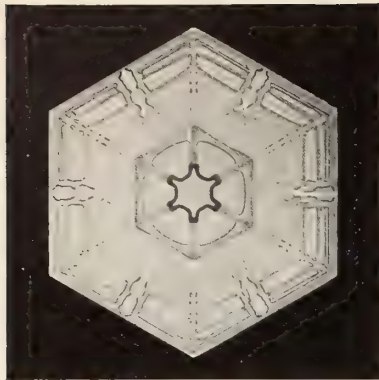


Fig. 132.

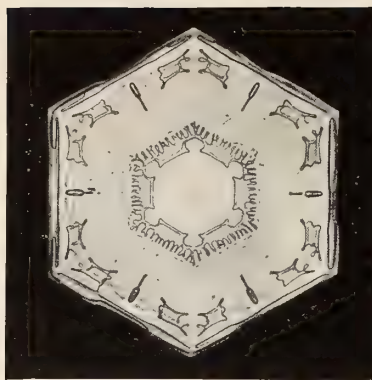


Fig. 133.

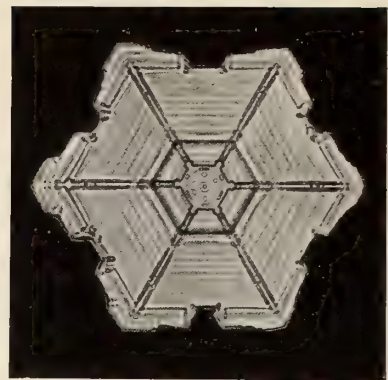


Fig. 134.



Fig. 135.



Fig. 136.



Fig. 137.



Fig. 138.

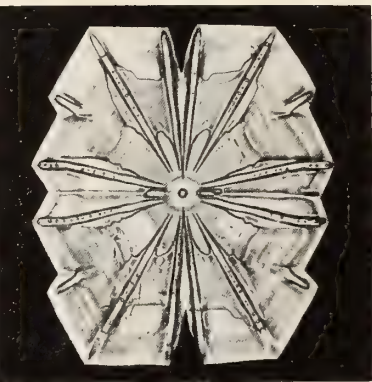


Fig. 139.

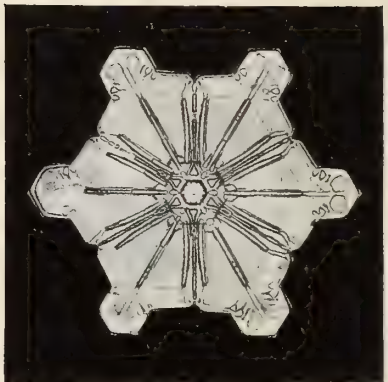


Fig. 140.

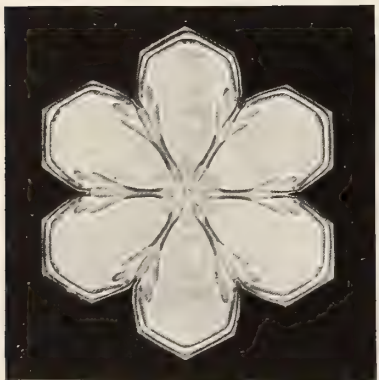
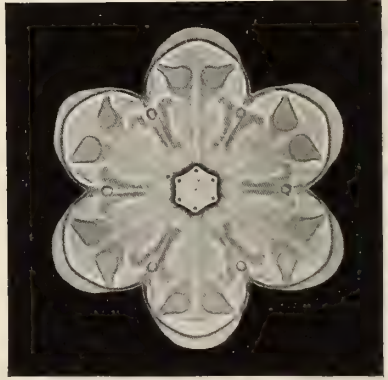


Fig. 141.

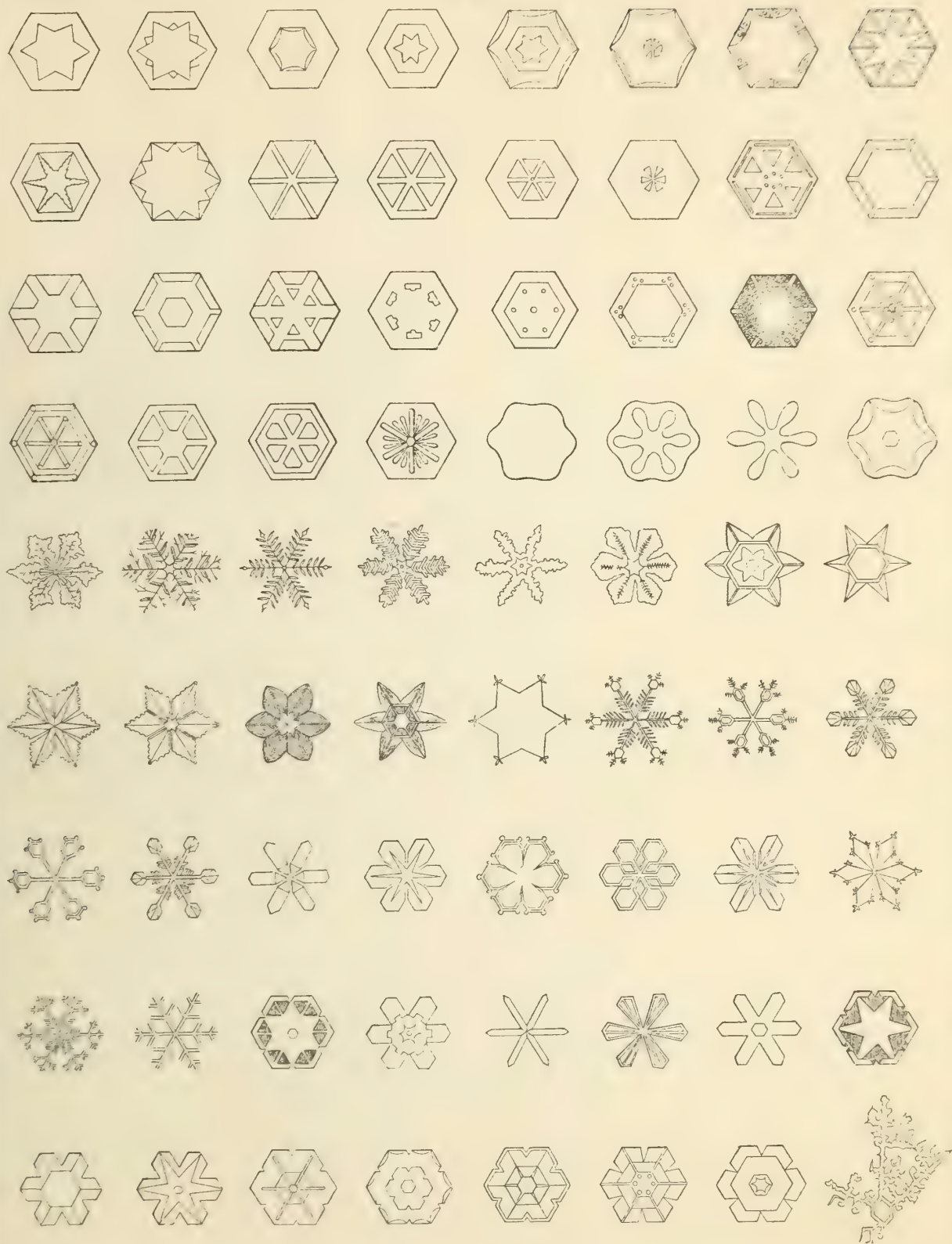


Fig. 142.



Eis (Schnee)

Fig. 143.



Eisen

Fig. 1.

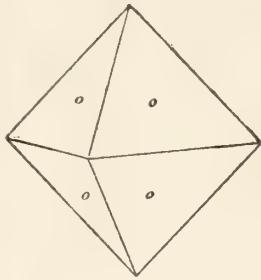


Fig. 2.

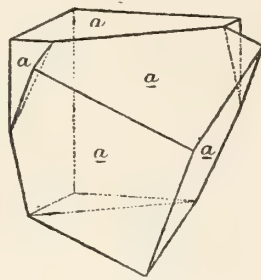


Fig. 3.

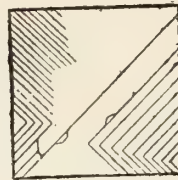


Fig. 4.

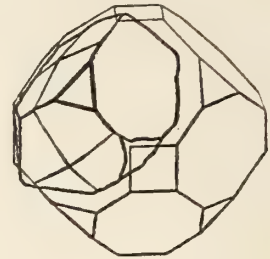


Fig. 5.

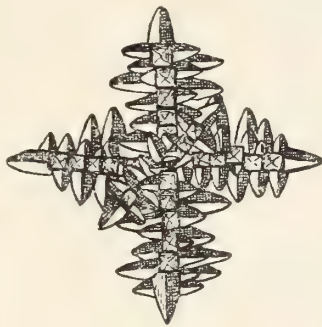
**Eisenglanz**

Fig. 1.

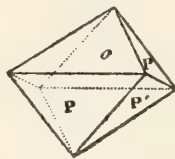


Fig. 2.

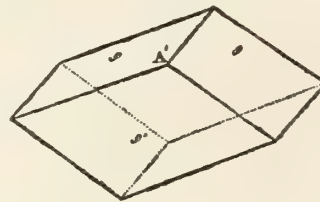


Fig. 3.

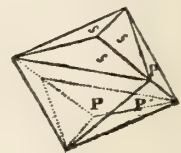


Fig. 4.

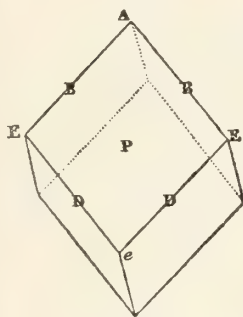


Fig. 5.

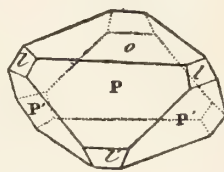


Fig. 6.

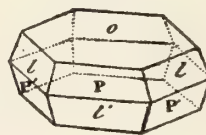


Fig. 7.

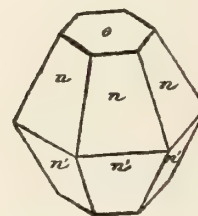


Fig. 8.

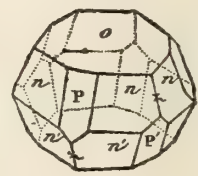


Fig. 9.

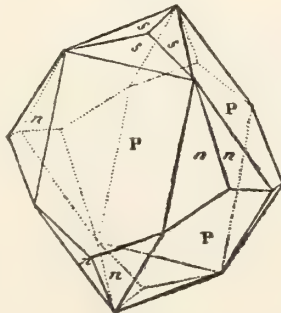


Fig. 10.

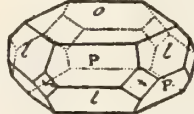


Fig. 11.

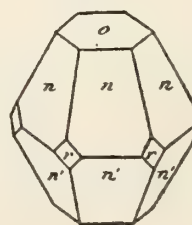
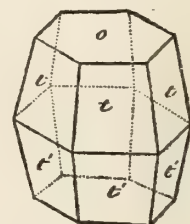


Fig. 12.



Eisenglanz

Fig. 13.

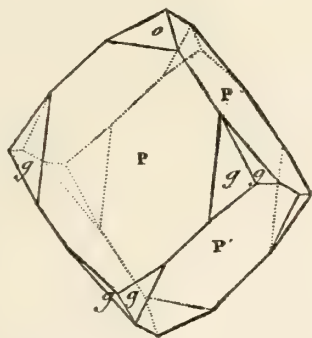


Fig. 14.

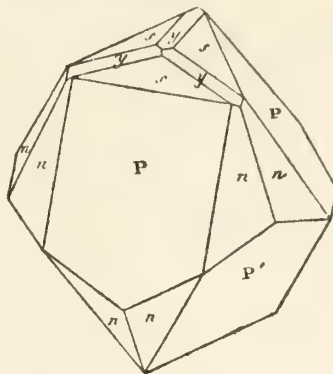


Fig. 15.

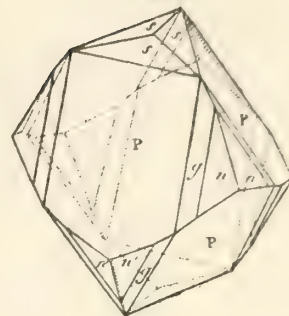


Fig. 16.

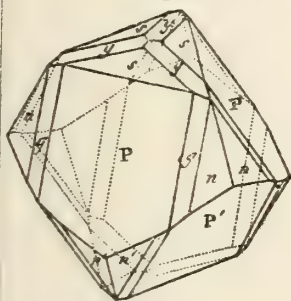


Fig. 17.

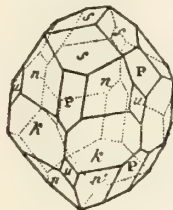


Fig. 18.

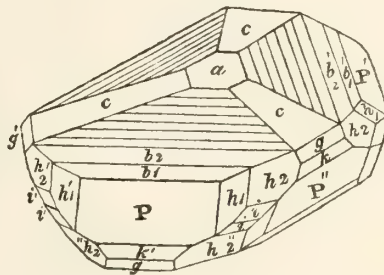


Fig. 19.

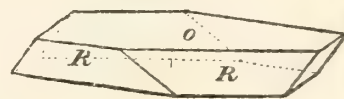


Fig. 20.

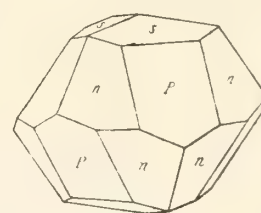


Fig. 21.

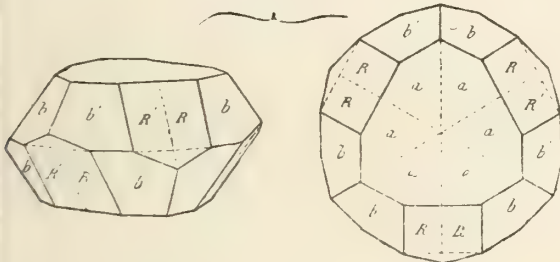


Fig. 22.

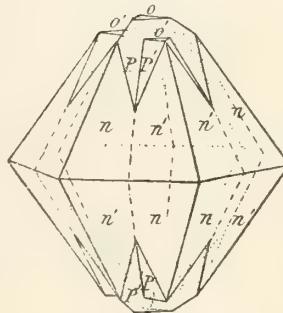


Fig. 23.

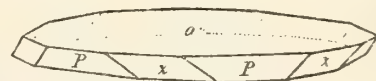


Fig. 24.

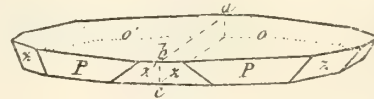


Fig. 27.

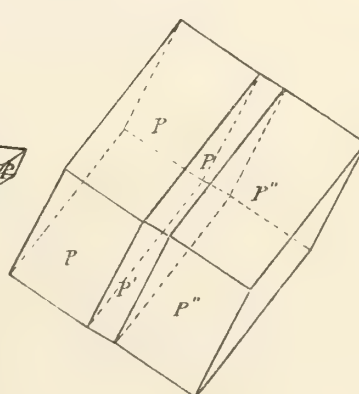


Fig. 28.

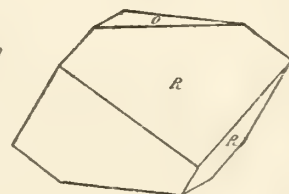


Fig. 25.

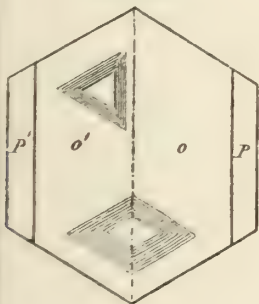
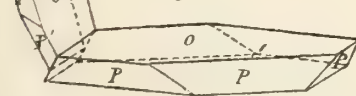


Fig. 26.



Eisenglanz

Fig. 29.

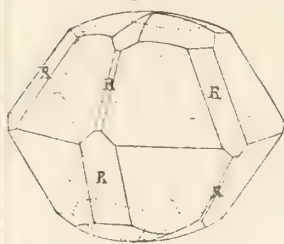


Fig. 30.

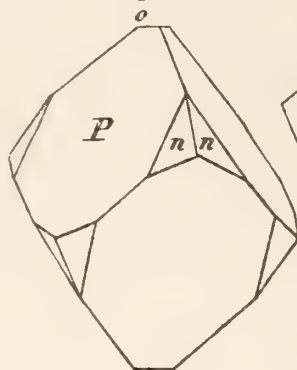


Fig. 31.

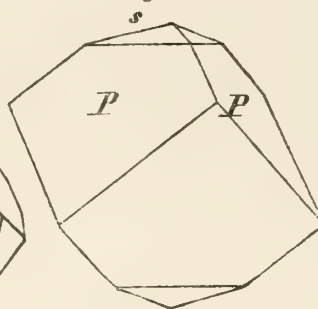


Fig. 32.

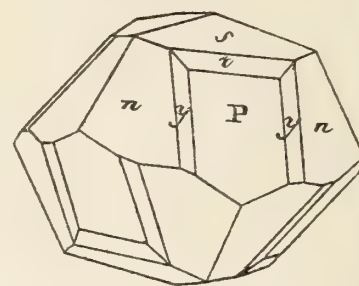


Fig. 33.

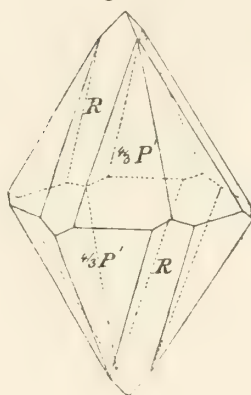


Fig. 34.



Fig. 35.

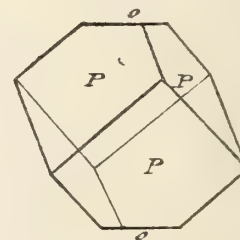


Fig. 36.

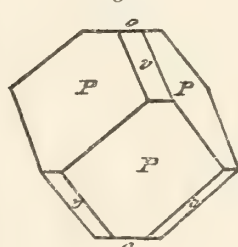


Fig. 37.

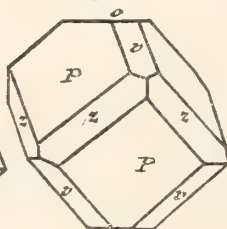


Fig. 38.

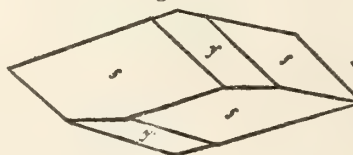


Fig. 39.

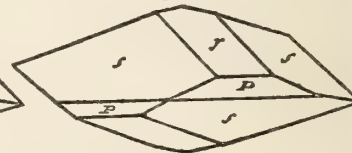


Fig. 40.

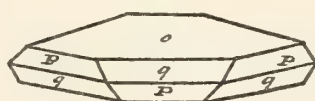


Fig. 41.

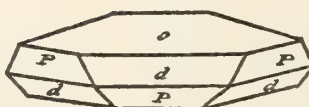


Fig. 42.

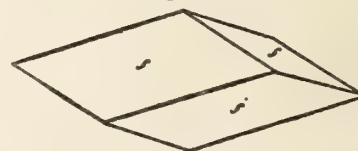


Fig. 43.

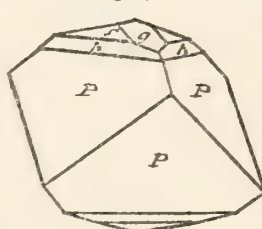


Fig. 44.

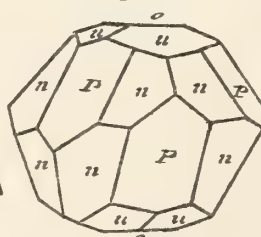


Fig. 45.

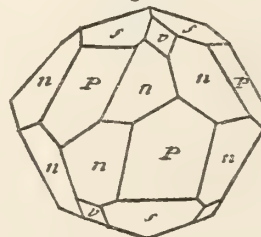
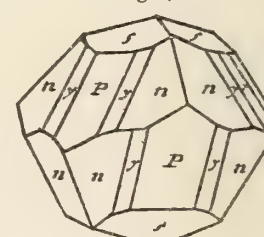


Fig. 46.



Eisenglanz

Fig. 47.

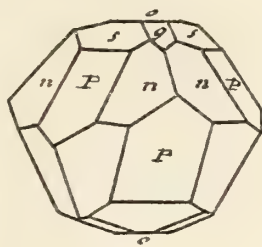


Fig. 48.

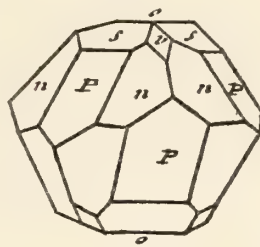


Fig. 49.

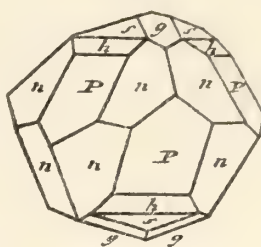


Fig. 50.

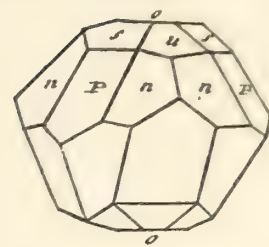


Fig. 51.

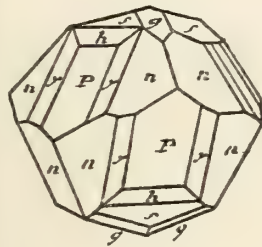


Fig. 52.

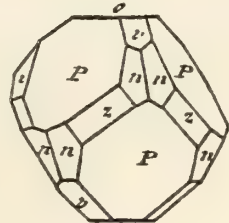


Fig. 53.

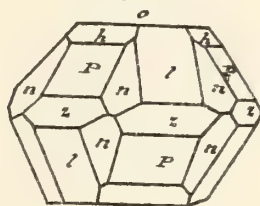


Fig. 54.

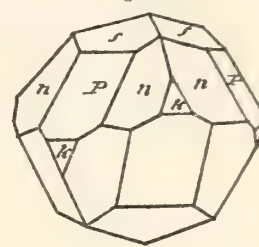


Fig. 55.

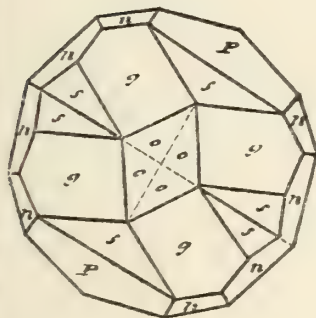


Fig. 56.

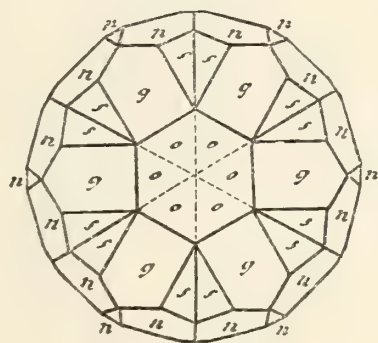


Fig. 57.

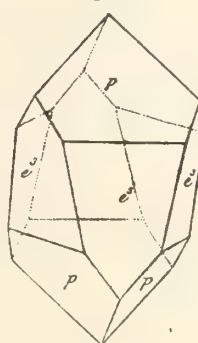


Fig. 58.

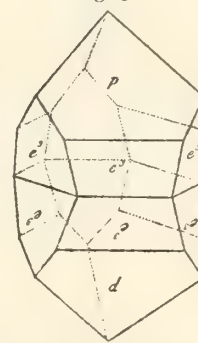


Fig. 59.

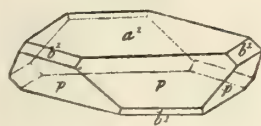


Fig. 60.



Fig. 61.

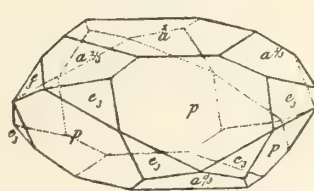


Fig. 62.



Fig. 63.

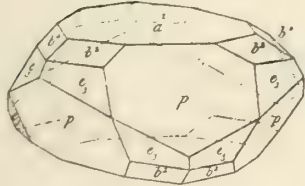


Fig. 64.

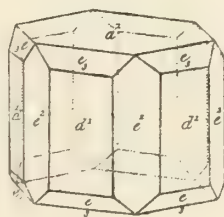


Fig. 65.

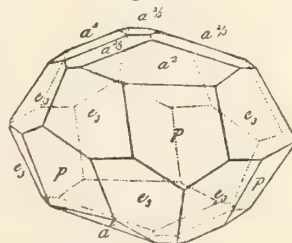
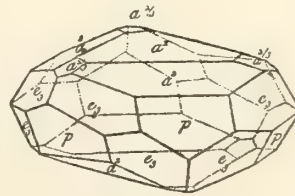


Fig. 66.



Eisenglanz

Fig. 67.

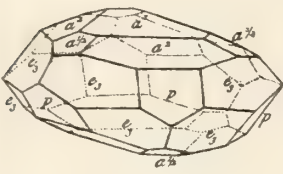


Fig. 68.

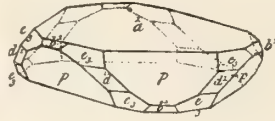


Fig. 69.

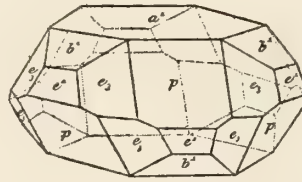


Fig. 70.

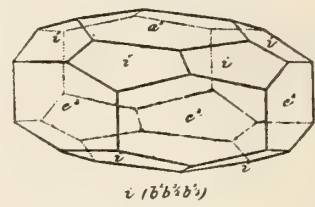


Fig. 71.

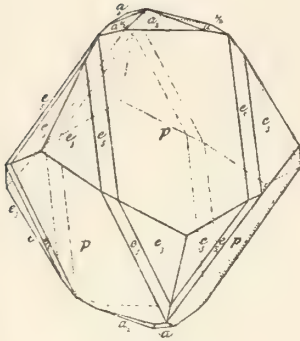


Fig. 72.

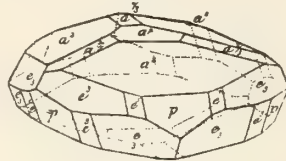


Fig. 73.

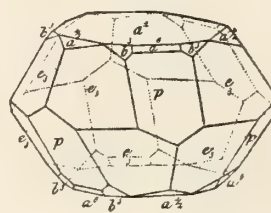


Fig. 74.

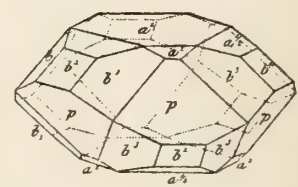


Fig. 75.

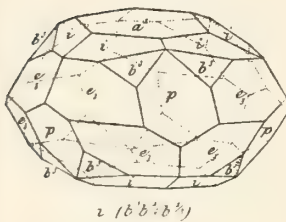


Fig. 76.

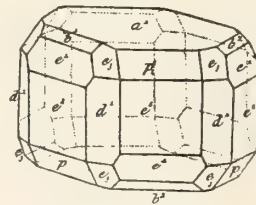


Fig. 77.

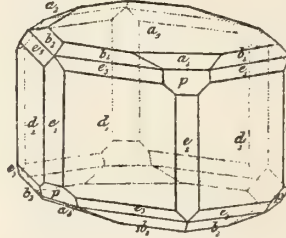


Fig. 78.

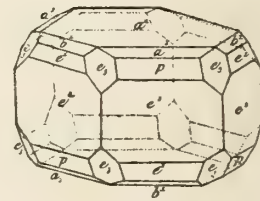


Fig. 80.

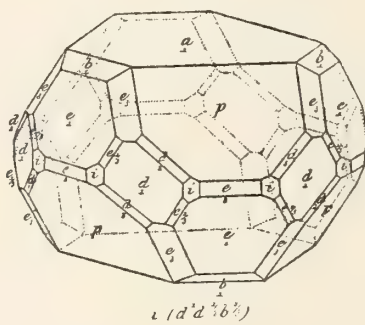


Fig. 79.

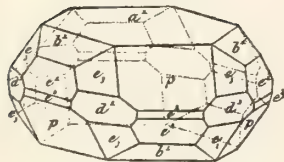


Fig. 81.

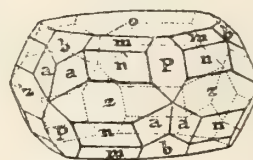


Fig. 82.

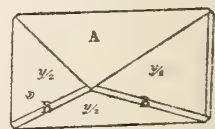


Fig. 83.

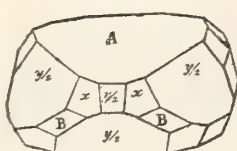


Fig. 84.

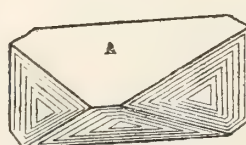


Fig. 85.

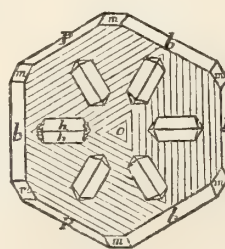
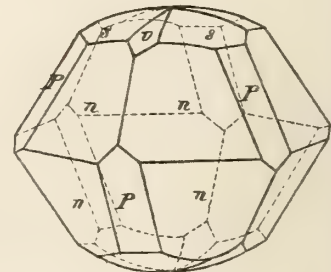


Fig. 86.



Eisenglanz

Fig. 87.

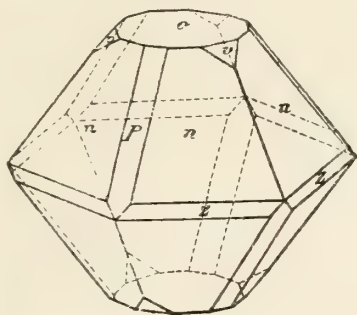


Fig. 88.

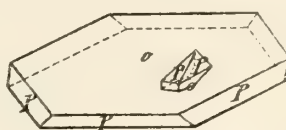


Fig. 89.

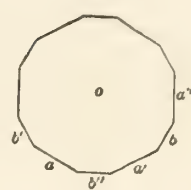


Fig. 90.

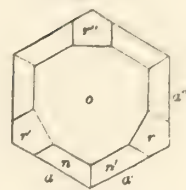


Fig. 93.

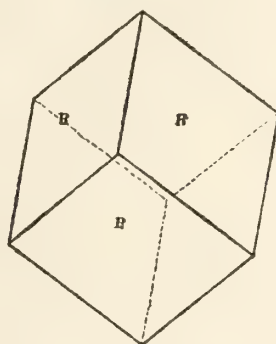


Fig. 94.

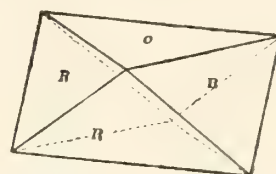


Fig. 91.

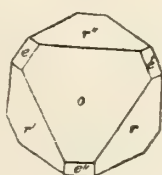


Fig. 92.

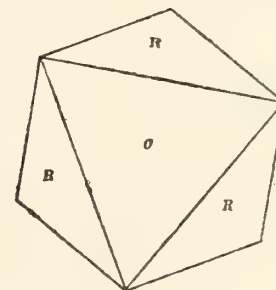
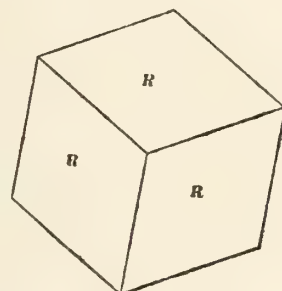
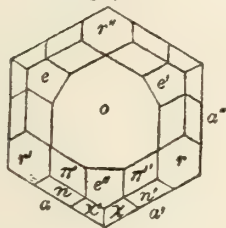


Fig. 95.

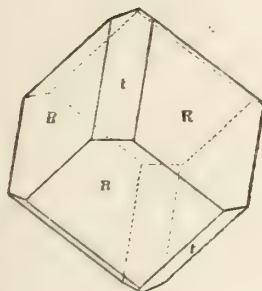


Fig. 96.

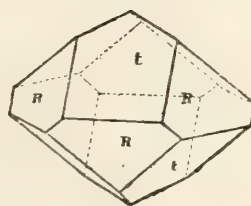


Fig. 97.

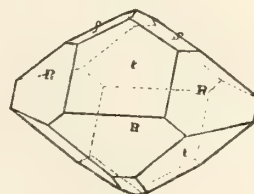
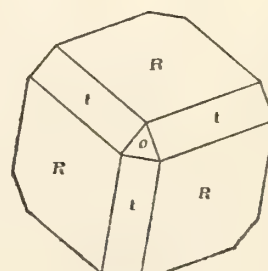
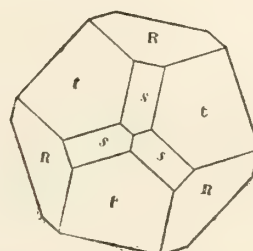
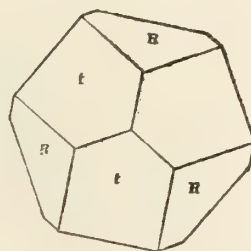
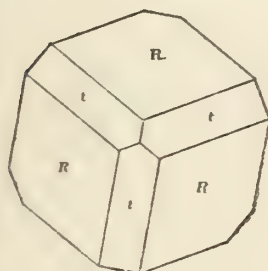
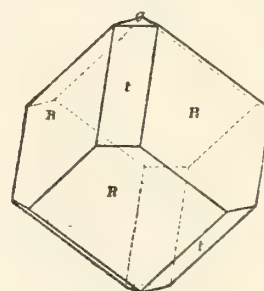


Fig. 98.



Eisenglanz

Fig. 99.

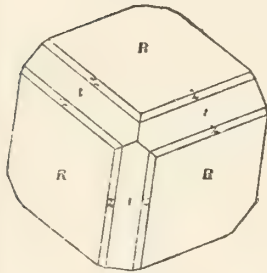
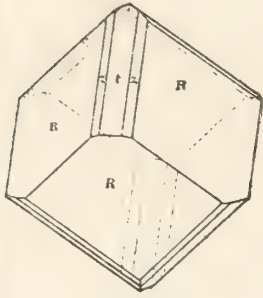


Fig. 103.

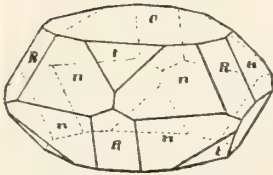


Fig. 107.

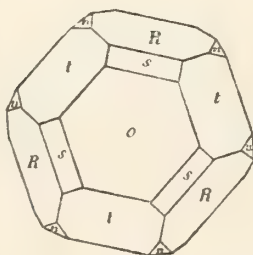
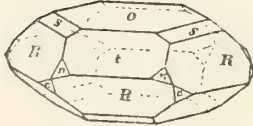


Fig. 100.

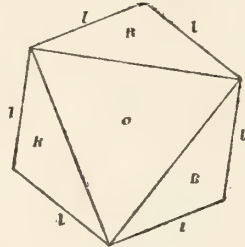
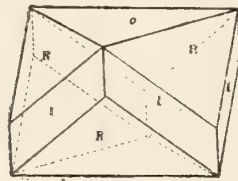


Fig. 104.

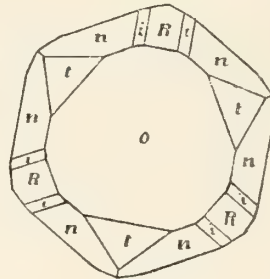
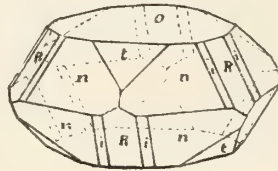


Fig. 108.

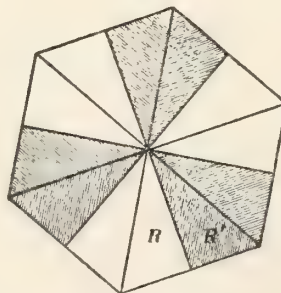
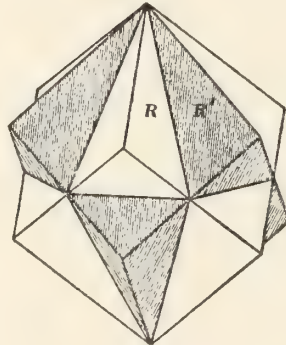


Fig. 101.

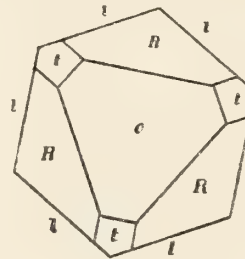
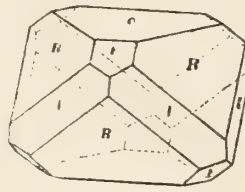


Fig. 105.

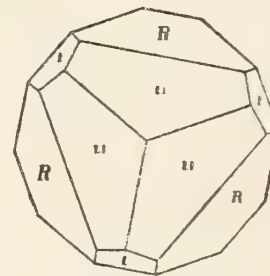
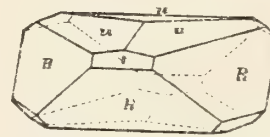


Fig. 109.

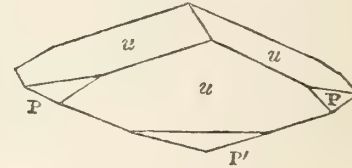


Fig. 110.

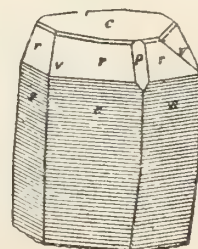


Fig. 102.

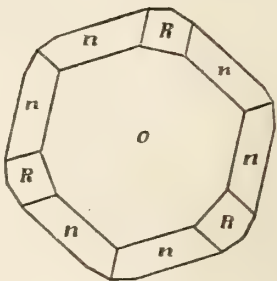
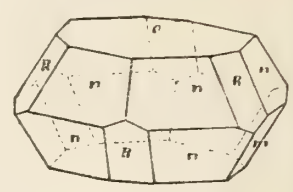


Fig. 106.

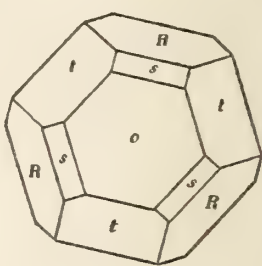
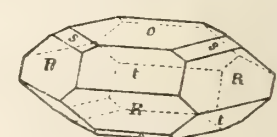
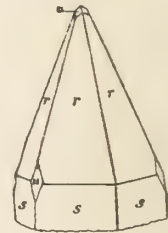


Fig. 111.



Eisenglanz

Fig. 133.

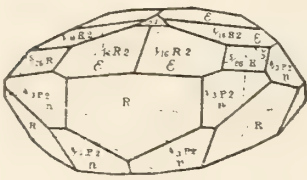


Fig. 135.

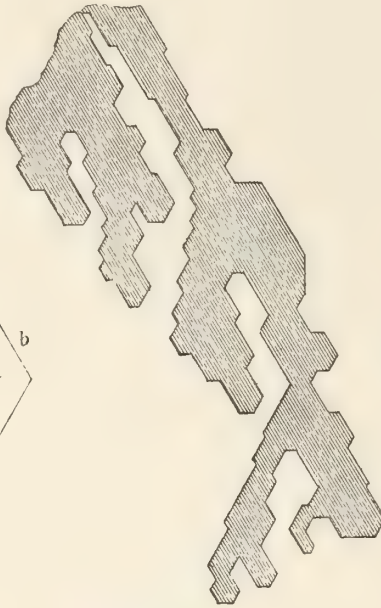


Fig. 136.

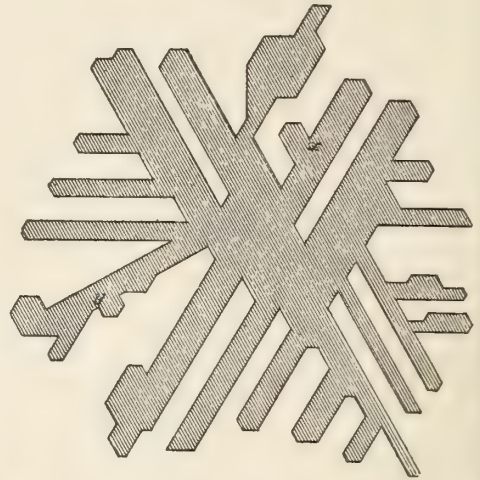


Fig. 134.

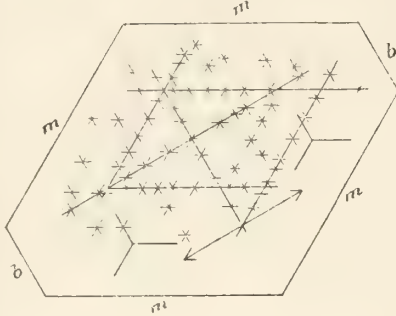


Fig. 138.



Fig. 137.

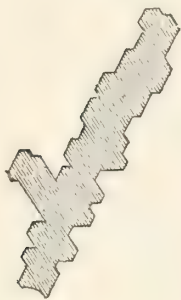


Fig. 139.



Fig. 140.

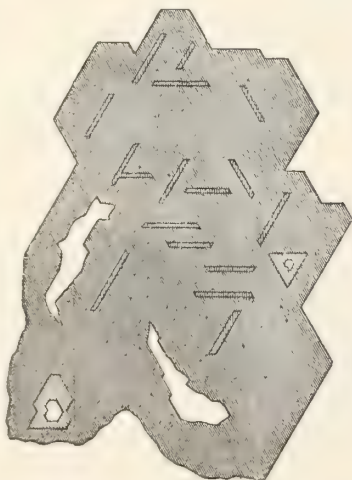


Fig. 141.

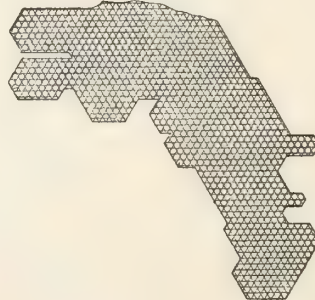


Fig. 142.

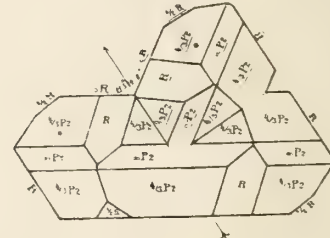
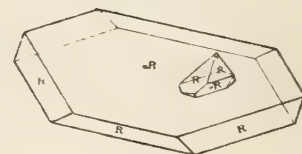


Fig. 143.



Eisenglanz

Fig. 144.

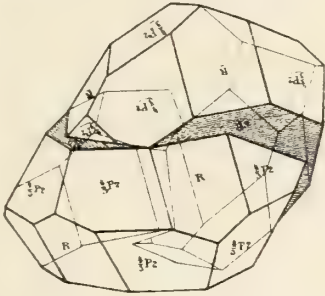


Fig. 145.

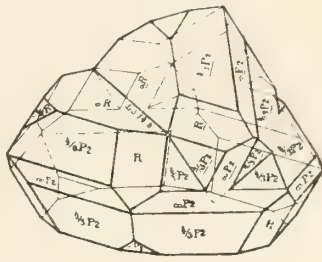


Fig. 146.



Eisenglanz

Fig. 159.

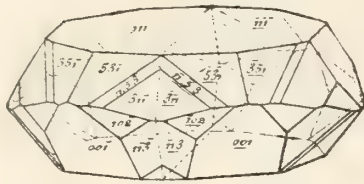


Fig. 160.

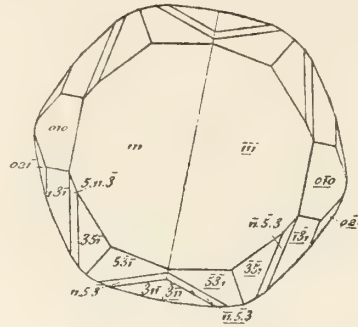


Fig. 161.

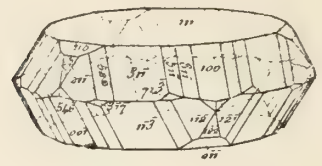


Fig. 162.

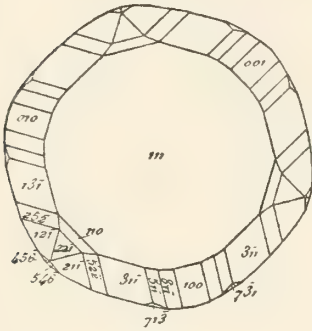


Fig. 163.

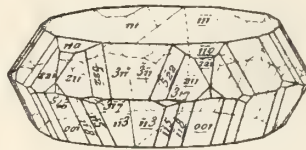


Fig. 164.

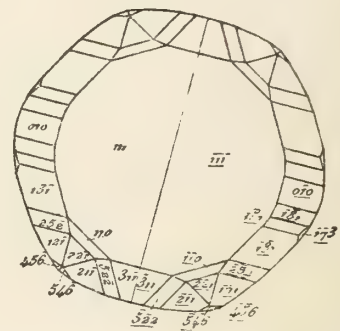


Fig. 166.

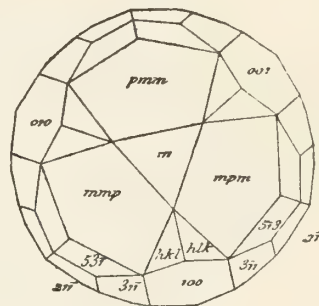


Fig. 165.

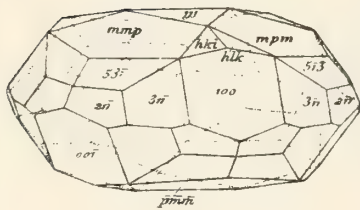


Fig. 167.



Fig. 168.

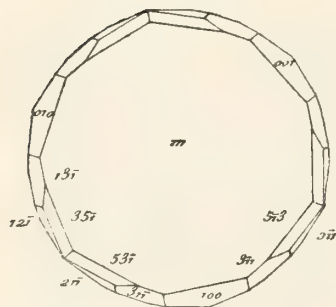


Fig. 169.

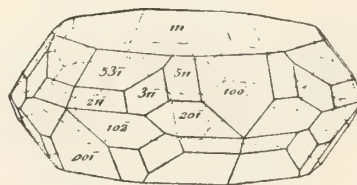


Fig. 172.

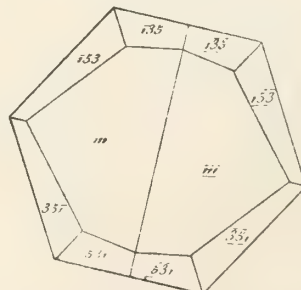


Fig. 170.

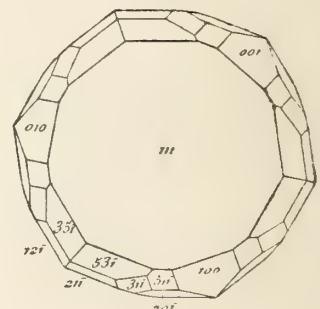


Fig. 171.

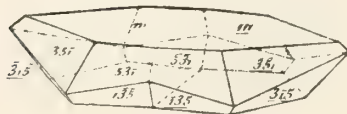
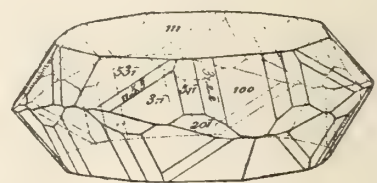


Fig. 173.



Eisenglanz

Fig. 174.

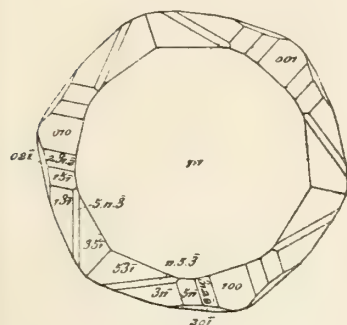


Fig. 175.

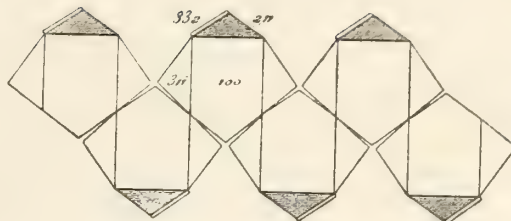


Fig. 177.

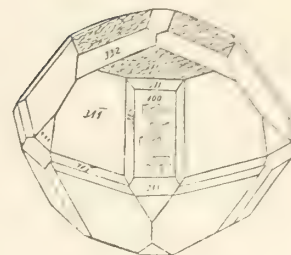


Fig. 176.



Fig. 179.

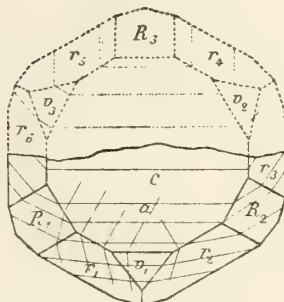


Fig. 180.

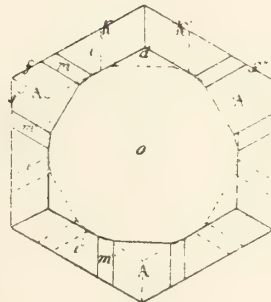


Fig. 181.

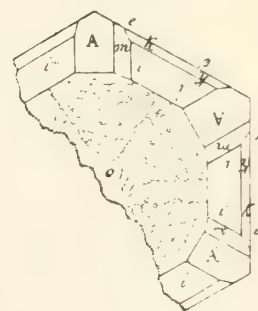


Fig. 178.

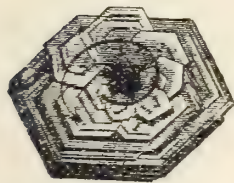


Fig. 182.

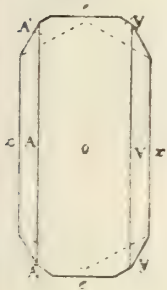


Fig. 183.

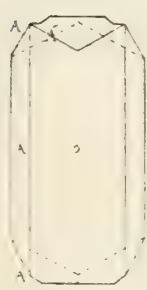


Fig. 184.

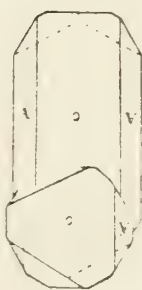


Fig. 185.

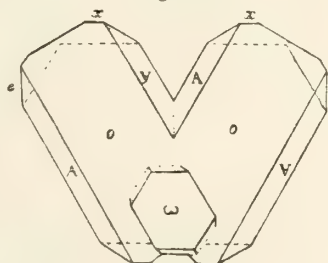


Fig. 186.

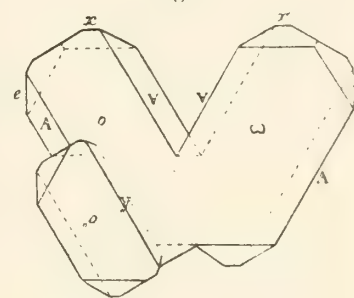


Fig. 187.

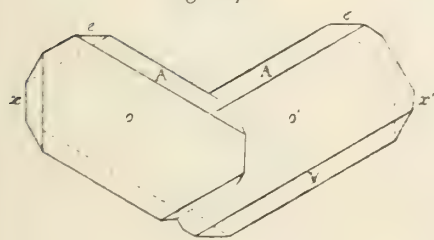


Fig. 188.

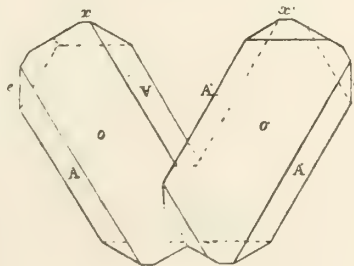
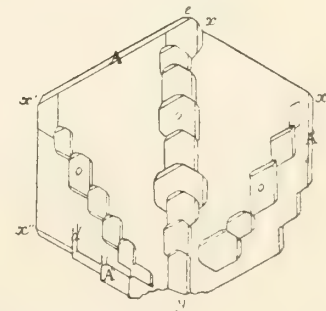


Fig. 189.



Eisenglanz

Fig. 190.

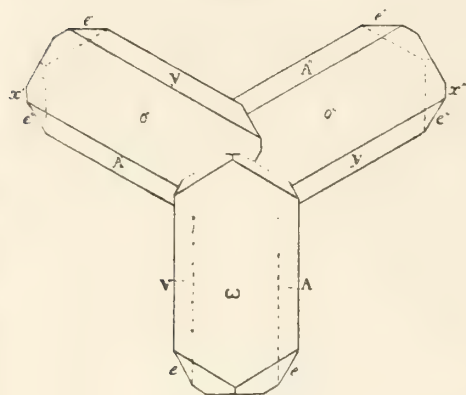


Fig. 191.

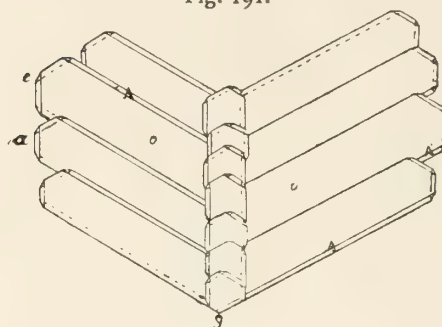


Fig. 192.

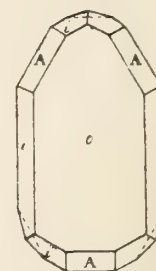


Fig. 193.

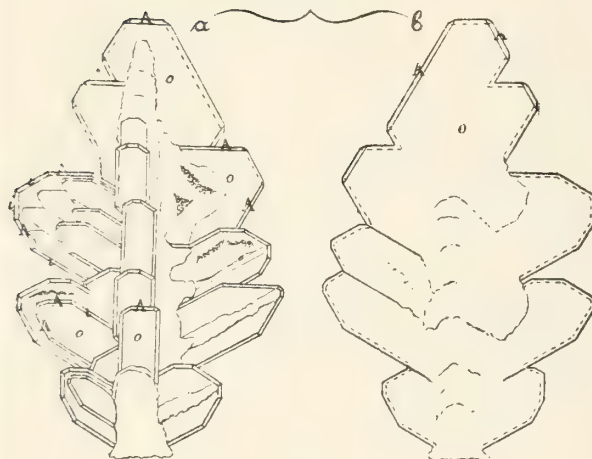


Fig. 194.

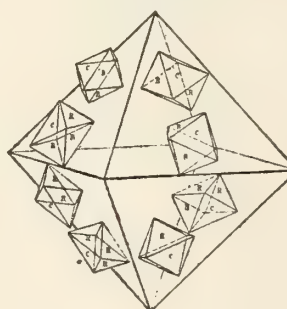


Fig. 195.

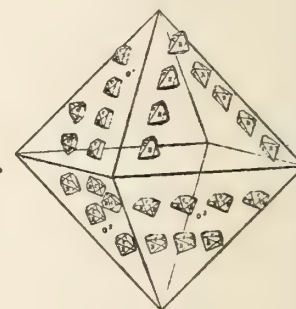


Fig. 196.

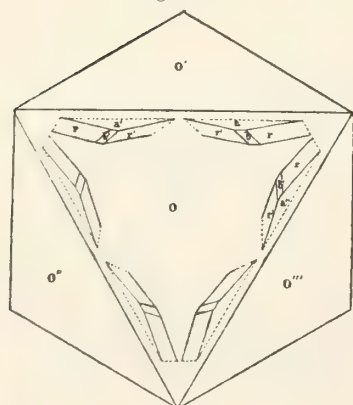


Fig. 197.

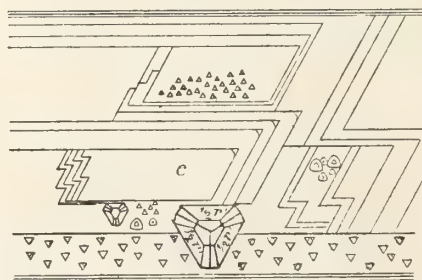
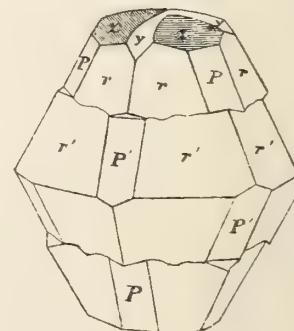


Fig. 198.



Fig. 199.



Eisenglanz

Fig. 200.

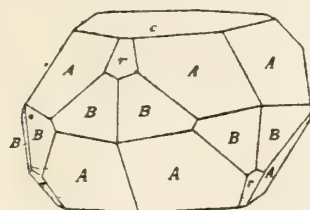


Fig. 201.

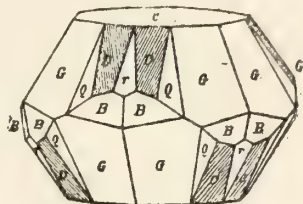


Fig. 202.

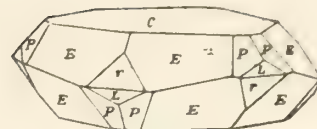


Fig. 203.



Fig. 204.

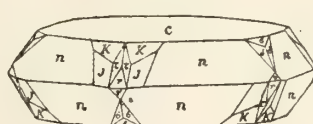


Fig. 205.

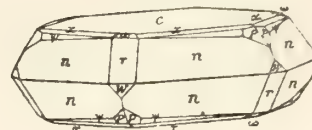


Fig. 206.

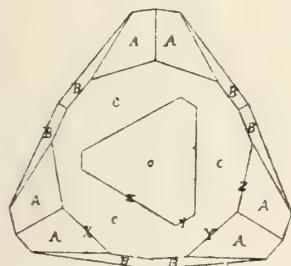


Fig. 207.

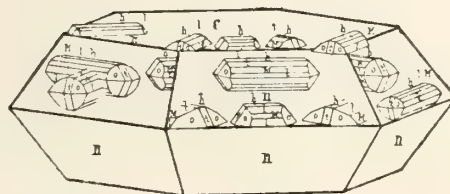


Fig. 208.



Fig. 209.

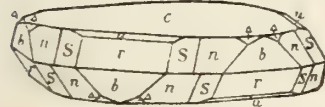


Fig. 210.



Fig. 211.

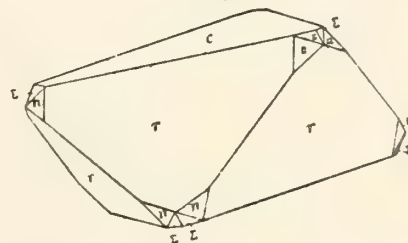


Fig. 212.

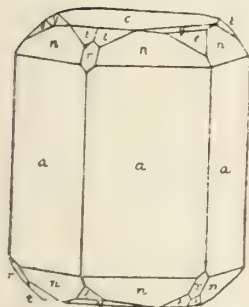


Fig. 213.

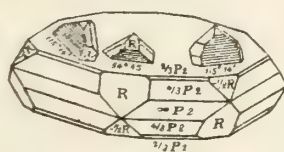


Fig. 214.

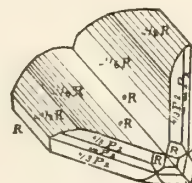


Fig. 215.

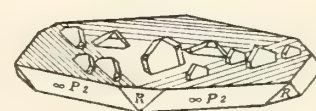


Fig. 216.

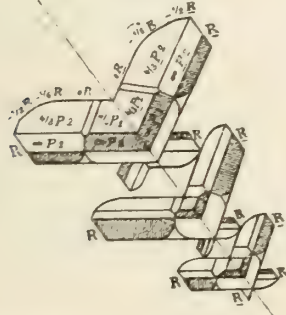


Fig. 217.

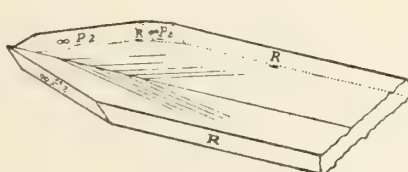
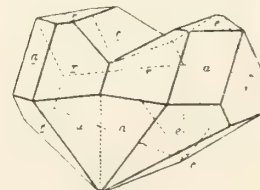


Fig. 218.



Eisenglanz

Fig. 219.

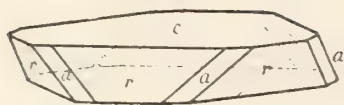


Fig. 220.

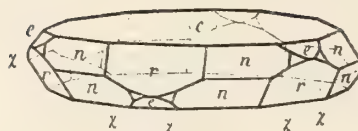


Fig. 221.

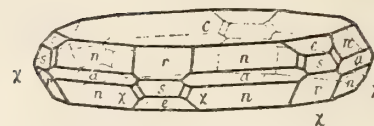


Fig. 222.

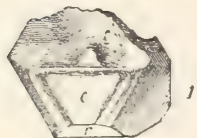


Fig. 223.

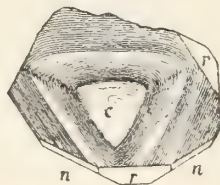
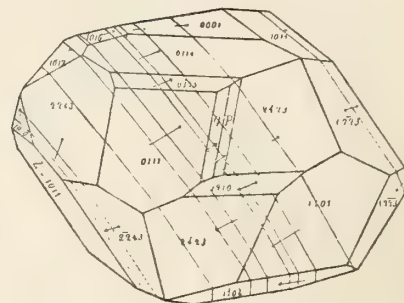


Fig. 224.



Fig. 225.



$$P = 10 \ 51 \ 91 \ 03$$

$$Q = 10 \ 51 \ 91 \ 16$$

Fig. 226.



Fig. 227.

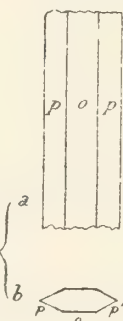


Fig. 228.

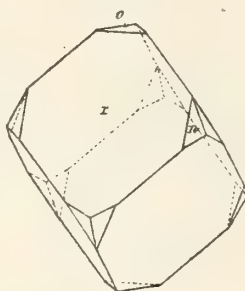


Fig. 229.



Fig. 230.



Fig. 233.

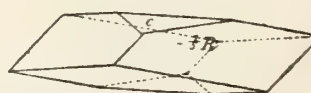


Fig. 234.

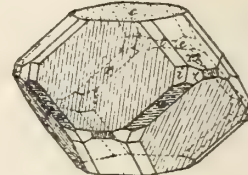


Fig. 232.

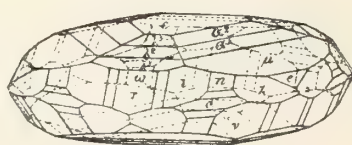


Fig. 236.

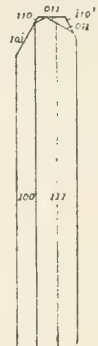


Fig. 237.

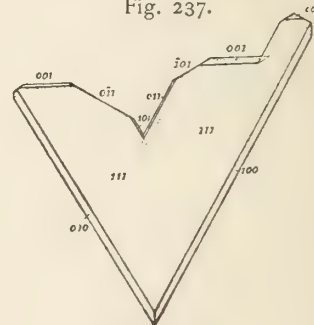


Fig. 231.



Fig. 235.

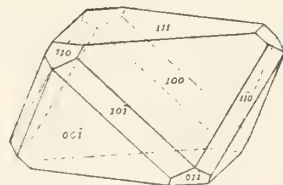


Fig. 238.

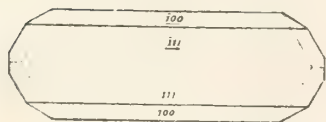


Fig. 239.

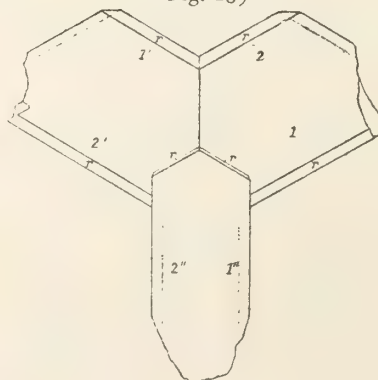
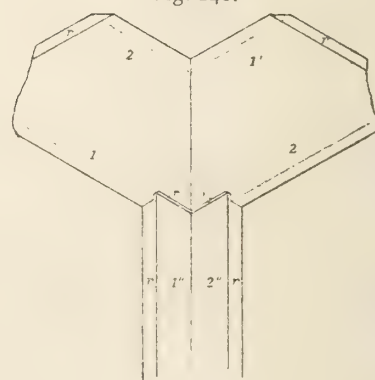


Fig. 240.



Eisenglanz

Fig. 241.

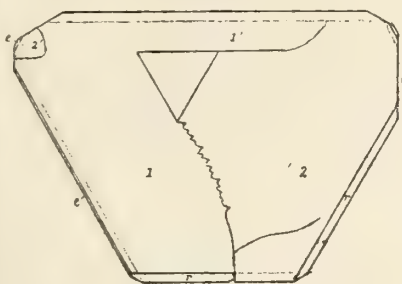


Fig. 242.

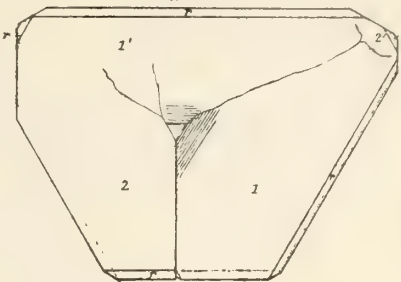


Fig. 243.

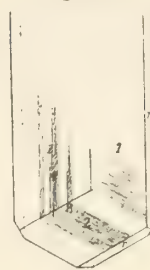
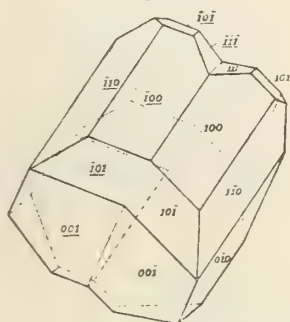


Fig. 244.



Fig. 245.



Eisenglanz

Fig. 259.

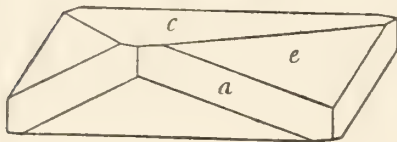


Fig. 260.

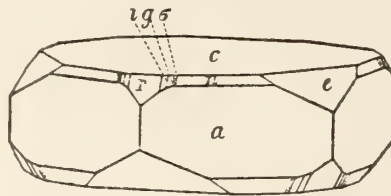


Fig. 261.

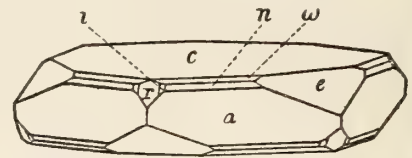


Fig. 262.

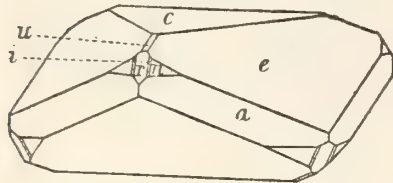


Fig. 263.

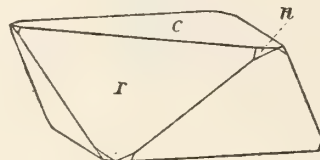


Fig. 264.

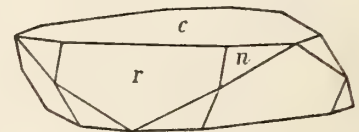


Fig. 265.

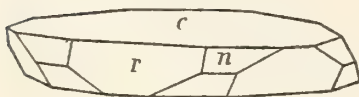


Fig. 266.

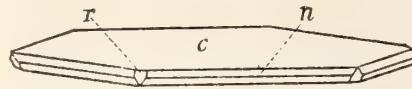


Fig. 267.

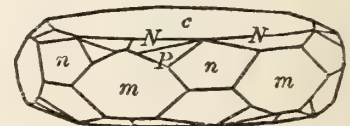


Fig. 269.

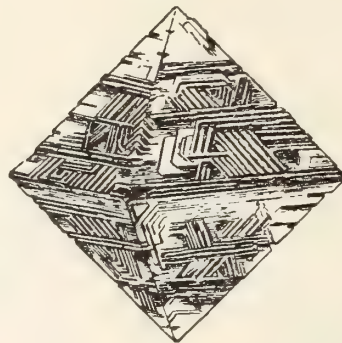


Fig. 270.

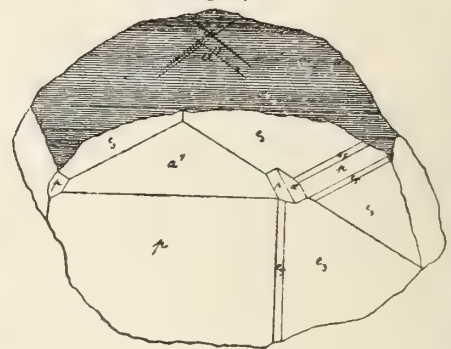


Fig. 268.

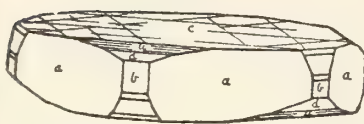


Fig. 271.

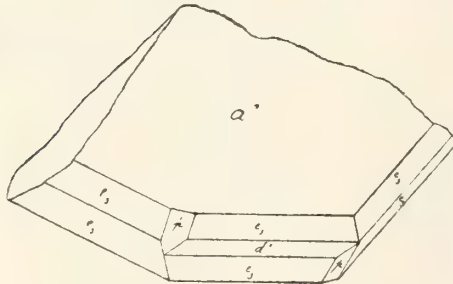


Fig. 272.

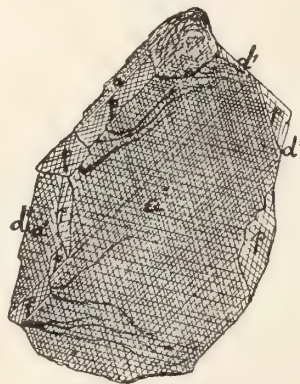


Fig. 273.

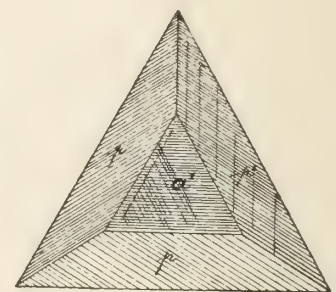


Fig. 274.

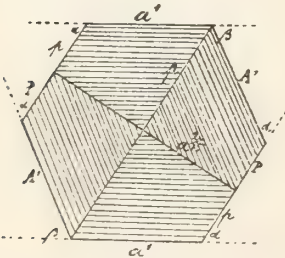
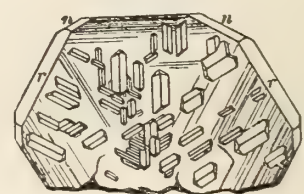


Fig. 275.



Fig. 276.



Eisenglanz

Fig. 277.

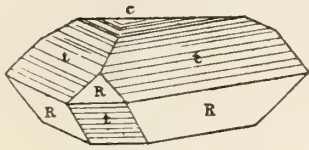


Fig. 278.

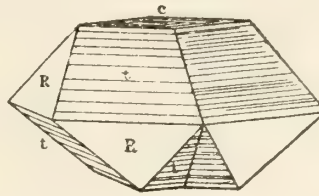


Fig. 279.

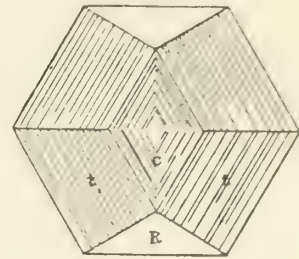


Fig. 280.

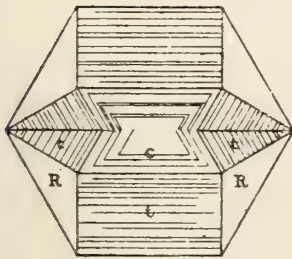


Fig. 281.

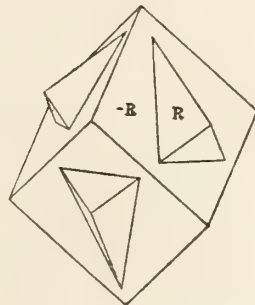


Fig. 282.

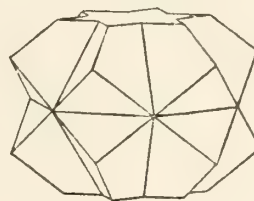


Fig. 283.

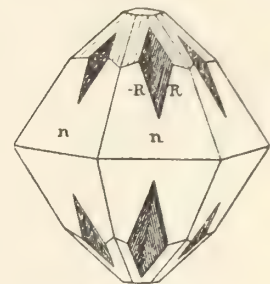


Fig. 284.

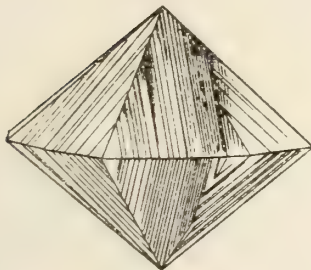


Fig. 285.

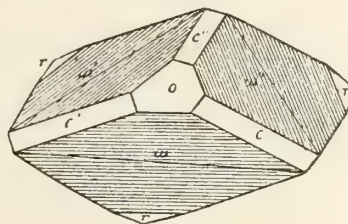


Fig. 286.

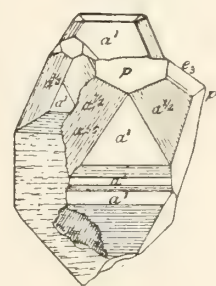


Fig. 288.

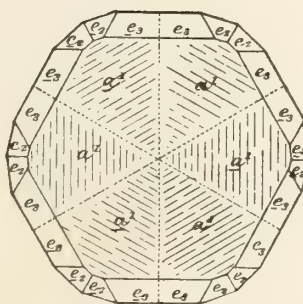


Fig. 289.

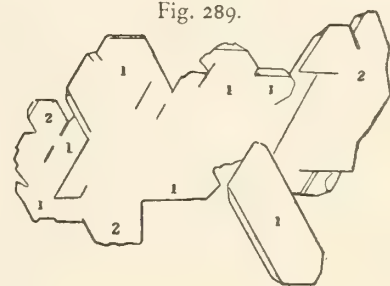


Fig. 287.

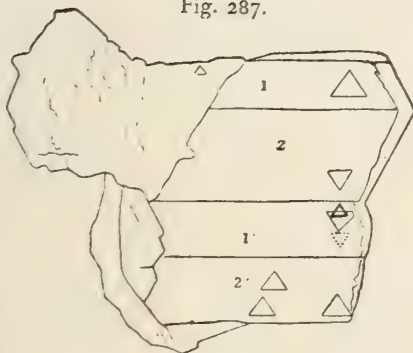


Fig. 292.

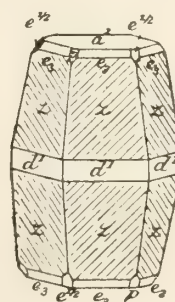


Fig. 293.

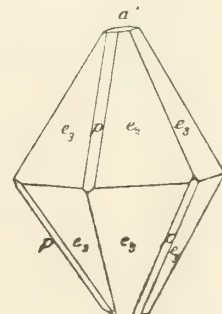


Fig. 290.

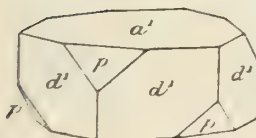
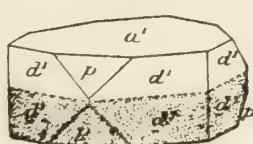


Fig. 291.



Eisenglanz

Fig. 294.

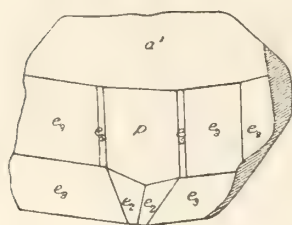


Fig. 295.

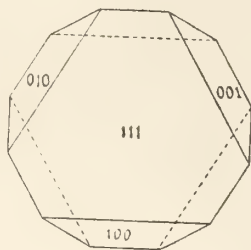


Fig. 296.

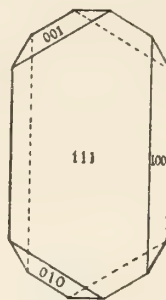


Fig. 297.

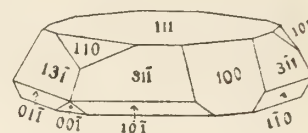


Fig. 298.

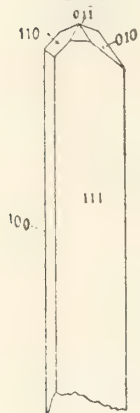


Fig. 299.

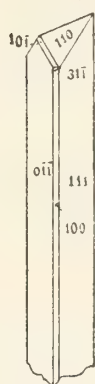


Fig. 300.

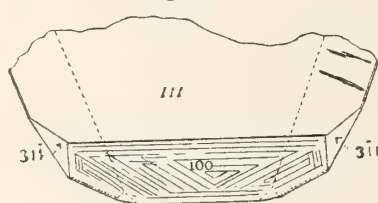


Fig. 301.

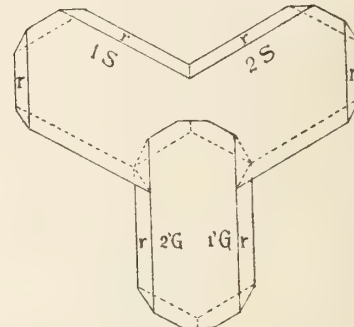


Fig. 302.

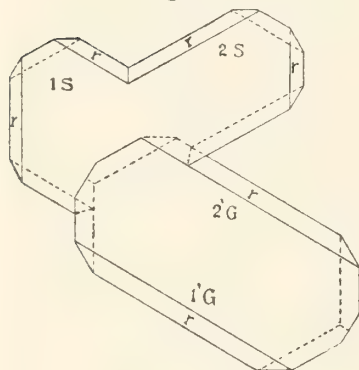


Fig. 303.

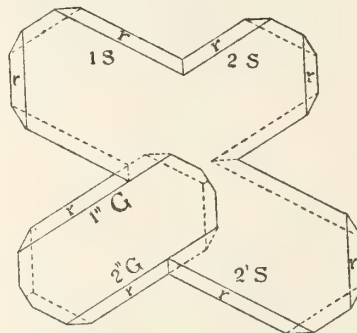


Fig. 304.

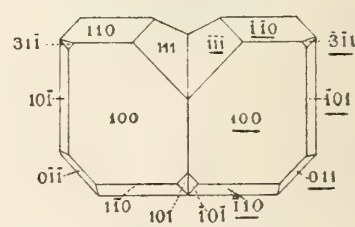


Fig. 305.

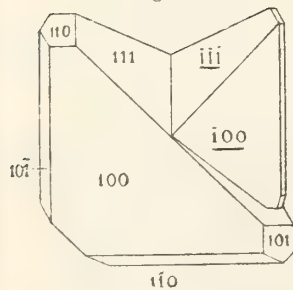


Fig. 306.

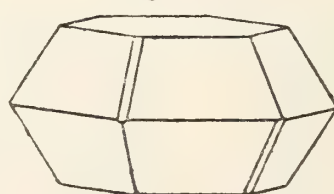


Fig. 307.

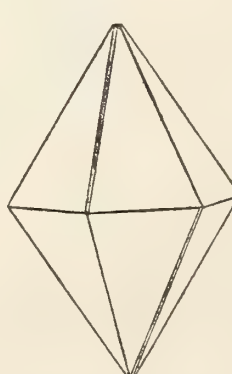
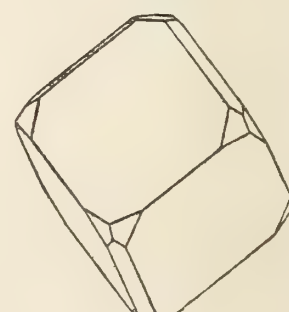


Fig. 308.



Eisenglanz

Fig. 322.

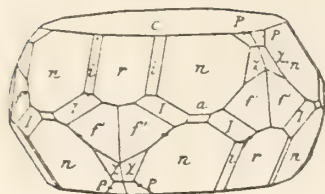


Fig. 323.

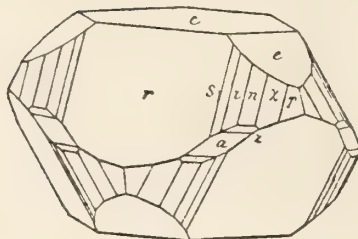


Fig. 324.

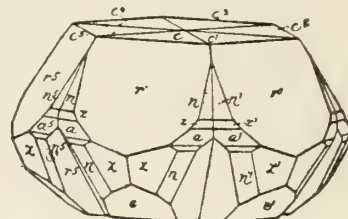


Fig. 325.

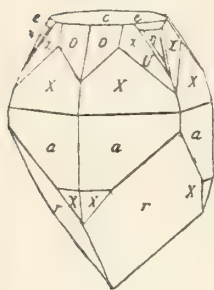


Fig. 326.

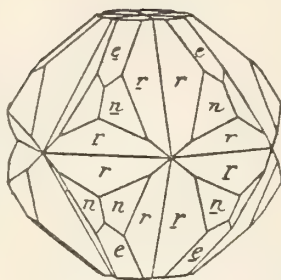


Fig. 327.

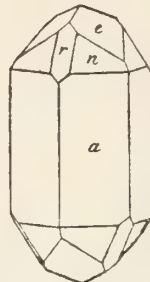


Fig. 328.



Fig. 329.

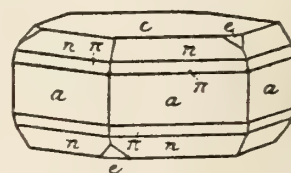


Fig. 330.

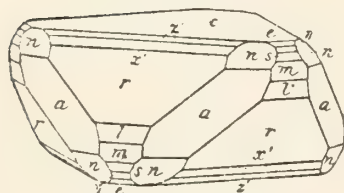


Fig. 331.

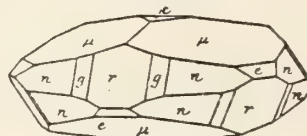


Fig. 332.

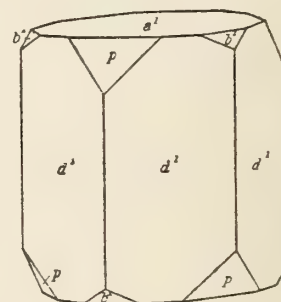


Fig. 333.

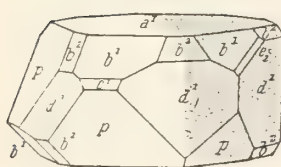


Fig. 334.

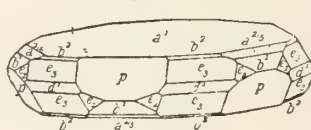


Fig. 335.

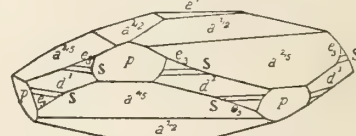


Fig. 336.

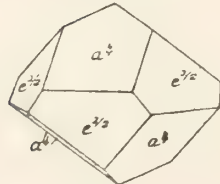


Fig. 337.

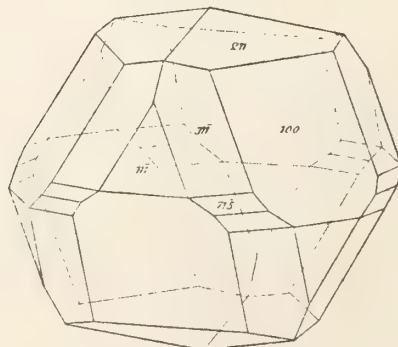
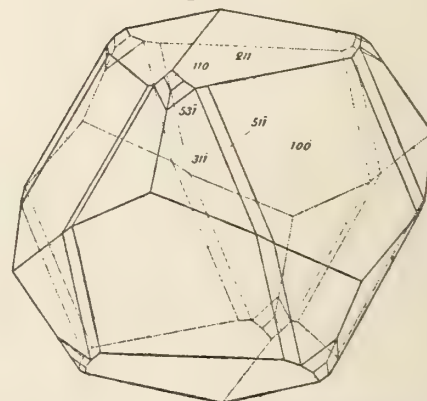


Fig. 338.



Eisenglanz Fig. 339.

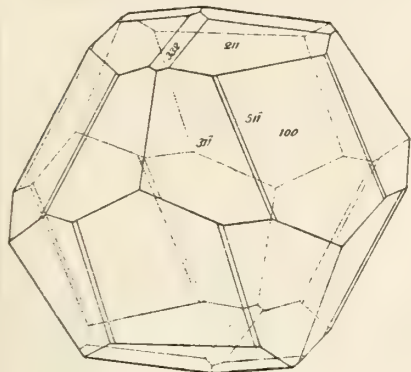


Fig. 340.

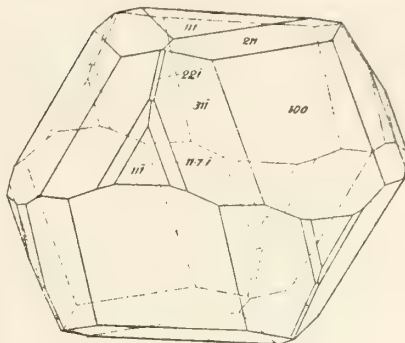


Fig. 341.

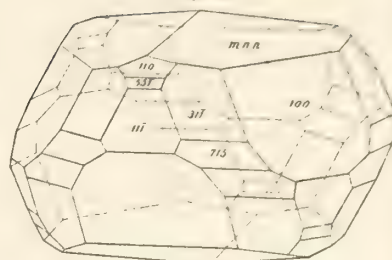


Fig. 343.

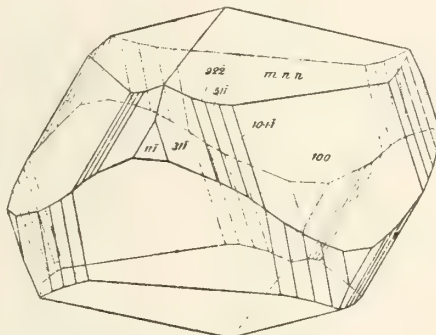


Fig. 342.

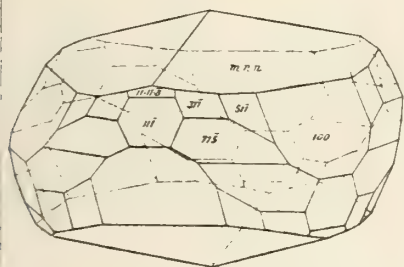


Fig. 344.

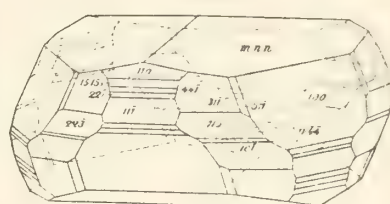


Fig. 345.

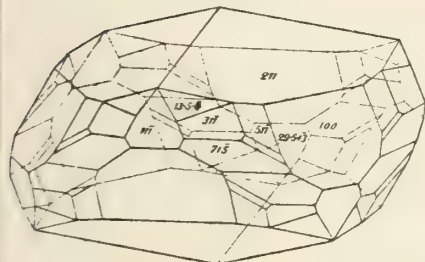


Fig. 346.

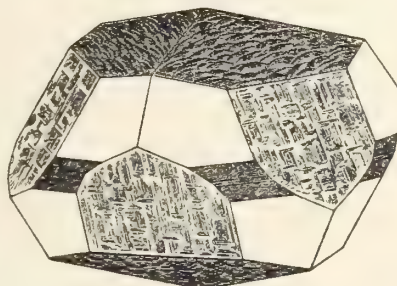


Fig. 347.

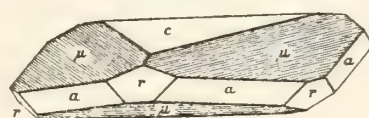


Fig. 350.

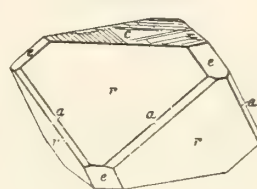


Fig. 348.

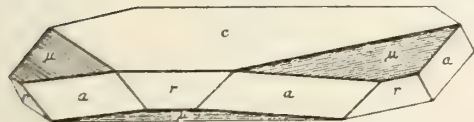


Fig. 349.

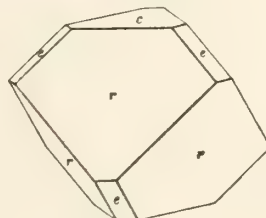


Fig. 354.

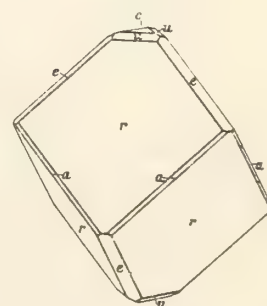


Fig. 351.

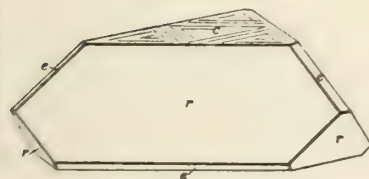


Fig. 352.

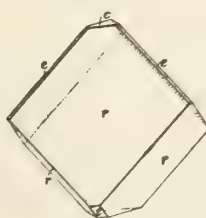
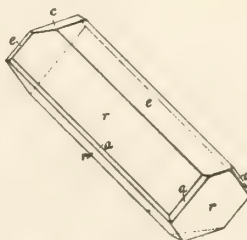


Fig. 353.



Eisenglanz

Fig. 355.

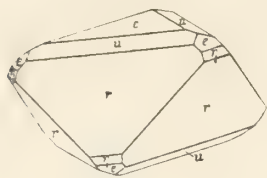


Fig. 356.

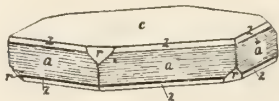


Fig. 357.

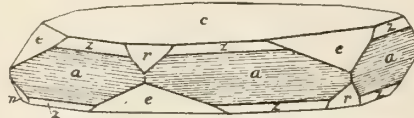


Fig. 358.

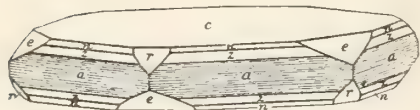


Fig. 359.

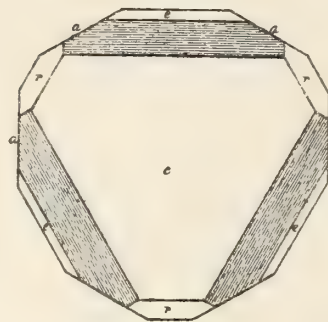


Fig. 360.

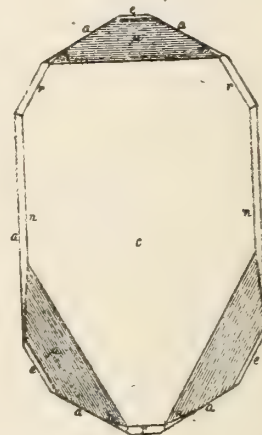


Fig. 361.

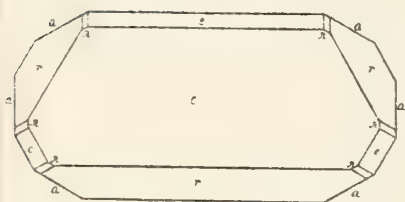


Fig. 362.

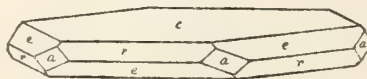


Fig. 363.

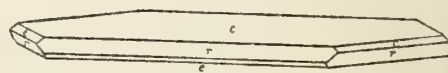


Fig. 364.

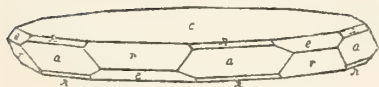


Fig. 365.



Fig. 366.

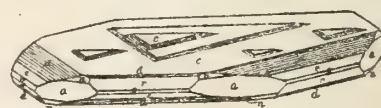


Fig. 367.

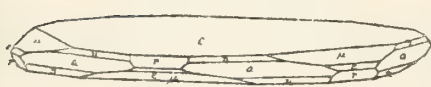


Fig. 368.

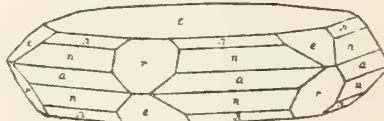


Fig. 369.

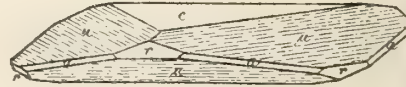


Fig. 370.

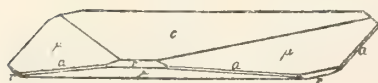


Fig. 371.

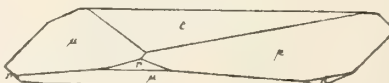


Fig. 372.

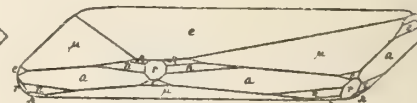


Fig. 373.

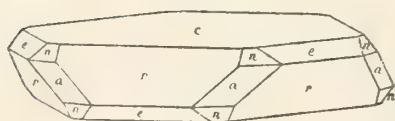


Fig. 374.

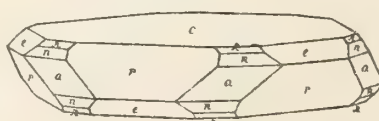
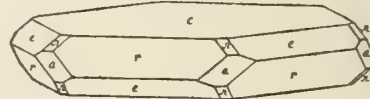


Fig. 375.



Eisenglanz

Fig. 376.

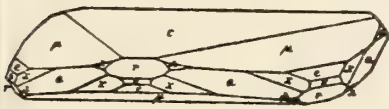


Fig. 377.

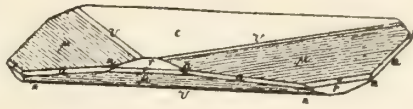


Fig. 378.



Fig. 380.

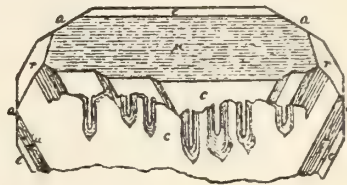


Fig. 379.

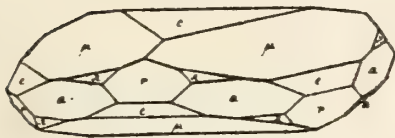


Fig. 381.



Fig. 382.



Fig. 383.



Fig. 384.



Fig. 385.



Fig. 386.

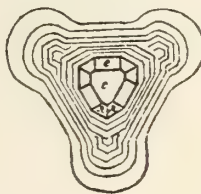


Fig. 387.

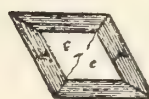


Fig. 388.



Fig. 389.



Fig. 390.



Fig. 391.

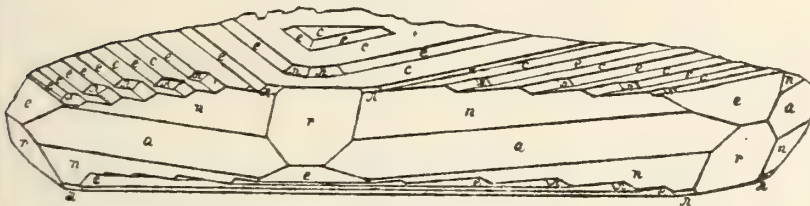


Fig. 392.

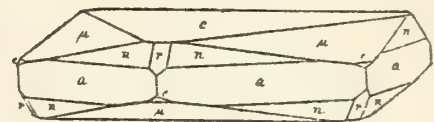


Fig. 393.

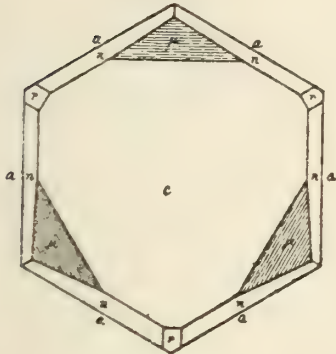


Fig. 394.

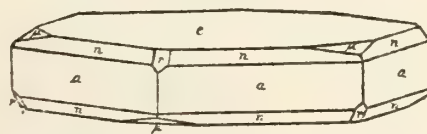


Fig. 395.

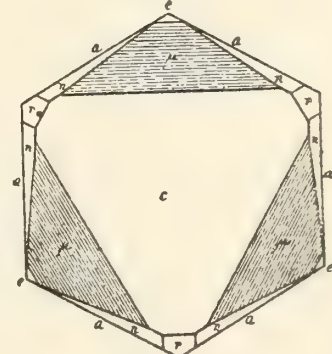


Fig. 397.

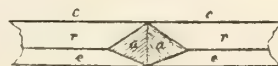


Fig. 396.

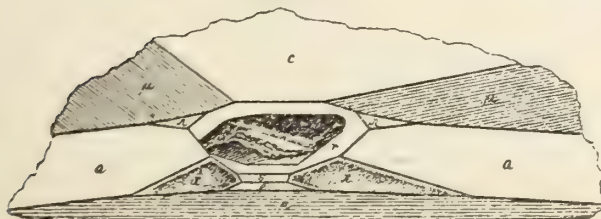
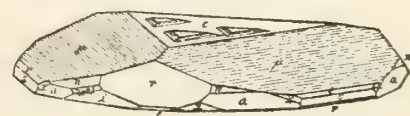


Fig. 398.



Eisenglanz Fig. 399.

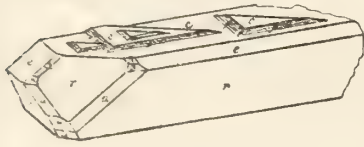


Fig. 400.

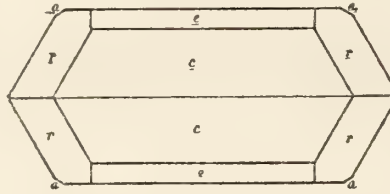


Fig. 401.

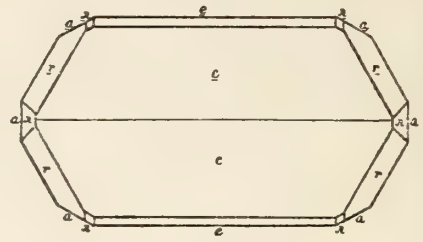


Fig. 402.

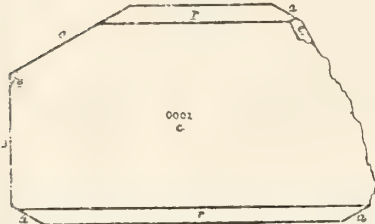


Fig. 403.

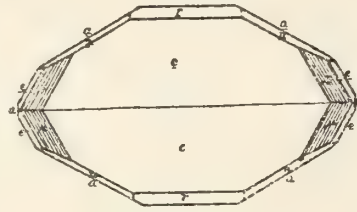


Fig. 404.

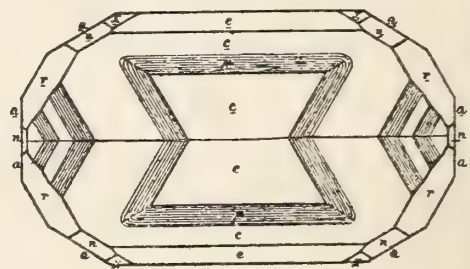


Fig. 405.

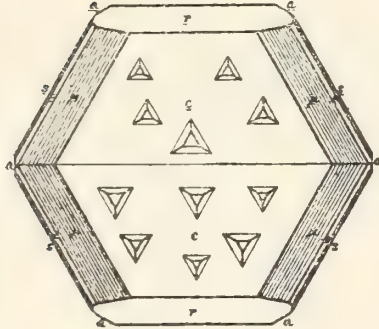


Fig. 406.

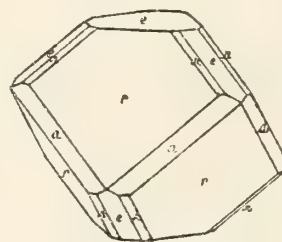


Fig. 407.

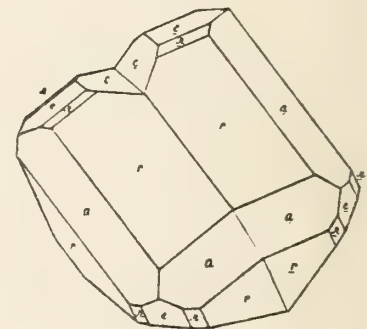


Fig. 408.

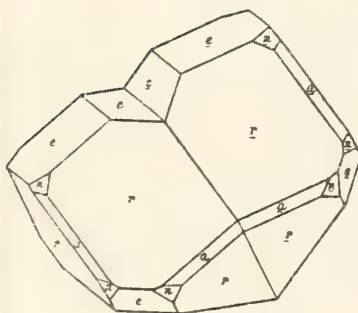


Fig. 409.

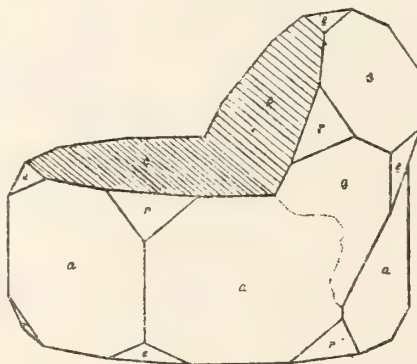


Fig. 410.

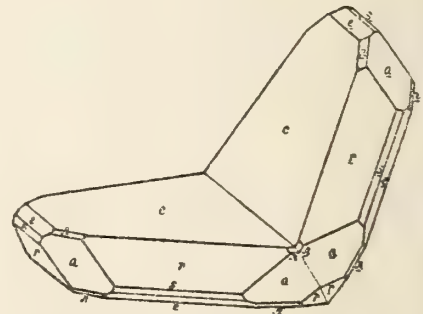


Fig. 411.

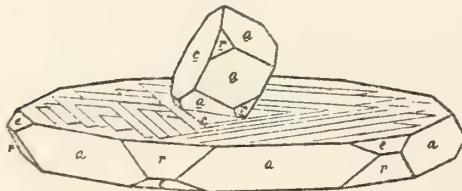
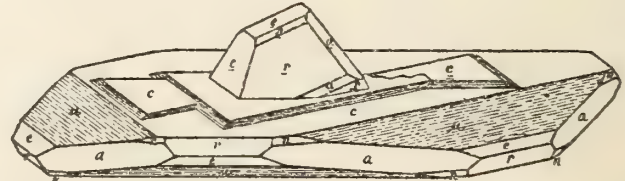
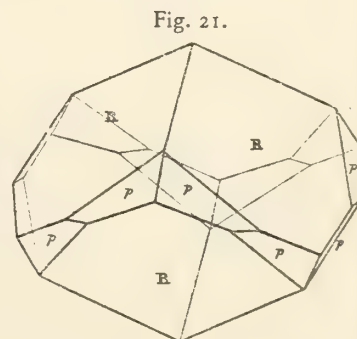
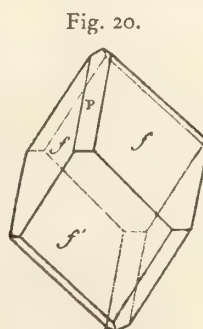
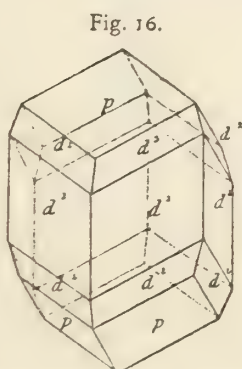
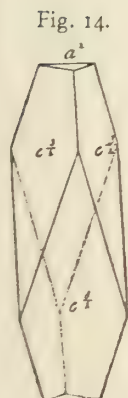
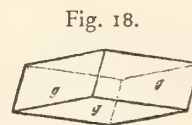
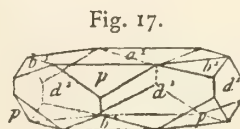
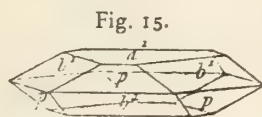
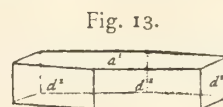
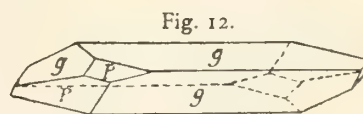
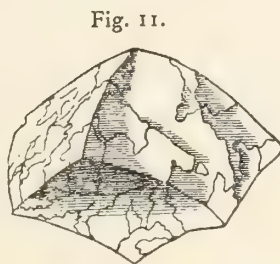
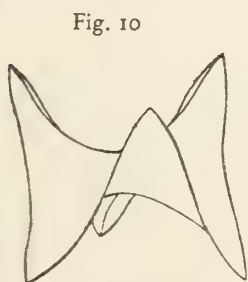
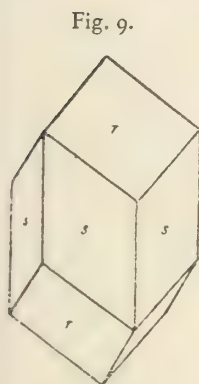
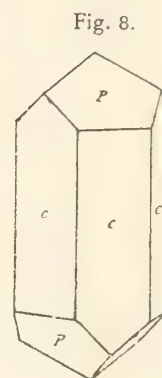
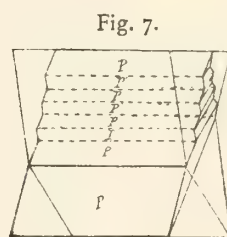
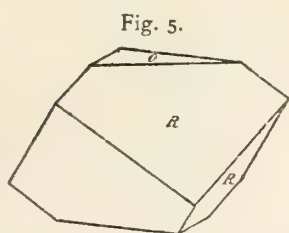
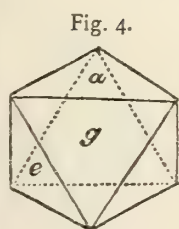
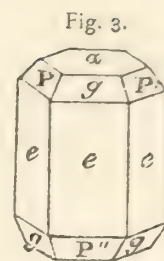
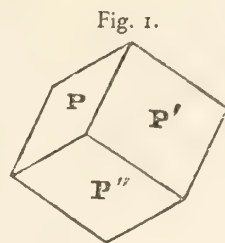
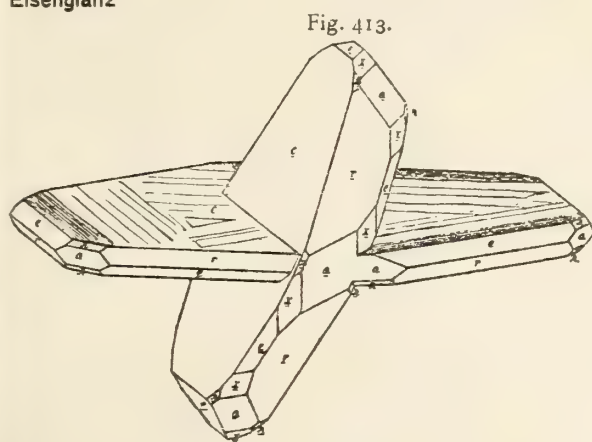


Fig. 412.



Eisenglanz

Eisenspat



Eisenspat

Fig. 22.

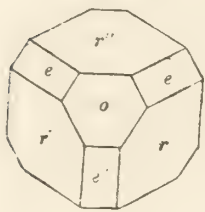


Fig. 23.

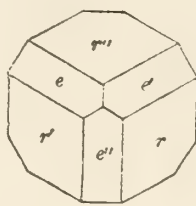


Fig. 24.



Fig. 25.



Fig. 26.

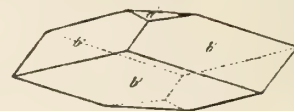


Fig. 28.

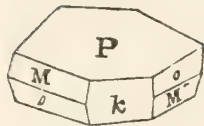


Fig. 29.

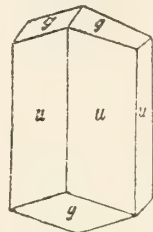


Fig. 27.

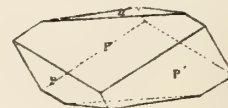


Fig. 30.

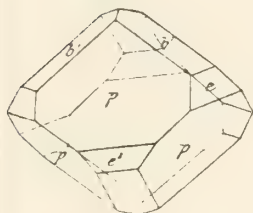


Fig. 31.

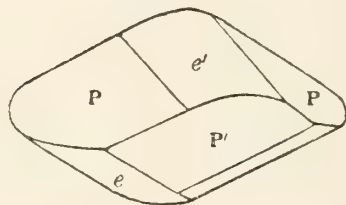


Fig. 32.

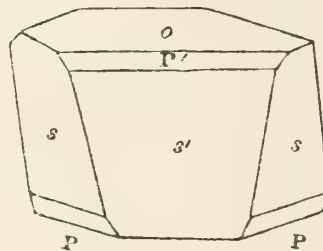


Fig. 33.

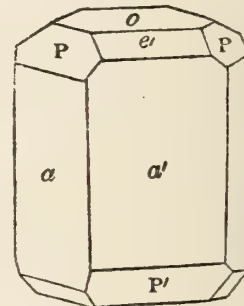


Fig. 34.

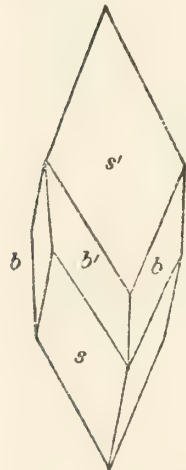


Fig. 35.

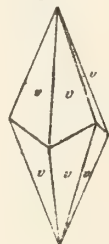


Fig. 36.

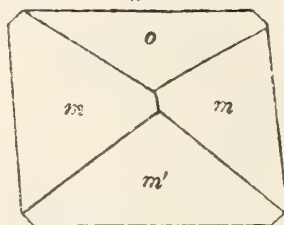


Fig. 37.

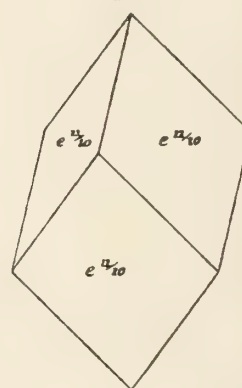


Fig. 38.

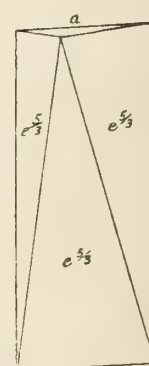


Fig. 39.

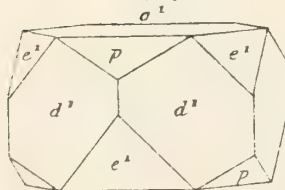


Fig. 40.

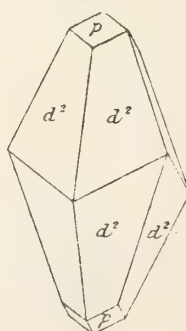


Fig. 41.

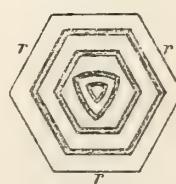
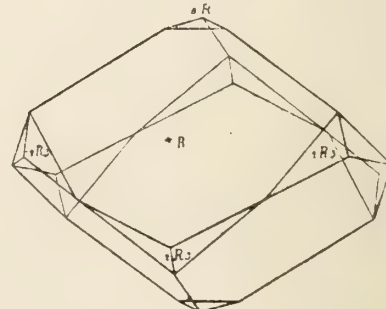


Fig. 42.



Eisenspat

Fig. 43.

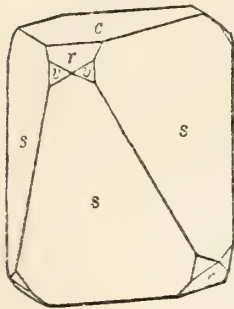


Fig. 44.

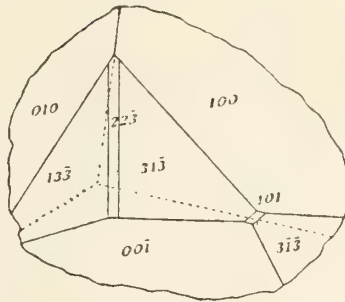


Fig. 45.

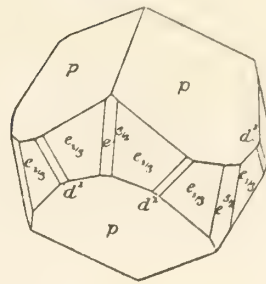


Fig. 46.

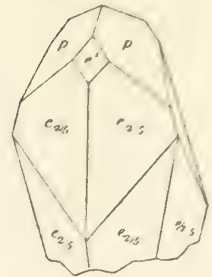


Fig. 47.

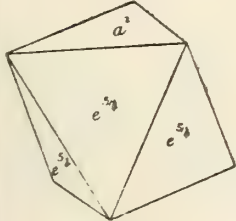


Fig. 48.

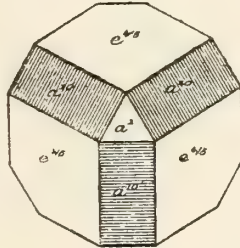


Fig. 49.

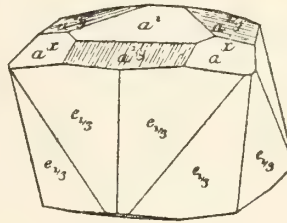


Fig. 50.

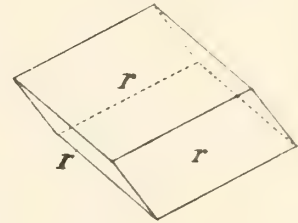


Fig. 51.

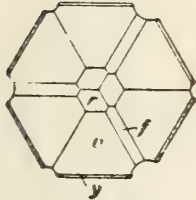


Fig. 52.

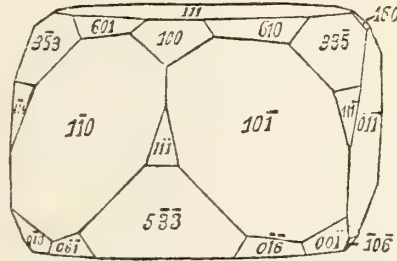


Fig. 53.

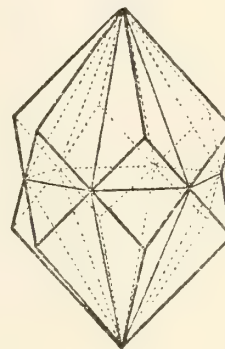


Fig. 54.

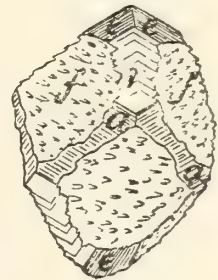


Fig. 56.

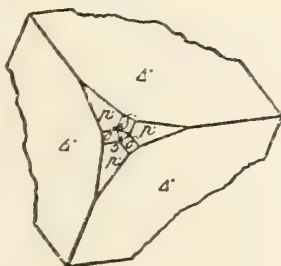


Fig. 57.

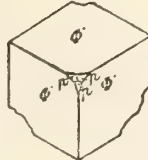


Fig. 58.

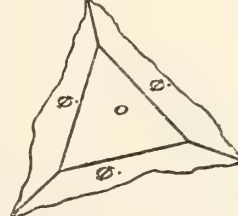


Fig. 59.

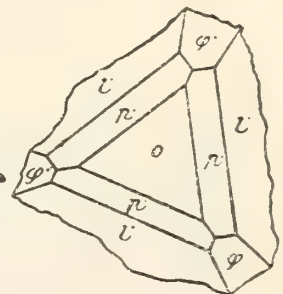
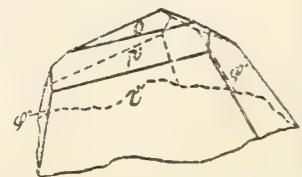
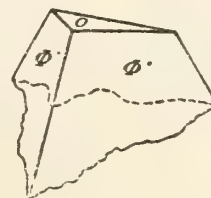
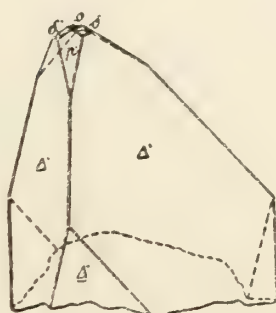
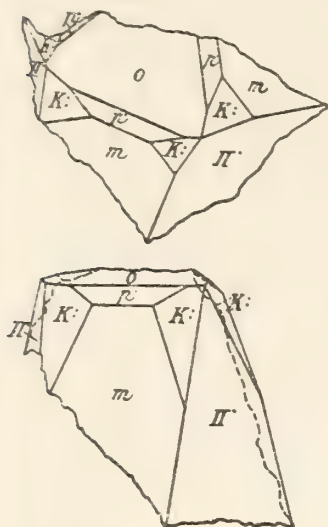


Fig. 55.



Eisenspat

Fig. 60.



Eisenvitriol

Fig. 1.

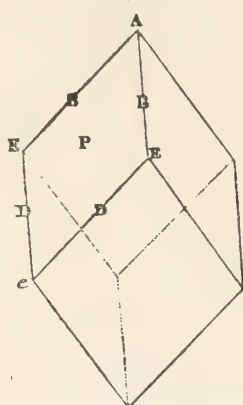


Fig. 2.

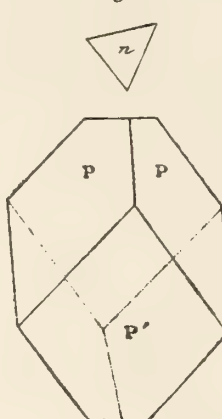


Fig. 3.

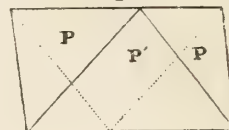


Fig. 4.

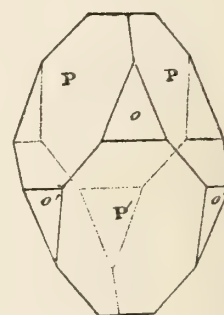


Fig. 5.

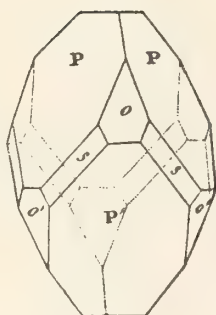
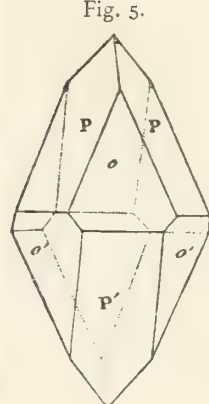


Fig. 7.

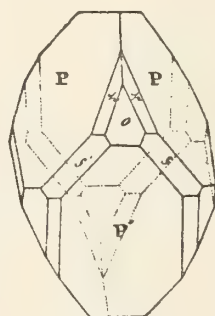


Fig. 8.

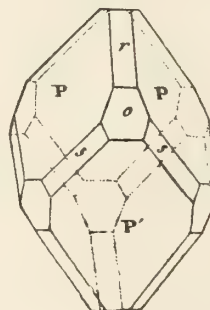


Fig. 9.

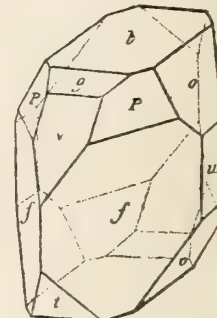


Fig. 11.

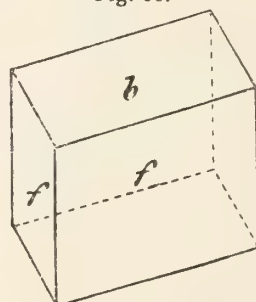


Fig. 12.

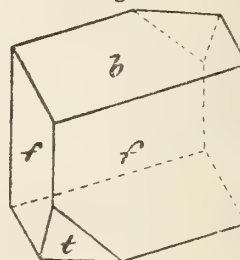


Fig. 10.

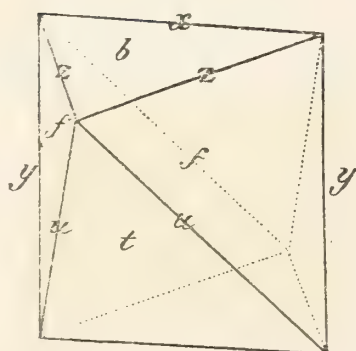


Fig. 13.

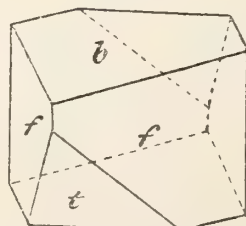


Fig. 14.

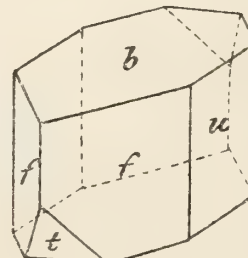
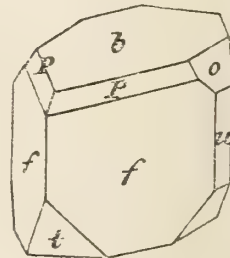


Fig. 15.



Eisenvitriol

Fig. 16.

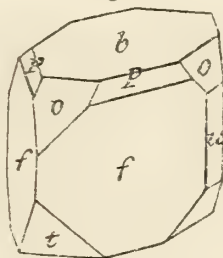


Fig. 17.

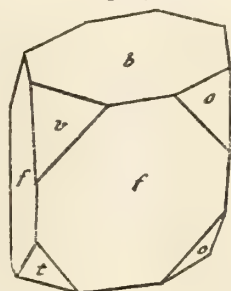


Fig. 18.

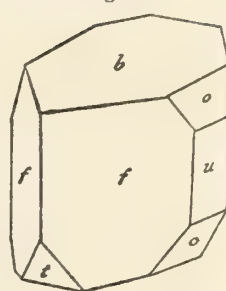


Fig. 19.

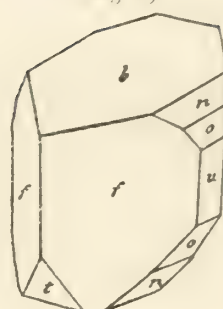


Fig. 20.

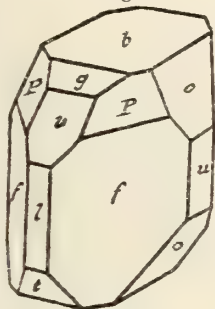


Fig. 21.

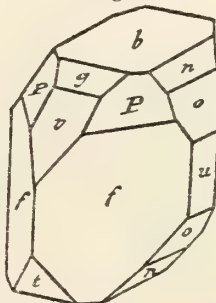


Fig. 22.

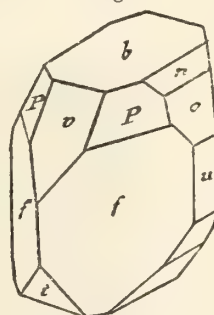


Fig. 23.

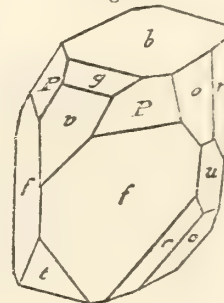


Fig. 24.

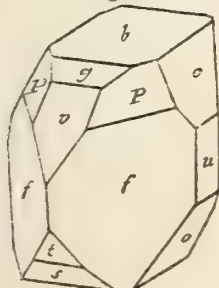


Fig. 25.

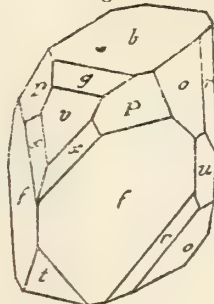


Fig. 26.

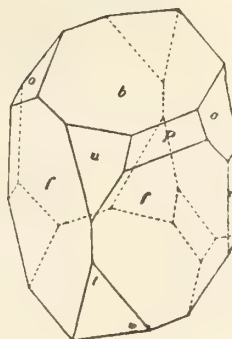


Fig. 27.

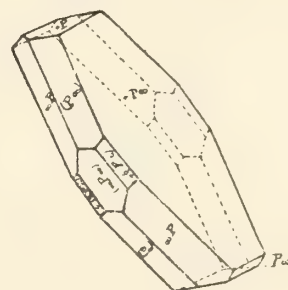


Fig. 28.

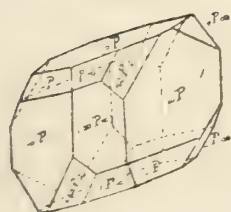


Fig. 29.

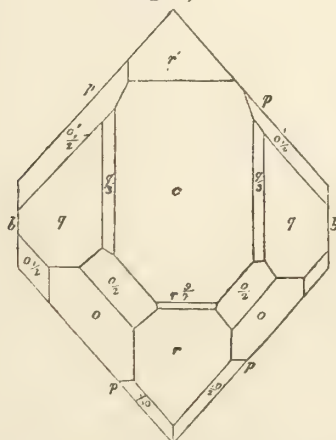
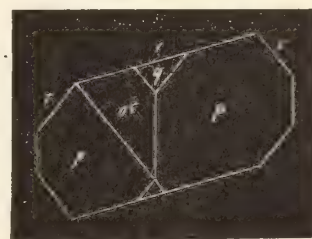


Fig. 30.



Eisenvitriol

Fig. 31.

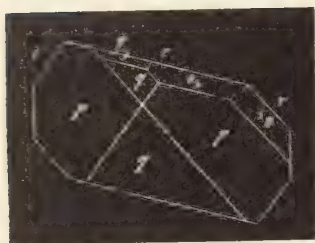


Fig. 32.

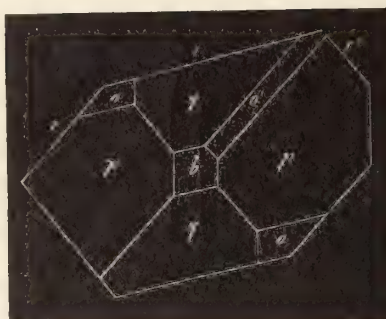


Fig. 33.

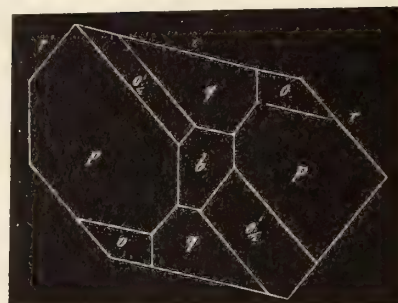


Fig. 34.



Fig. 35.



Fig. 36.

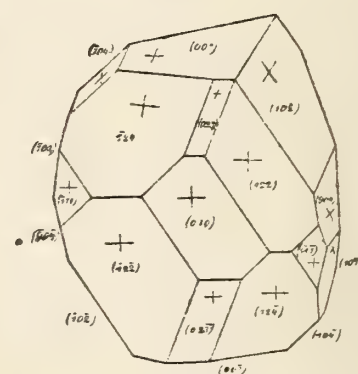


Fig. 37.

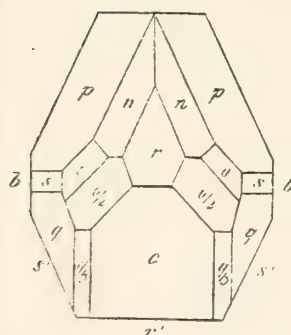


Fig. 38.

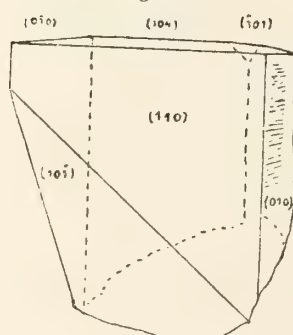


Fig. 39.

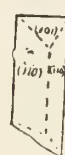


Fig. 41.

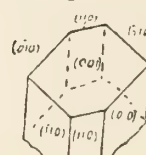


Fig. 43.

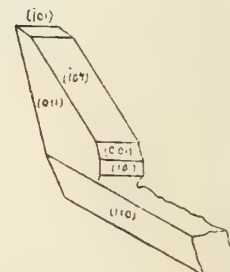


Fig. 40.

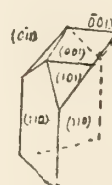


Fig. 42.

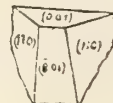


Fig. 44.

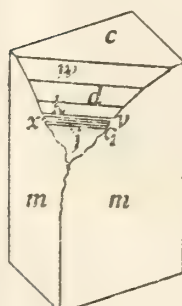


Fig. 45.

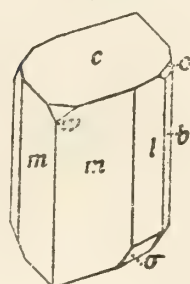


Fig. 46.

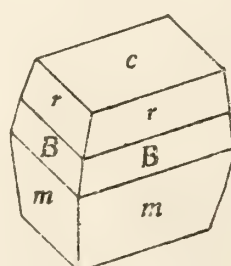


Fig. 47.

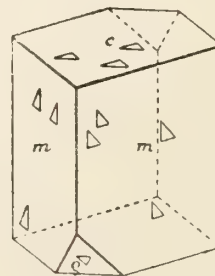
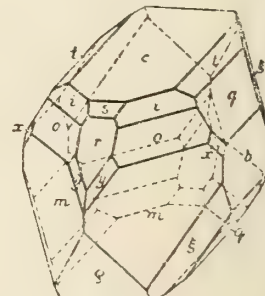
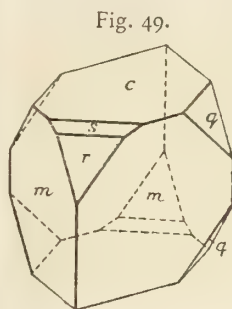


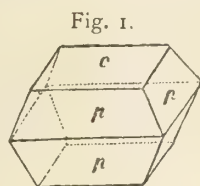
Fig. 48.



Eisenvitriol



Ekdemit



Eleonorit

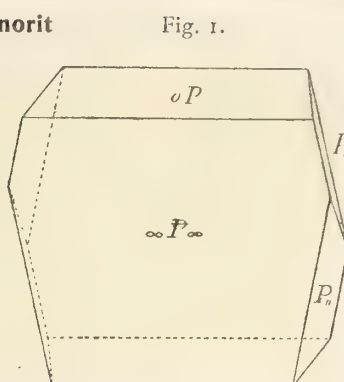


Fig. 2.

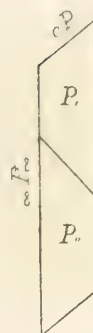
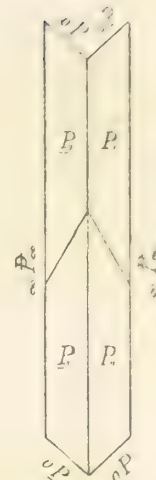


Fig. 3.



Elpidit

Fig. 1.

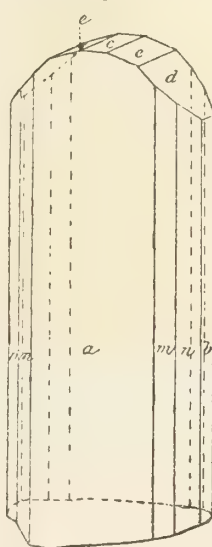


Fig. 2.

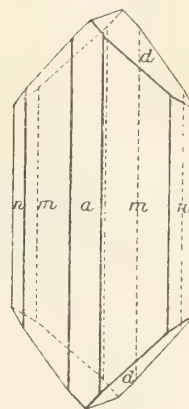


Fig. 3.

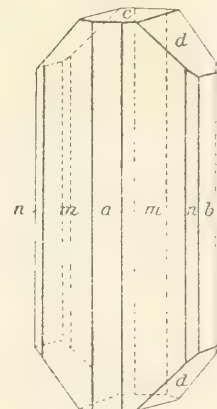


Fig. 4.

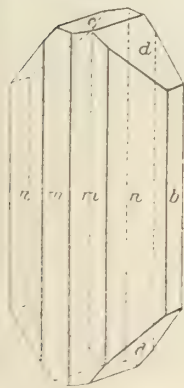
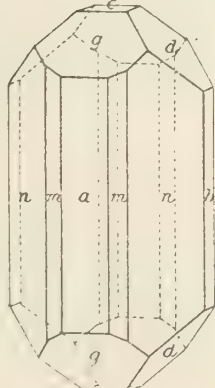


Fig. 5.



Embolit

Fig. 1.

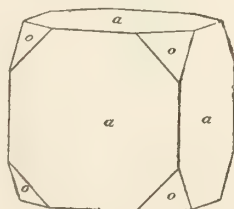


Fig. 2.

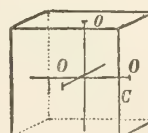


Fig. 3.

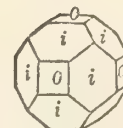


Fig. 4.

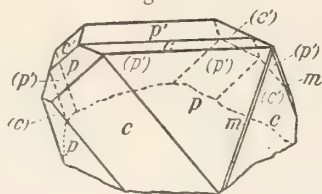


Embolit

Fig. 5.



Fig. 6.



Emplektit

Fig. 1.

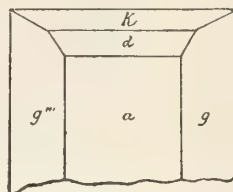
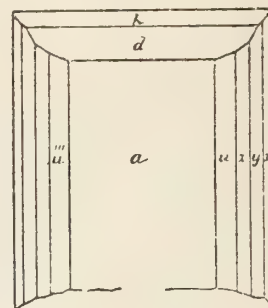


Fig. 2.



Enargit

Fig. 3.

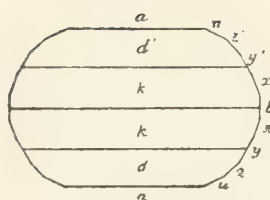


Fig. 1.

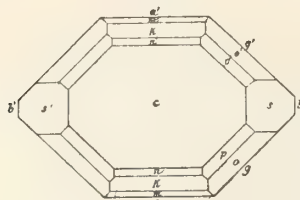


Fig. 2.

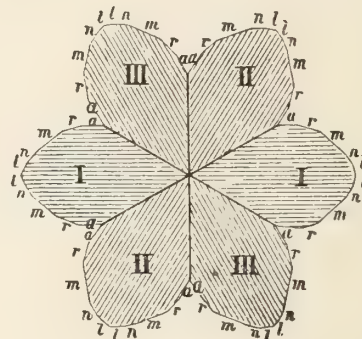


Fig. 3.

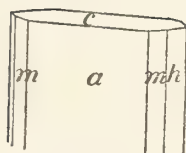


Fig. 4.



Fig. 5.

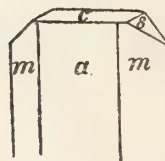


Fig. 6.

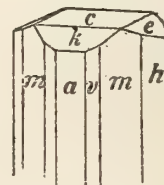


Fig. 7.

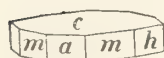


Fig. 9.

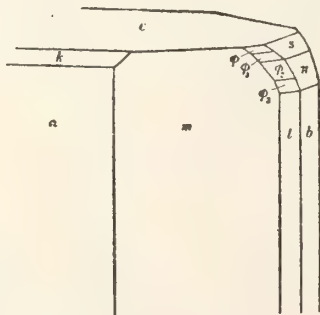


Fig. 8.

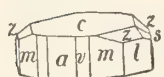


Fig. 10.

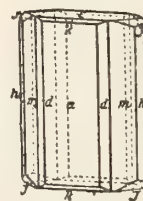


Fig. 11.

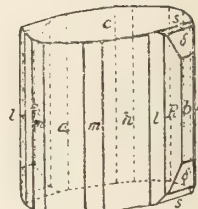


Fig. 12.

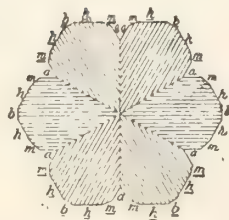


Fig. 13.

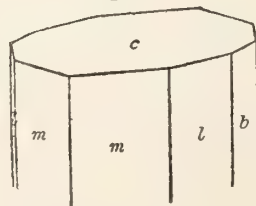
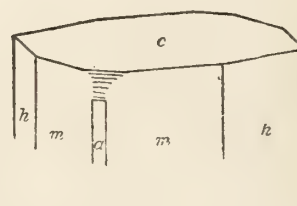


Fig. 14.



Enargit

Fig. 15.

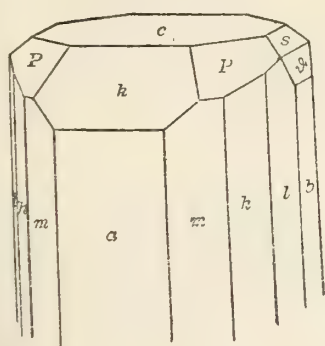


Fig. 16.

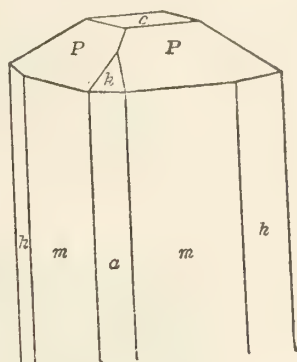
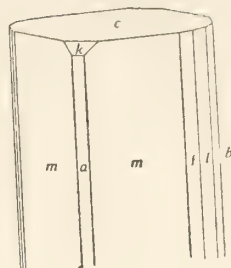
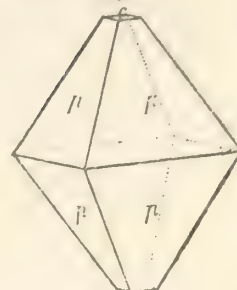


Fig. 17.



Eosit

Fig. 1.



Epididymit Fig. 1.

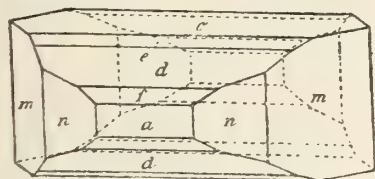


Fig. 2.

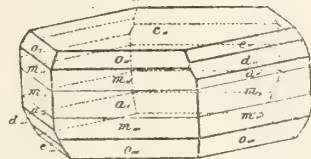


Fig. 3.

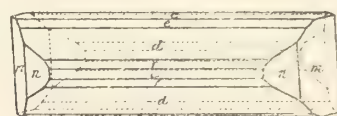


Fig. 4.

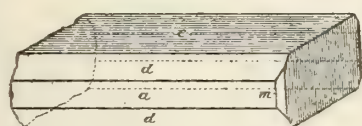


Fig. 5.

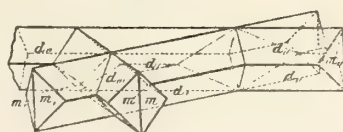


Fig. 6.

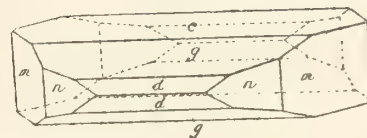


Fig. 7.

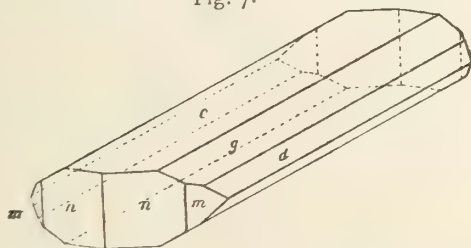


Fig. 8.

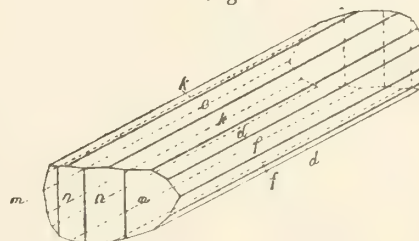


Fig. 9.

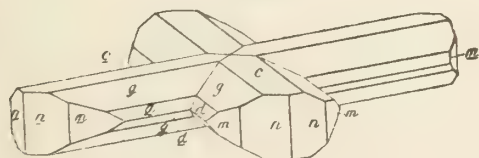
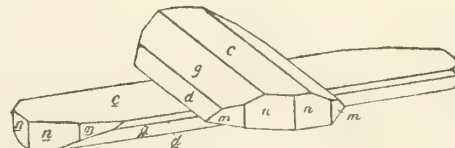


Fig. 10.



Epididymit

Fig. 11.

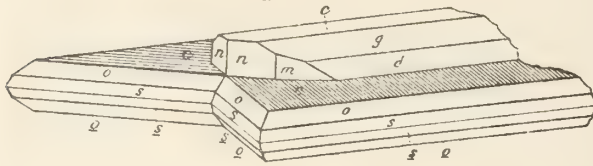


Fig. 12.

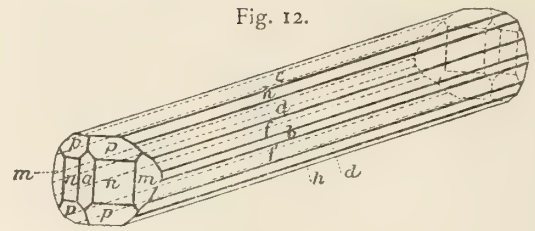


Fig. 13.

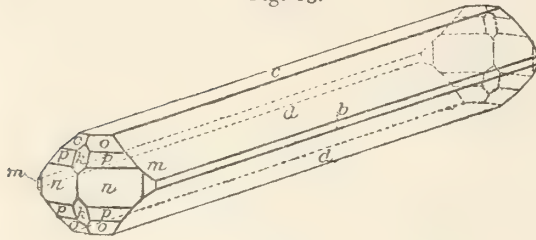


Fig. 14.

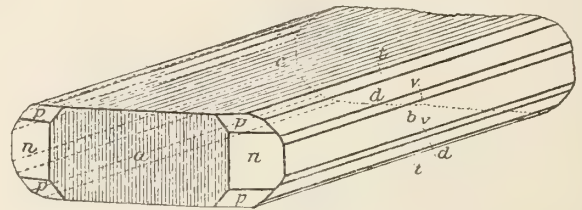


Fig. 15.

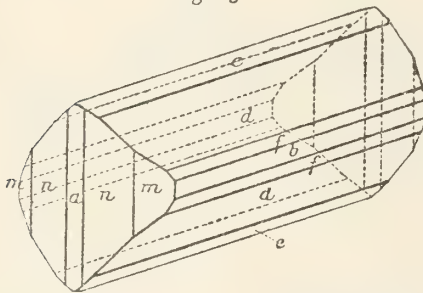
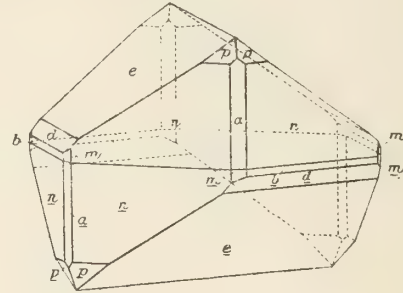


Fig. 16.



Epidot

Fig. 1.

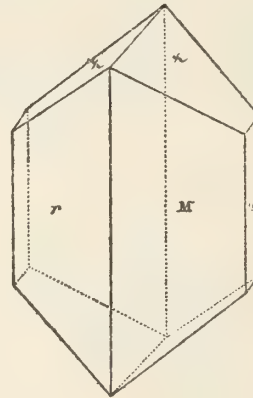


Fig. 2.

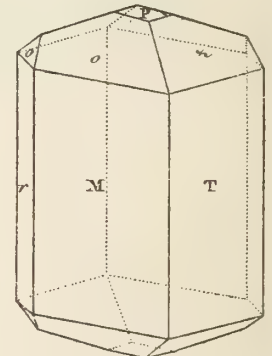


Fig. 17.

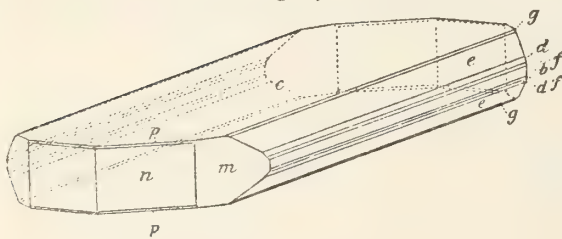


Fig. 3.

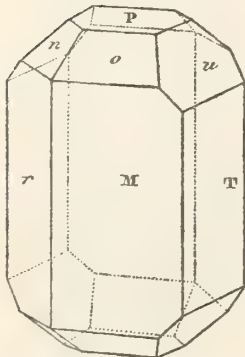


Fig. 4.

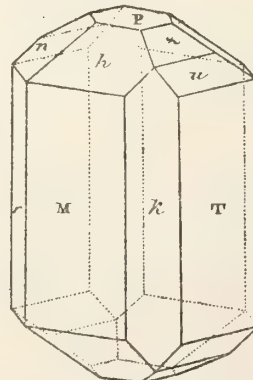


Fig. 5.

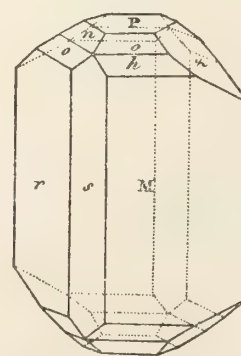
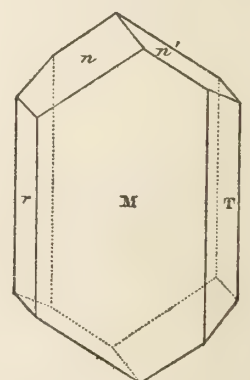


Fig. 6.



Epidot

Fig. 7.

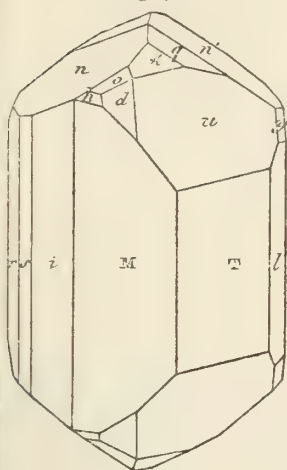


Fig. 8.

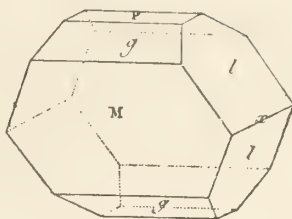


Fig. 9.

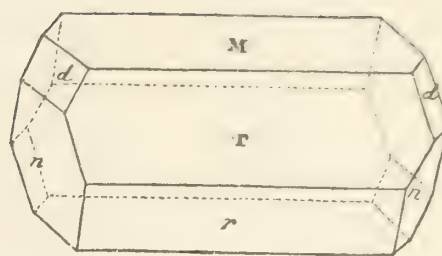


Fig. 10.

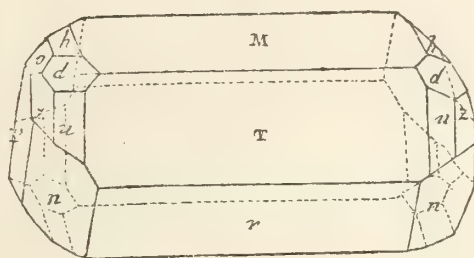


Fig. 11.

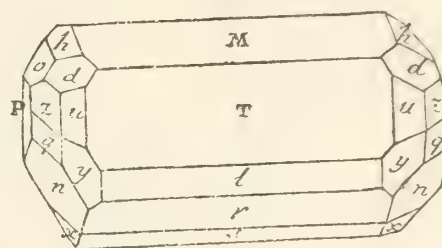


Fig. 12.

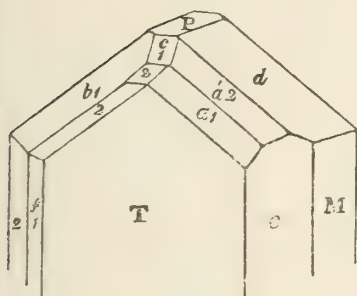


Fig. 13.

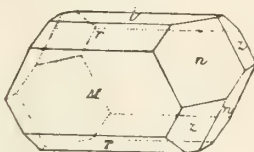


Fig. 14.

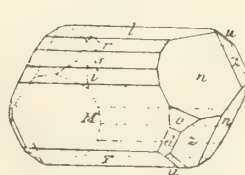


Fig. 15.

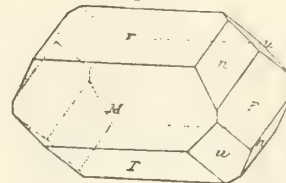


Fig. 16.

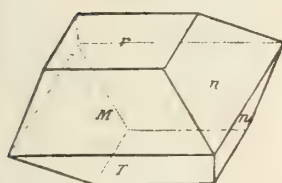


Fig. 17.

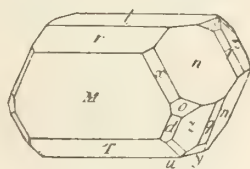


Fig. 18.

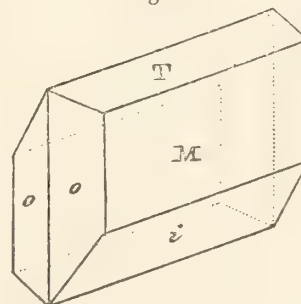


Fig. 19.

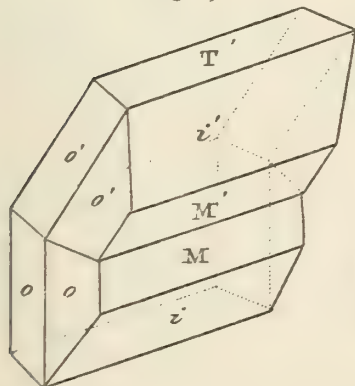


Fig. 20.

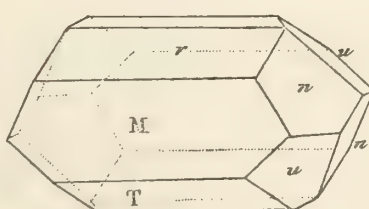
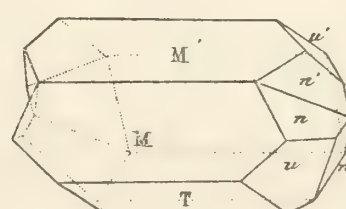


Fig. 21.



Epidot

Fig. 22.

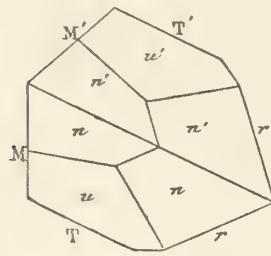


Fig. 23.

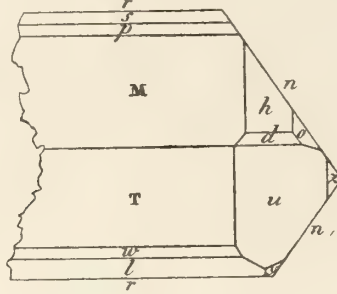


Fig. 24.

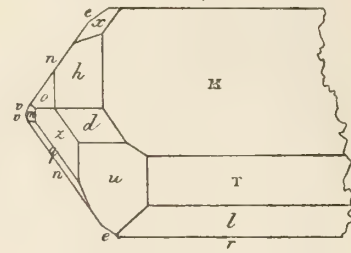


Fig. 25.

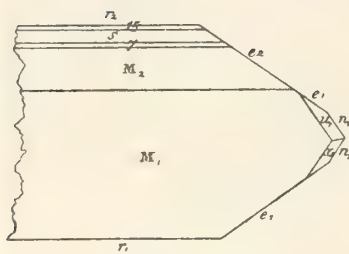


Fig. 26.

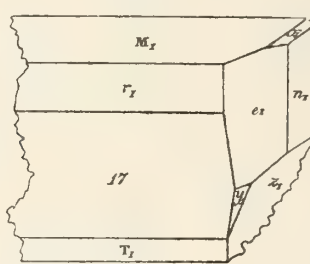


Fig. 27.

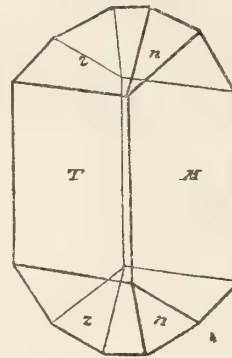


Fig. 28.

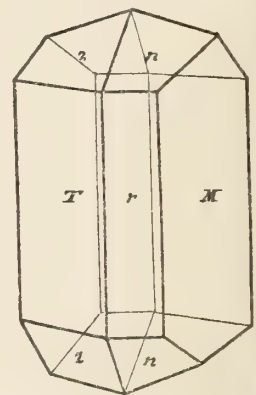


Fig. 29.

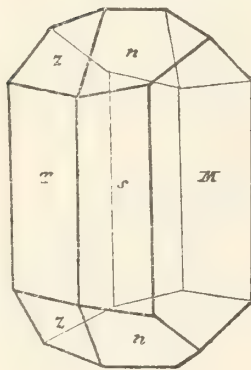


Fig. 30.

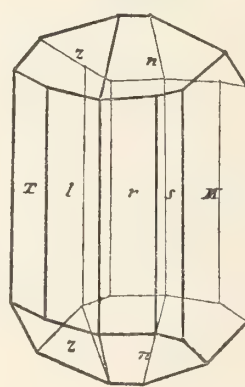


Fig. 31.

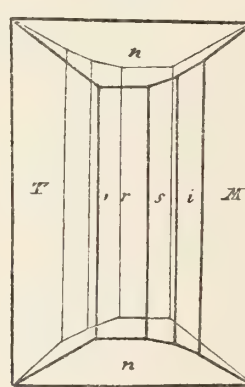


Fig. 32.

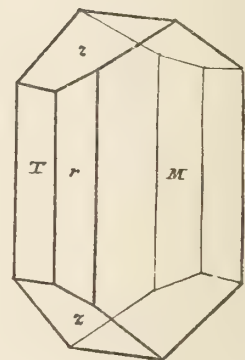


Fig. 33.

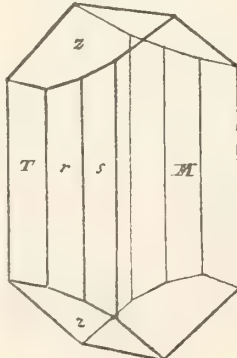


Fig. 34.

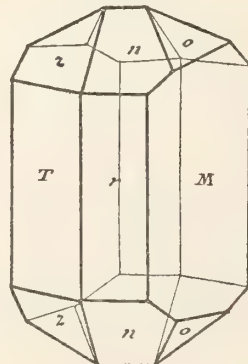


Fig. 35.

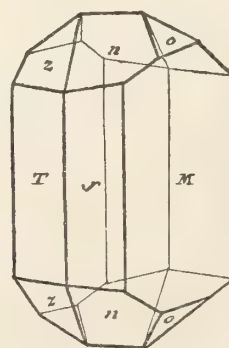
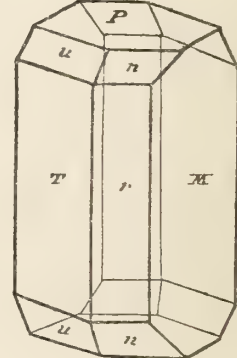


Fig. 36.



Epidot Fig. 37.

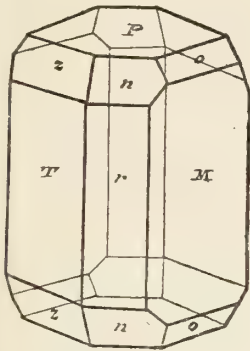


Fig. 38.

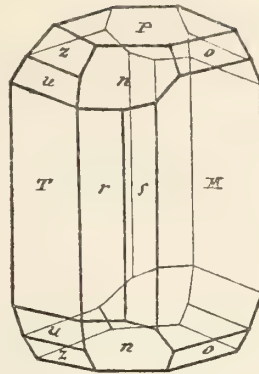


Fig. 39.

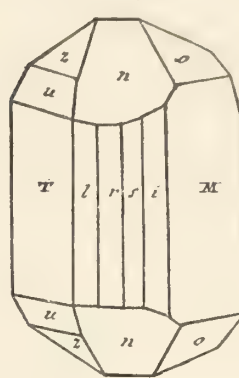


Fig. 40.

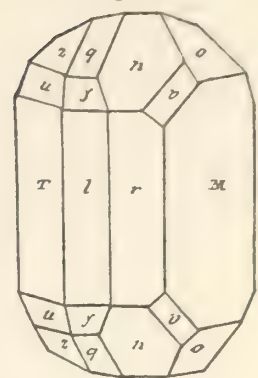


Fig. 41.

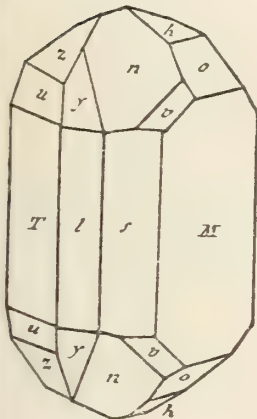


Fig. 42.

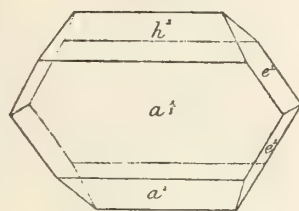


Fig. 43.

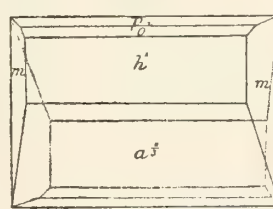


Fig. 44.

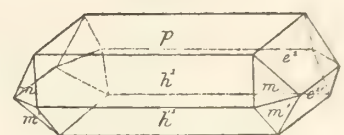


Fig. 45.

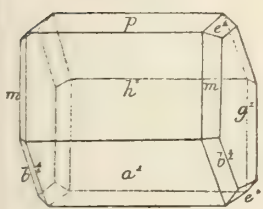


Fig. 46.

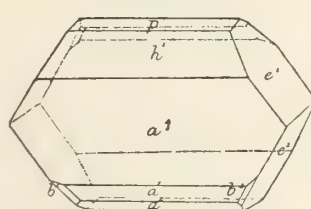


Fig. 47.

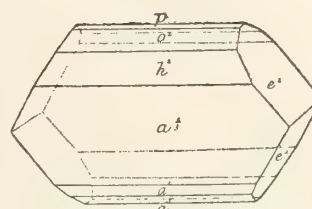


Fig. 48.

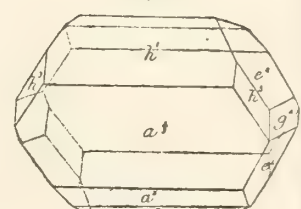


Fig. 49.

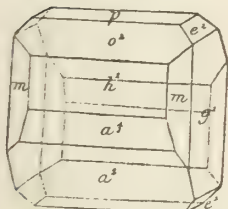


Fig. 50.

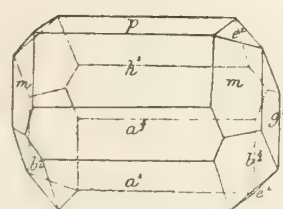


Fig. 51.

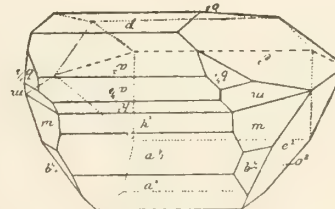


Fig. 52.

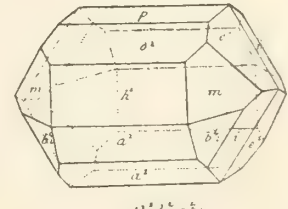


Fig. 53.

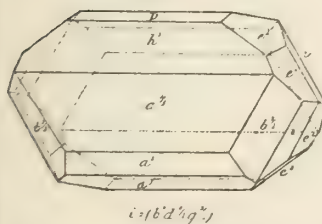


Fig. 54.

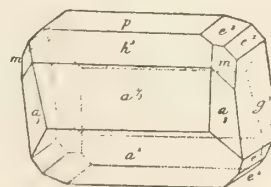


Fig. 55.

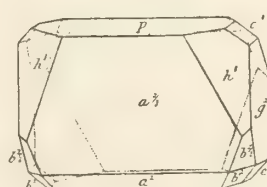
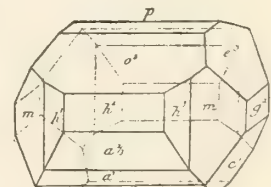


Fig. 56.



Epidot Fig. 57.

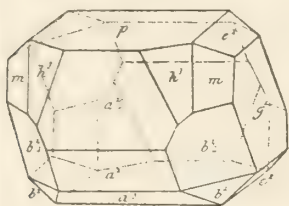


Fig. 58.

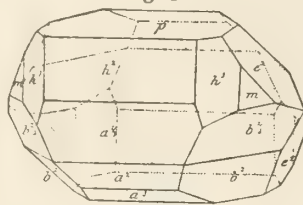


Fig. 59.

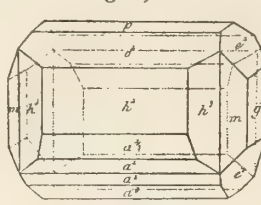


Fig. 60.

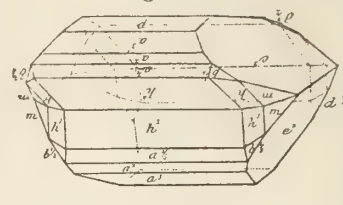


Fig. 61.

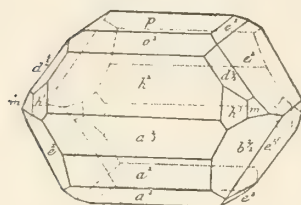


Fig. 62.

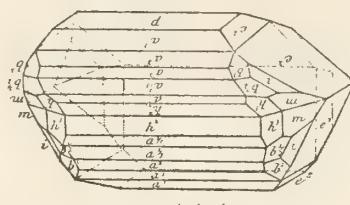
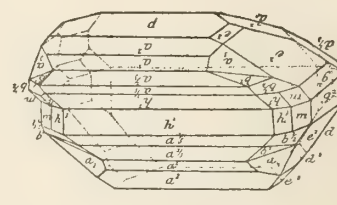


Fig. 63.



i. b. d. g. r.

Fig. 64.

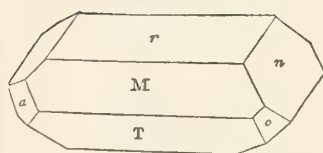


Fig. 65.

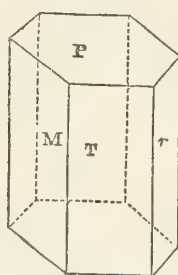


Fig. 66.

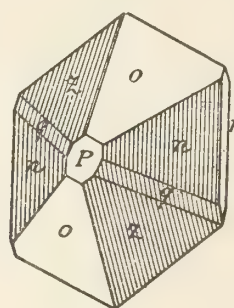


Fig. 67.

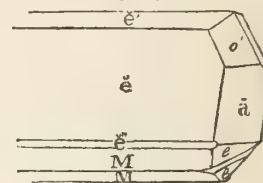


Fig. 68.

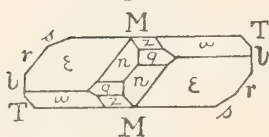


Fig. 69.

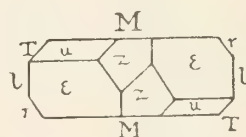


Fig. 70.

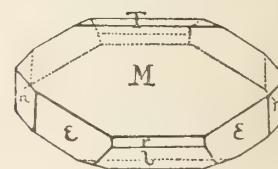
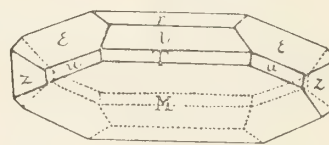
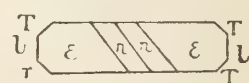


Fig. 71.

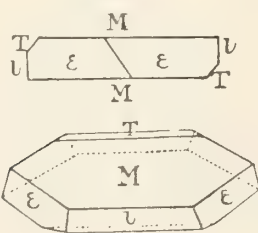


Fig. 72.

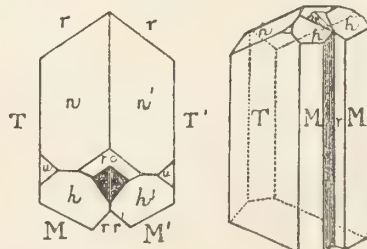
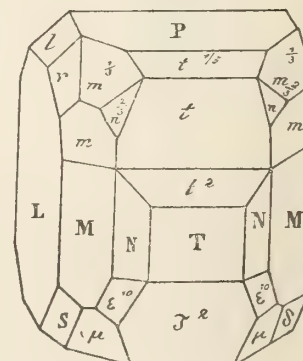


Fig. 73.



Epidot

Fig. 74.

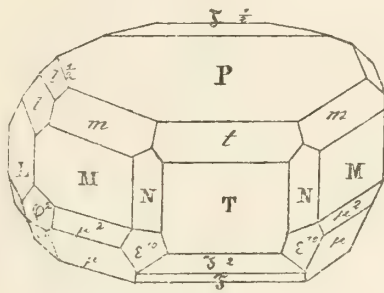


Fig. 75.

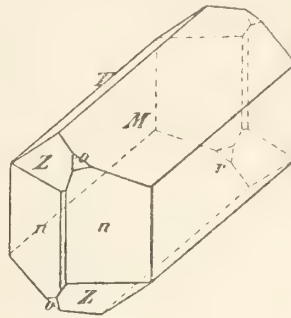


Fig. 76.

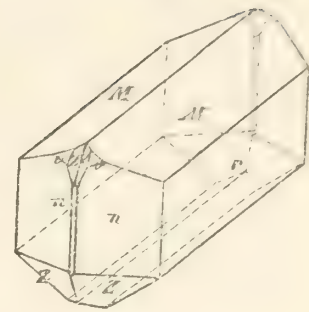


Fig. 77.

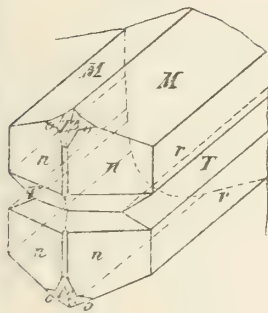


Fig. 78.

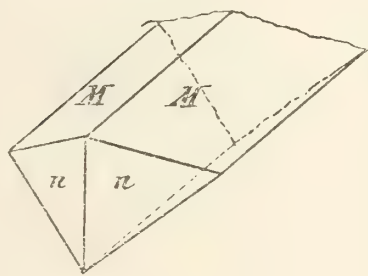


Fig. 79.

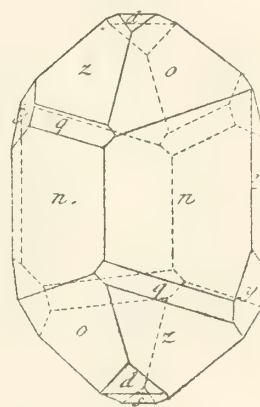


Fig. 80.

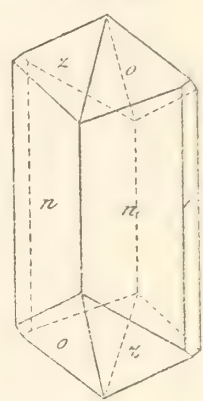


Fig. 81.

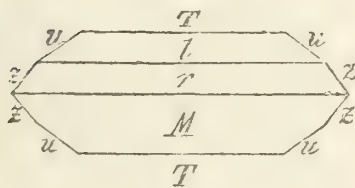


Fig. 82.

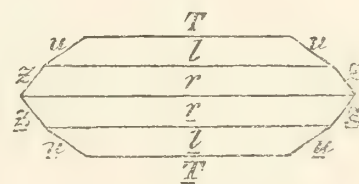


Fig. 83.

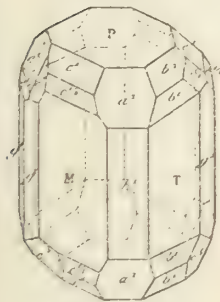


Fig. 84.

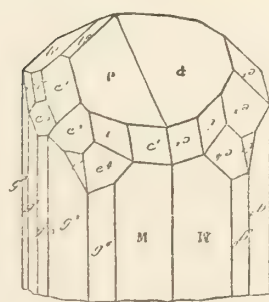


Fig. 85.

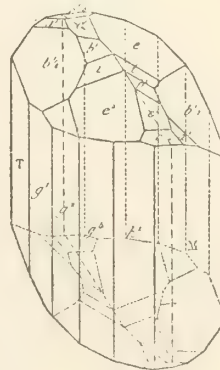
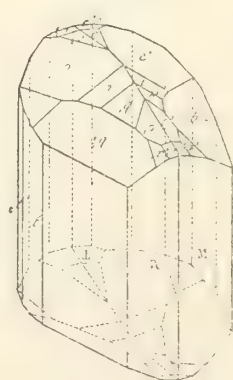


Fig. 86.



Epidot

Fig. 87.

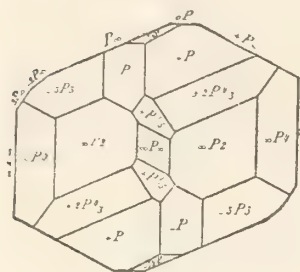


Fig. 88.

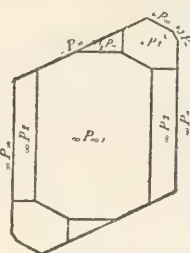


Fig. 89.

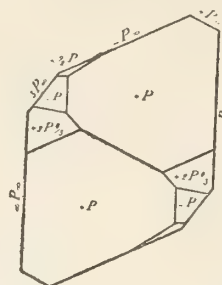


Fig. 93.

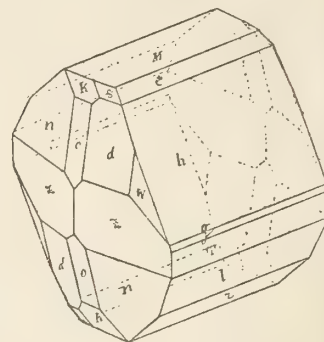


Fig. 90.

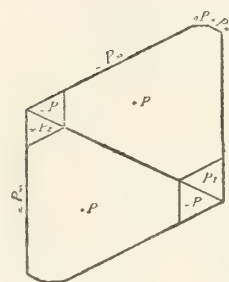


Fig. 91.

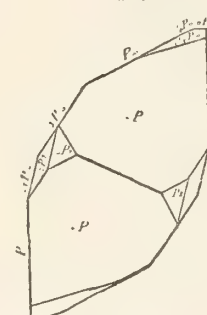


Fig. 92.

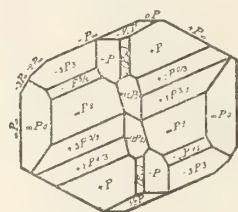


Fig. 94.

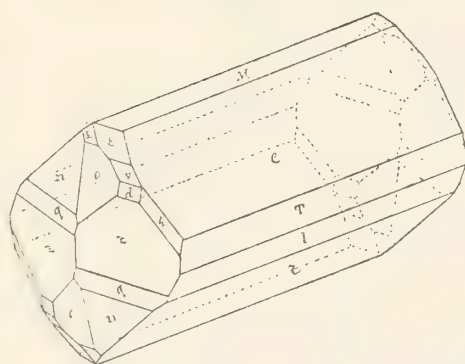


Fig. 95.

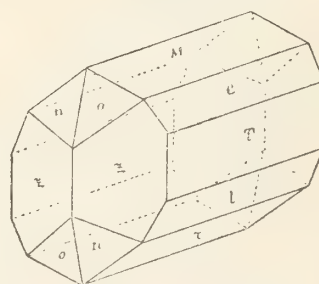
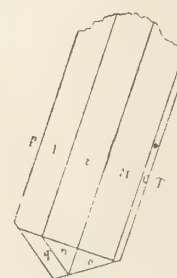
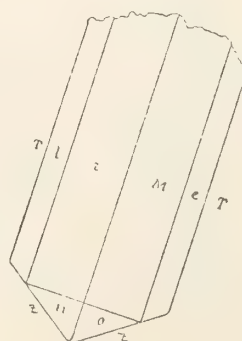
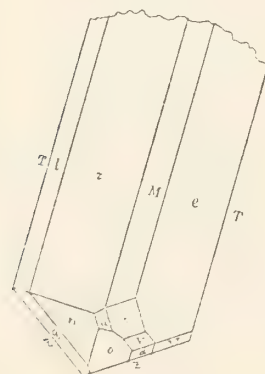
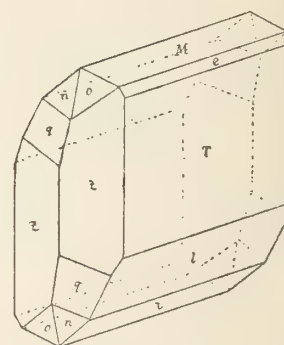


Fig. 96.



Epidot

Fig. 97.

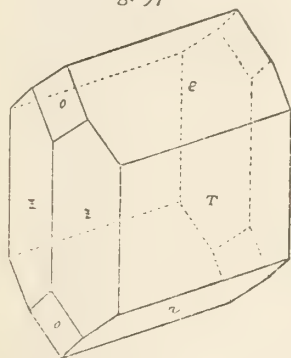


Fig. 98.

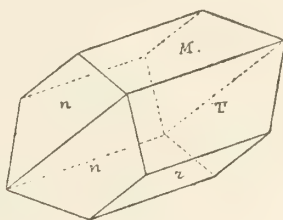


Fig. 99.

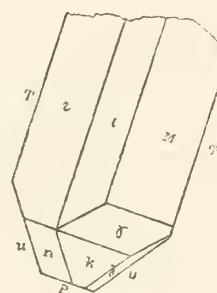
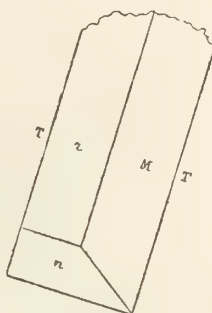
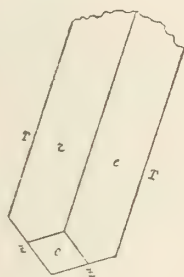
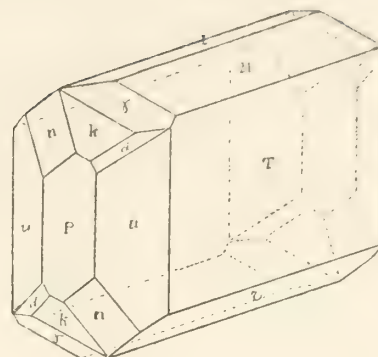


Fig. 100.

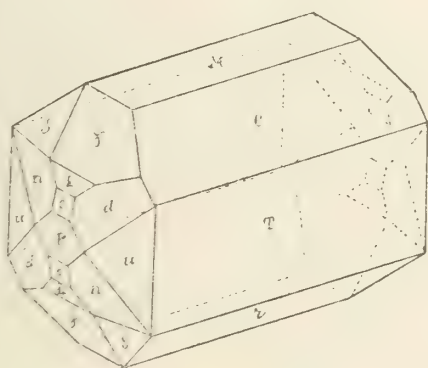


Fig. 101.

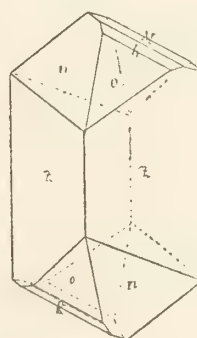
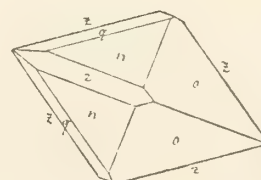
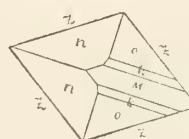
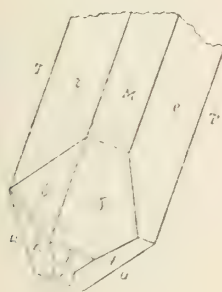
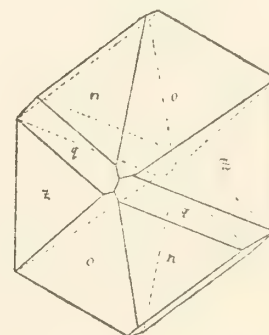


Fig. 102.



Epidot

Fig. 103.

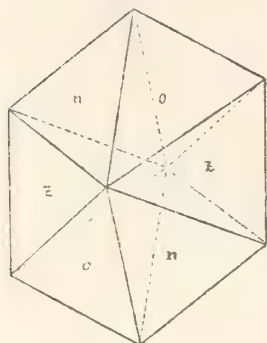


Fig. 104.

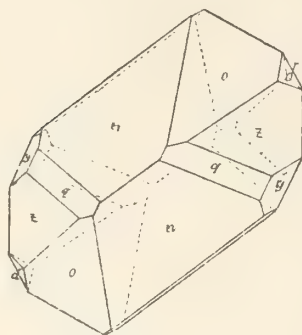


Fig. 105.

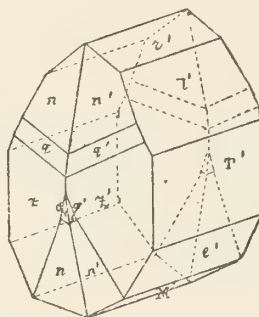


Fig. 106.

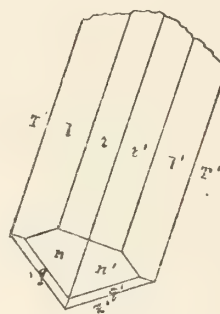
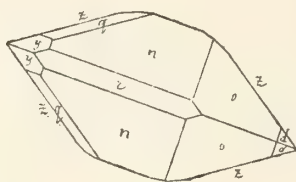
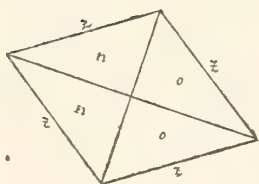
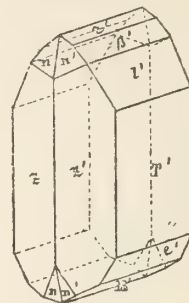


Fig. 107.

16.

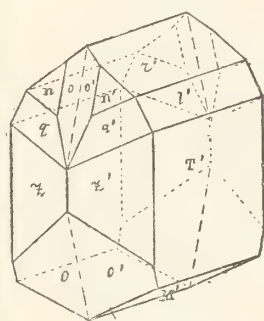


Fig. 108.

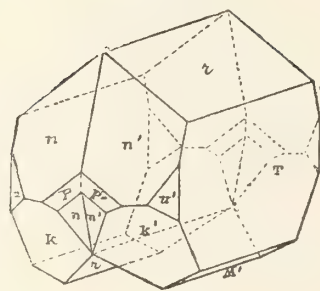


Fig. 109.

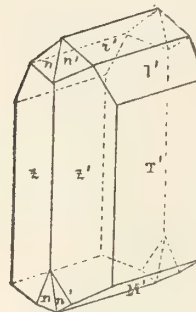
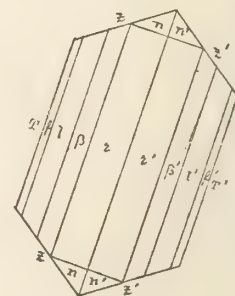
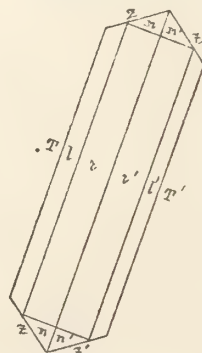
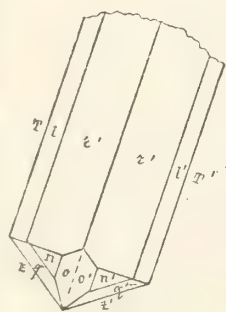
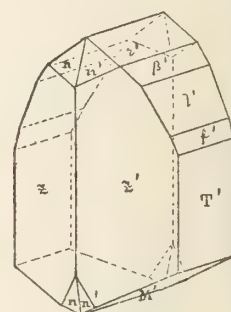


Fig. 110.



Epidot

Fig. 111.

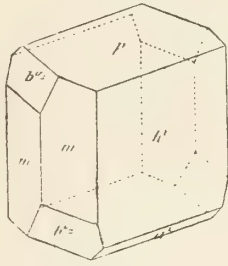


Fig. 112.

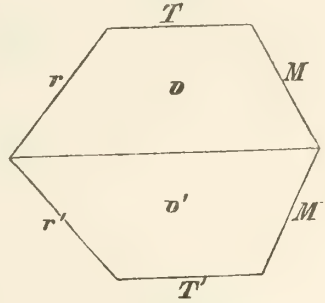


Fig. 113.

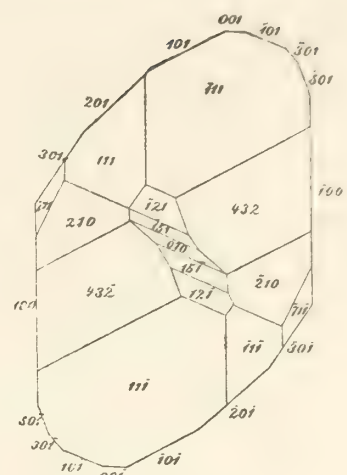


Fig. 114.

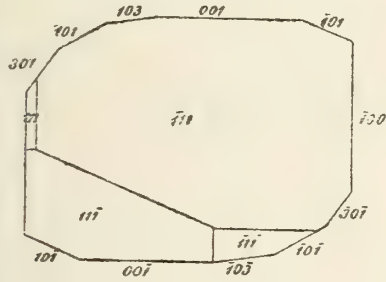


Fig. 115.

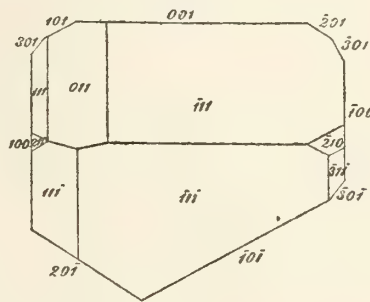


Fig. 116.

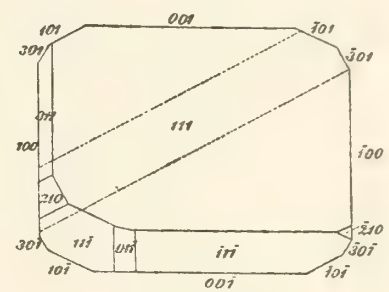


Fig. 117.

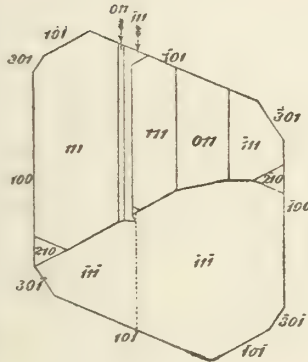


Fig. 118.

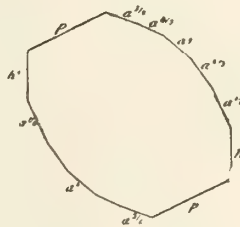


Fig. 119.

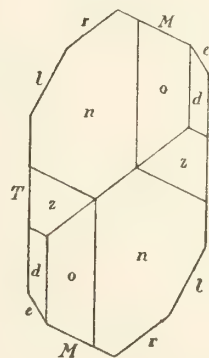


Fig. 120.

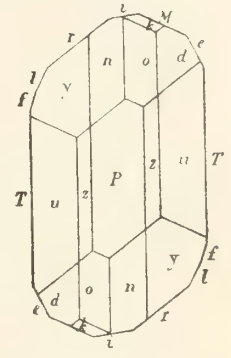


Fig. 121.

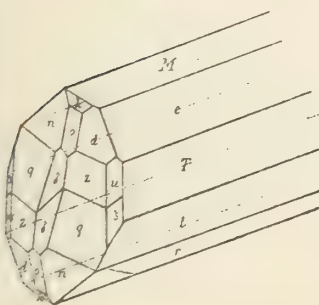


Fig. 122.

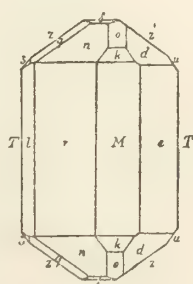


Fig. 123.

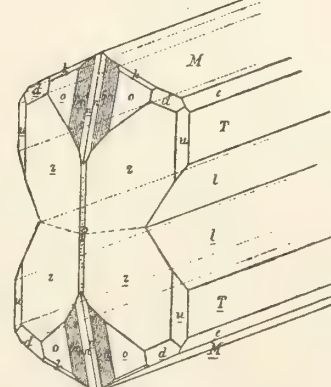


Fig. 124.



Epidot

Fig. 125.

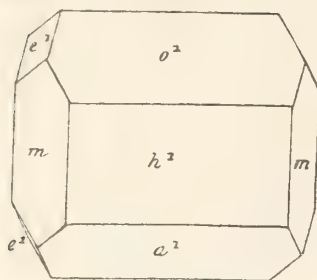


Fig. 126.

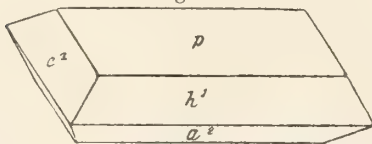


Fig. 127.

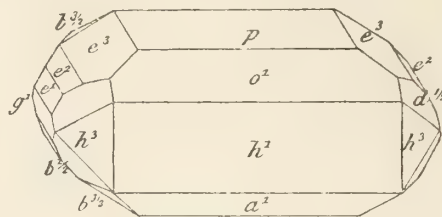


Fig. 128.

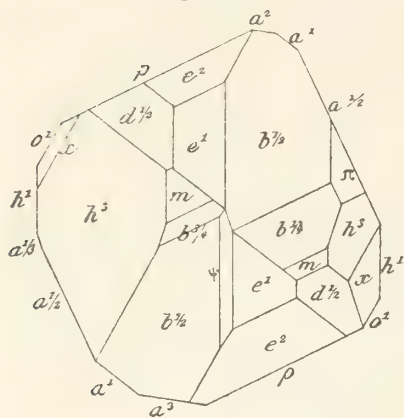


Fig. 129.

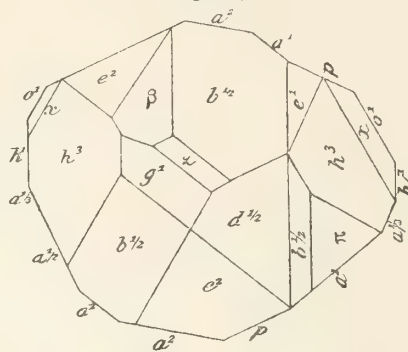


Fig. 130.

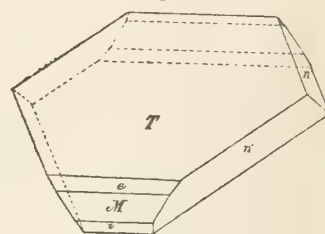


Fig. 131.

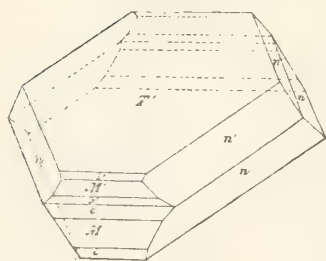


Fig. 132.

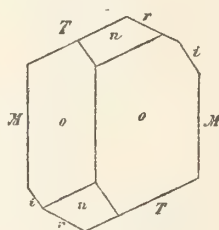


Fig. 133.

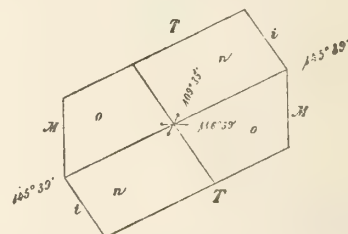


Fig. 135.

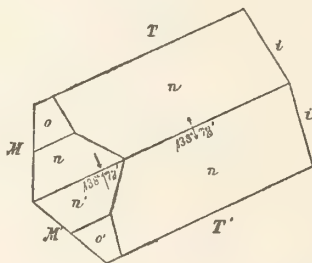


Fig. 136.

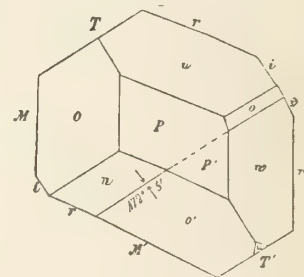


Fig. 134.

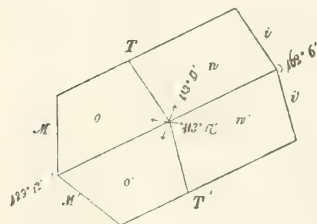


Fig. 138.

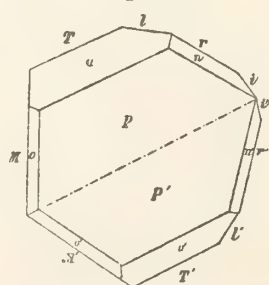


Fig. 139.

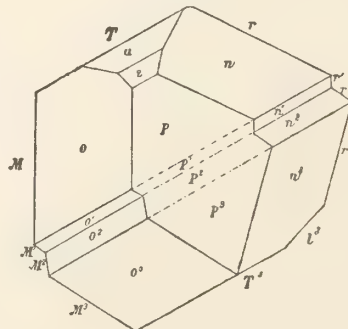


Fig. 137.

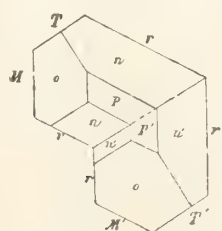
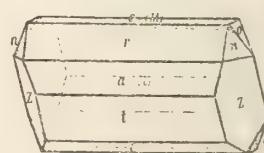


Fig. 140.



Epidot

Fig. 141.

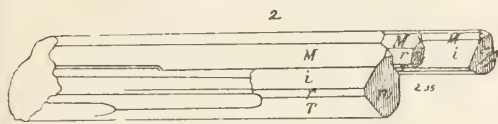


Fig. 142.

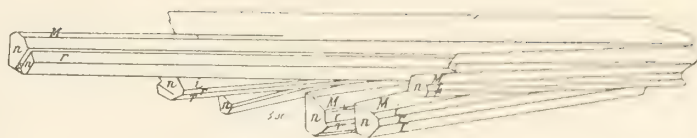


Fig. 143.

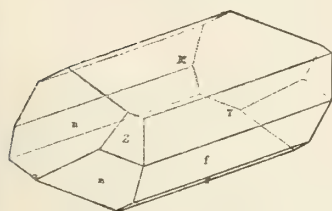


Fig. 144.

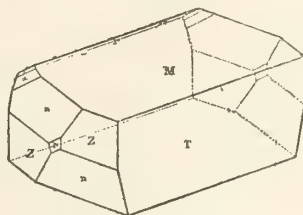


Fig. 145.

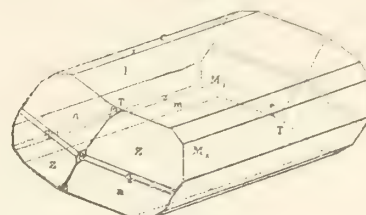


Fig. 146.

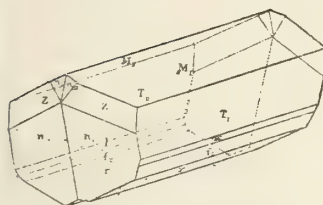


Fig. 147.

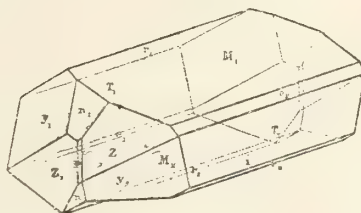


Fig. 148.

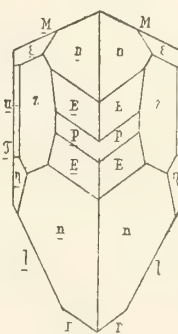


Fig. 149.

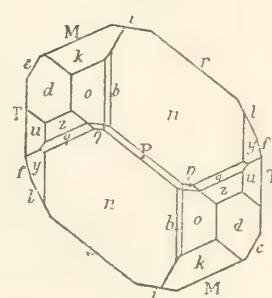


Fig. 150.

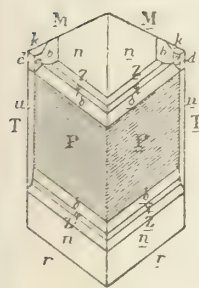


Fig. 151.

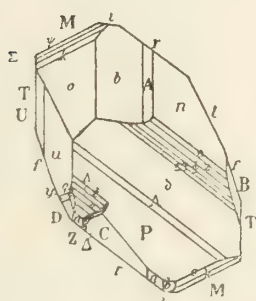


Fig. 152.

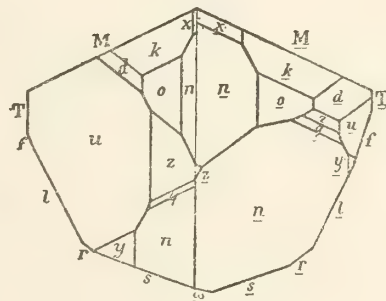


Fig. 153.

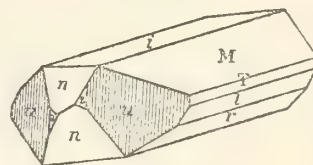


Fig. 154.

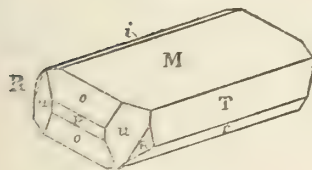


Fig. 155.

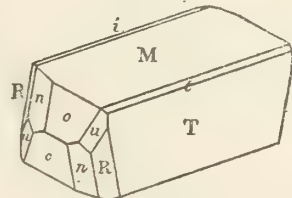


Fig. 156.

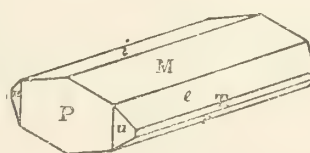
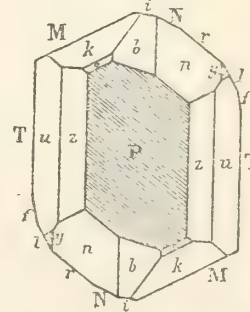


Fig. 157.



Epidot Fig. 158.

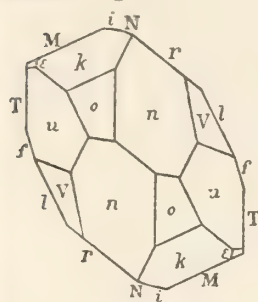


Fig. 159.

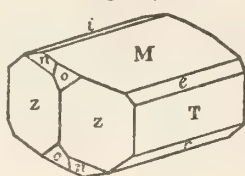


Fig. 160.

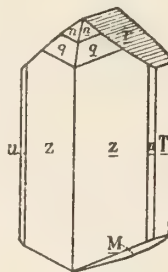


Fig. 161.

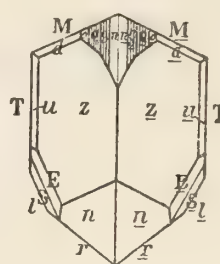


Fig. 162.

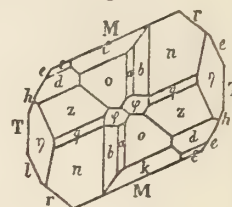


Fig. 163.

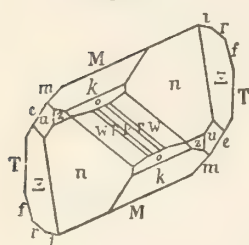


Fig. 164.

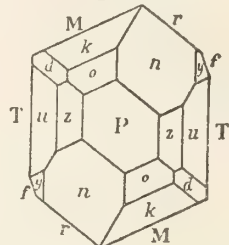


Fig. 165.

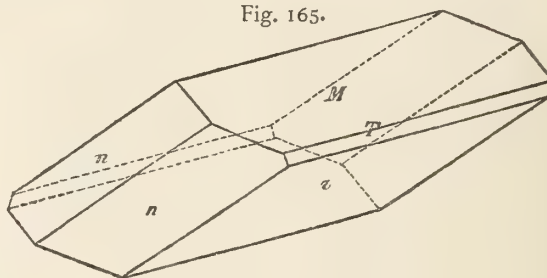


Fig. 166.

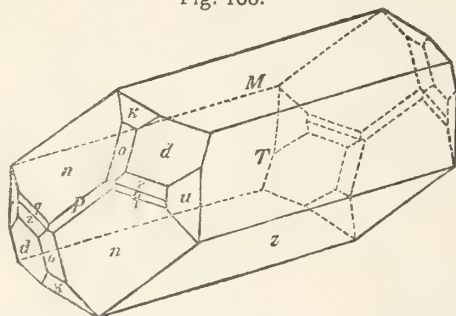


Fig. 167.

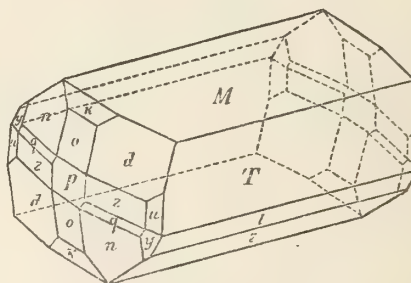


Fig. 168.

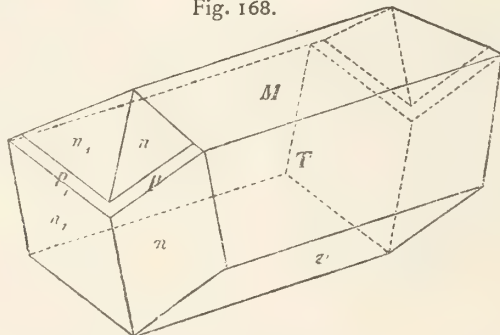


Fig. 169.

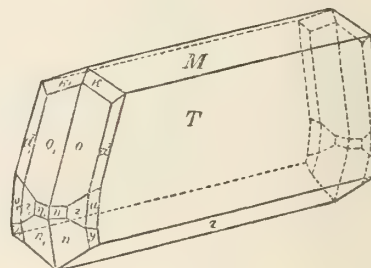


Fig. 170.

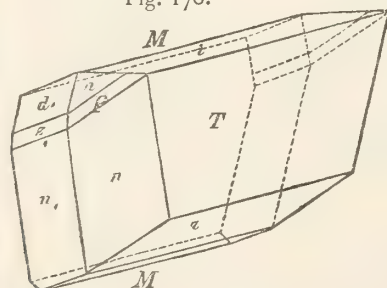


Fig. 171.

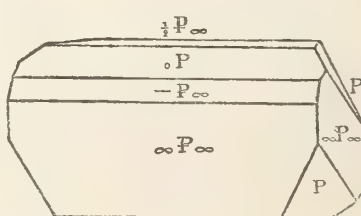
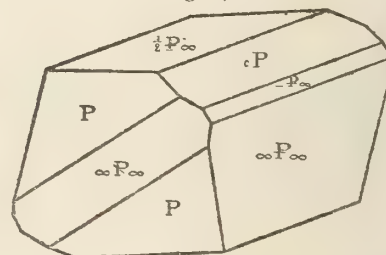


Fig. 172.



Epidot

Fig. 189.

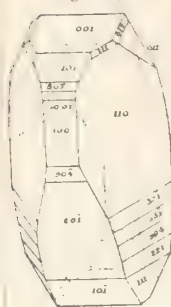


Fig. 190.

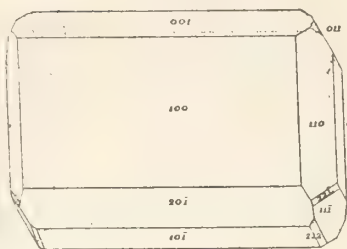


Fig. 191.

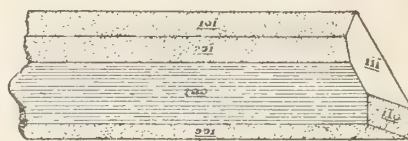


Fig. 192.

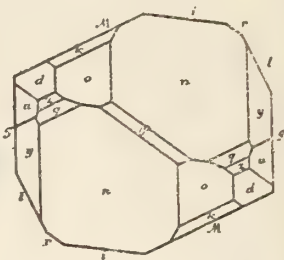


Fig. 193.

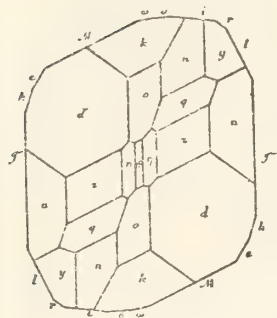


Fig. 194.

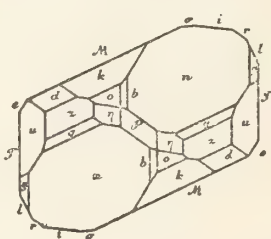


Fig. 195.

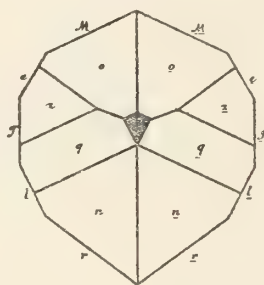


Fig. 196.

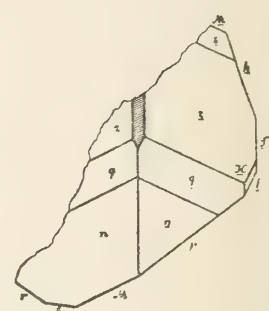


Fig. 197.

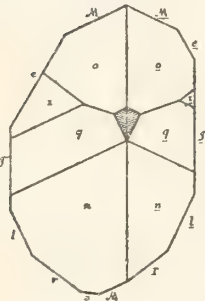


Fig. 198.

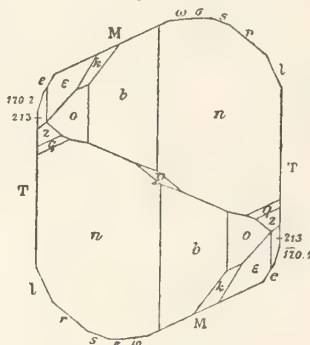


Fig. 199.

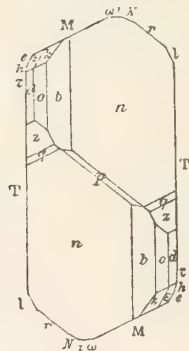


Fig. 200.

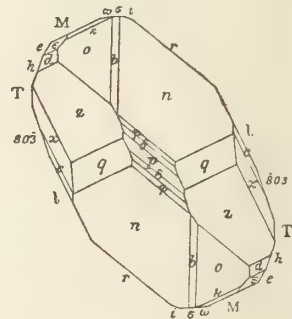


Fig. 201.

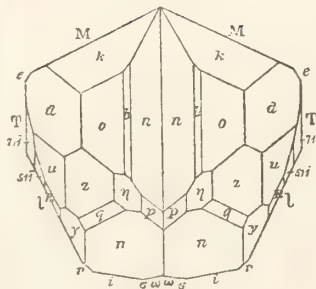


Fig. 202.

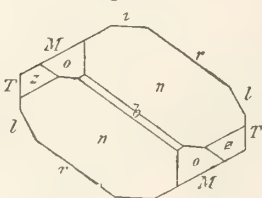


Fig. 203.

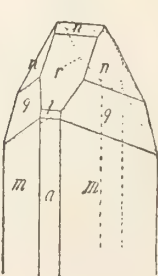


Fig. 204.

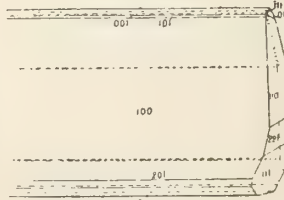


Fig. 205.



Epidot

Fig. 221.

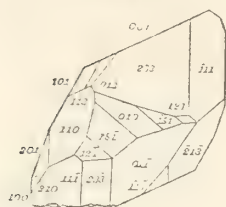


Fig. 222.

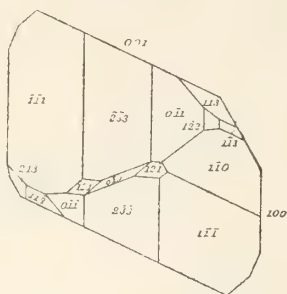
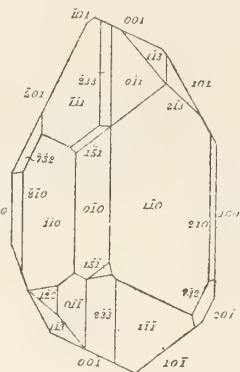


Fig. 223.



Epidot

Fig. 237.

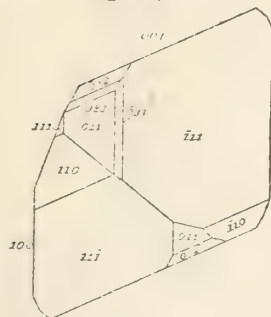


Fig. 238.

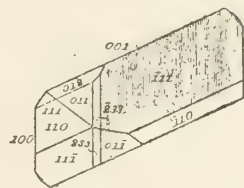
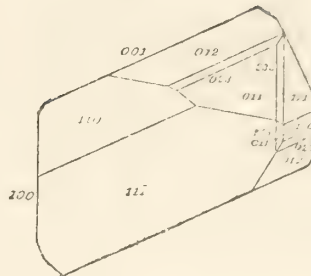


Fig. 239.



Epidot

Fig. 254.

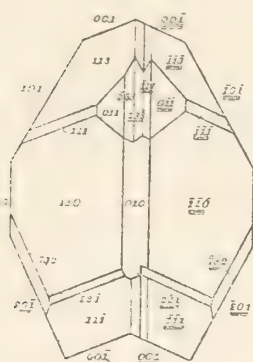


Fig. 255.

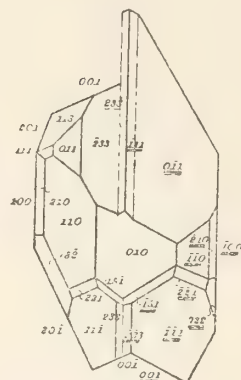
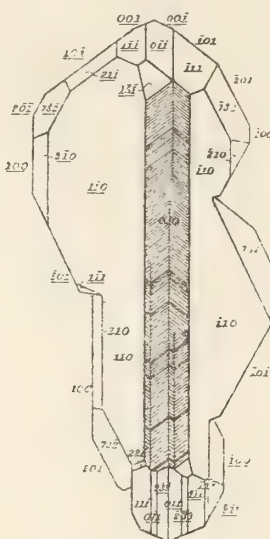


Fig. 256.



Epidot

Fig. 268.

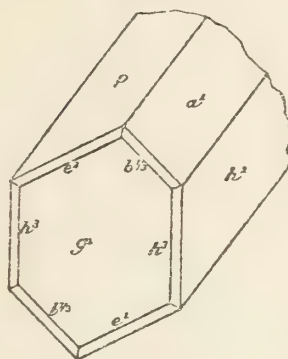


Fig. 269.

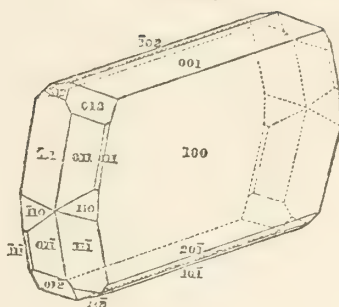


Fig. 270.

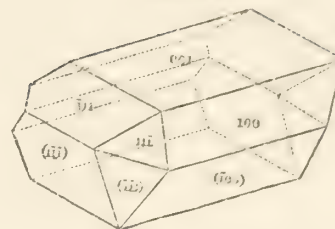


Fig. 272.

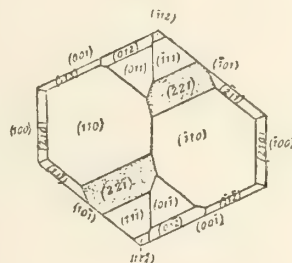


Fig. 273.

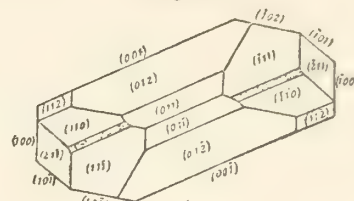


Fig. 271.

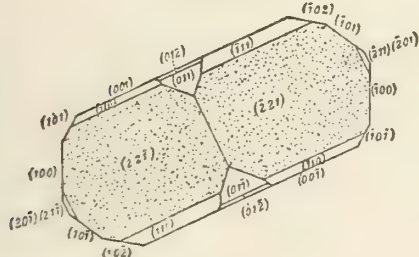


Fig. 276.

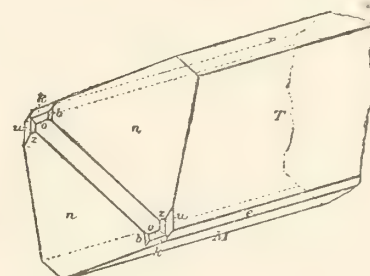


Fig. 275.

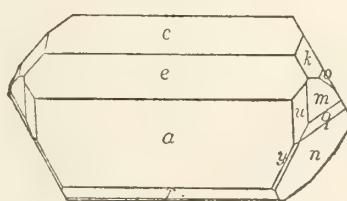


Fig. 274.

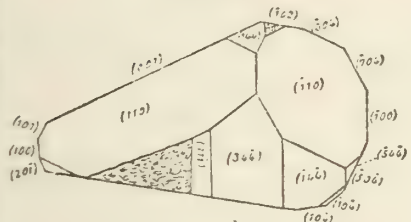


Fig. 278.

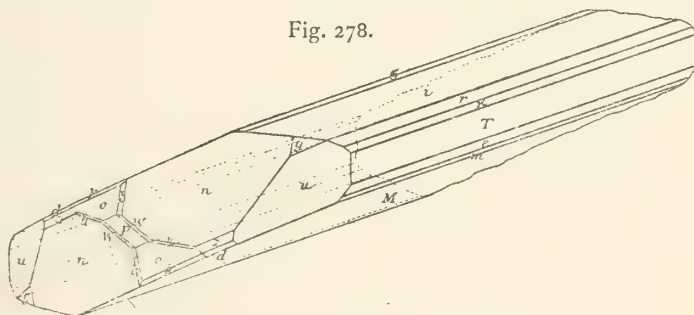


Fig. 277.

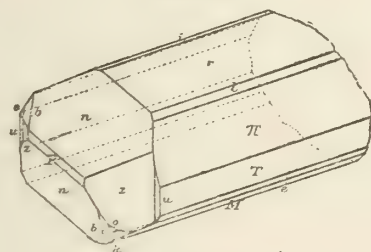


Fig. 279.

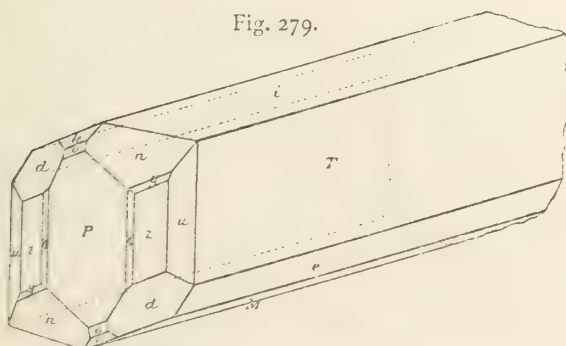
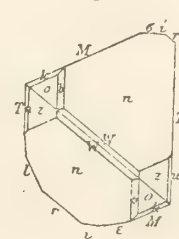


Fig. 280.



Epidot

Fig. 281.

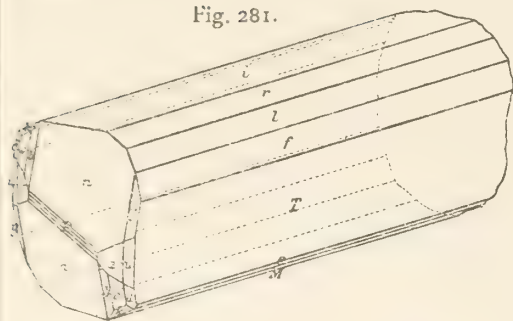


Fig. 282.

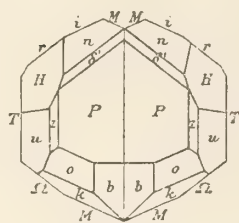


Fig. 283.

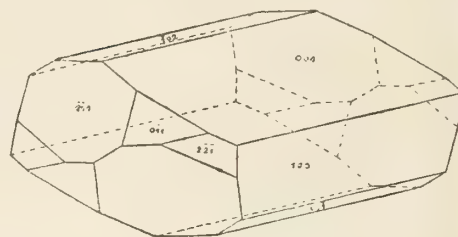


Fig. 284.

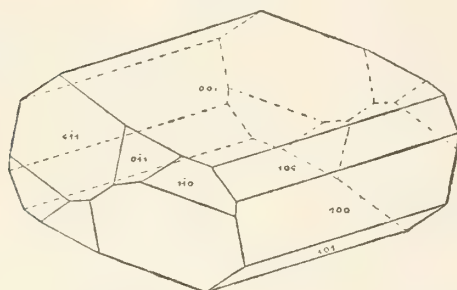


Fig. 285.

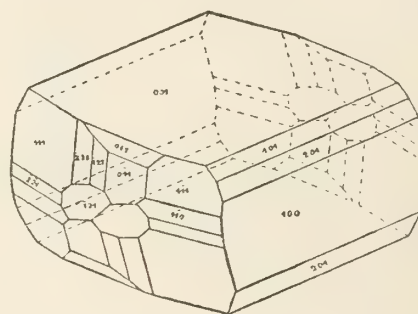


Fig. 286.

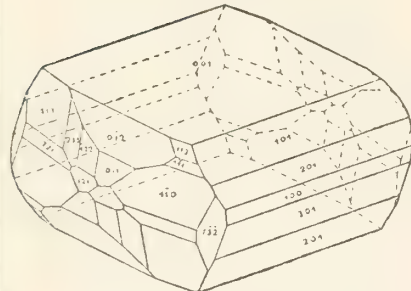


Fig. 287.

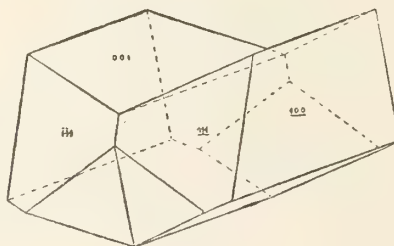


Fig. 288.

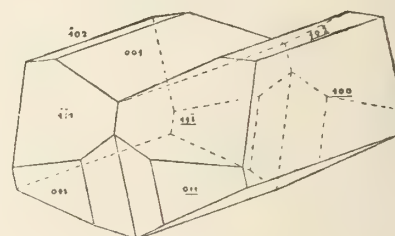


Fig. 289.

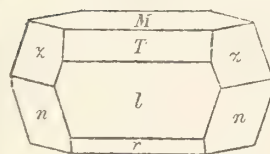


Fig. 290.

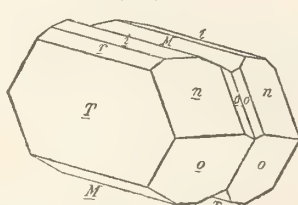


Fig. 291.

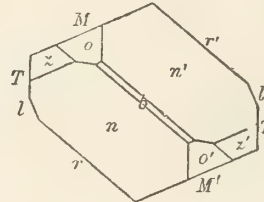


Fig. 292.

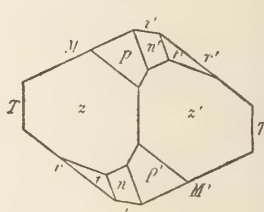


Fig. 293.

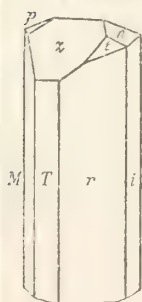


Fig. 294.

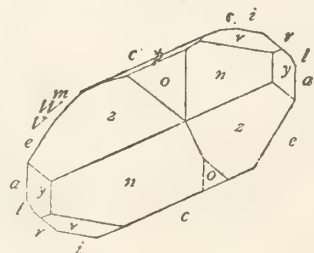


Fig. 295.

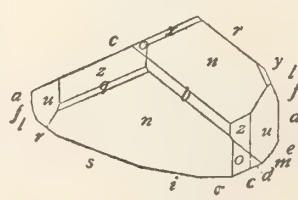
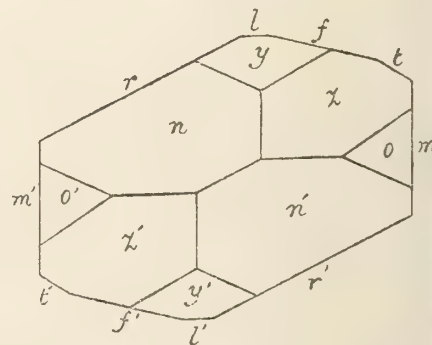


Fig. 296.



Epidot

Fig. 297.

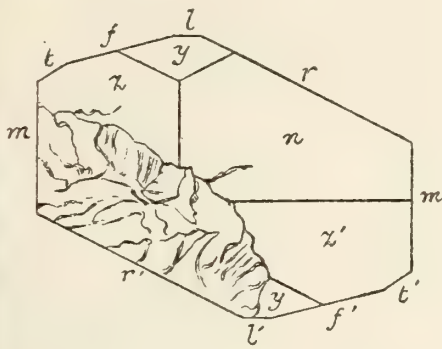


Fig. 298.

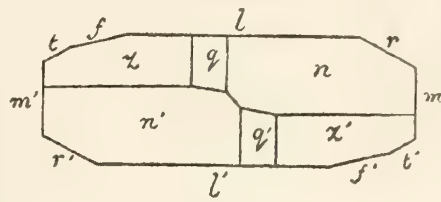


Fig. 299.

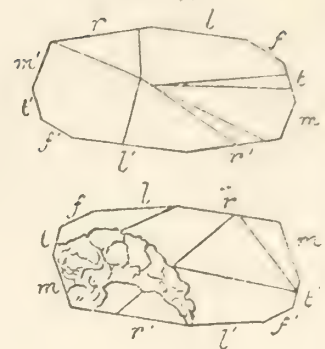


Fig. 300.

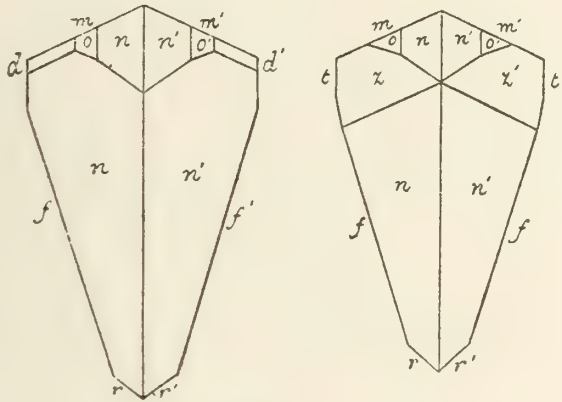


Fig. 301.

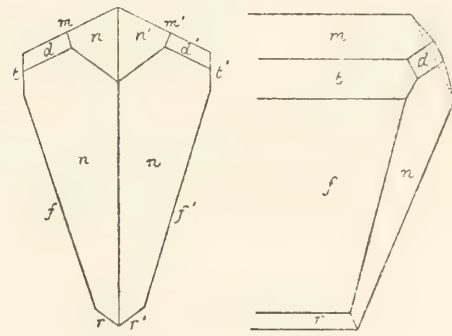


Fig. 302.

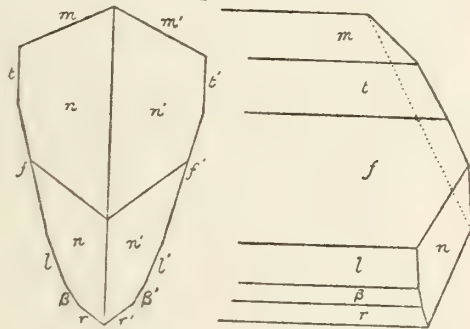


Fig. 303.

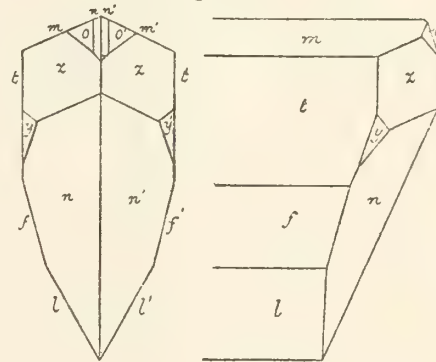


Fig. 304.

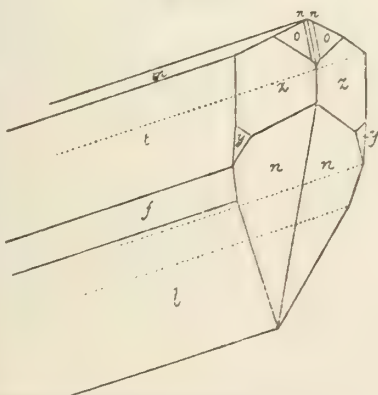


Fig. 305.

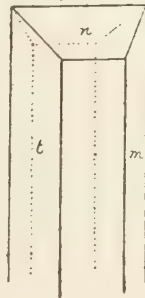


Fig. 306.

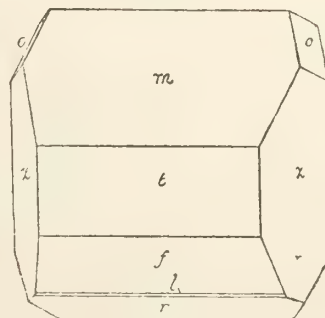
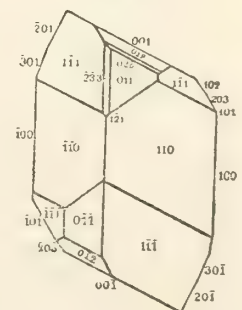


Fig. 307.



Epidot

Fig. 308.

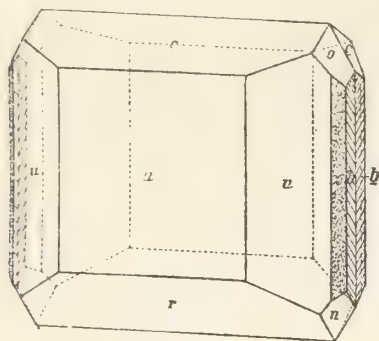


Fig. 309.

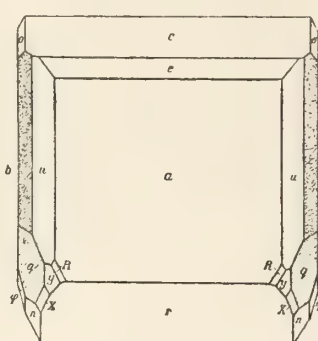


Fig. 310.

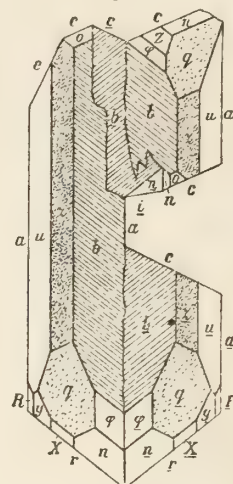


Fig. 311.

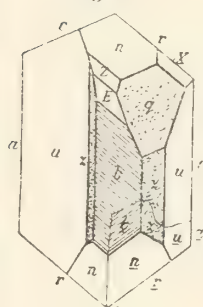


Fig. 312.

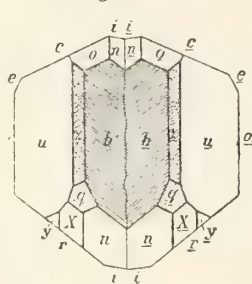


Fig. 313.

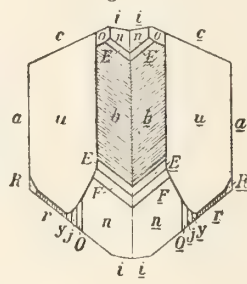


Fig. 314.

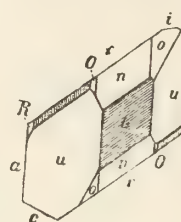


Fig. 315.

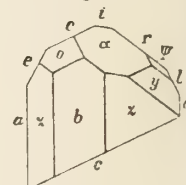


Fig. 316.

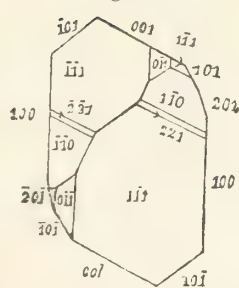


Fig. 317.

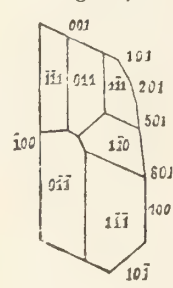


Fig. 318.

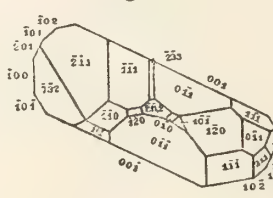


Fig. 319.

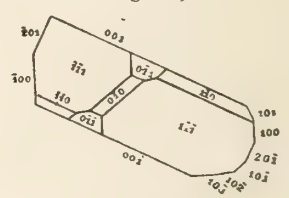


Fig. 320.

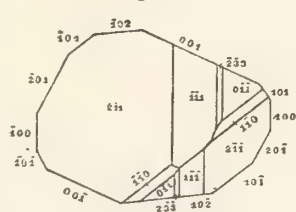


Fig. 321.

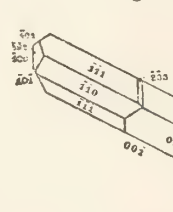


Fig. 322.

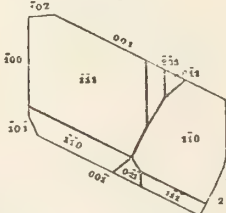


Fig. 323.

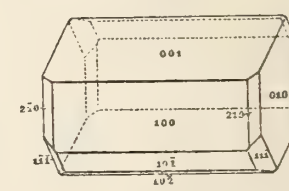


Fig. 324.

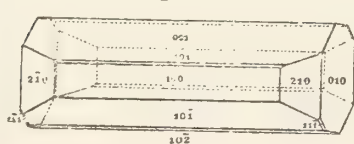


Fig. 325.

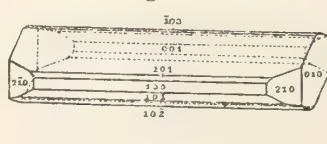


Fig. 326.

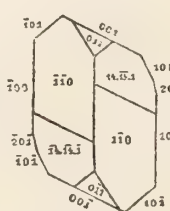
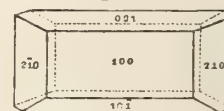


Fig. 327.



Epidot

Fig. 328.

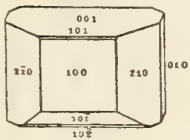


Fig. 329.

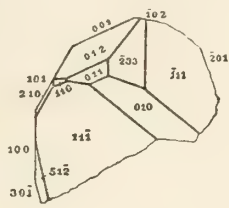
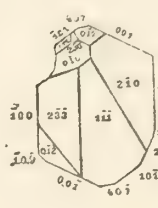


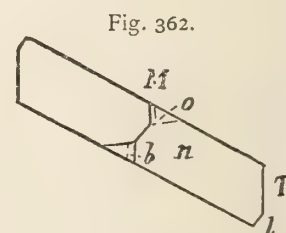
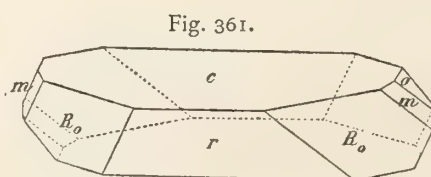
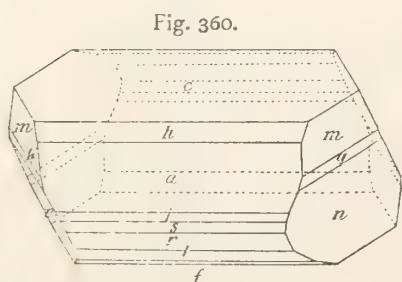
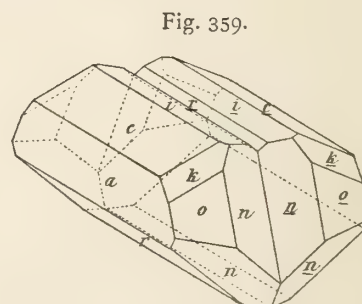
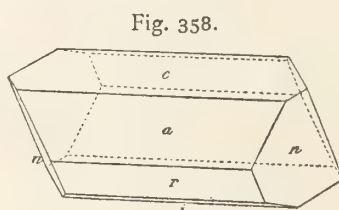
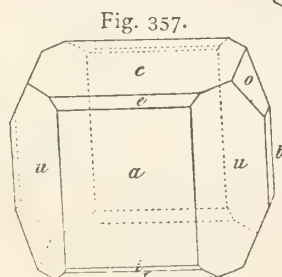
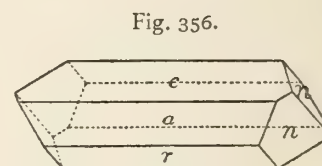
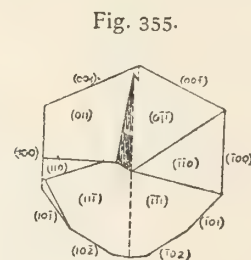
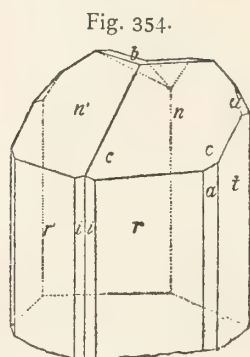
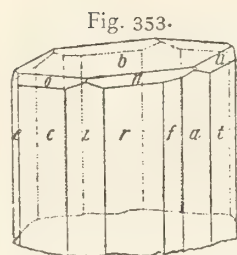
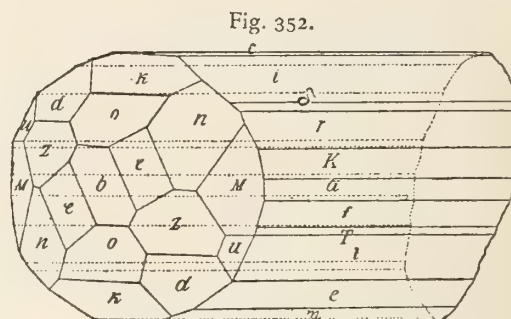
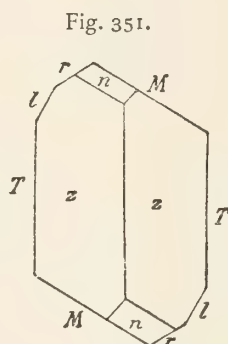
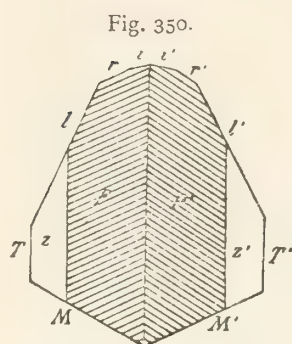
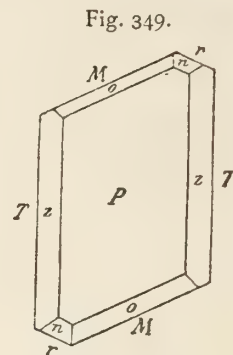
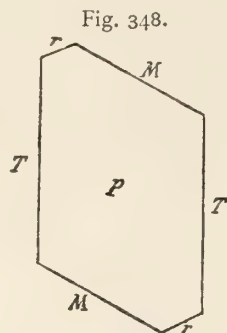
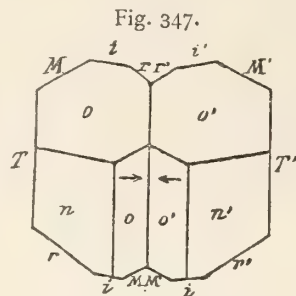
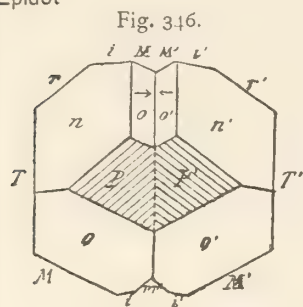
Fig. 330.



Fig. 331.



Epidot



Epidot

Fig. 363.

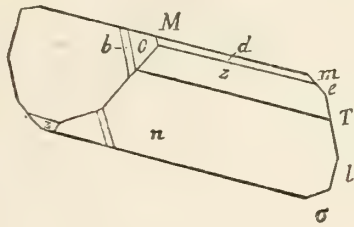


Fig. 364.

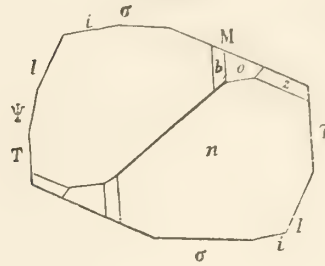


Fig. 365.

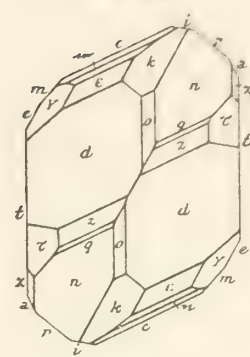


Fig. 366.

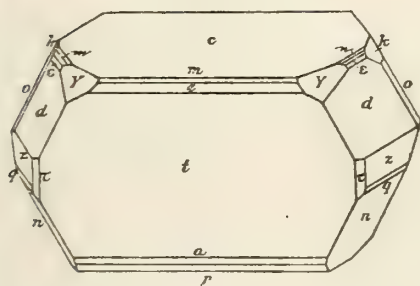


Fig. 367.

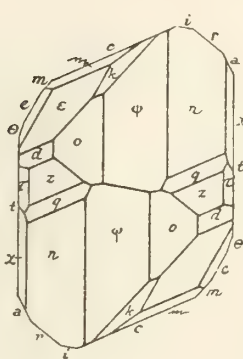


Fig. 368.

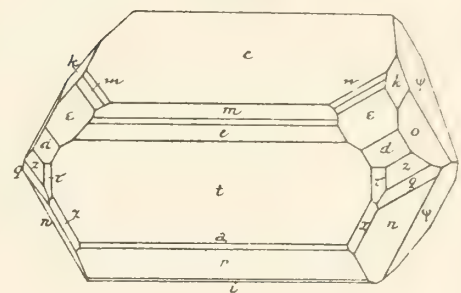


Fig. 369.

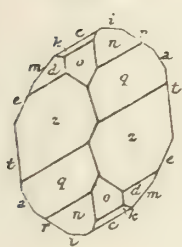


Fig. 370.

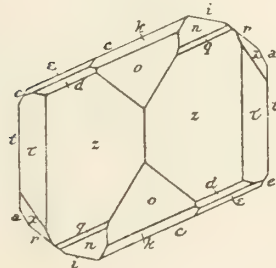


Fig. 371.

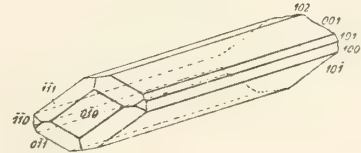
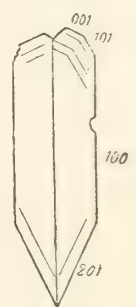


Fig. 372.



Epistilbit Fig. 1.

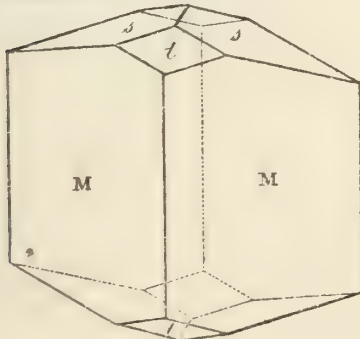


Fig. 2.

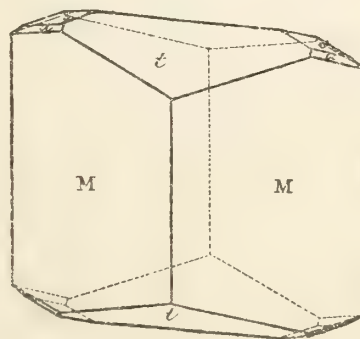
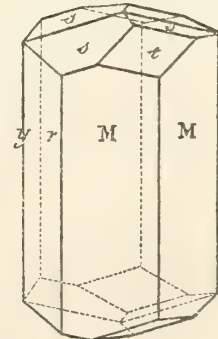


Fig. 3.



Epistilbit

Fig. 4.

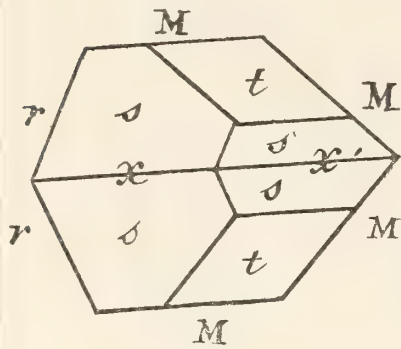


Fig. 5.

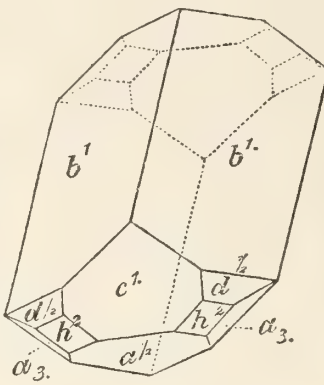


Fig. 6.

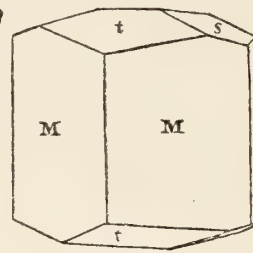


Fig. 7.

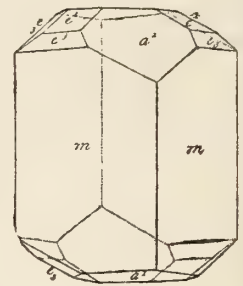


Fig. 8.



Fig. 9.

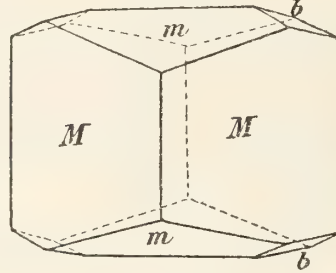


Fig. 10.

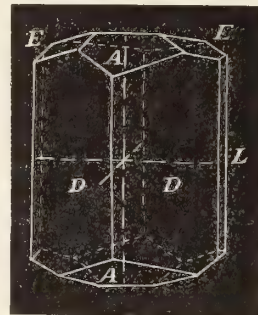


Fig. 11.

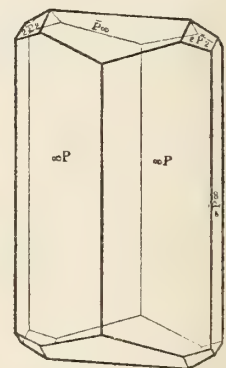


Fig. 12.

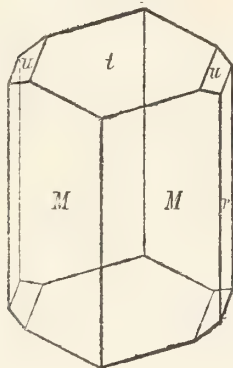


Fig. 13.

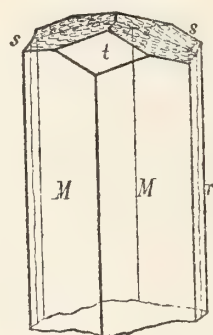


Fig. 14.

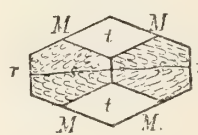


Fig. 15.

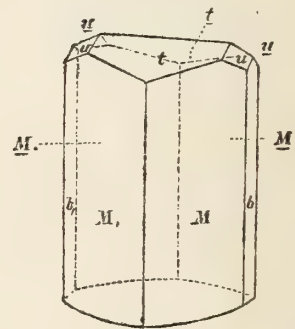


Fig. 16.

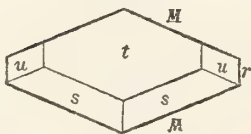


Fig. 17.

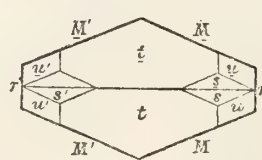


Fig. 18.

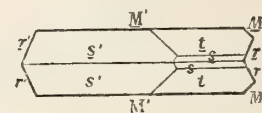


Fig. 19.

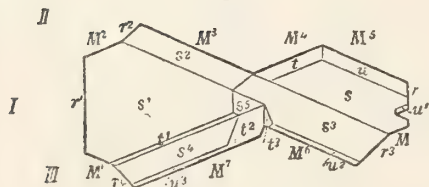


Fig. 20.

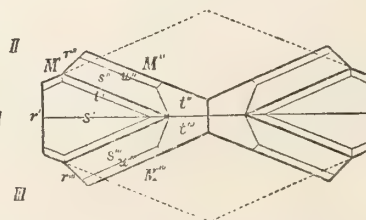
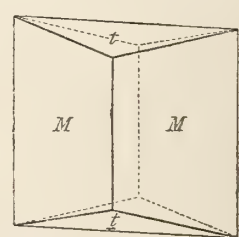


Fig. 21.



Epistilbit

Fig. 22.



Fig. 23.

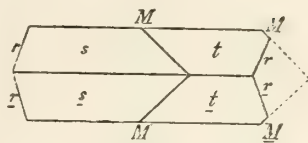


Fig. 24.

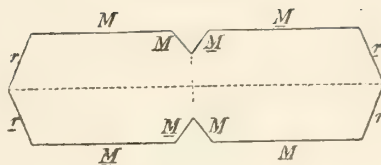


Fig. 25.

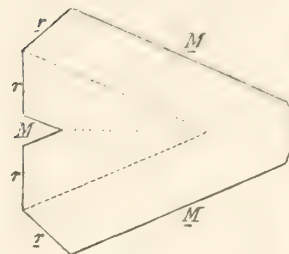


Fig. 26.

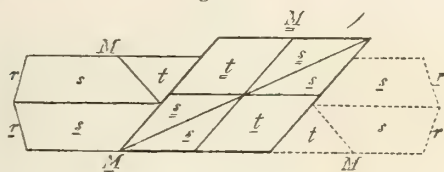


Fig. 27.

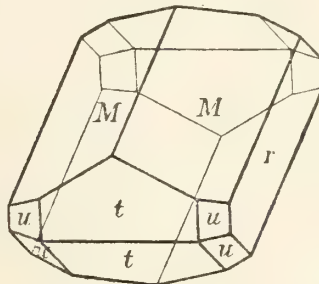


Fig. 31.

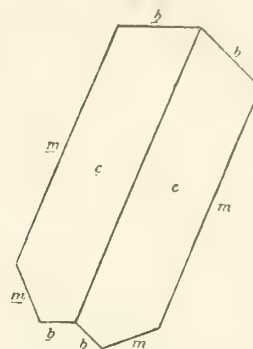


Fig. 28.

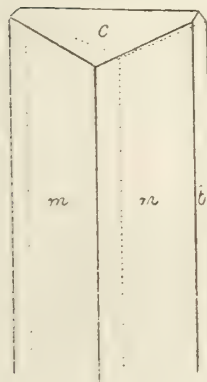


Fig. 29.

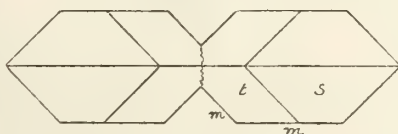


Fig. 30.

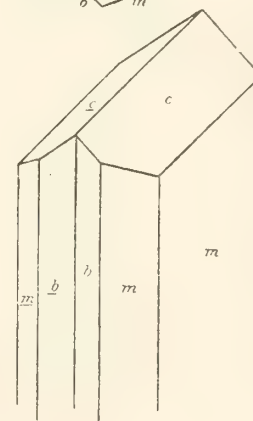
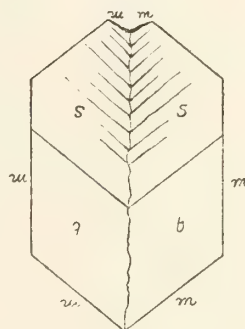
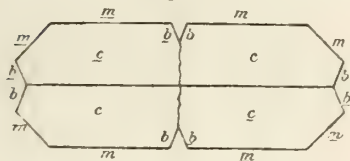
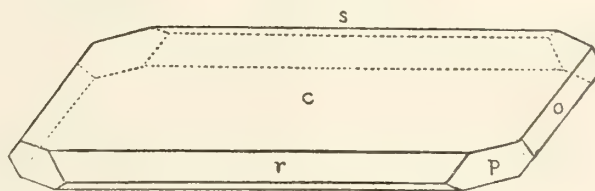


Fig. 32.



Epistolit

Fig. 1.



Epsomit

Fig. 1.



Fig. 2.



Fig. 3.

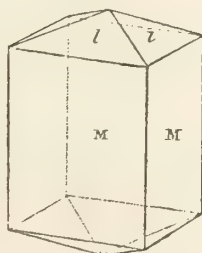


Fig. 4.

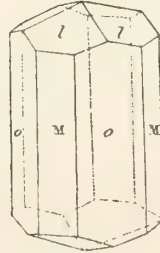
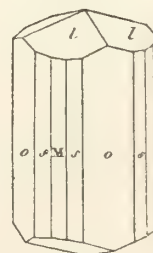


Fig. 5.



Epsomit

Fig. 6.

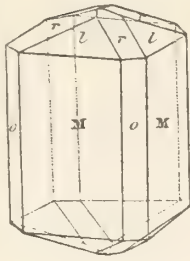


Fig. 7.

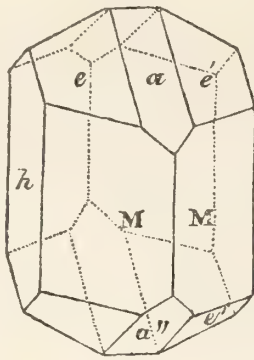


Fig. 8.

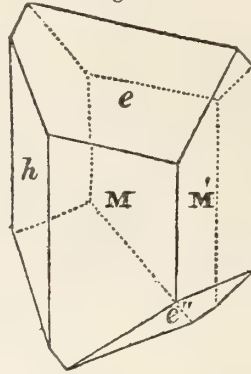


Fig. 9.

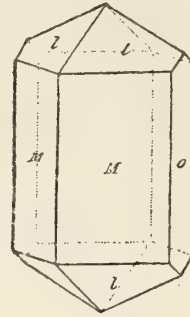


Fig. 10.

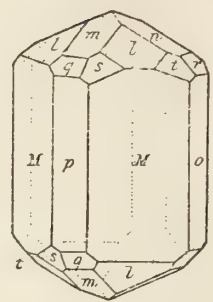


Fig. 11.

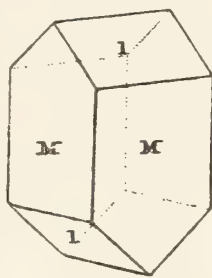


Fig. 12.

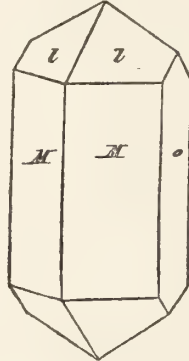


Fig. 13.

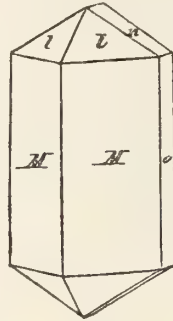


Fig. 14.

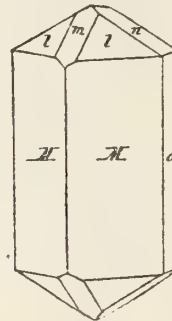


Fig. 15.

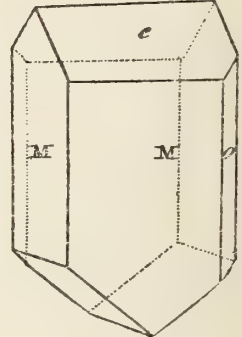


Fig. 16.

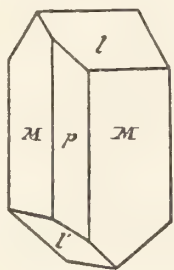


Fig. 17.

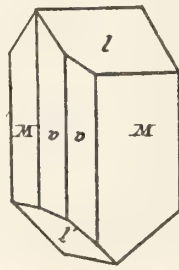


Fig. 18.

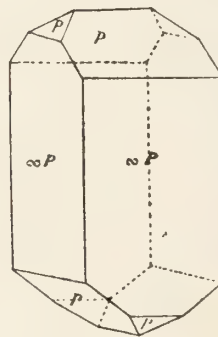


Fig. 19.

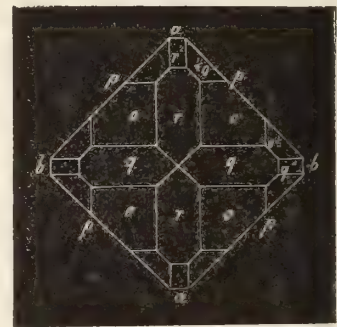


Fig. 20.

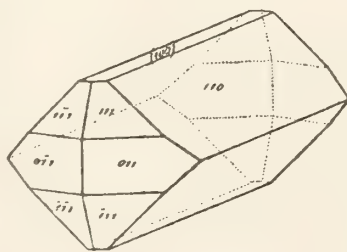


Fig. 21.

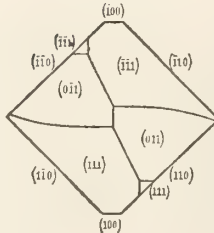


Fig. 22.

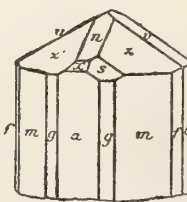


Fig. 23.

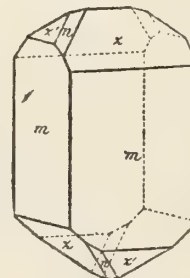
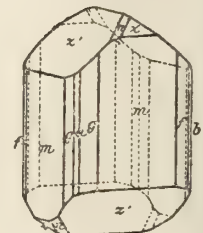


Fig. 24.



Epsomit

Fig. 25.

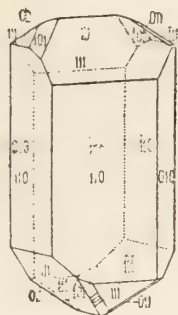


Fig. 26.

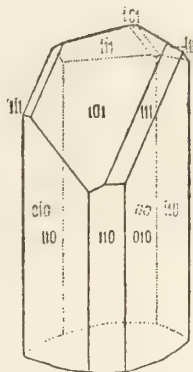
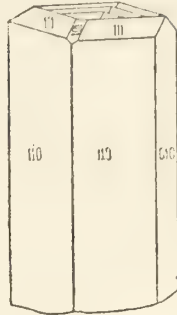


Fig. 27.



Erythrosiderit

Fig. 1.

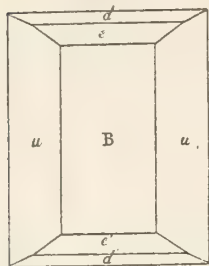
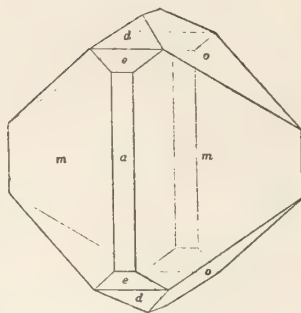
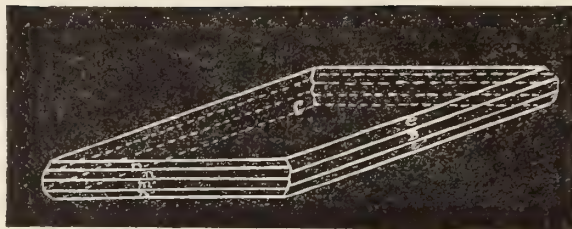


Fig. 2.



Euchlorin

Fig. 1.



Euchroit

Fig. 1.

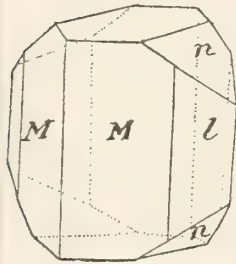


Fig. 2.

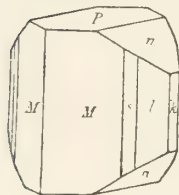


Fig. 3.

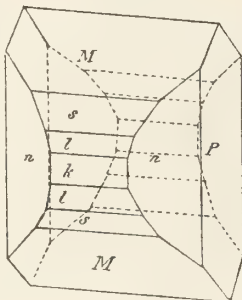


Fig. 4.

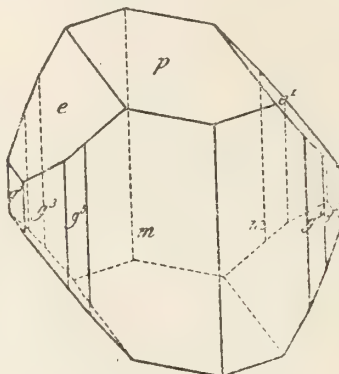
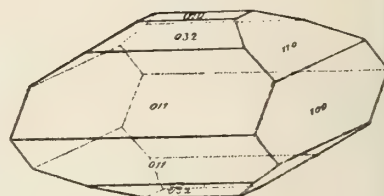


Fig. 5.



Eudialyt

Fig. 1.

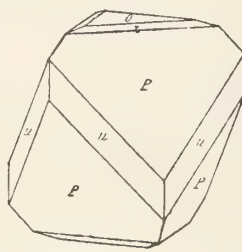


Fig. 2.

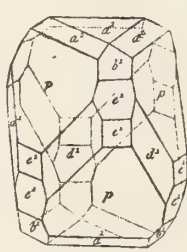


Fig. 3.

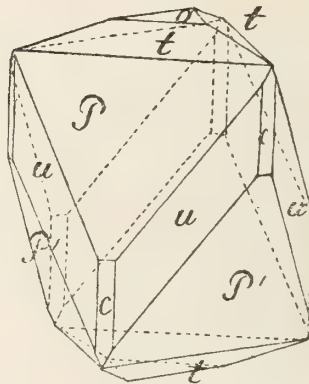


Fig. 4.

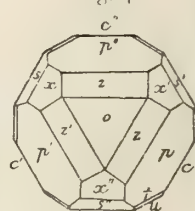


Fig. 6.

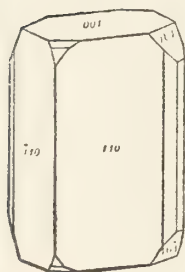


Fig. 5

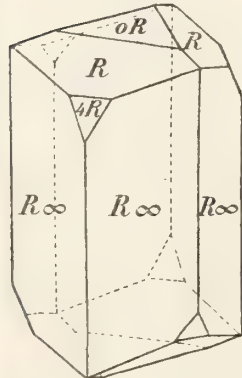


Fig. 6.

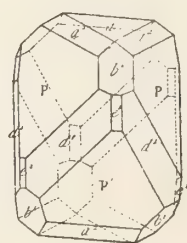


Fig. 7.

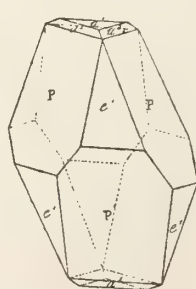


Fig. 8.

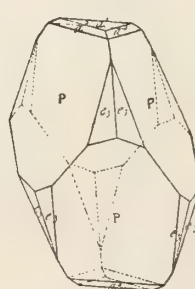
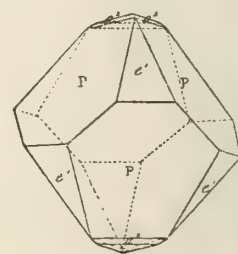


Fig. 9.



Eudialyt

Fig. 10.

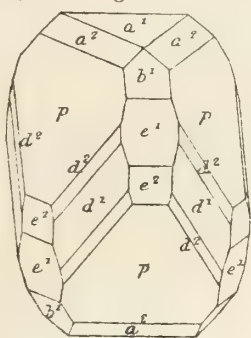


Fig. 11.

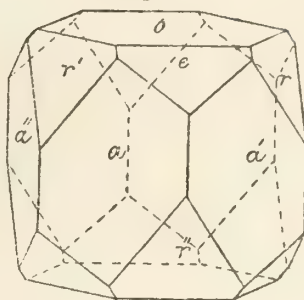


Fig. 12.

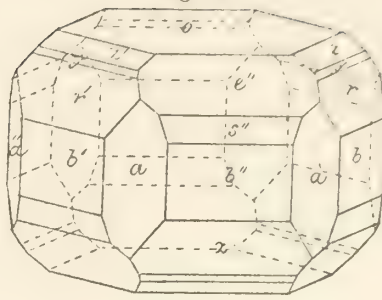


Fig. 13.

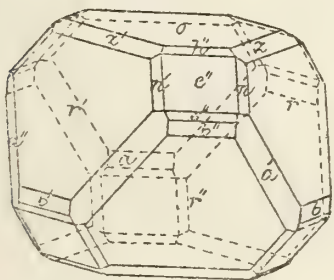


Fig. 14.

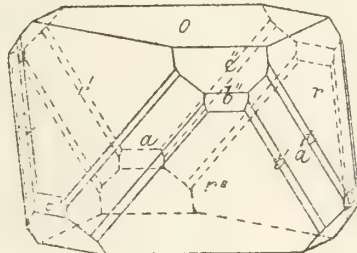


Fig. 15.

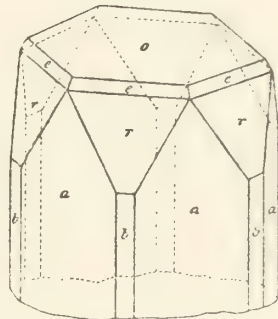


Fig. 16.

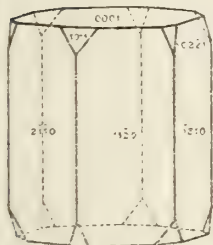


Fig. 17.

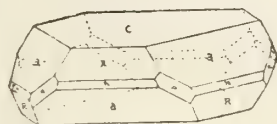


Fig. 18.

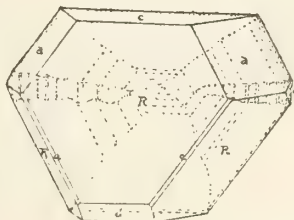


Fig. 19.

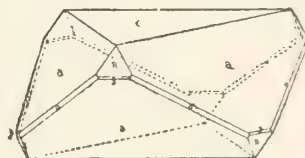


Fig. 20.

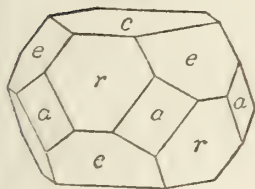


Fig. 21.

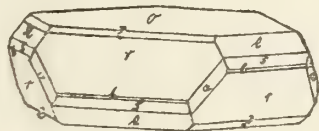


Fig. 22.

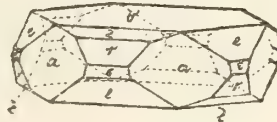


Fig. 23.

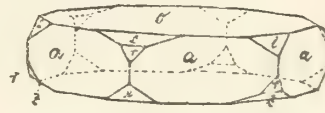
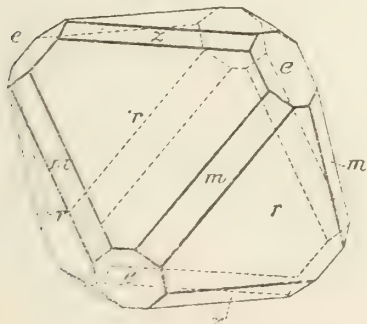
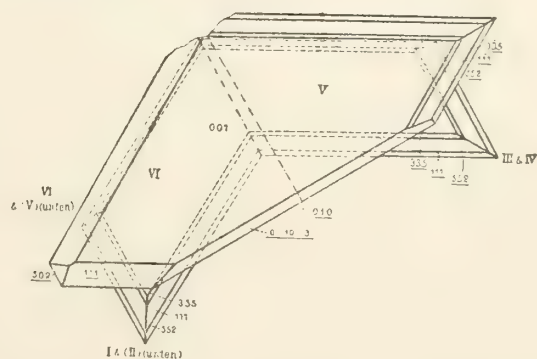


Fig. 24.



Eudidymit

Fig. 1.



Eudidymit

Fig. 2.

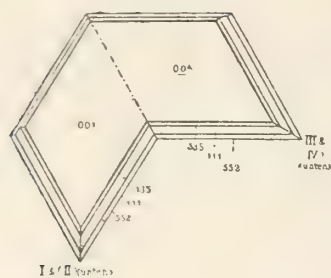


Fig. 3.

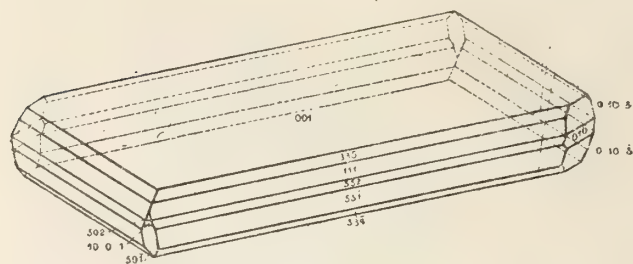


Fig. 4.

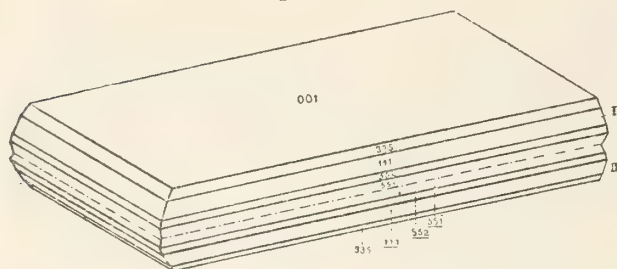


Fig. 5.

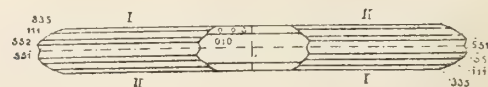


Fig. 6.

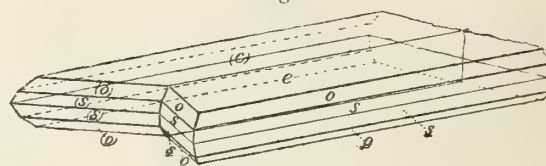


Fig. 7.

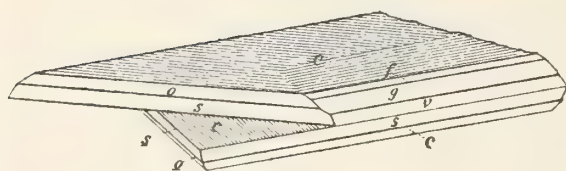


Fig. 8.

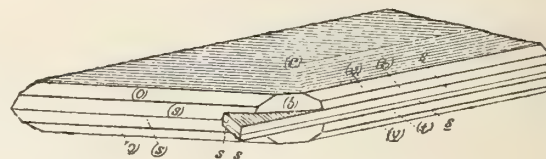


Fig. 9.

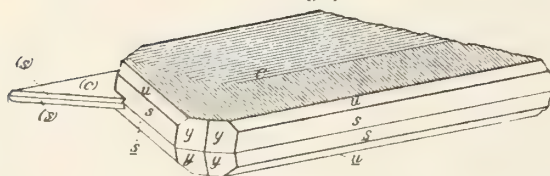
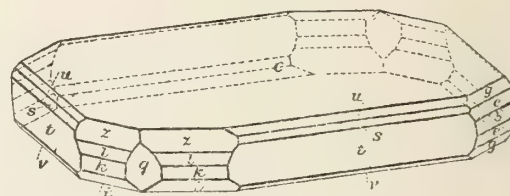


Fig. 10.



Euklas

Fig. 1.

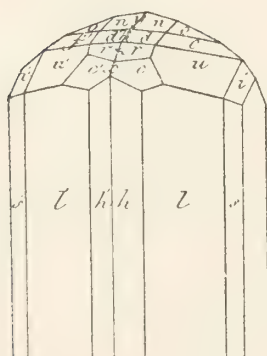


Fig. 2.

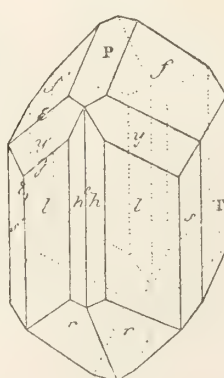
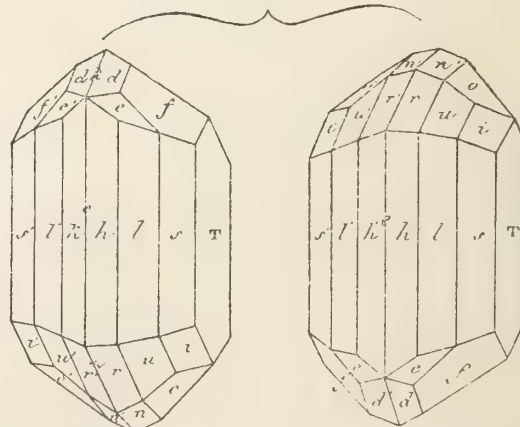


Fig. 3.



Euklas

Fig. 4.

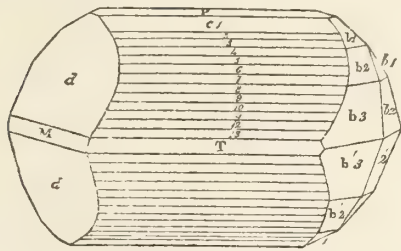


Fig. 5.

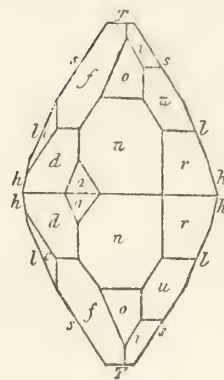


Fig. 6.



Fig. 7.

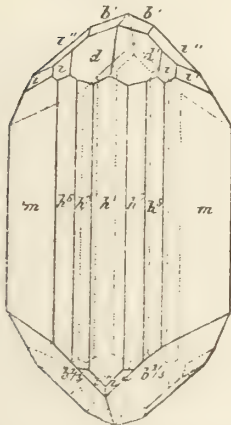


Fig. 8.

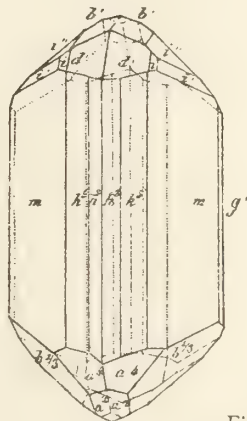


Fig. 9.

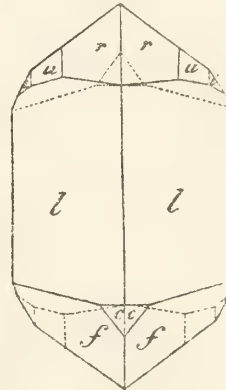


Fig. 10.

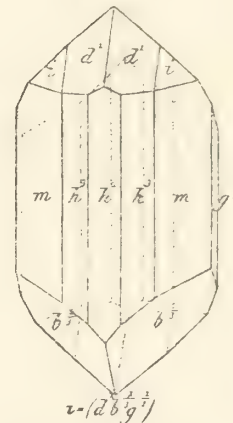


Fig. 11.

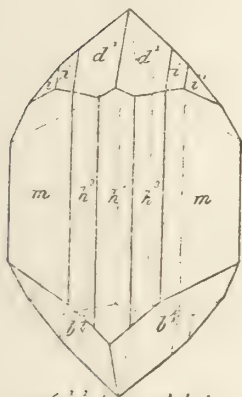


Fig. 12.

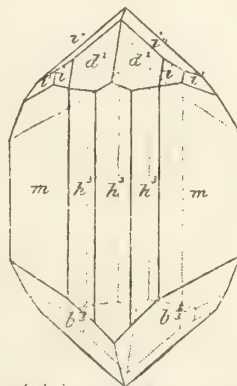


Fig. 13.

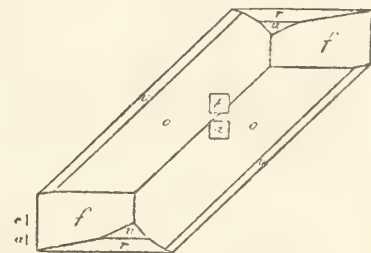


Fig. 15.

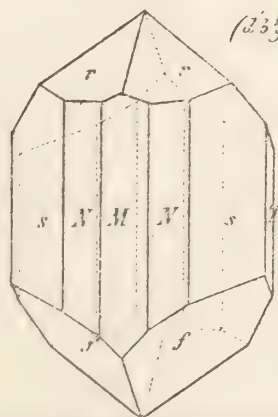


Fig. 14.

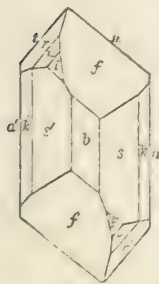


Fig. 16.

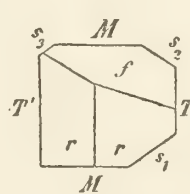
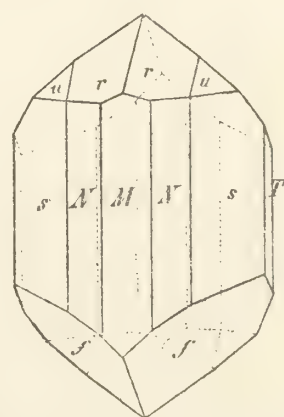


Fig. 17.



Euklas

Fig. 18.

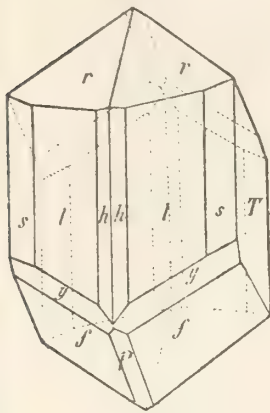


Fig. 19.

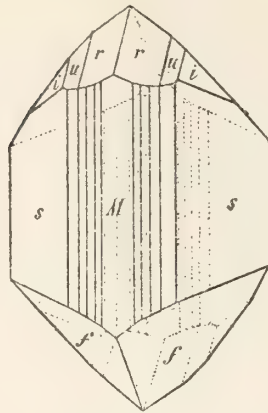


Fig. 21.

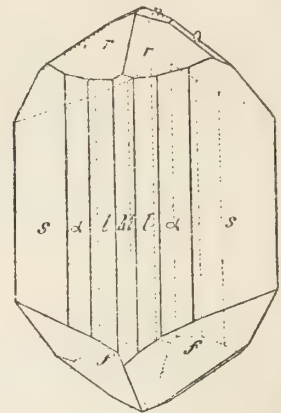


Fig. 20.

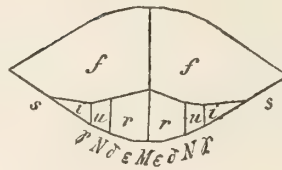


Fig. 23.

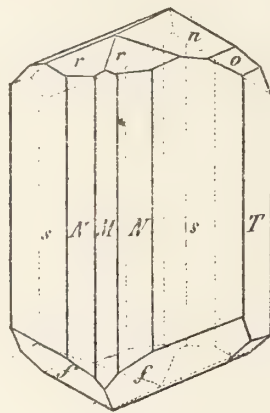


Fig. 25.

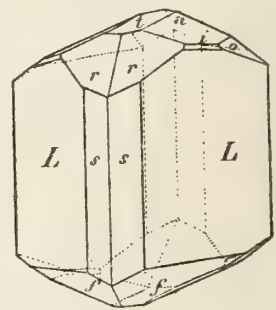


Fig. 22.

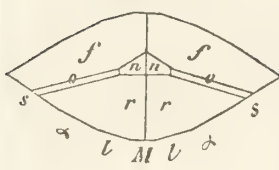


Fig. 24.

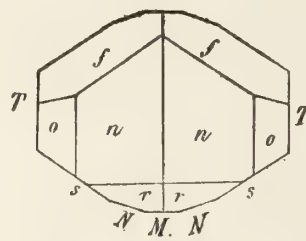


Fig. 26.

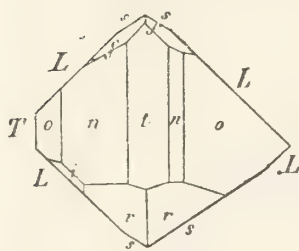


Fig. 27.

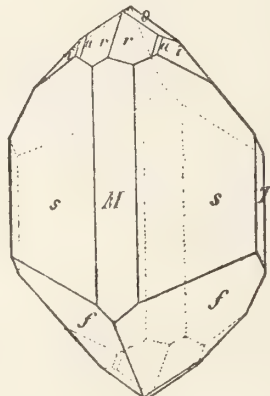


Fig. 28.

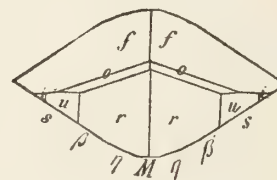


Fig. 29.

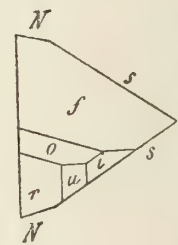


Fig. 30.

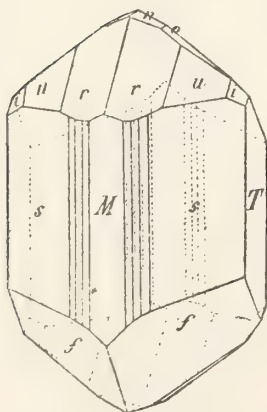


Fig. 33.

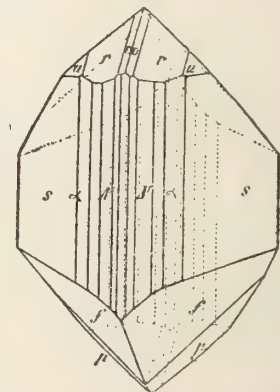


Fig. 31.

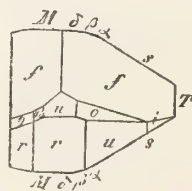
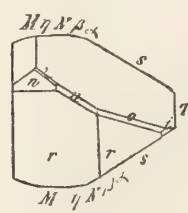


Fig. 32.



Euklas

Fig. 34.

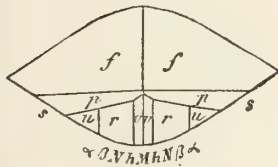


Fig. 35.

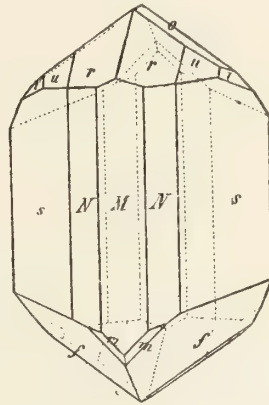


Fig. 36.

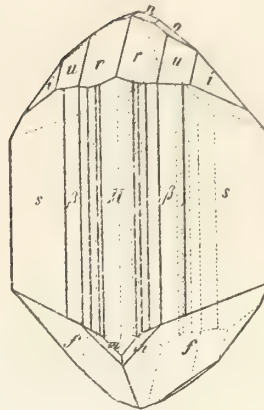


Fig. 37.



Fig. 38.

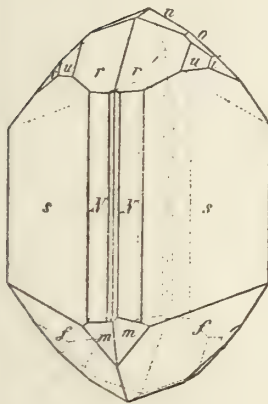


Fig. 39.

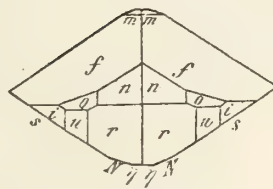


Fig. 40.

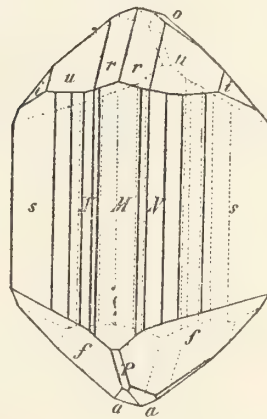


Fig. 41.

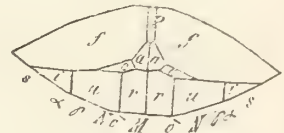


Fig. 42.

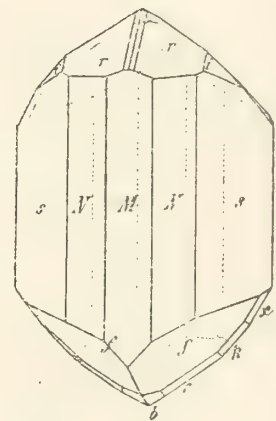


Fig. 44.

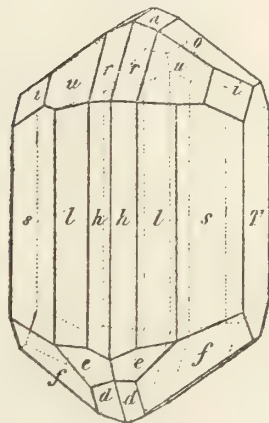


Fig. 45.

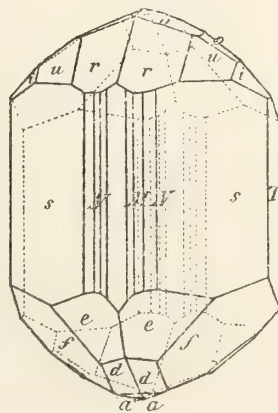


Fig. 43.

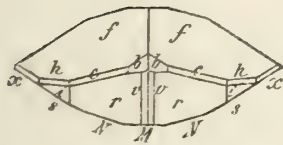
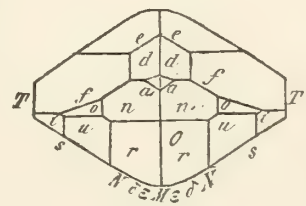


Fig. 46.



Euklas

Fig. 47.

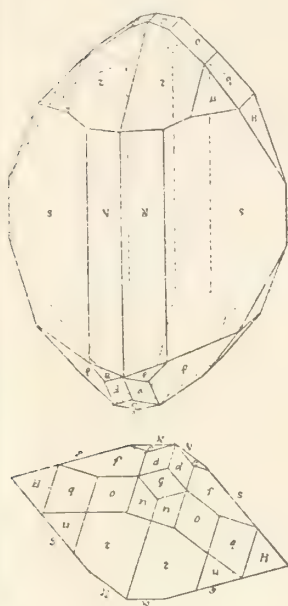


Fig. 48.

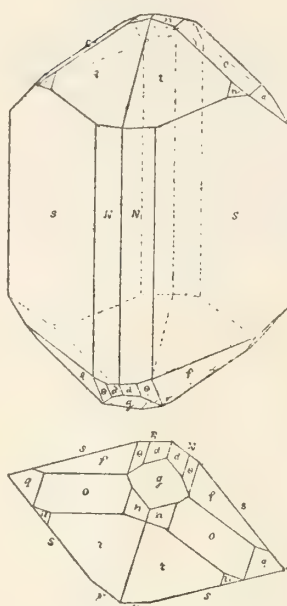


Fig. 49.

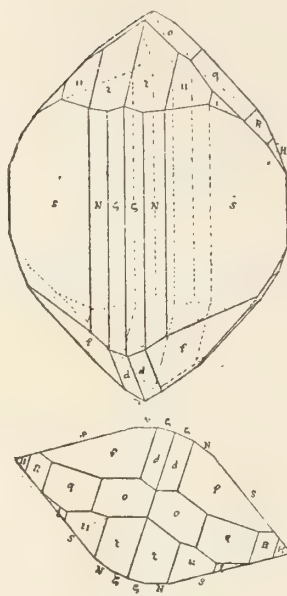


Fig. 50.

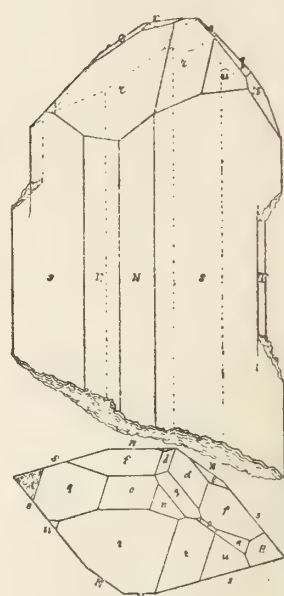


Fig. 51.

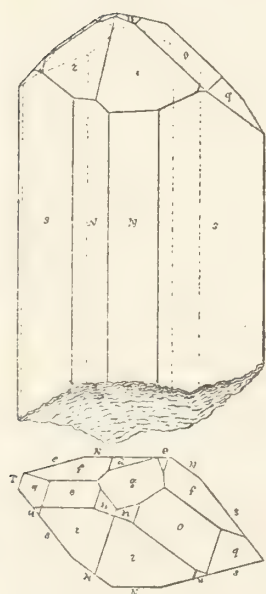


Fig. 52.

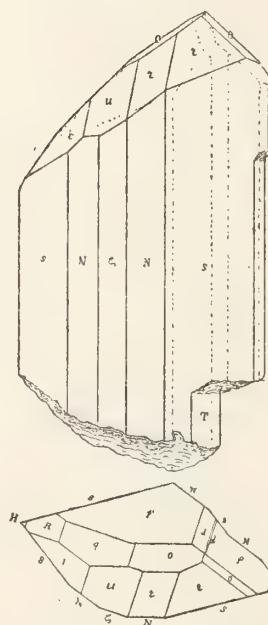


Fig. 53.

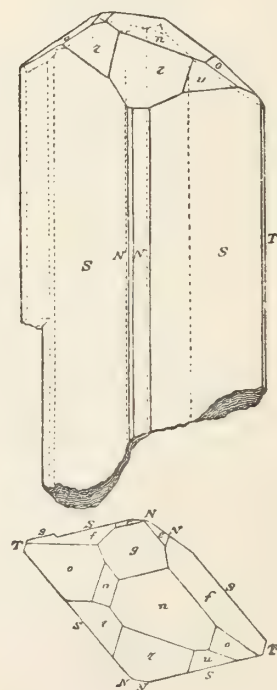
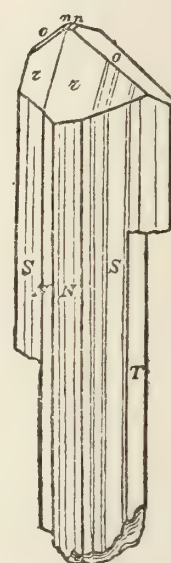


Fig. 54.



Euklas Fig. 55.

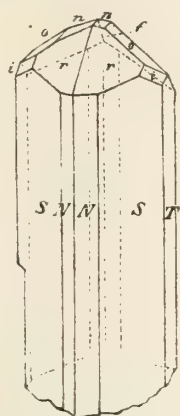


Fig. 56.

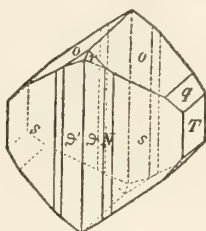


Fig. 57.

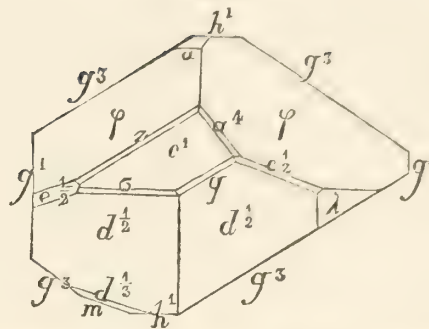


Fig. 59.



Fig. 60.

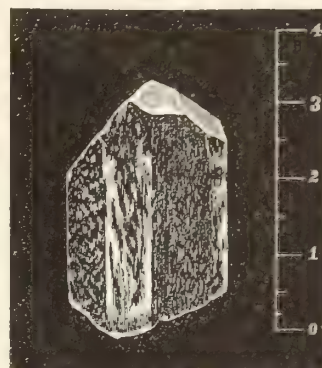


Fig. 58.

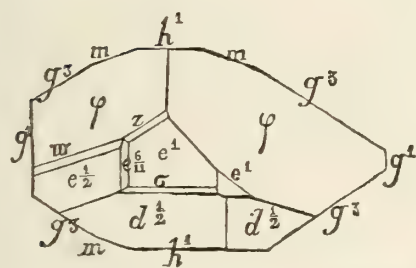


Fig. 62.

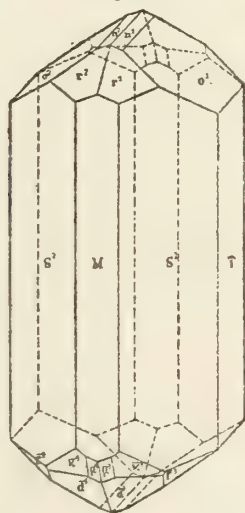


Fig. 61.

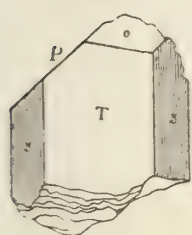


Fig. 63.

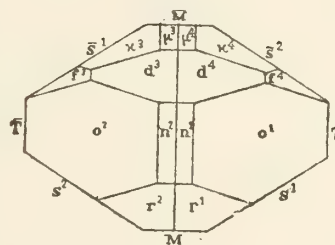


Fig. 64.

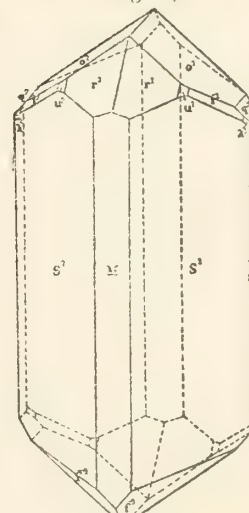


Fig. 65.

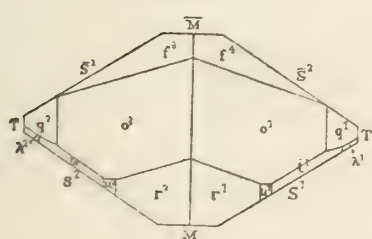


Fig. 66.

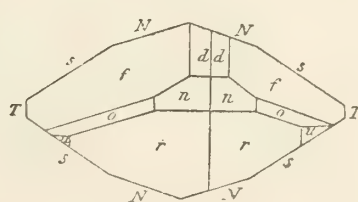
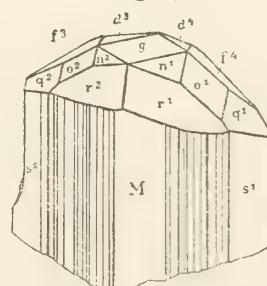


Fig. 67.



Euklas Fig. 68.

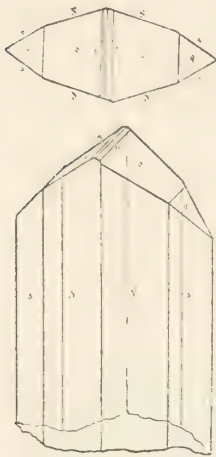


Fig. 69.

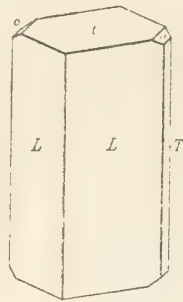


Fig. 70.

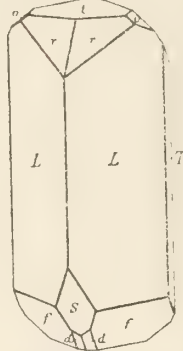


Fig. 71.

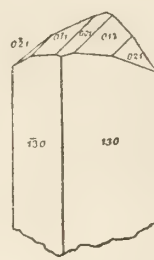


Fig. 72.

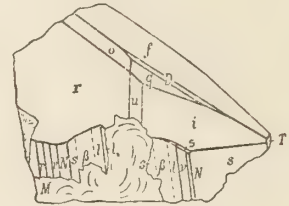
**Eukryptit**

Fig. 1.

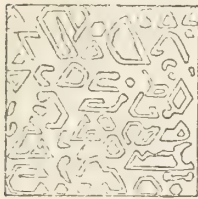


Fig. 2.

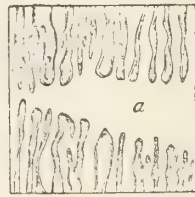
**Eulytin**

Fig. 1.

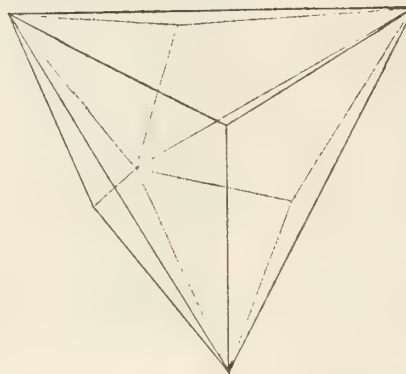


Fig. 2.

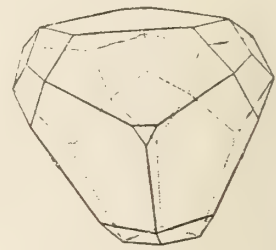


Fig. 3.

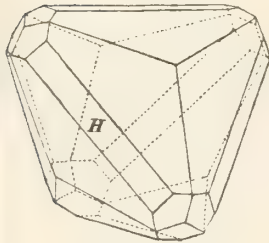


Fig. 4.

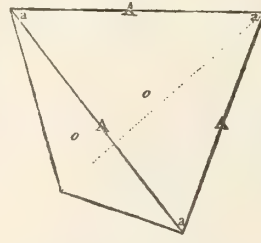


Fig. 5.

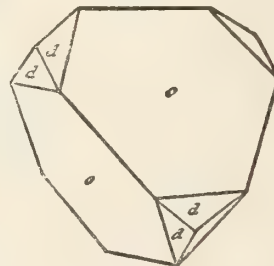


Fig. 6.

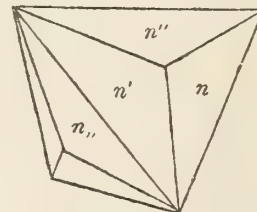


Fig. 7.



Fig. 8.

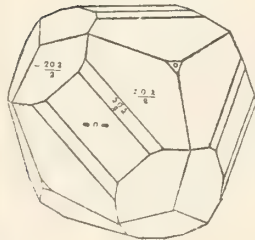


Fig. 9.

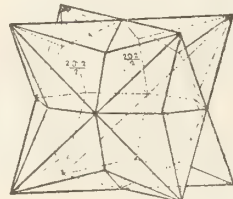
**Euxenit**

Fig. 1.

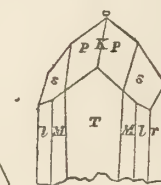


Fig. 2.

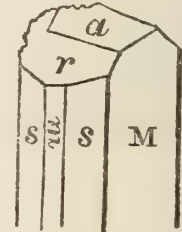


Fig. 3.

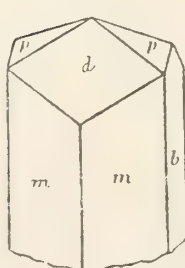


Fig. 4.

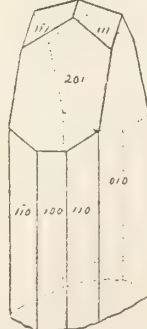


Fig. 10.

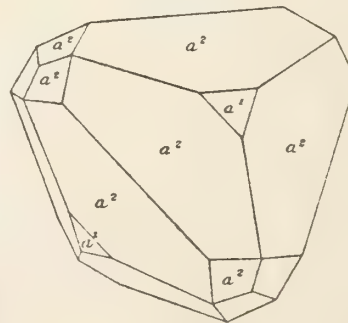
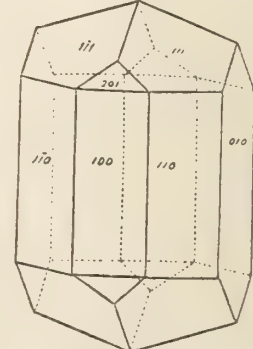


Fig. 5.



Fahlerz

Fig. 1.

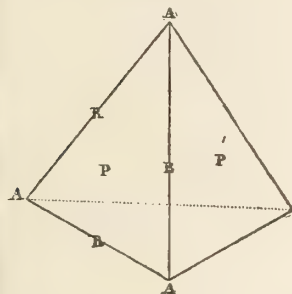


Fig. 2.

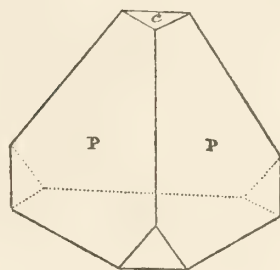


Fig. 3.

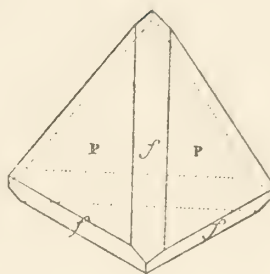


Fig. 4.

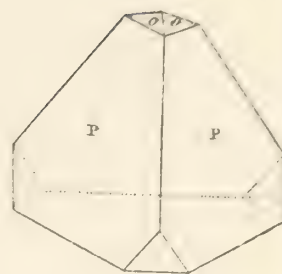


Fig. 5.

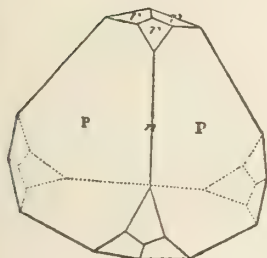


Fig. 6.

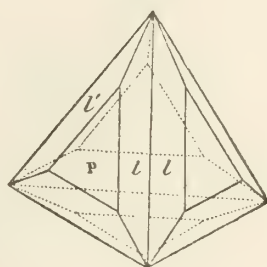


Fig. 7.

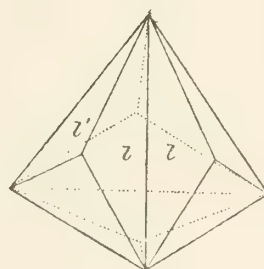


Fig. 8.

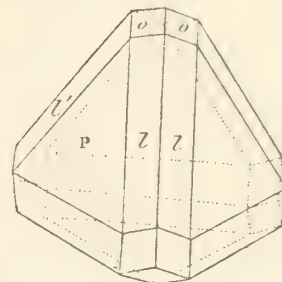


Fig. 9.

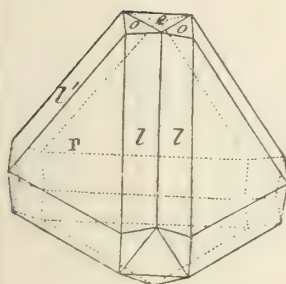


Fig. 10.

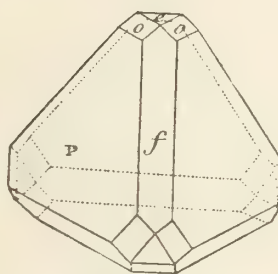


Fig. 11.

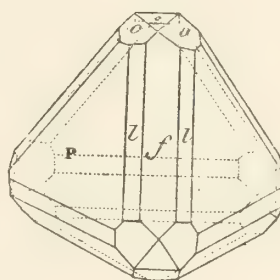


Fig. 12.

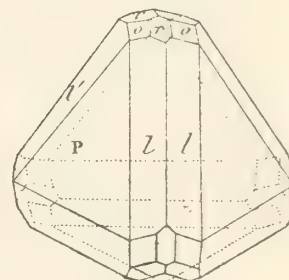


Fig. 13.

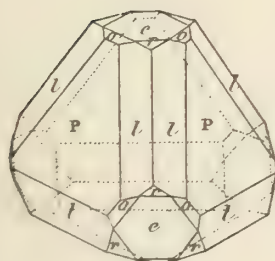


Fig. 14.

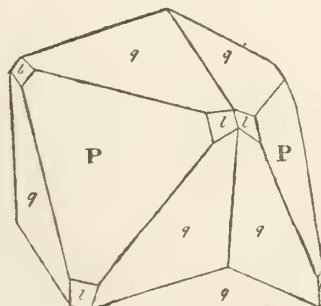
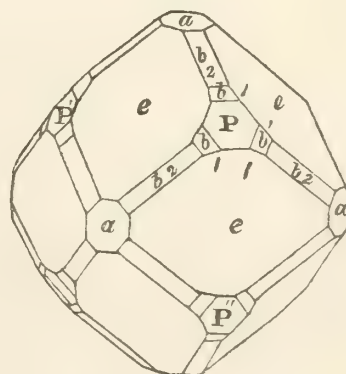


Fig. 15.



Fahlerz

Fig. 16.

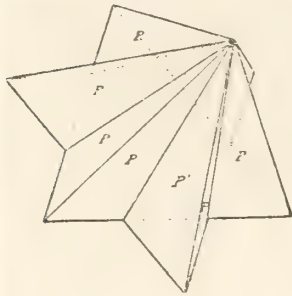


Fig. 17.

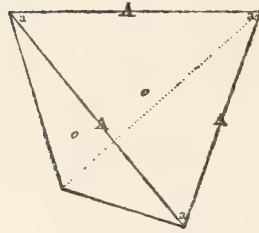


Fig. 18.

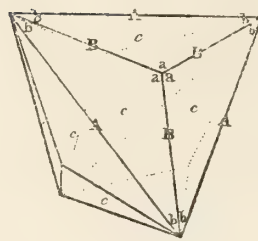


Fig. 19.

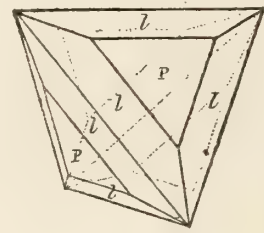


Fig. 20.

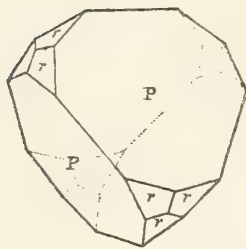


Fig. 21.

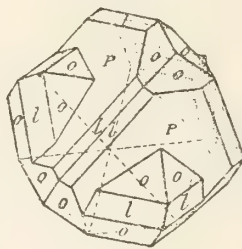


Fig. 22.

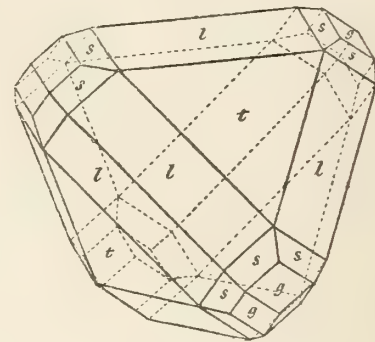


Fig. 23.

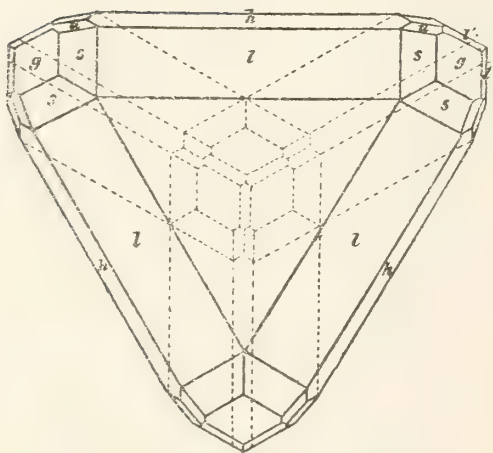


Fig. 24.

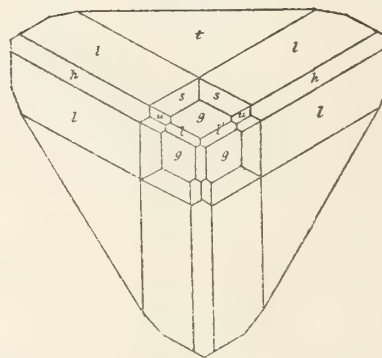


Fig. 25.

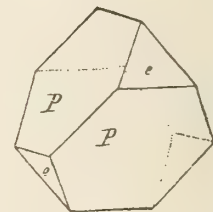


Fig. 26.

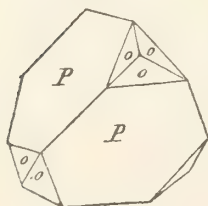


Fig. 27.

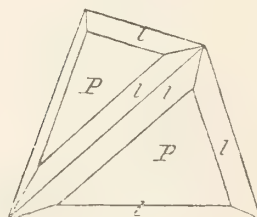


Fig. 28.

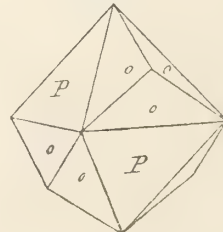
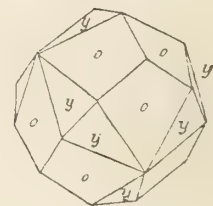


Fig. 29.



Fahlerz

Fig. 29.

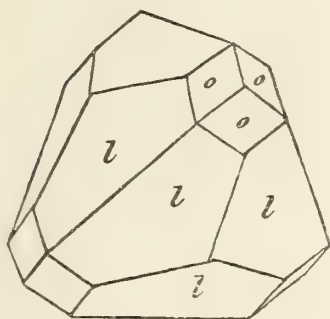


Fig. 30.

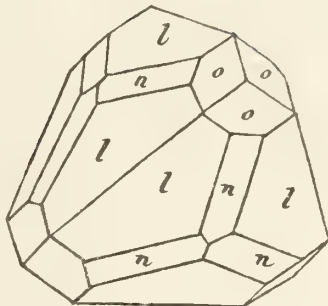


Fig. 31.

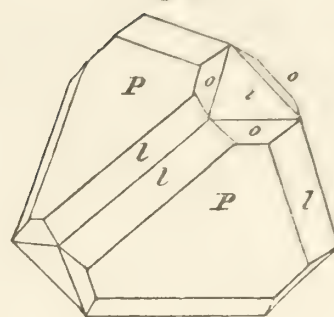


Fig. 32.

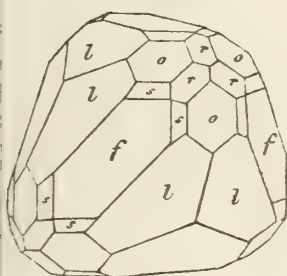


Fig. 33.

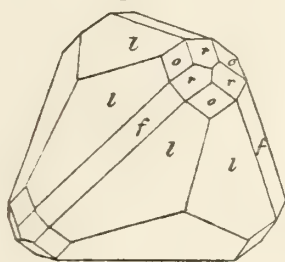


Fig. 34.

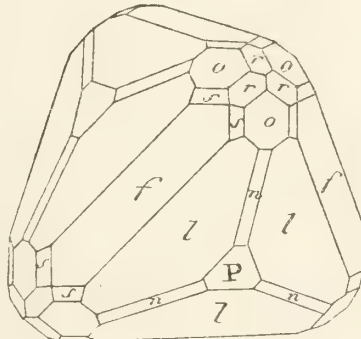


Fig. 35.

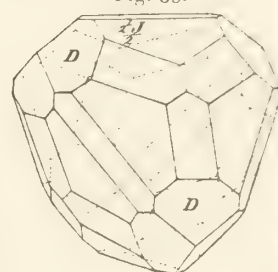


Fig. 36.

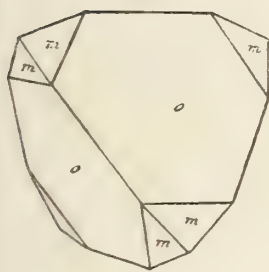


Fig. 37.

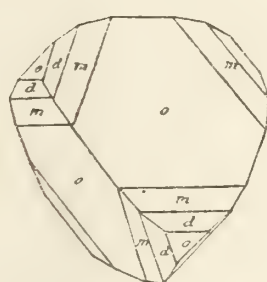


Fig. 38.

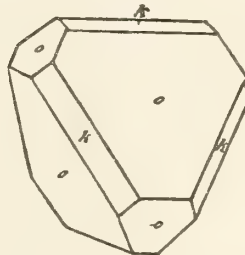


Fig. 39.

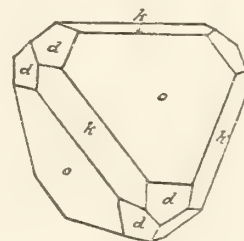


Fig. 40.

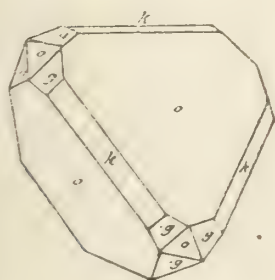


Fig. 41.

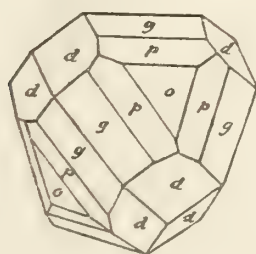


Fig. 42.

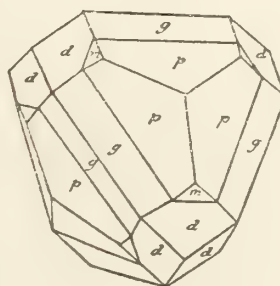
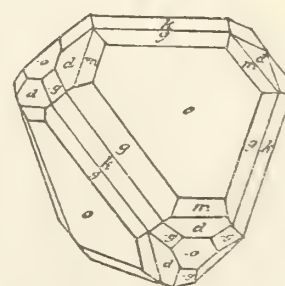


Fig. 43.



Fahlerz

Fig. 44.

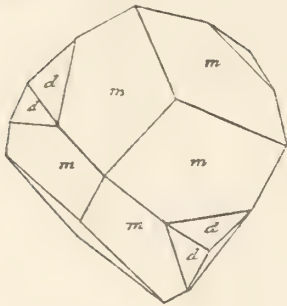


Fig. 45.

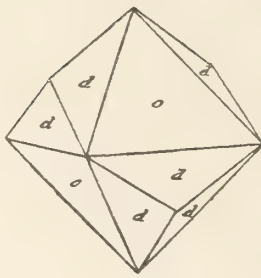


Fig. 46.

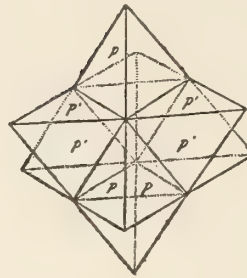


Fig. 47.

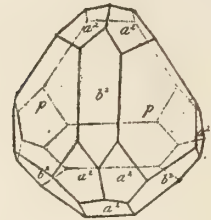


Fig. 48.

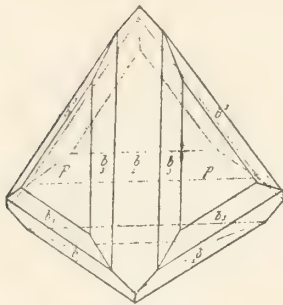


Fig. 49.

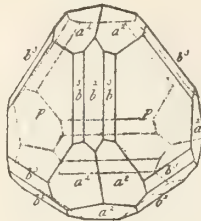


Fig. 50.

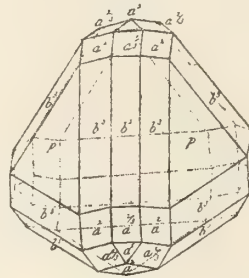


Fig. 51.

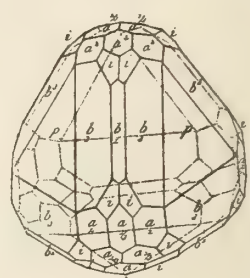


Fig. 52.

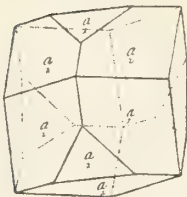


Fig. 53.

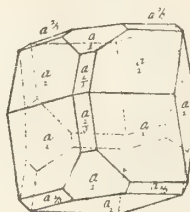


Fig. 54.

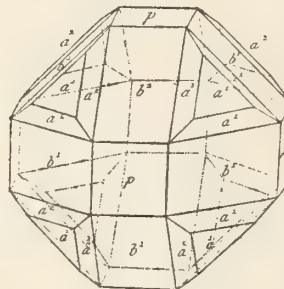


Fig. 55.

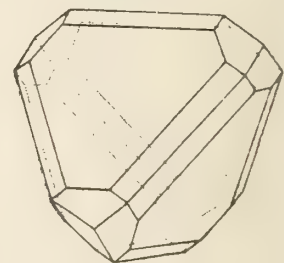


Fig. 56.

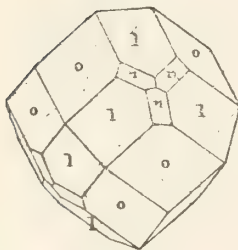


Fig. 57.

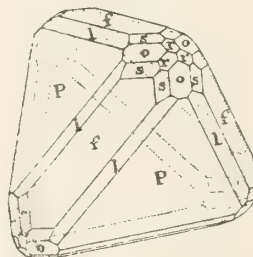


Fig. 58.

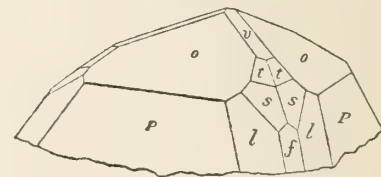


Fig. 59.

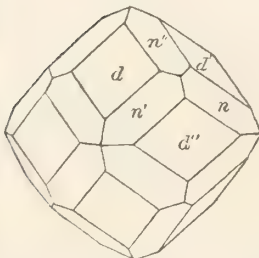


Fig. 60.

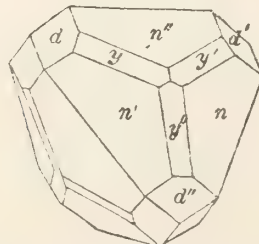


Fig. 61.

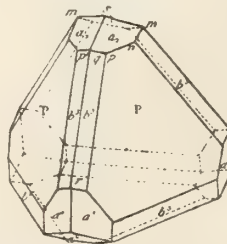
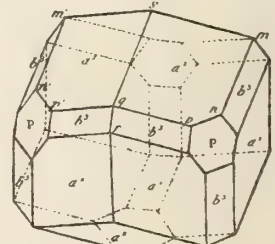


Fig. 62.



Fahlerz

Fig. 63.

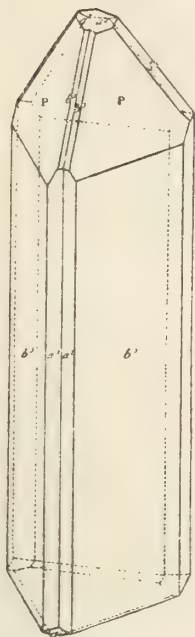


Fig. 64.

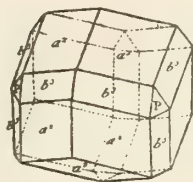


Fig. 65.

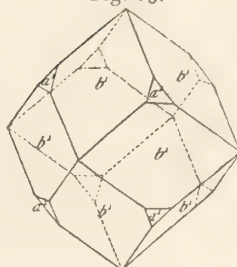


Fig. 66.



Fig. 67.

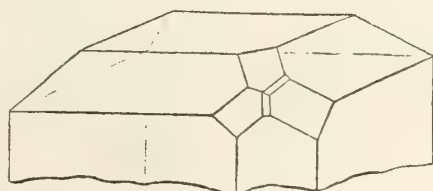


Fig. 68.

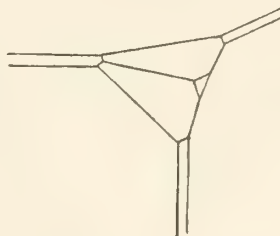


Fig. 69.

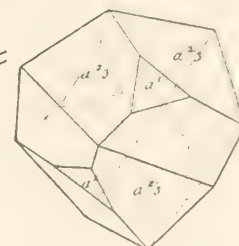


Fig. 70.

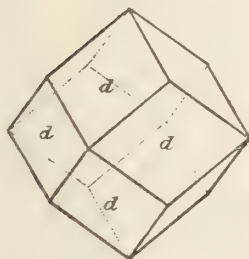


Fig. 71.

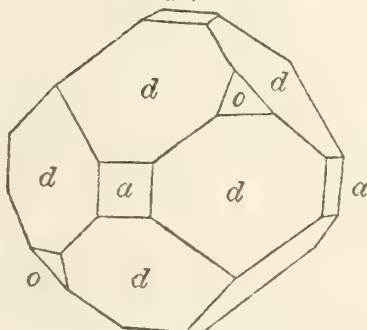


Fig. 72.

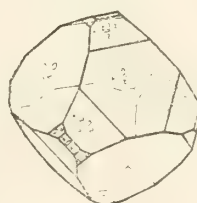


Fig. 73.

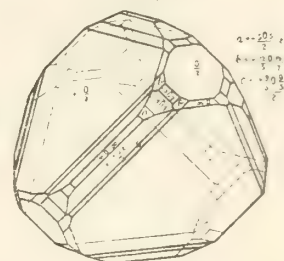


Fig. 74.

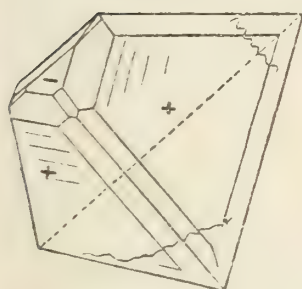


Fig. 75.

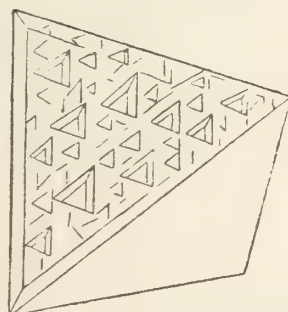


Fig. 76.

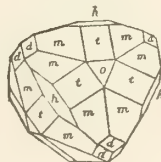


Fig. 77.

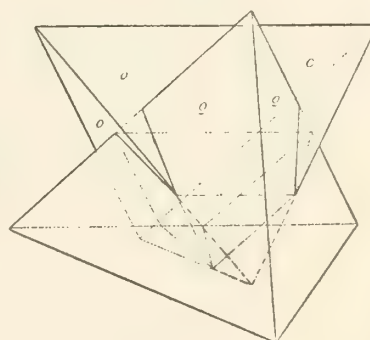


Fig. 78.

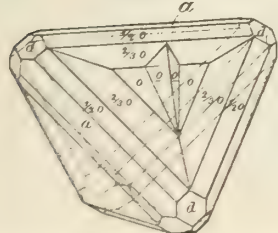


Fig. 79.

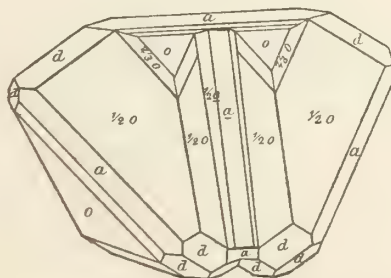
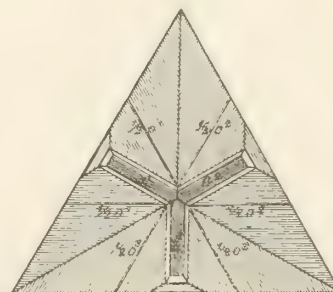


Fig. 80.



Fahlerz

Fig. 81.

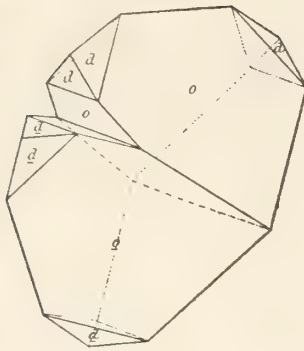


Fig. 82.

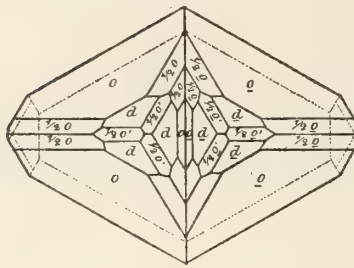


Fig. 83.

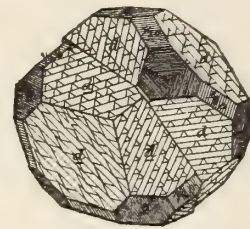


Fig. 84.

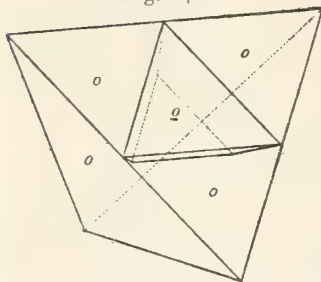


Fig. 85.

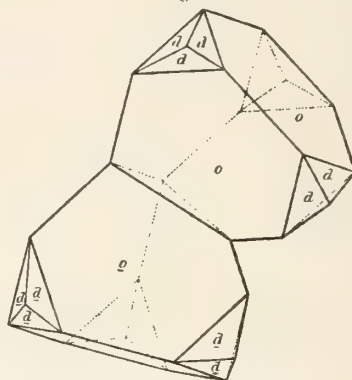


Fig. 86.

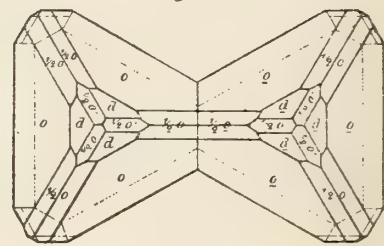


Fig. 87.

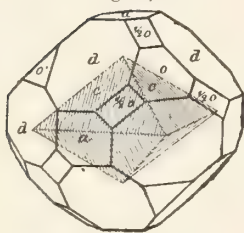


Fig. 88.

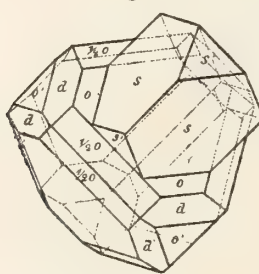


Fig. 89.

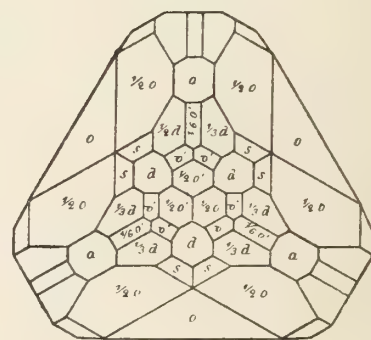


Fig. 90.

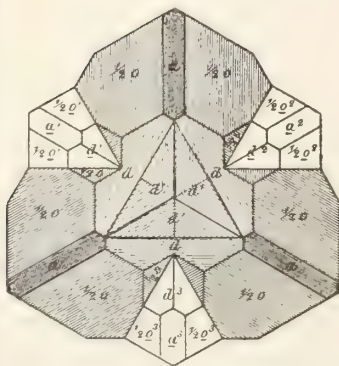


Fig. 91.

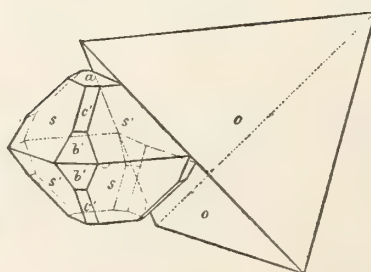
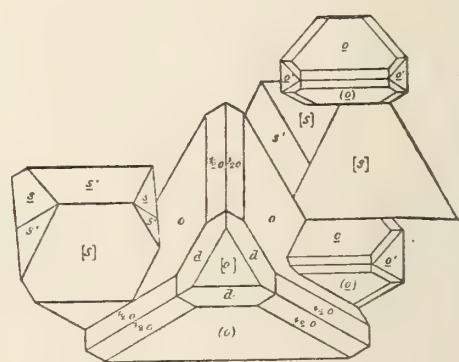


Fig. 92.



Fahlerz

Fig. 93.

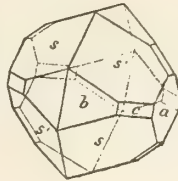
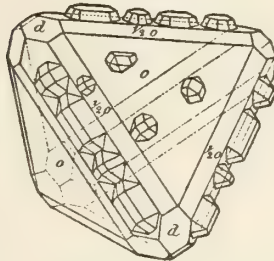
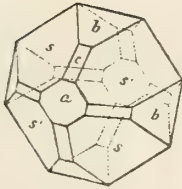
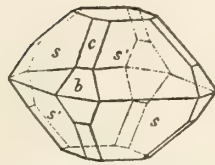


Fig. 94.

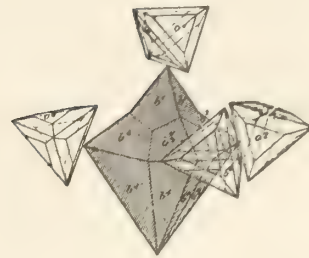


Fig. 95.

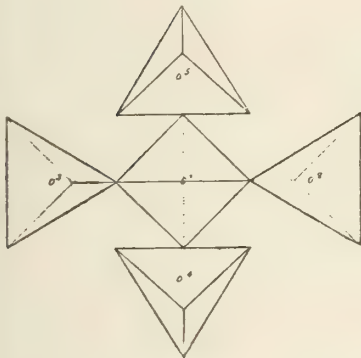


Fig. 96.

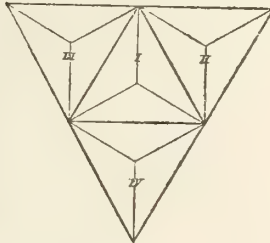


Fig. 97.

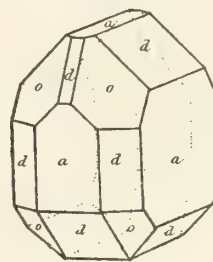


Fig. 98.

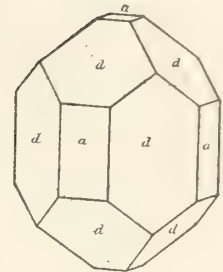


Fig. 99.

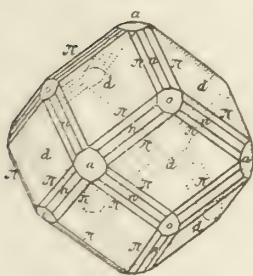


Fig. 100.

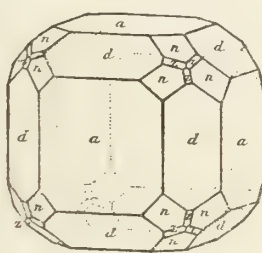


Fig. 101.

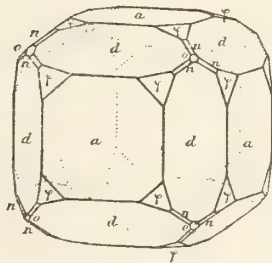


Fig. 102.

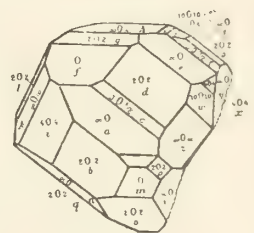


Fig. 103.

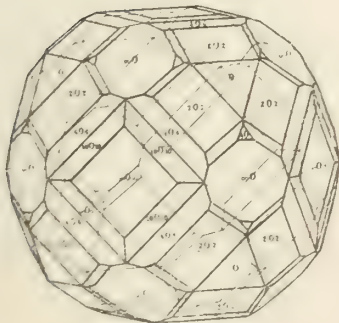


Fig. 104.

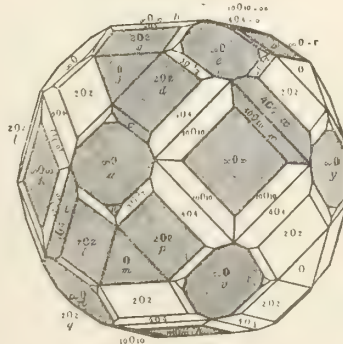
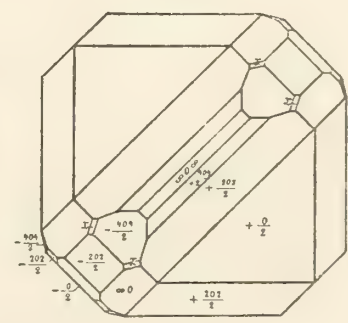


Fig. 105.



Fahlerz

Fig. 106.

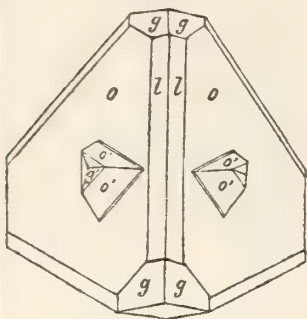


Fig. 107.

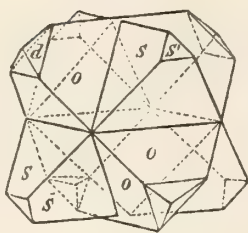


Fig. 108.

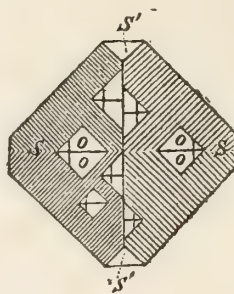


Fig. 109.

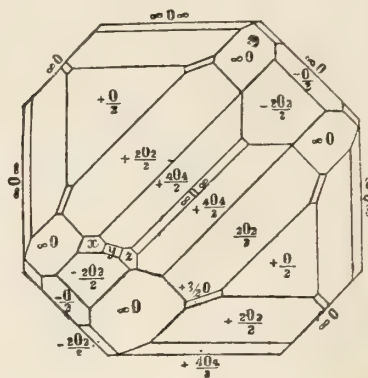


Fig. 110.

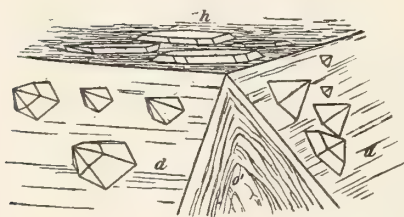


Fig. 111.

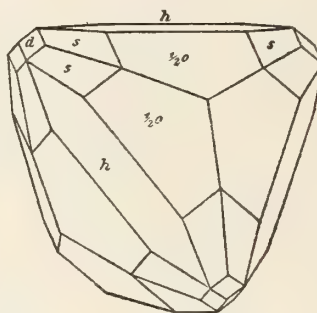


Fig. 112.

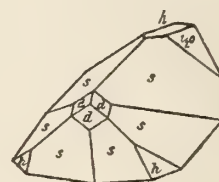


Fig. 113.

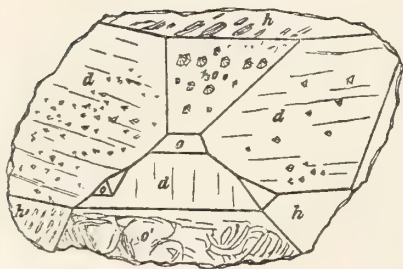


Fig. 114.

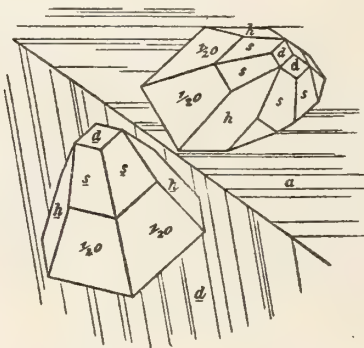


Fig. 115.

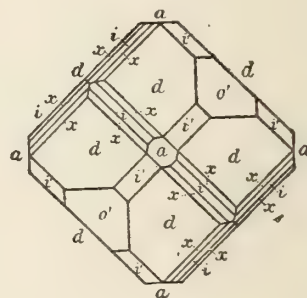


Fig. 116.

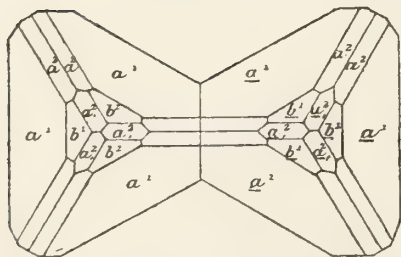


Fig. 117.

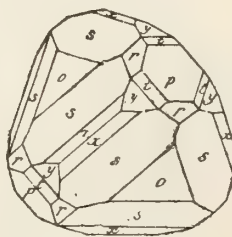
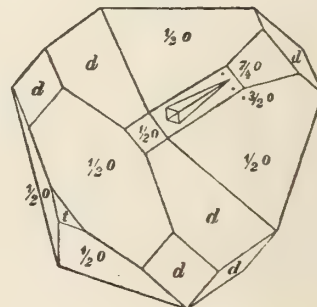


Fig. 118.



Fahlerz

Fig. 119.

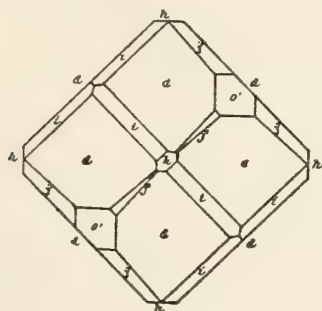


Fig. 120.

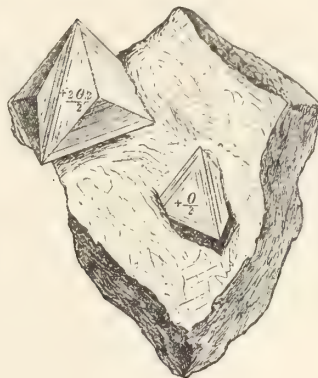


Fig. 121.

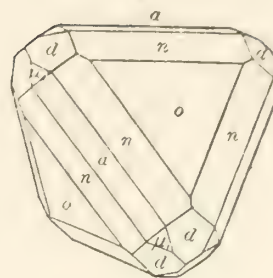


Fig. 122.

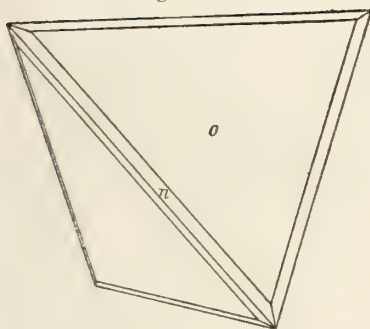


Fig. 123.

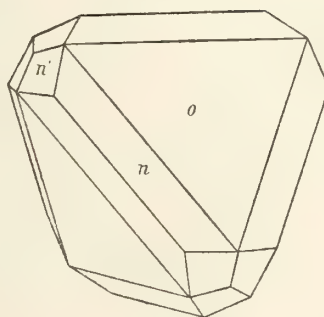


Fig. 124.

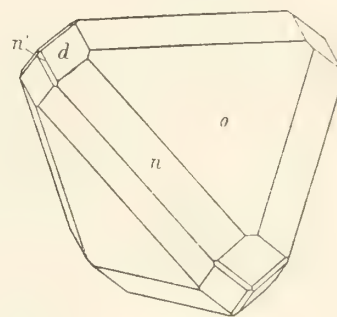


Fig. 125.

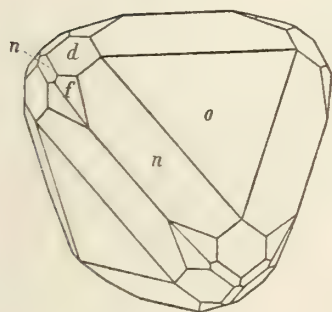


Fig. 126.

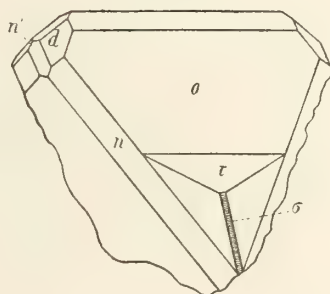


Fig. 127.

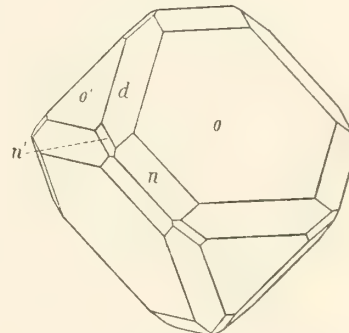


Fig. 128.

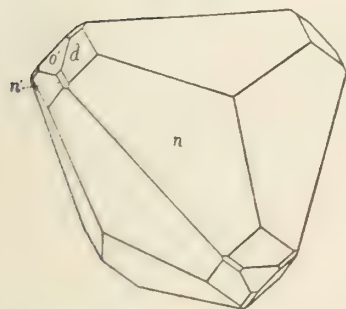


Fig. 129.

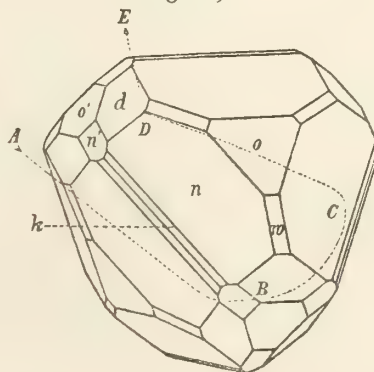
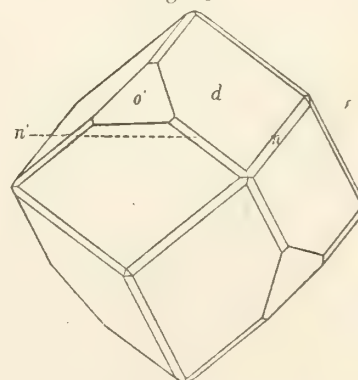


Fig. 130.



Fahlerz

Fig. 131.

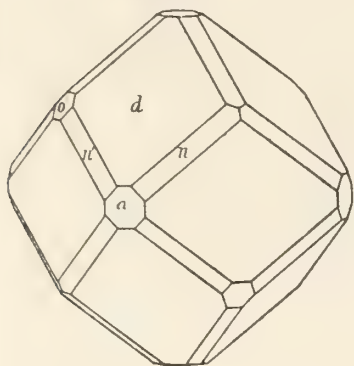


Fig. 132.

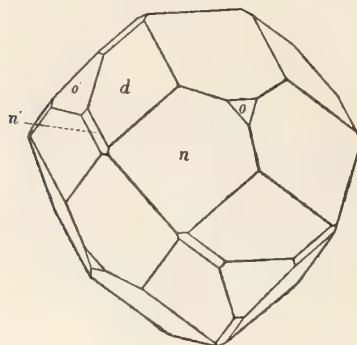


Fig. 133.

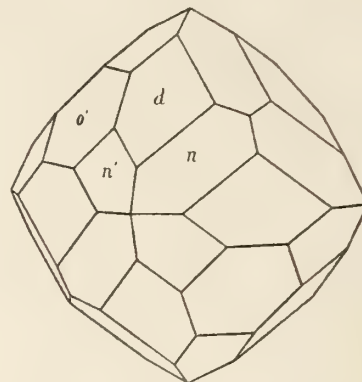


Fig. 134.



Fig. 135.

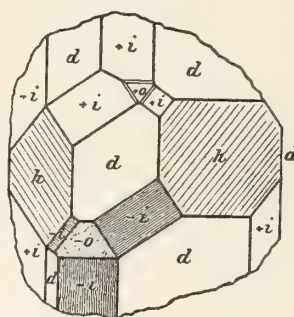


Fig. 136.

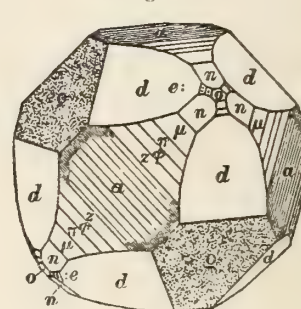


Fig. 137.

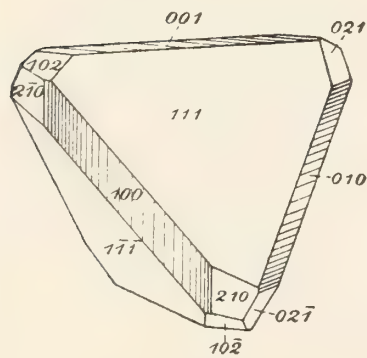


Fig. 138.

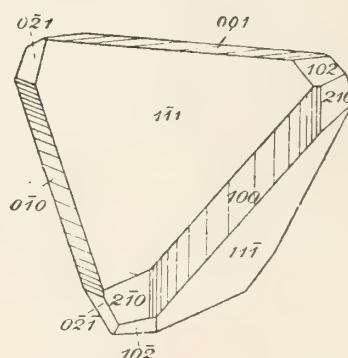


Fig. 139.

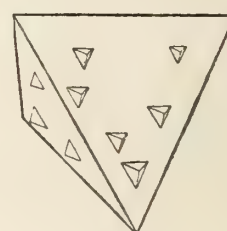


Fig. 140.

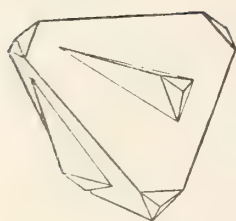


Fig. 141.

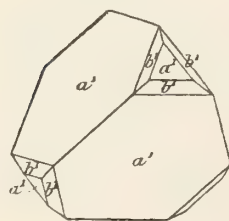


Fig. 142.

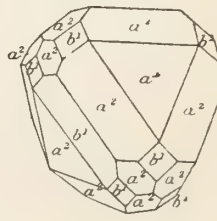
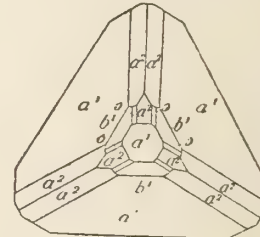


Fig. 143.



Fahlerz

Fig. 144.

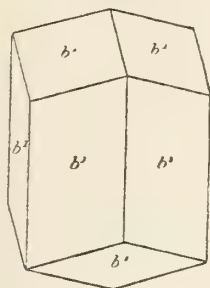


Fig. 145.

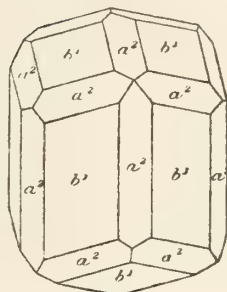


Fig. 146.

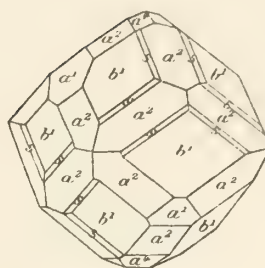


Fig. 147.

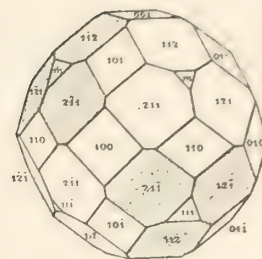


Fig. 148.

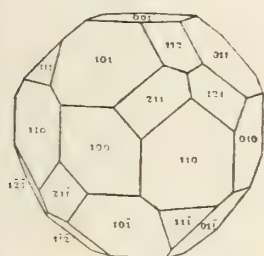


Fig. 149.

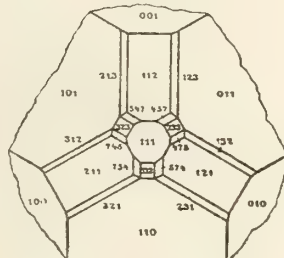


Fig. 150.

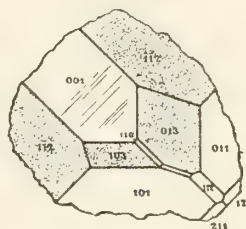


Fig. 151.

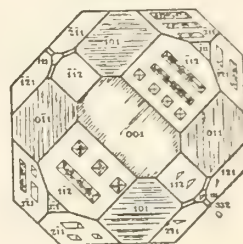


Fig. 152.

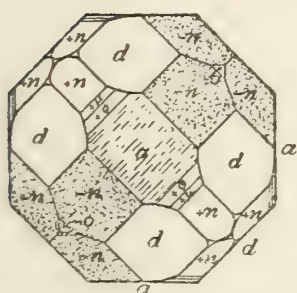


Fig. 153.

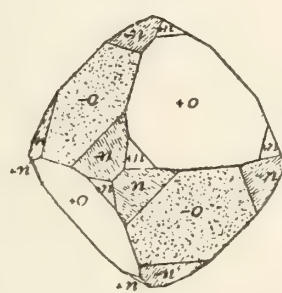


Fig. 154.

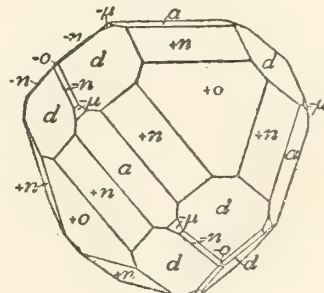


Fig. 155.

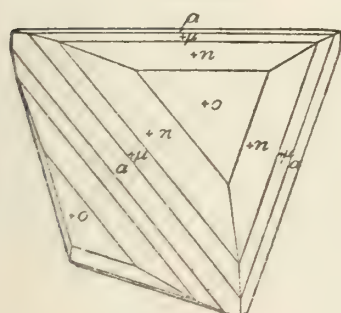


Fig. 156.

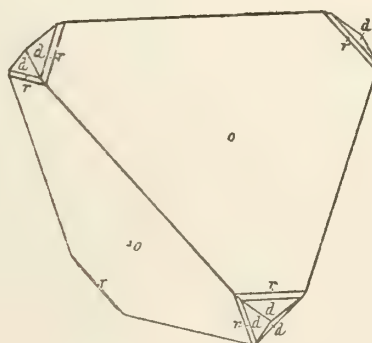
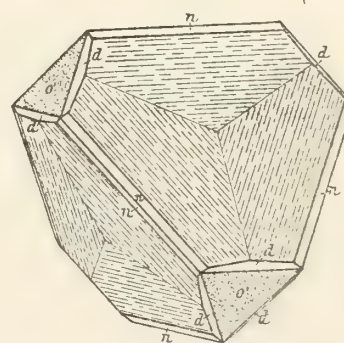


Fig. 157.



Fahlerz

Fig. 158.

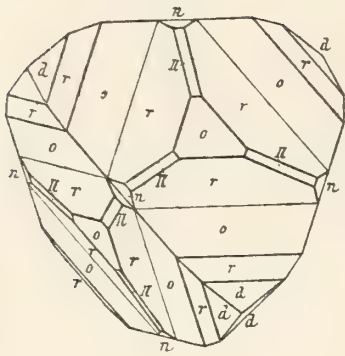


Fig. 159.

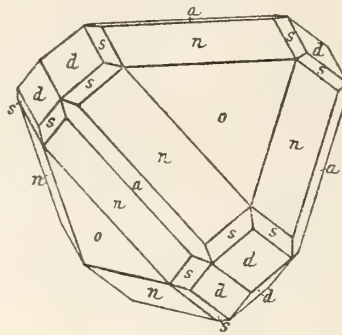


Fig. 160.

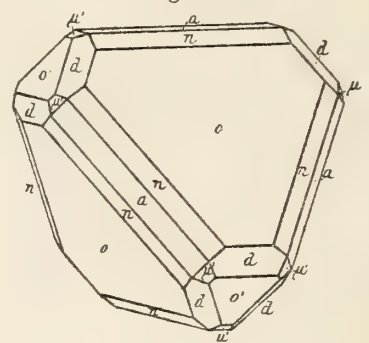


Fig. 161.

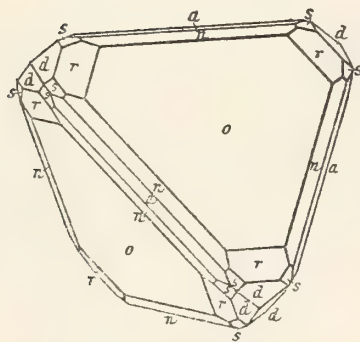


Fig. 162.

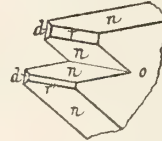


Fig. 163.

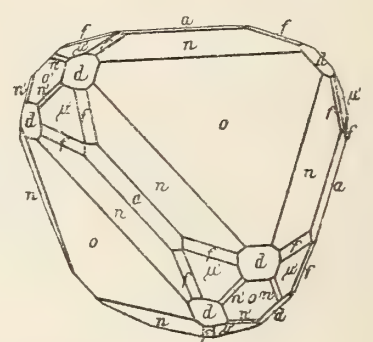


Fig. 164.

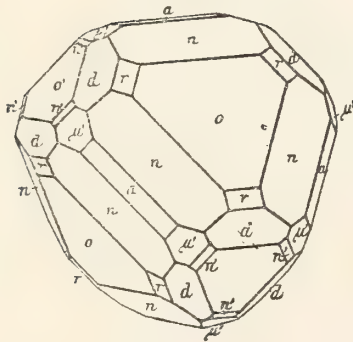


Fig. 165.

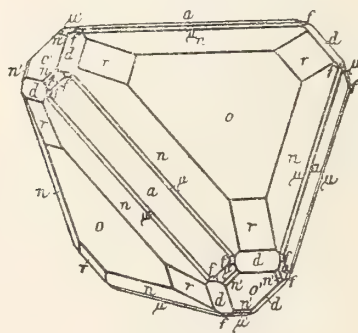


Fig. 166.

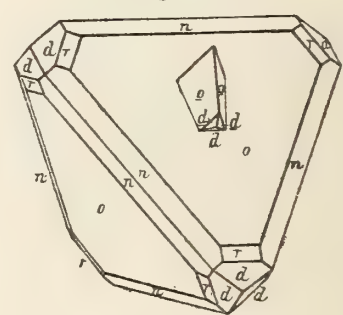


Fig. 167.

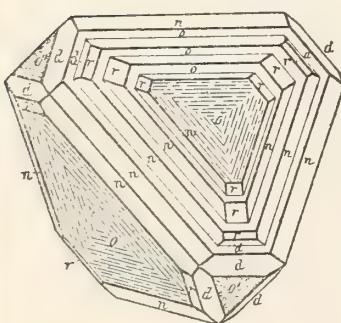


Fig. 168.

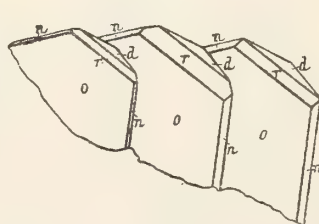


Fig. 169.

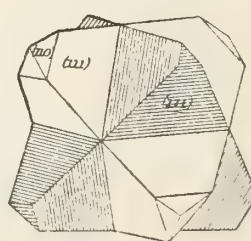


Fig. 170.



Fahlerz

Fig. 189.

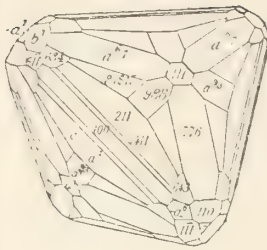


Fig. 190.

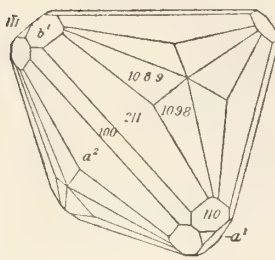


Fig. 191.

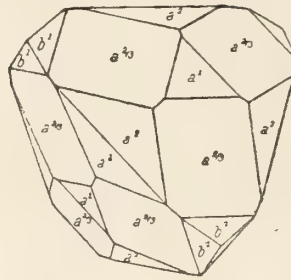


Fig. 192.

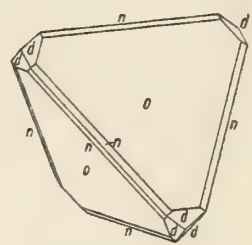


Fig. 193.

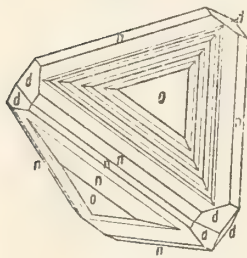


Fig. 194.

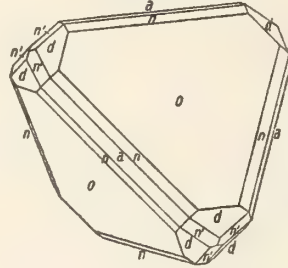


Fig. 195.

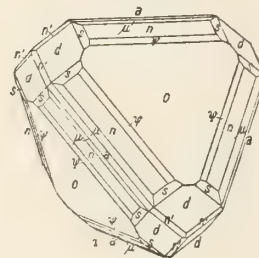
**Fairfieldit**

Fig. 1.

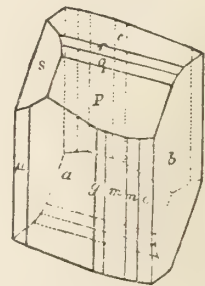
**Faujasit**

Fig. 1.

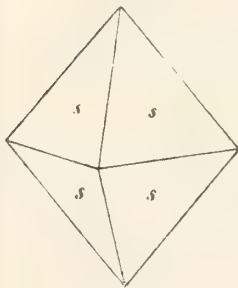


Fig. 2.

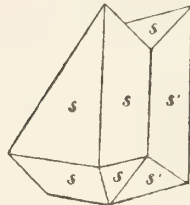


Fig. 3.

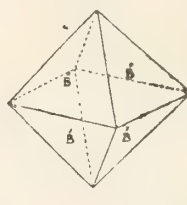


Fig. 4.

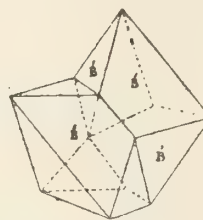


Fig. 5.

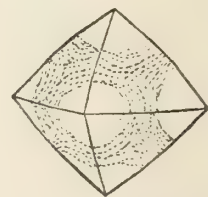
**Feldspat-Gruppe (Albit)**

Fig. 1.

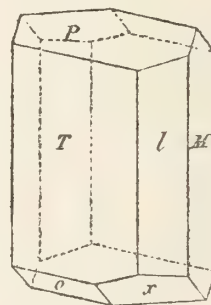


Fig. 2.

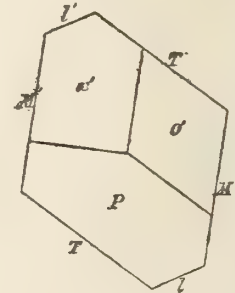


Fig. 6.

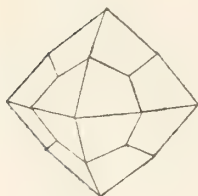


Fig. 7.

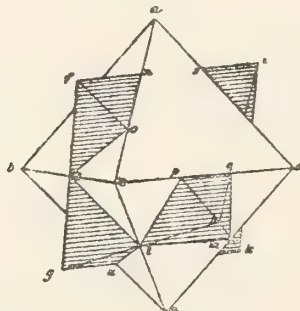


Fig. 3.

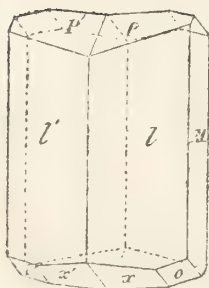


Fig. 4.

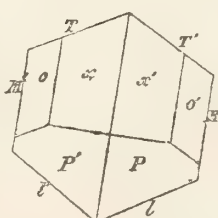


Fig. 5.

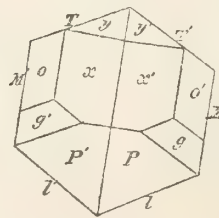


Fig. 6.

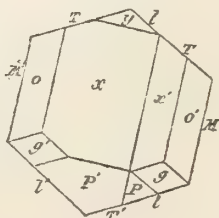
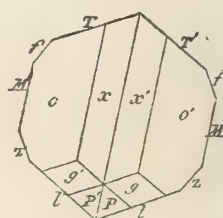


Fig. 7.



Feldspat-Gruppe (Albit)

Fig. 8.

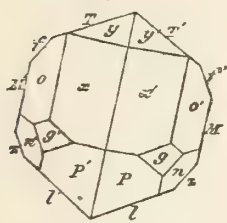


Fig. 9.

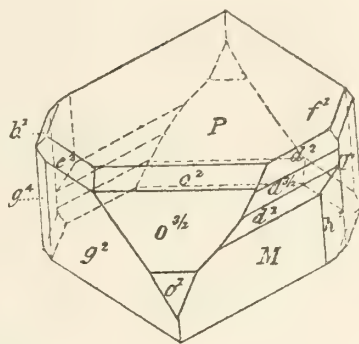


Fig. 10.

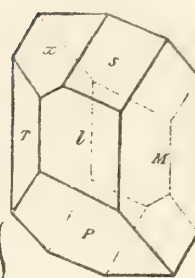


Fig. 11.

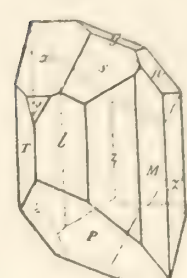


Fig. 12.

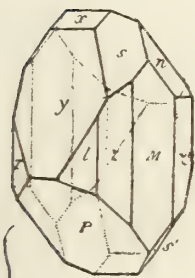


Fig. 13.

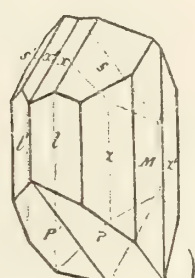


Fig. 14.

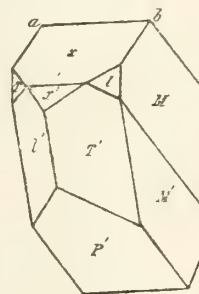


Fig. 15.

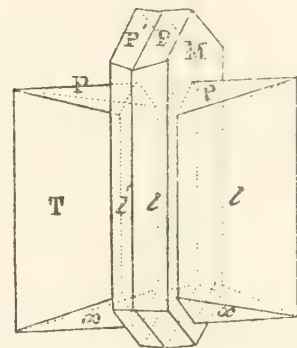


Fig. 16.

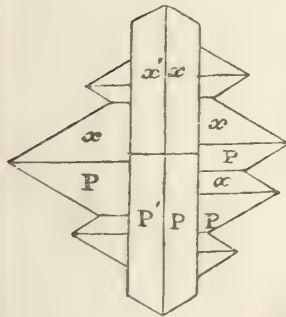


Fig. 17.

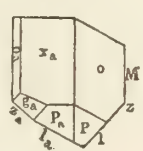


Fig. 18.

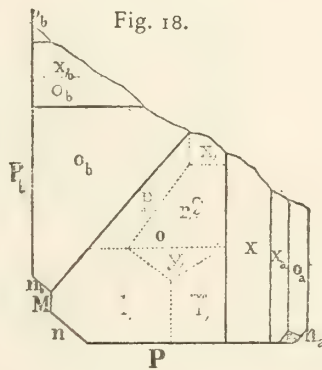


Fig. 19.

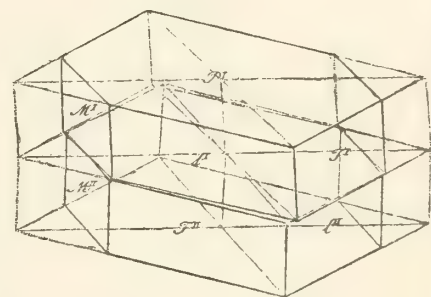


Fig. 20.

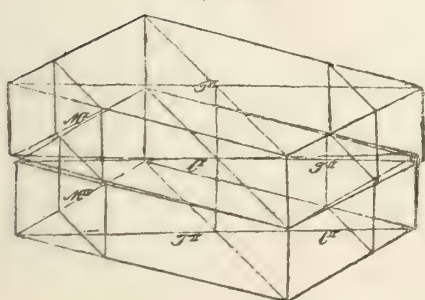


Fig. 21.

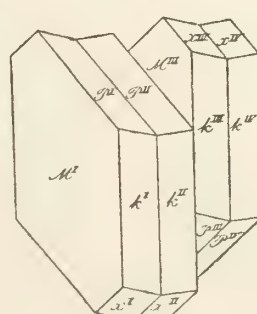
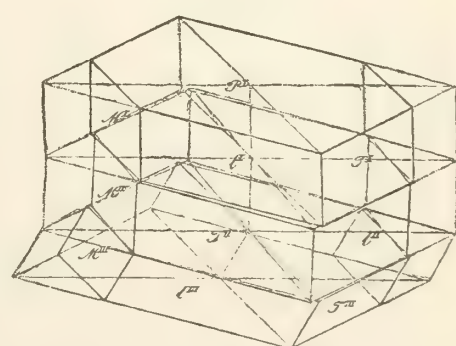


Fig. 22.



Feldspat-Gruppe (Albit)

Fig. 23.

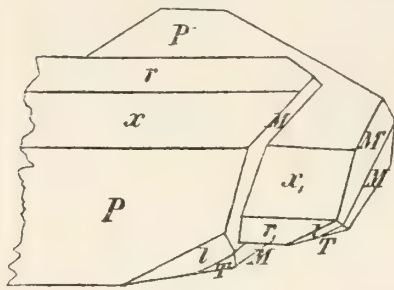


Fig. 24.

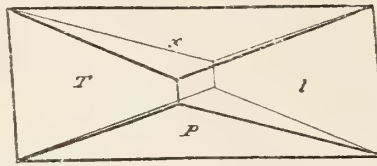


Fig. 25.

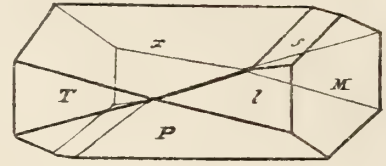


Fig. 26.

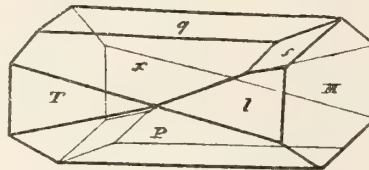


Fig. 27.

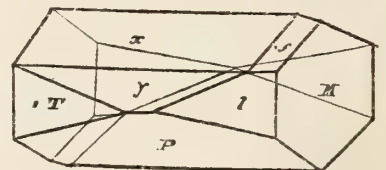


Fig. 28.

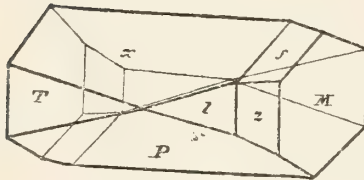


Fig. 29.

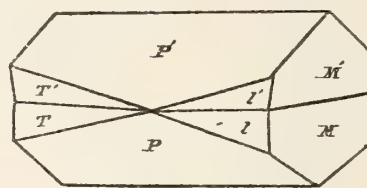


Fig. 30.

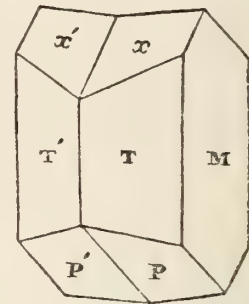


Fig. 31.

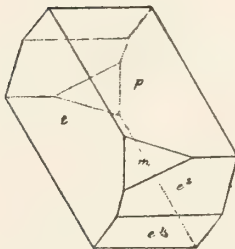


Fig. 32.

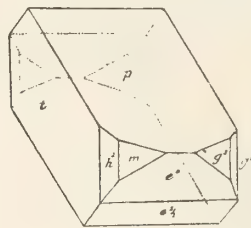


Fig. 33.

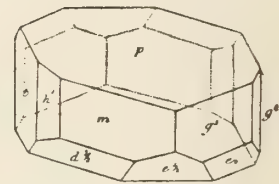


Fig. 34.

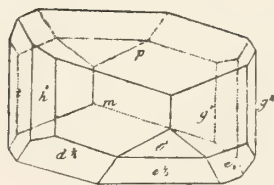


Fig. 35.

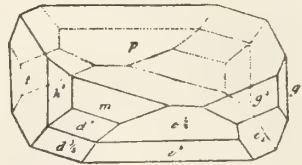


Fig. 36.

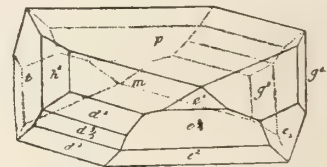


Fig. 37.

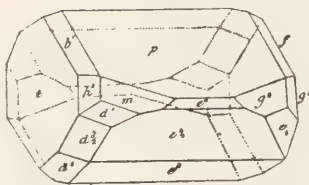


Fig. 38.

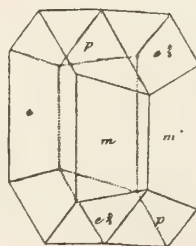


Fig. 39.

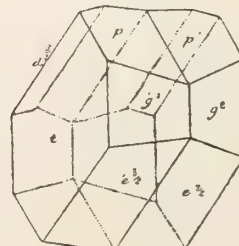
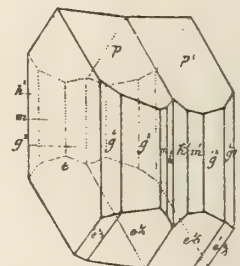


Fig. 40.



Feldspat-Gruppe (Albit)

Fig. 41.

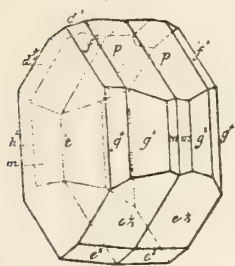


Fig. 42.

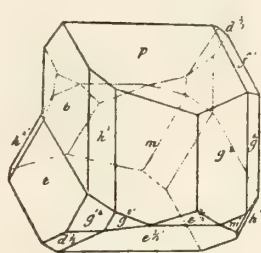


Fig. 43.

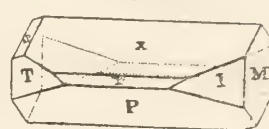


Fig. 44.

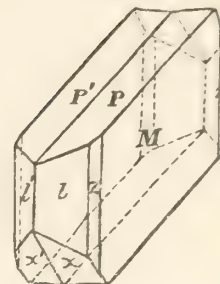


Fig. 45.

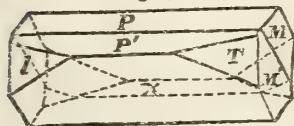


Fig. 46.

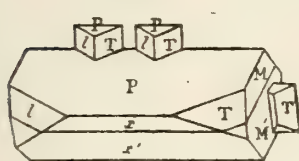


Fig. 47.

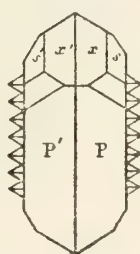


Fig. 48.

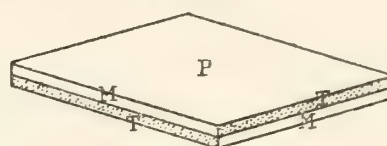


Fig. 49.

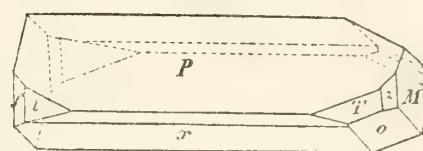


Fig. 50.

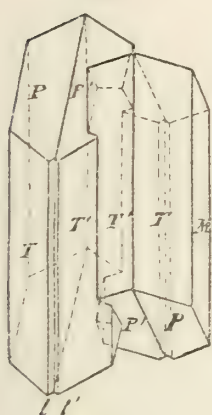


Fig. 51.

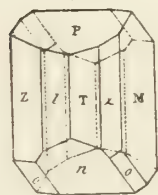


Fig. 52.

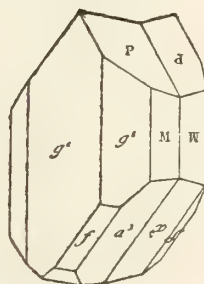


Fig. 53.

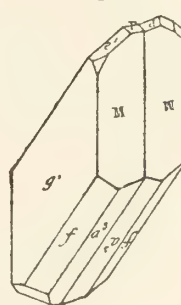


Fig. 54.

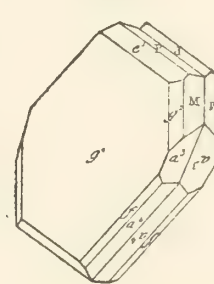


Fig 55.

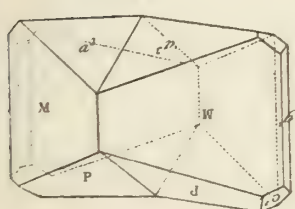


Fig. 56.

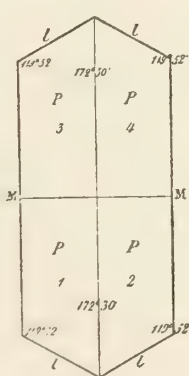


Fig. 57.

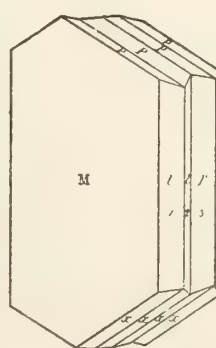
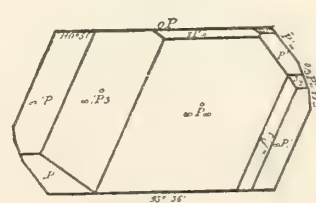


Fig. 58.



Feldspat-Gruppe (Albit)

Fig. 74.

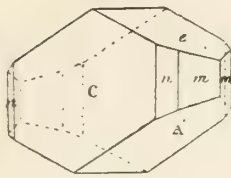


Fig. 75.

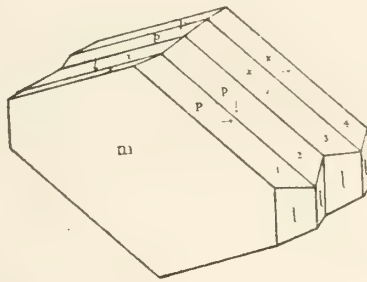


Fig. 76.

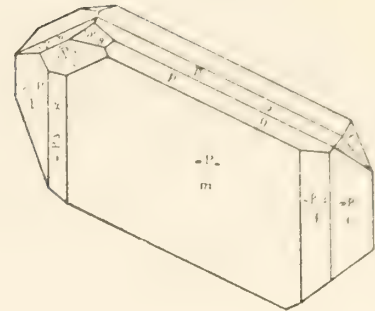


Fig. 77.

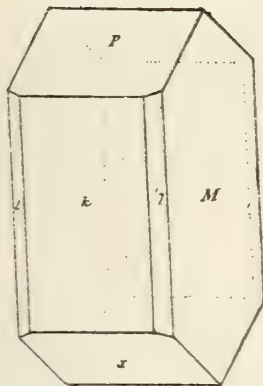


Fig. 78.

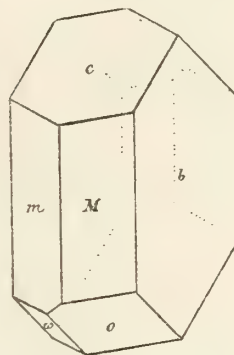


Fig. 79.

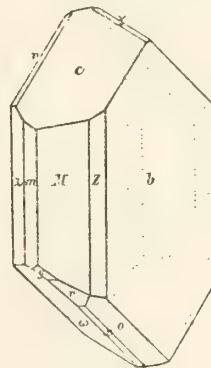


Fig. 80.

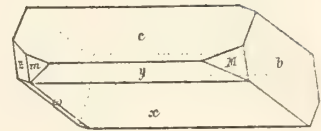


Fig. 81.

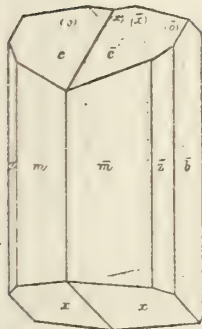


Fig. 82.

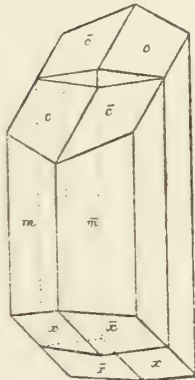


Fig. 83.

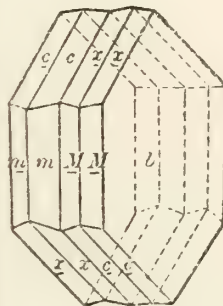


Fig. 84.

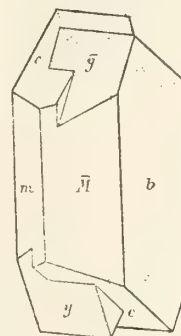


Fig. 85.

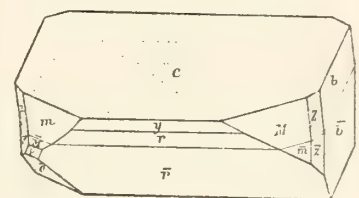


Fig. 86.

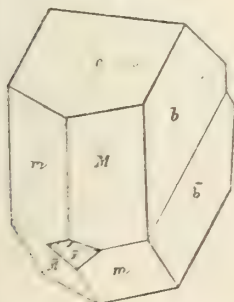


Fig. 87.

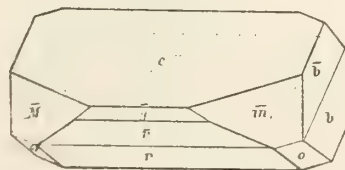


Fig. 88.

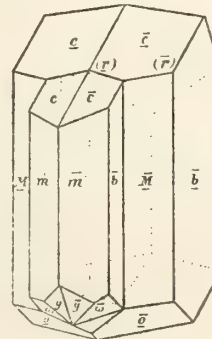
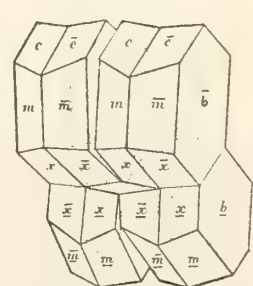


Fig. 89.



Feldspat-Gruppe (Albit)

Fig. 90.



Fig. 92.

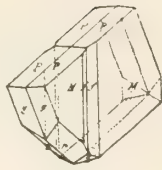


Fig. 94.

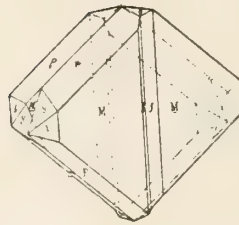


Fig. 96.

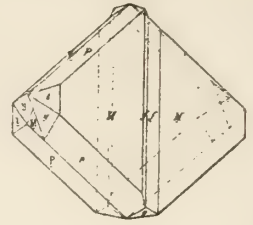


Fig. 91.

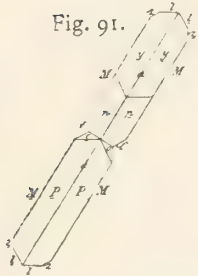


Fig. 93.

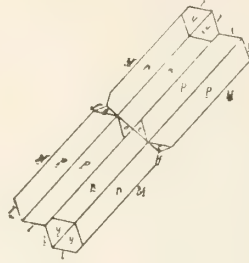


Fig. 95.

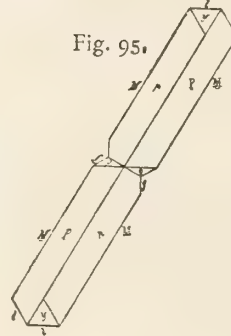


Fig. 97.

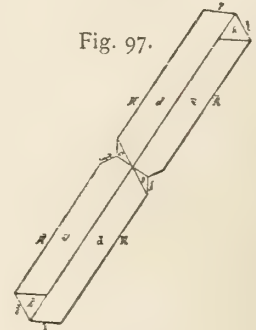


Fig. 98.

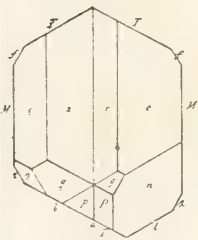


Fig. 99.

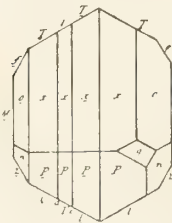


Fig. 100.

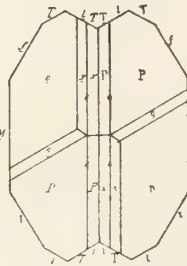


Fig. 101.

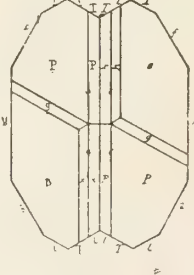


Fig. 102.

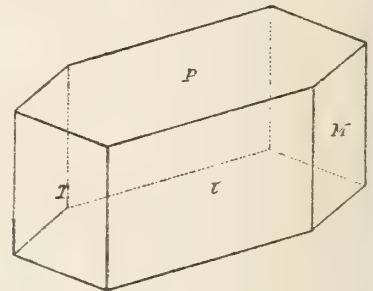


Fig. 103.

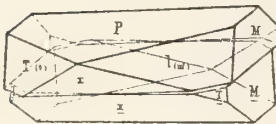


Fig. 104.

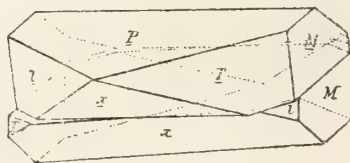


Fig. 105.

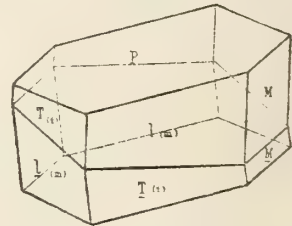


Fig. 106.

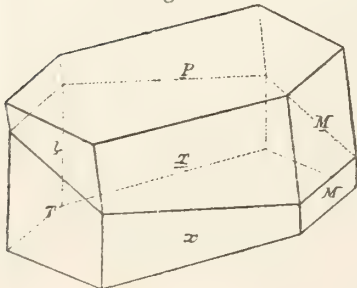


Fig. 107.

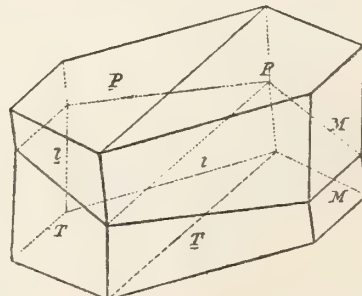
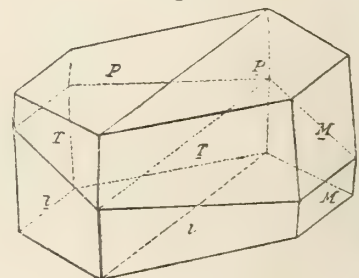


Fig. 108.



Feldspat-Gruppe (Albit)

Fig. 109.

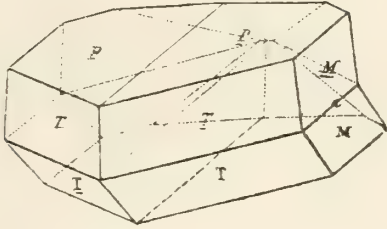


Fig. 110.

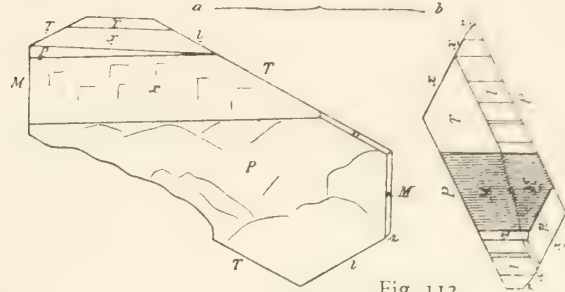


Fig. 111.

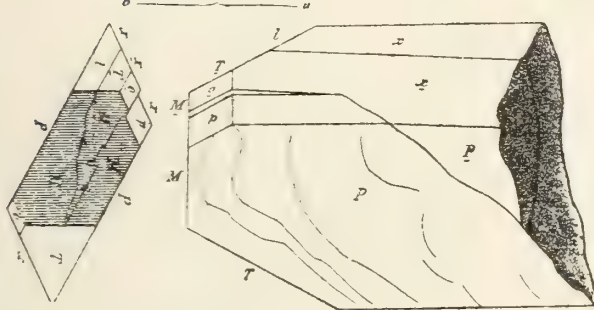


Fig. 112.

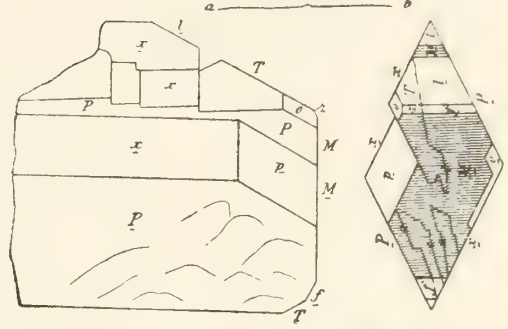


Fig. 113.

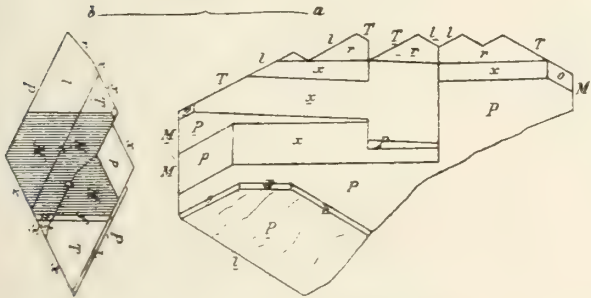


Fig. 115.

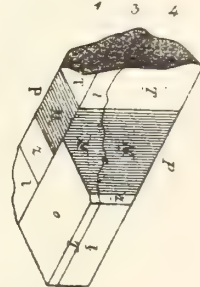


Fig. 114.

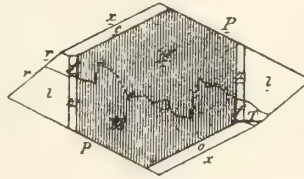


Fig. 116.

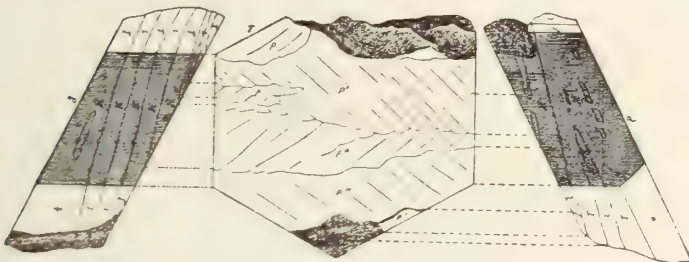


Fig. 117.

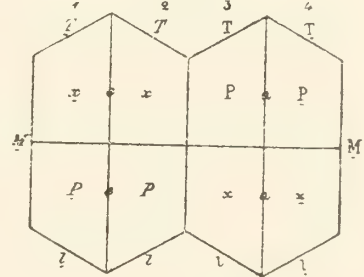


Fig. 118.

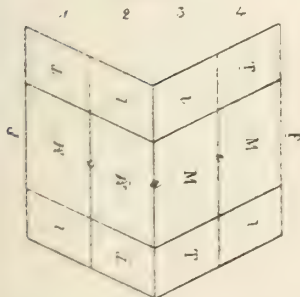


Fig. 119.

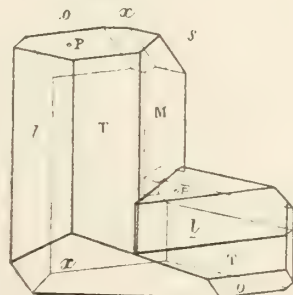


Fig. 120.

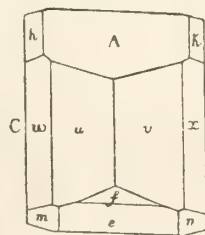
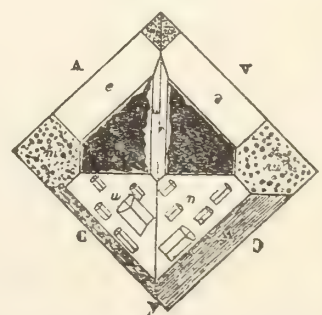


Fig. 121.



Feldspat-Gruppe (Albit)

Fig. 122.

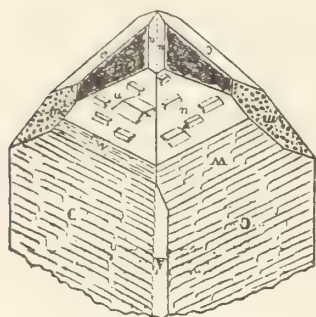


Fig. 123.

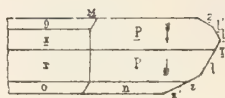


Fig. 124.

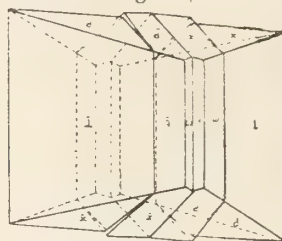


Fig. 125.

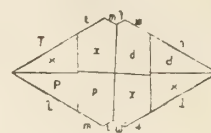


Fig. 127.

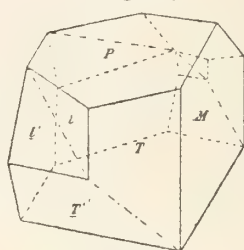


Fig. 128.

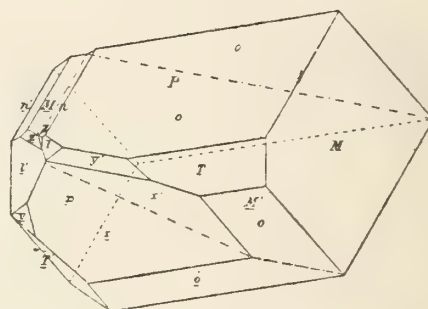


Fig. 126.

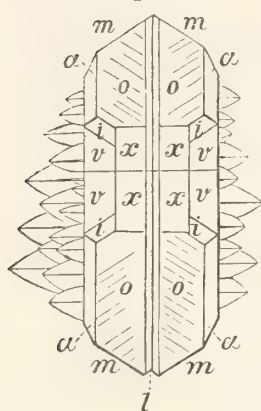


Fig. 130.

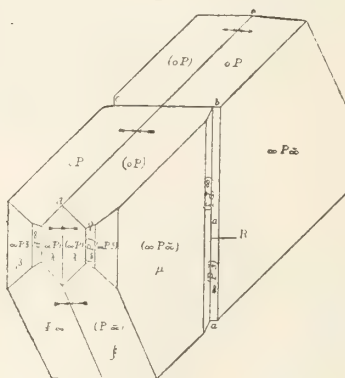


Fig. 131.

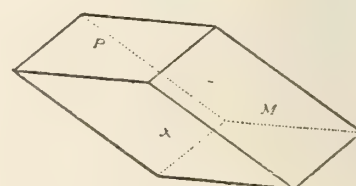


Fig. 129.

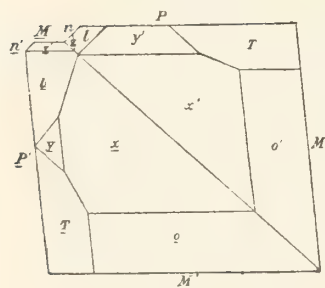


Fig. 132.

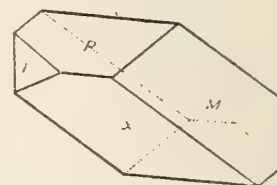


Fig. 133.

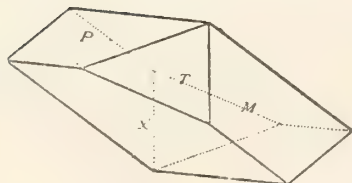


Fig. 134.

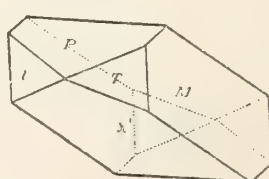
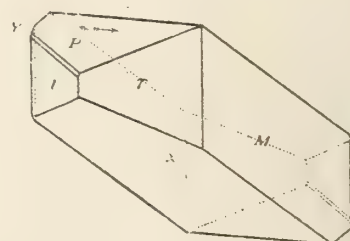


Fig. 135.



Feldspat-Gruppe (Albit)

Fig. 136.

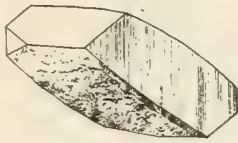


Fig. 137.

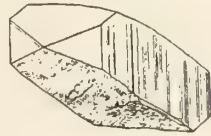


Fig. 138.

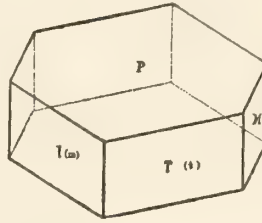


Fig. 139.

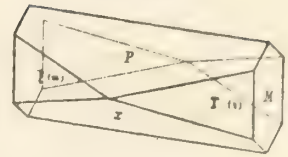


Fig. 140.

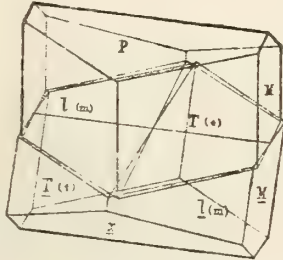


Fig. 141.

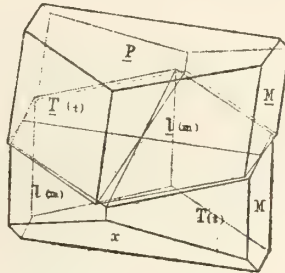


Fig. 142.



Fig. 143.

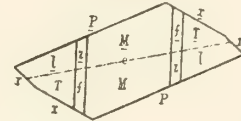


Fig. 144.

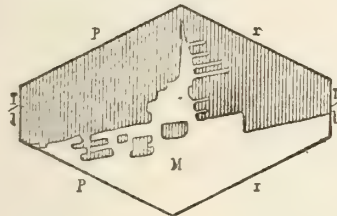


Fig. 145.

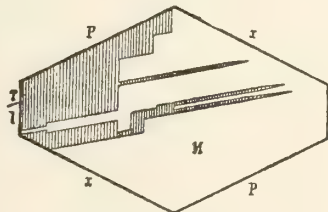


Fig. 146.

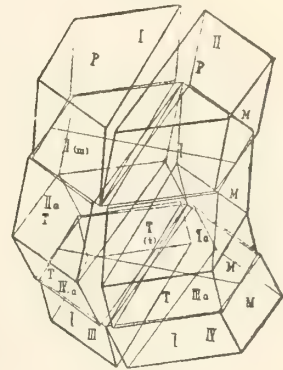


Fig. 147.

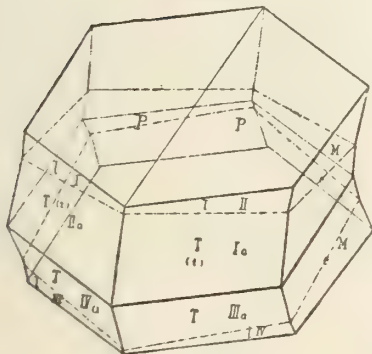


Fig. 148.

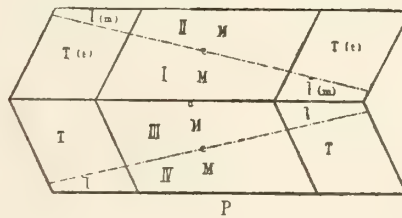


Fig. 149.

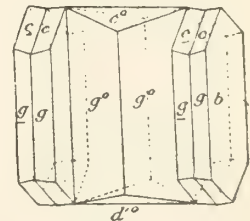


Fig. 150.

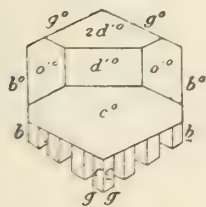


Fig. 151.

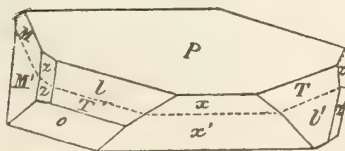
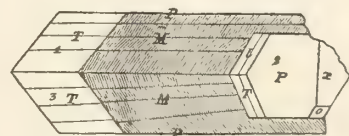


Fig. 152.



Feldspat-Gruppe (Albit)

Fig. 153.

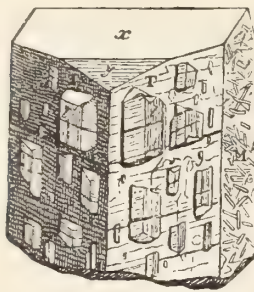


Fig. 154.

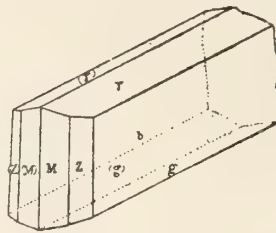


Fig. 155.



Fig. 156.

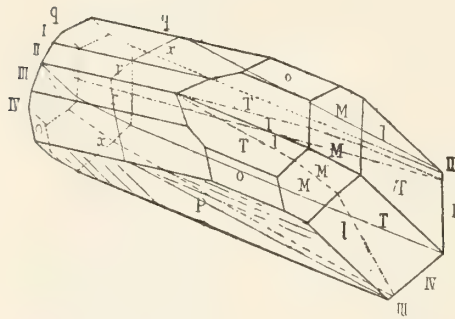


Fig. 157.

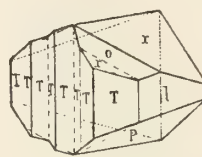


Fig. 158.

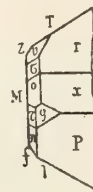


Fig. 159.

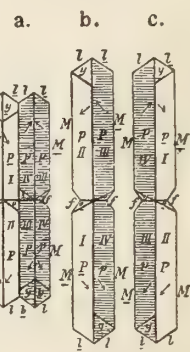


Fig. 161.

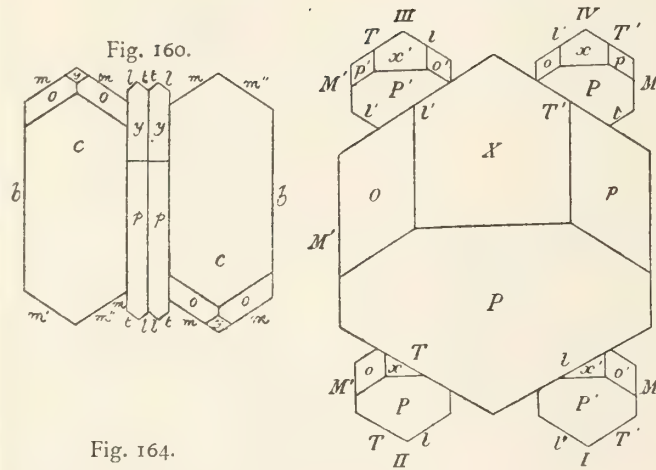


Fig. 160.

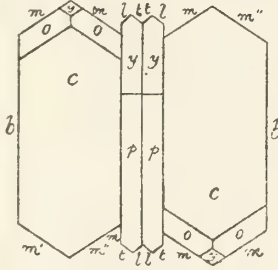


Fig. 162.

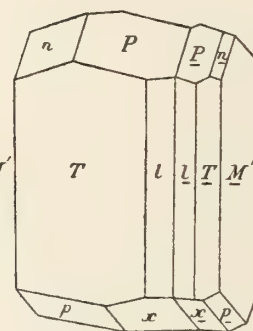


Fig. 163.

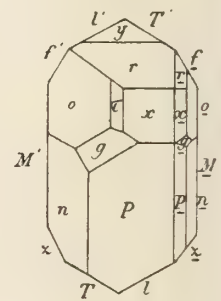


Fig. 164.

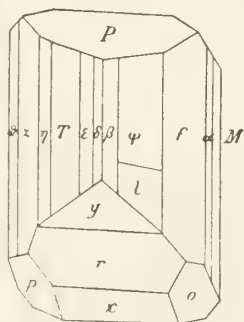


Fig. 165.

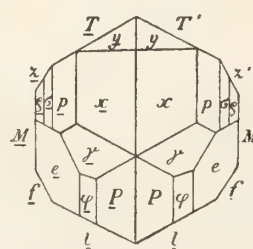


Fig. 166.

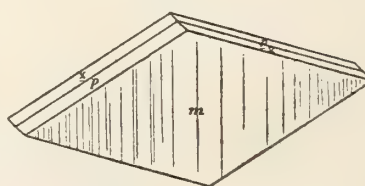
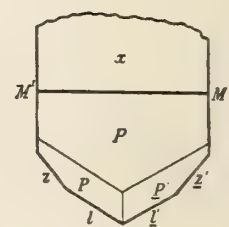


Fig. 167.



Feldspat-Gruppe (Albit)

Fig. 168.

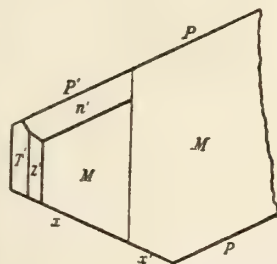


Fig. 169.

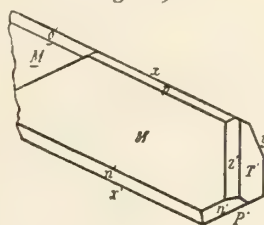


Fig. 170.

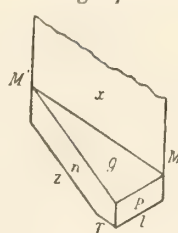


Fig. 171.

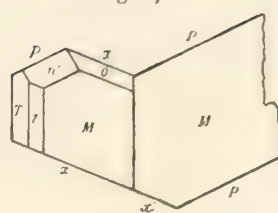


Fig. 172.

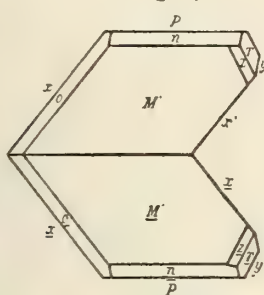


Fig. 173.

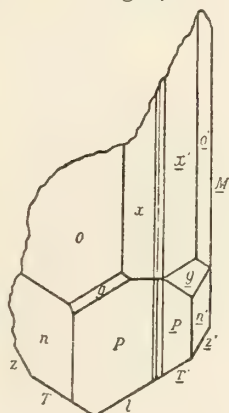


Fig. 174.

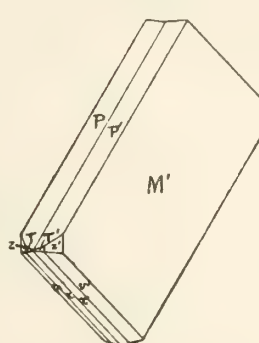


Fig. 175.

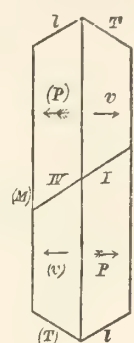


Fig. 176.

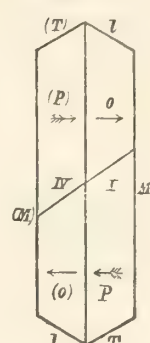


Fig. 177.

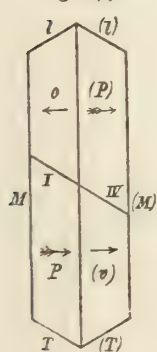


Fig. 178.

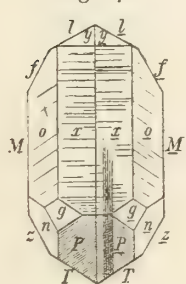


Fig. 179.

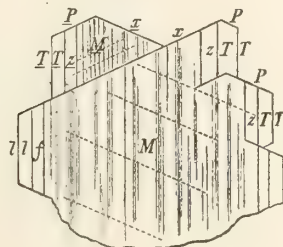


Fig. 180.

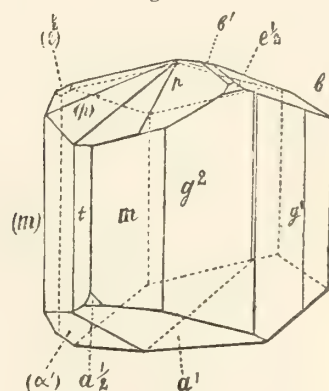


Fig. 181.

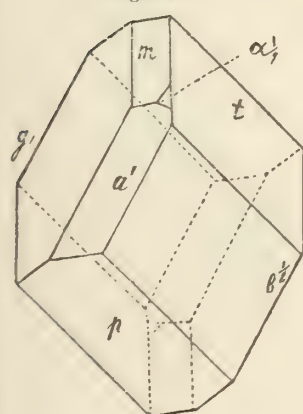


Fig. 182.

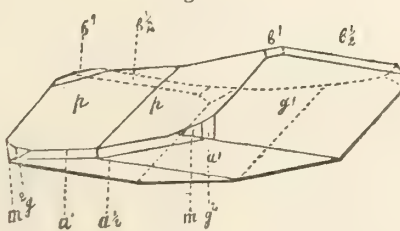
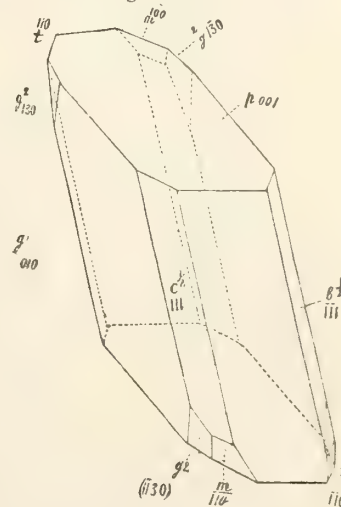


Fig. 183.



Feldspat-Gruppe (Albit)

Fig. 184.

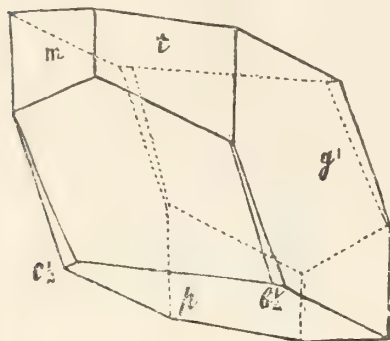


Fig. 185.

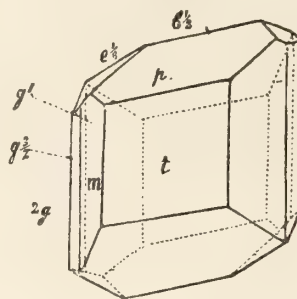


Fig. 186.

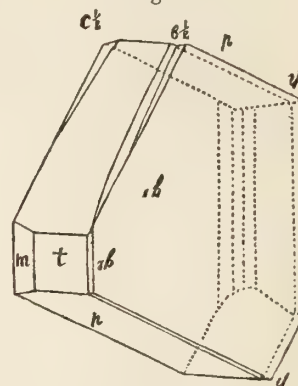


Fig. 187.

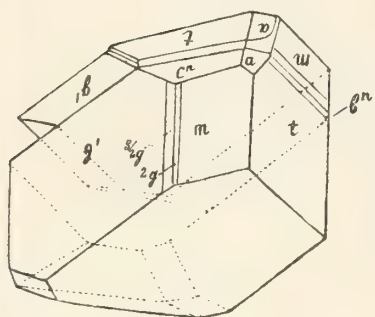


Fig. 188.

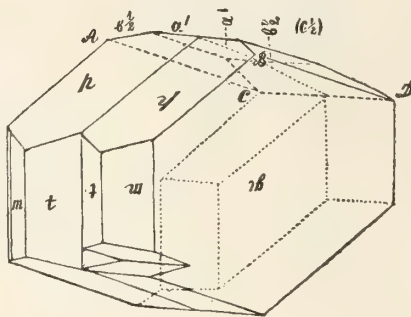


Fig. 189.

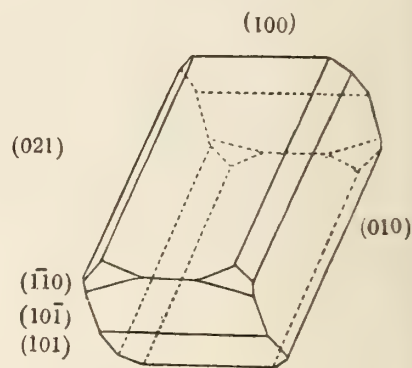


Fig. 190.

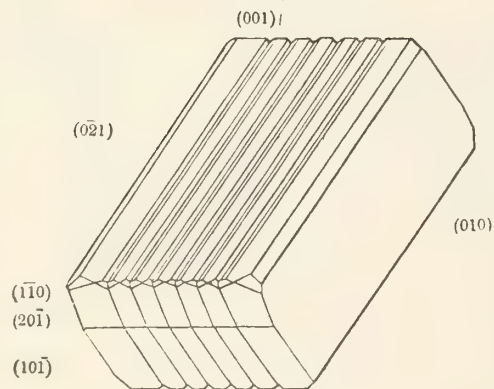


Fig. 191.

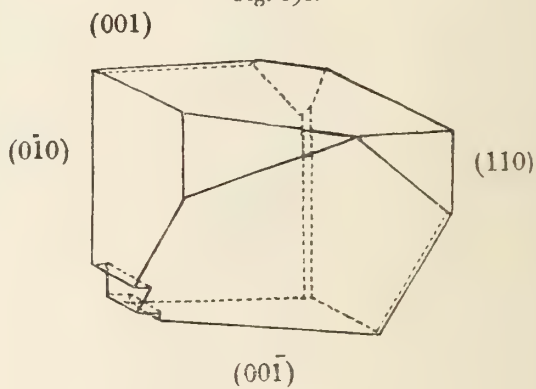


Fig. 192.

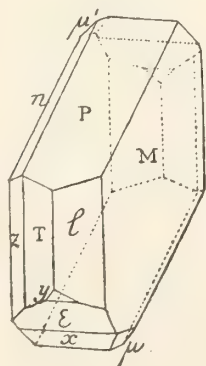


Fig. 193.

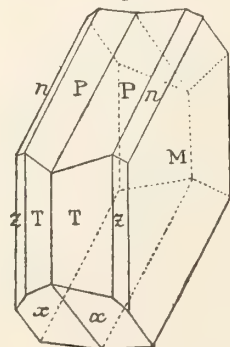


Fig. 194.

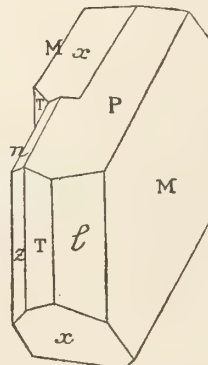
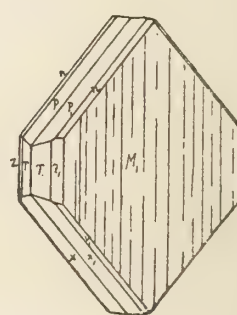


Fig. 195.



Feldspat-Gruppe (Albit)

Fig. 196.

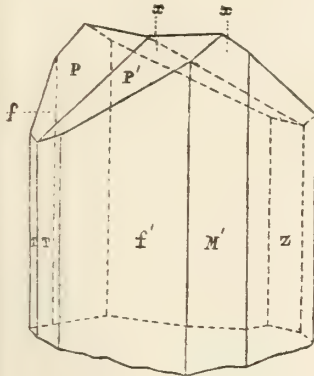


Fig. 197.

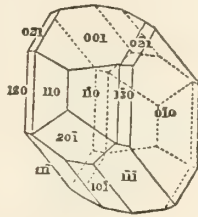


Fig. 198.

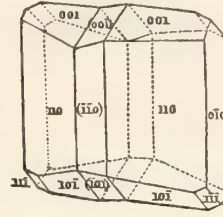


Fig. 199.

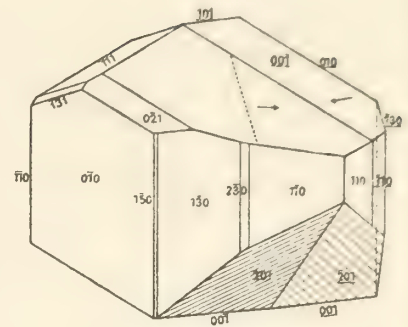


Fig. 200.

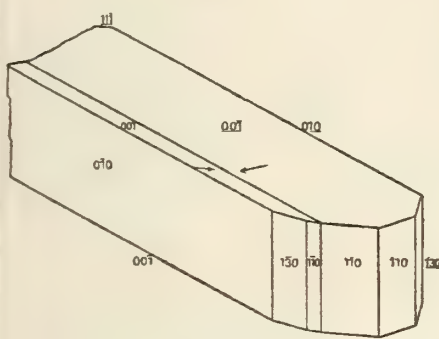


Fig. 201.

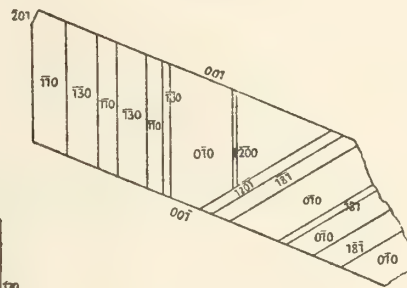


Fig. 202.

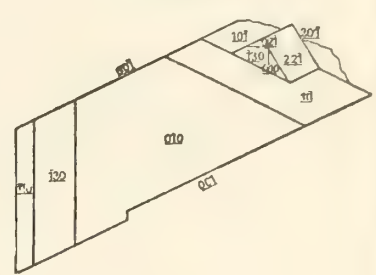


Fig. 203.



Fig. 204.

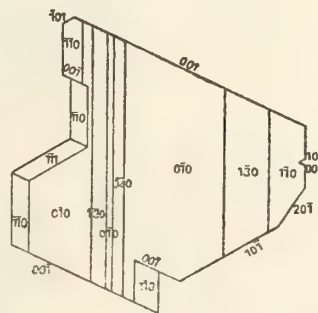


Fig. 205.

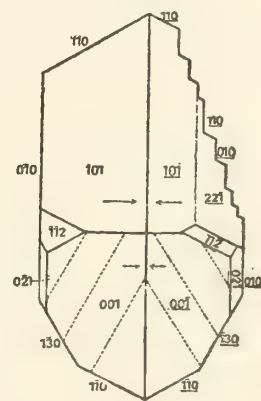


Fig. 206.

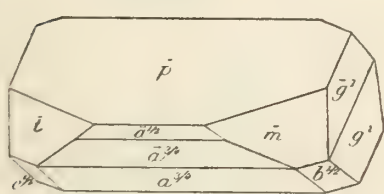


Fig. 207.

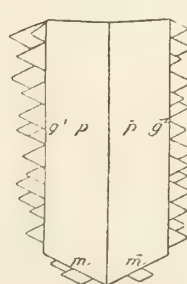
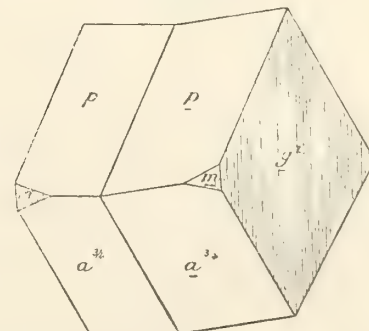


Fig. 208.



Feldspat-Gruppe (Albit)

Fig. 209.

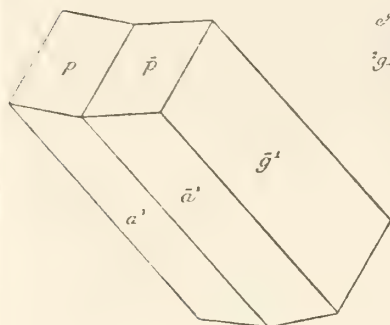


Fig. 210.

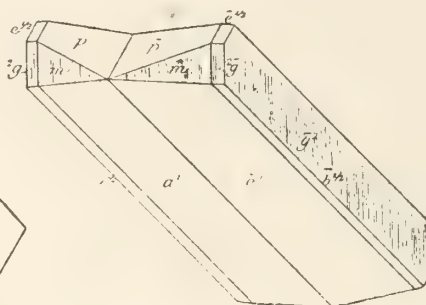


Fig. 211.

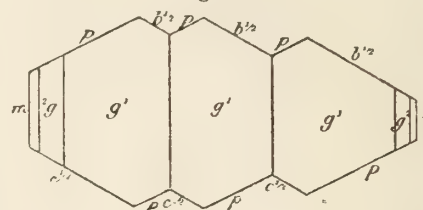


Fig. 213.

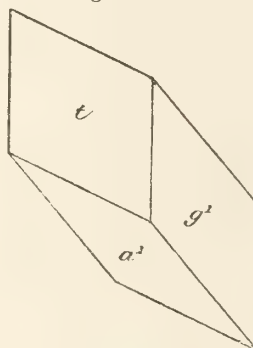


Fig. 214.

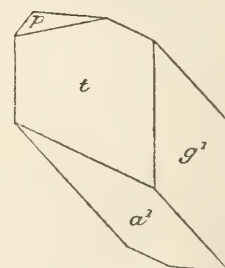


Fig. 212.

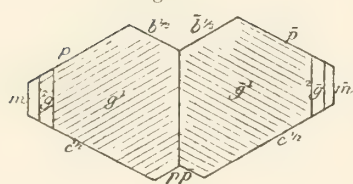


Fig. 215.

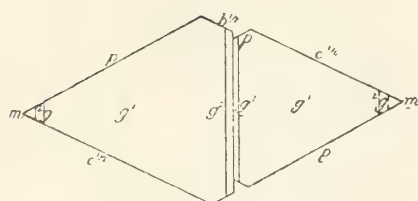


Fig. 216.

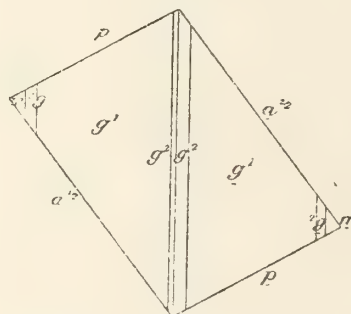


Fig. 217.

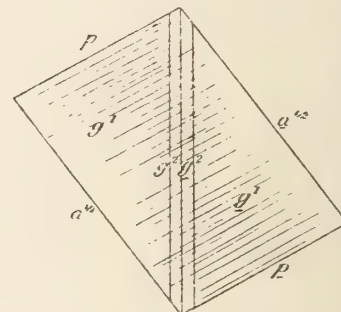


Fig. 218.

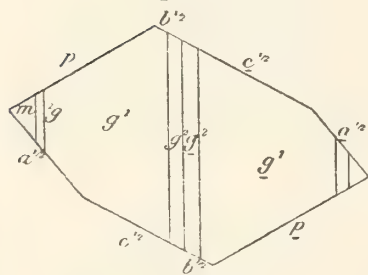


Fig. 219.

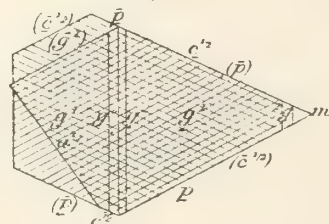


Fig. 220.

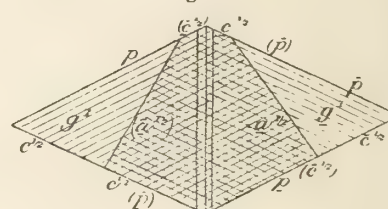


Fig. 221.

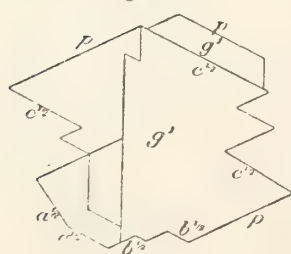


Fig. 222.

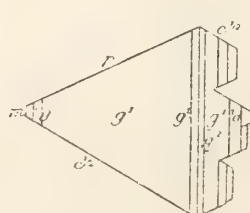
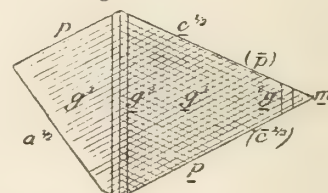


Fig. 223.



Feldspat-Gruppe (Albit)

Fig. 244.

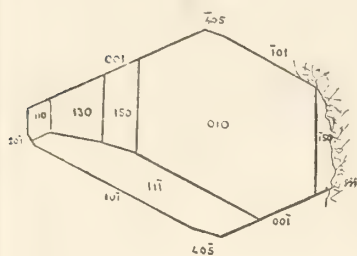


Fig. 245.

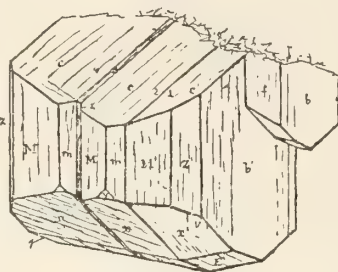


Fig. 246.

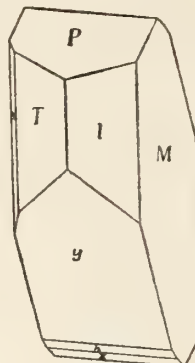


Fig. 247.

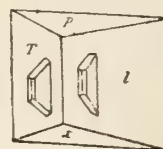


Fig. 248.

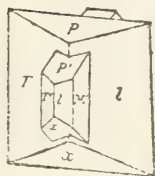


Fig. 249.

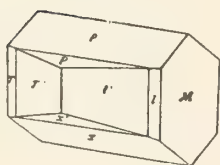


Fig. 250.

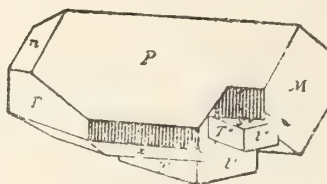


Fig. 251.

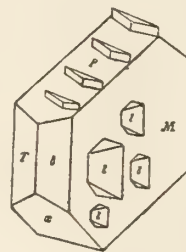


Fig. 252.

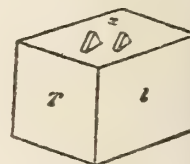


Fig. 253.

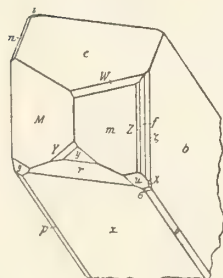
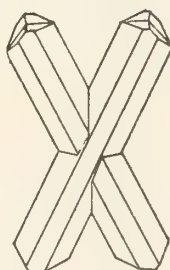


Fig. 254.



Fg. 255.

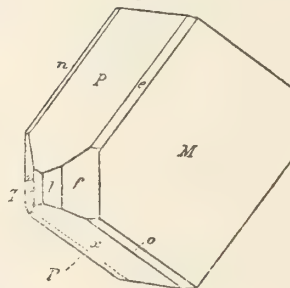


Fig. 256.

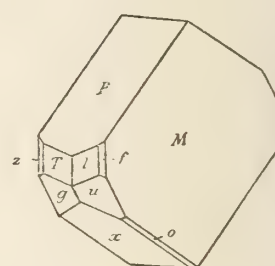


Fig. 257.

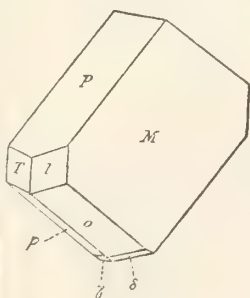


Fig. 258.

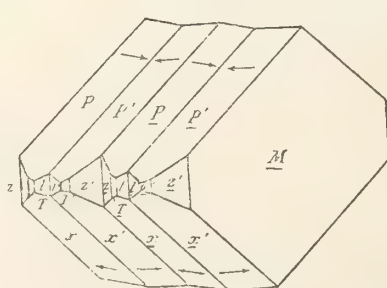


Fig. 259.

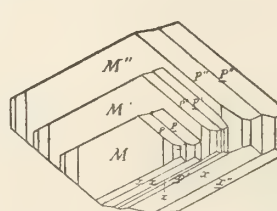
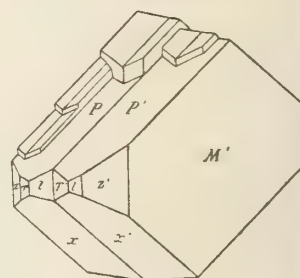


Fig. 260.



Feldspat-Gruppe (Albit)

Fig. 261.

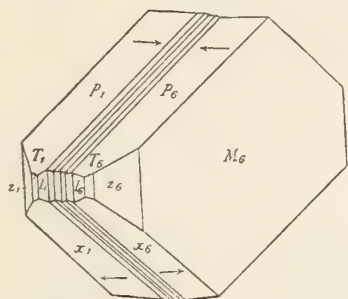


Fig. 262.

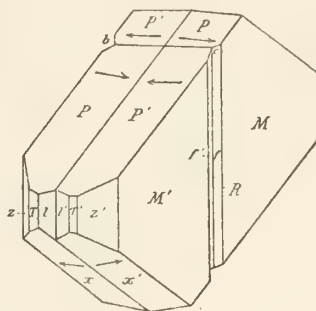


Fig. 263.



Fig. 267.

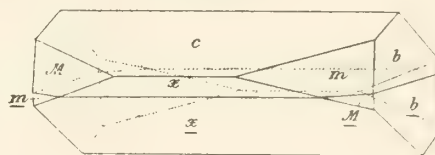


Fig. 264.

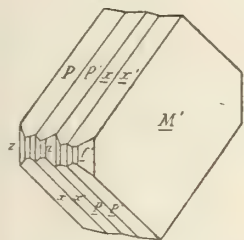


Fig. 265.

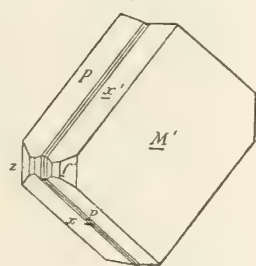


Fig. 266.

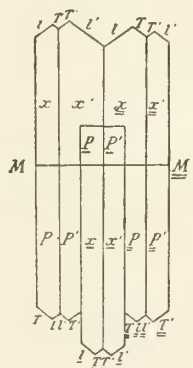


Fig. 268.

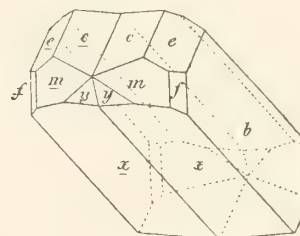


Fig. 269.

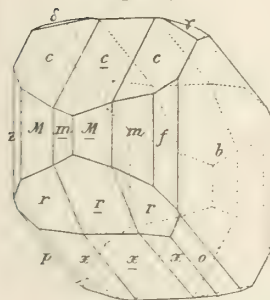


Fig. 270.

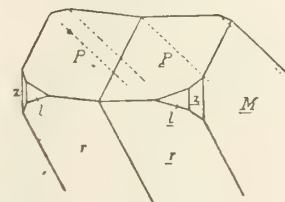


Fig. 271.

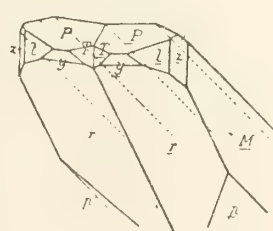


Fig. 272.

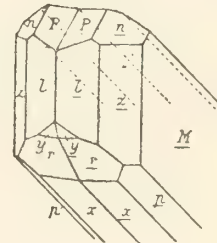


Fig. 273.

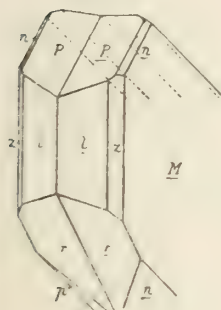


Fig. 274.

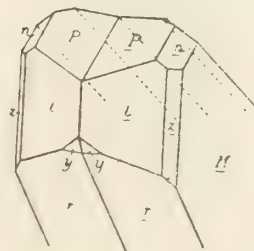


Fig. 275.

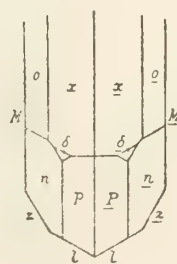


Fig. 276.

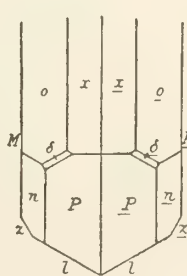
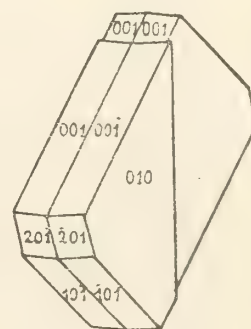


Fig. 277.



Feldspat-Gruppe (Albit)

Fig. 278.

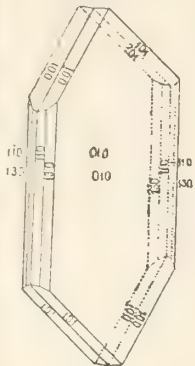


Fig. 279.

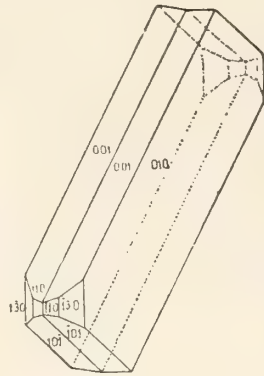


Fig. 280.

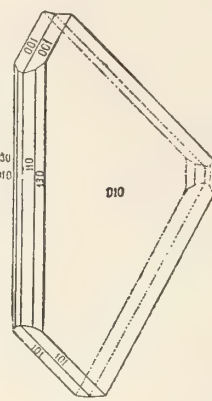


Fig. 283.

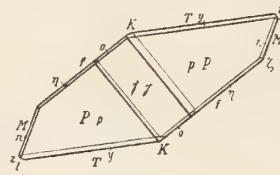


Fig. 284.

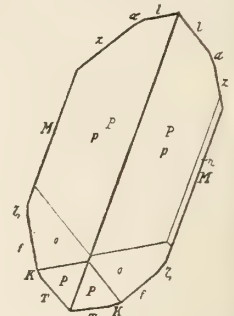
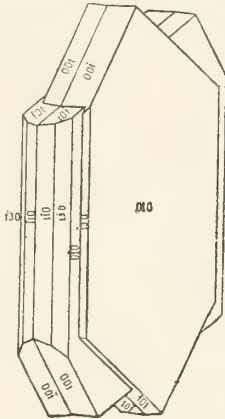
Fig. 281.
FIG. 4

Fig. 282.

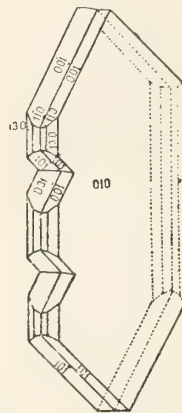


Fig. 287.

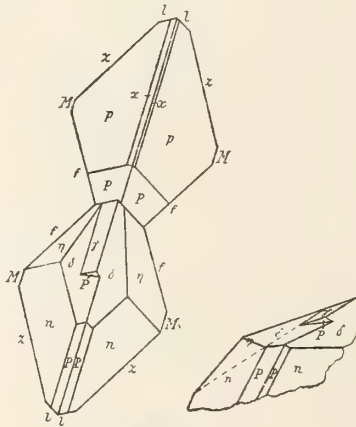


Fig. 288.

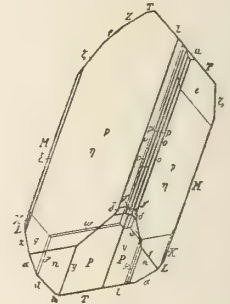


Fig. 285.

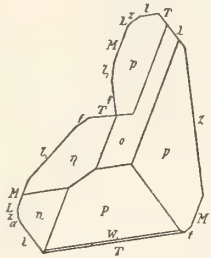
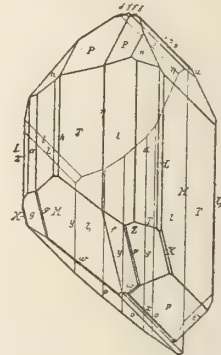
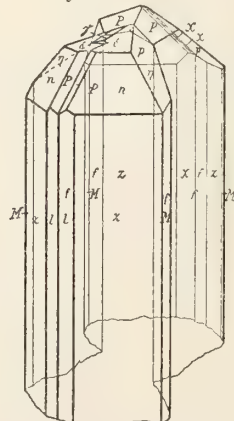
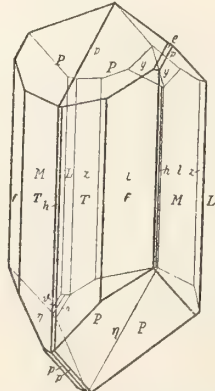
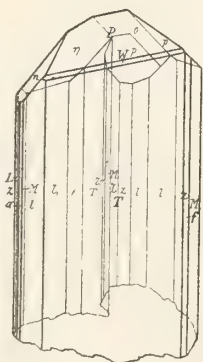
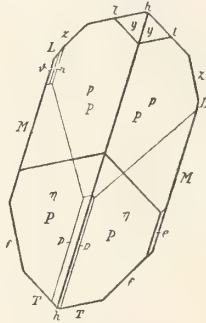


Fig. 286.



Feldspat-Gruppe (Albit)

Fig. 289.

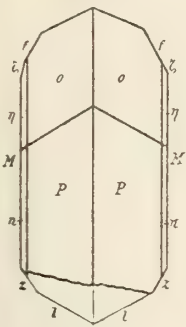


Fig. 290.

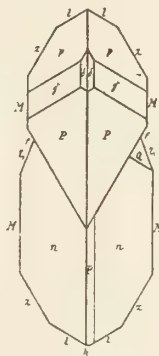


Fig. 291.

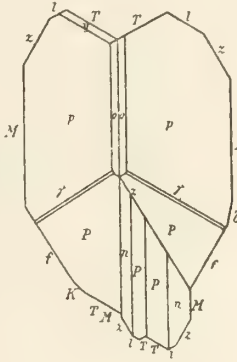


Fig. 292.

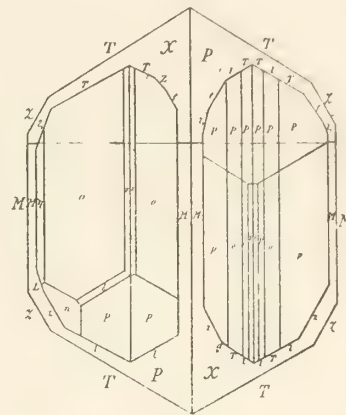


Fig. 293.

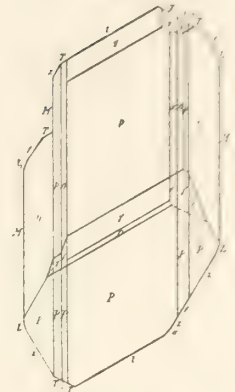


Fig. 294.

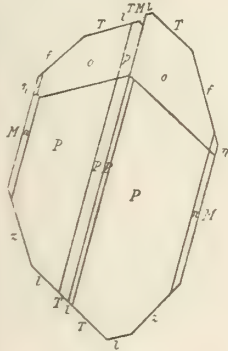


Fig. 295.

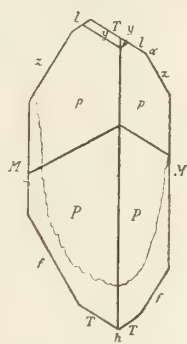


Fig. 296.

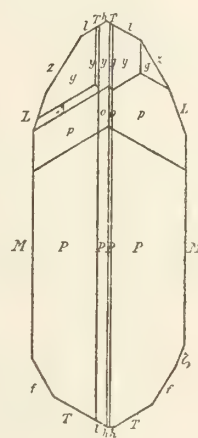


Fig. 297.

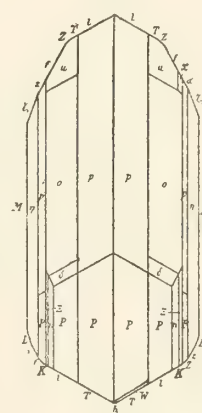


Fig. 298.

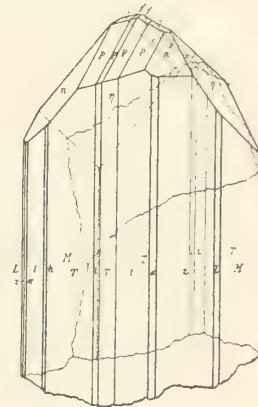
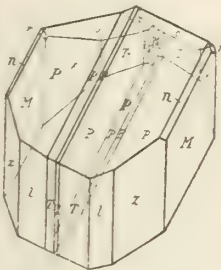
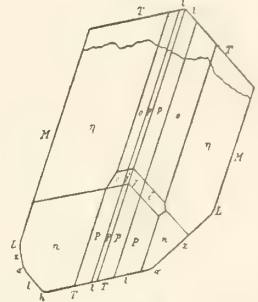


Fig. 299.

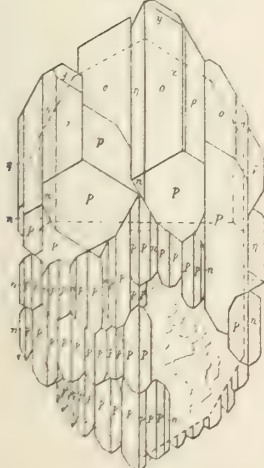


Fig. 300.

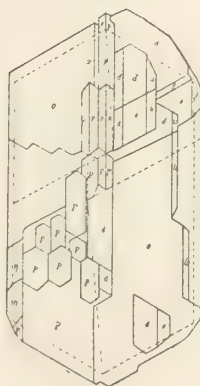


Fig. 301.

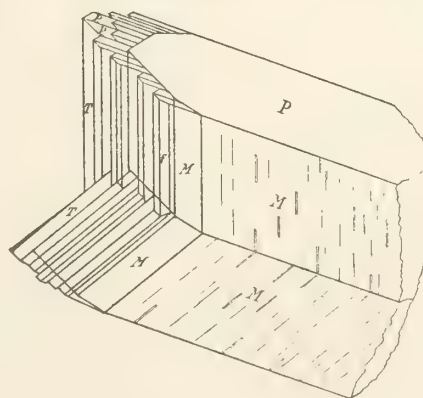


Fig. 302.



Feldspat-Gruppe (Albit)

Fig. 303.

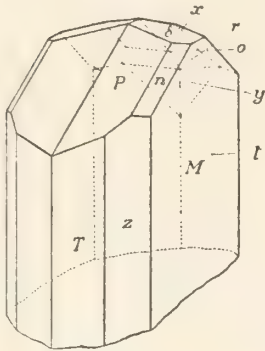


Fig. 304.

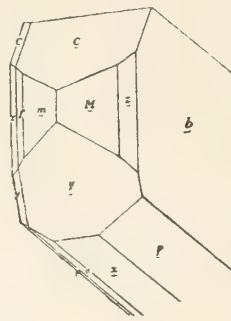


Fig. 305.

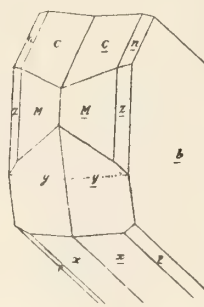


Fig. 306.

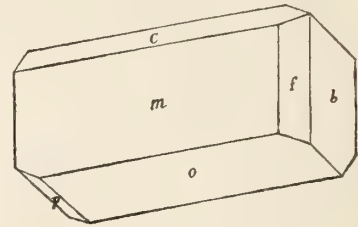


Fig. 307.

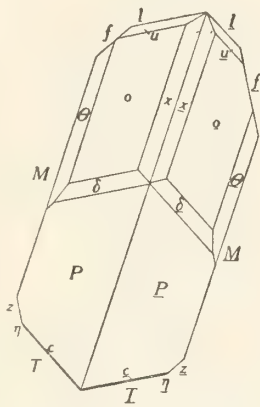


Fig. 308.

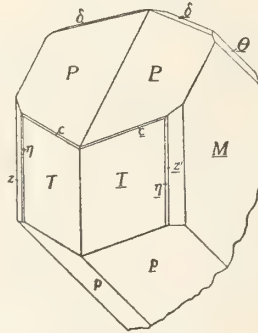


Fig. 309.



Fig. 310.

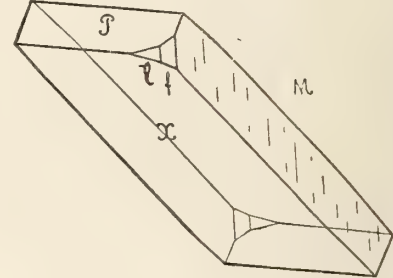


Fig. 311.

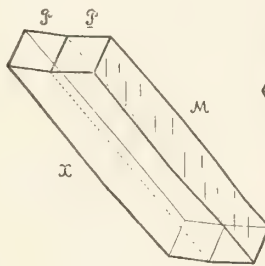


Fig. 312.

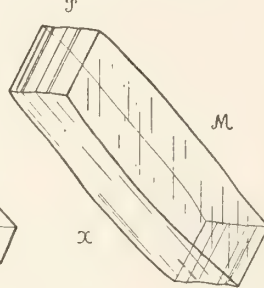


Fig. 313.

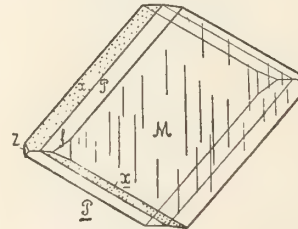


Fig. 314.

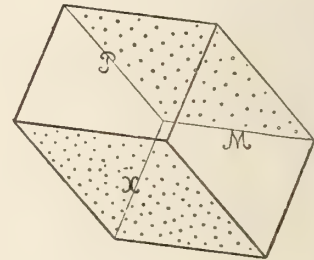


Fig. 315.

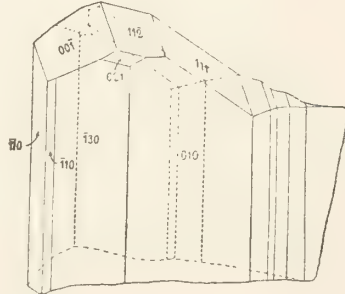


Fig. 316.

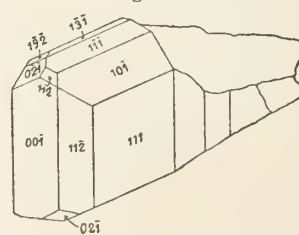
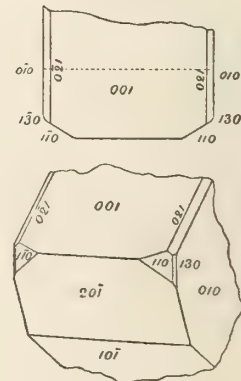


Fig. 317.



Feldspat-Gruppe (Albit)

Fig. 318.

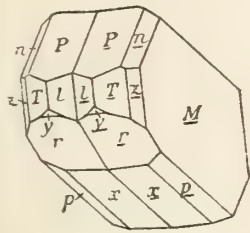


Fig. 319.

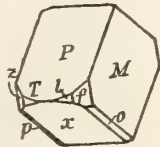


Fig. 320.

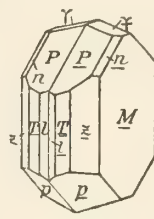


Fig. 321.

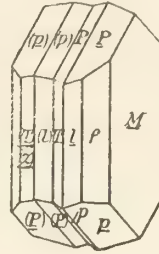


Fig. 322.

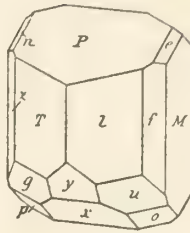


Fig. 323.

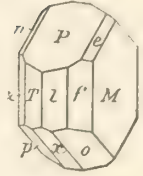
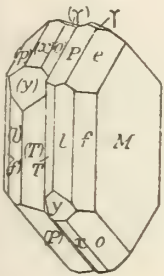


Fig. 324.



Anorthit

Fig. 1.

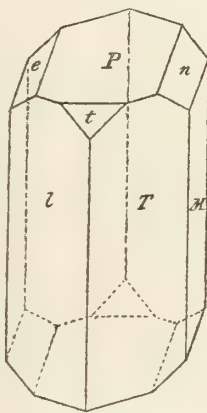


Fig. 2.

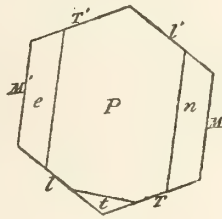


Fig. 3.

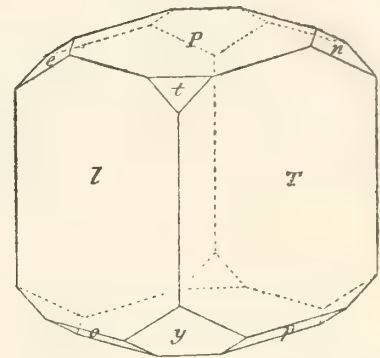


Fig. 5.

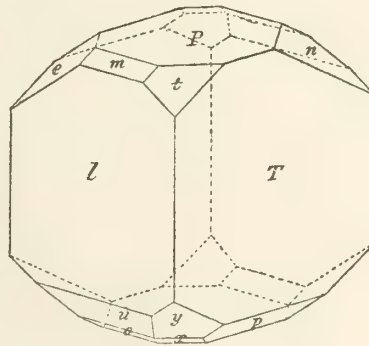


Fig. 4.

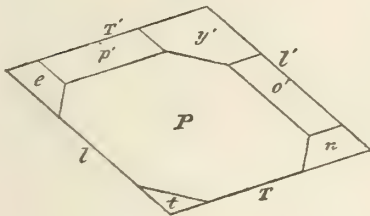


Fig. 6.

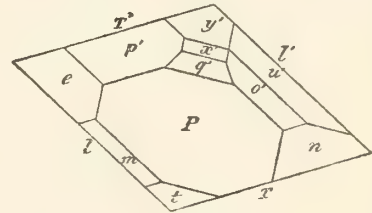


Fig. 9.

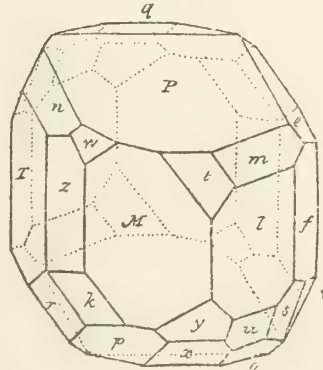


Fig. 10.

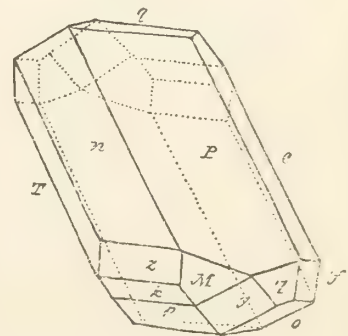


Fig. 7.

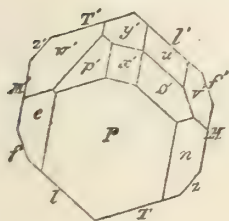
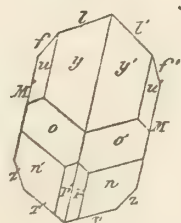


Fig. 8.



Feldspat-Gruppe (Anorthit)

Fig. 11.

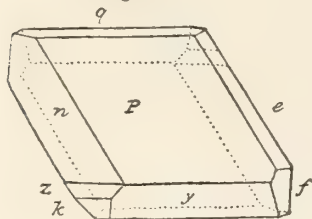


Fig. 12.

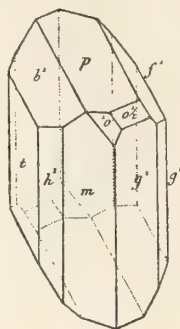


Fig. 13.

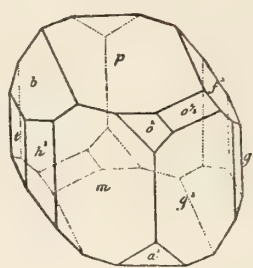


Fig. 14.

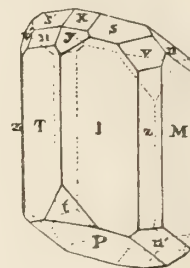


Fig. 15.

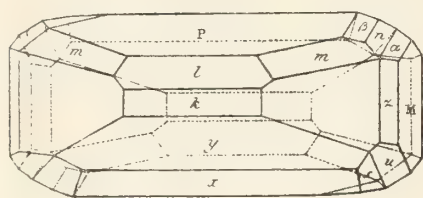


Fig. 16.

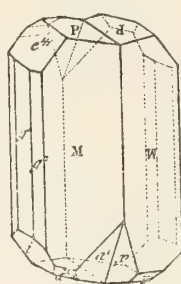


Fig. 17.

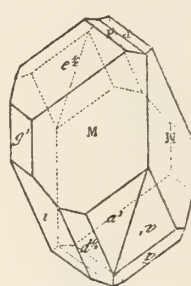


Fig. 18.

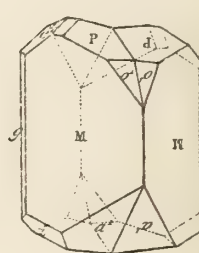


Fig. 19.

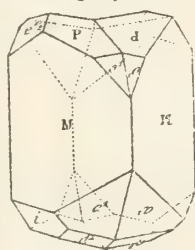


Fig. 20.

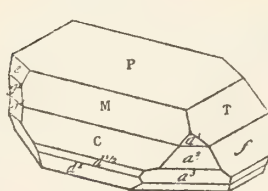


Fig. 21.

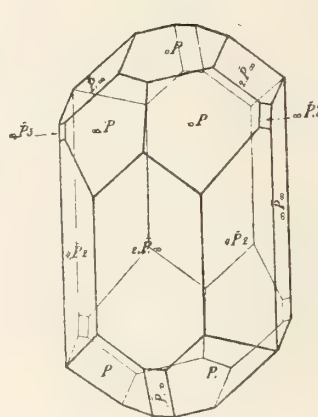


Fig. 22.

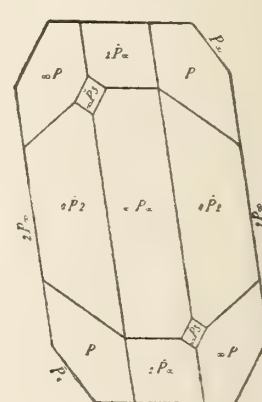


Fig. 23.

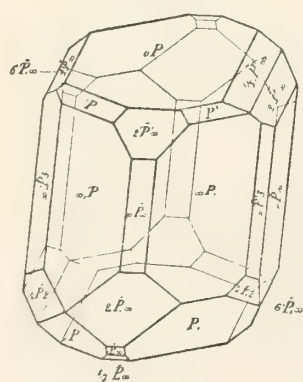


Fig. 24.

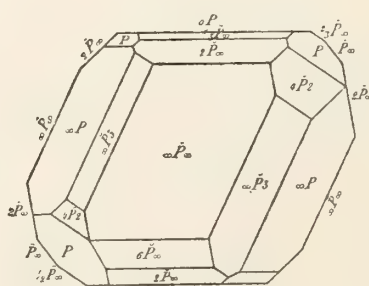
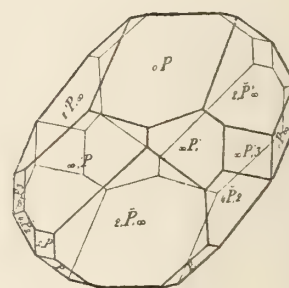


Fig. 25.



Feldspat-Gruppe (Anorthit)

Fig. 26.

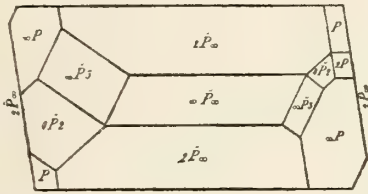


Fig. 27.

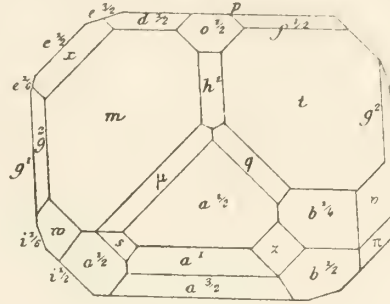


Fig. 28.

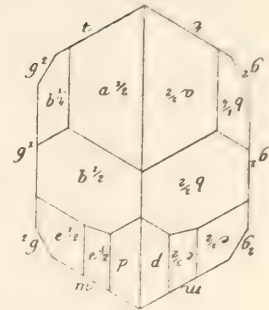


Fig. 30.

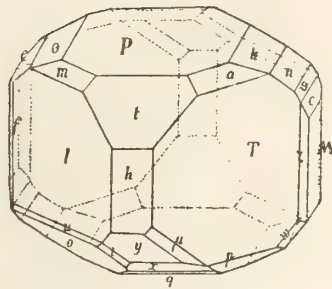


Fig. 31.

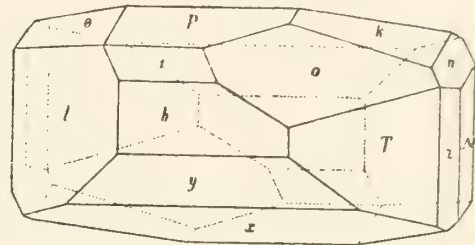


Fig. 29.

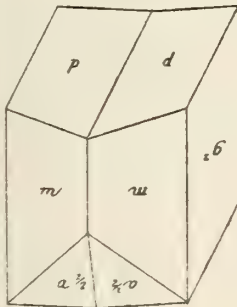


Fig. 32.

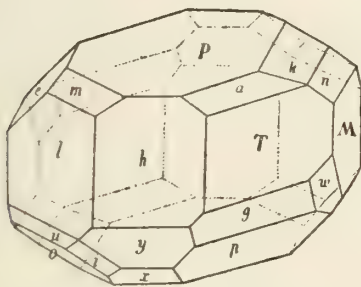
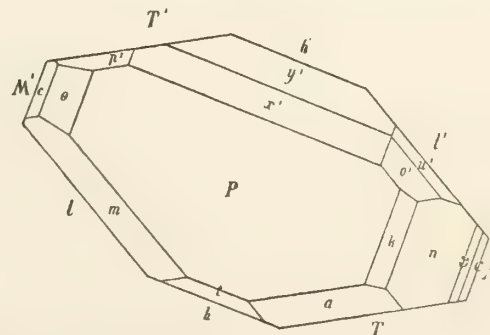
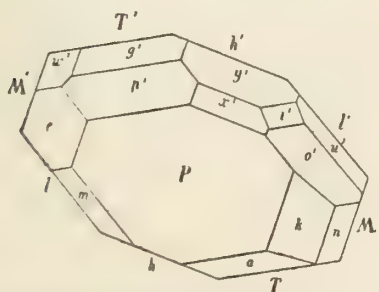
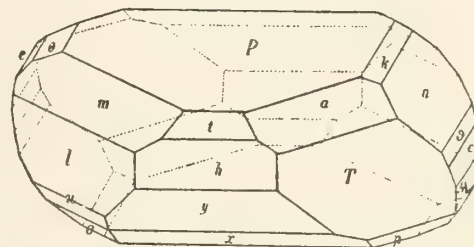


Fig. 33.



Feldspat-Gruppe (Anorthit)

Fig. 34.

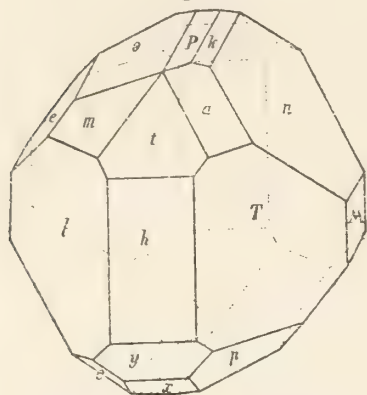


Fig. 35.

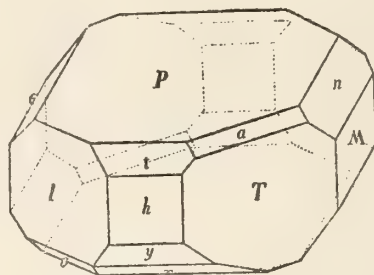


Fig. 36.

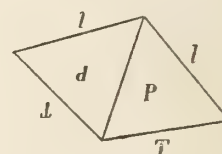
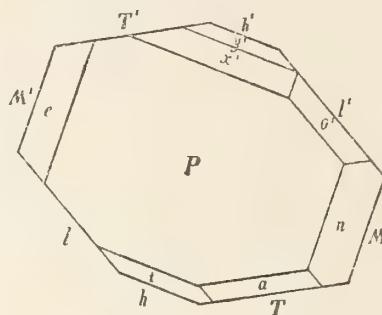
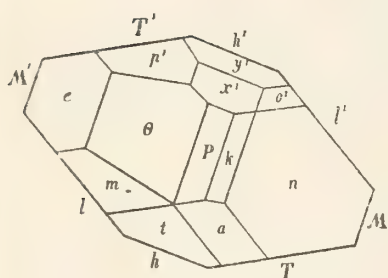
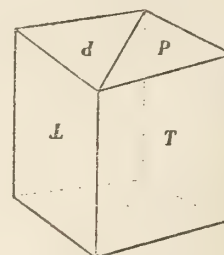


Fig. 37.

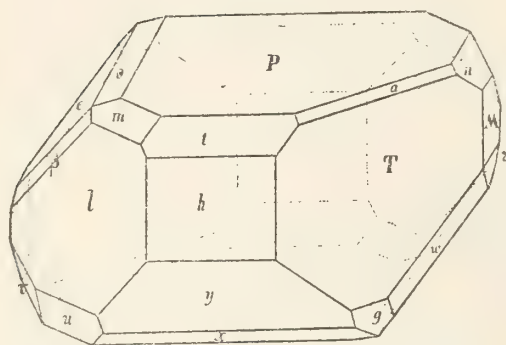


Fig. 38.

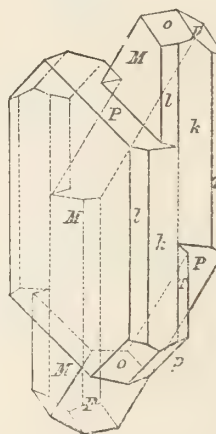


Fig. 39.

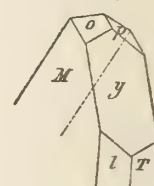


Fig. 40.

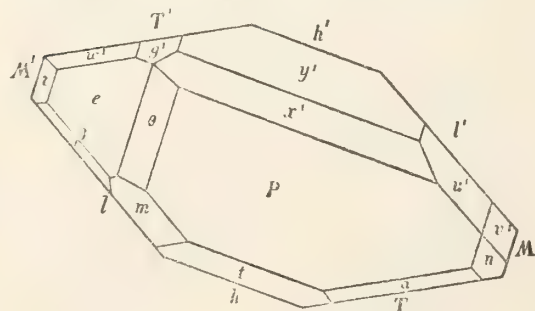
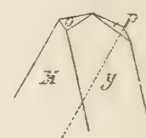
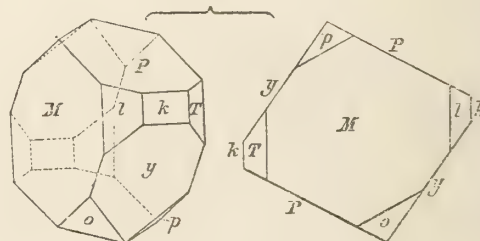


Fig. 41.



Feldspat-Gruppe (Anorthit)

Fig. 42.

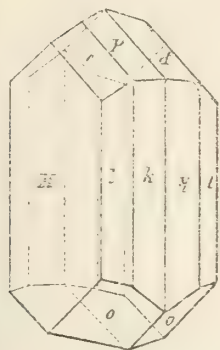


Fig. 43.

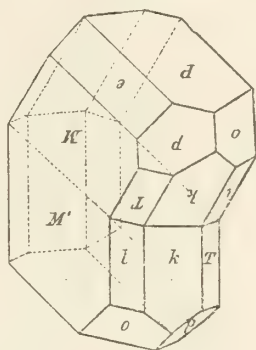


Fig. 44.

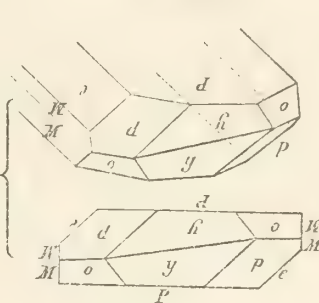


Fig. 45.

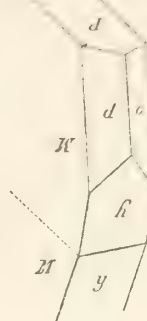


Fig. 46.

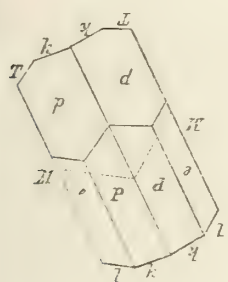
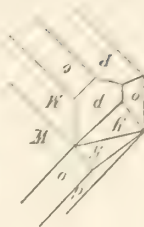


Fig. 47.

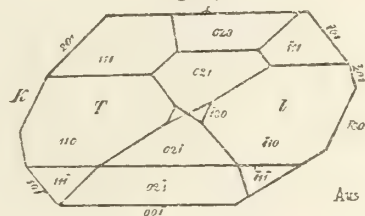


Fig. 48.

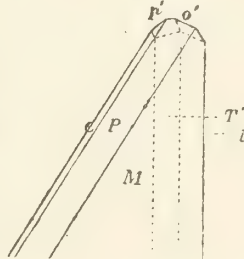


Fig. 49.

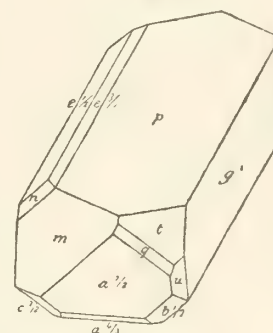


Fig. 50.

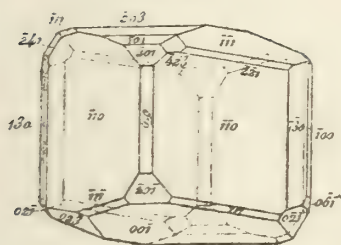


Fig. 51.

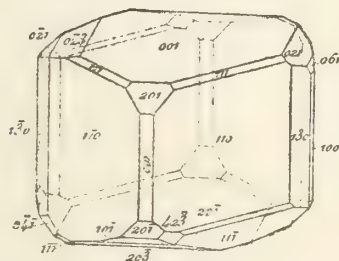


Fig. 52.

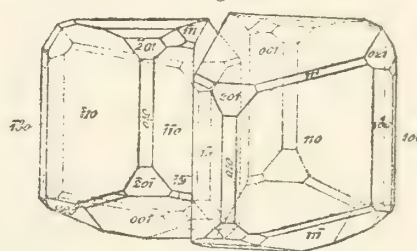


Fig. 53.

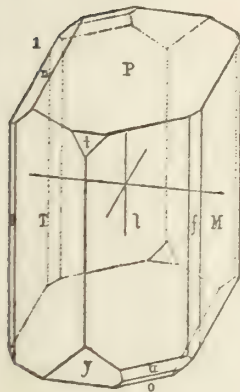


Fig. 54.

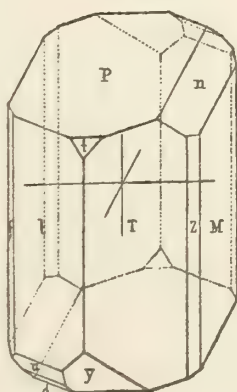


Fig. 55.

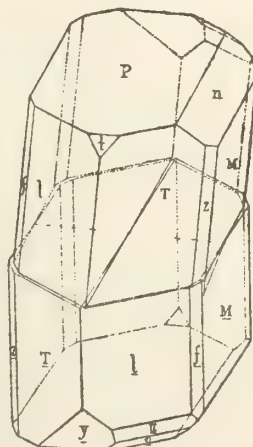
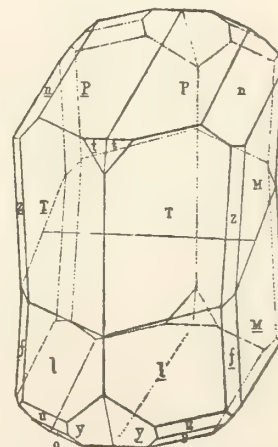
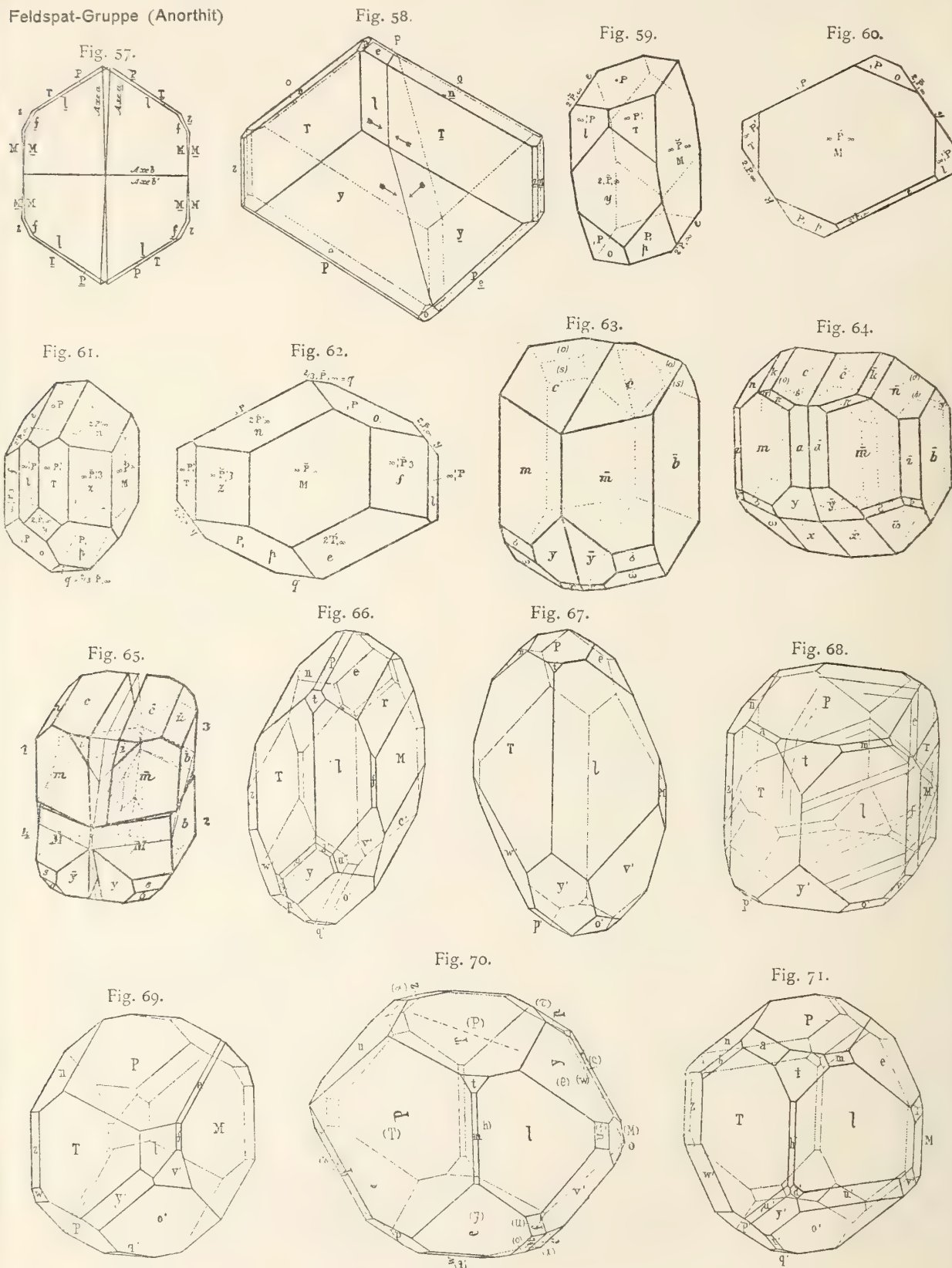


Fig. 56.



Feldspat-Gruppe (Anorthit)



Feidspat-Gruppe (Anorthit)

Fig. 72.

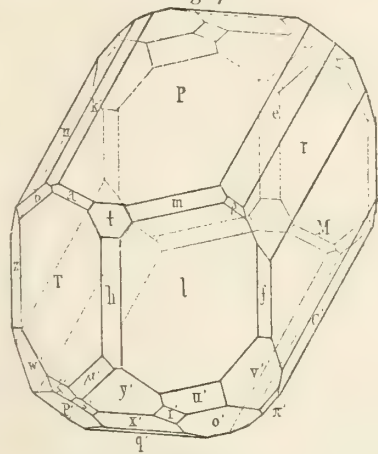


Fig. 73.

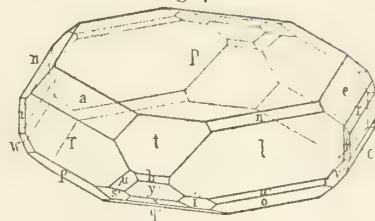


Fig. 74.



Fig. 76.

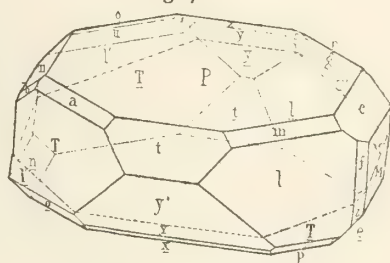


Fig. 75.

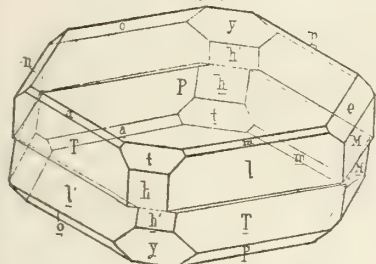


Fig. 77.

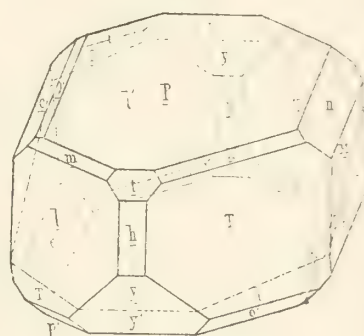


Fig. 79.

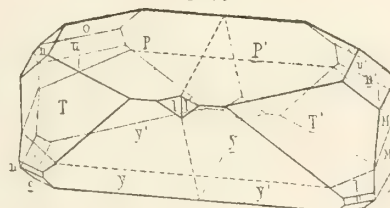


Fig. 78.

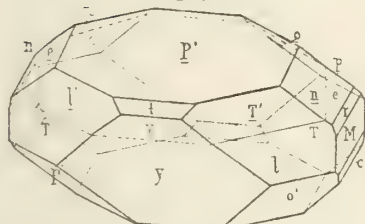


Fig. 81.

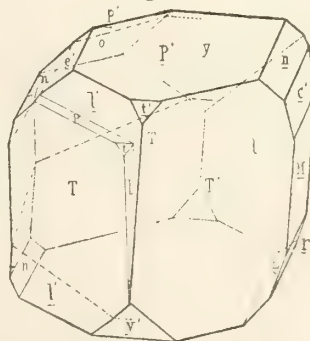


Fig. 80.

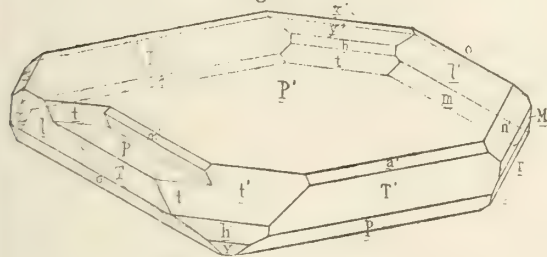


Fig. 84.

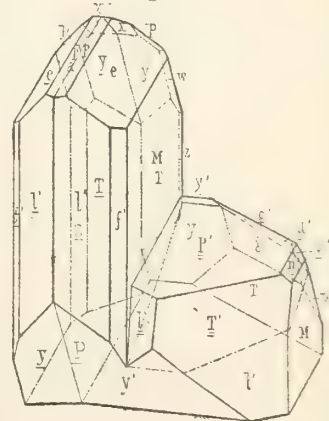


Fig. 82.

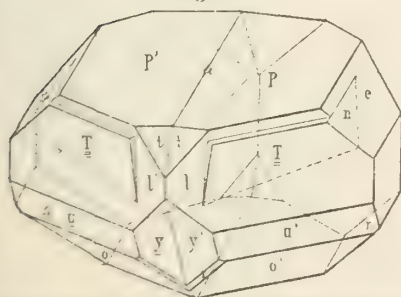
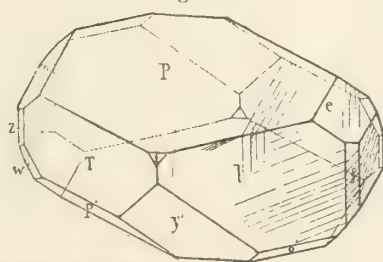


Fig. 83.



Feldspat-Gruppe (Anorthit)

Fig. 85.

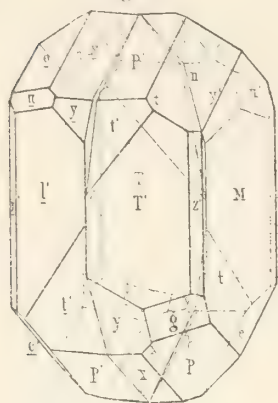


Fig. 86.

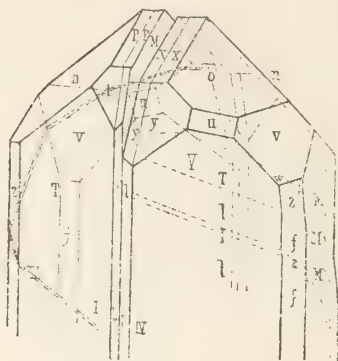


Fig. 87.

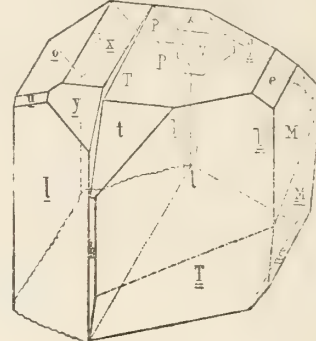


Fig. 89.

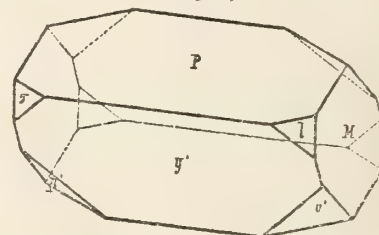


Fig. 88.

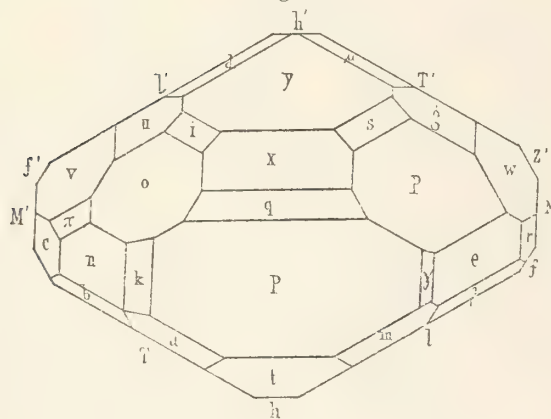


Fig. 90.

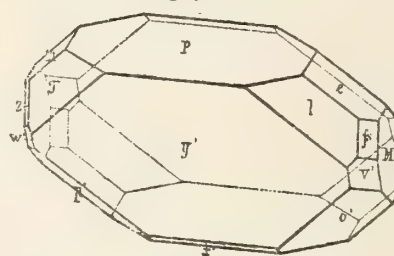


Fig. 91.

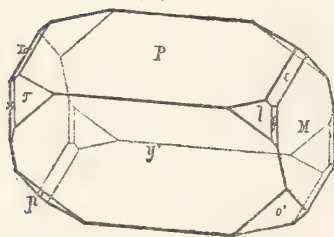


Fig. 92.

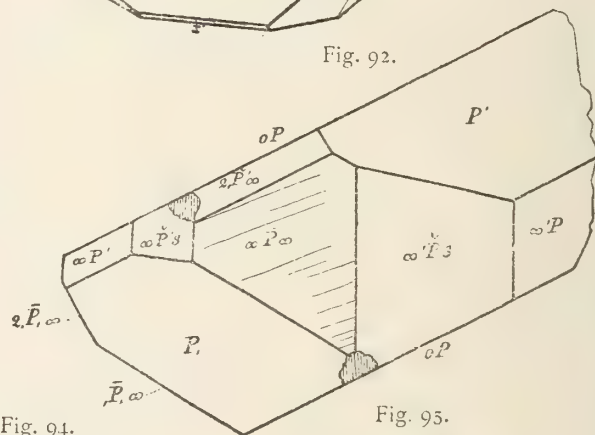


Fig. 93.

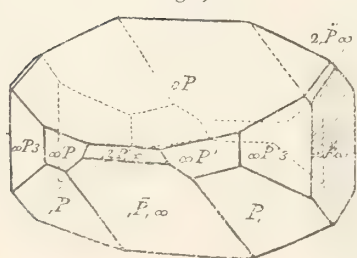


Fig. 94.

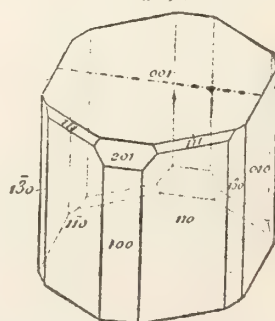
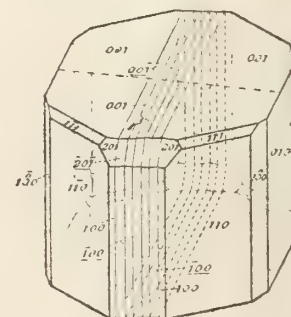


Fig. 95.



Feldspat-Gruppe (Anorthit)

Fig. 96.

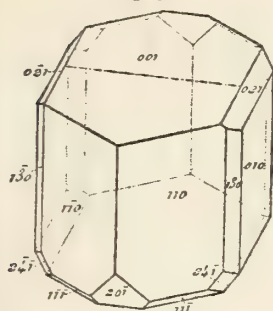


Fig. 97.

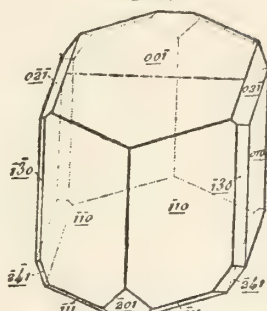


Fig. 98.

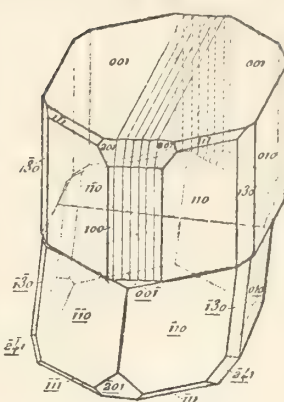


Fig. 99.

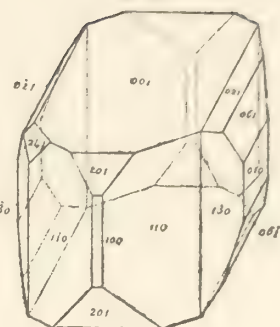


Fig. 100.

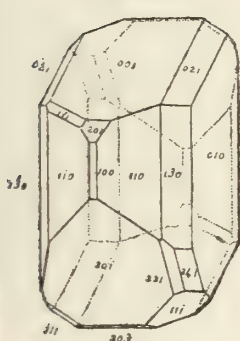


Fig. 101.

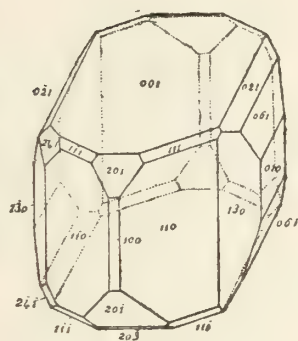


Fig. 102.

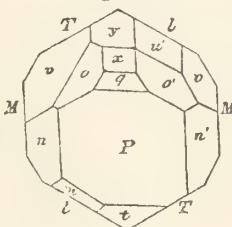


Fig. 103.

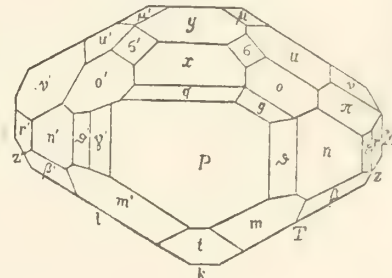


Fig. 105.

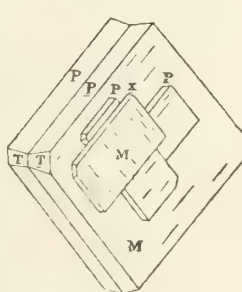


Fig. 106.

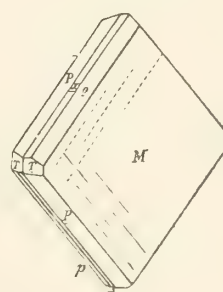


Fig. 107.

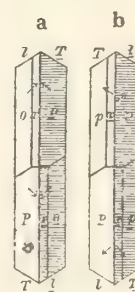
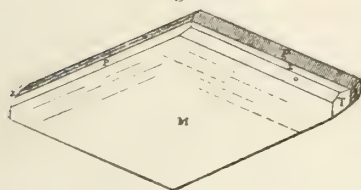


Fig. 104.



Feldspat-Gruppe (Anorthit)

Fig. 113.

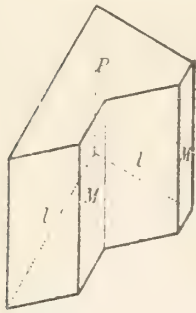


Fig. 114.

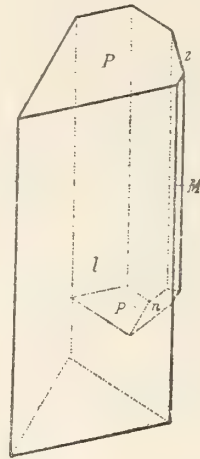


Fig. 115.

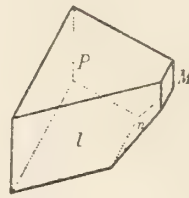


Fig. 117.

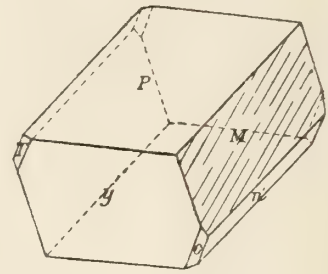


Fig. 116.

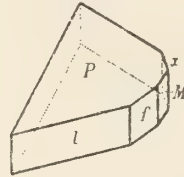


Fig. 118.

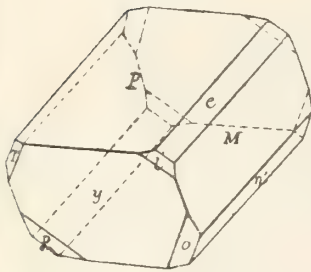


Fig. 119.

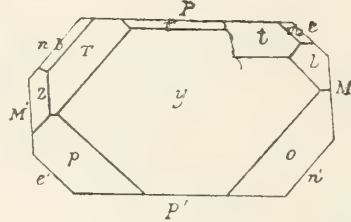


Fig. 120.

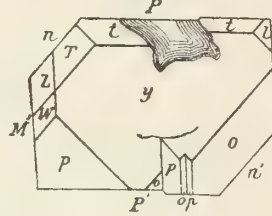


Fig. 121.

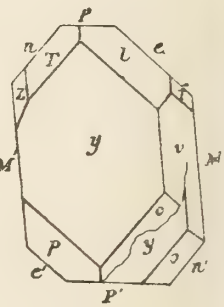


Fig. 122.

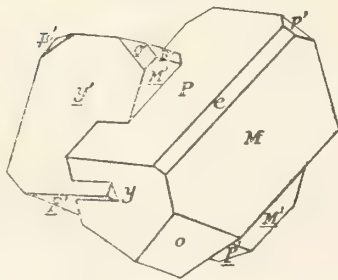


Fig. 123.

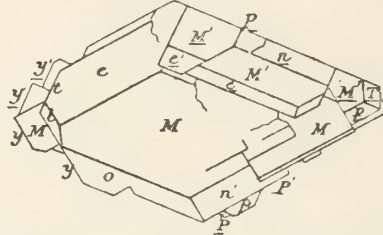


Fig. 124.

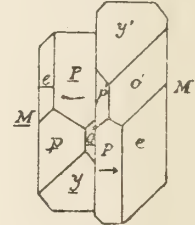


Fig. 125.

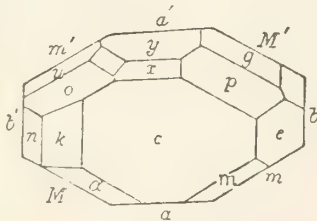


Fig. 126.

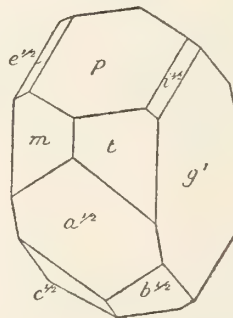


Fig. 127.

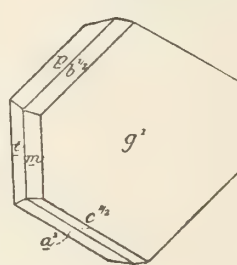


Fig. 128.

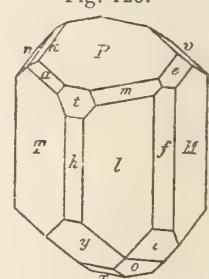


Fig. 129.

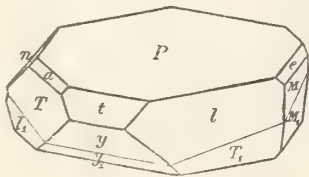


Fig. 130.

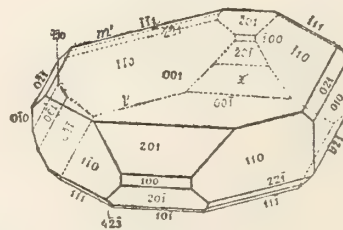
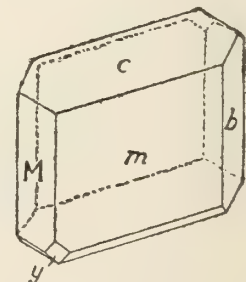


Fig. 131.



Feldspat-Gruppe (Anorthit)

Fig. 132.

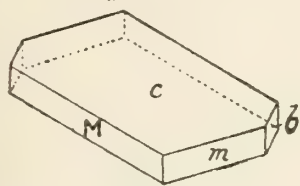


Fig. 133.

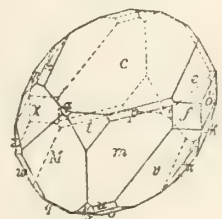
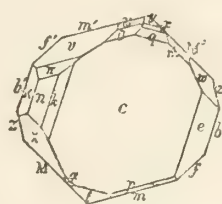


Fig. 134.

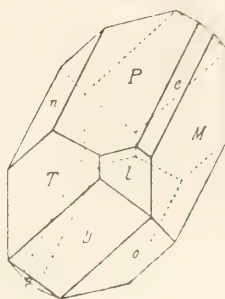


Fig. 135.

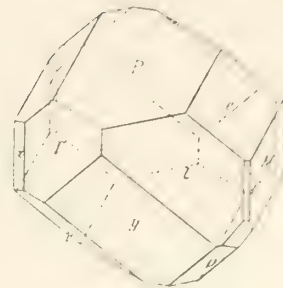


Fig. 136.

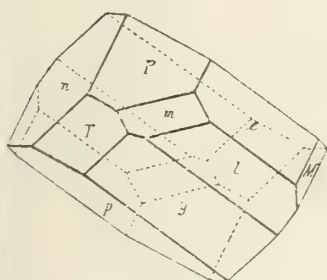


Fig. 137.

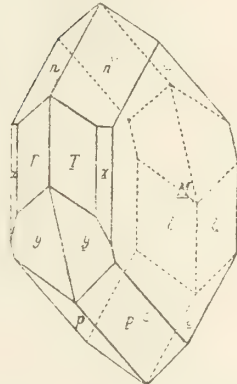


Fig. 138.

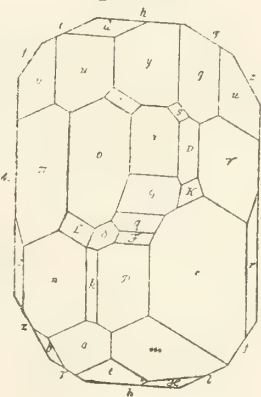


Fig. 139.

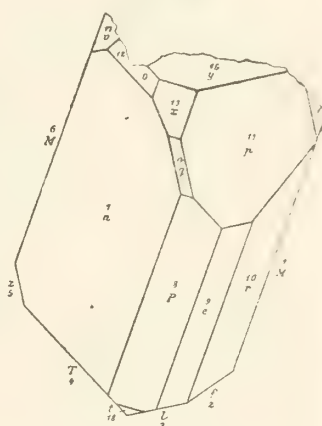


Fig. 140.

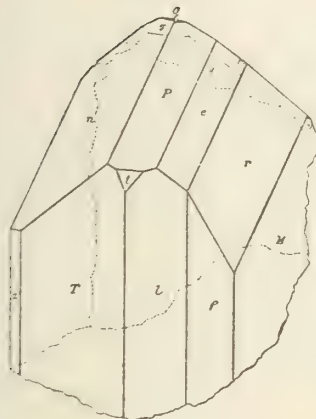


Fig. 141.

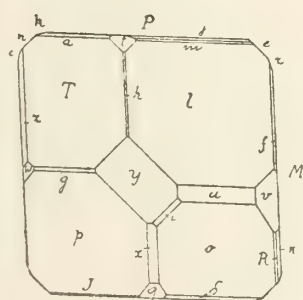


Fig. 142.

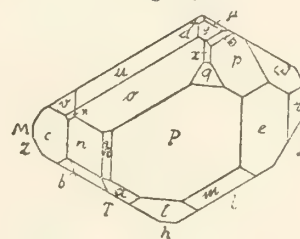


Fig. 143.

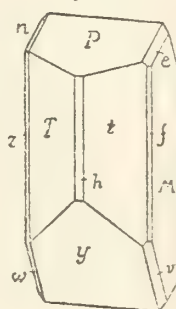


Fig. 144.

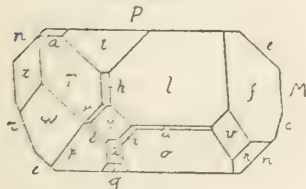


Fig. 145.

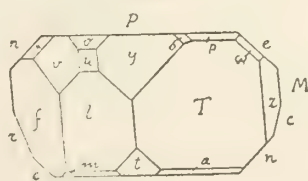
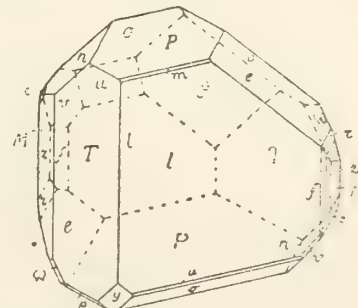


Fig. 146.



Feldspat-Gruppe (Anorthit)

Fig. 147.

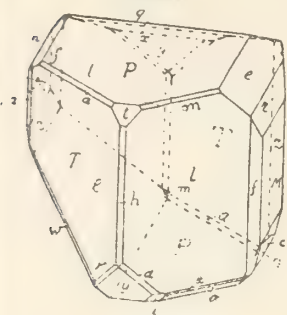


Fig. 148.

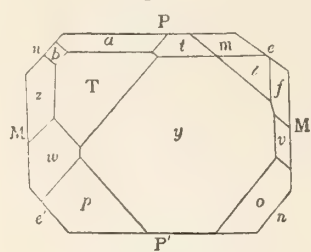


Fig. 149.

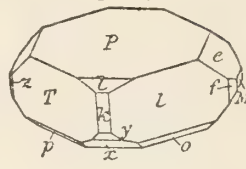
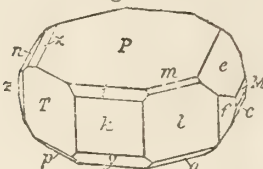


Fig. 150.



Übergangs-Plagioklase

Fig. 153.

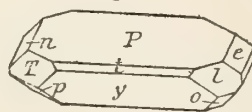


Fig. 1.

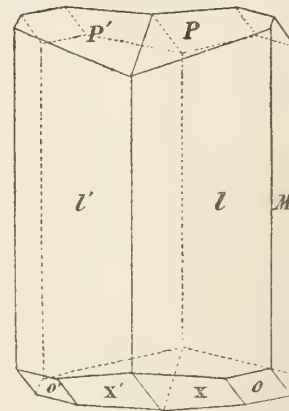


Fig. 152.

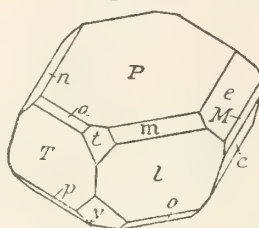


Fig. 154.

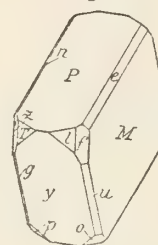


Fig. 151.

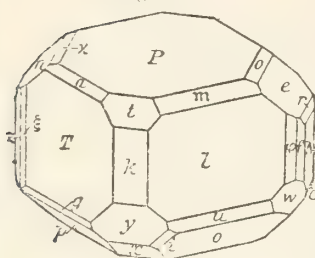


Fig. 3.

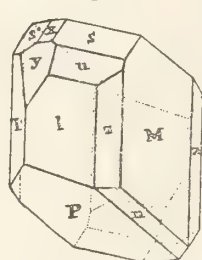


Fig. 4.

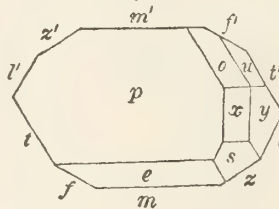


Fig. 5.

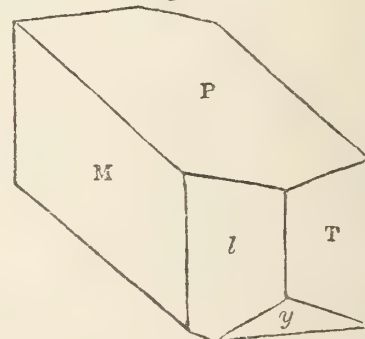


Fig. 2.

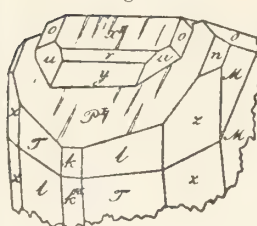


Fig. 7.

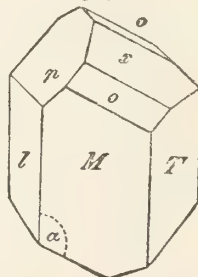


Fig. 8.

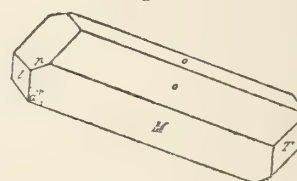


Fig. 6.

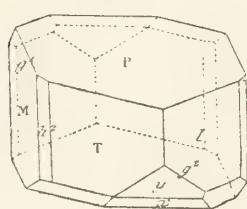


Fig. 10.

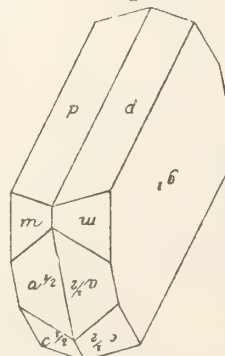


Fig. 11.

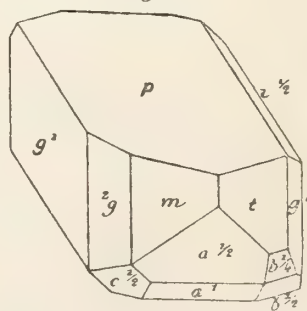


Fig. 12.

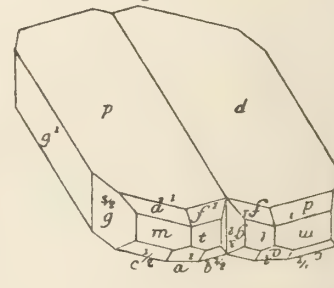
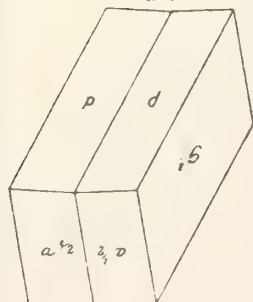


Fig. 9.



Feldspat-Gruppe (Übergangs-Plagioklasse)

Fig. 13.

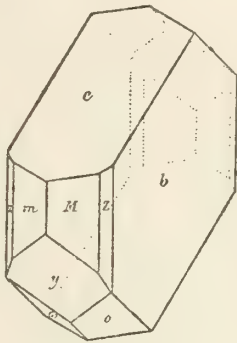


Fig. 14.

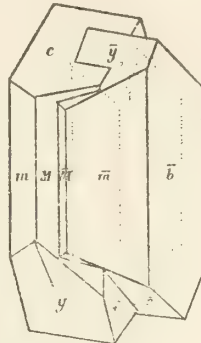


Fig. 15.

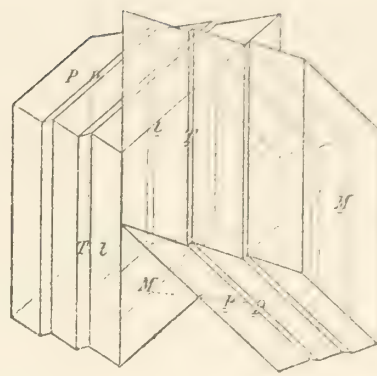


Fig. 16.

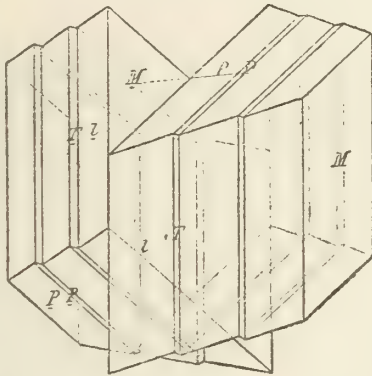


Fig. 17.

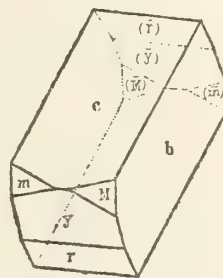


Fig. 18.

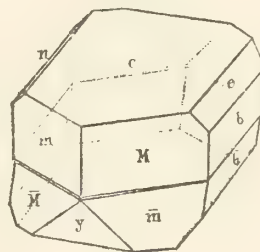


Fig. 19.

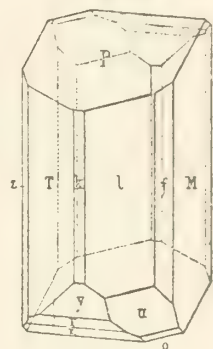


Fig. 21.

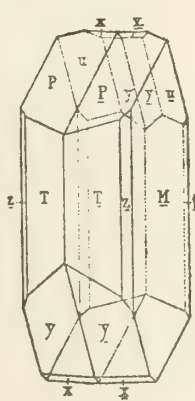


Fig. 22.

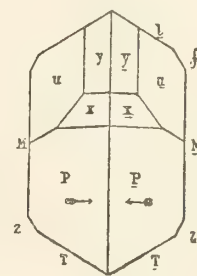


Fig. 23.

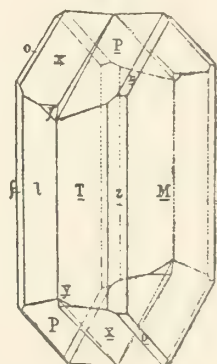


Fig. 20.

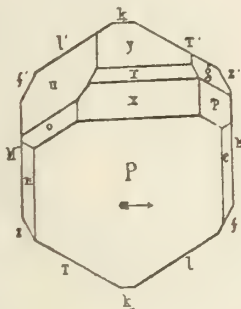


Fig. 26.

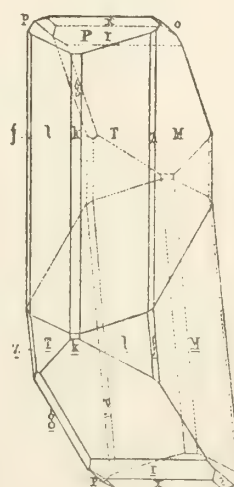


Fig. 24.

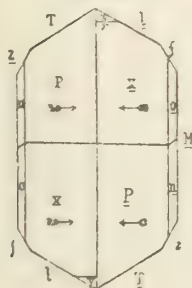


Fig. 25.

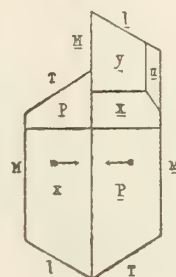
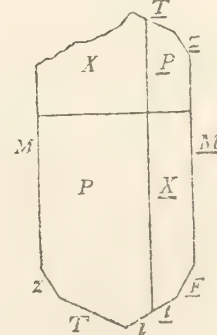


Fig. 27.



Feldspat-Gruppe (Übergangs-Plagioklase)

Fig. 28.

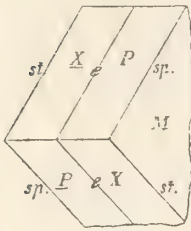


Fig. 29.

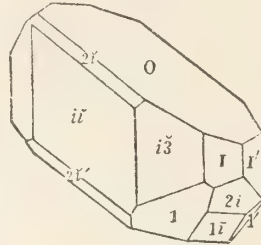


Fig. 30.

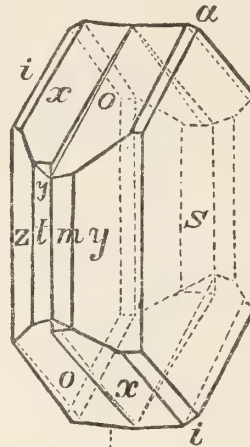


Fig. 31.

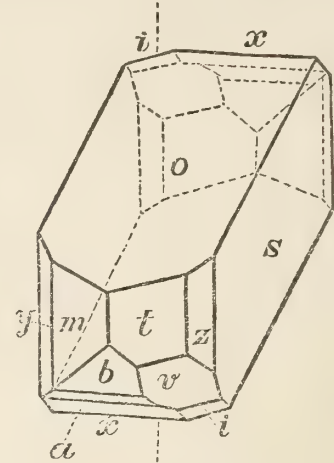


Fig. 32.

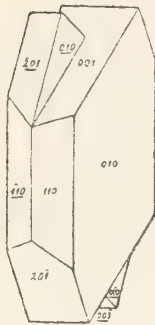


Fig. 33.

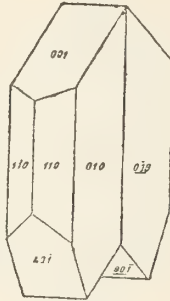


Fig. 34.

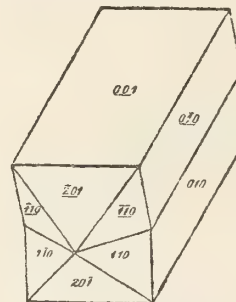


Fig. 35.

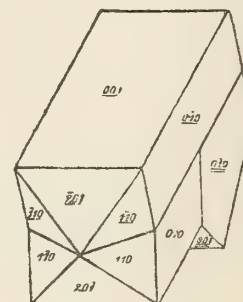


Fig. 36.

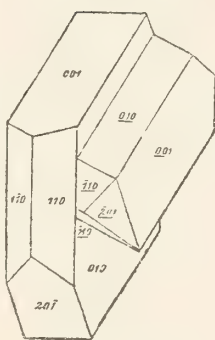


Fig. 37.

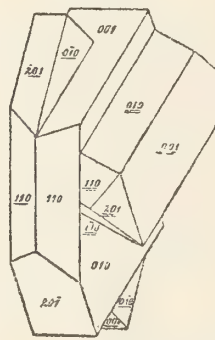


Fig. 38.

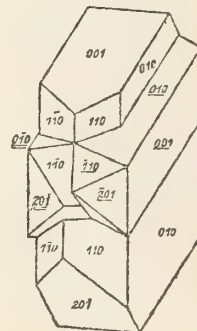


Fig. 39.

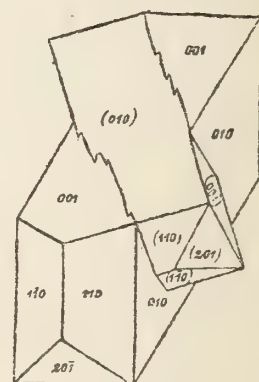


Fig. 40.

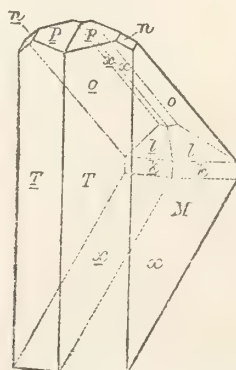


Fig. 41.

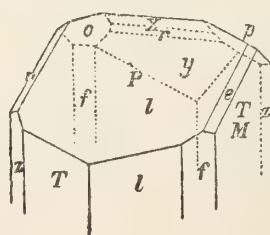
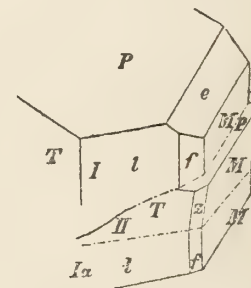


Fig. 42.



Feldspat-Gruppe (Übergangs-Plagioklasse)

Fig. 43.

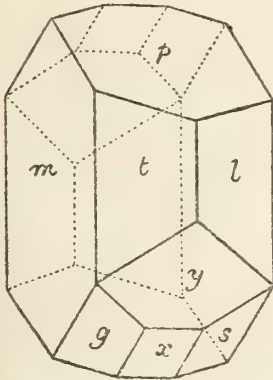


Fig. 44.

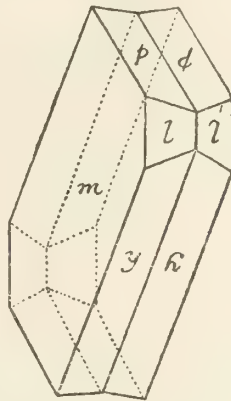


Fig. 45.

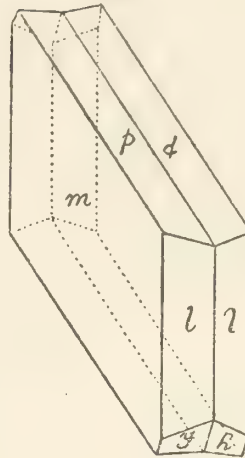


Fig. 46.

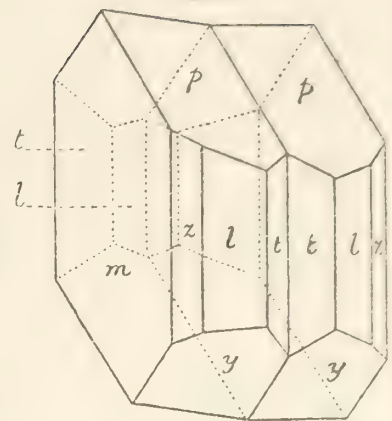


Fig. 47.

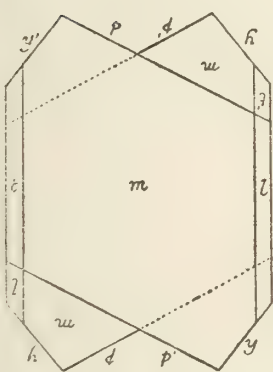


Fig. 48.

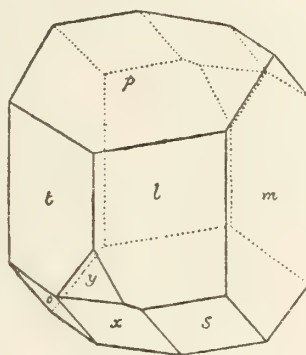


Fig. 49.

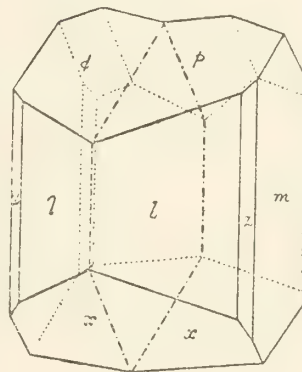


Fig. 50.

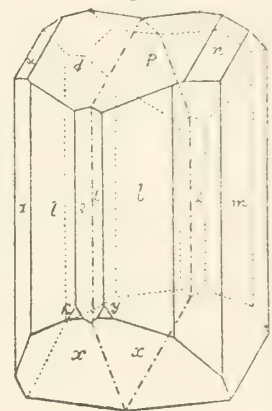


Fig. 51.

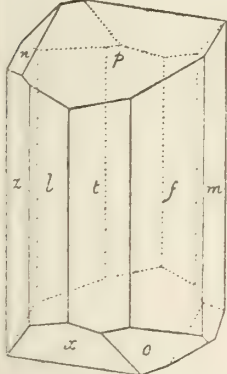


Fig. 52.

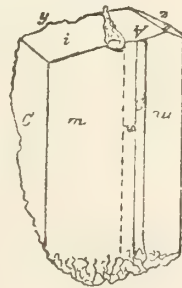


Fig. 53.

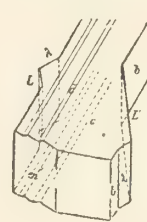


Fig. 54.

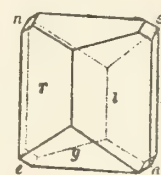


Fig. 55.

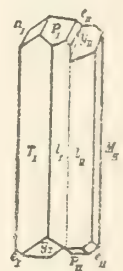


Fig. 56.

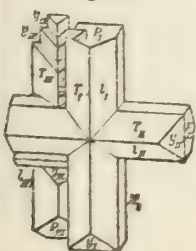


Fig. 57.

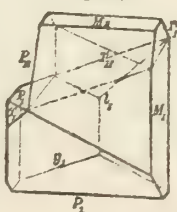


Fig. 58.

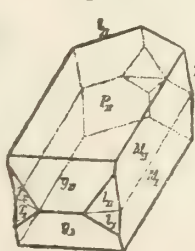


Fig. 59.

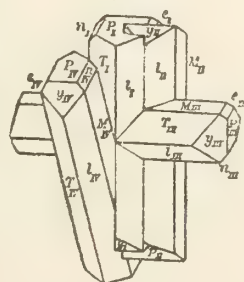


Fig. 60.

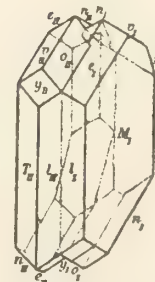
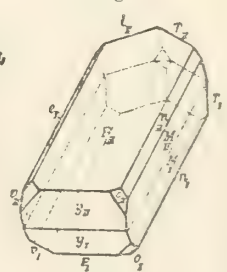


Fig. 61.



Feldspat-Gruppe (Übergangs-Plagioklasse)

Fig. 62.

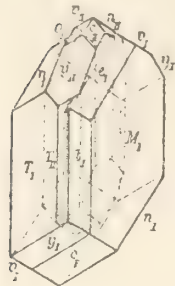


Fig. 63.

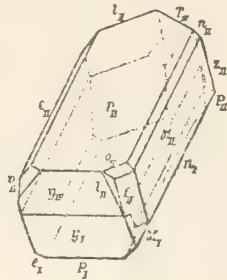


Fig. 64.

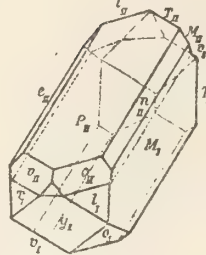


Fig. 65.

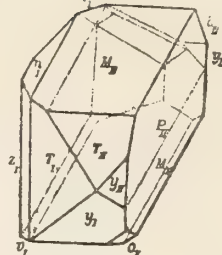


Fig. 66.

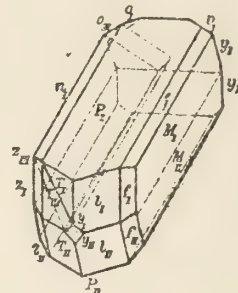


Fig. 67.



Fig. 68.

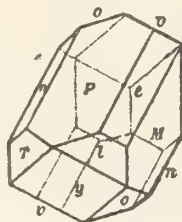


Fig. 69.

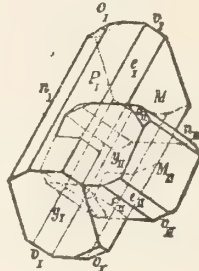


Fig. 70.

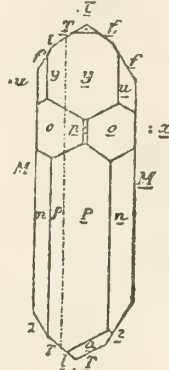


Fig. 71.

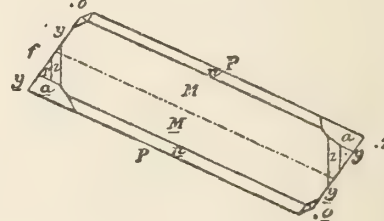


Fig. 73.

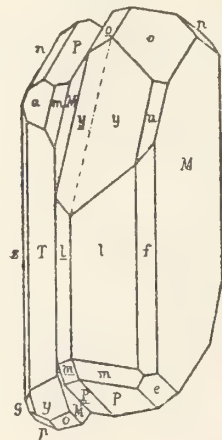


Fig. 72.

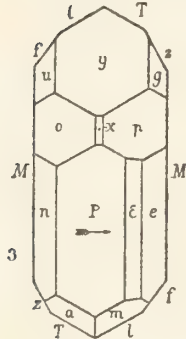


Fig. 74.

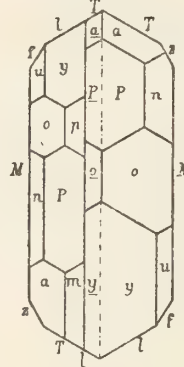


Fig. 75.

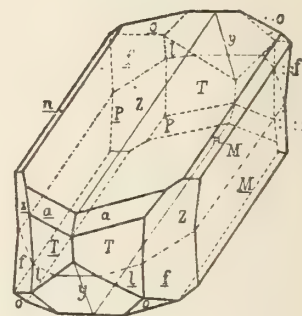


Fig. 76.

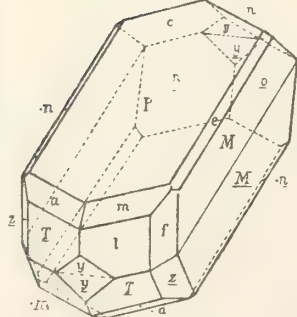


Fig. 77.

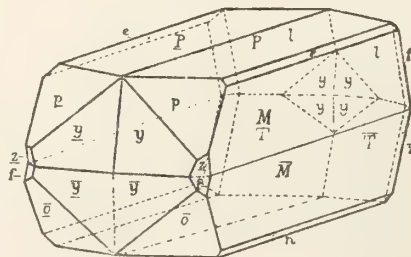
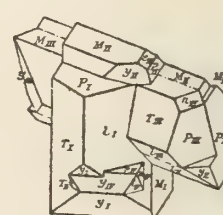


Fig. 78.



Fig. 79.



Feldspat-Gruppe (Übergangs-Plagioklasse)

Fig. 80.

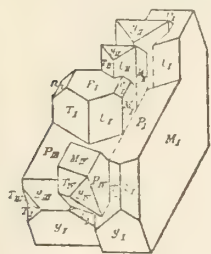


Fig. 81.

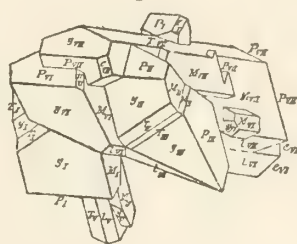


Fig. 82.

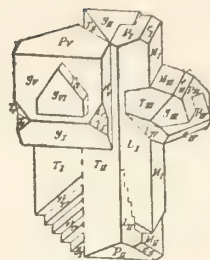


Fig. 83.



Fig. 84.

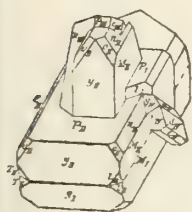


Fig. 85.

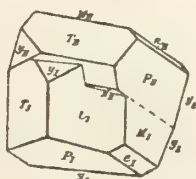


Fig. 86.

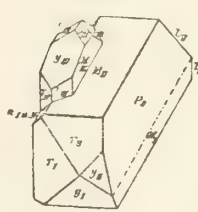


Fig. 87.

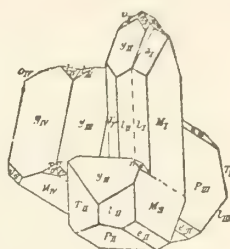


Fig. 88.

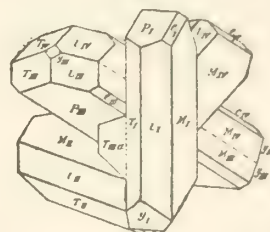


Fig. 89.

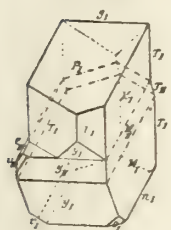


Fig. 90.

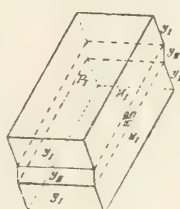


Fig. 91.

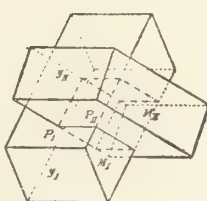


Fig. 92.

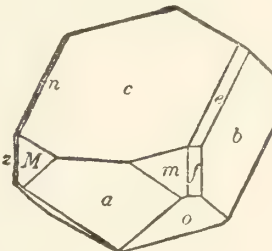


Fig. 93.

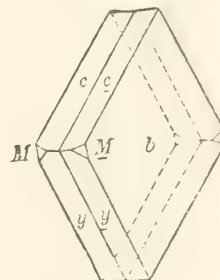


Fig. 94.

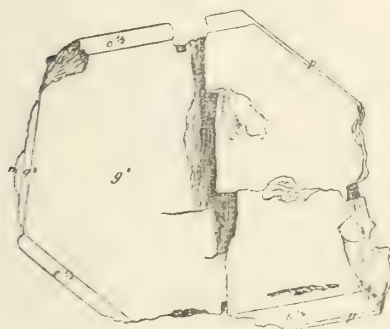


Fig. 95.

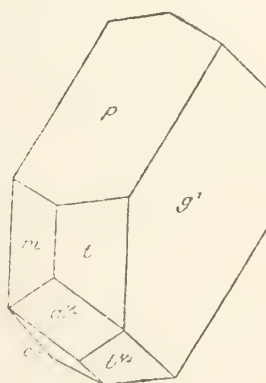


Fig. 96.

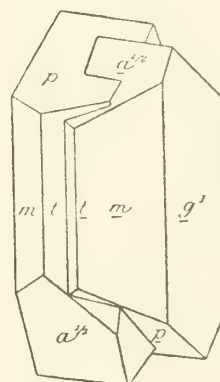


Fig. 97.

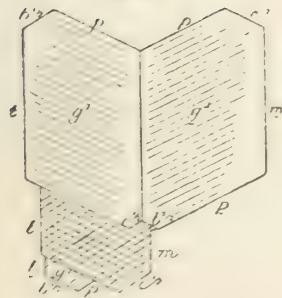


Fig. 98.

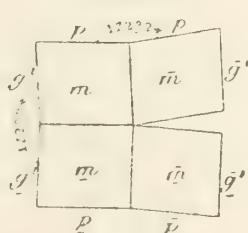


Fig. 99.

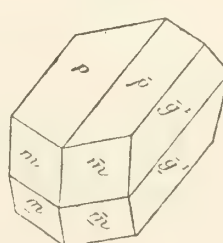
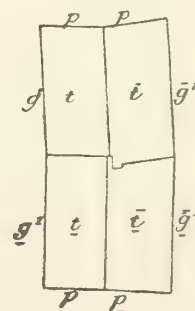


Fig. 100.



Feldspat-Gruppe (Übergangs-Plagioklase)

Fig. 101.

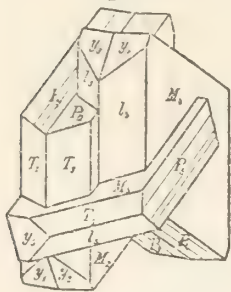


Fig. 102.

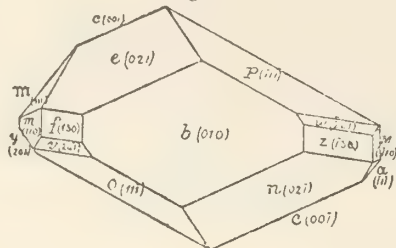


Fig. 103.

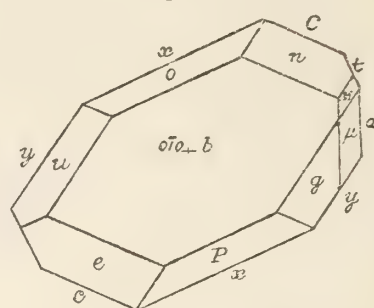


Fig. 104.

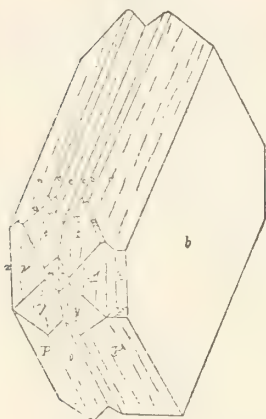


Fig. 105.

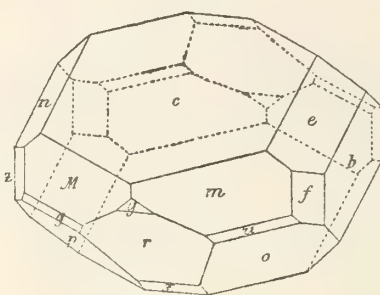


Fig. 106.

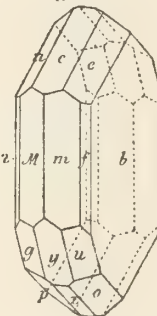


Fig. 107.

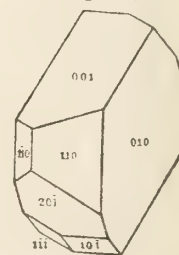


Fig. 110.

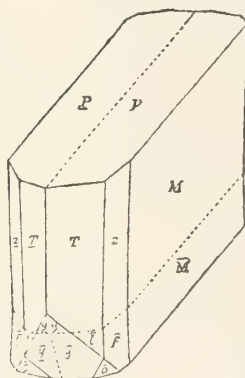


Fig. 111.

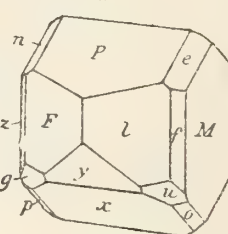


Fig. 112.

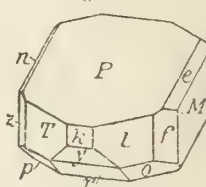


Fig. 108.

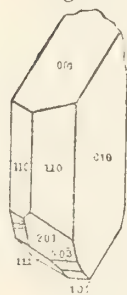


Fig. 109.

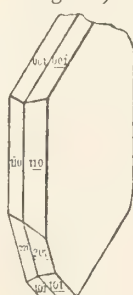


Fig. 113.

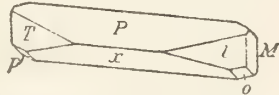


Fig. 114.

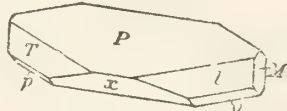


Fig. 115.

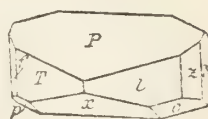


Fig. 116.

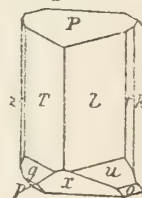


Fig. 117.

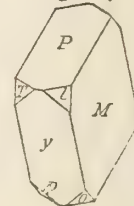


Fig. 4.

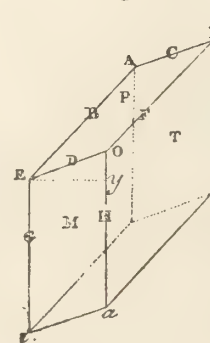
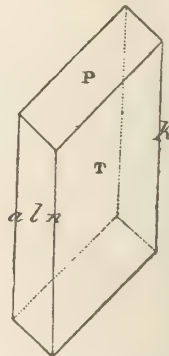


Fig. 5.



Orthoklas

Fig. 1.

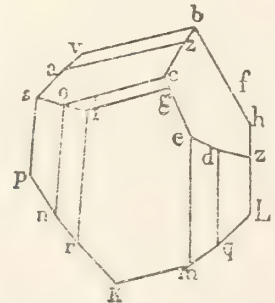


Fig. 2.

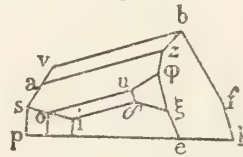
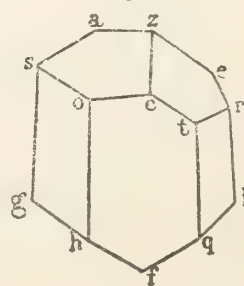


Fig. 3.



Feldspat-Gruppe (Orthoklas)

Fig. 6.

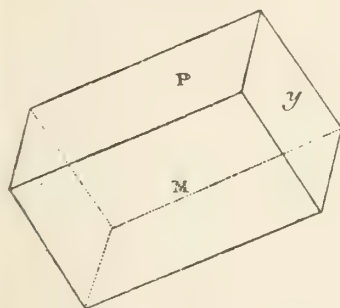


Fig. 7.

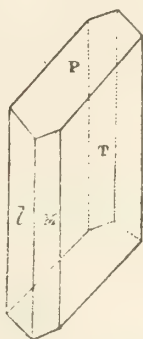


Fig. 8.

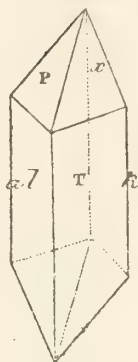


Fig. 9.

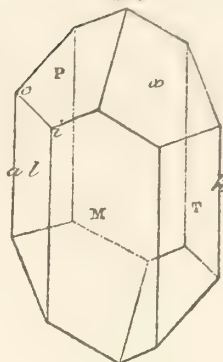


Fig. 10.

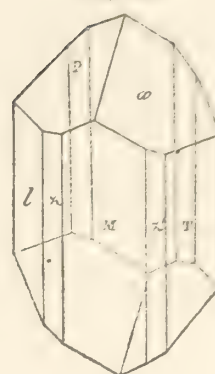


Fig. 11.

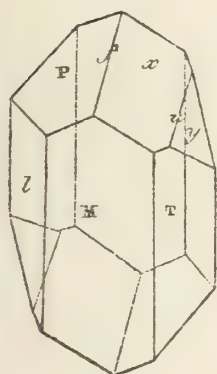


Fig. 12.

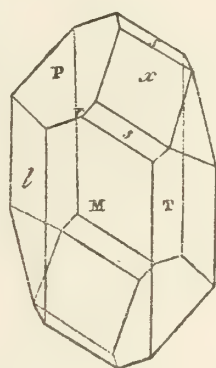


Fig. 13.

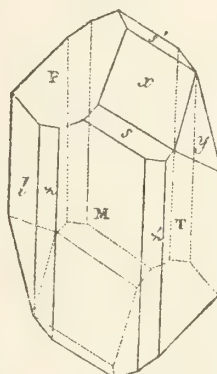


Fig. 14.

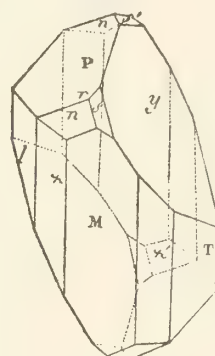


Fig. 15.



Fig. 16.

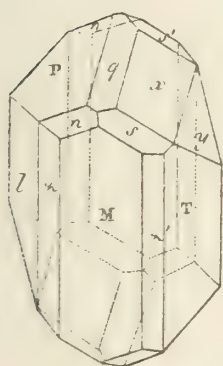


Fig. 17.

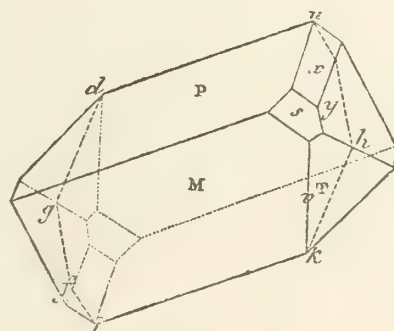


Fig. 18.

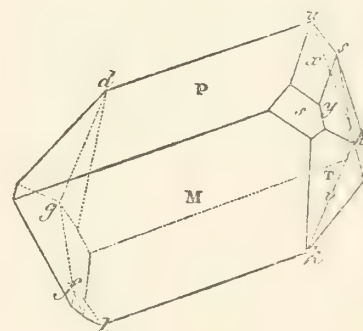


Fig. 19.

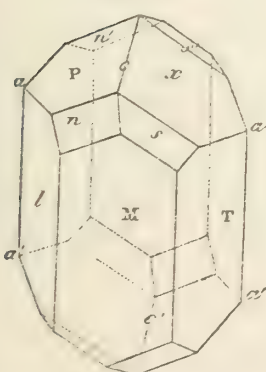


Fig. 20.

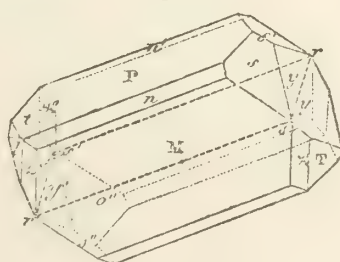
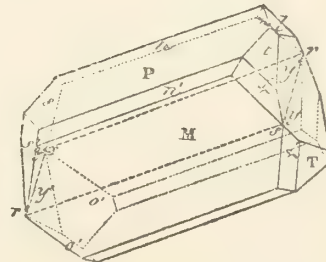


Fig. 21.



Feldspat-Gruppe (Orthoklas)

Fig. 22.

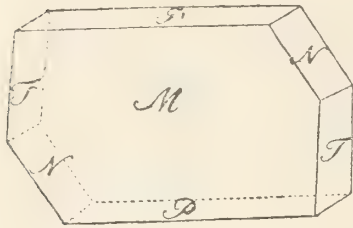


Fig. 23.

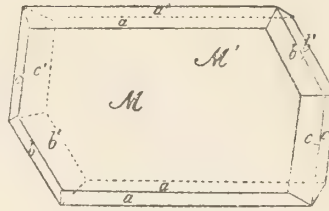


Fig. 24.

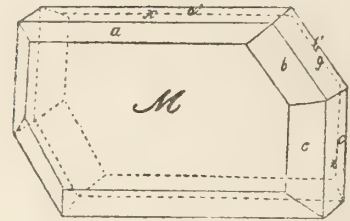


Fig. 25.

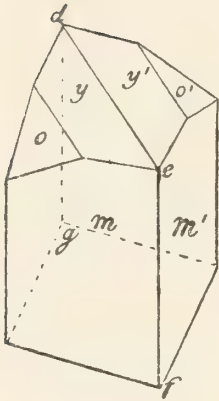


Fig. 26.

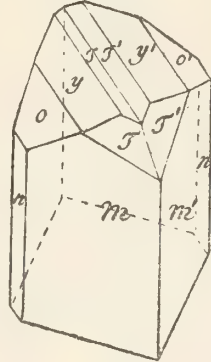


Fig. 27.

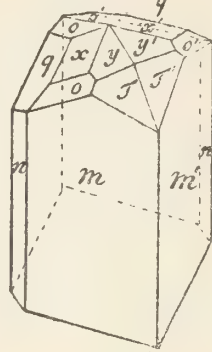


Fig. 28.



Fig. 29.

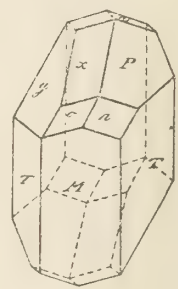


Fig. 30.

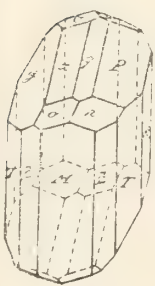


Fig. 31.

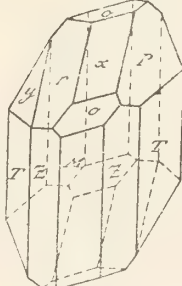


Fig. 32.



Fig. 33.

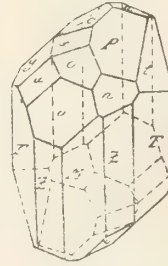


Fig. 34.



Fig. 35.

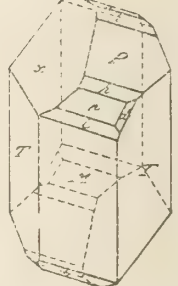


Fig. 36.

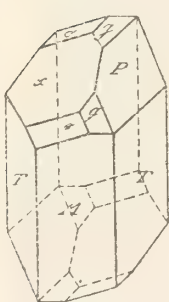


Fig. 37.

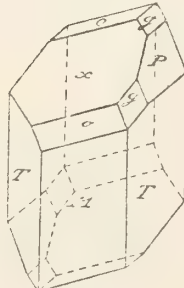


Fig. 38.



Fig. 39.



Fig. 40.

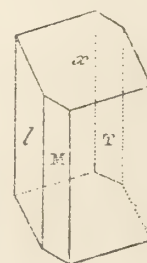
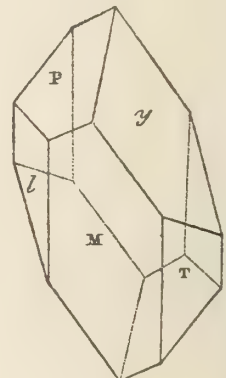


Fig. 41.



Feldspat-Gruppe (Orthoklas)

Fig. 42.

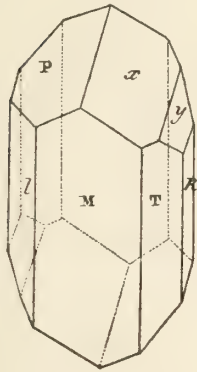


Fig. 43.

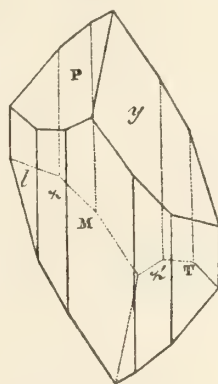


Fig. 44.

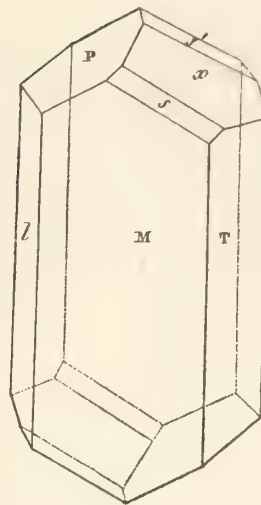


Fig. 45.

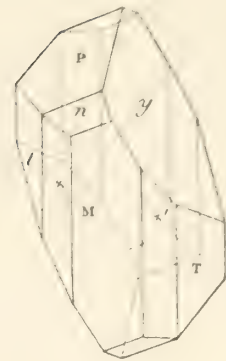


Fig. 46.

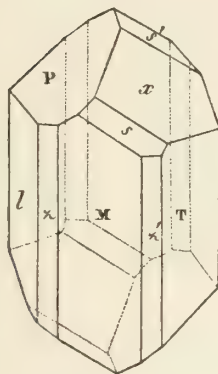


Fig. 48.

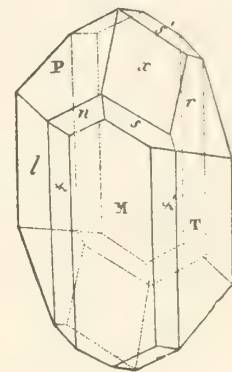


Fig. 47.

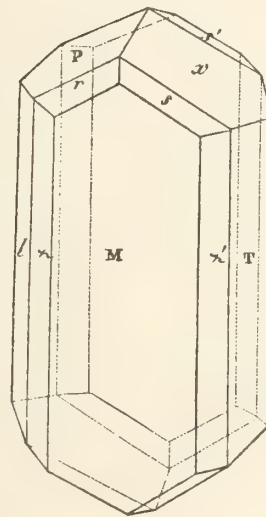


Fig. 49.

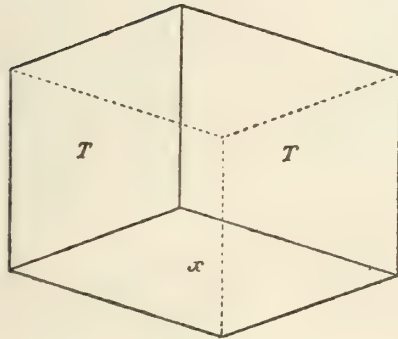


Fig. 50.

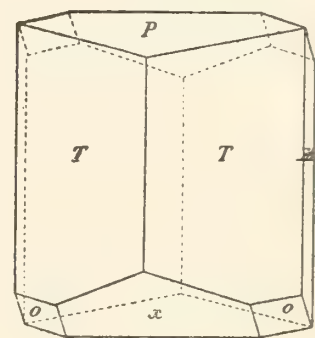


Fig. 52.

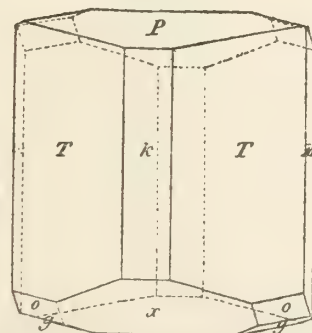


Fig. 54.

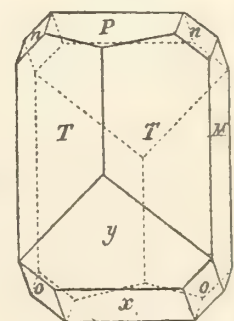


Fig. 51.

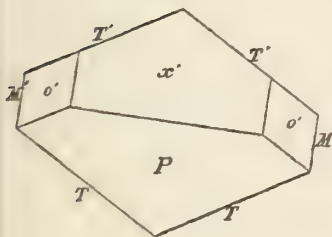
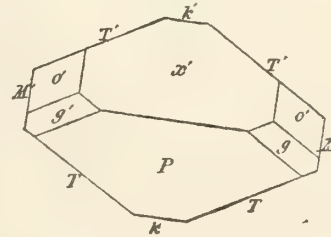


Fig. 53.



Feldspat-Gruppe (Orthoklas)

Fig. 56.

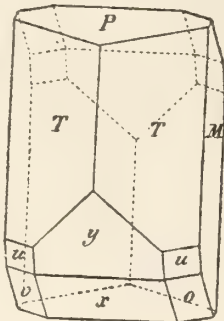


Fig. 58.

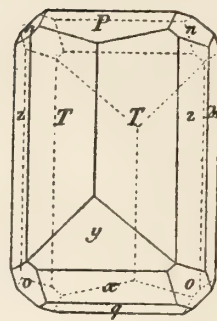


Fig. 59.

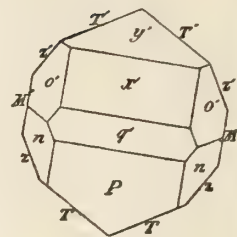


Fig. 55.

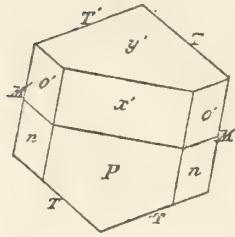


Fig. 57.

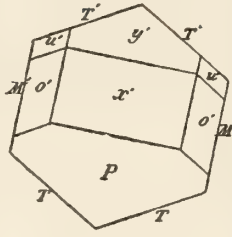


Fig. 60.

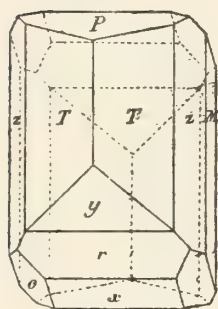


Fig. 61.

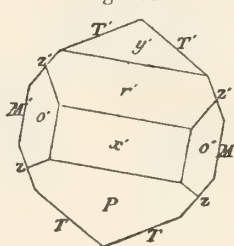


Fig. 62.

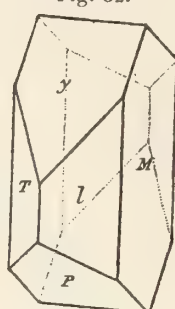


Fig. 63.

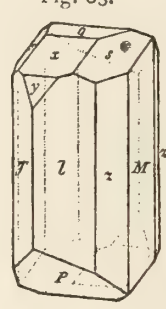


Fig. 64.

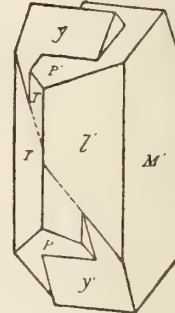


Fig. 65.

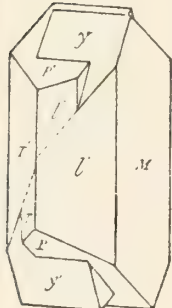


Fig. 66.

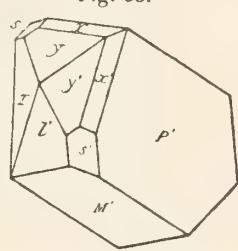


Fig. 67.

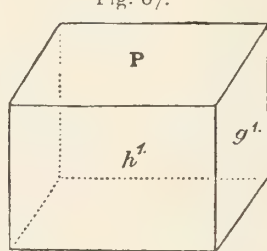


Fig. 68.

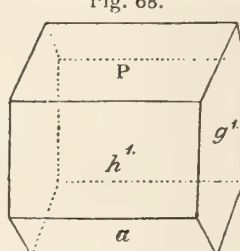


Fig. 69.

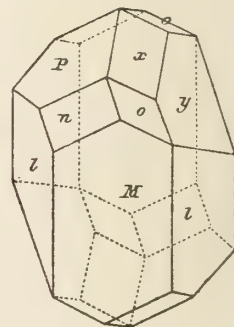


Fig. 70.

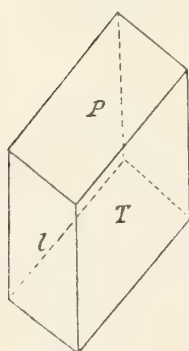


Fig. 71.

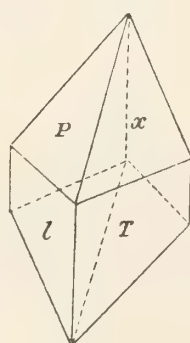


Fig. 72.

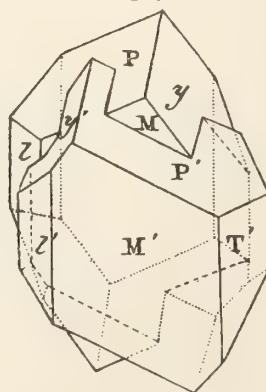
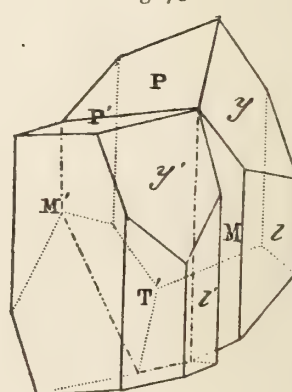


Fig. 73.



Feldspat-Gruppe (Orthoklas)

Fig. 74.

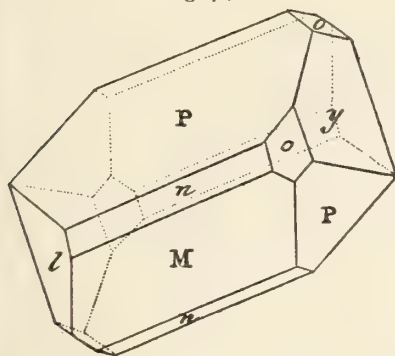


Fig. 75.

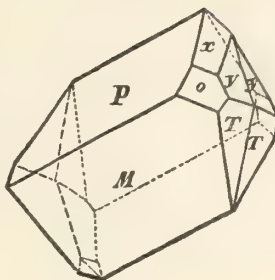


Fig. 76.

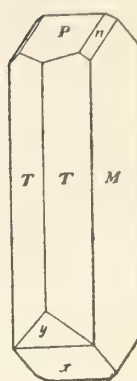


Fig. 77.

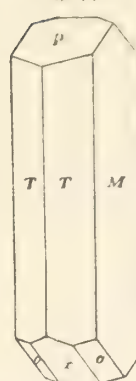


Fig. 78.

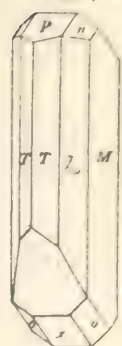


Fig. 79.



Fig. 80.

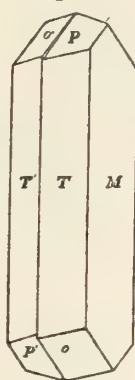


Fig. 81.



Fig. 82.

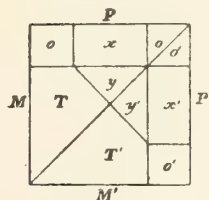


Fig. 84.

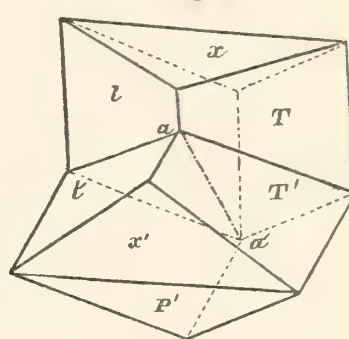


Fig. 85.

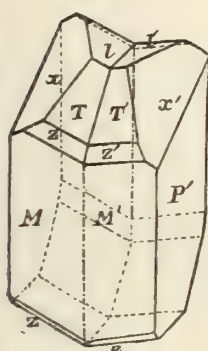


Fig. 83.

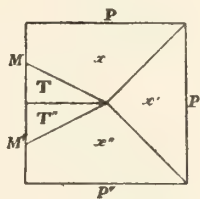


Fig. 88.

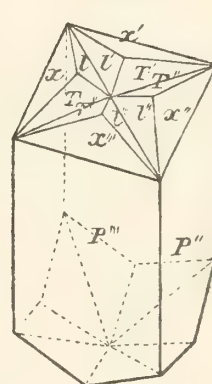


Fig. 86.

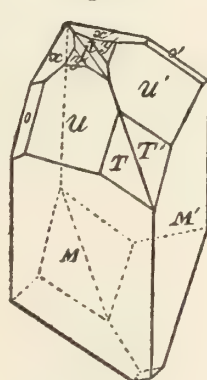


Fig. 87.

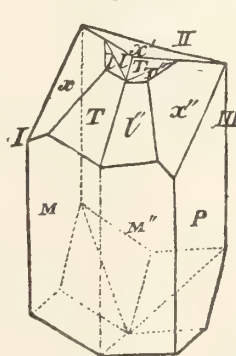


Fig. 89.

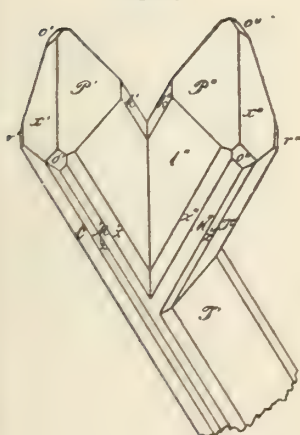


Fig. 90.

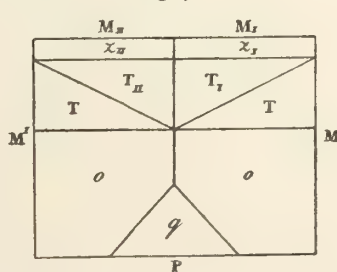
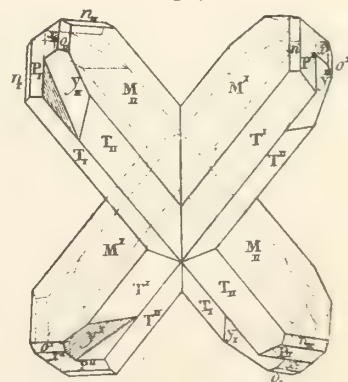


Fig. 91.



Feldspat-Gruppe (Orthoklas)

Fig. 92.

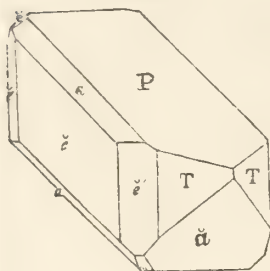


Fig. 93.

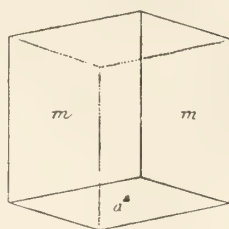


Fig. 94.

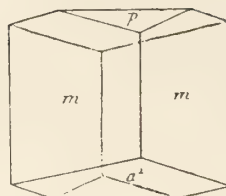


Fig. 95.

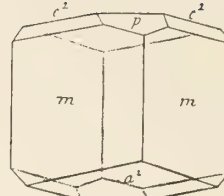


Fig. 96.

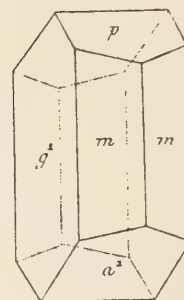


Fig. 97.

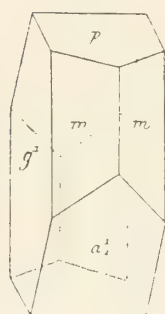


Fig. 98.

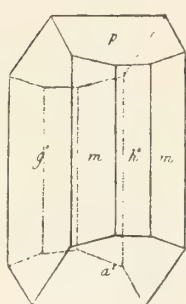


Fig. 99.

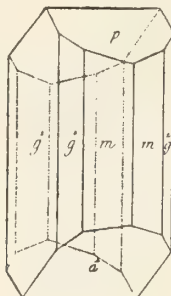


Fig. 100.

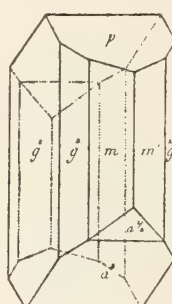


Fig. 101.

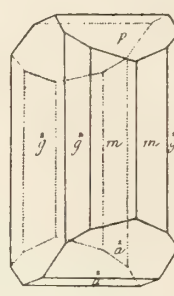


Fig. 102.

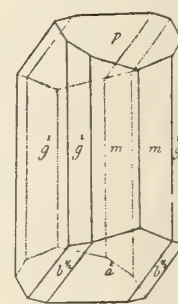


Fig. 103.

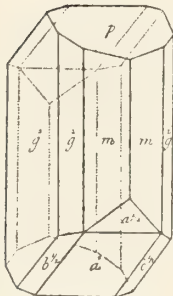


Fig. 104.

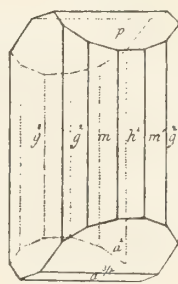


Fig. 105.

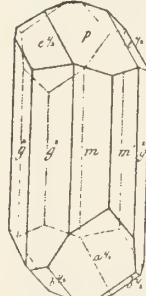


Fig. 106.

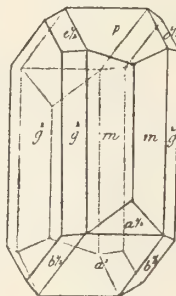


Fig. 107.

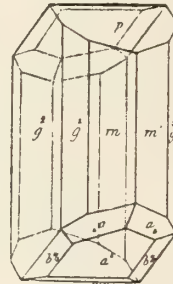


Fig. 108.

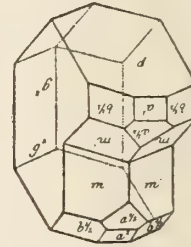


Fig. 109.

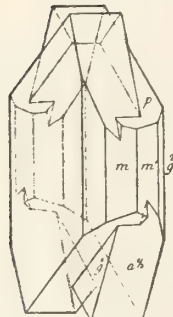


Fig. 110.

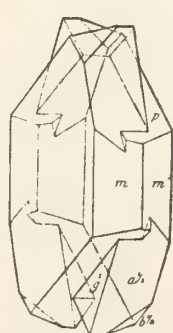


Fig. 111.

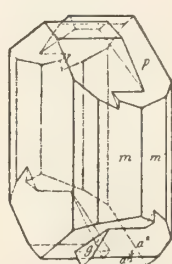


Fig. 112.

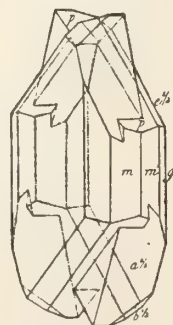
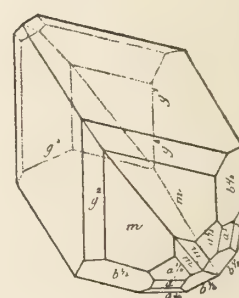


Fig. 113.



Feldspat-Gruppe (Orthoklas)

Fig. 114.

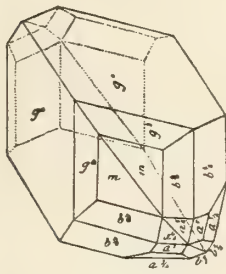


Fig. 115.

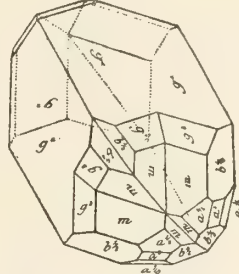


Fig. 116.

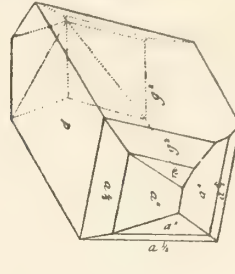


Fig. 117.

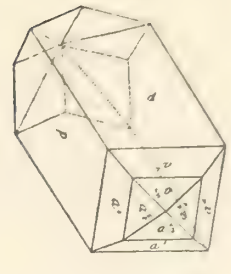


Fig. 118.

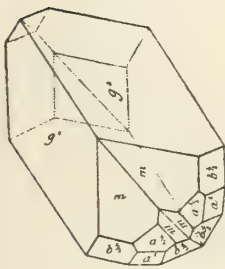


Fig. 119.

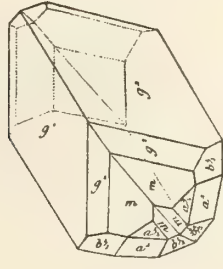


Fig. 120.

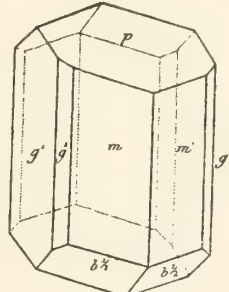


Fig. 121.

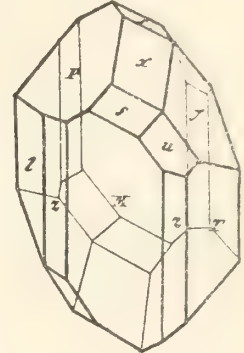


Fig. 122.

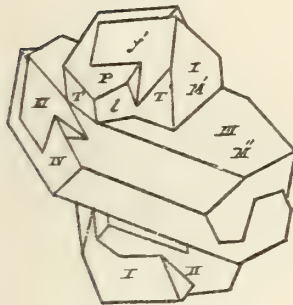


Fig. 123.

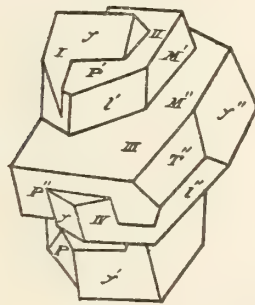


Fig. 124.

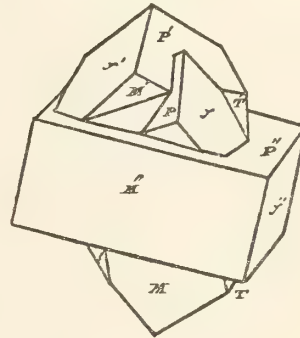


Fig. 125.

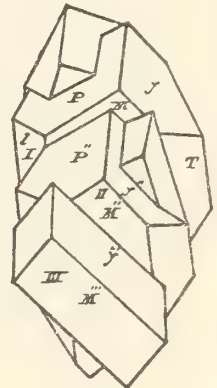


Fig. 126.

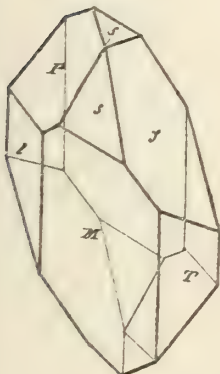


Fig. 127.

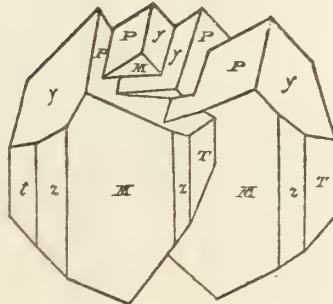


Fig. 128.

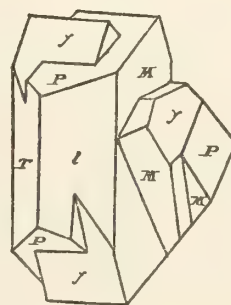
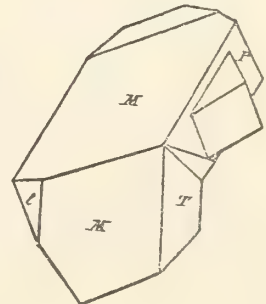


Fig. 129.



Feldspat-Gruppe (Orthoklas)

Fig. 130.

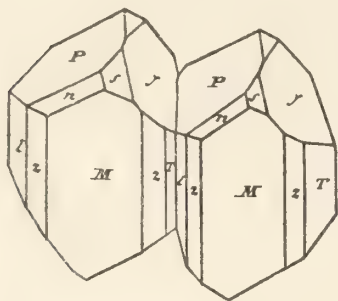


Fig. 131.

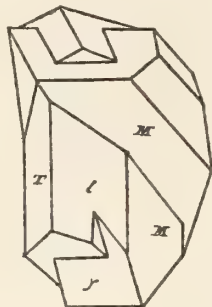


Fig. 132.

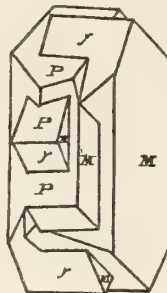


Fig. 133.

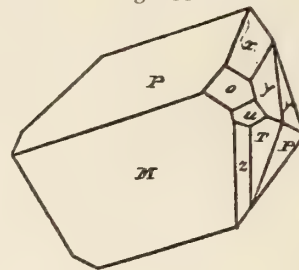


Fig. 134.

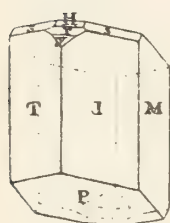


Fig. 135.

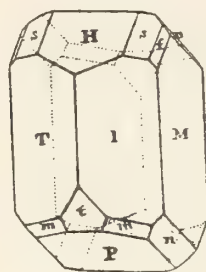


Fig. 136.

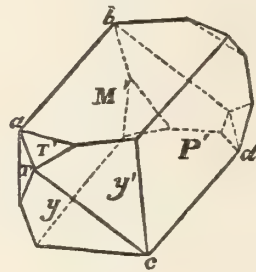


Fig. 137.

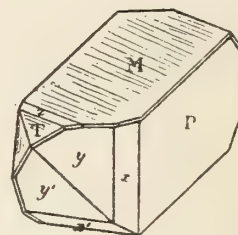


Fig. 138.

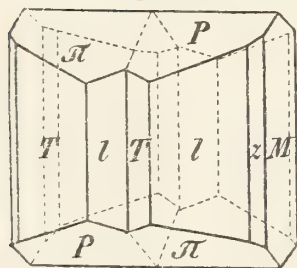


Fig. 139.

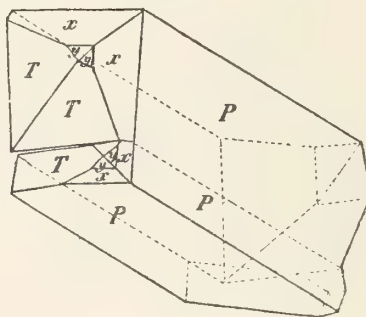


Fig. 140.

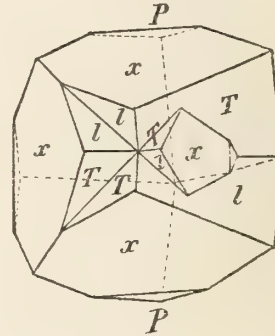


Fig. 141.

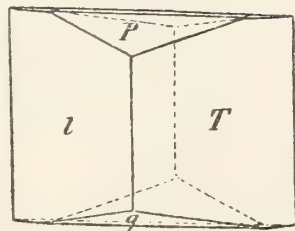


Fig. 142.

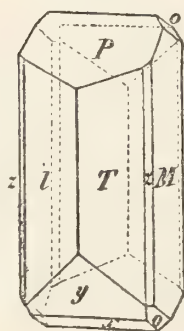


Fig. 143.

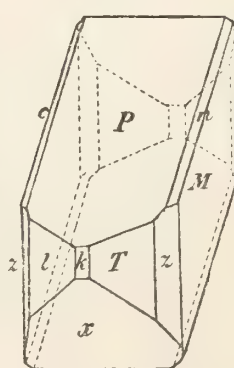


Fig. 144.

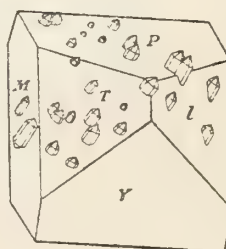
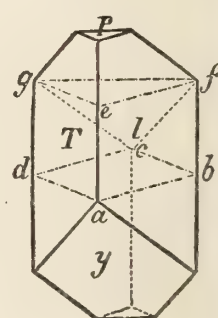


Fig. 145.



Feldspat-Gruppe (Orthoklas)

Fig. 146.

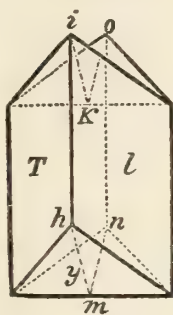


Fig. 147.

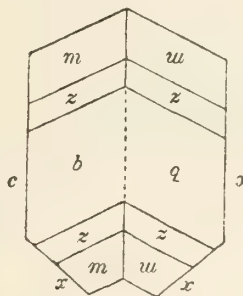


Fig. 148.

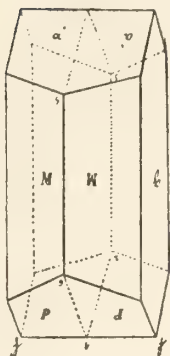


Fig. 149.

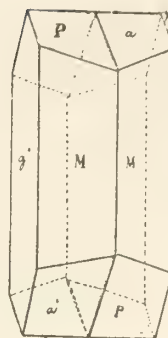


Fig. 150.

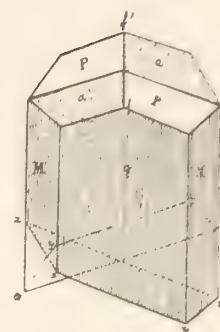


Fig. 151.

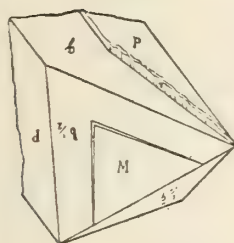


Fig. 152.

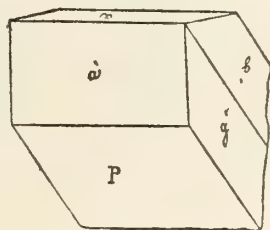


Fig. 153.

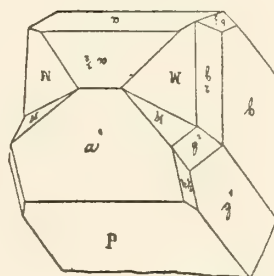


Fig. 154.



Fig. 155.

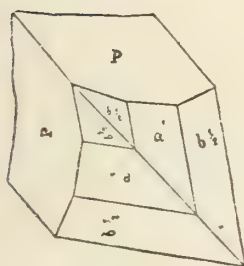


Fig. 156.

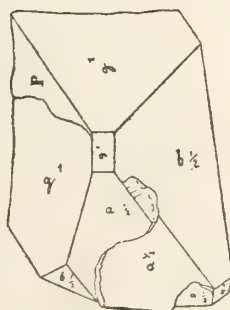


Fig. 157.

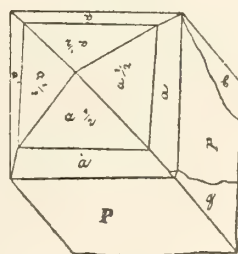


Fig. 158.

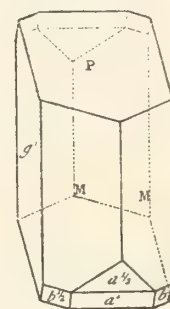


Fig. 159.

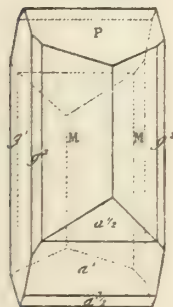


Fig. 160.

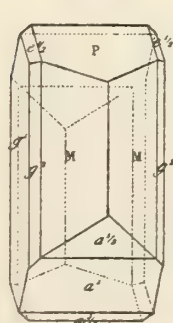


Fig. 161.

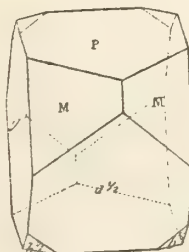


Fig. 162.

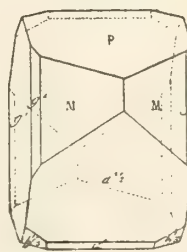
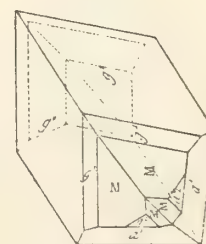


Fig. 163.



Feldspat-Gruppe (Orthoklas)

Fig. 164.

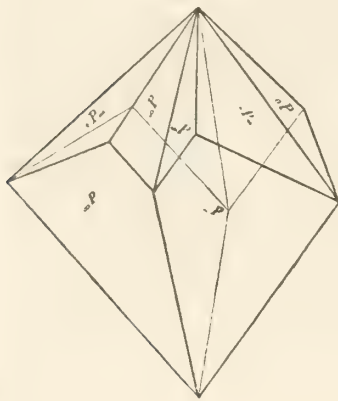


Fig. 165.

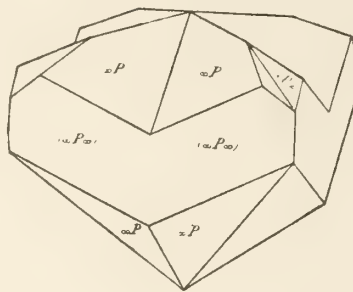


Fig. 166.

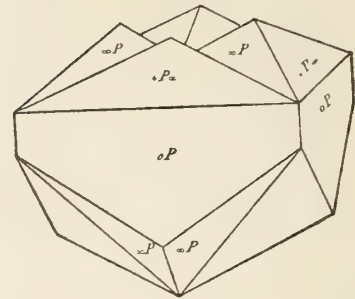


Fig. 167.

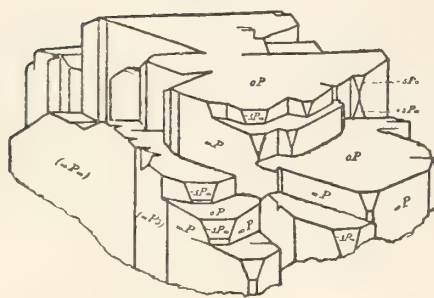


Fig. 168.

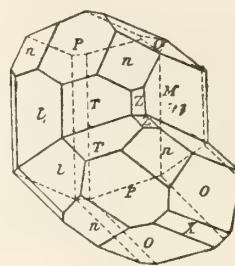


Fig. 169.

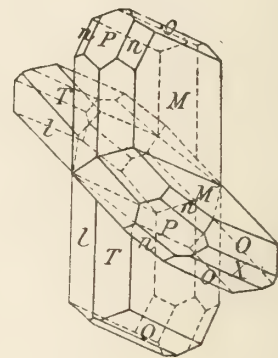


Fig. 170.

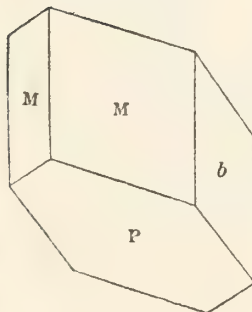


Fig. 171.

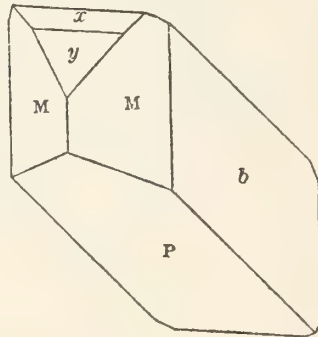


Fig. 172.

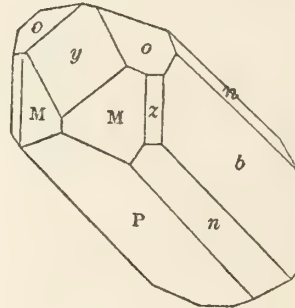


Fig. 173.

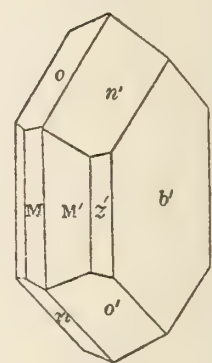


Fig. 174.

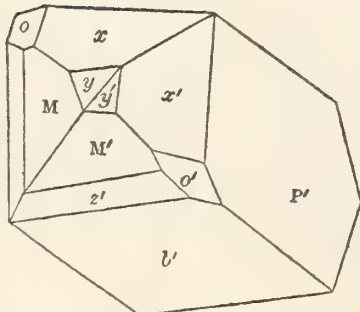


Fig. 175.

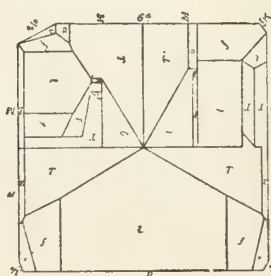


Fig. 176.

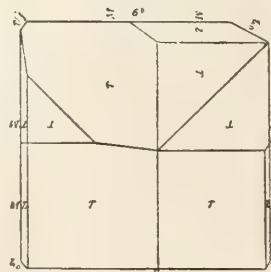
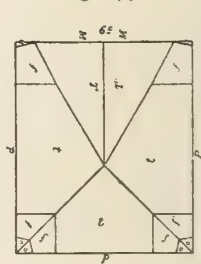


Fig. 177.



Feldspat-Gruppe (Orthoklas)

Fig. 178.

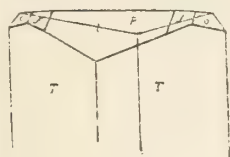


Fig. 179.

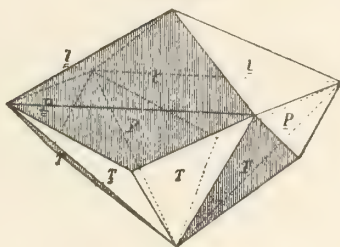


Fig. 180.

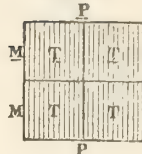


Fig. 181.

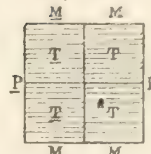


Fig. 182.

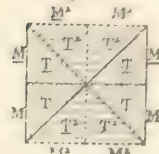


Fig. 183.

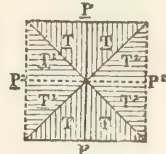


Fig. 184.

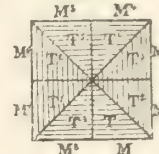


Fig. 185.

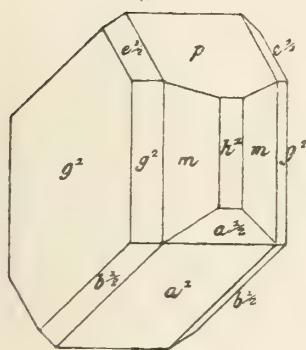


Fig. 186.

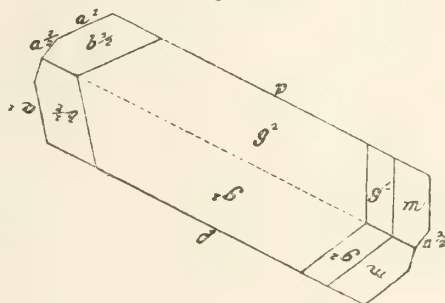


Fig. 187.

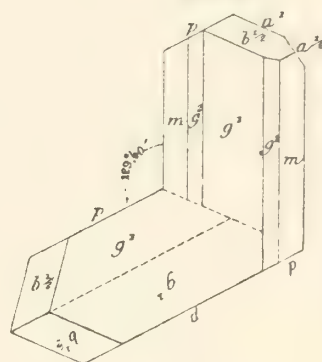


Fig. 188.

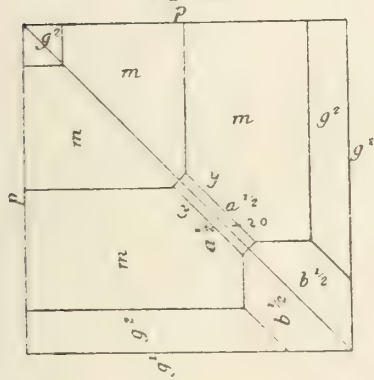


Fig. 189.

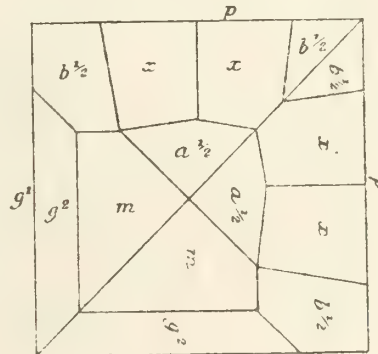


Fig. 190.

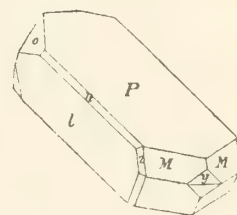


Fig. 191.

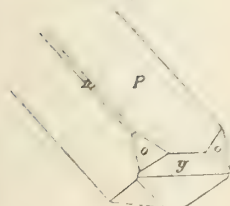


Fig. 192.

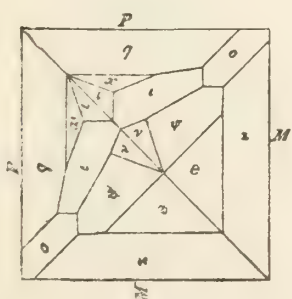


Fig. 193.

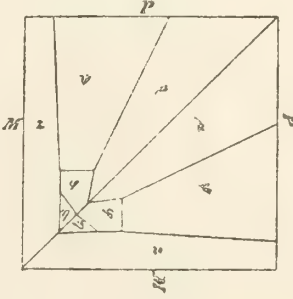
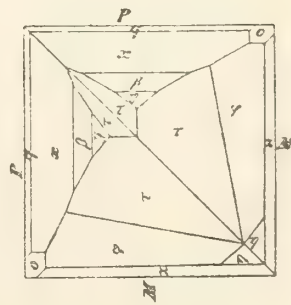


Fig. 194.



Feldspat-Gruppe (Orthoklas)

Fig. 210.

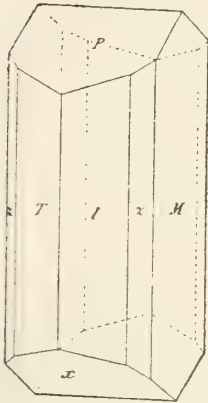


Fig. 211.

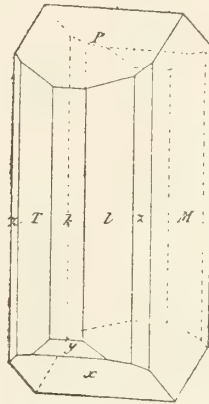


Fig. 212.

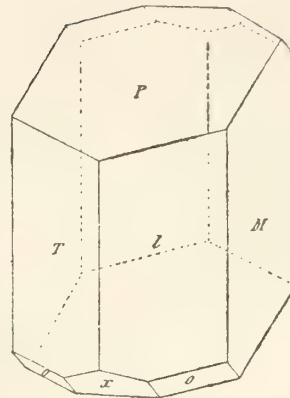


Fig. 213.

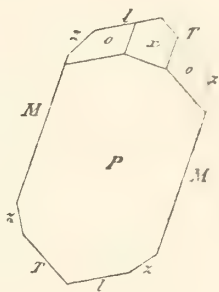
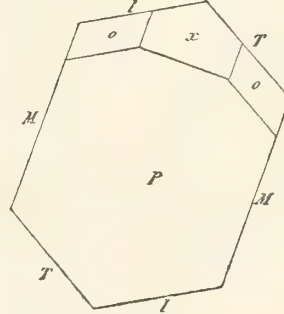
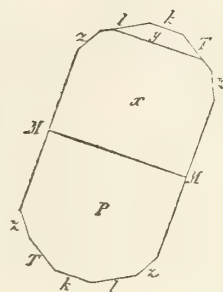
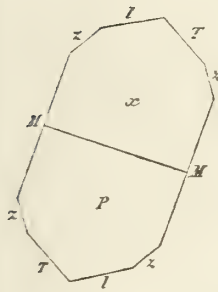
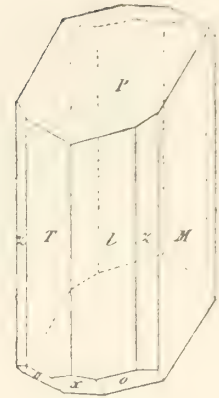


Fig. 214.

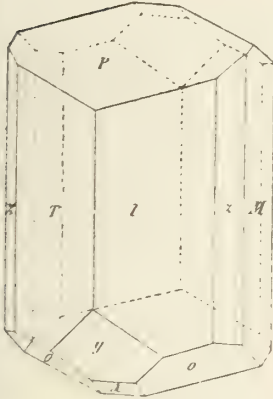


Fig. 215.

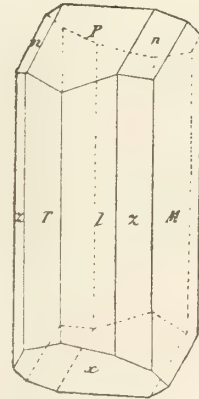


Fig. 216.

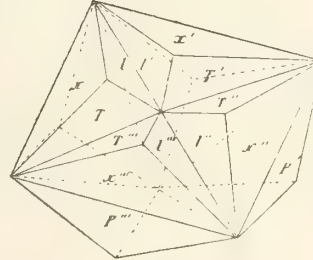


Fig. 218.

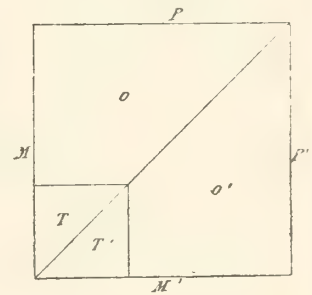


Fig. 217.

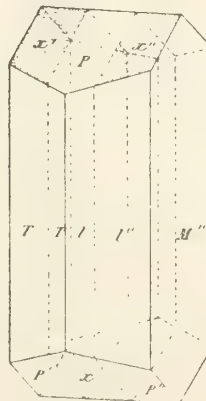
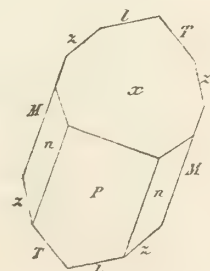
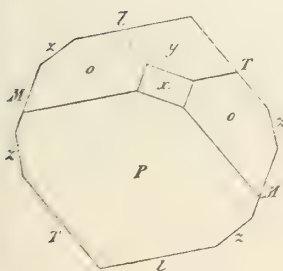
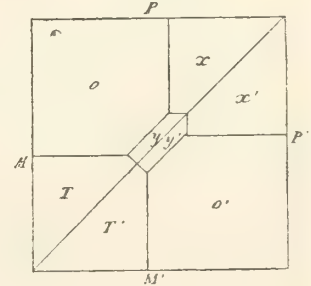


Fig. 219.



Feldspat-Gruppe (Orthoklas)

Fig. 220.

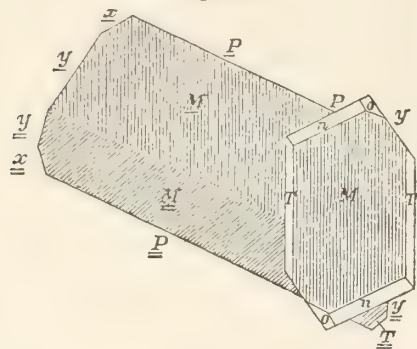


Fig. 221.

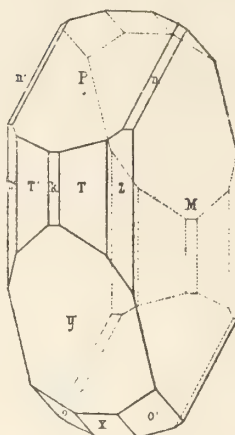


Fig. 222.

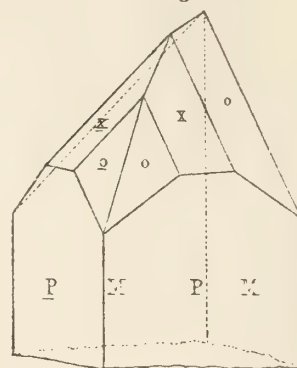


Fig. 223.

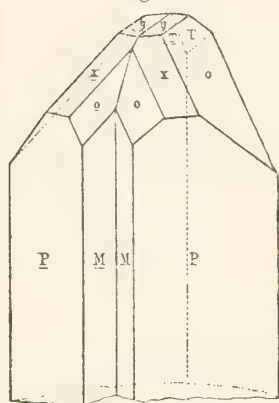


Fig. 224.

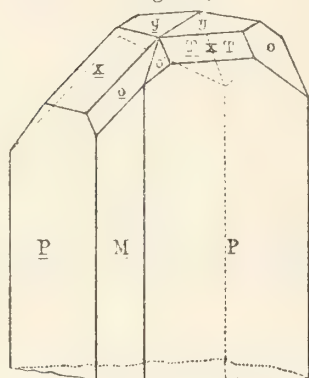


Fig. 225.

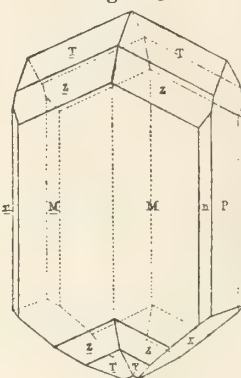


Fig. 226.

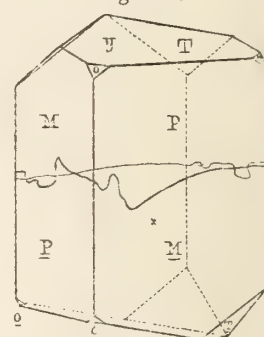


Fig. 228.

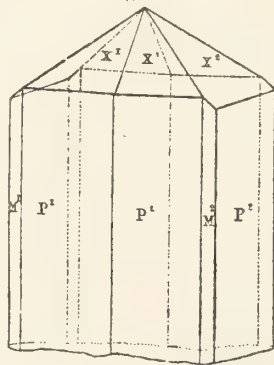


Fig. 227.

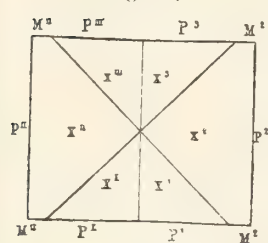


Fig. 229.

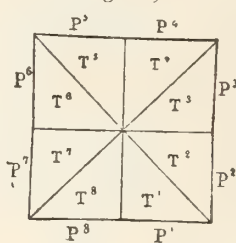


Fig. 230.

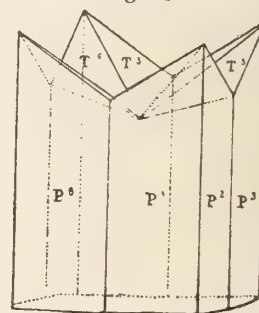


Fig. 231.

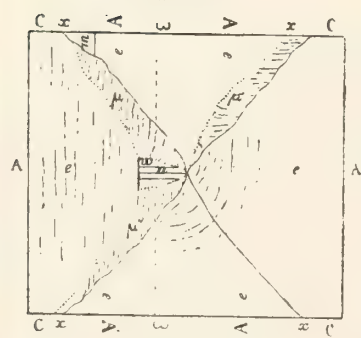


Fig. 232.

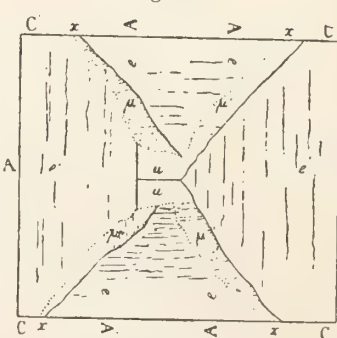
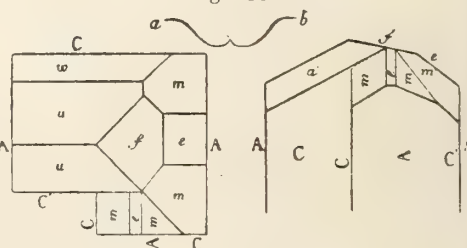


Fig. 233.



Feldspat-Gruppe (Orthoklas)

Fig. 250.

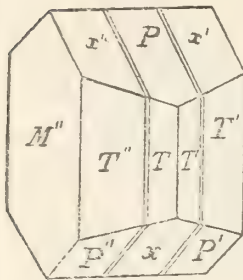


Fig. 251.

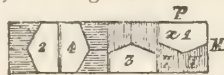


Fig. 252.

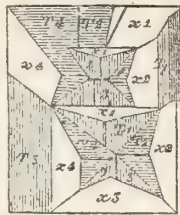


Fig. 253.

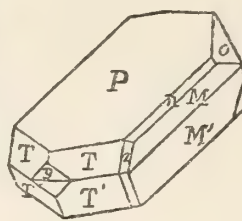


Fig. 254.

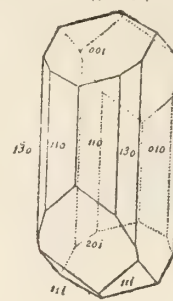


Fig. 255.

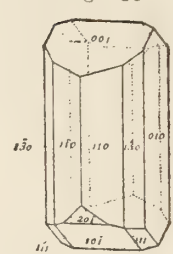


Fig. 256.

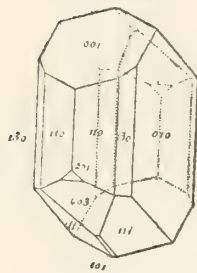


Fig. 257.

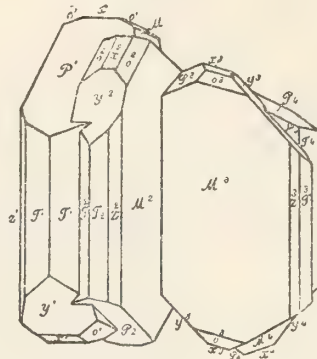


Fig. 258.

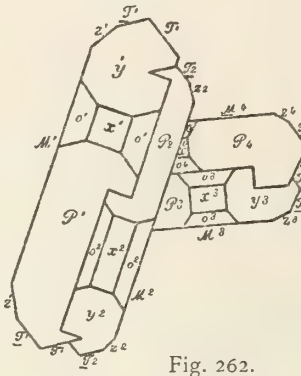


Fig. 259.

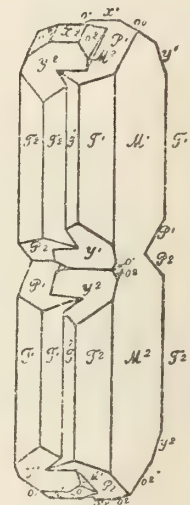


Fig. 260.

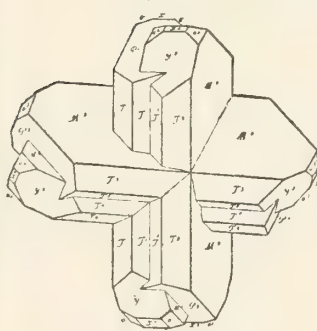


Fig. 261.

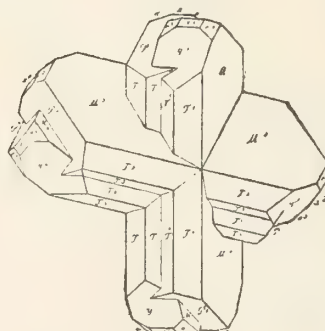


Fig. 262.

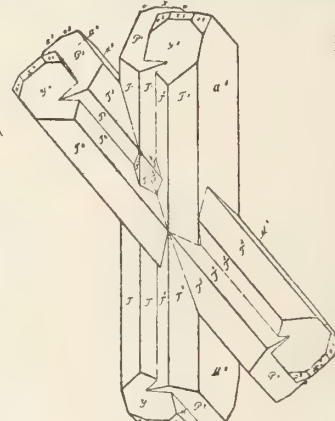


Fig. 263.

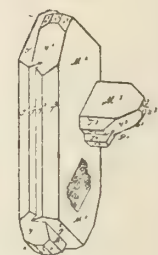


Fig. 264.

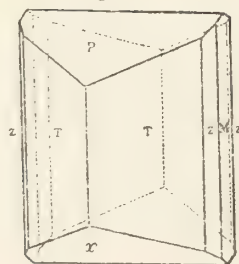


Fig. 265.

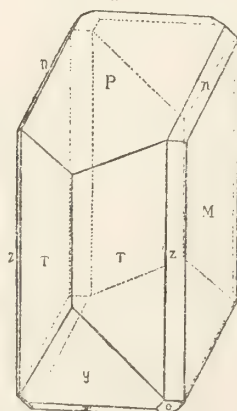


Fig. 266.

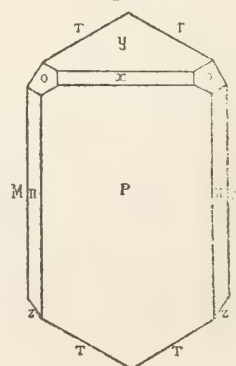
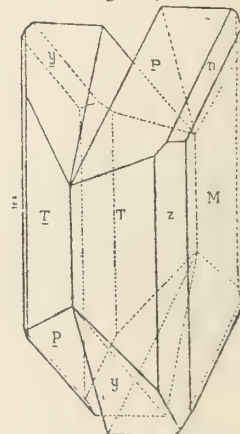


Fig. 267.



Feldspat-Gruppe (Orthoklas)

Fig. 268.

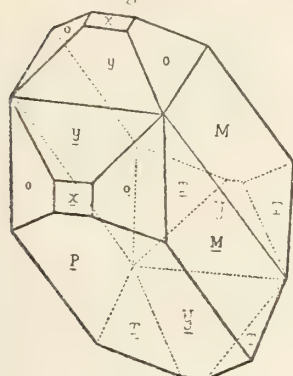


Fig. 269.

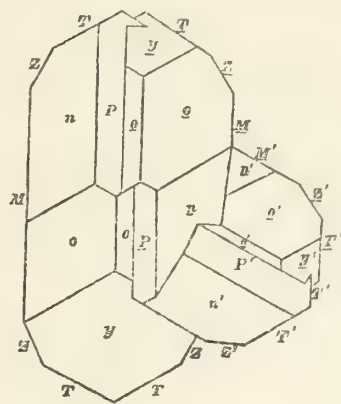


Fig. 270.

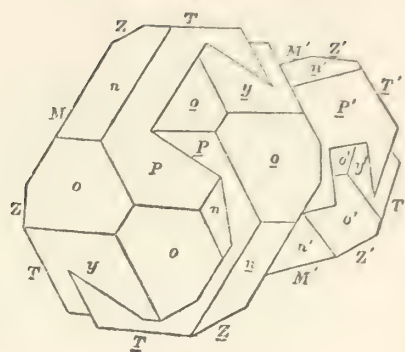


Fig. 271.

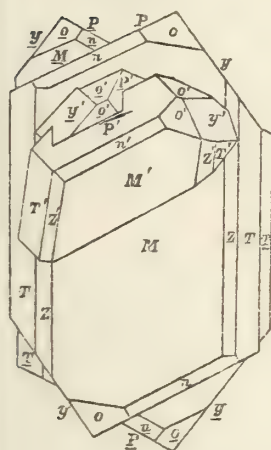


Fig. 272.

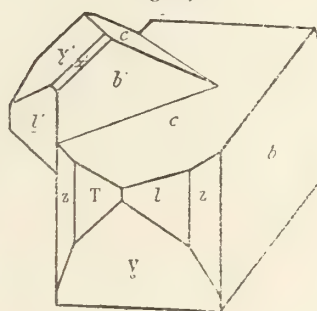


Fig. 273.

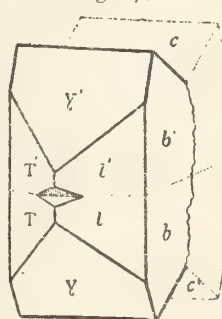


Fig. 274.

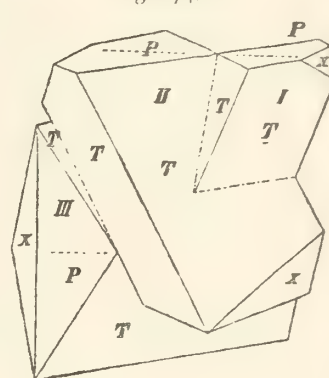


Fig. 275.

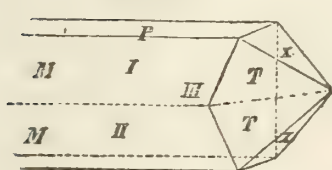


Fig. 276.

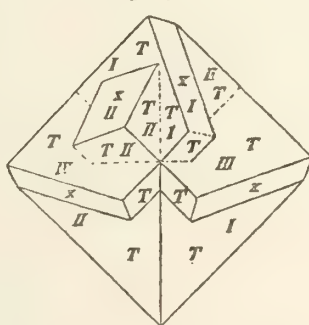


Fig. 277.



Fig. 278.

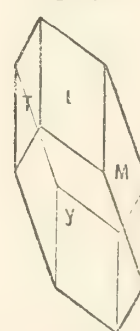


Fig. 279.

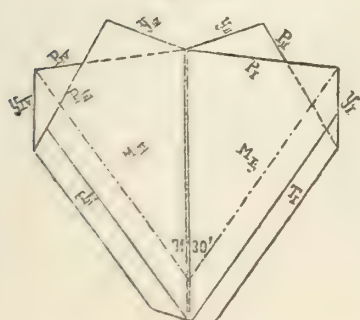


Fig. 280.

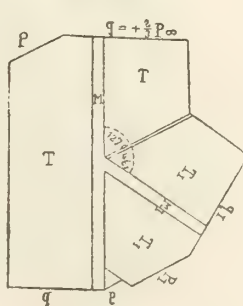


Fig. 281.

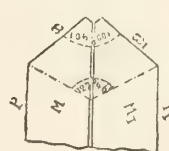
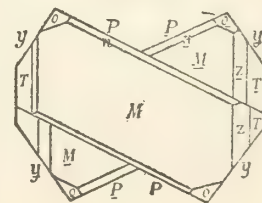


Fig. 282.



Feldspat-Gruppe (Orthoklas)

Fig. 283.

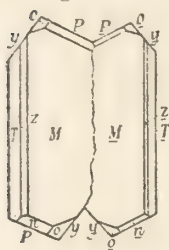


Fig. 284.

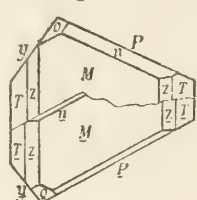


Fig. 285.

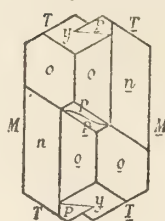


Fig. 286.

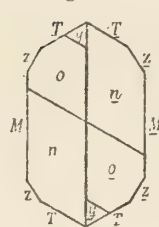


Fig. 287.

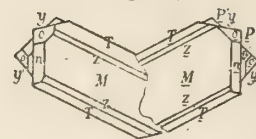


Fig. 288.

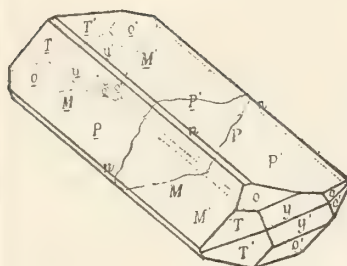


Fig. 289.

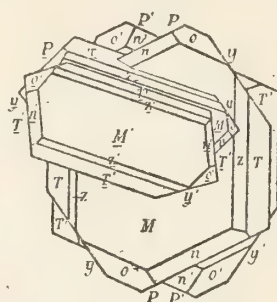


Fig. 290.

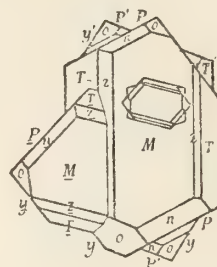


Fig. 291.

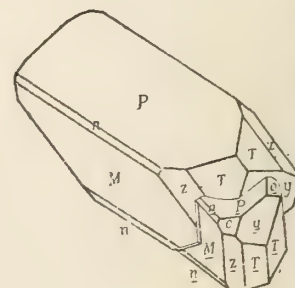


Fig. 292.

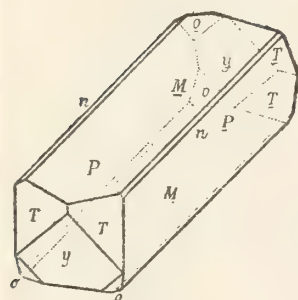


Fig. 293.

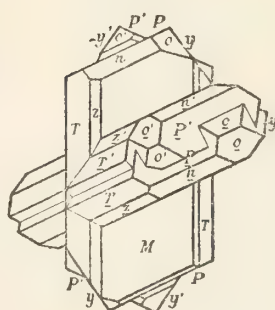


Fig. 294.

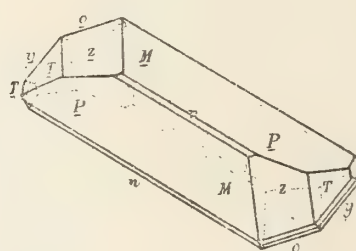


Fig. 295.

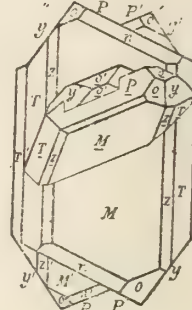


Fig. 298.

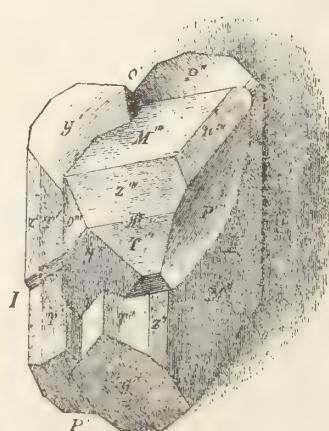


Fig. 296.

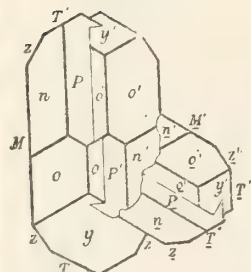


Fig. 297.

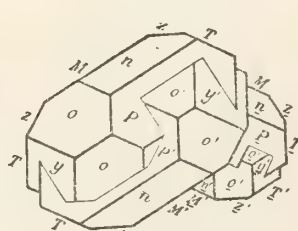
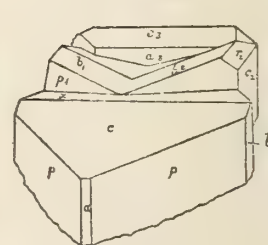


Fig. 299.



Feldspat-Gruppe (Orthoklas)

Fig. 300.

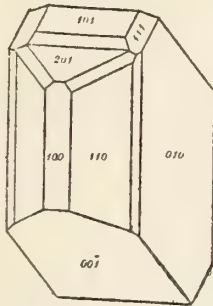


Fig. 301.

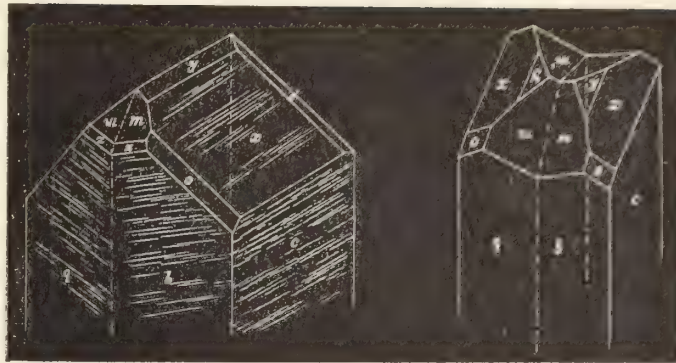


Fig. 302.



Fig. 303.

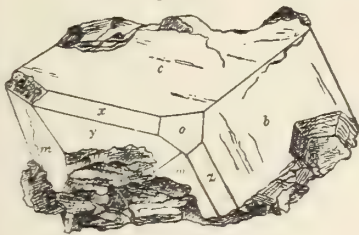


Fig. 304.



Fig. 305.

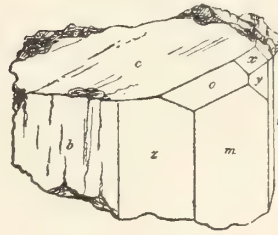


Fig. 306.

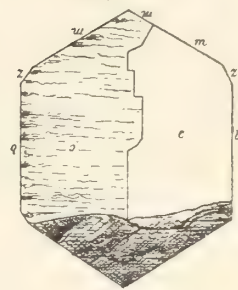


Fig. 307.

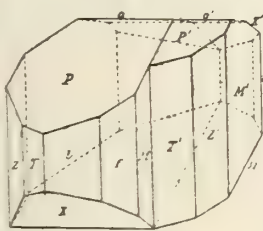


Fig. 308.

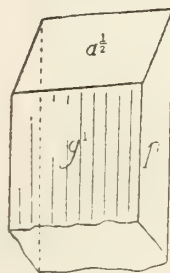


Fig. 309.

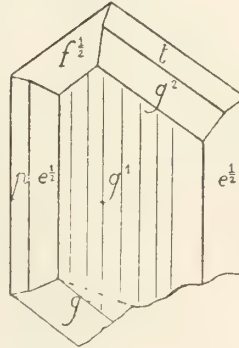


Fig. 310.

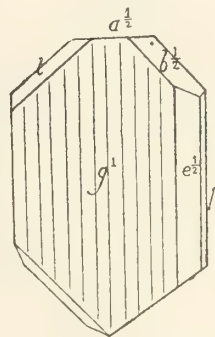


Fig. 311.

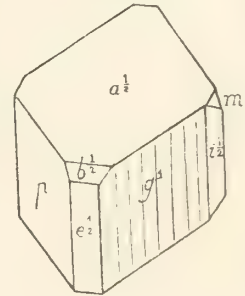


Fig. 312.

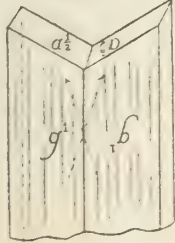


Fig. 313.

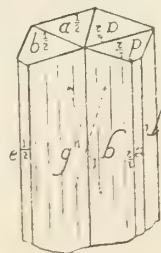


Fig. 315.

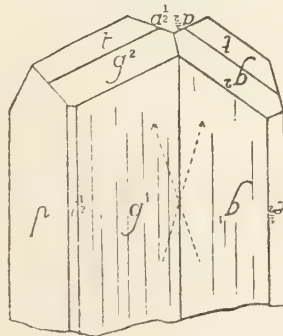


Fig. 316.

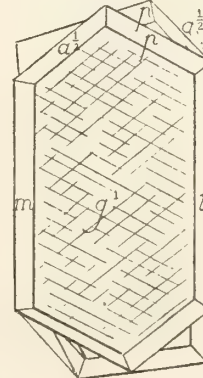


Fig. 317.

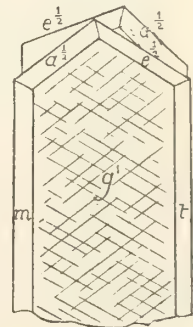
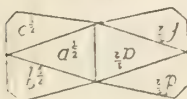


Fig. 314.



Feldspat-Gruppe (Orthoklas)

Fig. 318.

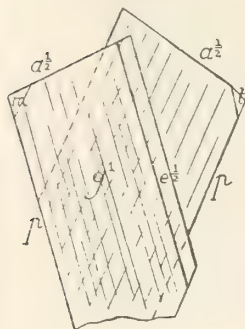


Fig. 319.

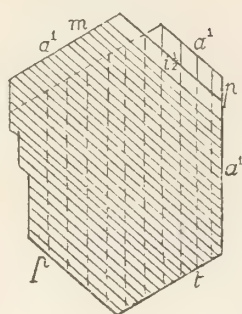


Fig. 320.

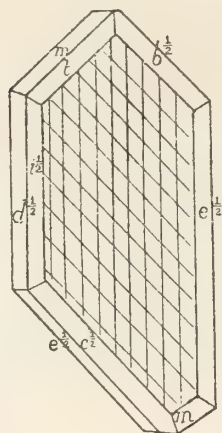


Fig. 321.

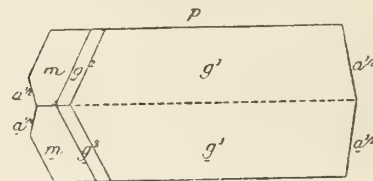


Fig. 322.

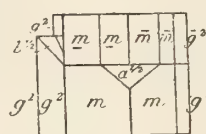


Fig. 323.

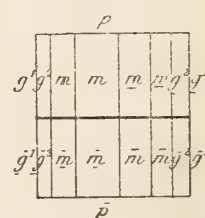


Fig. 324.

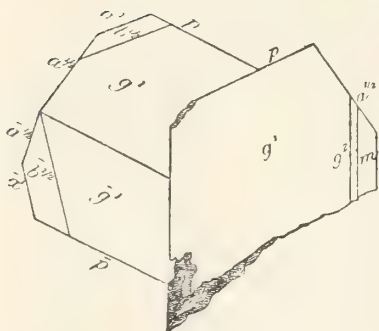


Fig. 325.

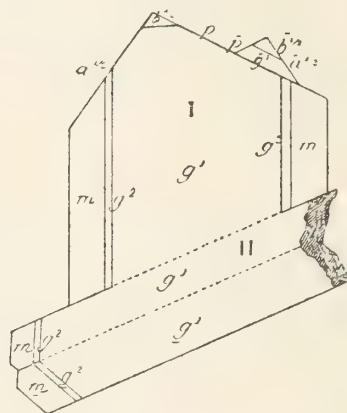


Fig. 326.

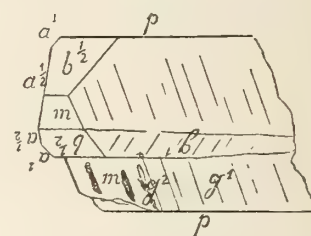


Fig. 327.

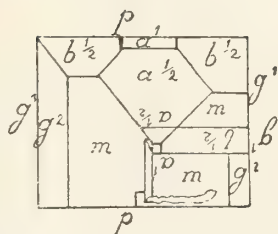


Fig. 328.

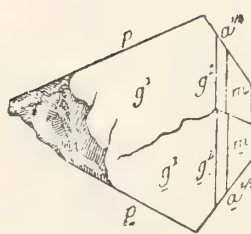


Fig. 329.

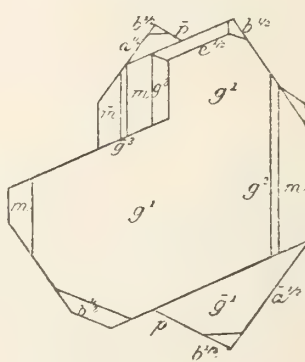


Fig. 330.

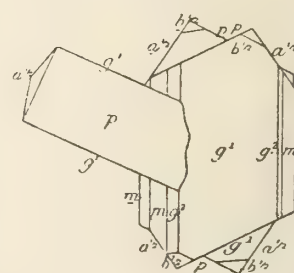


Fig. 331.

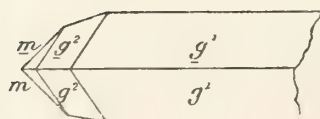


Fig. 332.

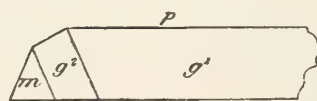
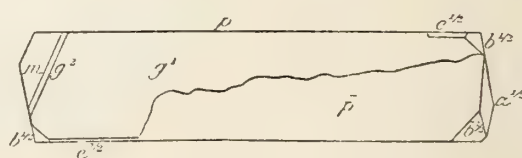
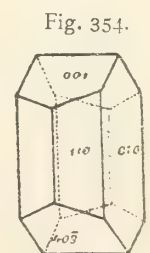
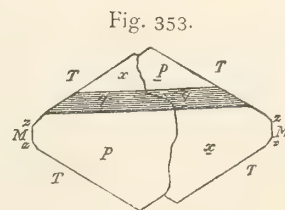
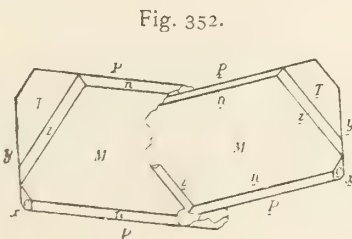
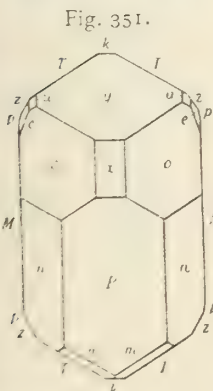
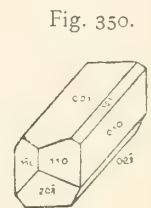
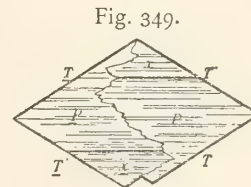
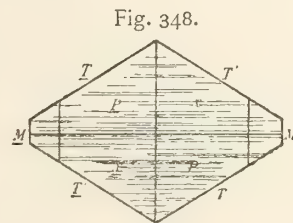
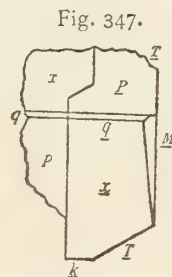
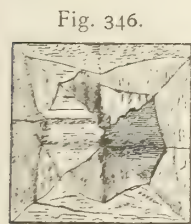
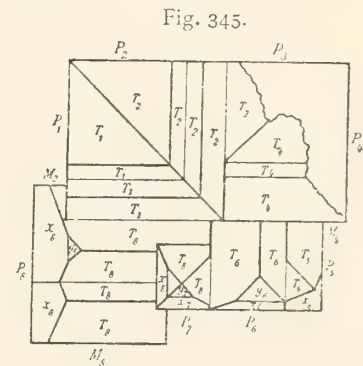
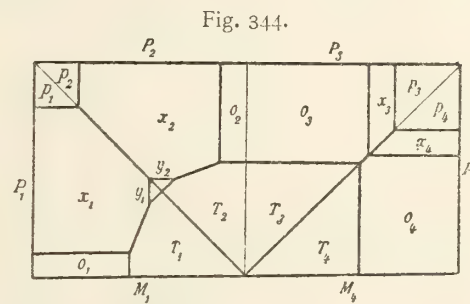
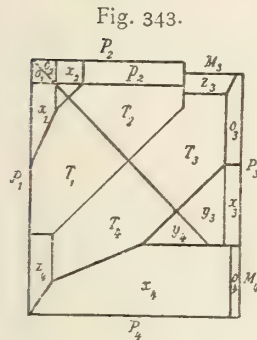
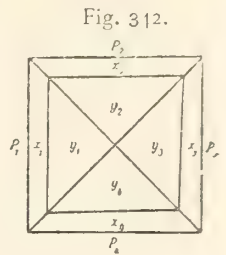
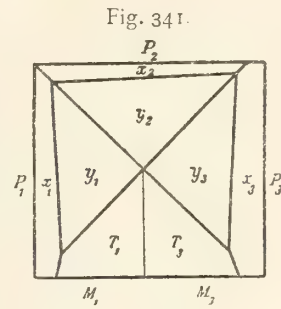
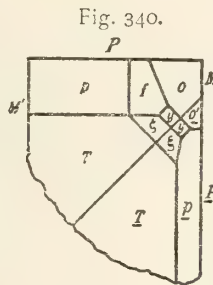
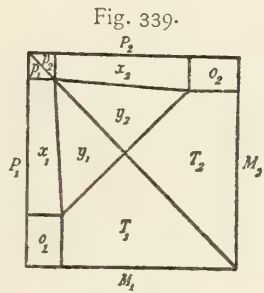
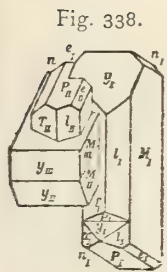
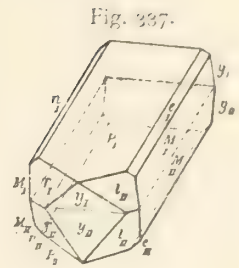
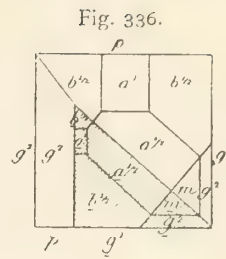
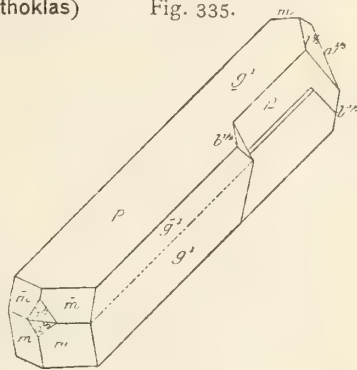
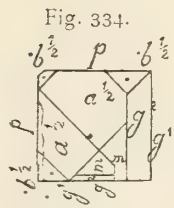


Fig. 333.



Feldspat-Gruppe (Orthoklas)



Feldspat-Gruppe (Orthoklas)

Fig. 355.

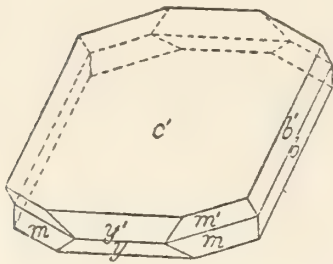


Fig. 356.

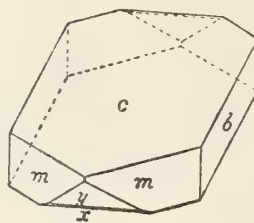


Fig. 357.

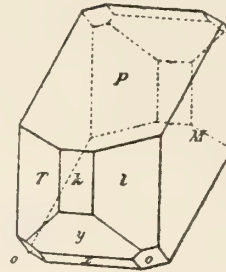


Fig. 358.

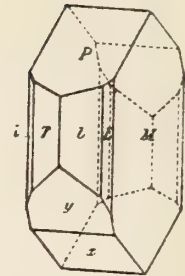


Fig. 359.

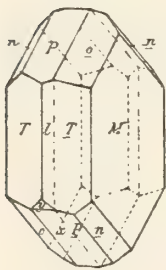


Fig. 360.



Fig. 361.

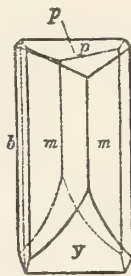


Fig. 362.

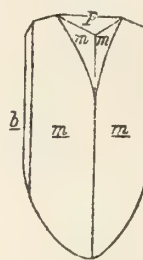


Fig. 363.

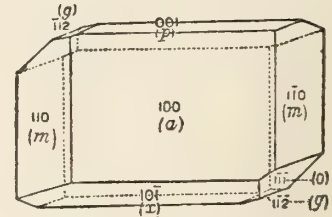


Fig. 364.

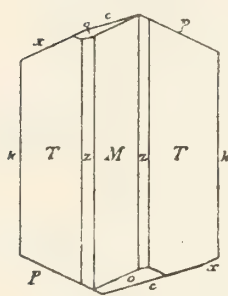


Fig. 365.

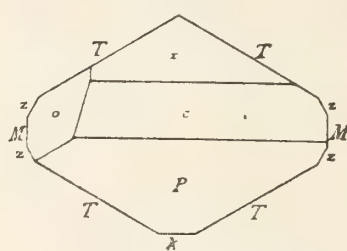


Fig. 366.

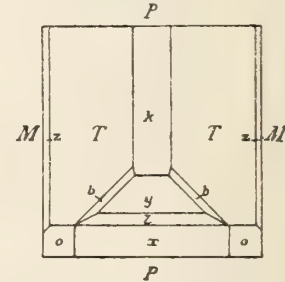


Fig. 367.

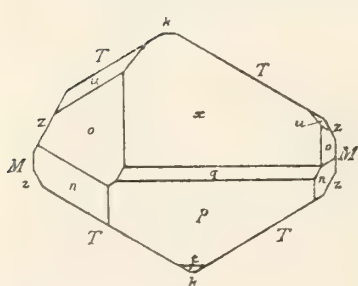


Fig. 368.

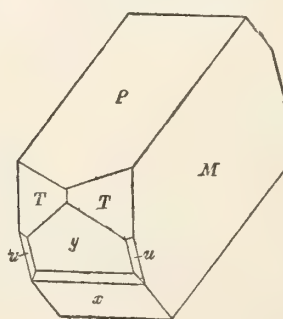
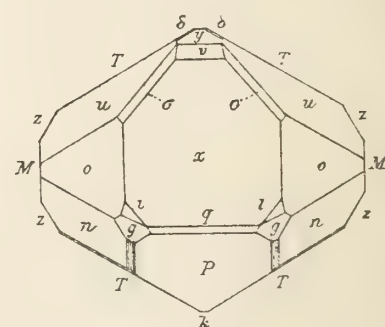


Fig. 369.



Feldspat-Gruppe (Orthoklas)

Fig. 370.

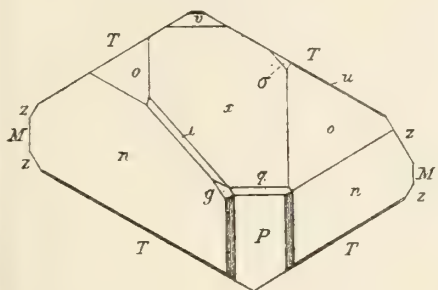


Fig. 371.

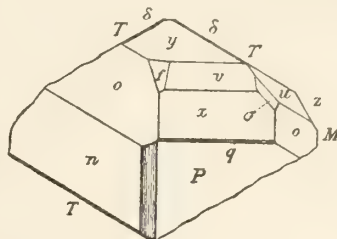


Fig. 372.

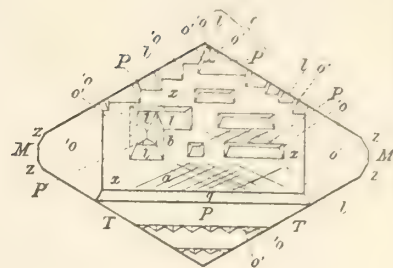


Fig. 373.

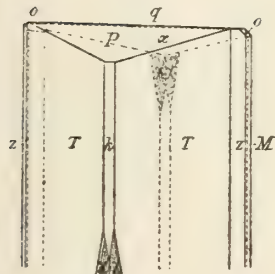


Fig. 374.

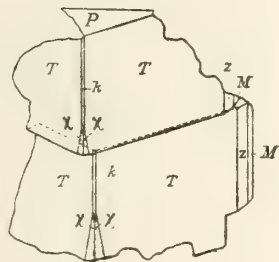


Fig. 375.

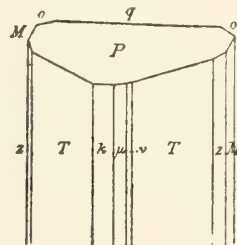


Fig. 376.

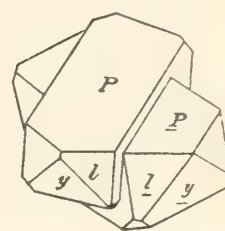


Fig. 377.

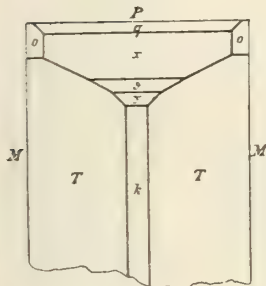


Fig. 378.

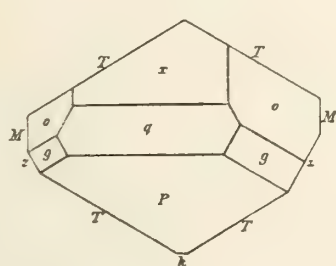


Fig. 379.

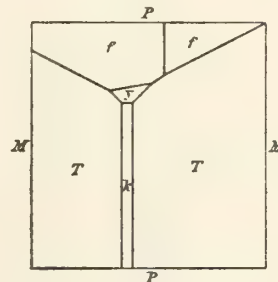


Fig. 380.

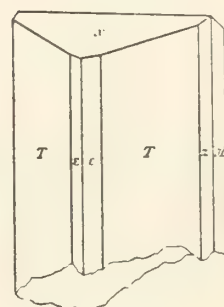


Fig. 381.

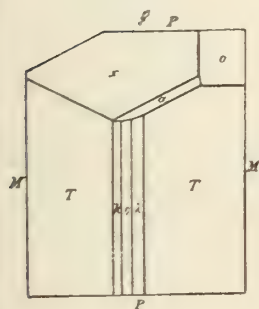


Fig. 382.

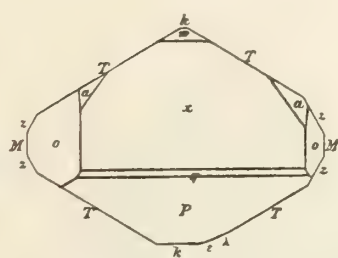


Fig. 383.

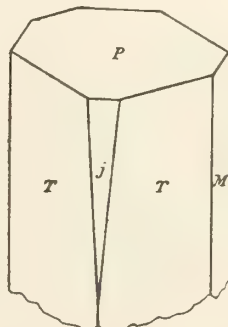
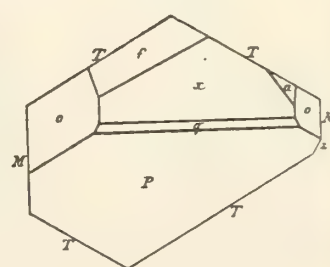


Fig. 384.



Feldspat-Gruppe (Orthoklas)

Fig. 385.

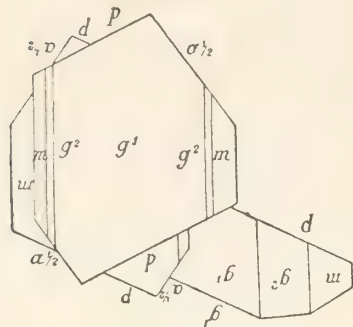


Fig. 386.

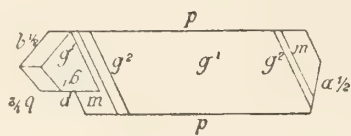


Fig. 387.

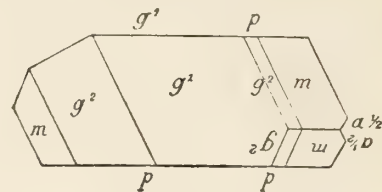


Fig. 388.

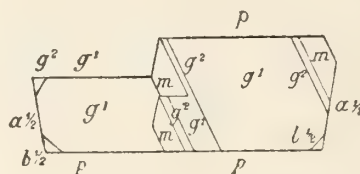


Fig. 389.

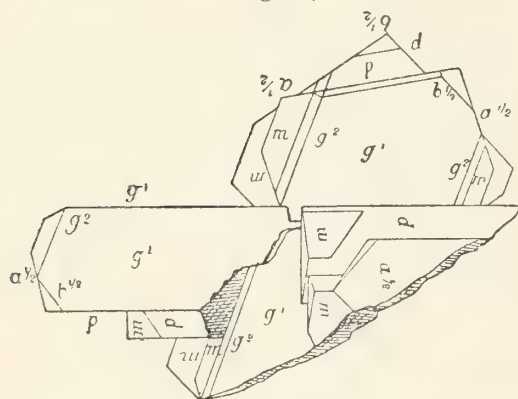


Fig. 390.

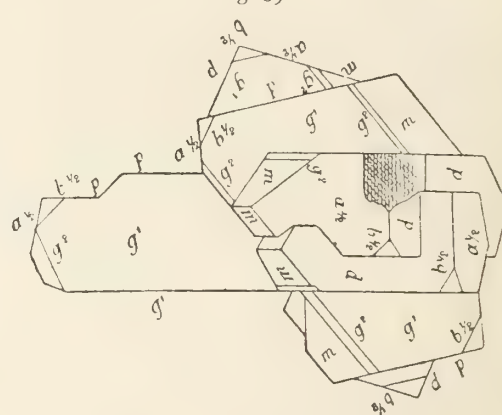


Fig. 391.

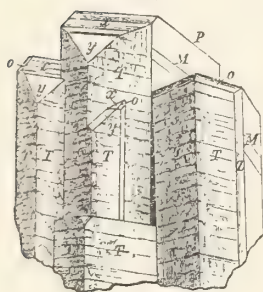


Fig. 392.

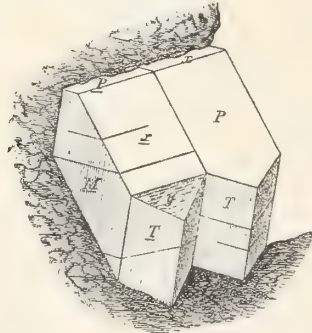


Fig. 393.

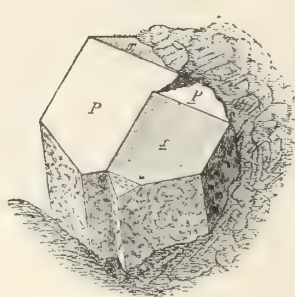


Fig. 394.



Fig. 395.

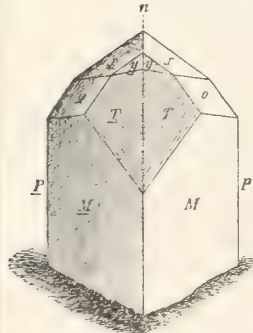


Fig. 396.

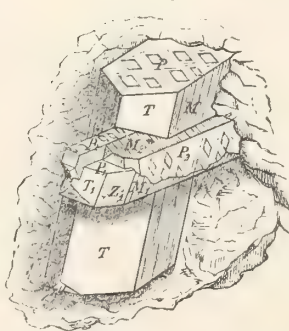


Fig. 397.

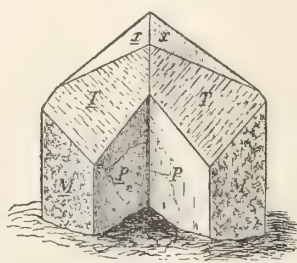
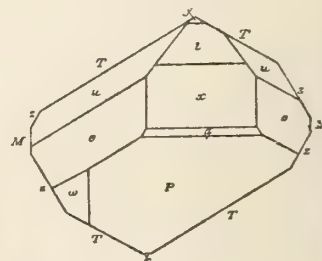


Fig. 398.



Feldspat-Gruppe (Orthoklas)

Fig. 399.

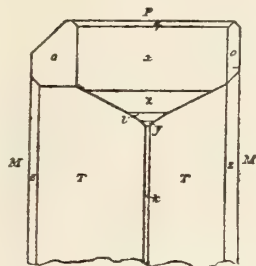


Fig. 400.

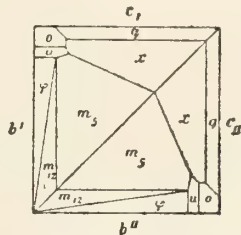


Fig. 401.

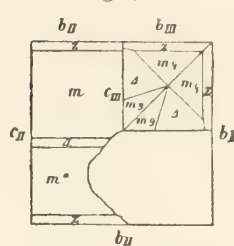


Fig. 402.

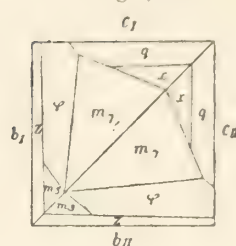


Fig. 403.

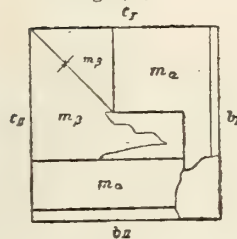


Fig. 404.

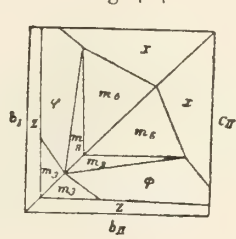


Fig. 405.

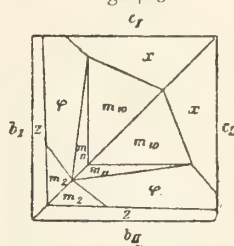


Fig. 406.

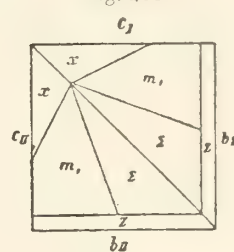


Fig. 407.

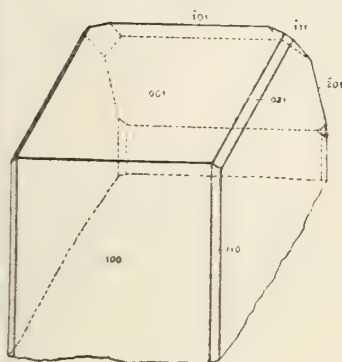


Fig. 408.

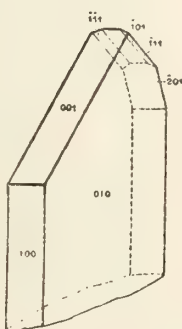


Fig. 409.

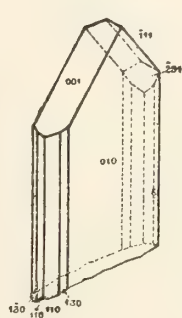


Fig. 410.

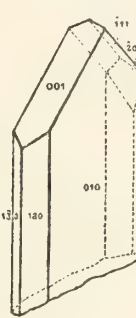


Fig. 411.

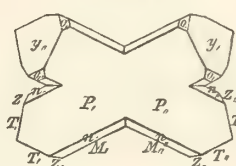


Fig. 412.

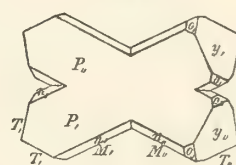


Fig. 413.

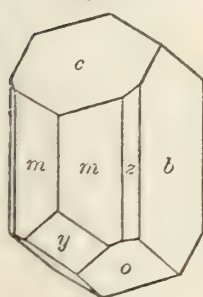


Fig. 414.

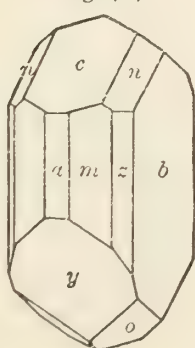


Fig. 415.

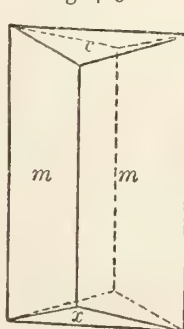


Fig. 416.

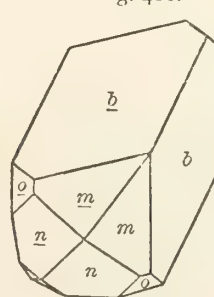
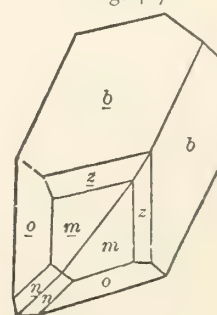


Fig. 417.



Feldspat-Gruppe (Orthoklas)

Fig. 437.

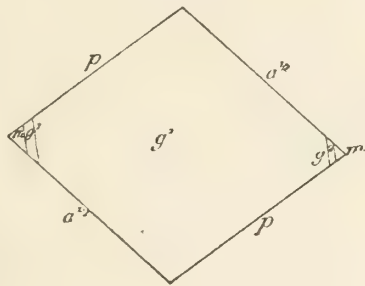


Fig. 438.

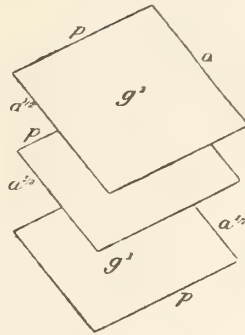


Fig. 439.

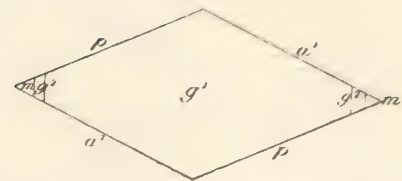


Fig. 440.

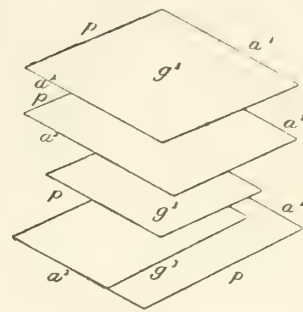


Fig. 441.

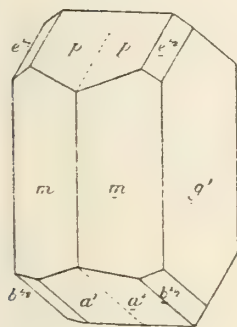


Fig. 442.

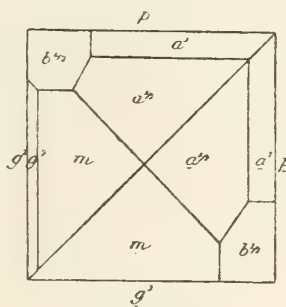


Fig. 443.

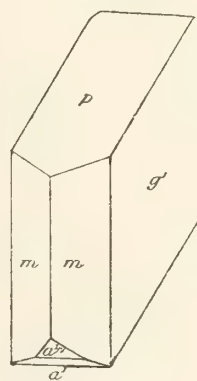


Fig. 444.

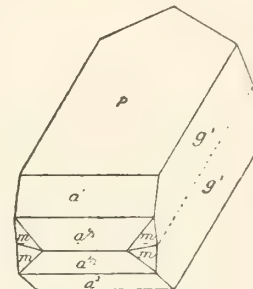


Fig. 445.

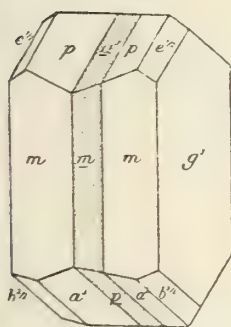


Fig. 446.

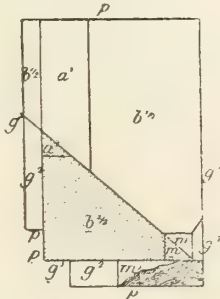


Fig. 447.

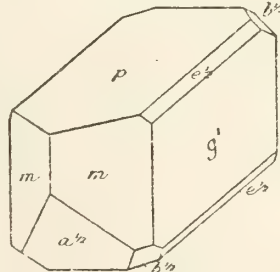


Fig. 448.

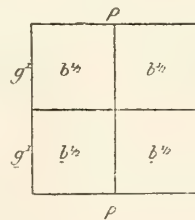


Fig. 449.

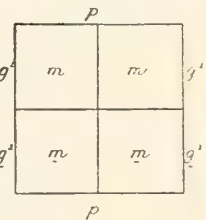


Fig. 452.

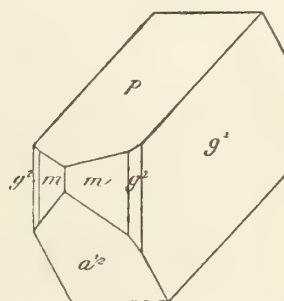


Fig. 450.

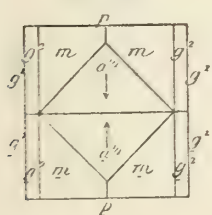


Fig. 451.

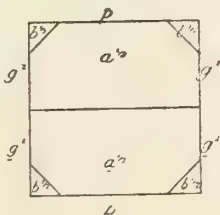
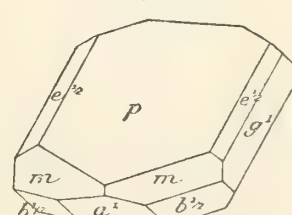


Fig. 453.



Feldspat-Gruppe (Orthoklas)

Fig. 454.

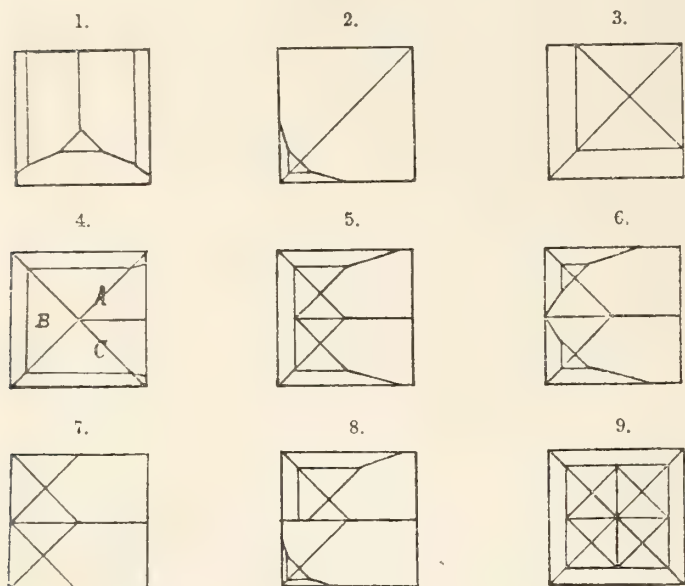


Fig. 455.

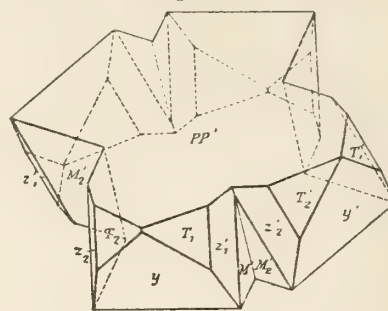


Fig. 456.

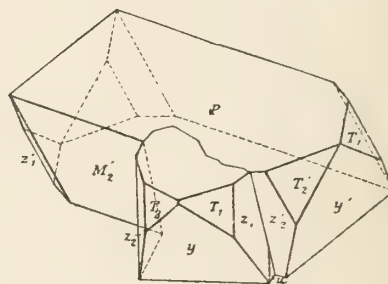


Fig. 457.

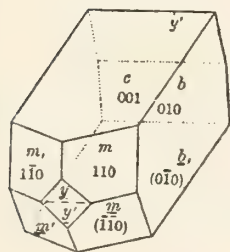


Fig. 458.

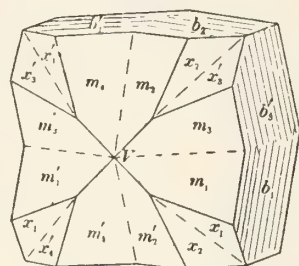


Fig. 459.

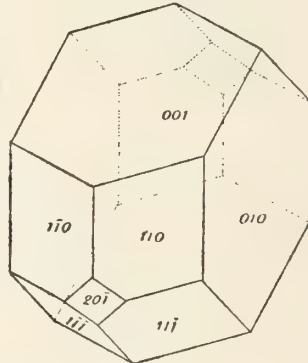


Fig. 460.

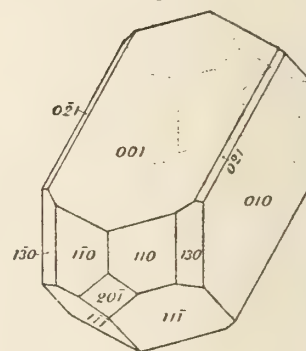


Fig. 461.

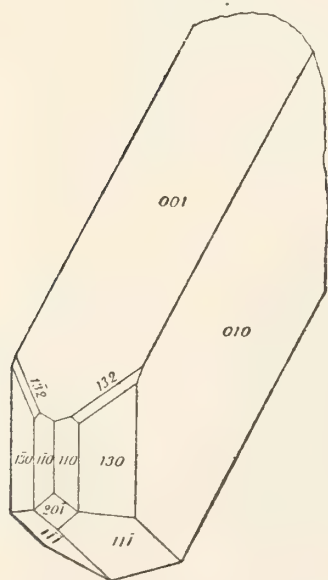


Fig. 462.

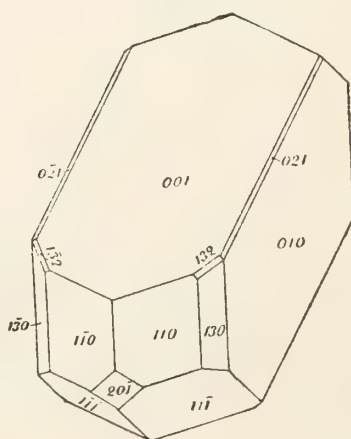


Fig. 463.

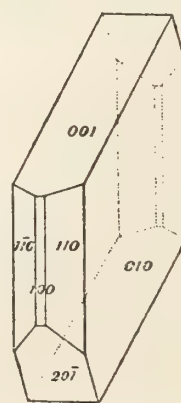
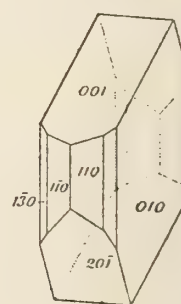


Fig. 464.



Feldspat-Gruppe (Orthoklas)

Fig. 465.

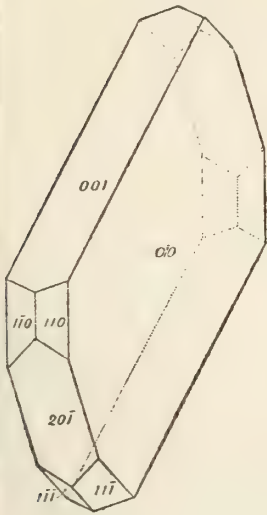


Fig. 466.

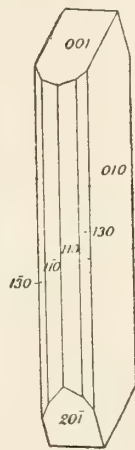


Fig. 467.

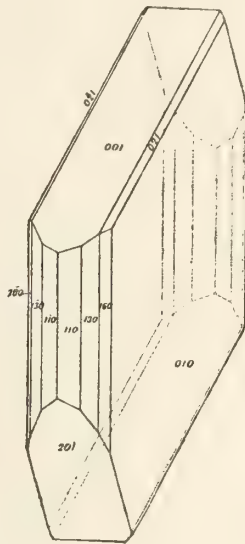


Fig. 468.

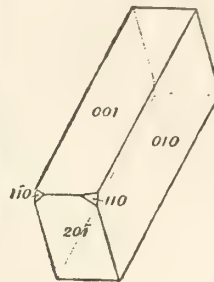


Fig. 469.

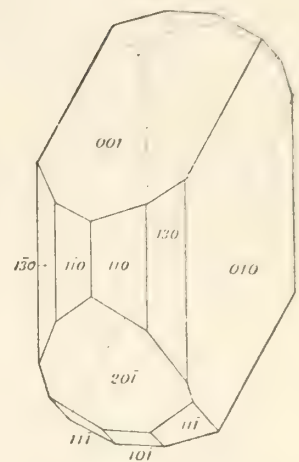


Fig. 470.

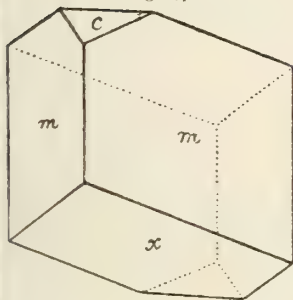


Fig. 471.

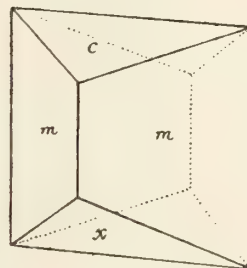


Fig. 472.

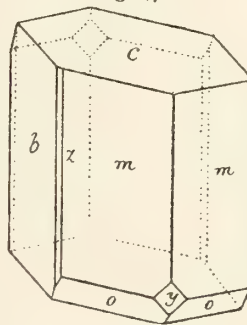


Fig. 473.

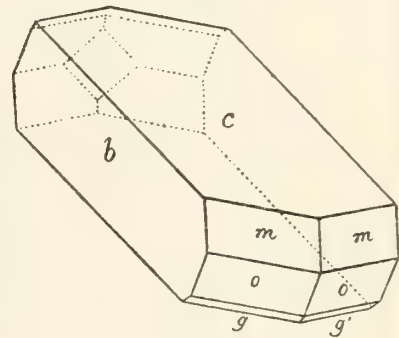


Fig. 474.

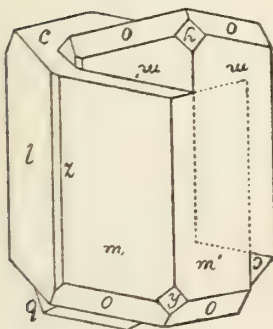


Fig. 475.

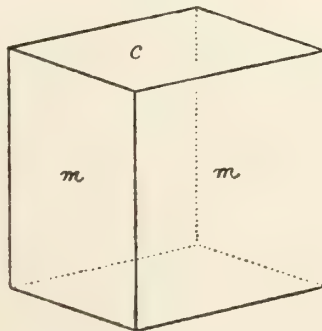
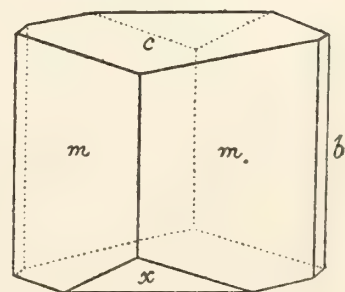


Fig. 476.



Feldspat-Gruppe (Orthoklas)

Fig. 477.

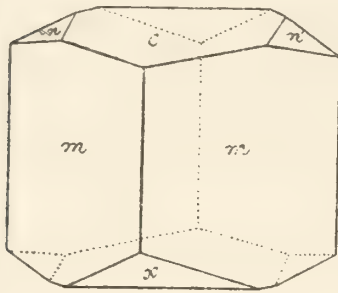


Fig. 478.

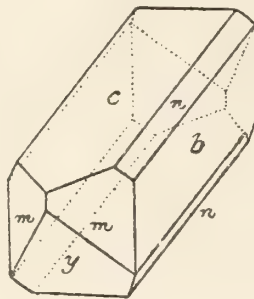


Fig. 479.

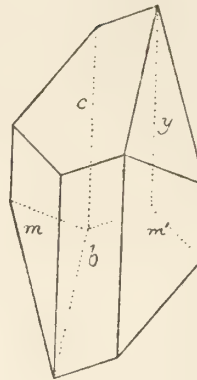


Fig. 480.

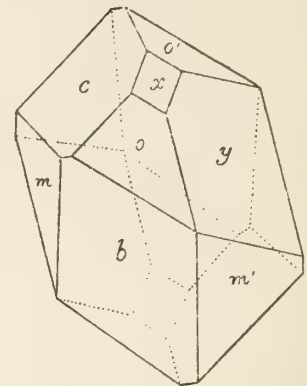


Fig. 481.

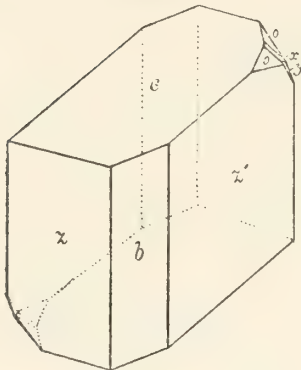


Fig. 482.

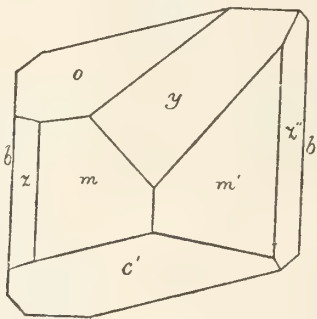


Fig. 483.

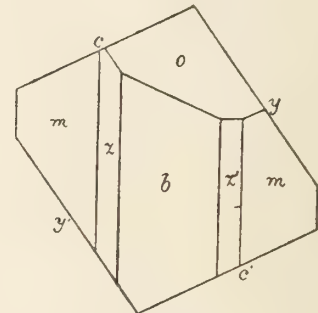


Fig. 484.

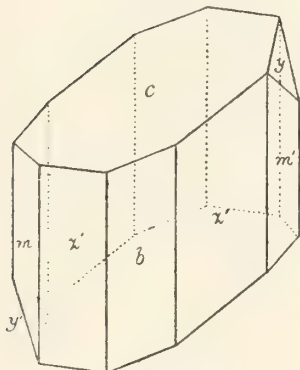


Fig. 485.

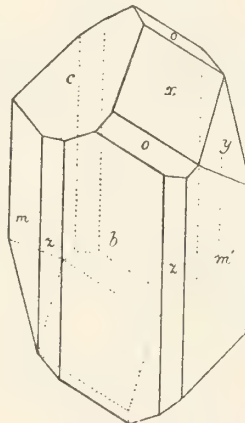


Fig. 486.

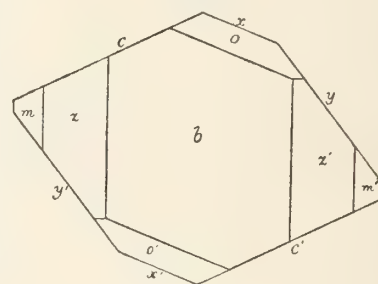


Fig. 487.

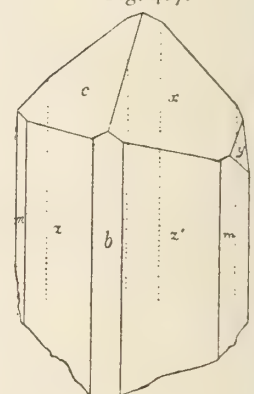


Fig. 488.

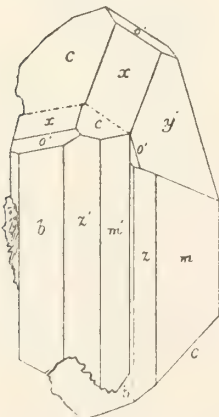


Fig. 489.

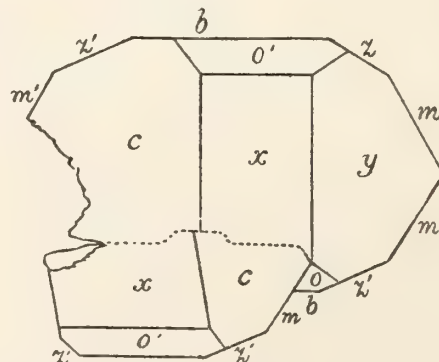
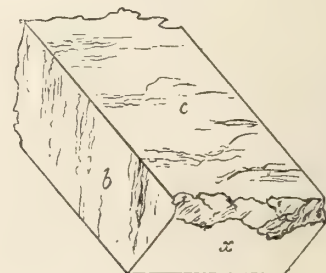


Fig. 490.



Feldspat-Gruppe (Orthoklas)

Fig. 491.

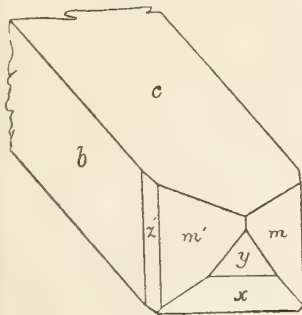


Fig. 492.

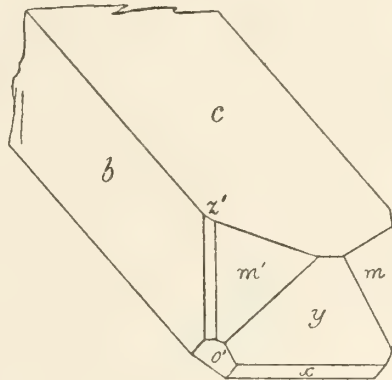


Fig. 493.

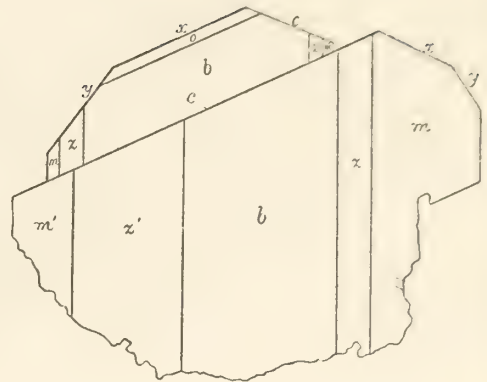


Fig. 494.

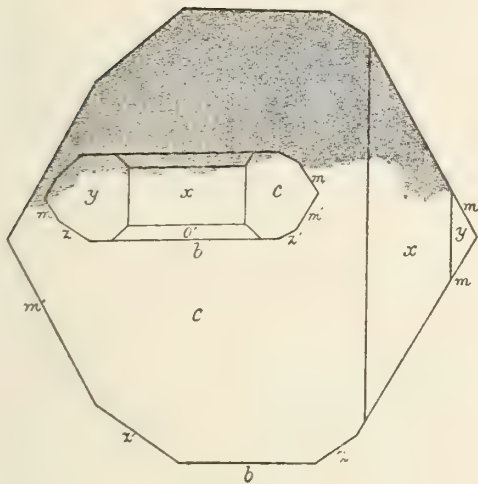


Fig. 495.

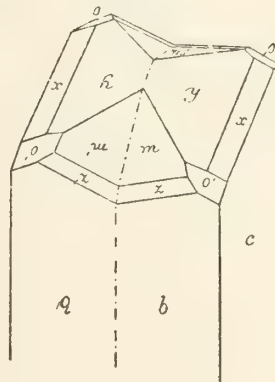


Fig. 496.

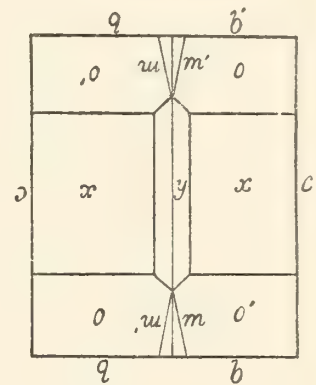


Fig. 497.

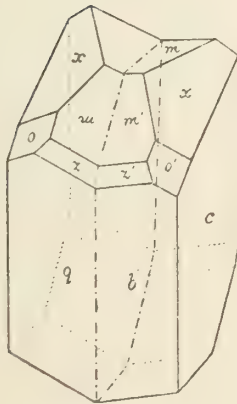


Fig. 498.

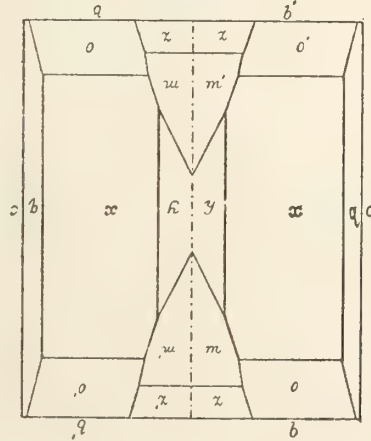
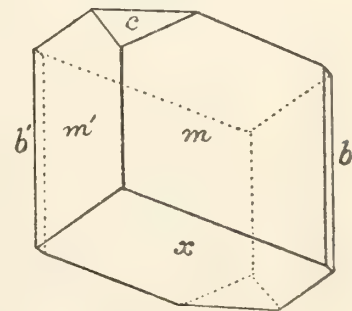


Fig. 499.



Feldspat-Gruppe (Orthoklas)

Fig. 500.

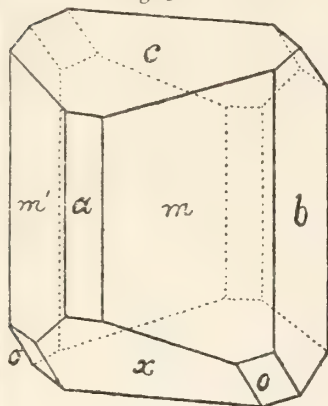


Fig. 501.

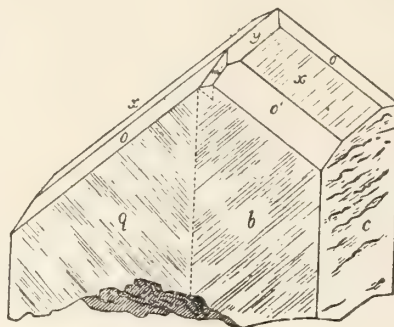


Fig. 502.

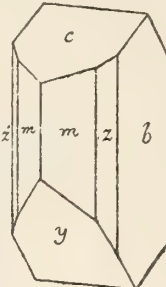


Fig. 503.

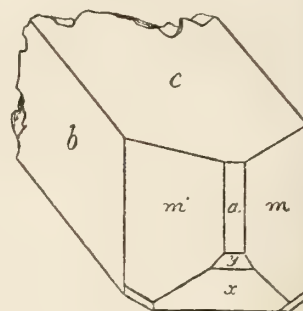


Fig. 504.

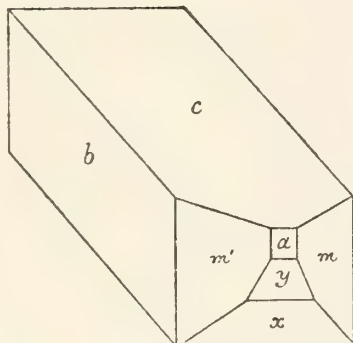


Fig. 505.

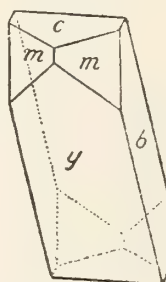


Fig. 506.

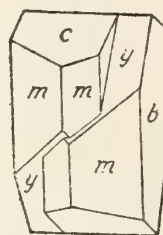


Fig. 507.

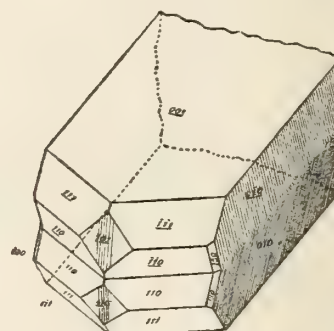


Fig. 508.

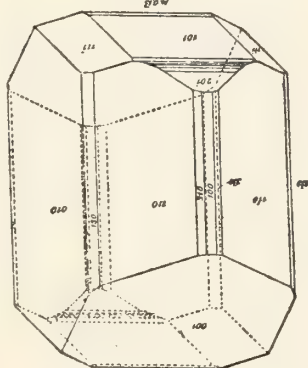


Fig. 509.

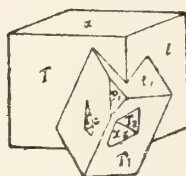


Fig. 510.

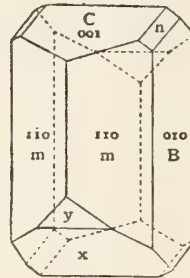


Fig. 511.

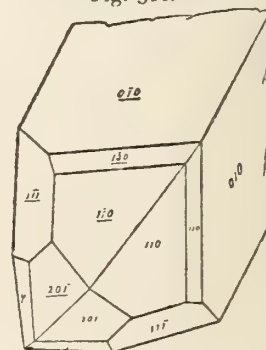


Fig. 512.

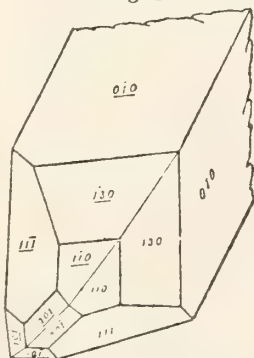


Fig. 513.

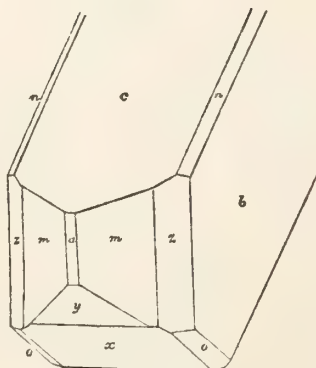


Fig. 514.

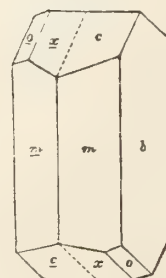
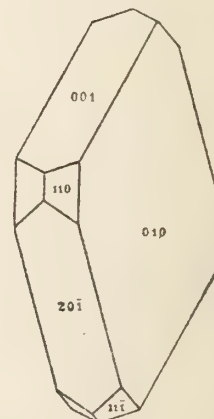


Fig. 515.



Feldspat-Gruppe (Orthoklas)

Fig. 516.

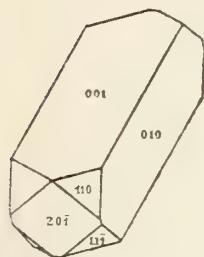


Fig. 517.

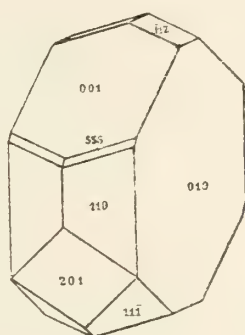


Fig. 518.

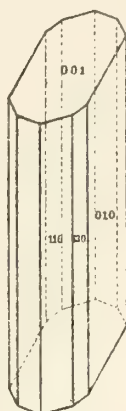


Fig. 519.

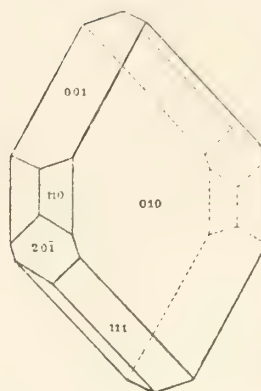


Fig. 520.

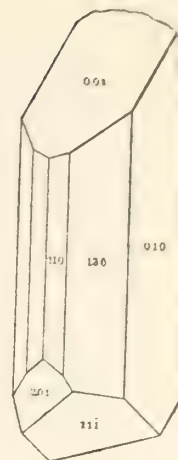


Fig. 521.

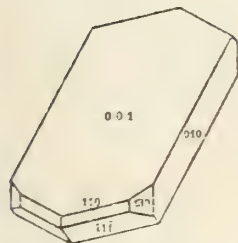


Fig. 522.

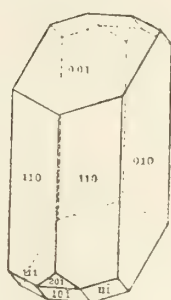


Fig. 523.

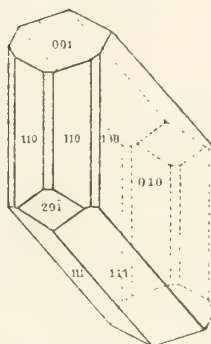


Fig. 524.

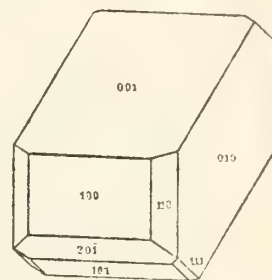


Fig. 525.

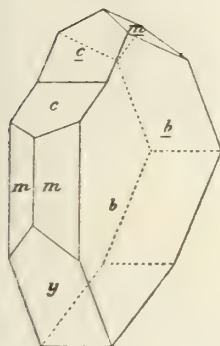


Fig. 526.

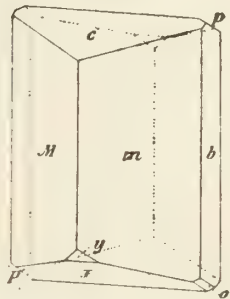


Fig. 527.

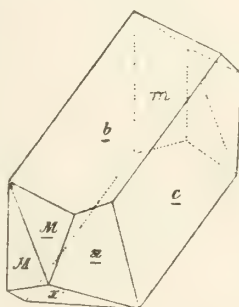


Fig. 528.

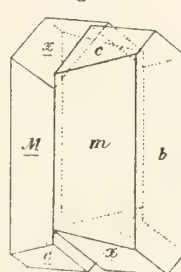


Fig. 529.

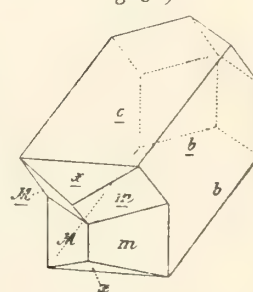


Fig. 530.

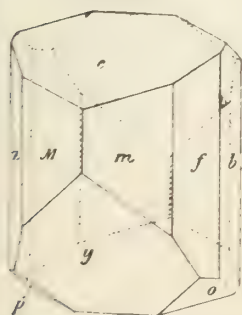


Fig. 531.

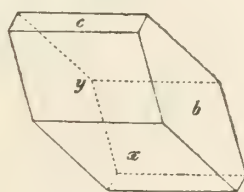


Fig. 532.

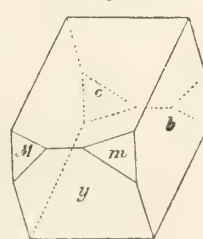
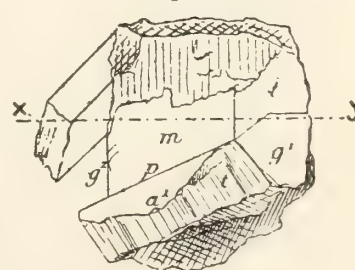


Fig. 533.



Feldspat-Gruppe (Orthoklas)

Fig. 534.

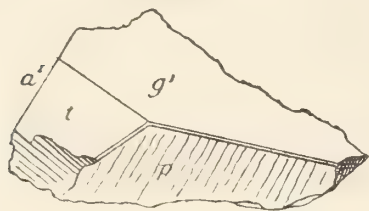


Fig. 535.

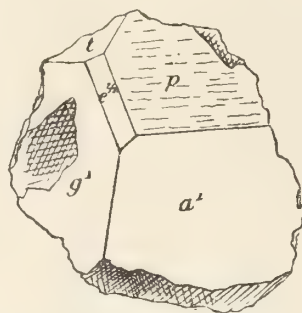


Fig. 536.

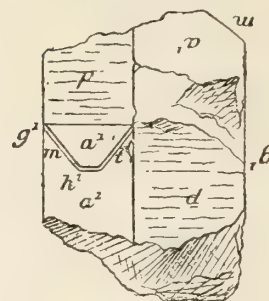


Fig. 537.

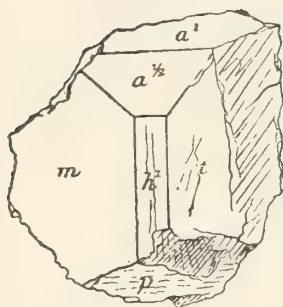


Fig. 538.

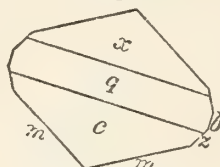


Fig. 539.

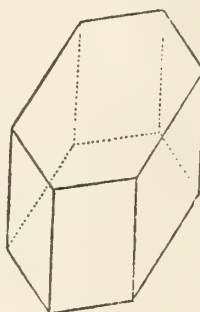


Fig. 540.

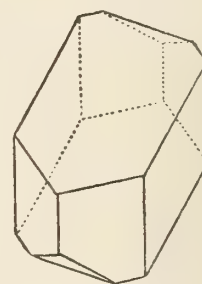


Fig. 541.

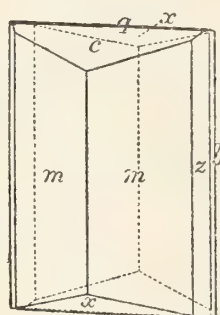
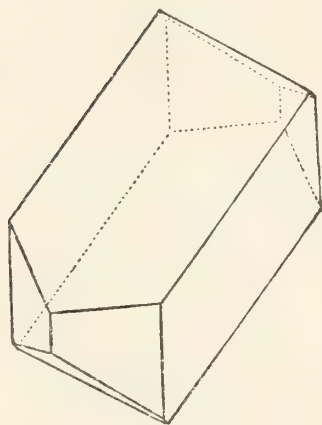


Fig. 542.

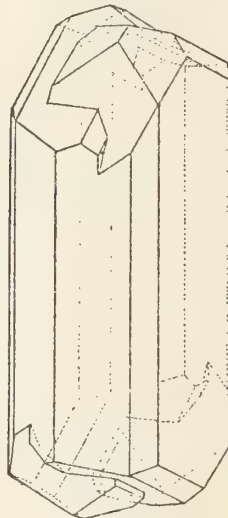


Fig. 544.

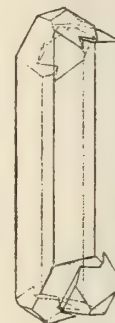


Fig. 543.



Fig. 547.

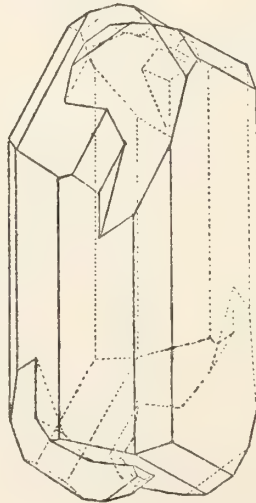


Fig. 545.

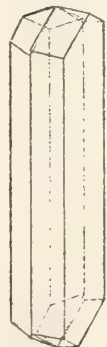


Fig. 546.

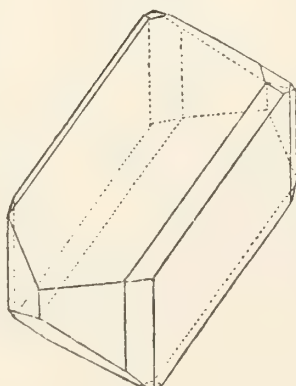


Fig. 548.

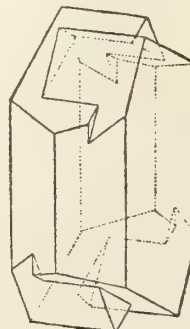
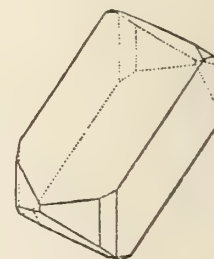


Fig. 549.



Feldspat-Gruppe (Orthoklas)

Fig. 550.

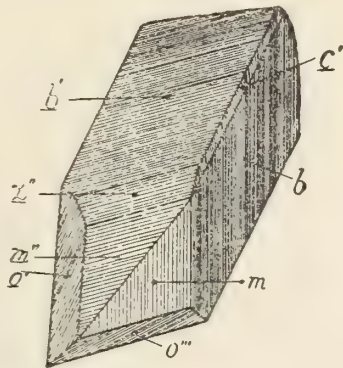


Fig. 551.

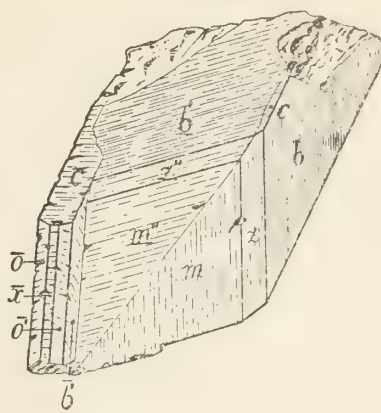


Fig. 552.

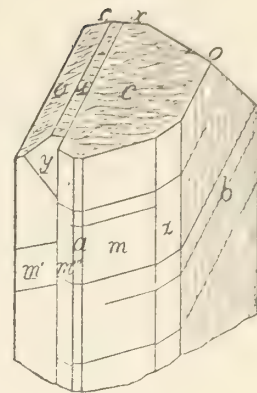


Fig. 554.

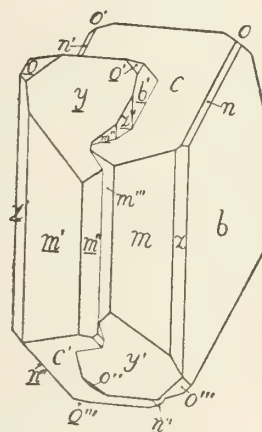


Fig. 555.

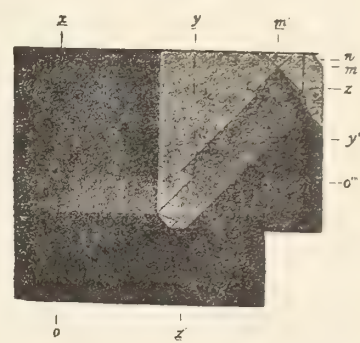


Fig. 553.

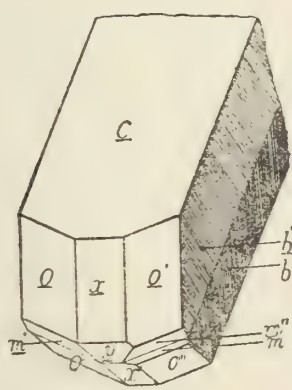


Fig. 557.

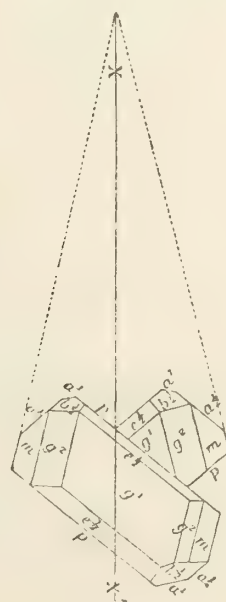


Fig. 558.

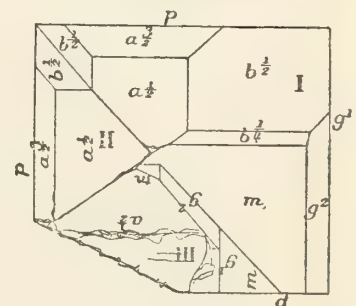


Fig. 556.

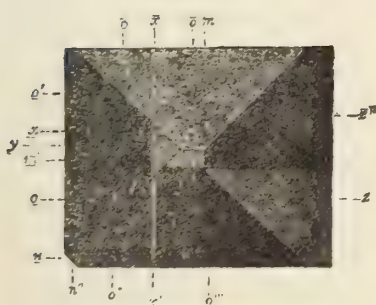
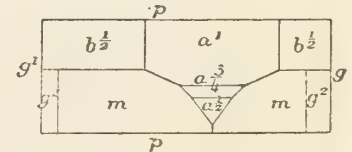


Fig. 559.



Feldspat-Gruppe (Orthoklas)

Fig. 560.

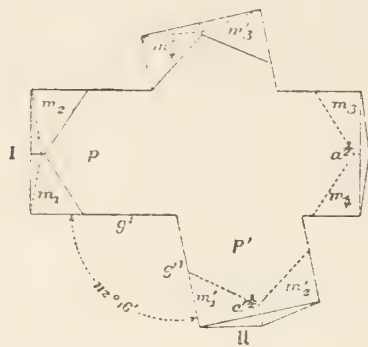


Fig. 561.

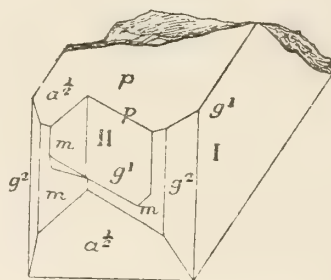


Fig. 562.

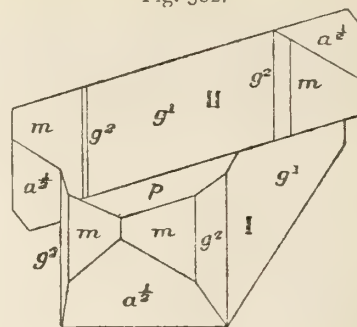


Fig. 563.

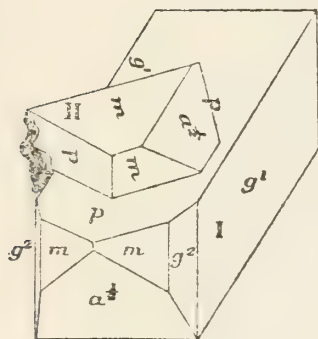


Fig. 564.

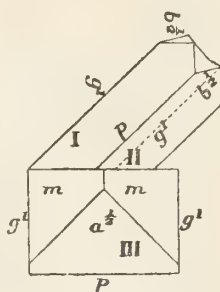


Fig. 565.

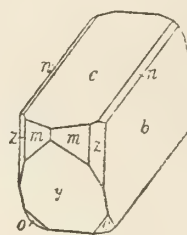


Fig. 566.

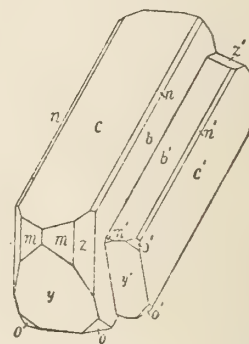


Fig. 567.

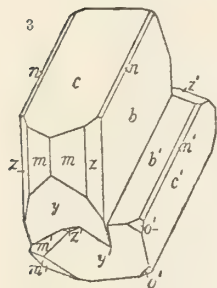


Fig. 568.

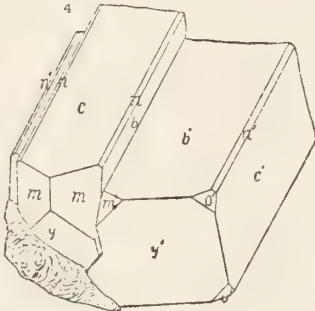


Fig. 569.

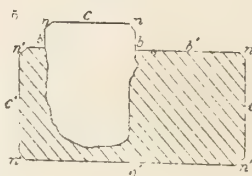


Fig. 570.

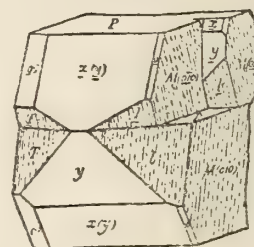


Fig. 571.

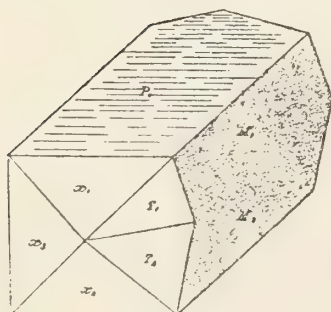


Fig. 572.

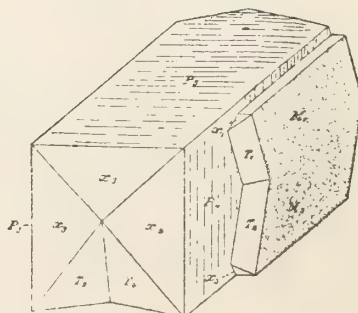
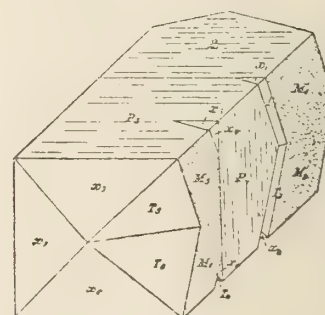


Fig. 573.



Feldspat-Gruppe (Orthoklas)

Fig. 574.

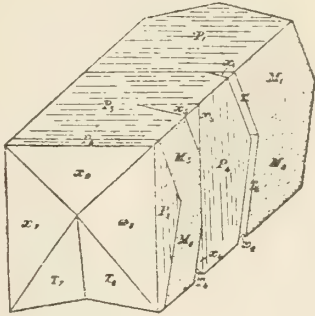


Fig. 575.

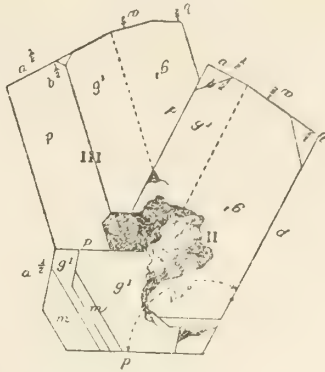


Fig. 576.

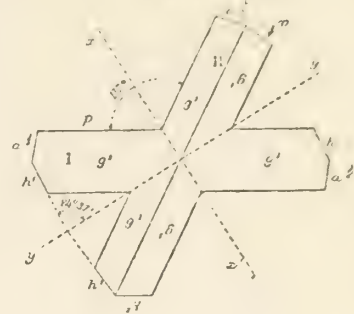


Fig. 577.

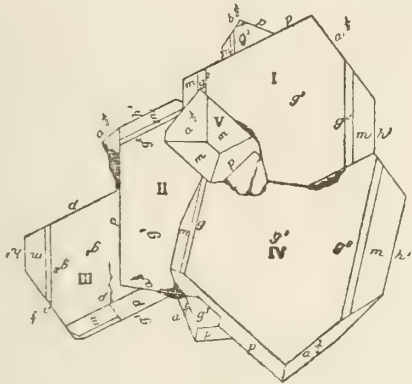


Fig. 578.

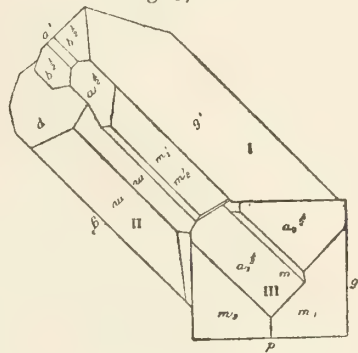


Fig. 579.

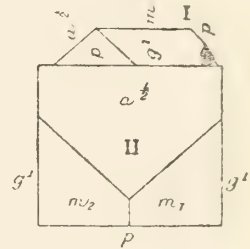


Fig. 580.

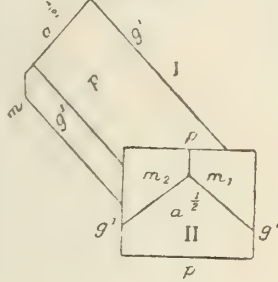


Fig. 581.

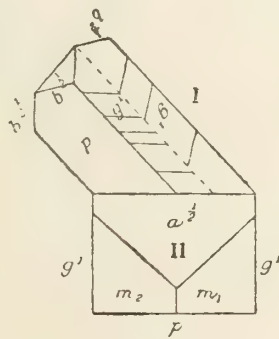


Fig. 582.

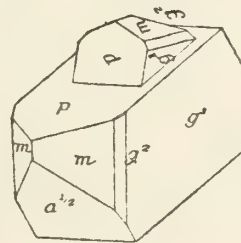


Fig. 583.



Fig. 584.

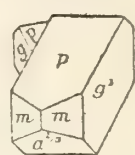


Fig. 585.

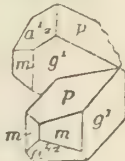


Fig. 586.

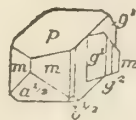


Fig. 587.

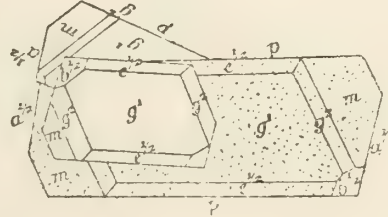
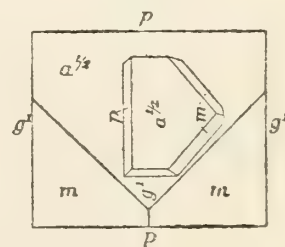


Fig. 588.



Feldspat-Gruppe (Orthoklas)

Fig. 589.

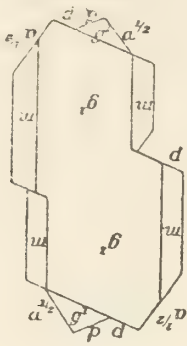


Fig. 590.

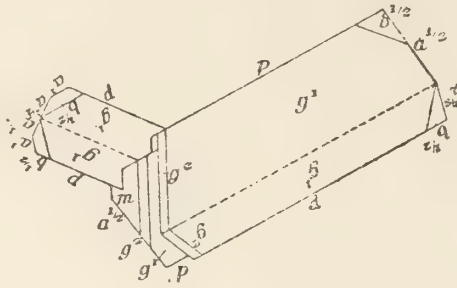


Fig. 591.

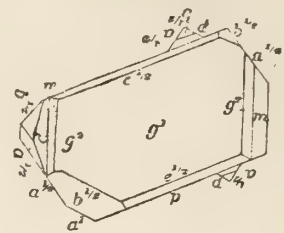


Fig. 592.

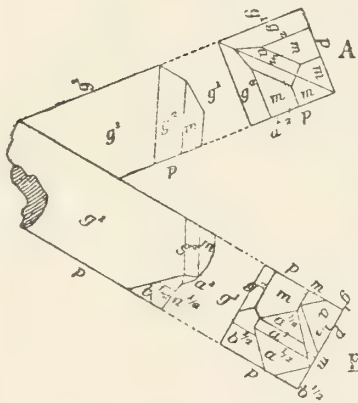


Fig. 593.

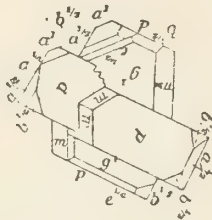


Fig. 594.

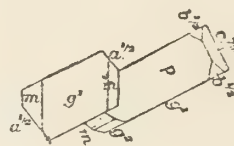


Fig. 595.

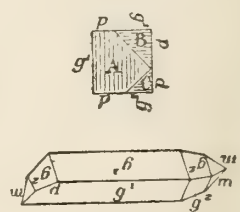


Fig. 596.

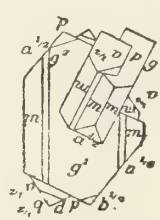


Fig. 597.

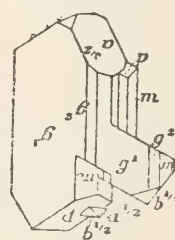


Fig. 598.

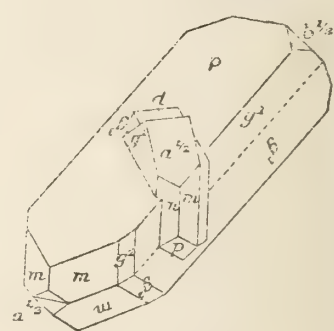


Fig. 599.

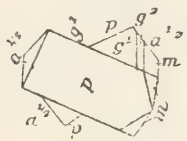


Fig. 600.

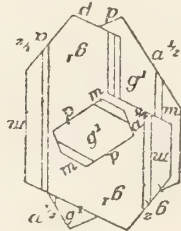


Fig. 601.

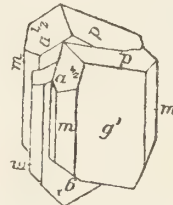


Fig. 602.

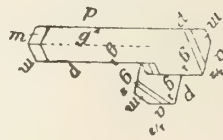


Fig. 603.

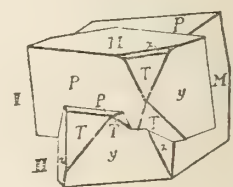


Fig. 604.

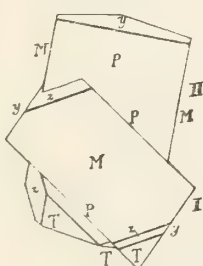


Fig. 605.

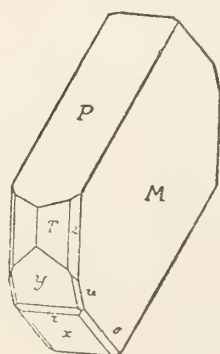


Fig. 606.



Fig. 607.

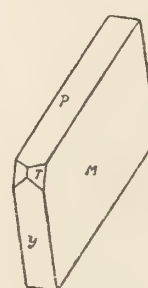
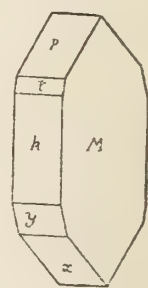


Fig. 608.



Feldspat-Gruppe (Orthoklas)

Fig. 609.

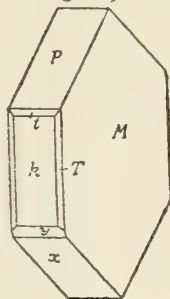


Fig. 610.

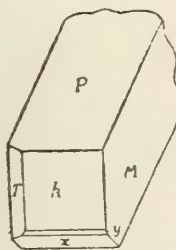


Fig. 613.

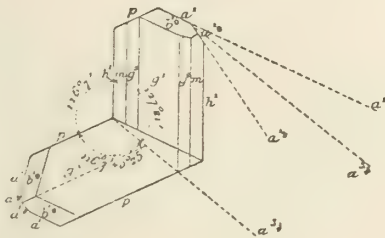


Fig. 617.

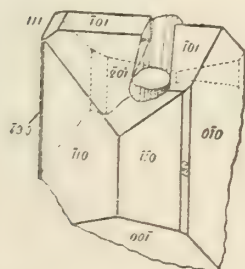
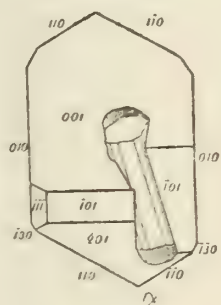


Fig. 618.

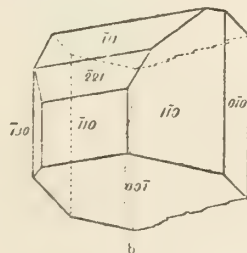
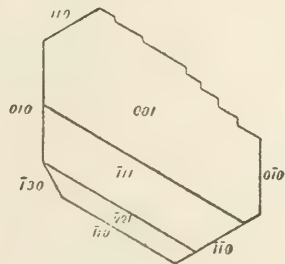


Fig. 611.

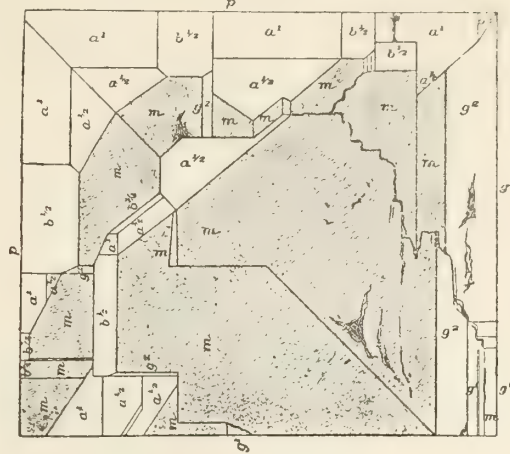


Fig. 614.

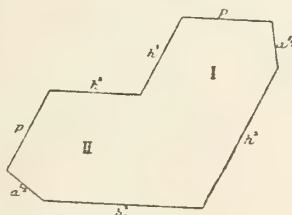


Fig. 615.

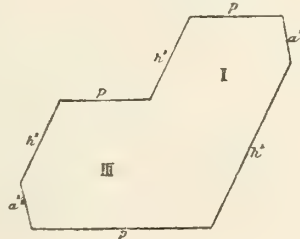


Fig. 612.

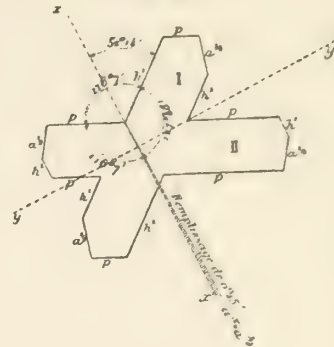


Fig. 616.

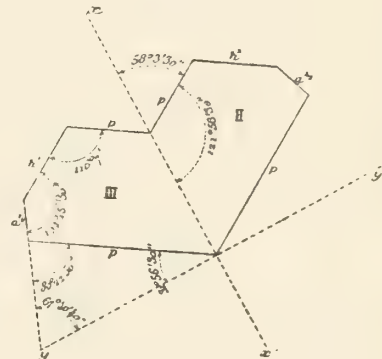


Fig. 620.

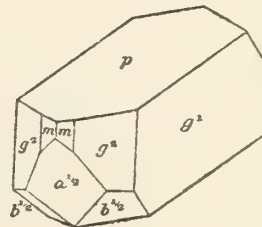


Fig. 619.

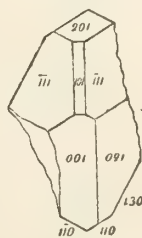
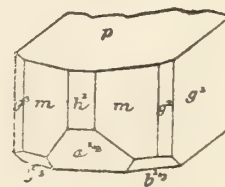


Fig. 621.



Feldspat-Gruppe (Orthoklas)

Fig. 622.



Fig. 623.

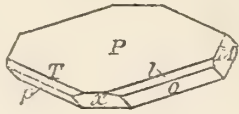


Fig. 624.

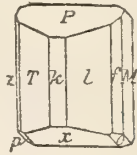


Fig. 625.

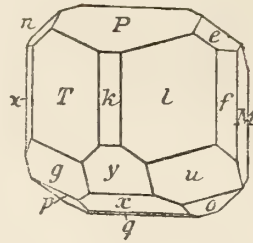


Fig. 626.

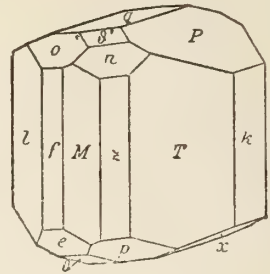


Fig. 627.

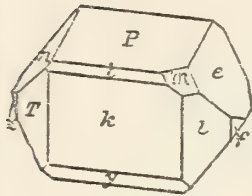


Fig. 628.

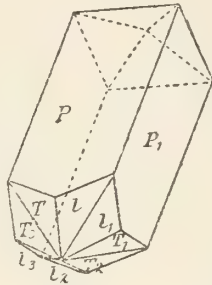


Fig. 629.

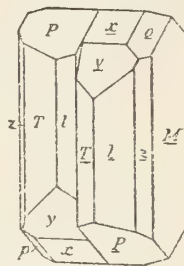


Fig. 630.

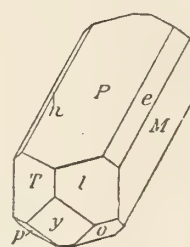
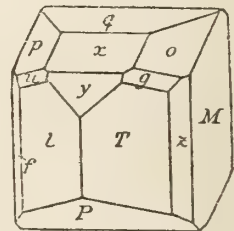


Fig. 631.



Hyalophan

Fig. 1.

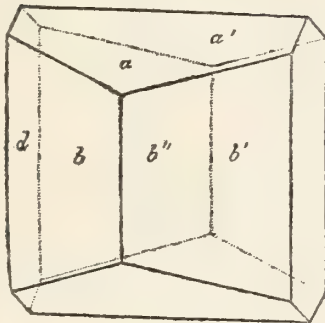


Fig. 2.

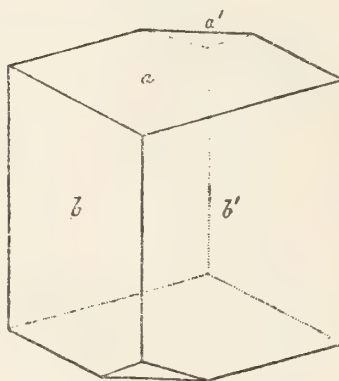


Fig. 3.

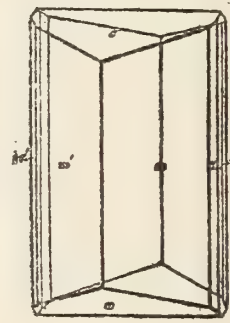


Fig. 4.

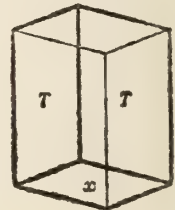


Fig. 5.

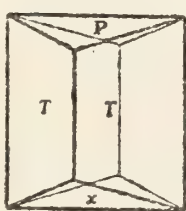


Fig. 6.

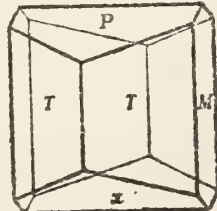


Fig. 7.

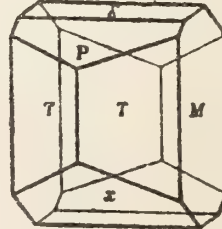
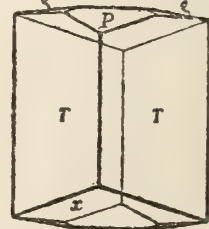


Fig. 8.



Feldspat-Gruppe (Hyalophan)

Fig. 9.

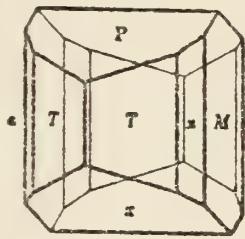


Fig. 10.

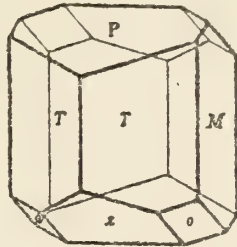


Fig. 11.

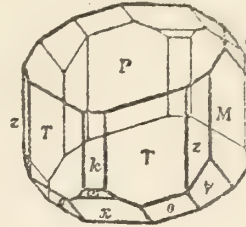


Fig. 12.

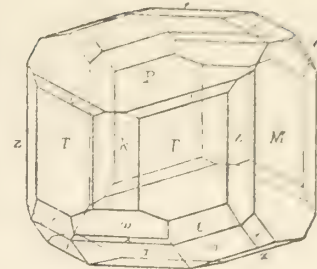


Fig. 13.

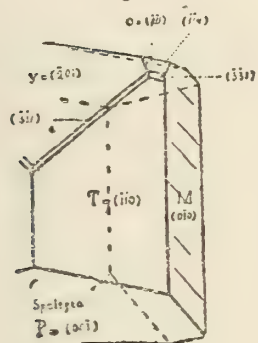


Fig. 14.



Fig. 15.

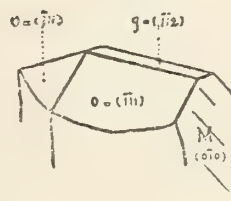
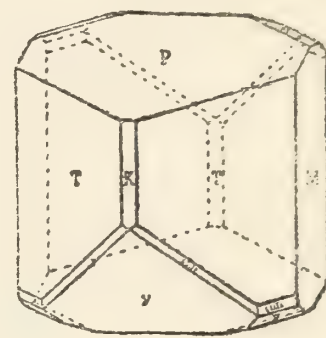


Fig. 16.



6572
A



